

UNIVERSITÉ DE LILLE

ECOLE DOCTORALE

Sciences de l'Homme et de la Société

Laboratoire Histoire, Archéologie, Littérature des Mondes Anciens (HALMA – UMR8164)

THÈSE

Pour l'obtention du grade de Docteur en Histoire et Archéologie

Discipline : Archéologie des Mondes anciens

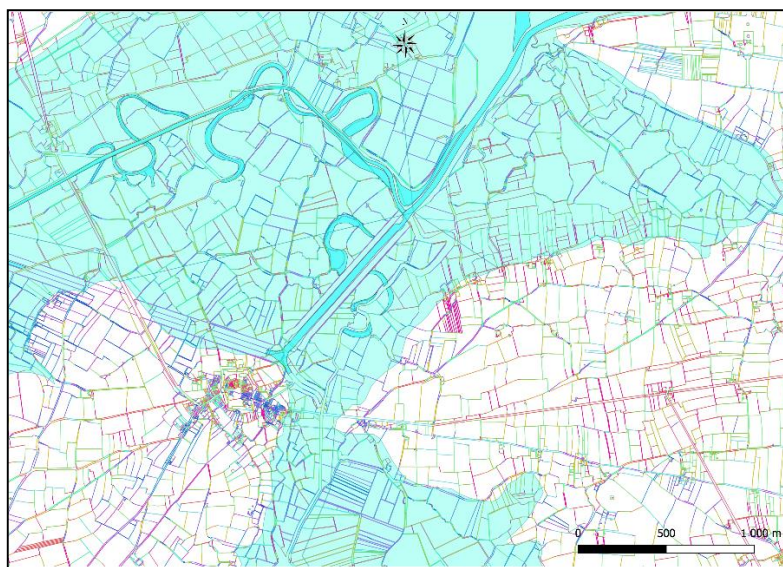
par :

Aurore DI LIBERTO

Soutenue et présentée le 27 octobre 2022

**Les paysages ruraux du nord de l'Empire romain.
Analyse du parcellaire antique dans les Hauts-de-France et les régions du nord-ouest de l'Europe.**

Volume 2



Sous la co-direction de :

Mme Christine Hoët-Van Cauwenberghe, Maître de conférences, HDR, Université de Lille

Mr. Michael G. Fulford, Professeur, Université de Reading

Membres du Jury :

Mme Sabine Lefebvre, Professeure, Université de Bourgogne (Rapporteur)

Mr. Wim De Clercq, Professeur, Université de Gand (Rapporteur)

Mr. Ton Derks, Professeur, Université d'Amsterdam (Rapporteur)

Mr. Pierre Nouvel, Professeur, Université de Bourgogne (Examinateur, Président du Jury)

Mr. Gaël Léon, référent SIG INRAP, (Examinateur)

Table des cartes

Carte 1. Répartition des zones étudiées.	13
Carte 2. Répartition des structures fossoyées de l'Âge du Bronze.	14
Carte 3. Les structures fossoyées de l'Âge du Fer.	15
Carte 4. Structures fossoyées entre 100 et 25 av. J.-C.	16
Carte 5. Les structures fossoyées de la période augustéenne à la période claudienne.	17
Carte 6. Le territoire trinovante.	19
Carte 7. Carte générale du secteur d'étude de l'Essex (Google Maps).	20
Carte 8. Stanway 1 et 2, Abbobstone Field et Gosbeck dans leur contexte géographique.	21
Carte 9. Chigborough Farm et Slough Farm dans leur contexte géographique.	22
Carte 10. Environnement général de la zone étudiée sur image satellite Google.	23
Carte 11. Zone d'étude à l'ouest de Colchester.	24
Carte 12. Cadre géologique de la zone d'étude.	25
Carte 13. Traces archéologiques repérées en prospections et en fouilles. (Colchester Archaeological Trust. https://www.thecolchesterarchaeologist.co.uk/?p=14967) 26	26
Carte 14. Zone est de l'étude à proximité de Colchester.	27
Carte 15. Anomalies de terrain associées aux sites étudiés et intégrées au parcellaire du XIX ^e s.	28
Carte 16. Isolement des segments parcellaires orientés à 0-10°E et 90-100°E.	53
Carte 17. Les "Dykes" et sites protohistoriques intégrés au parcellaire moderne orientés 70°E.	54
Carte 18. Le site de Chigborough Farm et les mesures associées des structures fouillées et des anomalies de terrain repérées (indices 4 et 5).	55
Carte 19. Le site de Chigborough Farm et les mesures associées aux structures fouillées, aux anomalies de terrain et au parcellaire moderne d'orientation 0-10°E.	56
Carte 20. Cadastre supposé proposé par John Peterson (en rouge). Les grille en noir correspondent aux supposées centuriations de Chigborough Farm au sud et de Gosbeck au nord.	61
Carte 21. Territoire dobunnien et zone d'étude.	63
Carte 22. Contexte géographique des Cotswolds.	64
Carte 23. Emplacement des sites dans leur environnement.	65
Carte 24. Zone d'étude des Cotswolds.	66
Carte 25. Carte géologique de la zone d'étude associée aux structures fossoyées des sites de Thornhill Farm, Coln Grave et de Claydon Pike datées de la transition de la fin de l'Âge du Fer à la période romaine et au parcellaire du XIX ^e s.	67
Carte 26. Prolongements de chemins antiques découverts en fouilles (en rouge) intégrés dans les segments parcellaires du XIX ^e siècle orientés à 40°E.	100
Carte 27. Prolongements de chemins antiques découverts en fouilles (en vert) intégrés aux segments parcellaires du XIX ^e siècle orientés à 70°E.	101
Carte 28. Prolongements de chemin antiques découverts en fouilles (violet) intégrés aux segments parcellaires au XIX ^e siècle orientés à 30°E.	102
Carte 29. Territoire durotrige.	106
Carte 30. Contexte géographique du Dorset.	107

Carte 31. Les sites dans leur environnement sur le fond de carte de Google satellite.	108
Carte 32. Les sites archéologiques dans leur contexte géologique.	109
Carte 33. Les sites analysés intégrés dans le parcellaire de l'Ordance Survey du XIX ^e s.	110
Carte 34. Bincombe Field Systems.	111
Carte 35. Carte de répartition des fosses d'extraction de craie et des artefacts de la même matière.	153
Carte 36. Emplacement des Unelles et des Baiocasses dans leur contexte géographique.	155
Carte 37. Les sites étudiés dans leur environnement associés aux chemins antiques supposés d'après Gaël Léon (Données SIG INRAP).	156
Carte 38. Contexte géographique de Méautis, Carentan, Saint-Hilaire-Petitville, Saint-Pellerin, Les Veys, Isigny-sur-Mer et Osmanville.	157
Carte 39. Répartition des sites étudiés de la Baie des Veys associés au cadastre napoléonien vectorisé (tracés antiques supposés d'après G. Léon ; Données SIG INRAP). ...	158
Carte 40. Répartition des vestiges découverts. (D'après CAG 1989 et prospections 2013).	159
Carte 41. Répartition des sites étudiés sur le fond de carte géologique.	160
Carte 42. La voie romaine supposée du site des Veys mentionnée dans le texte (Géoportail).	189
Carte 43. Les chemins supposés sur fond de carte napoléonien (G. Léon 2011, p. 59, fig. 18).	190
Carte 44. Géologie de la Baie des Veys.	207
Carte 45. Orientation des segments parcellaires du cadastre napoléonien selon les sites étudiés.	208
Carte 46. Orientation des parcellaires des sites à l'échelle du secteur d'étude.	209
Carte 47. Carte de la Gaule Belgique avec indication des zones étudiées.	213
Carte 48. Contexte général de Théroouanne et de Cassel.	214
Carte 49. Contexte géographique de Clarques, Rebecques et Escardalles.	215
Carte 50. Contexte géographique de Racquinghem entre la Melde et le canal de Neufossés.	216
Carte 51. Contexte géographique de Cassel, Bavinchove et Wallon-Cappel.	217
Carte 52. Répartition des sites de Théroouanne à Cassel.	218
Carte 53. Les sites présentés dans le secteur ouest de l'étude (fond de carte géologique BRGM).	219
Carte 54. Les sites présentés dans le secteur est de l'étude (fond de carte géologique BRGM).	220
Carte 55. Carte de la Gaule Belgique avec indication des zones étudiées.	265
Carte 56. Sites étudiés au sein des limites administratives actuelles sur fond de carte d'État-Major.	266
Carte 57. Sites étudiés au sein des limites administratives actuelles sur fond de carte de Cassini.	266
Carte 58. Emplacement des sites étudiés sur fond de carte IGN. La voie Arras-Cambrai (D939) sépare Marquion et Bourlon.	267
Carte 59. Les sites présentés dans le secteur de l'étude (fond de carte géologique BRGM).	268
Carte 60. Division du diagnostic en plusieurs secteurs (Gaillard 2009, p. 17, fig. 3). Seules les sections 5 à 7 sont intégrées à notre étude.	287
Carte 61. Cambrésis - Les différents parcellaire laténiens / Haut-Empire du secteur d'études.	295
Carte 62. Cambrésis - Isolements des parcellaires du XIX ^e s.	296
Carte 63. Cambrésis - Isolements des segments du parcellaire moderne orientés à 65/70°E.	297
Carte 64. Cambrésis - Isolements des segments parcellaires modernes orientés entre 65 et 70°E (vert) et 35/40°E (bleu).	298

Carte 65. Cambrésis - Isolement des segments parcellaires modernes orientés à 35/40°E.	299
---	-----

Table des figures

Figure 1. Phasage du site de Stanway 1.	29
Figure 2. Stanway 1 - Numéros des structures et mesures de la période protohistorique.	30
Figure 3. Stanway 1 - Numéros de structures et mesures de la période moderne.	31
Figure 4. Phasage du site de Stanway 2.	32
Figure 5. Stanway 2 - Numéros de structures et mesures de la période protohistorique.	33
Figure 6. Stanway 2 - Numéros de structures et mesures de la période moderne.	33
Figure 7. Phasage du site d'Abbobstone Field.	34
Figure 8. Abbobstone Field - Toutes périodes confondues.	35
Figure 9. Abbobstone Field - Numéros et mesures des structures à la période protohistorique.	36
Figure 10. Abbobstone Field - Numéros et mesures des structures à la période romaine (70-125 ap. J.-C).	36
Figure 11. Abbobstone Field de 125 à 175 ap. J.-C.	37
Figure 12. Abbobstone Field - Numéros et mesures des structures à la période médiévale (XII ^e /XIII ^e siècle).	38
Figure 13. Phasage du site de Gosbeck.	39
Figure 14. Gosbeck – Mesures intégrant toutes les structures alentours.	40
Figure 15. Gosbeck - Conversion des mesures comprenant toutes les structures alentours en actus.	41
Figure 16. Gosbeck - Les structures romaines datées de la conquête de Claude au plus tard intégrées à la grille de 710 m de côté.	42
Figure 17. Gosbeck - Structures romaines datées au plus tôt de la seconde moitié du I ^{er} siècle ap. J.-C. intégrées à la grille de 35,5 m de côté.	43
Figure 18. Gosbeck - Structures romaines intégrées à la grille de 710 m de côté.	44
Figure 19. Gosbeck - Photographie aérienne - Vue de l'enclos et tracés alentours (Hull 1958, Pl. XXXIX).	45
Figure 20. Phasage du site de Chigborough Farm.	46
Figure 21. Chigborough Farm - Mesures et numéros des structures de la fin de l'Âge du Fer.	47
Figure 22. Chigborough Farm - Mesures et numéros des structures de l'Âge du Bronze.	47
Figure 23. Chigborough Farm - Mesures et numéros des structures entre la fin de l'Âge du Fer et le début de l'Antiquité.	48
Figure 24. Chigborough Farm - Numéros des structures antiques.	48
Figure 25. Chigborough Farm - Mesures des structures antiques associées et conversions en Actus et en Pes Monetalis.	49
Figure 26. Chigborough Farm - Conversion des mesures en actus ou en Pes Monetalis.	50
Figure 27. Chigborough Farm - Restitution de l'hypothétique centuriation de Chigborough Farm sur la base de l'actus (en vert) selon le parcellaire découvert et les anomalies hydrographiques linéaires.	51
Figure 28. Chigborough Farm - Structures romaines intégrées à la grille de 35,5 m de côté.	52

Figure 29. Phasage du site de Slough Farm.	57
Figure 30. Slough Farm - Numéros de structures.	58
Figure 31. Orientations des structures fossoyées du secteur étudié de l'Essex. Les dates correspondent aux évènements discutés dans le chapitre VI.....	59
Figure 32. Les sites intégrés à une frise historique. (Échelles non linéaires).....	60
Figure 33. Phasage du site de Kempsford.....	68
Figure 34. Kempsford - Numéros de structures de la période 1.....	69
Figure 35. Kempsford - Numéros de structures de la période 2.....	69
Figure 36. Kempsford - Numéros de structures de la période 3. Figure 37. Kempsford - Numéros de structures de la période 4.....	70
Figure 38. Kempsford - Mesures prises entre les fossés.....	71
Figure 39. Kempsford - Réinstallation de la voie au sud vers 250 ap. J.-C.....	72
Figure 40. Kempsford - Numéros de structures de la période 5.....	73
Figure 41. Kempsford - Numéros de structures de la période 6.....	73
Figure 42. Le site de Whelford Bowmoor.	74
Figure 43. Phasage des sites de Thornhill Farm et Coln Grave.....	75
Figure 44. Thornhill Farm – structures fossoyées datant de 800 av. J.-C. à 1 ap. J.-C.....	76
Figure 45. Les structures mises en place dans la première moitié du I ^{er} siècle ap. J.-C. à Thornhill Farm et Coln Grave associés à Claydon Pike à l'est - 0 -50 ap. J.-C.	77
Figure 46. Thornhill Farm et Coln Grave - Mesures prises entre les fossés datés du I ^{er} siècle ap. J.-C.	78
Figure 47. Thornhill Farm et Coln Grave associés à Claydon Pike à l'est - 50 ap. J.-C.	79
Figure 48. Thornhill Farm et Coln Grave associé à Claydon Pike à l'est - 120 ap. J.-C.	80
Figure 49. Thornhill Farm et Coln Grave associés à Claydon Pike à l'est - 200 ap. J.-C.....	81
Figure 50. Vue satellite de la fouille au sud de Thornhill Farm, Coln Grave et Claydon pike. Les sites sont représentés en rouge et blanc.	82
Figure 51. Thornhill Farm - 1066 à 1500 ap. J.-C. Figure 52. Thornhill Farm - 1500 à 1800 ap. J.-C.	83
Figure 53. Phasage de Claydon Pike.....	84
Figure 54. Phasage de Claydon Pike (suite).	85
Figure 55. Claydon Pike - période 1.	86
Figure 56. Claydon pike - période 2. Figure 57. Claydon Pike - Mesures prises entre chaque fossés des périodes 2 à 5.	87
Figure 58. Claydon pike - Fin I ^{er} / début II ^e siècle ap. J.-C.	88
Figure 59. Claydon Pike - 125 à 200 ap. J.-C.....	88
Figure 60. Claydon pike - 200 ap. J.-C.	89
Figure 61. Claydon pike - 125 ap. J.-C.	89
Figure 62. L'installation du bâtiment à Claydon pike à la fin du III ^e siècle ap. J.-C.	90
Figure 63. Claydon Pike - IV ^e au V ^e siècle ap. J.-C.....	90
Figure 64. Claydon Pike - période moderne.	91
Figure 65. Le site de Roughground Farm.	92

Figure 66. Roughground Farm - 800 à 400 av. J.-C.	93
Figure 67. Roughground Farm - Premières installations de la villa et du parcellaire associé.	94
Figure 68. Roughground Farm – la <i>villa</i> et son parcellaire vers 160 ap. J.-C.	95
Figure 69. Roughground Farm - Phase 2 de la <i>villa</i>	96
Figure 70. Roughground Farm - phase 3 de la <i>villa</i>	97
Figure 71. Roughground Farm - Phase 4 de la <i>villa</i>	98
Figure 72. Les derniers changements du parcellaire associé à la <i>villa</i> (la phase 4 correspond à la période entre 100 et 350 ap. J.-C, elle se décline de 4b à 4c12).	99
Figure 73. Orientations des structures fossoyées du secteur étudié des Cotswolds. Les dates correspondent aux évènements discutés dans le chapitre VI.	103
Figure 74. Les sites intégrés à une frise historique. (Echelles non linéaires).....	104
Figure 75. Phasage du site de Weymouth.	112
Figure 76. Weymouth Ridgeway Hill.....	113
Figure 77. Weymouth Southdown Bridge – Toutes périodes confondues.....	114
Figure 78. Weymouth Southdown Bridge - première installation fossoyée.	115
Figure 79. Weymouth Southdown Bridge - Mise en place des premières structures linéaires de l'Âge du Fer. Le système est orienté à 70°E.	115
Figure 80. Weymouth Southdown Bridge - fin de l'Âge du Fer.	116
Figure 81. Weymouth Southdown Bridge - fossés modernes recoupant le "Cross Ridge Dyke" qui devait être beaucoup moins imposant dès cette période.	116
Figure 82. Weymouth Redlands.....	117
Figure 83. Phasage du site d'Alington Avenue.....	118
Figure 84. Alington Avenue – Numéros de structures de la Phase 1.....	119
Figure 85. Alington Avenue – Mesures relevées entre les structures de la phase 1.....	120
Figure 86. Alington Avenue - Phase 2.	121
Figure 87. Alington Avenue - Mesures phase 2.	122
Figure 88. Alington Avenue - Phase 3.	123
Figure 89. Alington Avenue - Mesures Phase 3.	124
Figure 90. Alington Avenue - Phase 4.	125
Figure 91. Phasage de Portland Gas Pipeline.....	126
Figure 92. Portland Gas Whitcombe.....	127
Figure 93. Portland Gas Broadmayne.	128
Figure 94. Portland Gas Thorncombe.	128
Figure 95. Tracé de la voie romaine passant par Thorncombe et Stinsford.....	129
Figure 96. Stinsford – Numéro de structures.....	130
Figure 97. Phasage de West Knighton et de Stinsford.....	131
Figure 98. West Knighton - Prolongements et numéros de fossés. Figure 99. West Knighton - Mesures de distances.	132
Figure 100. Phasage du site de Woodsford.	133

Figure 101. Woodsford - Regroupement des fossés selon leur orientation : Magenta (M), Noir (N), Orange (O), Rouge (R), Vert (V)	134
Figure 102. Woodsford – Prolongement des fossés de la période protohistorique.	135
Figure 103. Woodsford - Prolongement des fossés de La Tène Finale.....	136
Figure 104. Woodsford - Groupes directionnels des fossés protohistoriques.	137
Figure 105. Woodsford - Groupes directionnels des fossés protohistoriques (1500 à 800 av. J.-C.....	137
Figure 106. Woodsford - Groupes directionnels des fossés installés à partir du IX ^e siècle av. J.-C.....	137
Figure 107. Woodsford - Groupes directionnels des fossés installés au II ^e siècle av. J.-C.....	138
Figure 108. Woodsford - Groupes directionnels des fossés installés au début du I ^{er} siècle ap. J.-C. associés aux fossés antérieurs qui restent présents à cette période.	139
Figure 109. Woodsford - Groupes directionnels R et O et mesures des distances.	140
Figure 110. Woodsford - Groupes directionnels des fossés en place lors de la conquête romaine et dont les datations ne peuvent aller au-delà de l'Antiquité sans plus de précision.....	141
Figure 111. Woodsford - Groupe directionnel M et les structures associées.	142
Figure 112. Woodsford - Groupe directionnel V et les structures associées.	143
Figure 113. Woodsford – Les recoupements des fossés de la transition Tène Finale / Antiquité intégrés à leur groupe directionnel.	144
Figure 114. Woodsford – Mise en place du nouveau système parcellaire au début du II ^e siècle ap. J.-C.....	145
Figure 115. Woodsford – Le parcellaire supposé de la deuxième moitié du II ^e siècle/début du III ^e siècle intégré à son groupe directionnel.	146
Figure 116. Woodsford - Mesures des distances entre les fossés parcellaires du groupe N, les anomalies de terrains, les limites parcellaires du XIX ^e siècle et actuelles.....	147
Figure 117. Woodsford - Isolement des segments parcellaires orientés à 0-10°E.....	148
Figure 118. Woodsford - Isolements des segments parcellaires orientés à 55-65°E.	149
Figure 119. Woodsford - Isolement des segments parcellaires orientés à 15-20°E.....	150
Figure 120. Orientations des structures fossoyées du secteur étudié du Dorset. Les dates correspondent aux évènements discutés dans le chapitre VI.	151
Figure 121. Les sites intégrés à une frise historique (échelles non linéaires).....	152
Figure 122. Phasage du site de Carentan.....	161
Figure 123. Carentan – Structures fossoyées de l'Âge du Bronze.	162
Figure 124. Carentan - 25 ap. J.-C.	163
Figure 125. Carentan - Période antique.....	164
Figure 126. Carentan - De la fin de l'Antiquité à la période moderne.....	165
Figure 127. Carentan - Structures modernes.....	166
Figure 128. Carentan - Période contemporaine.	167
Figure 129. Phasage du site de Saint-Hilaire-Petitville.	168
Figure 130. Saint-Hilaire-Petitville - Première moitié du I ^{er} siècle ap. J.-C.....	169
Figure 131. Saint-Hilaire-Petitville - Mesures prises entre les fossés datés de la deuxième moitié du I ^{er} siècle ap. J.-C.....	170
Figure 132. Saint-Hilaire-Petitville - Mesures prises entre les fossés datés de la fin du I ^{er} siècle ap. J.-C.....	171
Figure 133. Saint-Hilaire-petitville - Premier tiers du II ^e siècle ap. J.-C.....	172

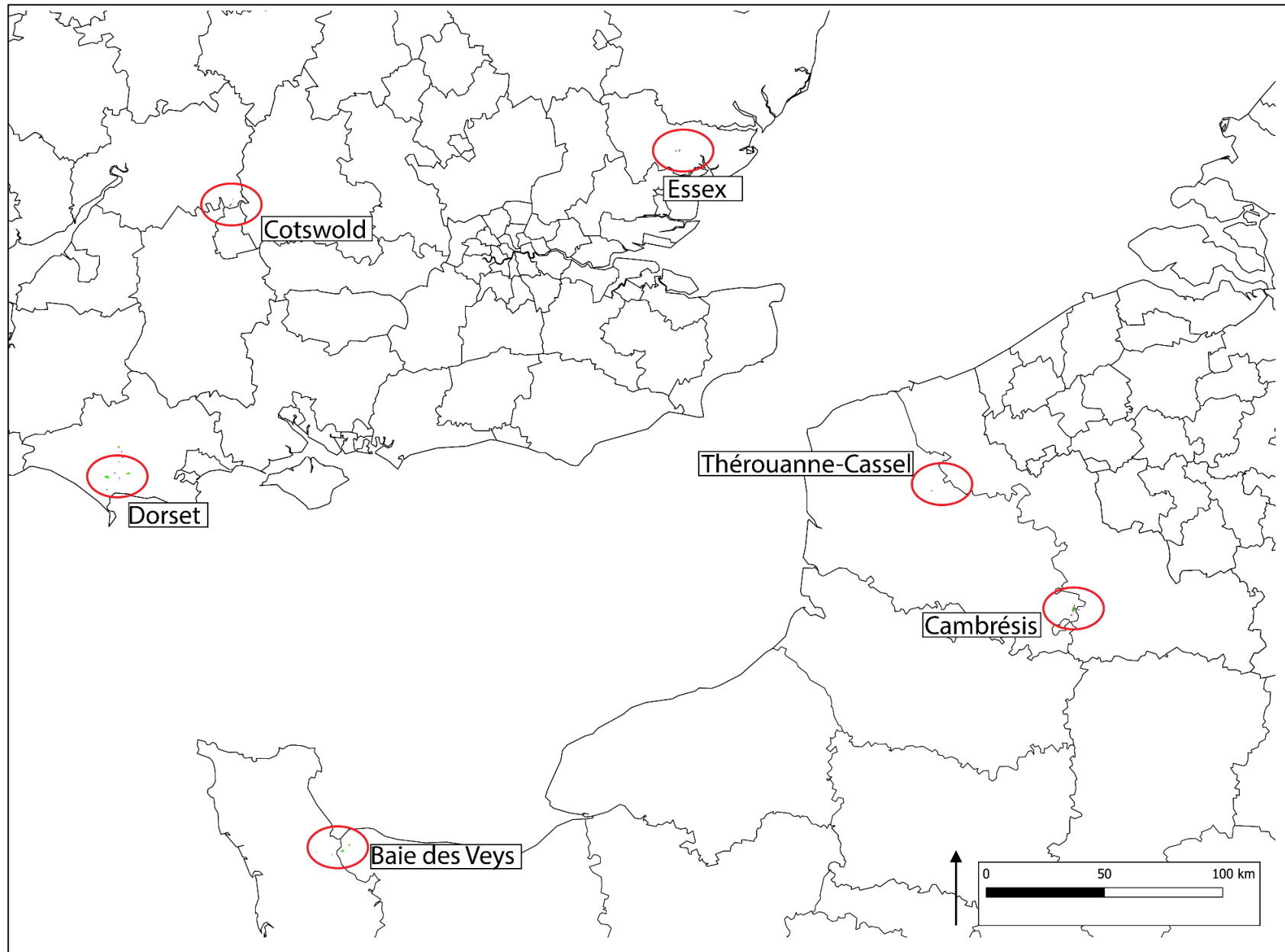
Figure 134. Saint-Hilaire-Petitville - Deuxième tiers du II ^e siècle ap. J.-C.	173
Figure 135. Saint-Hilaire-Petitville - Deuxième moitié du II ^e siècle ap. J.-C. Transition entre la phase précédente et la phase suivante.	174
Figure 136. Saint-Hilaire-Petitville - Deuxième moitié du II ^e siècle ap. J.-C. « Renouveau parcellaire » (d'après L. Gaillard 2005).	175
Figure 137. Phasage de Saint-Pellerin.....	176
Figure 138. Saint-Pellerin - Période protohistorique.	177
Figure 139. Saint-Pellerin - Période protohistorique de la zone est.	178
Figure 140. Saint-Pellerin - Période protohistorique de la zone ouest.	179
Figure 141. Saint-Pellerin - I ^{er} siècle av. J.-C.	180
Figure 142. Saint-Pellerin - Mesures des distances entre les fossés datés de la transition entre La Tène Finale et la période augustéenne. Les mesures sont séparées selon leurs périodes.....	181
Figure 143. Saint-Pellerin - Période augustéenne.....	182
Figure 144. Saint-Pellerin - Proposition de connexions entre les parcelles des trois Zones.	183
Figure 145. Saint-Pellerin - Mesures prises entre les fossés datés du Haut-Empire dans la zone ouest.	184
Figure 146. Mesures prises entre les fossés datés du Haut-Empire dans la zone centrale.....	185
Figure 147. Saint-Pellerin - Mesures prises entre les fossés datés du Haut-Empire dans la zone ouest.	186
Figure 148. Saint-Pellerin - fossés datés d'après la fin du Haut-Empire.	187
Figure 149. Phasage du site des Veys.	188
Figure 150. Les Veys - La Tène Finale.....	191
Figure 151. Les Veys - Numéros de structures et mesures prises entre les portions de fossés.	192
Figure 152. Les Veys - Période antique.	193
Figure 153. Les Veys - Période moderne.	194
Figure 154. Phasage du site d'Isigny-sur-Mer.	195
Figure 155. Phasage du site d'Isigny-sur-Mer (suite).....	196
Figure 156. Isigny-sur-Mer - Âge du Bronze.	197
Figure 157. Isigny-sur-Mer - 300 à 50 av. J.-C.	198
Figure 158. Isigny-sur-Mer - Fin de l'Âge du Fer.	199
Figure 159. Isigny-sur-Mer - Première moitié du I ^{er} siècle ap. J.-C.	200
Figure 160. Isigny-sur-Mer - 25 à 350 ap. J.-C.....	201
Figure 161. Isigny-sur-Mer - La <i>villa</i> et les structures fossoyées non datées.	202
Figure 162. Isigny-sur-Mer - Fossés contemporains et non datés.....	203
Figure 163. Phasage du site d'Osmanville.....	204
Figure 164. Osmanville - Numéros de structures et distances prises entre les fossés datés de la protohistoire.	205
Figure 165. Osmanville - Numéros de structures et distances prises entre les fossés datés entre la première moitié du I ^{er} siècle ap. J.-C. et le début du II ^e siècle ap. J.-C.....	206
Figure 166. Orientations des structures fossoyées du secteur étudié de la Baie des Veys. Les dates correspondent aux événements discutés dans le chapitre VI.	210

Figure 167. Les sites intégrés à une frise historique (échelles non linéaires).....	211
Figure 168. Phasage du site de Clarques. De la fin du I ^{er} siècle av. J.-C. à la fin du I ^{er} siècle ap. J.-C.	221
Figure 169. Phasage de Clarques. Du début du II ^e siècle à la fin du II ^e siècle.	222
Figure 170. Phasage du site de Clarques de la fin de l'Antiquité à la période médiévale et moderne.	223
Figure 171. Le site de Clarques associé aux voies romaines découvertes.....	224
Figure 172. Clarques - Proposition de prolongements des structures linéaires (fossés, routes) sur toute la période du Haut-Empire.	225
Figure 173. Clarques - Mesures prises entre les structures linéaires du Haut-Empire.....	226
Figure 174. Clarques - La fouille de 2022 dans son environnement archéologique.....	227
Figure 175. Clarques - Fouilles de V. Merkenbreack (D'après département du Pas-de-Calais, plan non définitif).....	228
Figure 176. Phasage du site de Rebecques.....	229
Figure 177. Rebecques - Prolongements des fossés.....	230
Figure 178. Rebecques - période néolithique.....	231
Figure 179. Rebecques - l'Âge du Bronze.....	232
Figure 180. Mesures des distances entre les fossés datés entre La Tène Finale et le Haut-Empire.	233
Figure 181. Rebecques - Mesures prises entre les fossés.....	234
Figure 182. Rebecques – Prolongements des lignes de trous de poteaux et de fossés (en pointillés) dans la trame parcellaire moderne orientée 100-110°E (trait continu noir). Les mesures sont prises entre chaque alignement.	235
Figure 183. Le phasage du site d'Escardalles.....	236
Figure 184. Phasage du site d'Escardalles (suite).	237
Figure 185. Escardalles – Le système fossoyé de l'Âge du Fer.....	238
Figure 186. Escardalles droite - Le Haut-Empire.....	238
Figure 187. Milieu du II ^e siècle / Début du III ^e siècle ap. J.-C.	239
Figure 188. Escardalles - Période gallo-romaine.....	240
Figure 189. Escardalles - Période médiévale.	241
Figure 190. Escardalles - Mesures des distances entre les fossés.	242
Figure 191. Phasage du site de Racquinghem.	243
Figure 192. Racquinghem - Rue Marianne.....	244
Figure 193. Racquinghem - Prolongements des fossés datés du Haut-Empire et non datés.....	245
Figure 194. La D943 longeant le site de Racquinghem (fond de carte Géoportail).....	246
Figure 195. Phasage du site de Wallon-Cappel.....	247
Figure 196. Wallon-Cappel - "Voie Romaine" indiquée par les cartes (ici OpenStreet Map) et la voie romaine dégagée lors du diagnostic à une dizaine de mètres.	248
Figure 197. Wallon-Cappel - Prolongements de fossés et numéros de structures associées.	249
Figure 198. Contexte géographique de Bavinchove.	250
Figure 199. Phasage du site de Bavinchove.....	251

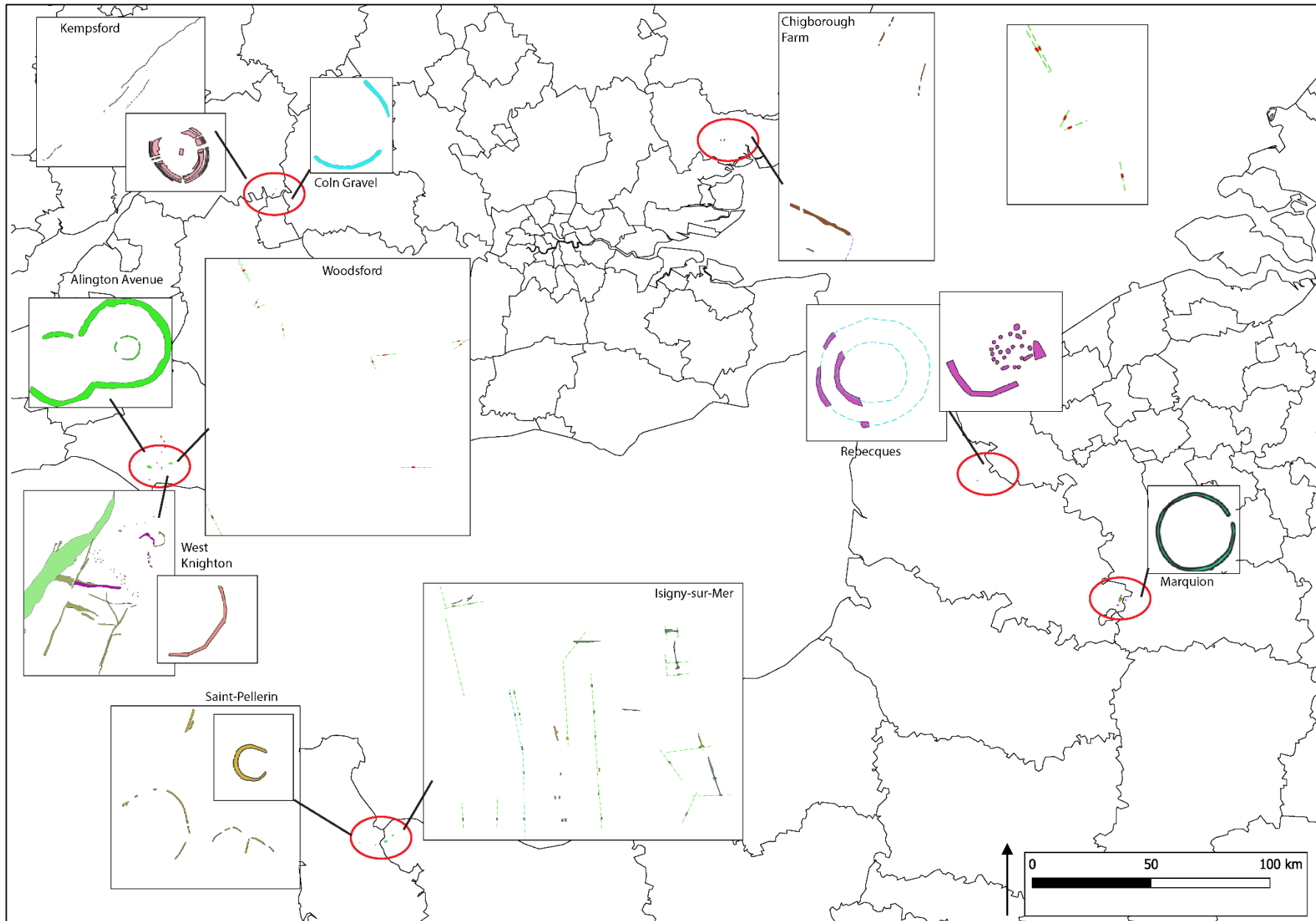
Figure 200. Bavinchove - Prolongements de fossés.	252
Figure 201. Phasage du site de Cassel.	253
Figure 202. Cassel ouest - Prolongements des fossés situé le long de la route d'Oxelaëre.	254
Figure 203. Cassel est - Prolongements des fossés.....	255
Figure 204. Cassel - Les sites intégrés au cadastre napoléonien.	256
Figure 205. Cassel est - Numéros des structures et mesures prises entre les fossés.....	257
Figure 206. Cassel ouest - Numéros de structures et mesures prises entre les fossés.	258
Figure 207. Isolement des segments parcellaires selon l'orientation des structures supposées de la fin de l'Âge du Fer (en noir) associées à la direction dominante (Rouge) (zone ouest).	259
Figure 208. Isolement des segments parcellaires selon l'orientation des structures supposées de la fin de l'Âge du Fer (en noir) associées à la direction dominante (Rouge). (Zone est)	260
Figure 209. Limite entre territoires morin et ménapien. La zone grisée représente la zone supposée de limite le long de la Petite Melde.	261
Figure 210. Orientations des structures fossoyées du secteur étudié des Flandres et de l'Artois. Les dates correspondent aux évènements discutés dans le chapitre VI.	262
Figure 211. Les sites intégrés à une frise historique (échelles non linéaires).....	263
Figure 212. Diagnostic de Marquion et emprises de fouilles.	269
Figure 213. Marquion - Structures fossoyées de l'Âge du Bronze.....	270
Figure 214. Marquion - Les structures de la période protohistorique.	271
Figure 215. Marquion - Structures de la Tène Finale / époque augustéenne.....	272
Figure 216. Marquion - Structures de la fin de la Tène Finale et non datées sur un fond satellite de 2019 (Google Earth). Une anomalie hydrographique dévoile le cours de l'ancien talweg.	273
Figure 217. Marquion - Mise en évidence des différentes orientations des structures du site de chaque côté du talweg (Fond de carte satellite Google Earth).....	274
Figure 218. Marquion - Système fossoyé daté de la fin de La Tène Finale et de la période augustéenne traversant le fond du talweg.....	275
Figure 219. Marquion - <i>Villa</i> à toutes périodes.	276
Figure 220. Marquion - Les structures de la Tène Finale à la période augustéenne.	277
Figure 221. Marquion - Les structures datées de la fin de la Tène au Gallo-romain précoce.....	278
Figure 222. Marquion – structures de la transition entre la Tène Finale et la période augustéenne superposées à des grilles de maillage un actus et selon l'orientation des systèmes fossoyés dominants (Grille verte = 70°E et grille bleue = 25°E. Le long tracé bleu correspond au paléochenal.	279
Figure 223. Marquion - Du milieu du I ^{er} siècle ap. J.-C. au début du II ^e siècle ap. J.-C.	280
Figure 224. Marquion – Les structures associées à la villa et datées du Haut-Empire.....	281
Figure 225. Marquion - Réaménagements effectués entre le milieu du I ^{er} siècle ap. J.-C. et le début du II ^e siècle ap. J.-C.	282
Figure 226. Marquion - Les nouveaux bâtiments installés au Bas-Empire après remblaiement de l'ancienne villa.....	283
Figure 227. Bourlon - Toutes périodes confondues.....	284
Figure 228. Bourlon - Le chemin en cavée associé aux structures linéaires. La nécropole se concentre autour et sur les fossés gallo-romains.	285
Figure 229. Bourlon dans le contexte antique du sud de Marquion.	286

Figure 230. Sauchy-Lestrée - Emprise nord matérialisée par un fossé circulaire de l'Âge du Bronze et par un parcellaire gaulois plus au sud.....	288
Figure 231. Sauchy-Lestrée - L'emprise sud du diagnostic. Du nord vers le sud se développe un réseau fossoyé allant du plus ancien au plus récent.	289
Figure 232. Sauchy-Lestrée - Prolongements des fossés datés de la période protohistorique et les mesures prises entre chacun d'eux.	290
Figure 233. Sauchy-Lestrée - Structures de la section 6. Un supposé enclos de la Tène Finale a pu être décelé.....	291
Figure 234. Sauchy-Lestrée - Le parcellaire supposé laténien voire augustéen.....	292
Figure 235. Les sites d'Haynecourt dans leur contexte géographique. On remarque la proximité avec le site de Marquion visible partiellement à l'ouest (tracés orange)....	293
Figure 236. Haynecourt - Les fossés datés de la transition entre la Tène Finale et la période augustéenne. La proposition de restitution provient du Service Départemental Archéologique du Pas-de-Calais.....	294

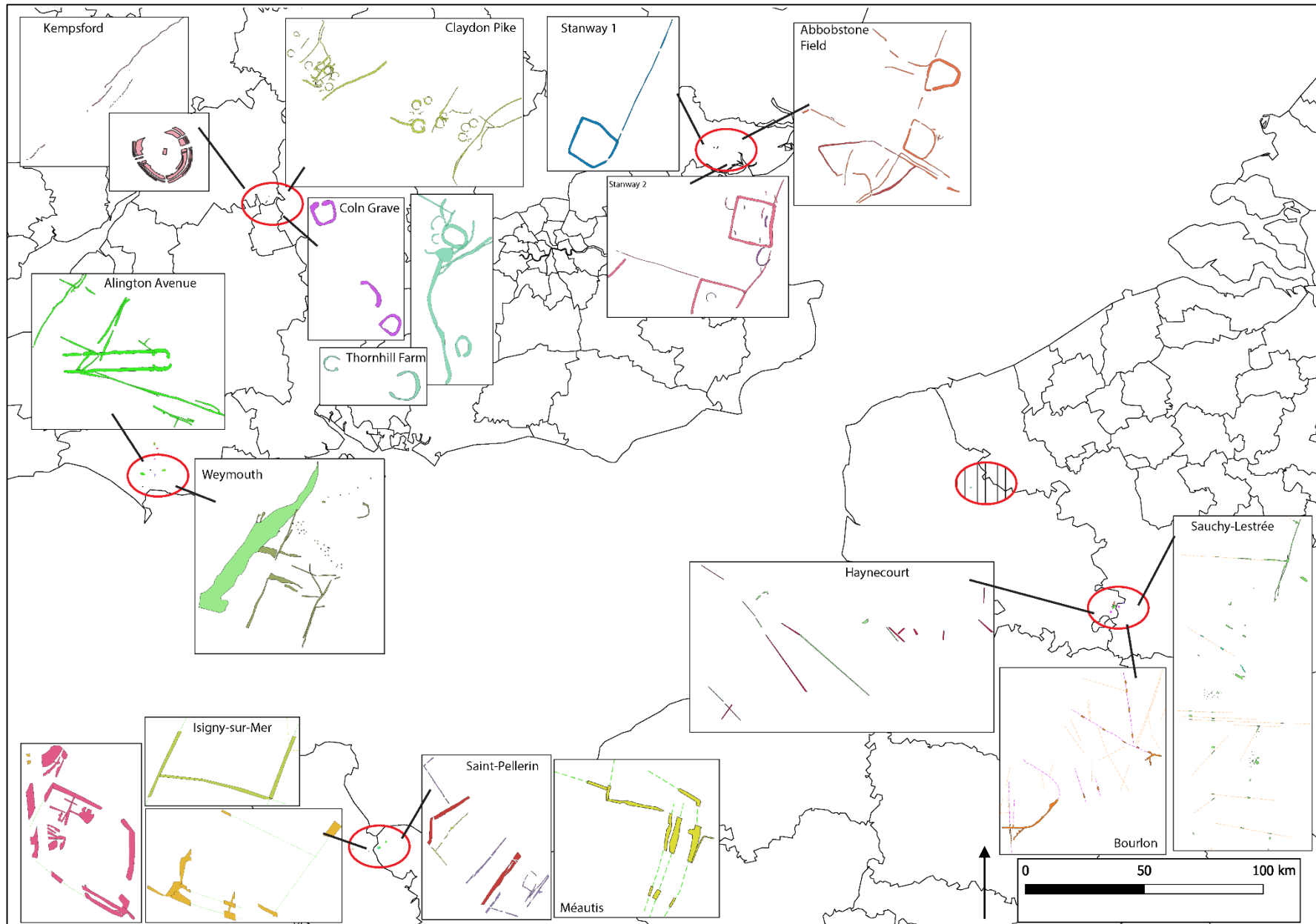
Cartes générales



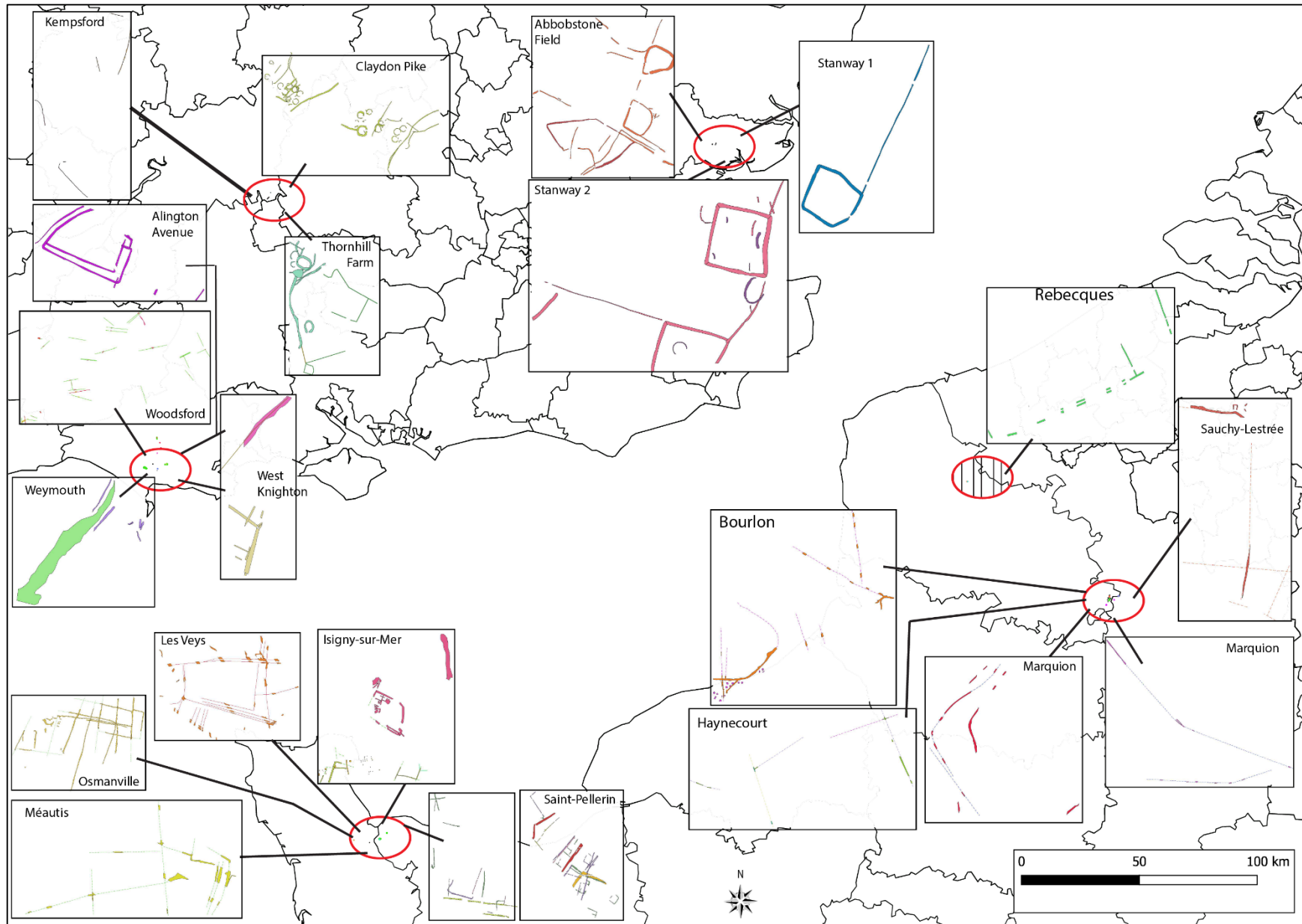
Carte 1. Répartition des zones étudiées.



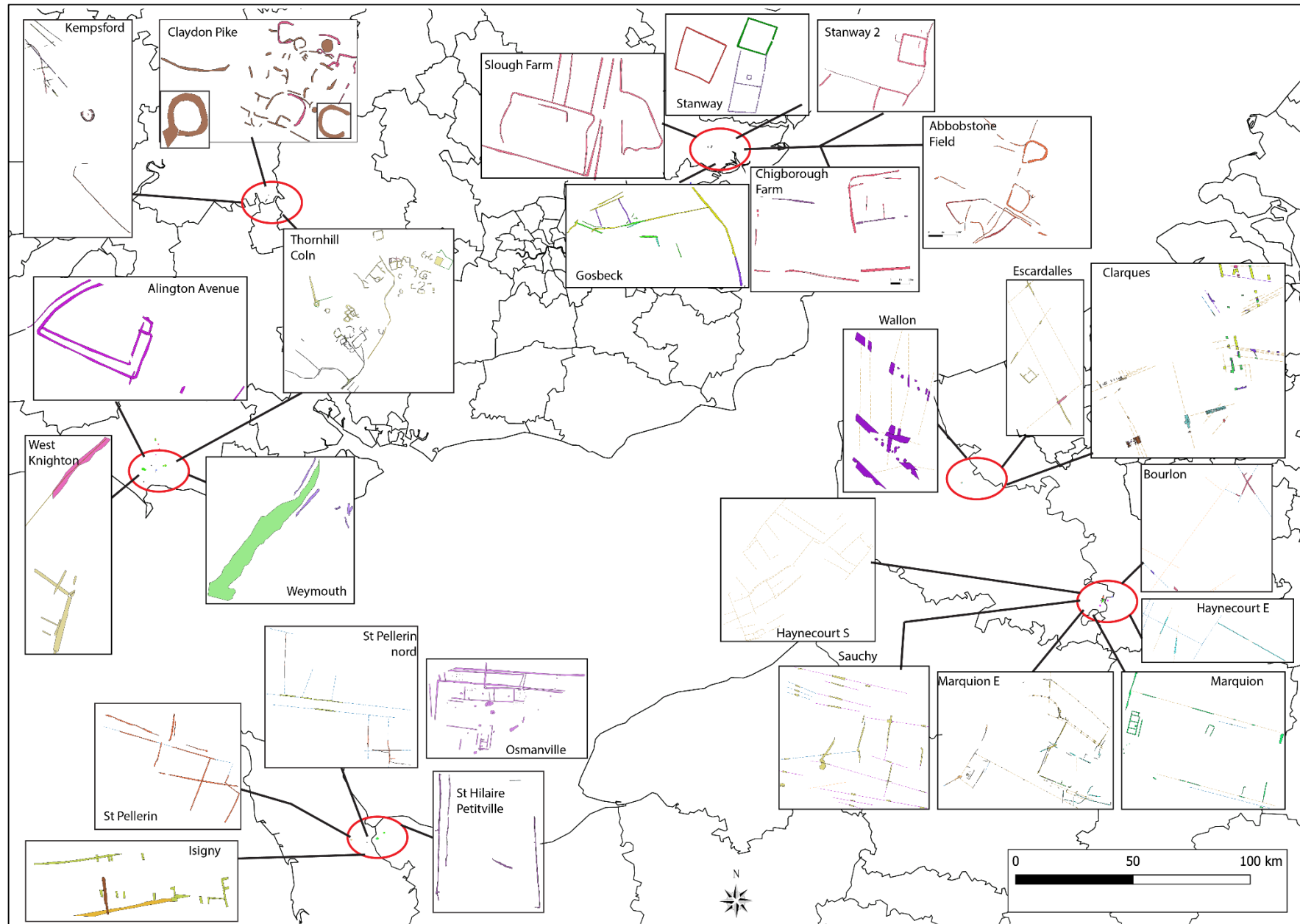
Carte 2. Répartition des structures fossées de l'Âge du Bronze.



Carte 3. Les structures fossoyées de l'Âge du Fer.



Carte 4. Structures fossoyées entre 100 et 25 av. J.-C.

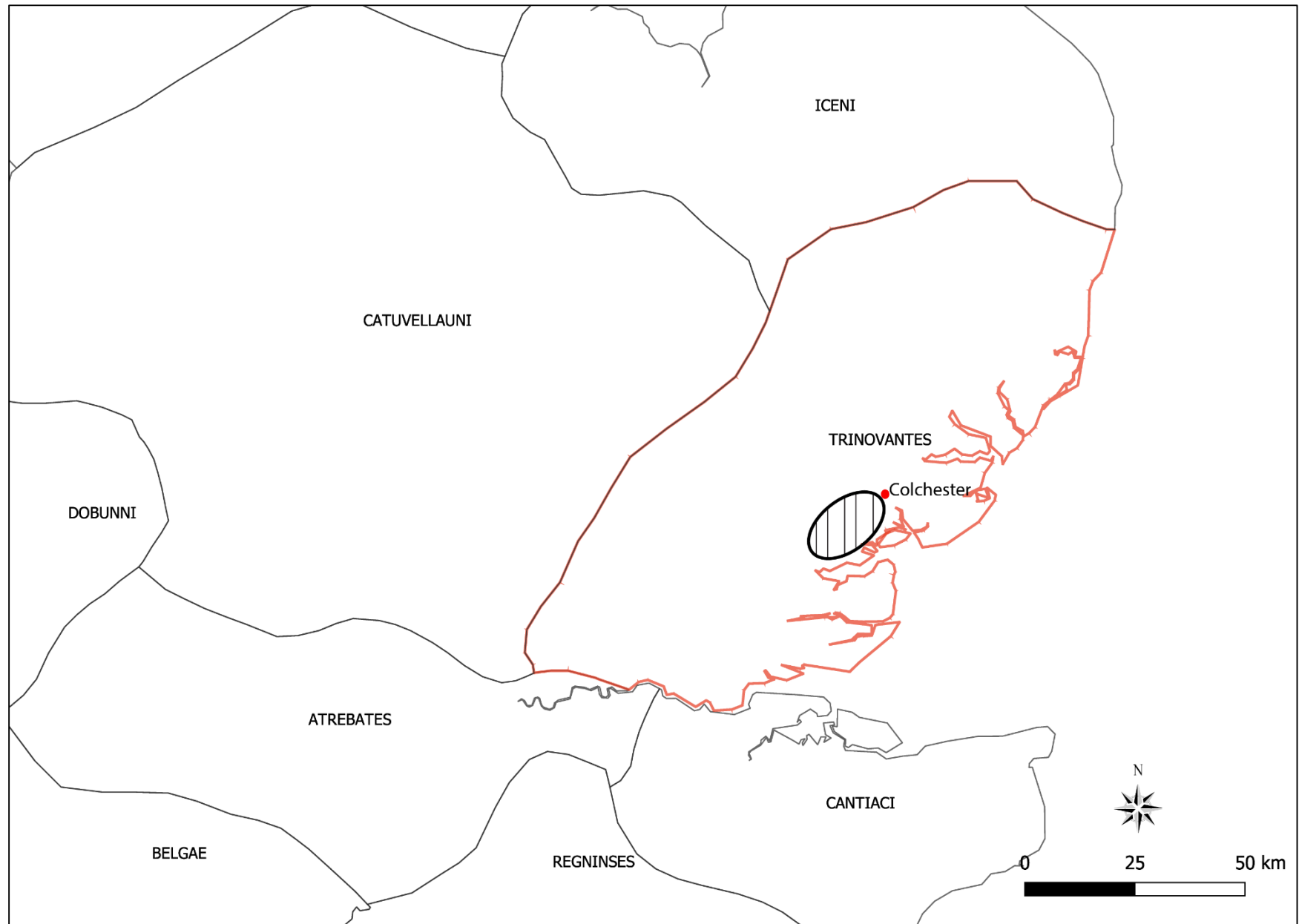


Carte 5. Les structures fossoyées de la période augustéenne à la période claudienne.

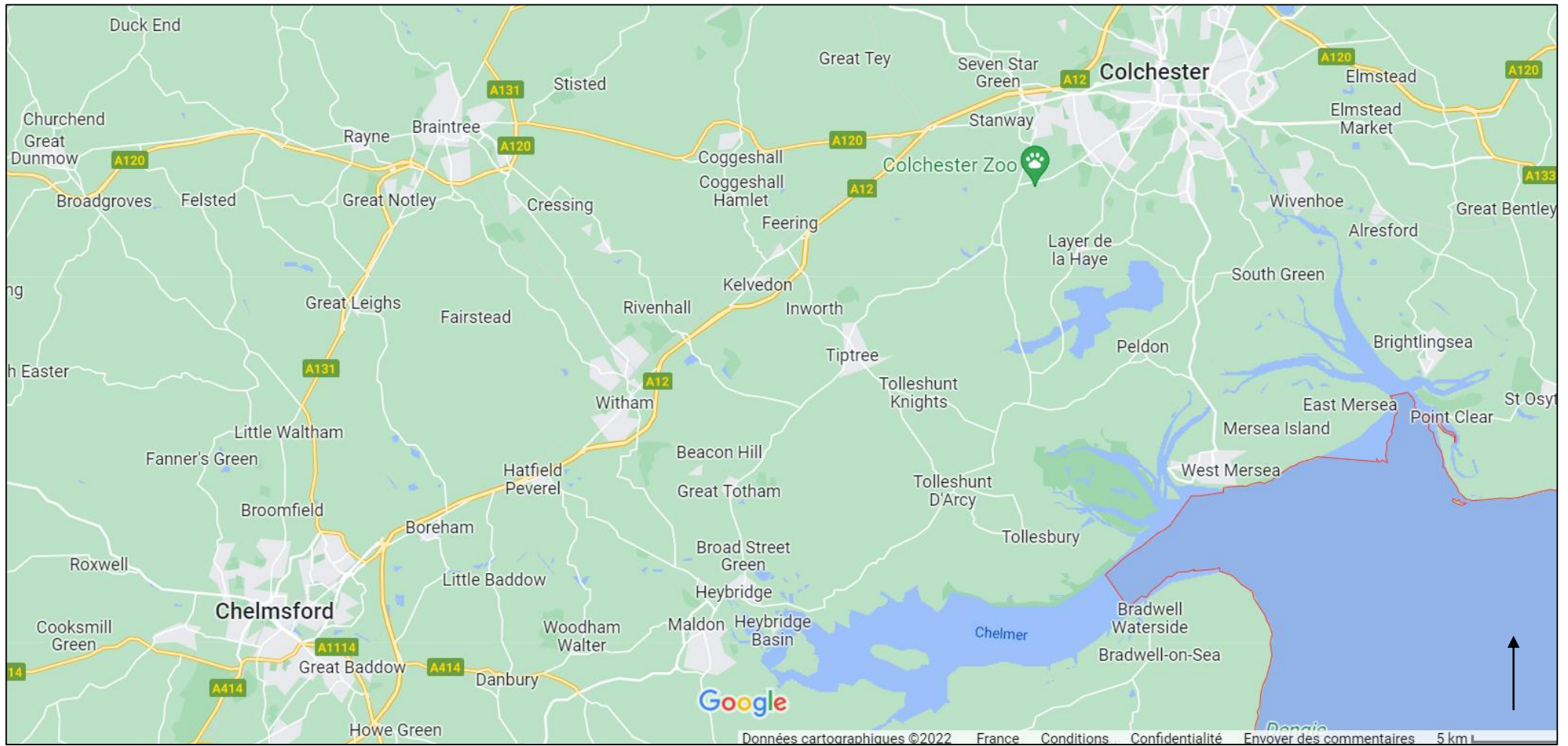
L'Essex

Le sud-ouest de

Colchester

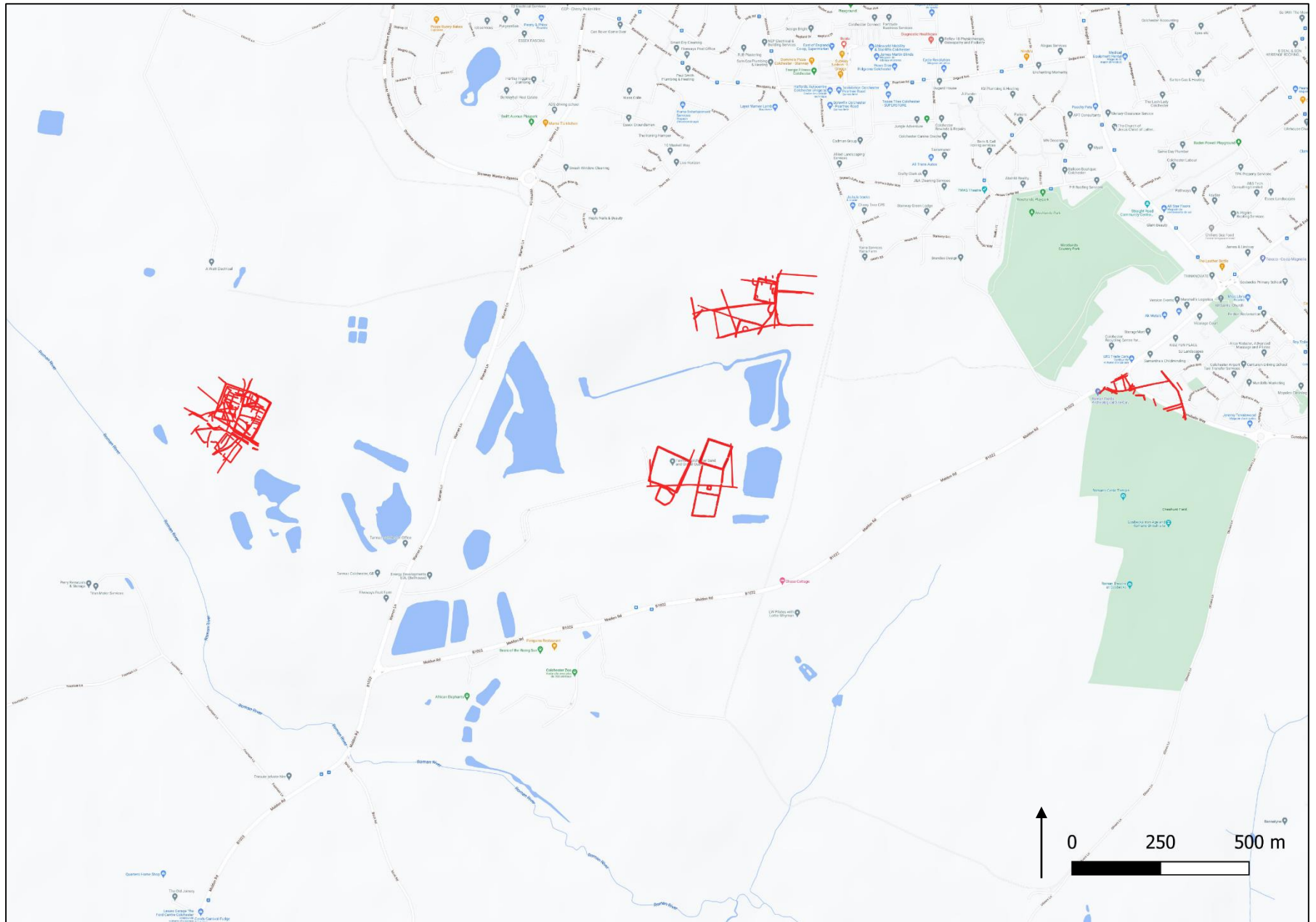


Carte 6. Le territoire trinovante.

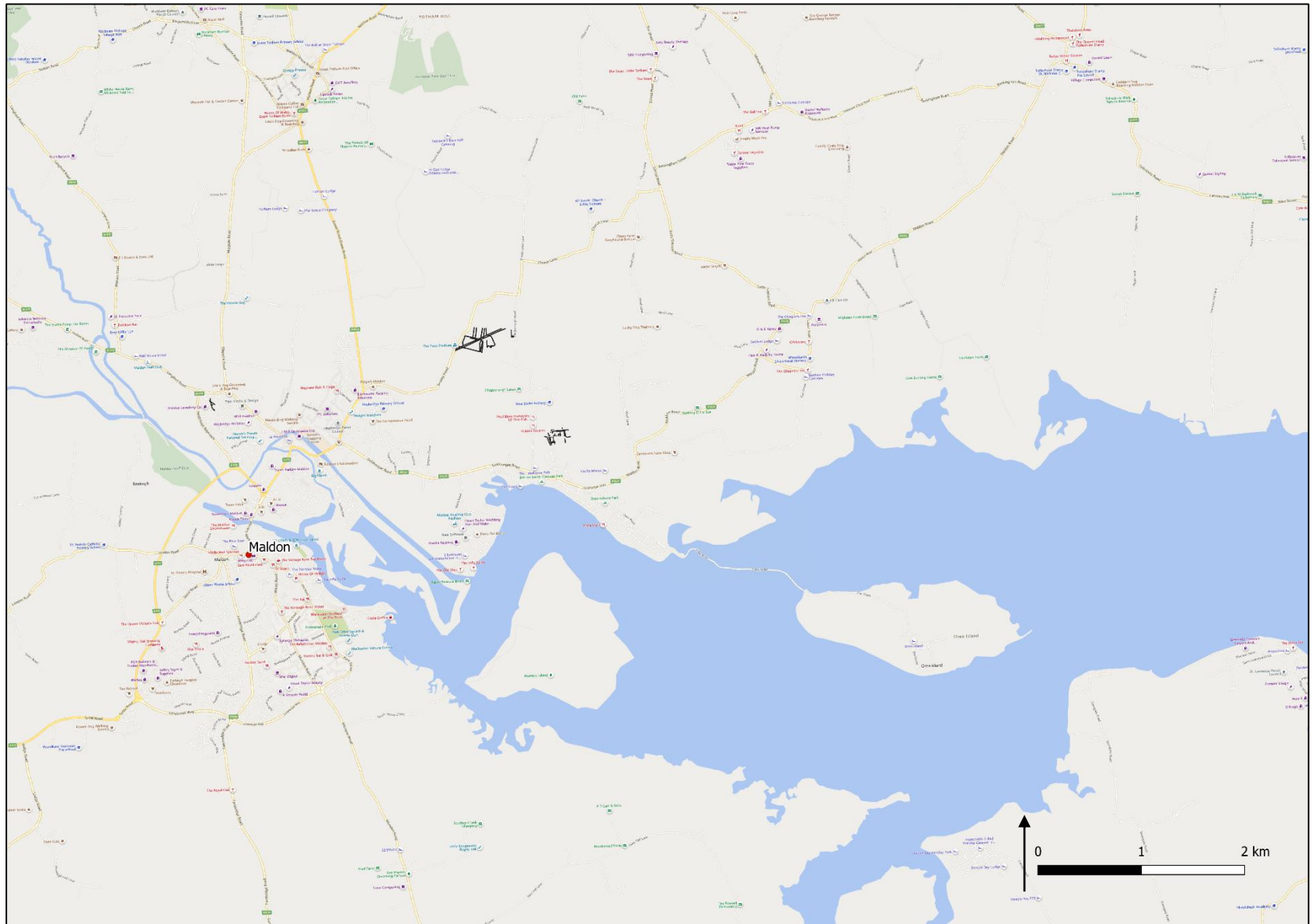


Carte 7. Carte générale du secteur d'étude de l'Essex (Google Maps).

Carte 8. Stanway 1 et 2, Abbobstone Field et Gosbeck dans leur contexte géographique.

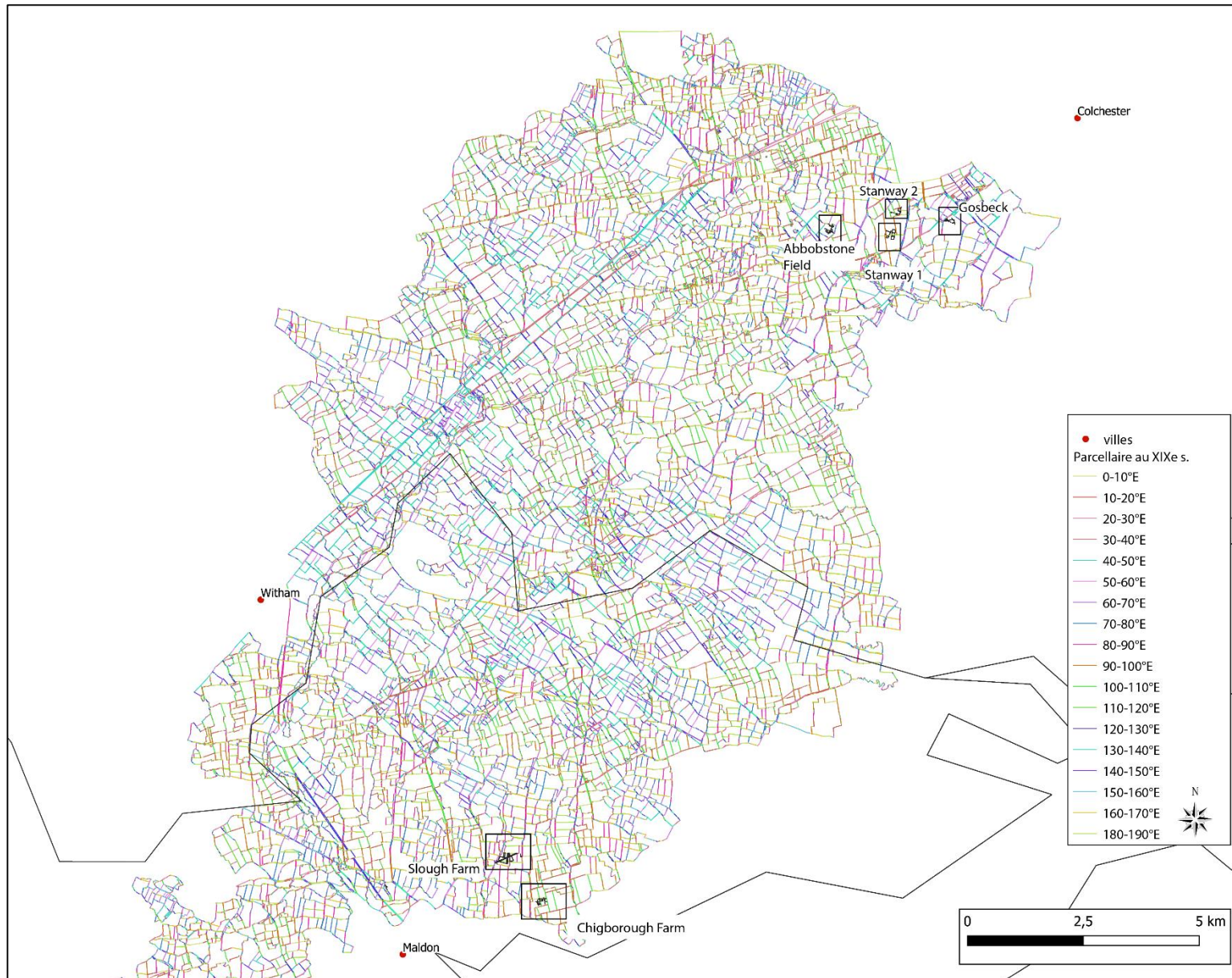


Carte 9. Chigborough Farm et Slough Farm dans leur contexte géographique. (Open Street Map)

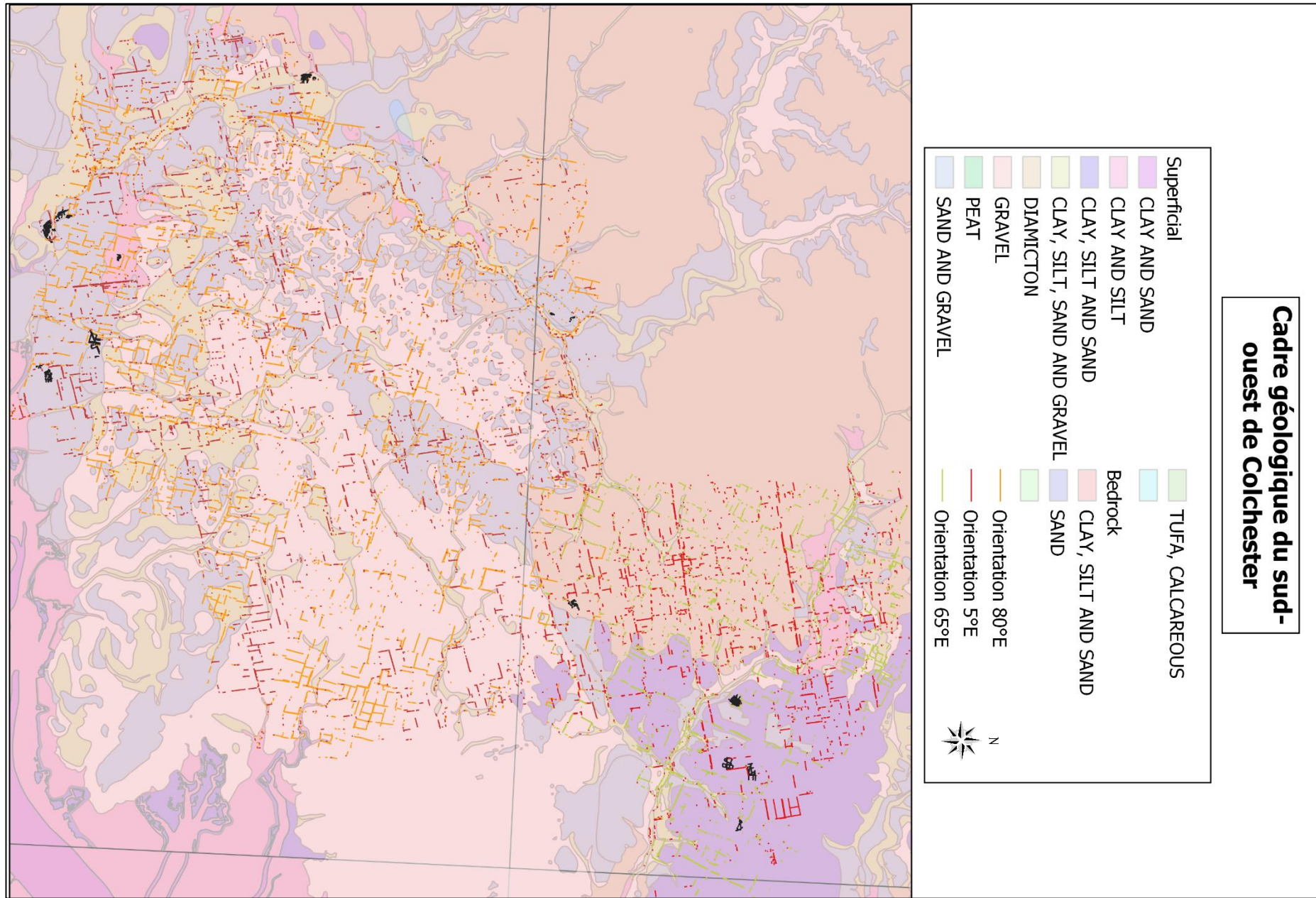




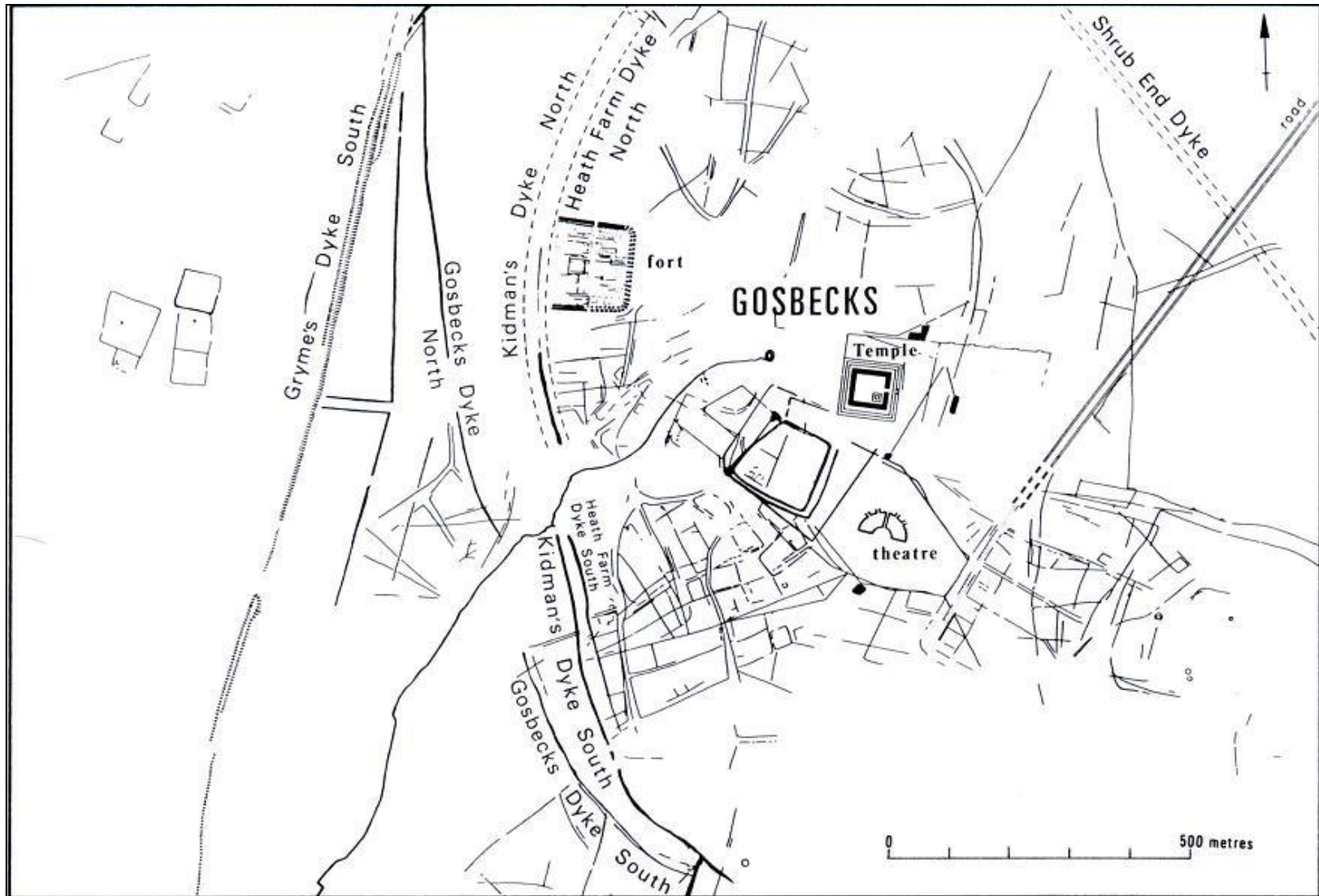
Carte 10. Environnement général de la zone étudiée sur image satellite Google.



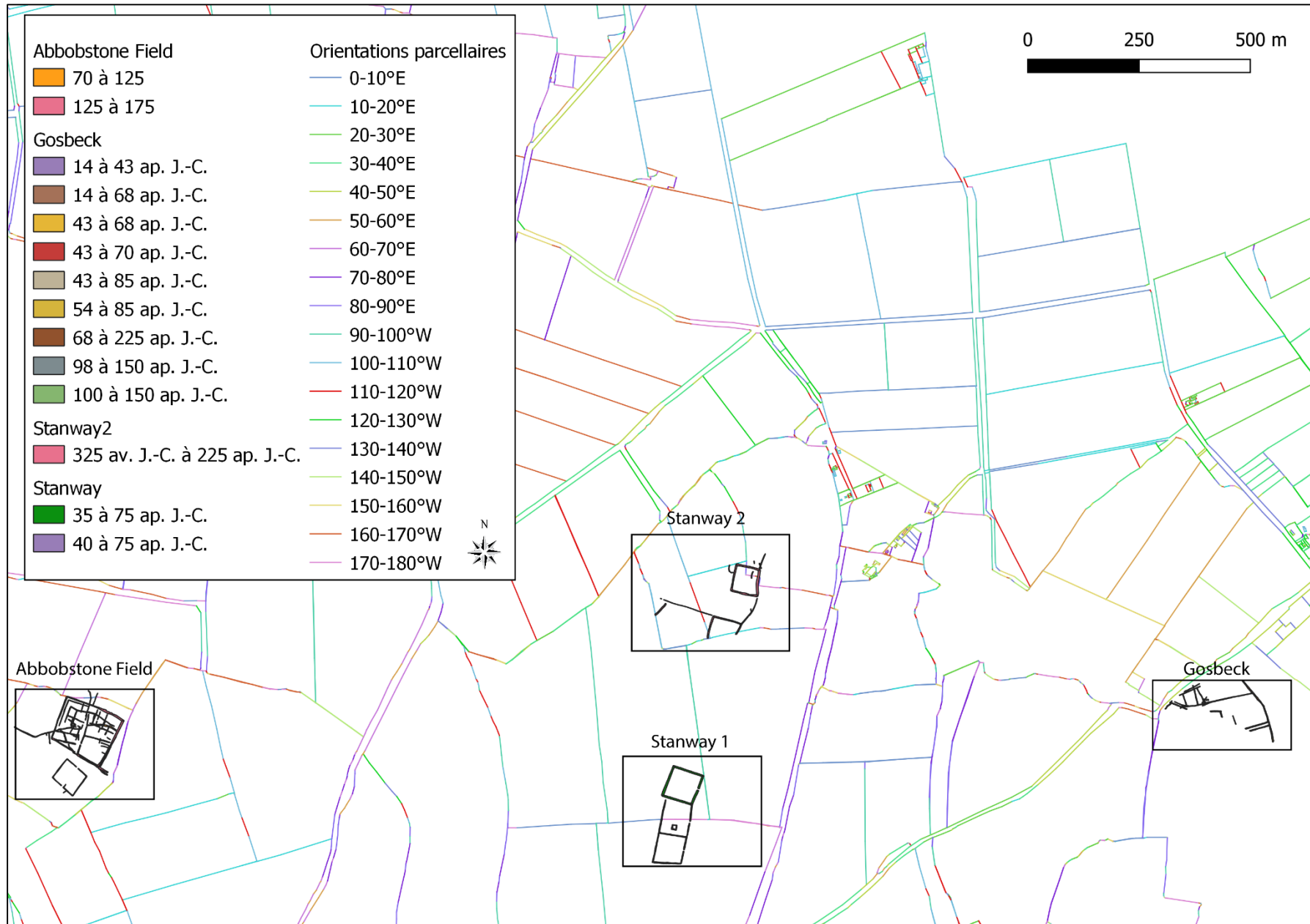
Carte 11. Zone d'étude à l'ouest de Colchester.



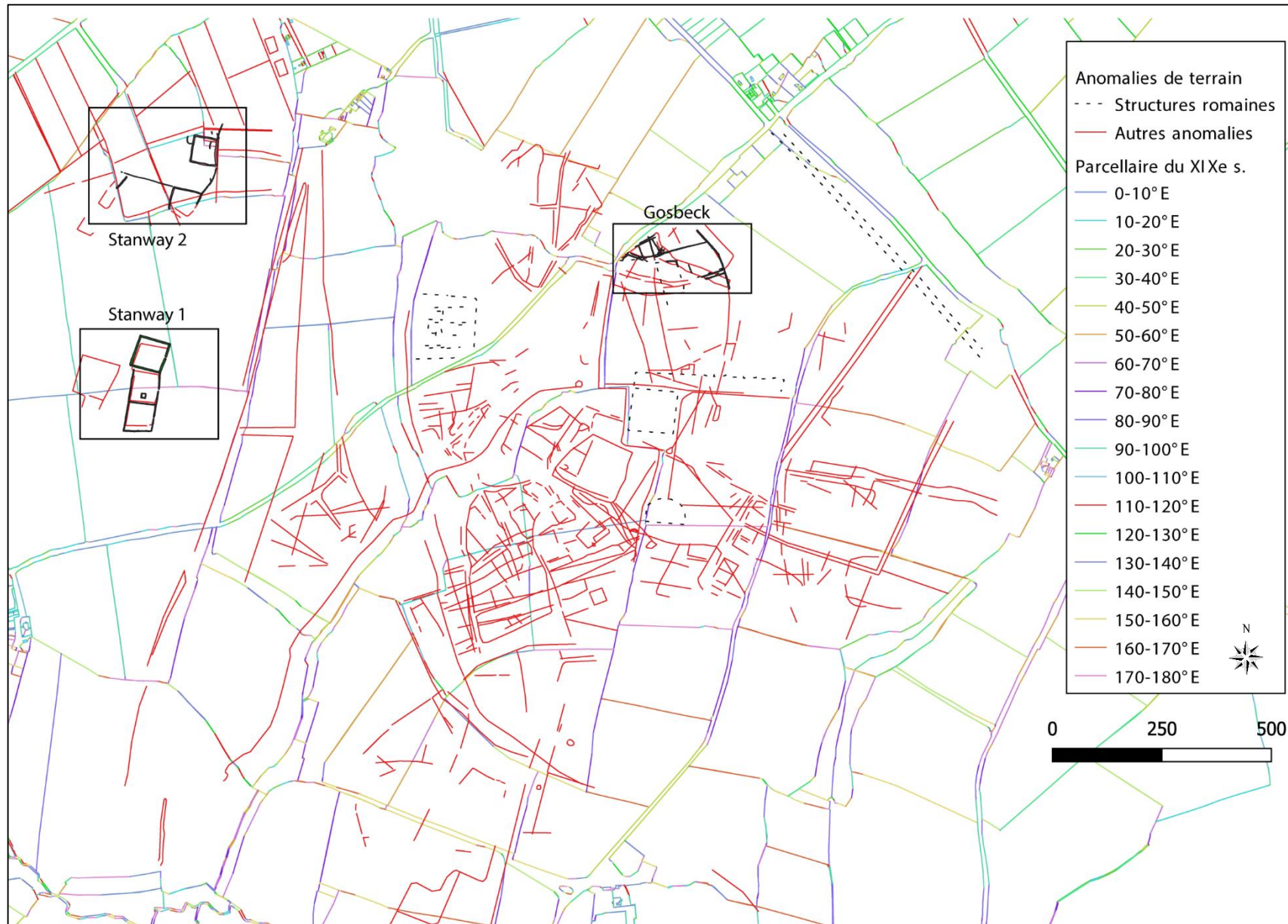
Carte 12. Cadre géologique de la zone d'étude.



Carte 13. Traces archéologiques repérées en prospections et en fouilles. (Colchester Archaeological Trust. <https://www.thecolchesterarchaeologist.co.uk/?p=14967>)



Carte 14. Zone est de l'étude à proximité de Colchester.



Carte 15. Anomalies de terrain associées aux sites étudiés et intégrées au parcellaire du XIX^e s.

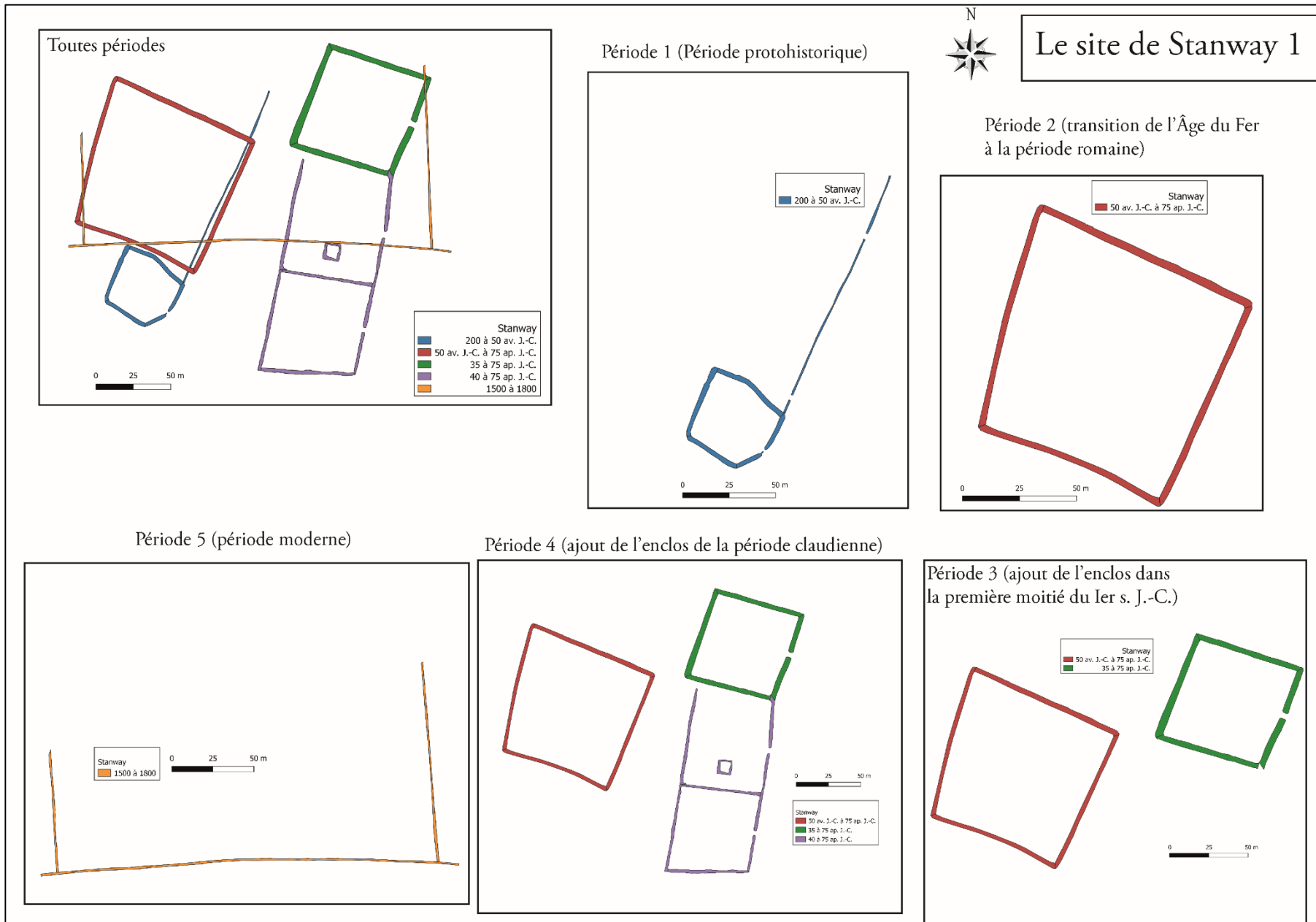
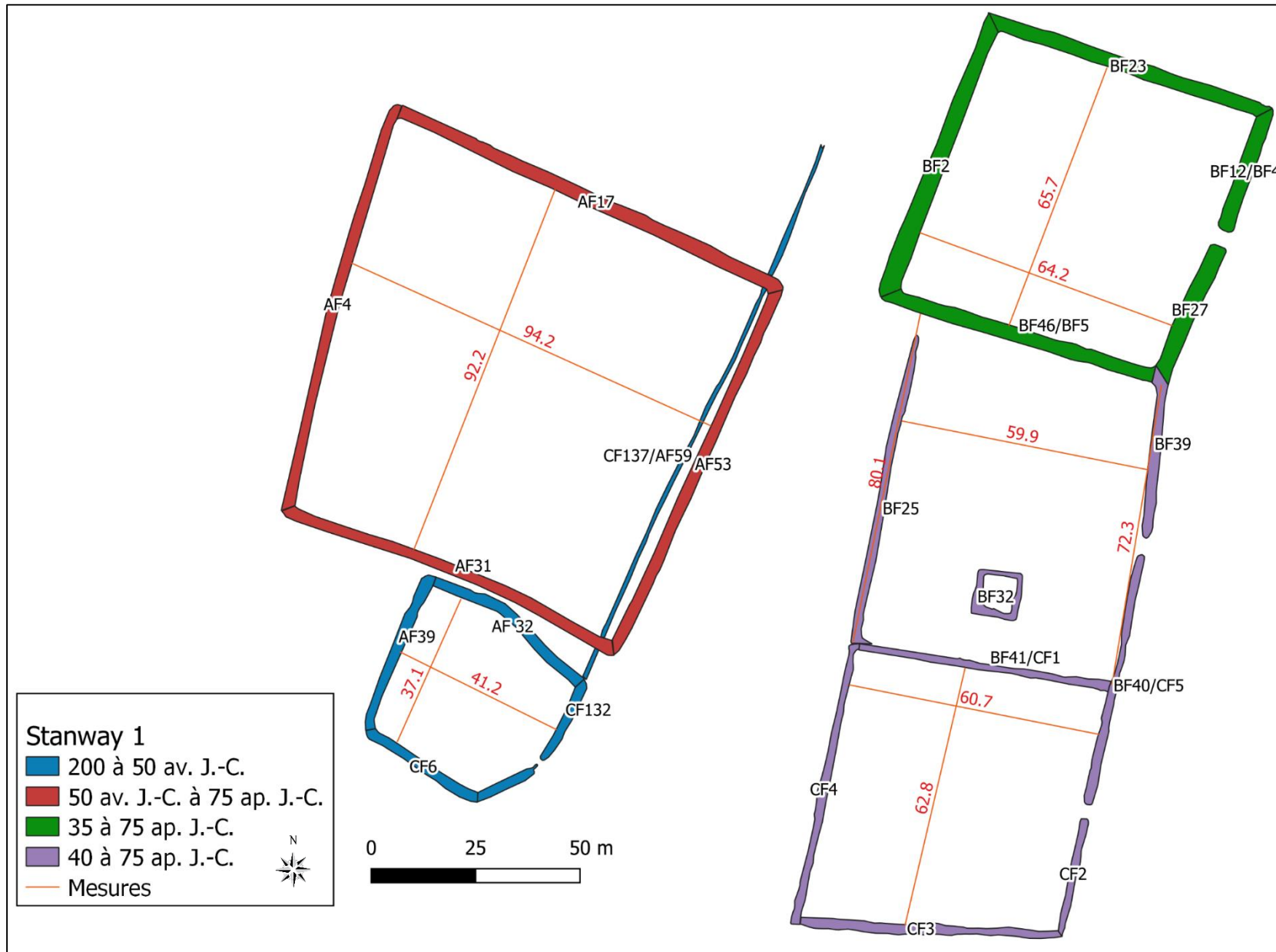


Figure 1. Phasage du site de Stanway 1.



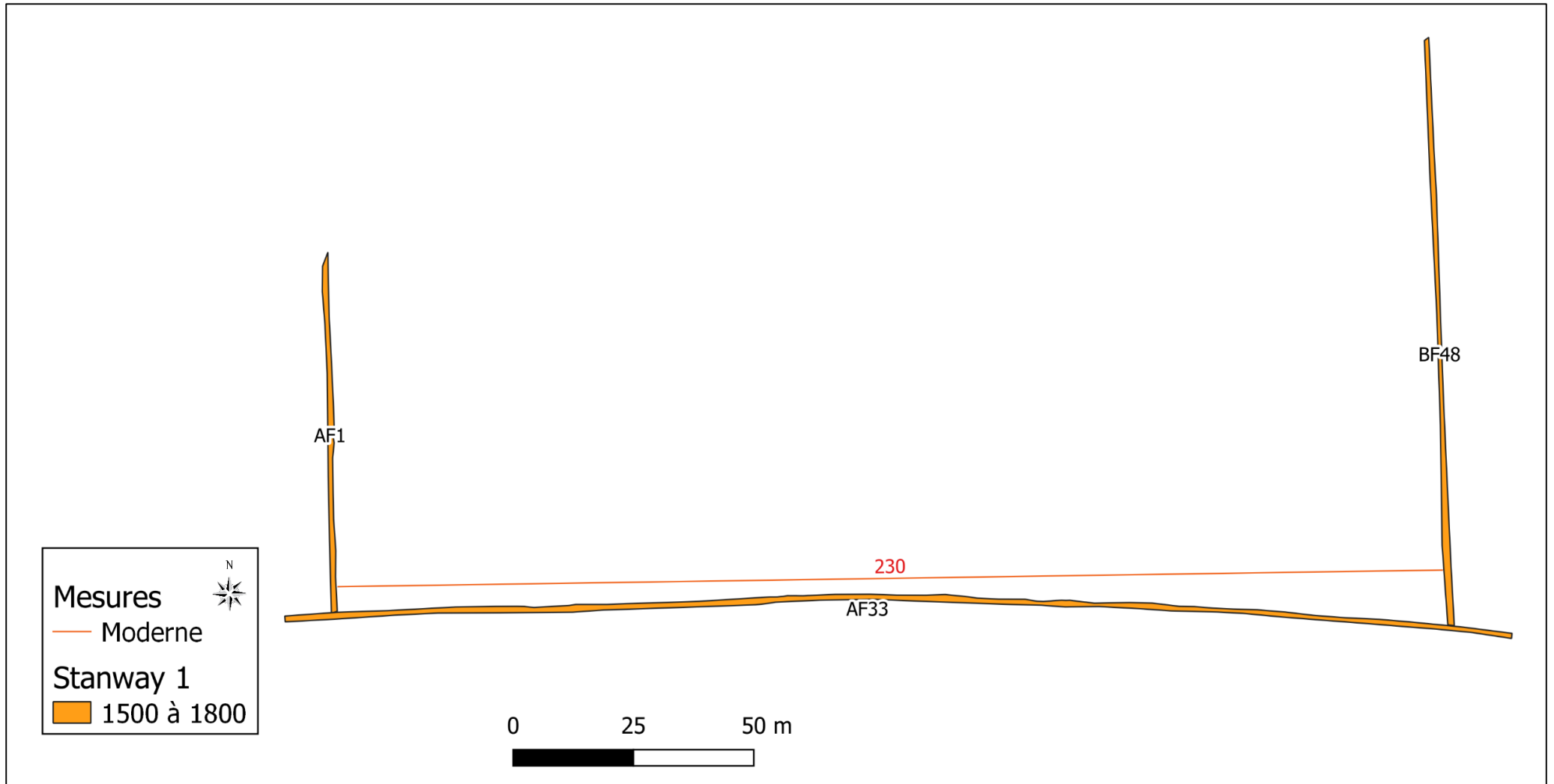


Figure 3. Stanway 1 - Numéros de structures et mesures de la période moderne.

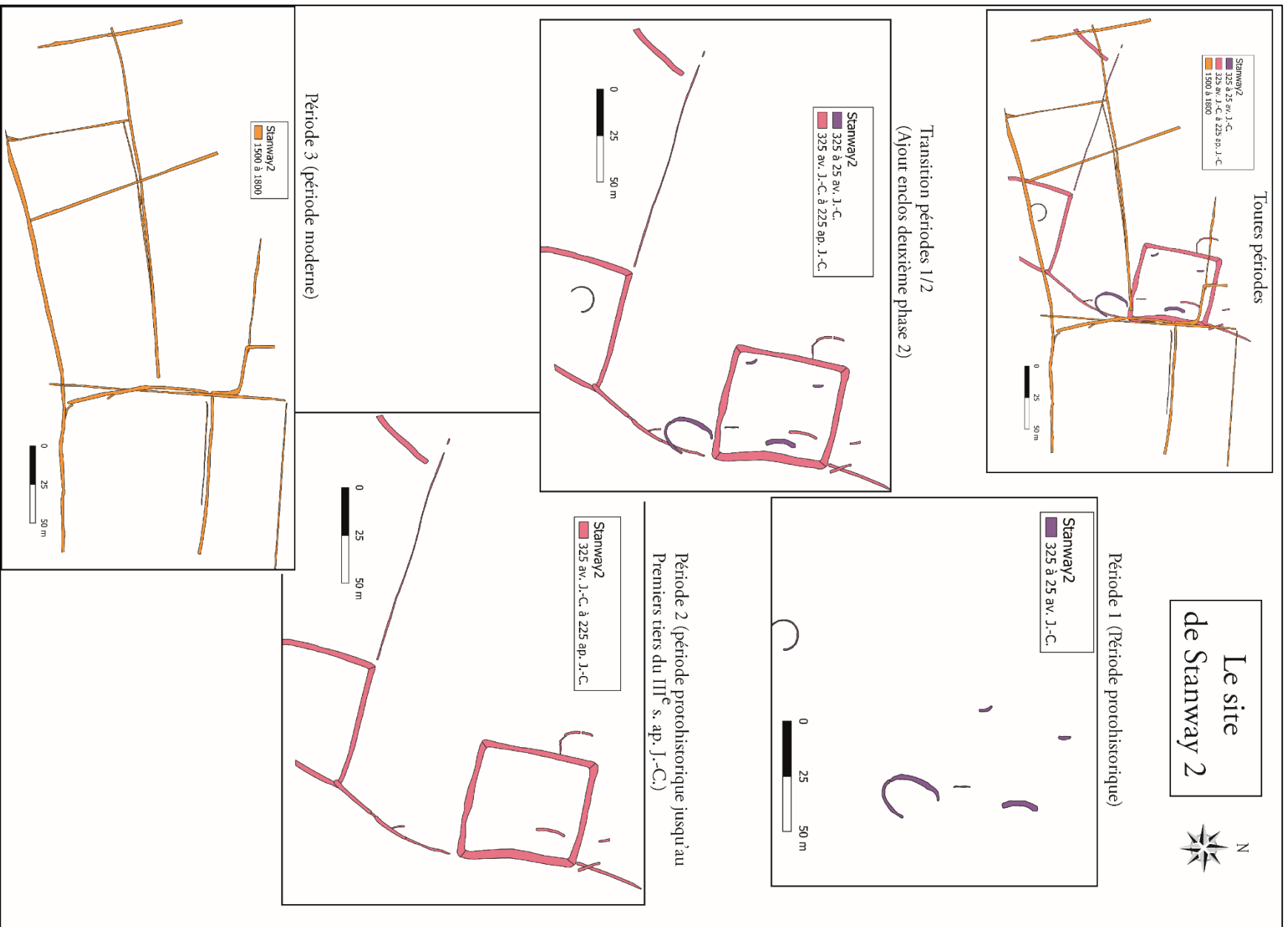


Figure 4. Phasage du site de Stanway 2.

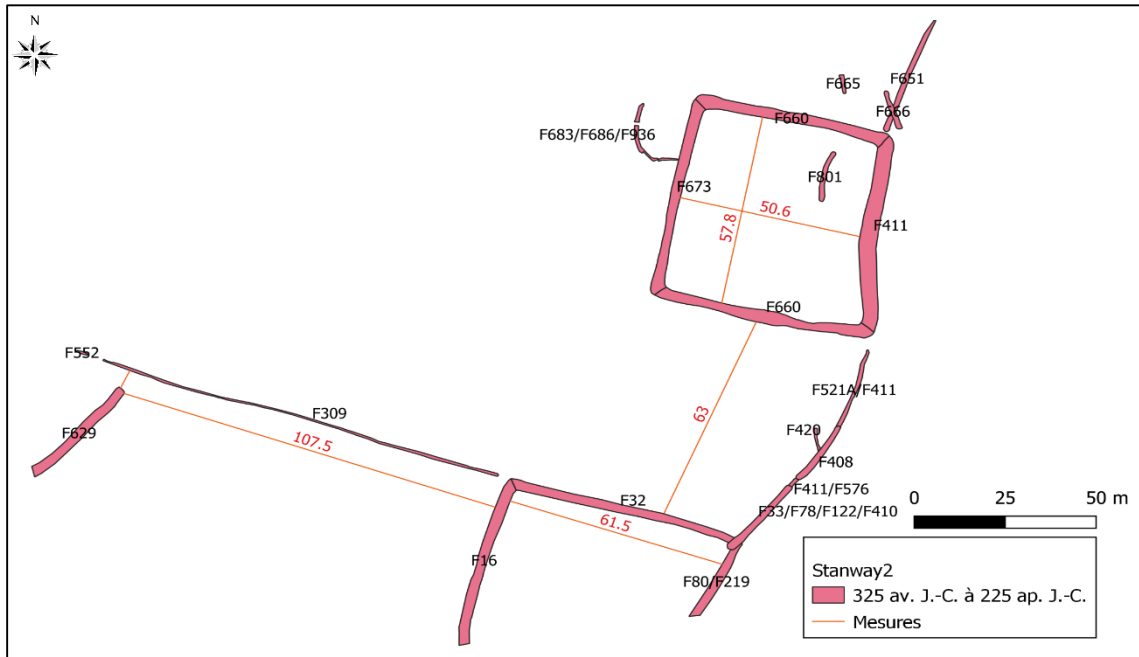


Figure 5. Stanway 2 - Numéros de structures et mesures de la période protohistorique.

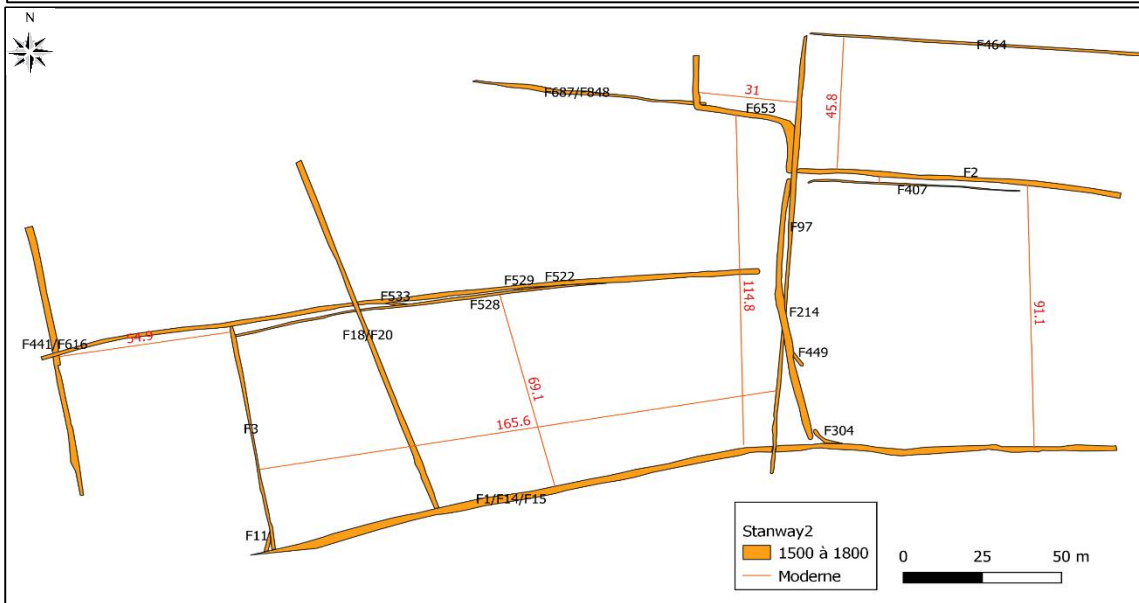
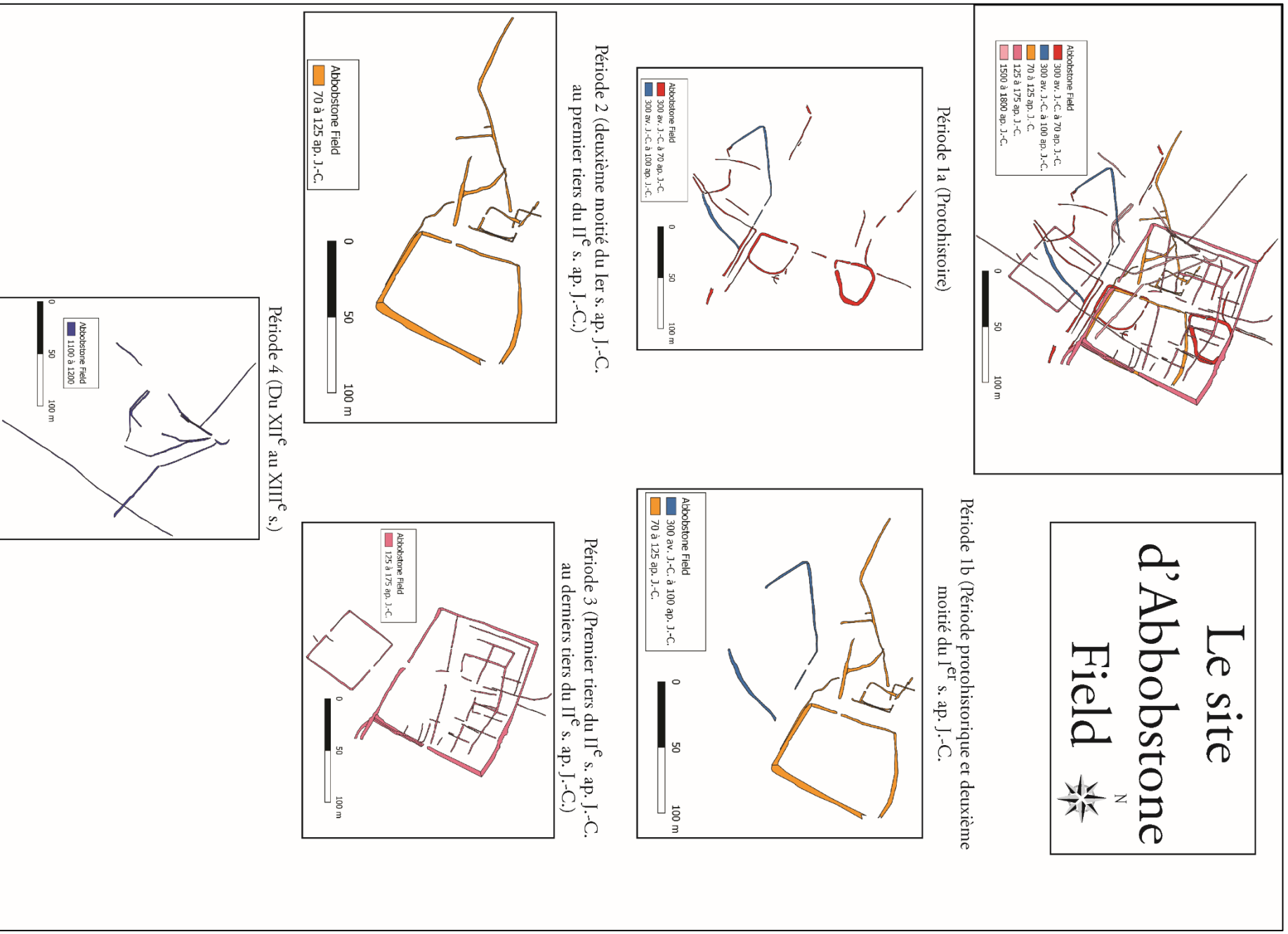


Figure 6. Stanway 2 - Numéros de structures et mesures de la période moderne.

Figure 7.
Phasage du site
d'Abbobstone
Field.



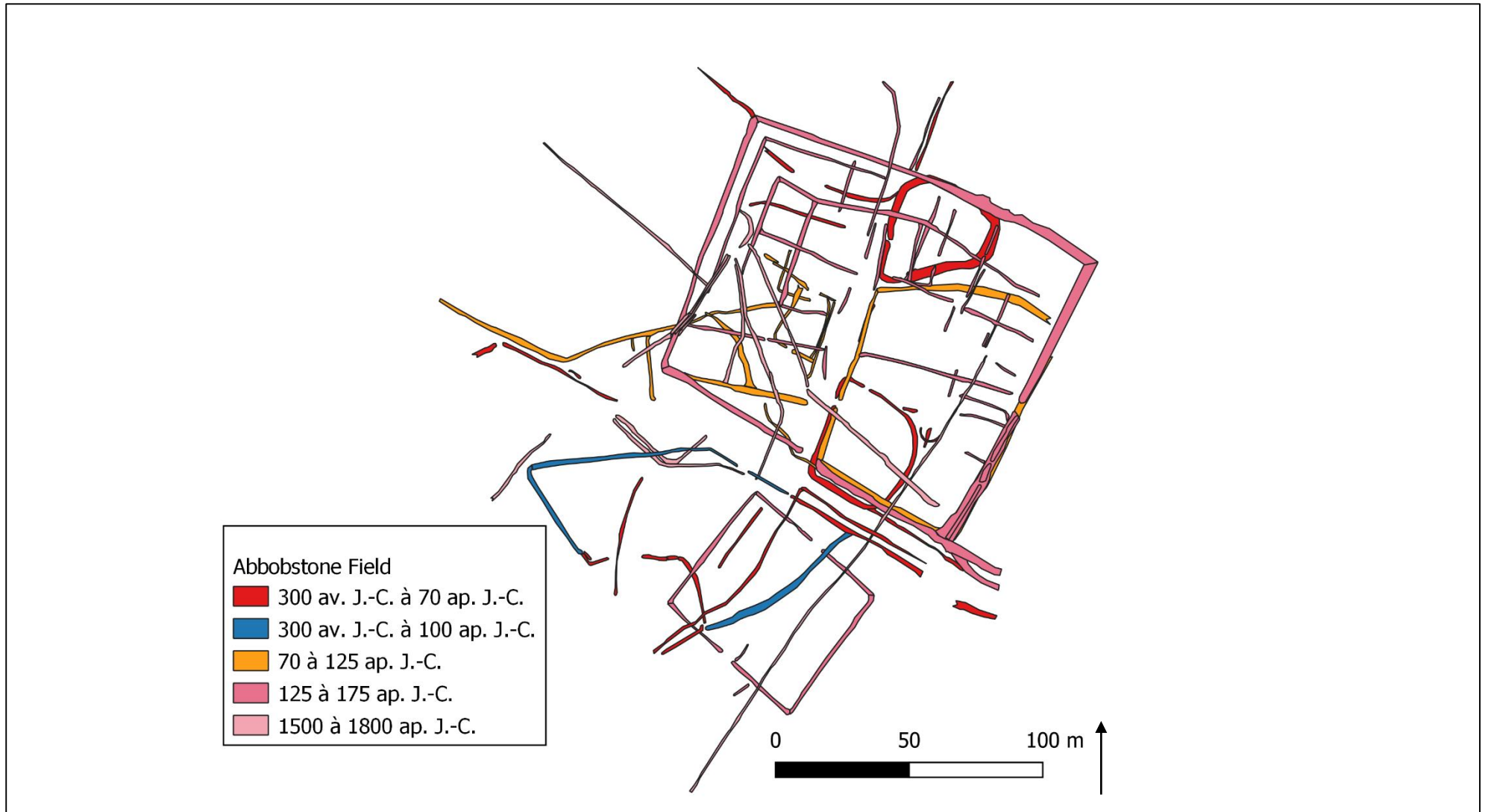
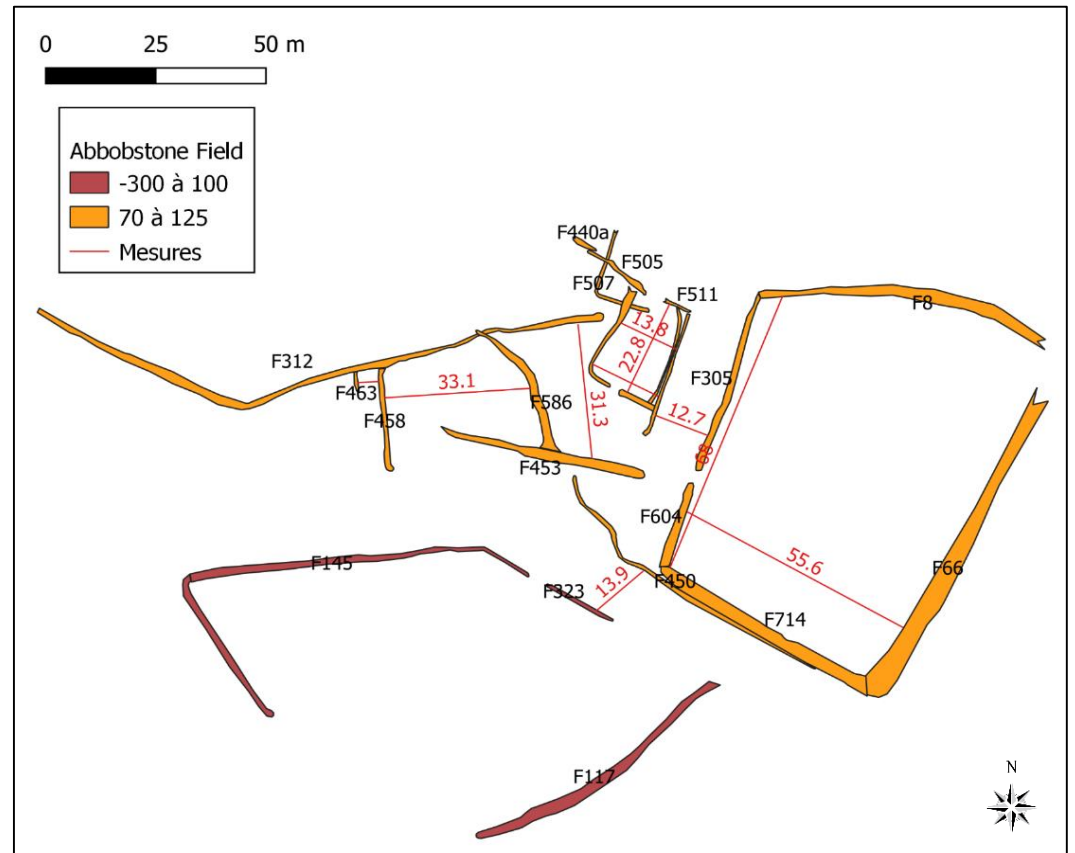
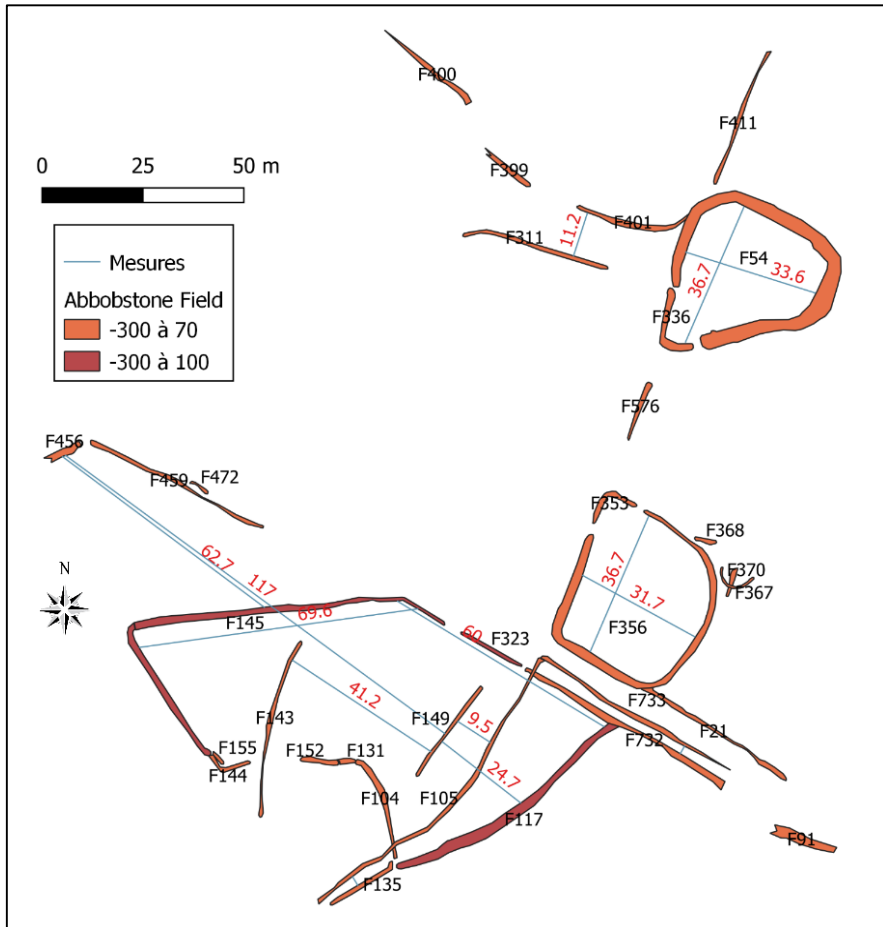


Figure 8. Abbobstone Field - Toutes périodes confondues.

Figure 9. Abbobstone Field - Numéros et mesures des structures à la période protohistorique.

Figure 10. Abbobstone Field - Numéros et mesures des structures à la période romaine (70-125 ap. J.-C.).



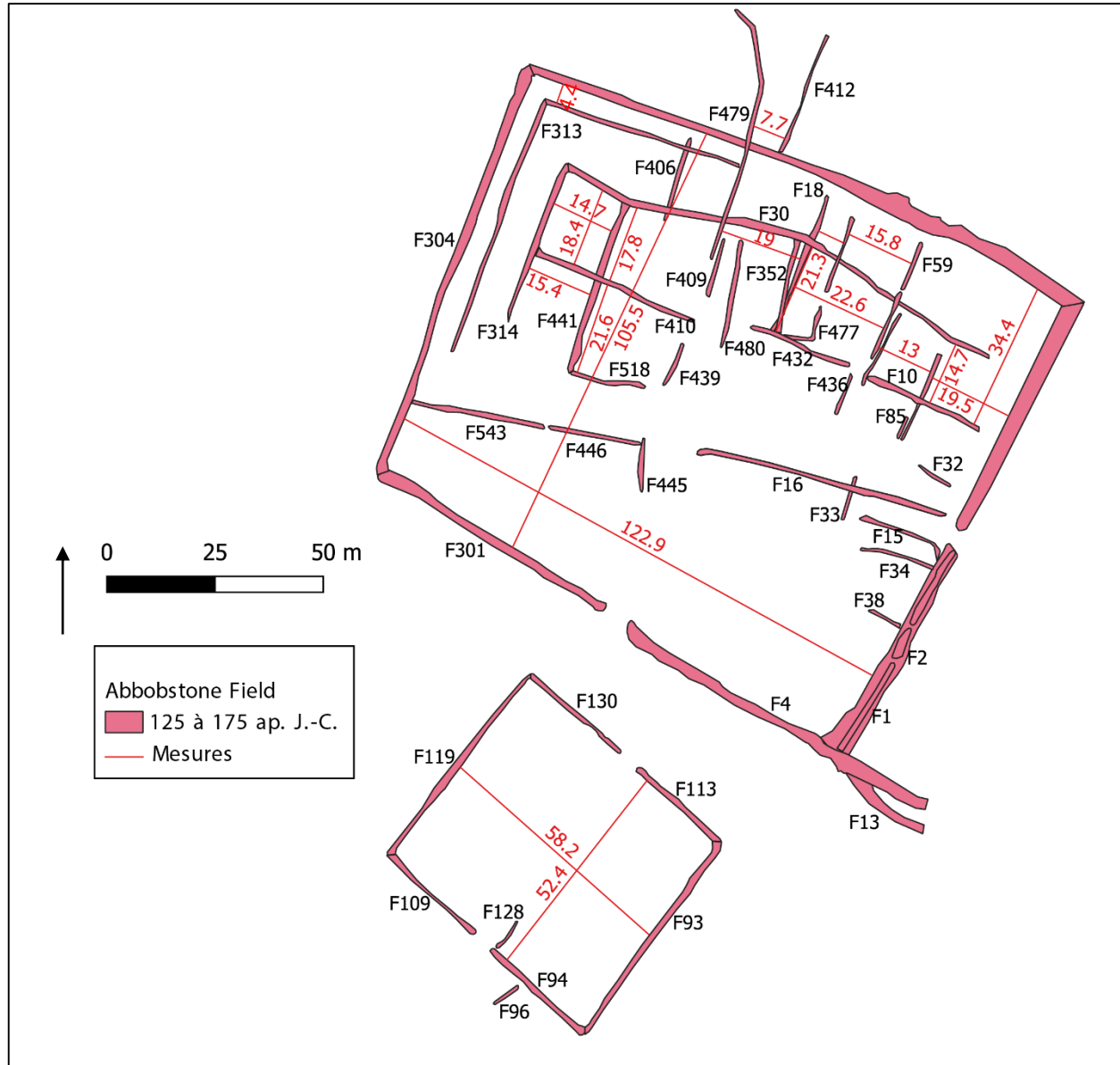
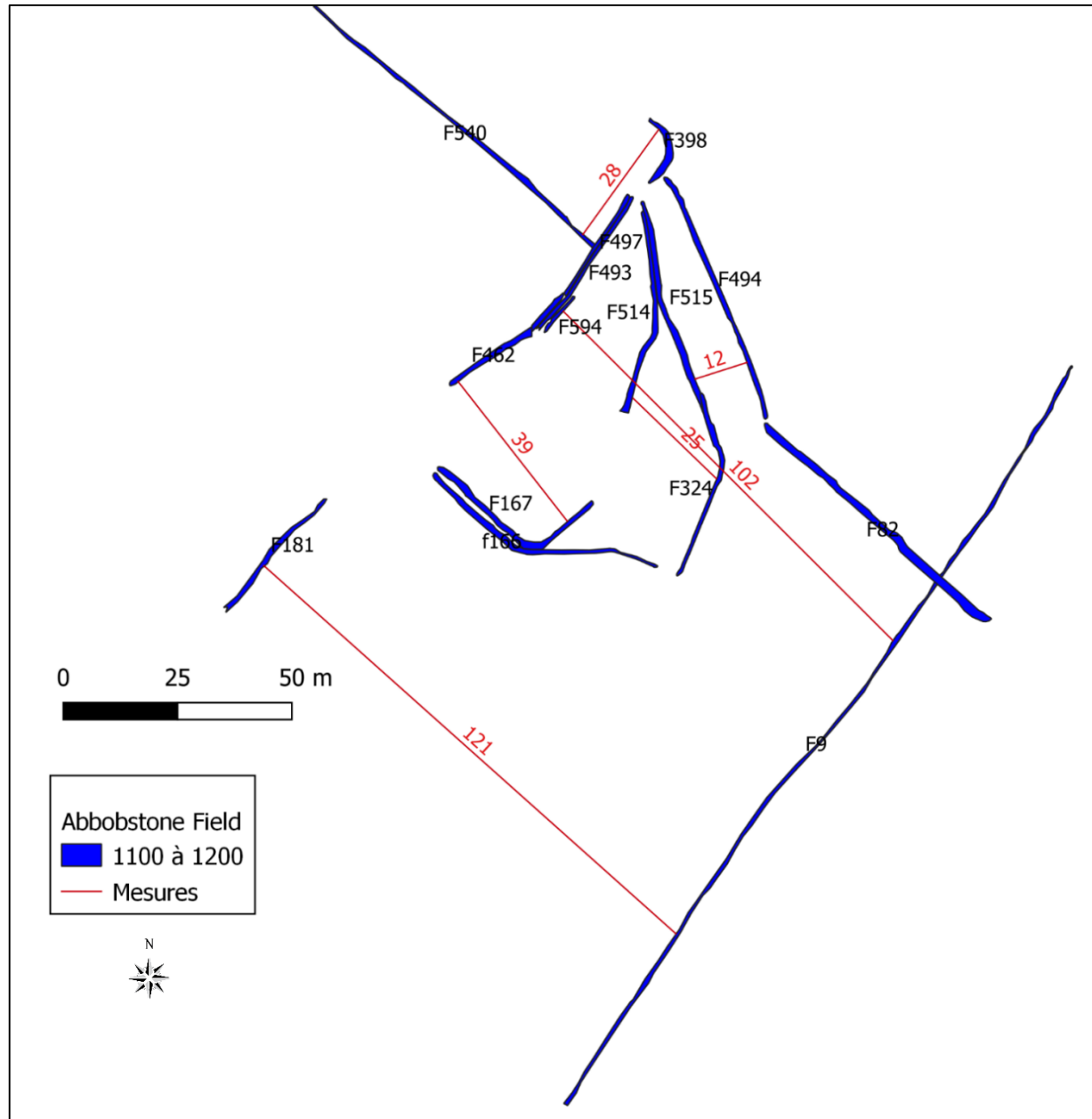
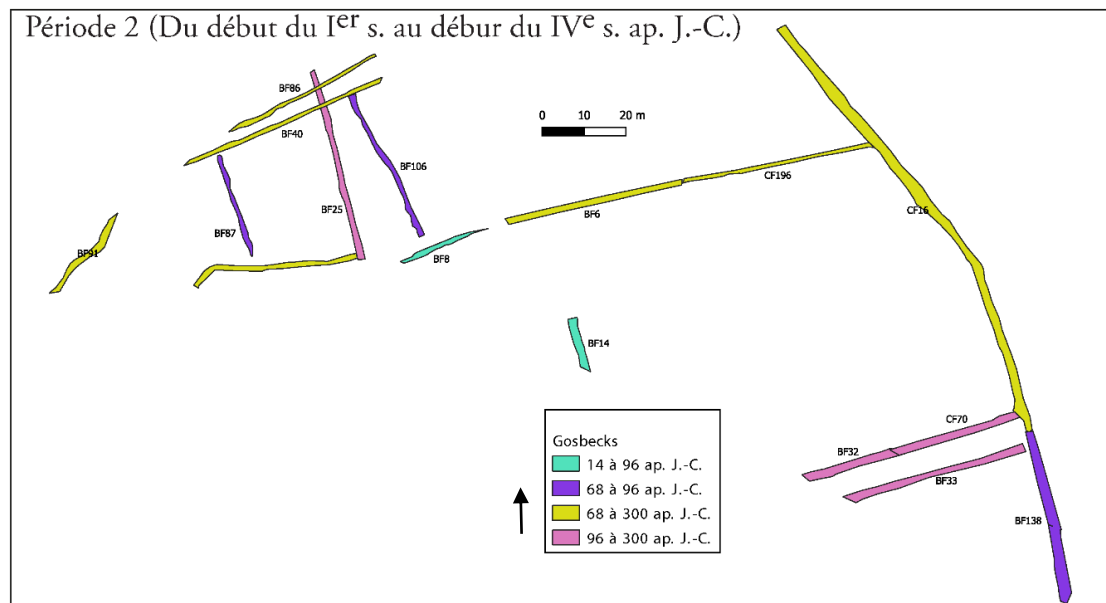
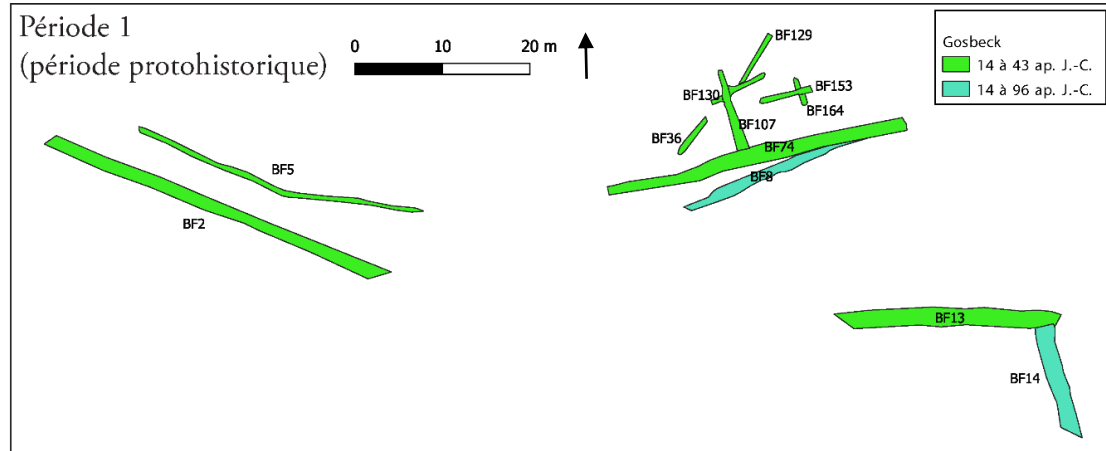


Figure 11. Abbobstone Field de 125 à 175 ap. J.-C.

Figure 12. Abbobstone Field - Numéros et mesures des structures à la période médiévale (XII^e/XIII^e siècle).





Le site
de Gosbecks

Figure 13. Phasage du site de Gosbeck.



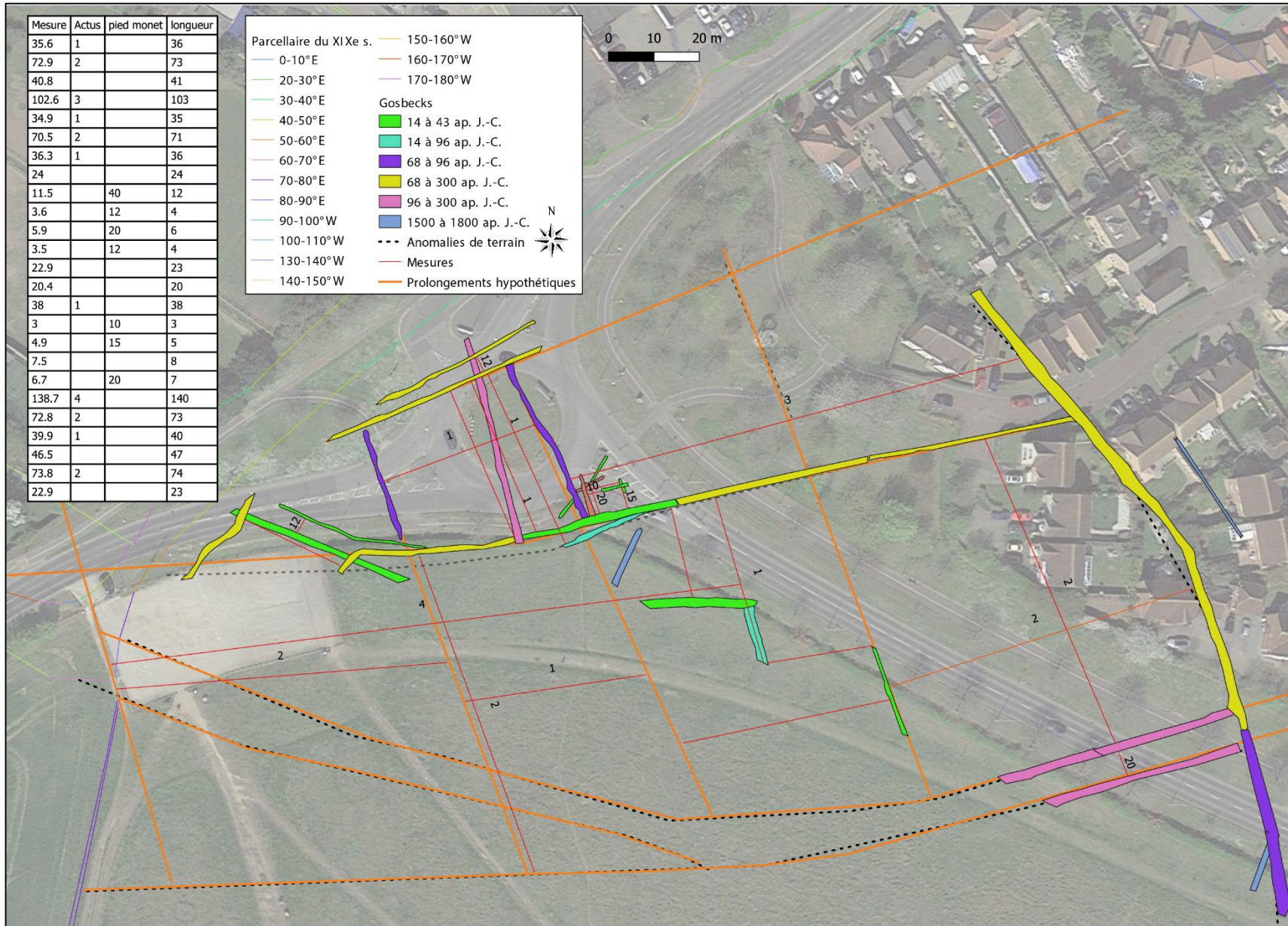


Figure 15. Gosbeck - Conversion des mesures comprenant toutes les structures alentours en actus.



Figure 16. Gosbeck - Les structures romaines datées de la conquête de Claude au plus tard intégrées à la grille de 710 m de côté.

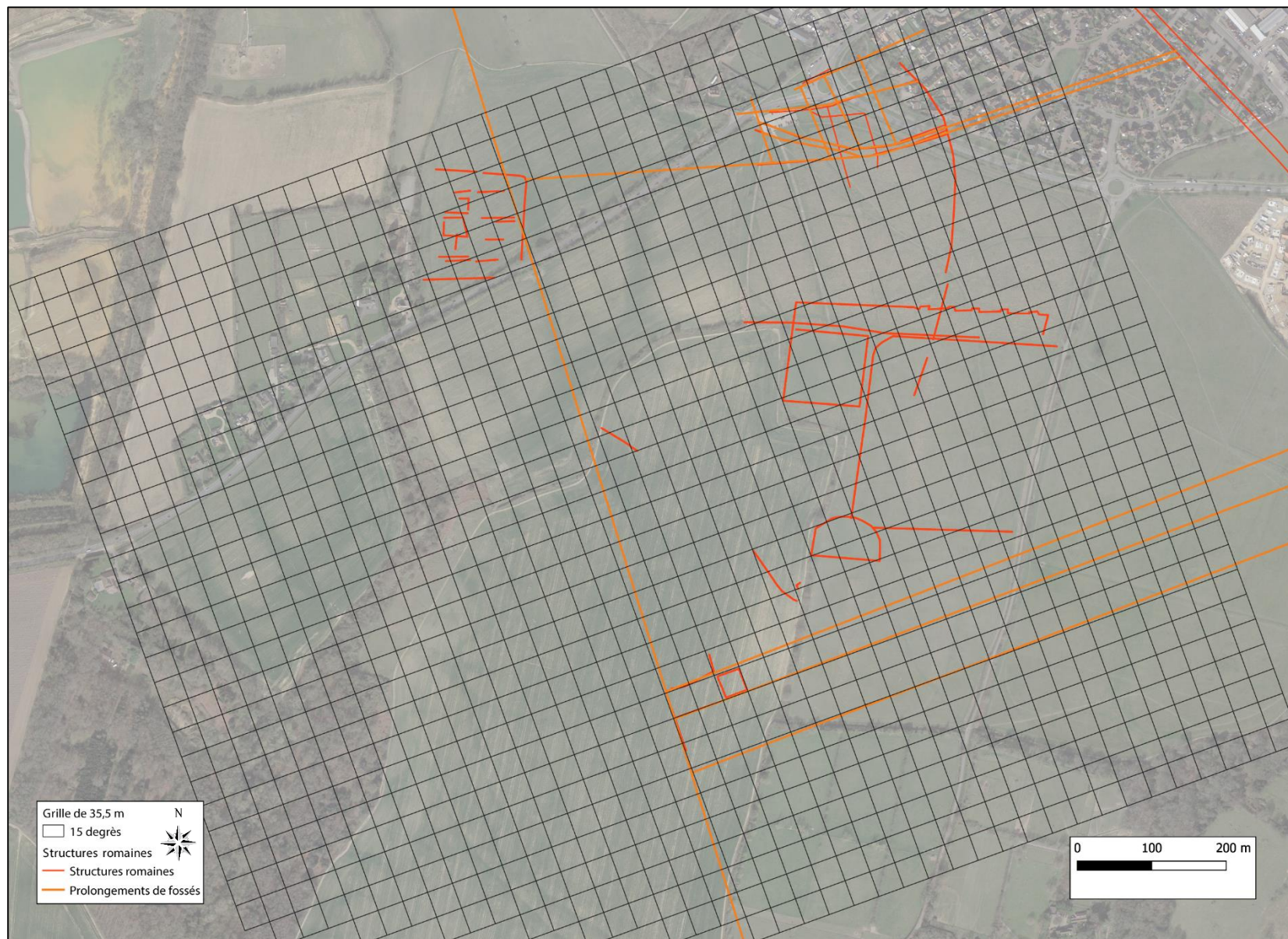


Figure 17. Gosbeck - Structures romaines datées au plus tôt de la seconde moitié du I^{er} siècle ap. J.-C. intégrées à la grille de 35,5 m de côté.



Figure 18. Gosbeck - Structures romaines intégrées à la grille de 710 m de côté.



View of Gosbecks temple and field SW. of it, looking NE. pp. 259 ff.

Figure 19. Gosbeck - Photographie aérienne - Vue de l'enclos et tracés alentours (Hull 1958, Pl. XXXIX).

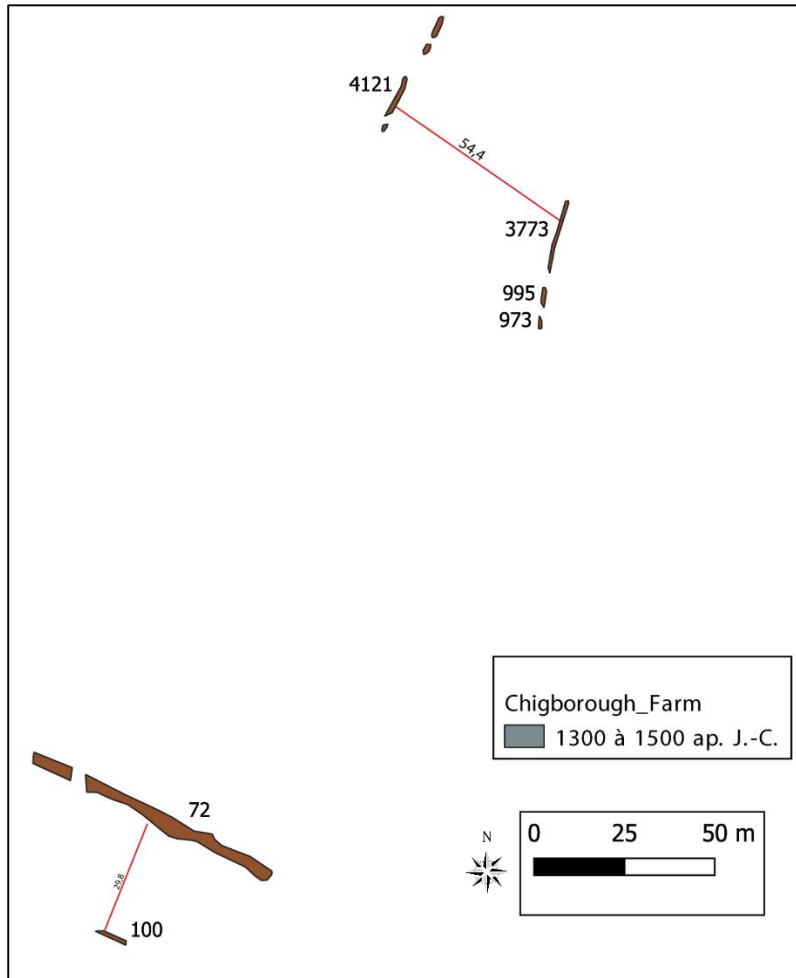


Figure 22. Chigborough Farm - Mesures et numéros des structures de l'Âge du Bronze.

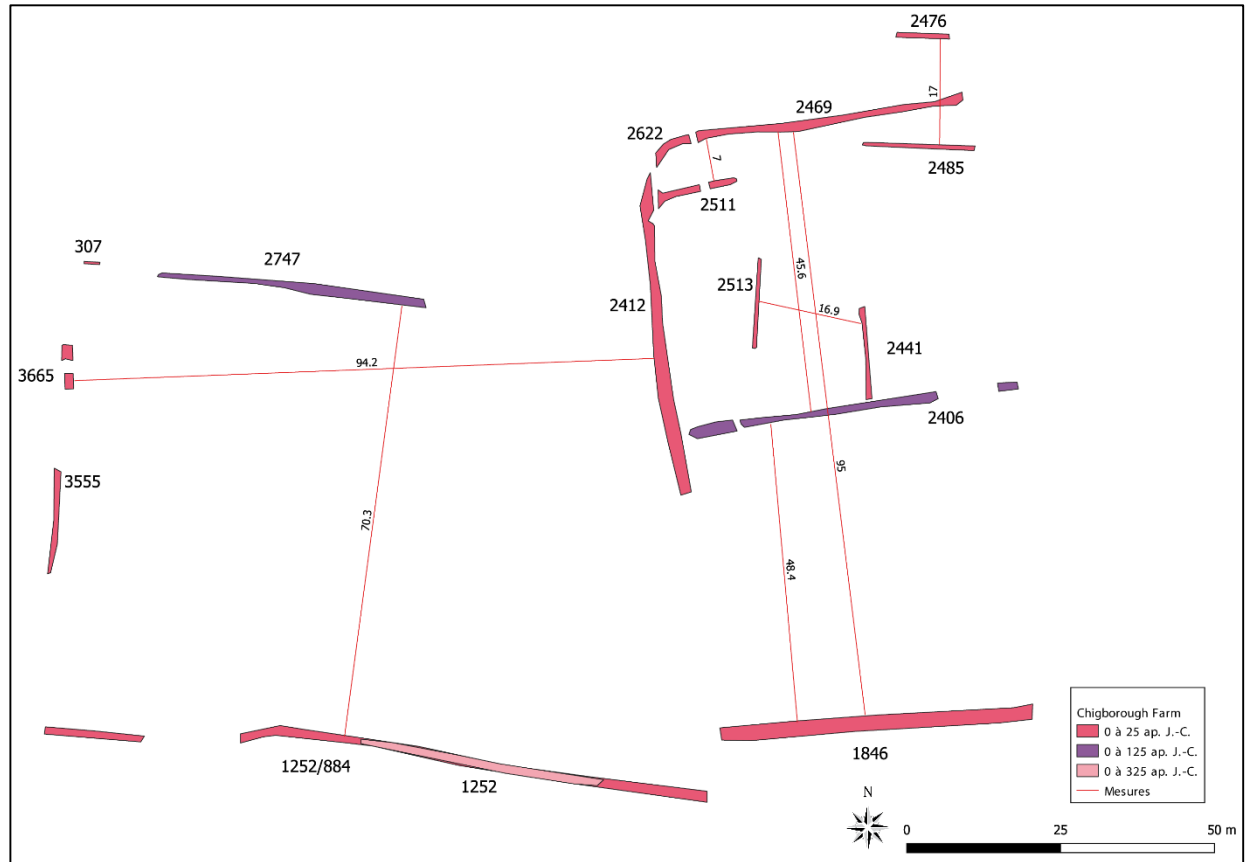


Figure 21. Chigborough Farm - Mesures et numéros des structures de la fin de l'Âge du Fer.

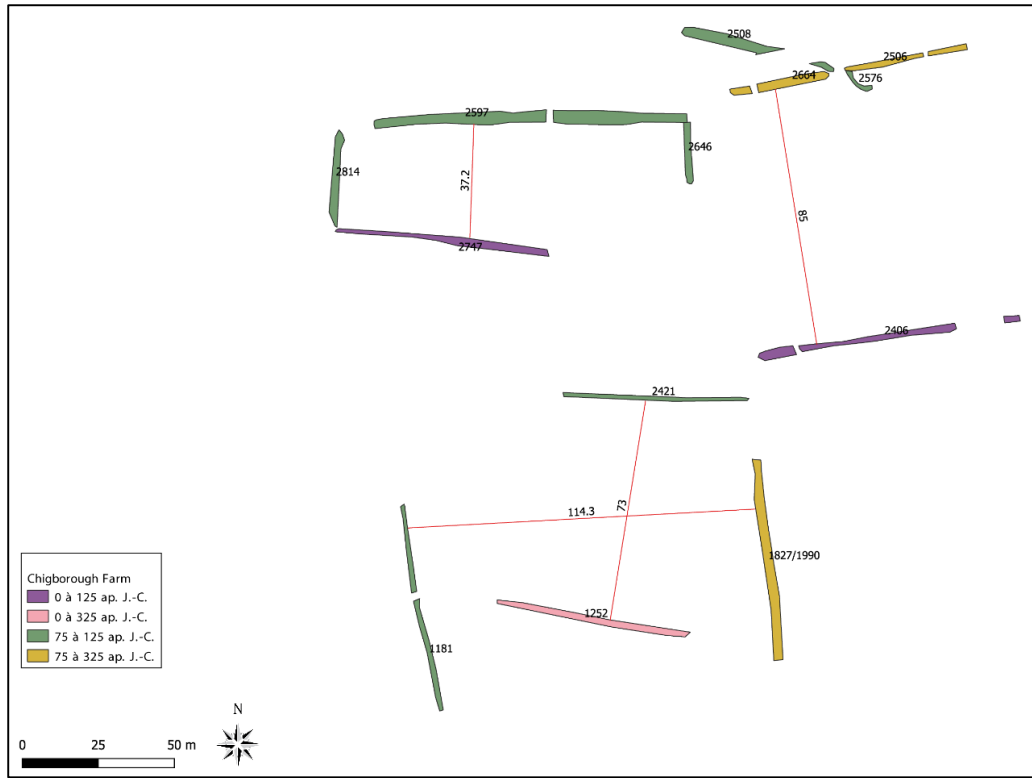


Figure 23. Chigborough Farm - Mesures et numéros des structures entre la fin de l'Âge du Fer et le début de l'Antiquité.

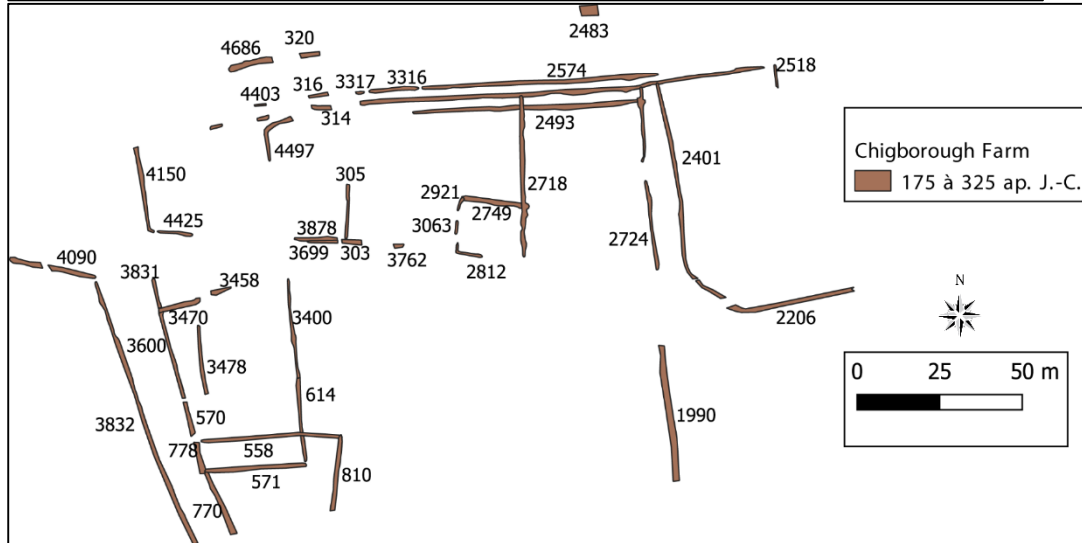


Figure 24. Chigborough Farm - Numéros des structures antiques.

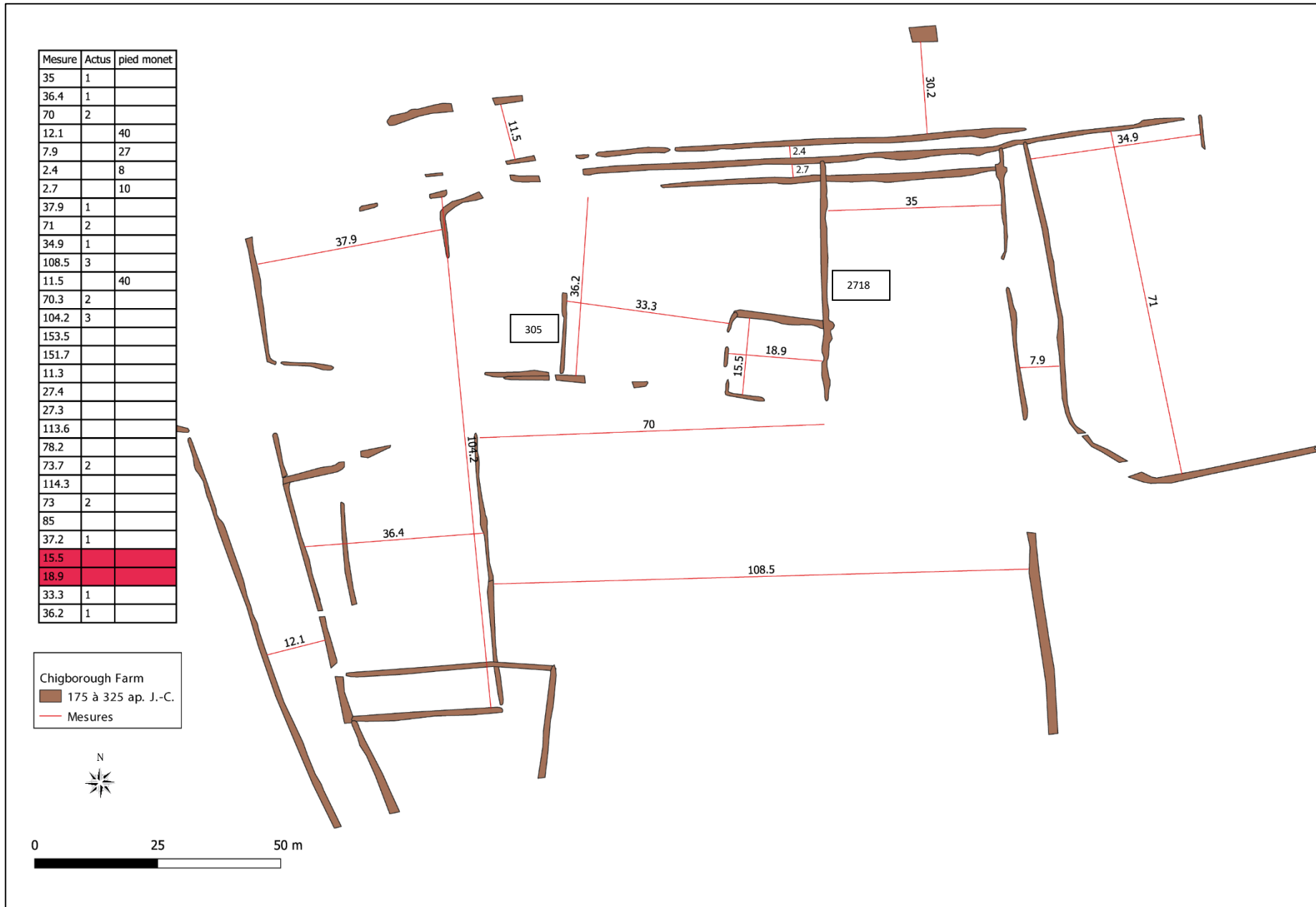


Figure 25. Chigborough Farm - Mesures des structures antiques associées et conversions en Actus et en Pes Monetalis.



Figure 26. Chigborough Farm - Conversion des mesures en actus ou en Pes Monetalis.

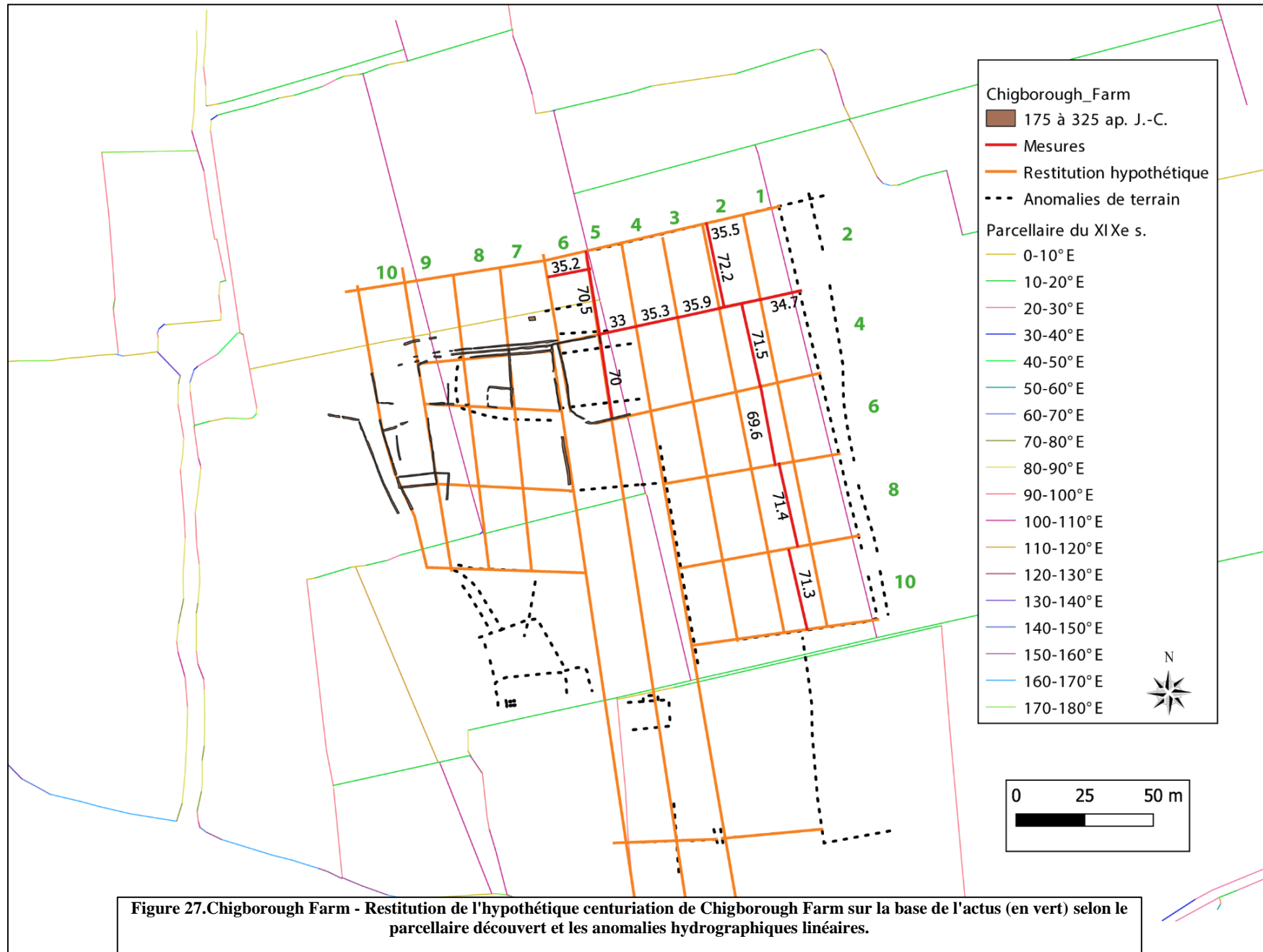
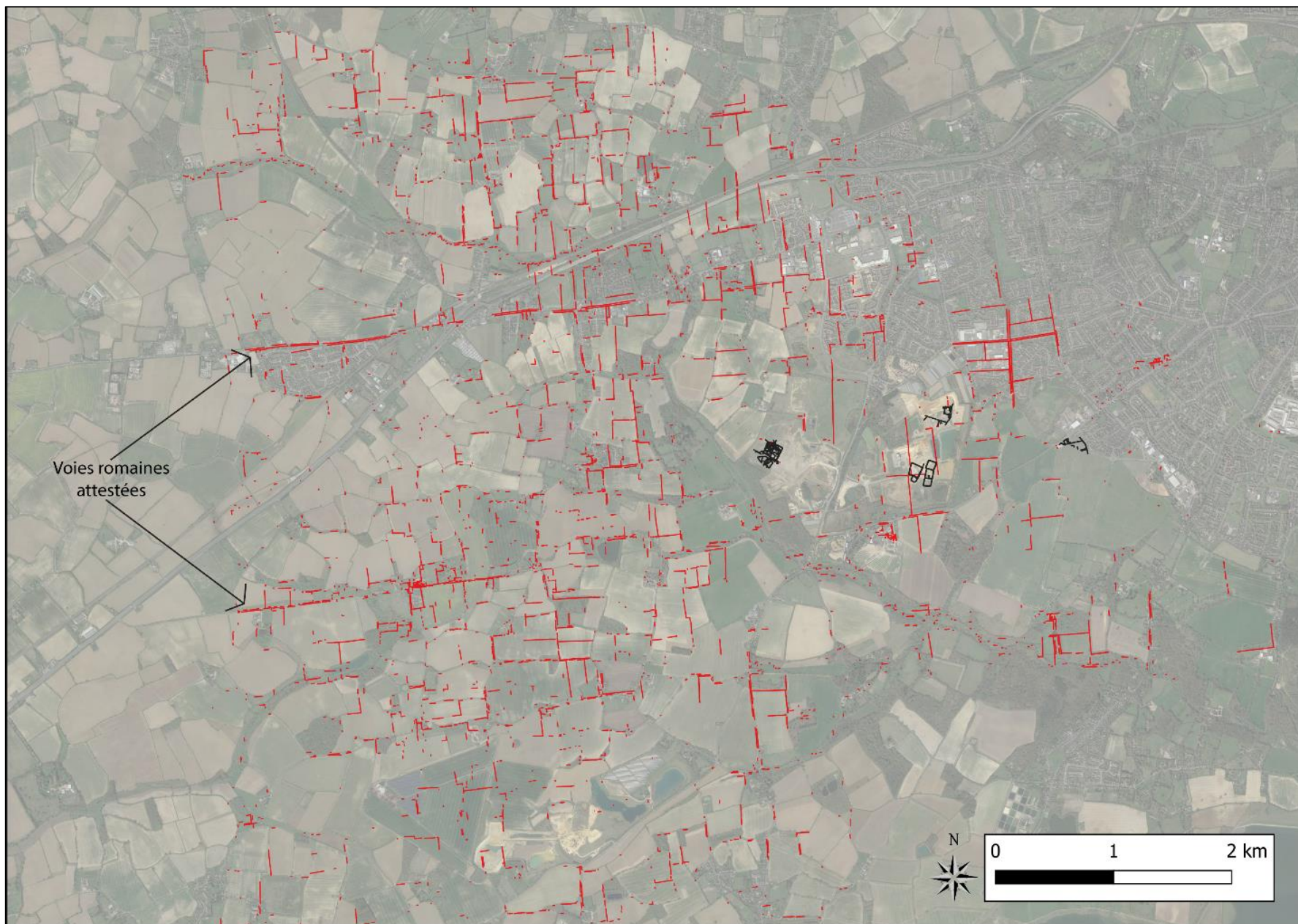
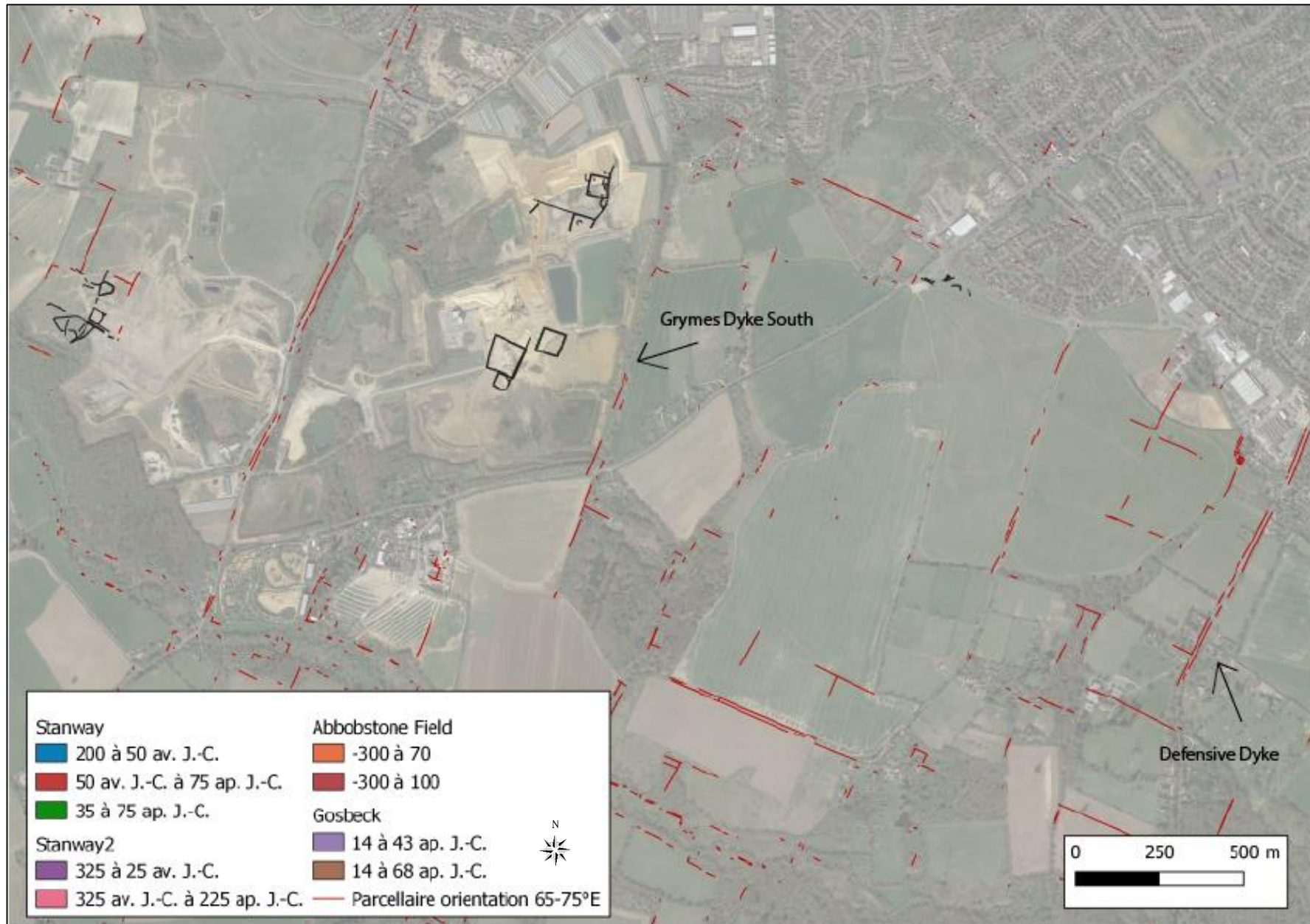




Figure 28. Chigborough Farm - Structures romaines intégrées à la grille de 35,5 m de côté.



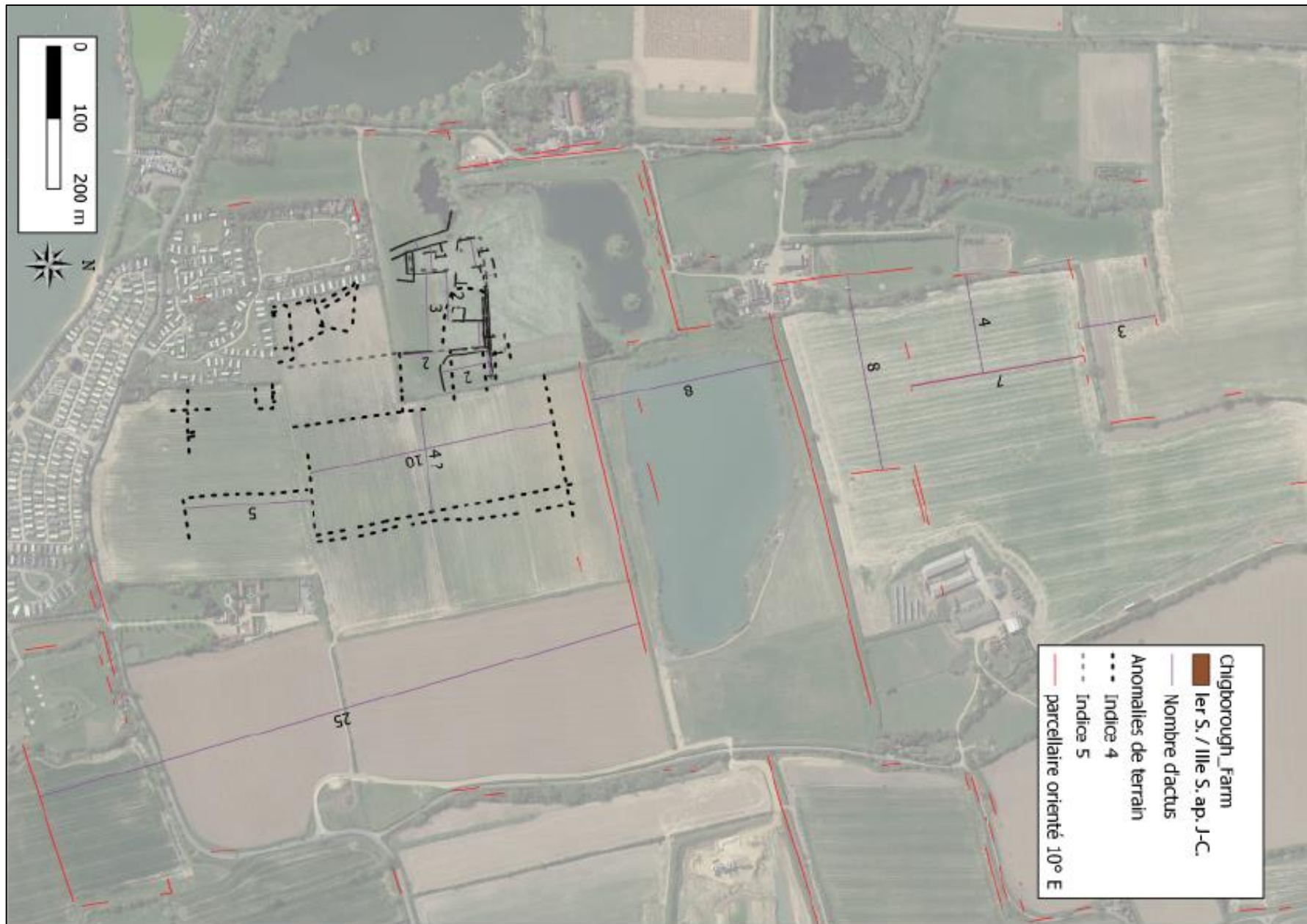
Carte 16. Isolement des segments parcelaires orientés à 0-10°E et 90-100°E.



Carte 17. Les "Dykes" et sites protohistoriques intégrés au parcellaire moderne orientés 70°E.



Carte 18. Le site de Chigborough Farm et les mesures associées des structures fouillées et des anomalies de terrain repérées (indices 4 et 5).



Carte 19. Le site de Chigborough Farm et les mesures associées aux structures fouillées, aux anomalies de terrain et au parcellaire moderne d'orientation 0-10°E.

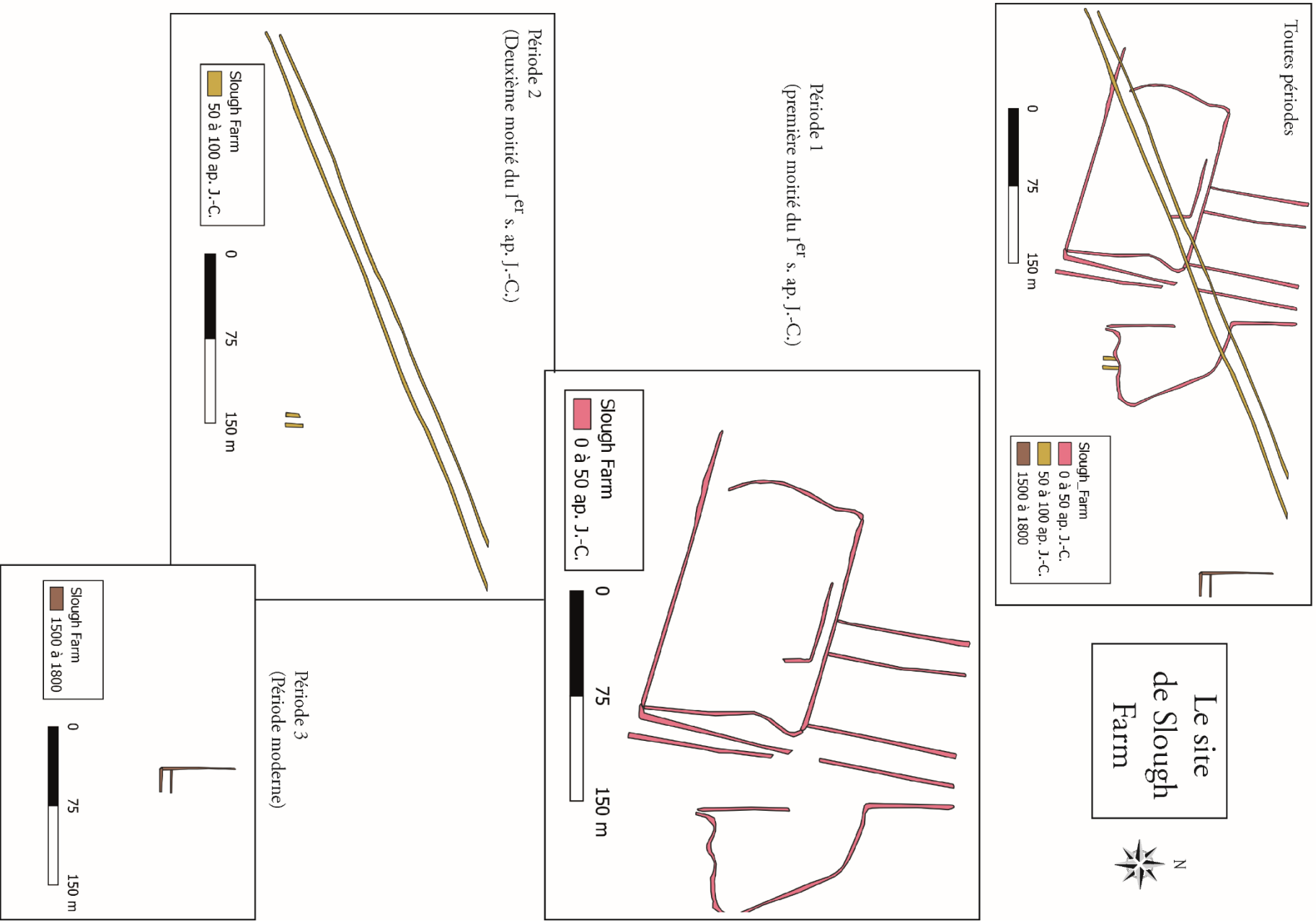


Figure 29. Phasage du site de Slough Farm.

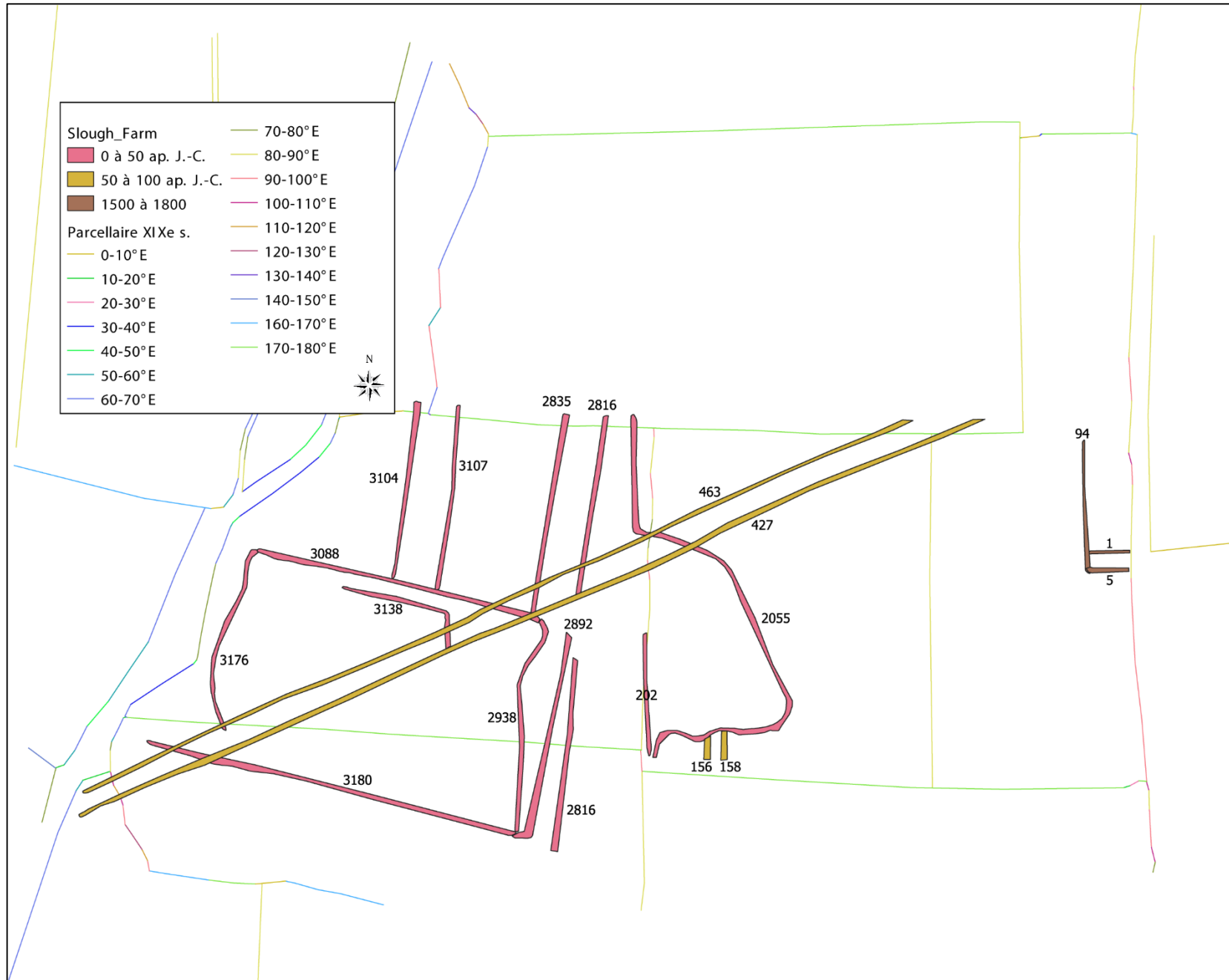


Figure 30. Slough Farm - Numéros de structures.

Orientations des structures fossoyées par sites fouillés

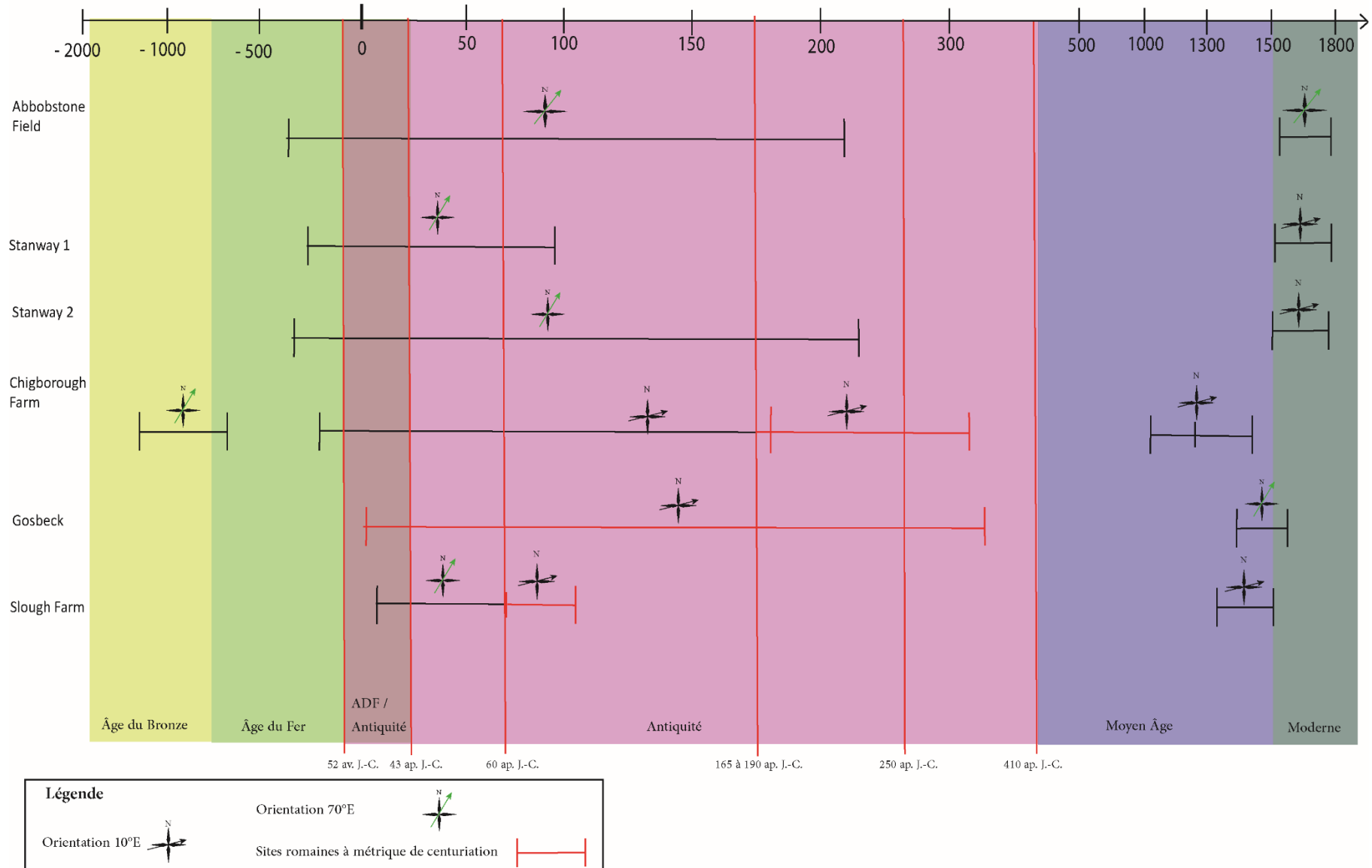


Figure 31. Orientations des structures fossoyées du secteur étudié de l'Essex. Les dates correspondent aux évènements discutés dans le chapitre VI.

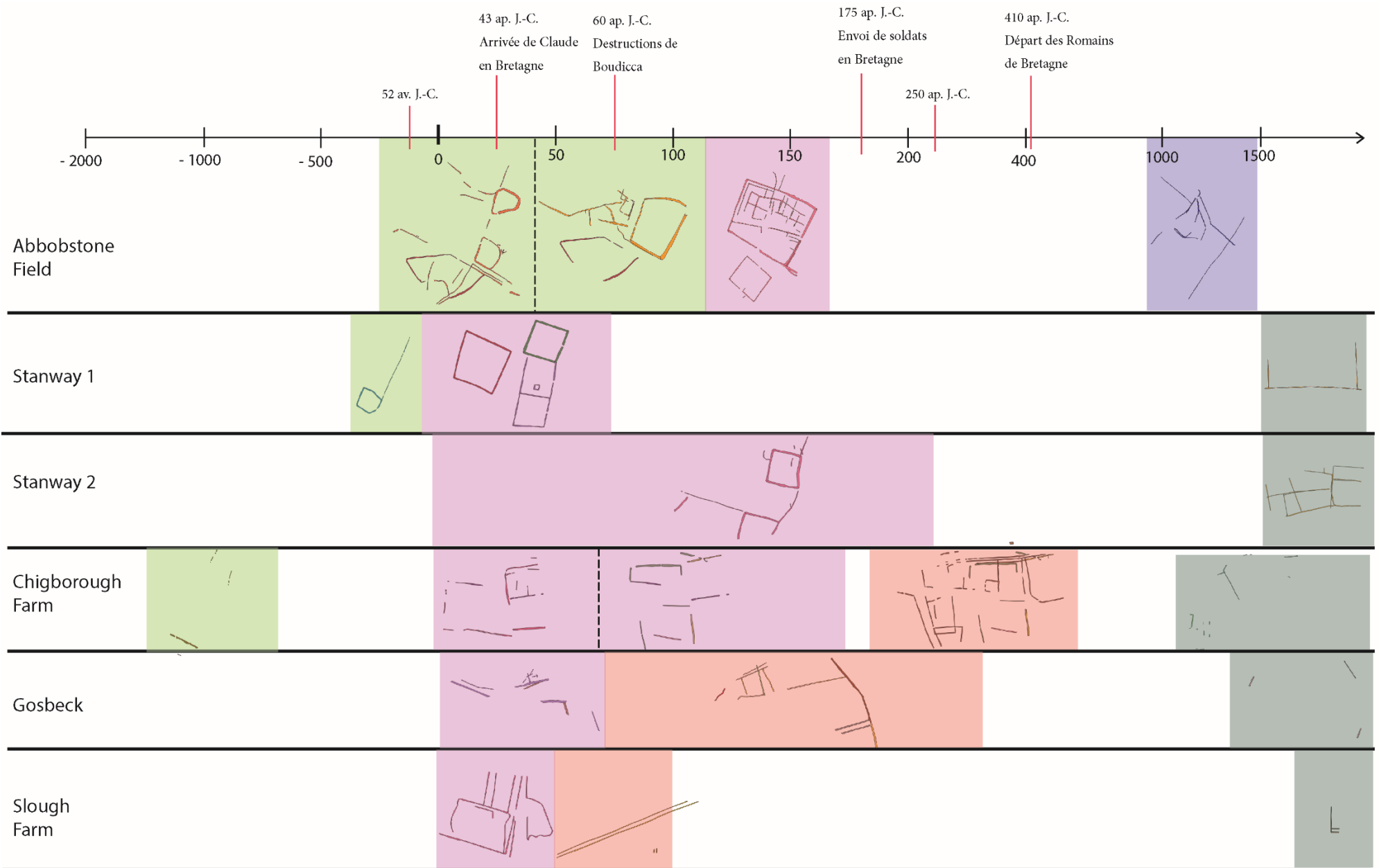
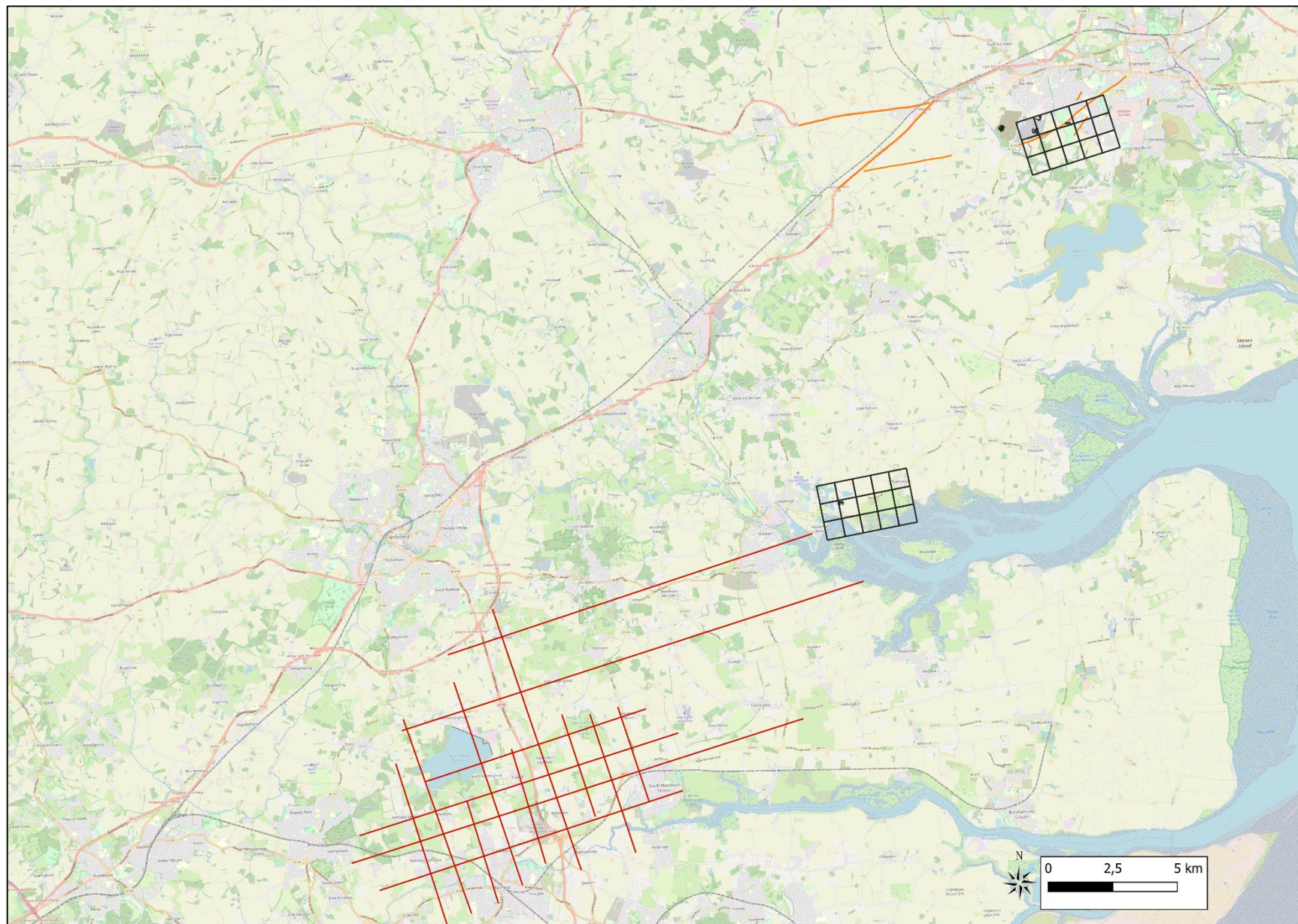


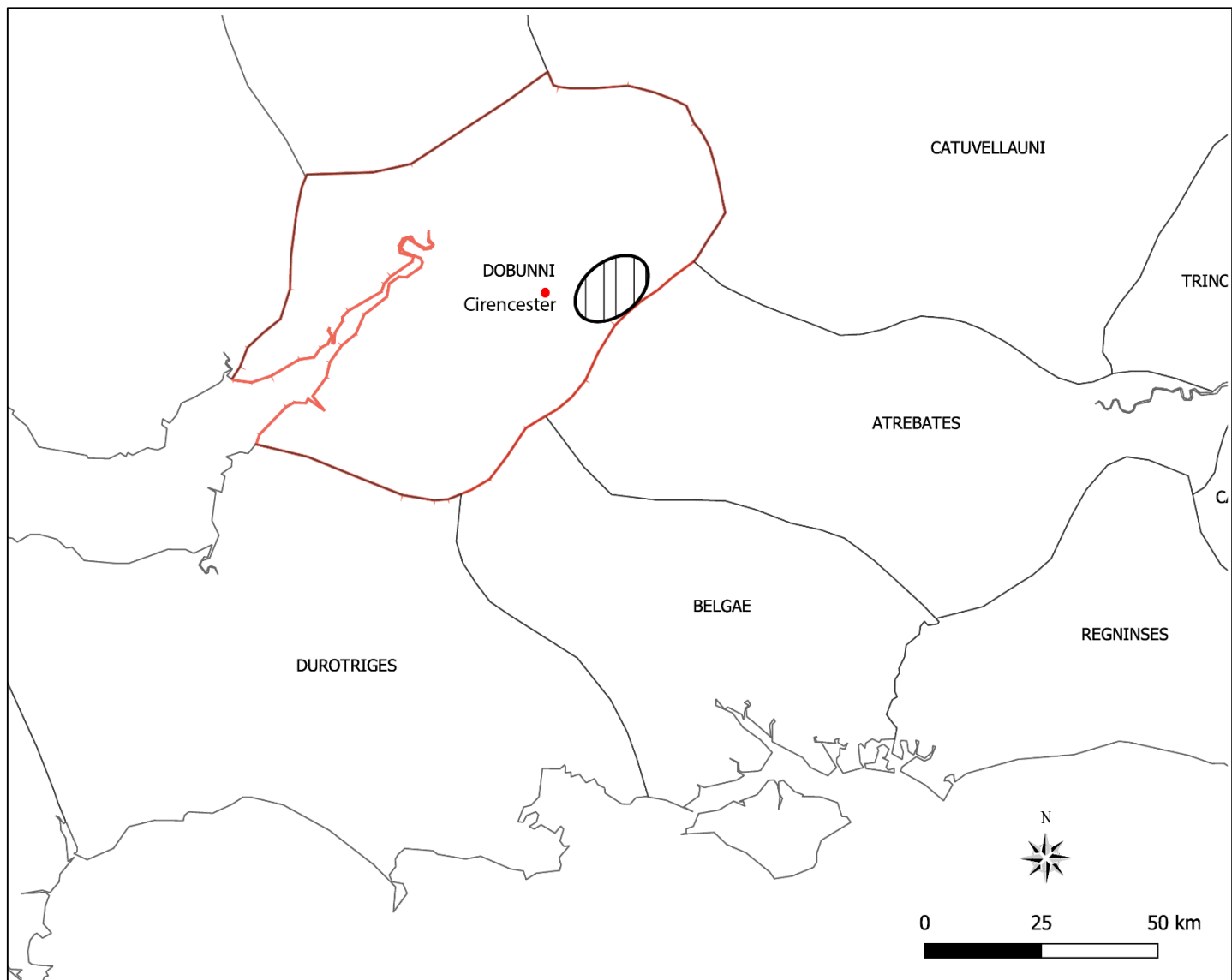
Figure 32. Les sites intégrés à une frise historique. (Échelles non linéaires)



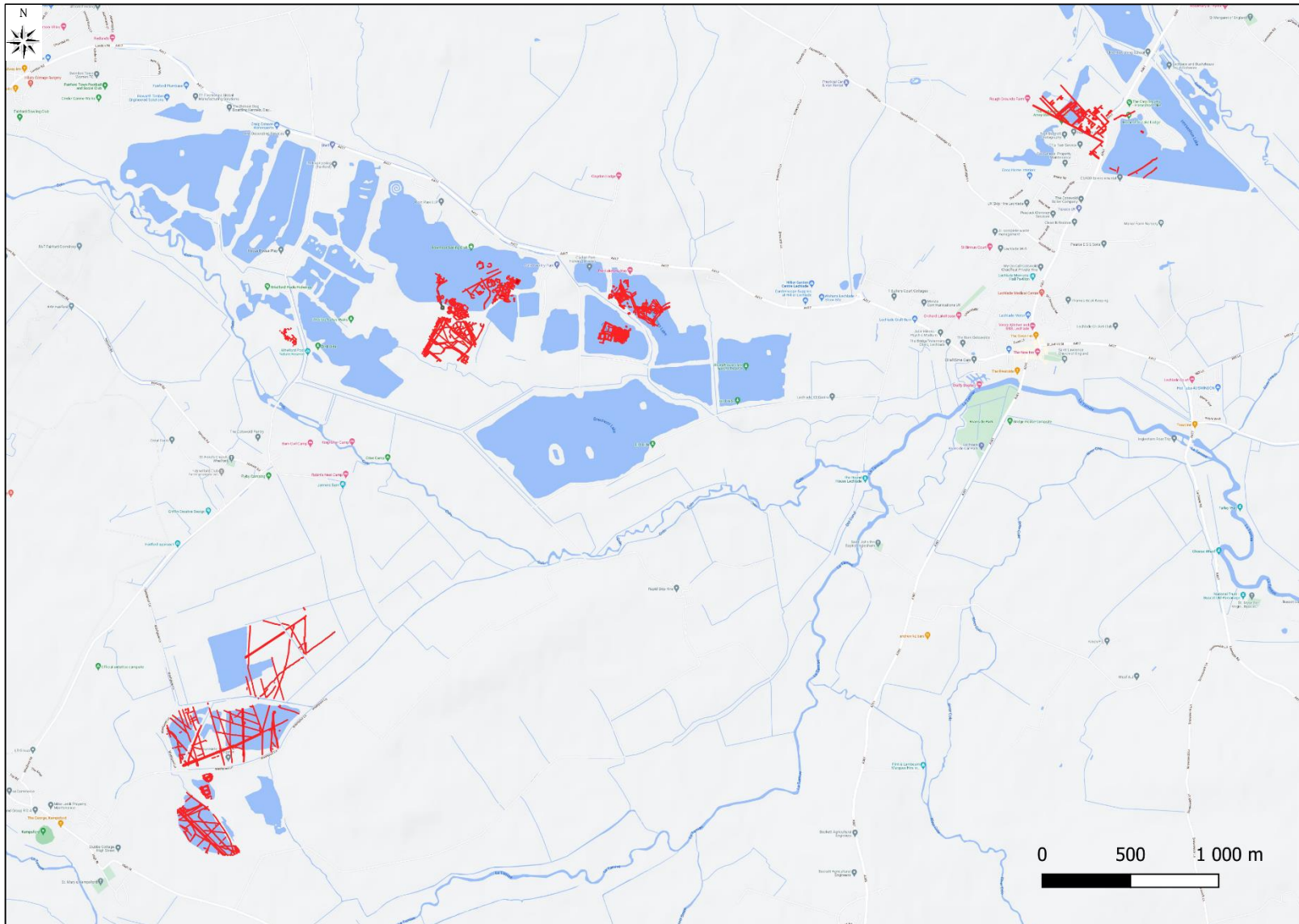
Carte 20. Cadastre supposé proposé par John Peterson (en rouge). Les grille en noir correspondent aux supposées centuriations de Chigborough Farm au sud et de Gosbeck au nord.

Le Gloucestershire

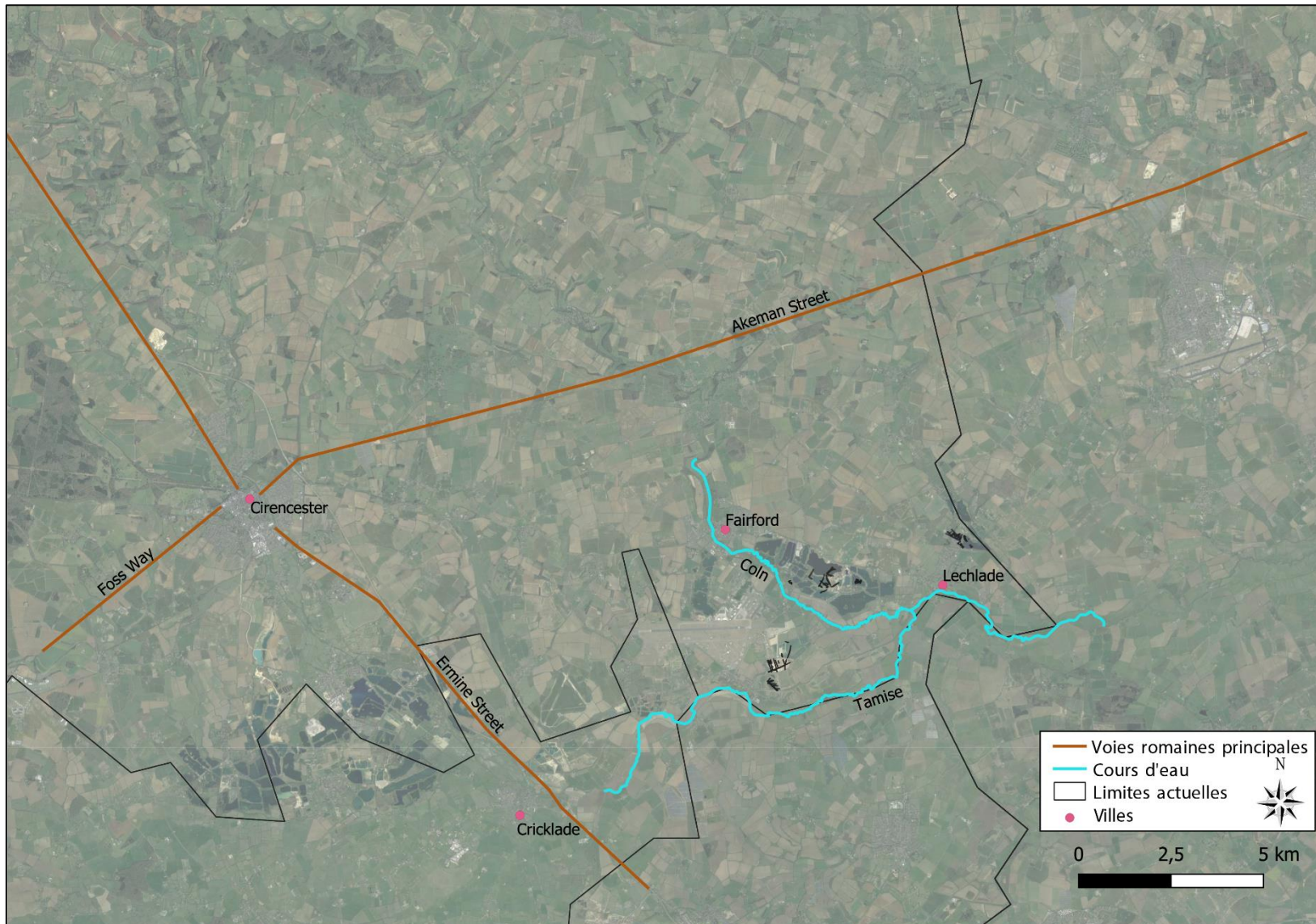
L'ouest des Cotswolds



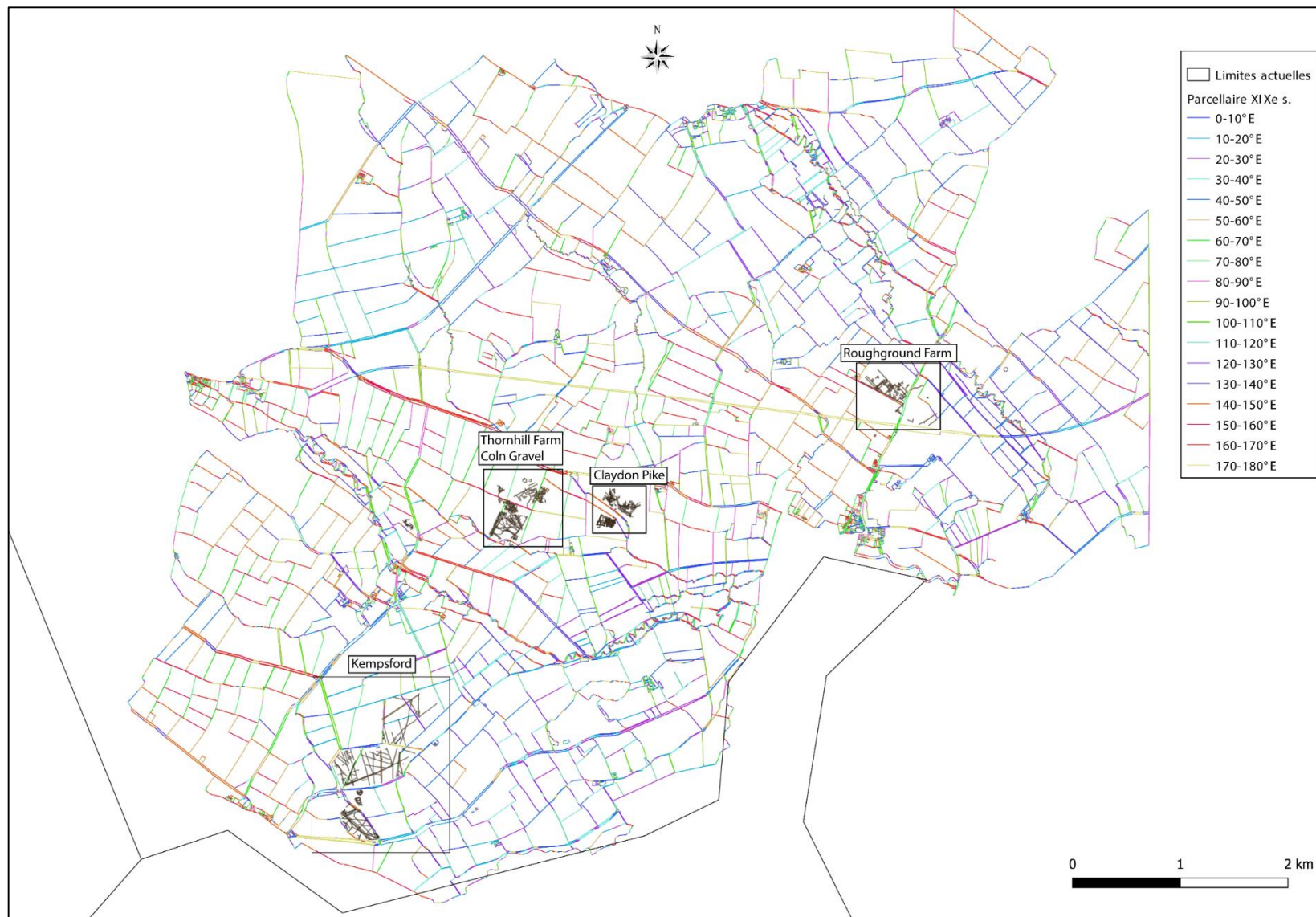
Carte 21. Territoire dobunnien et zone d'étude.



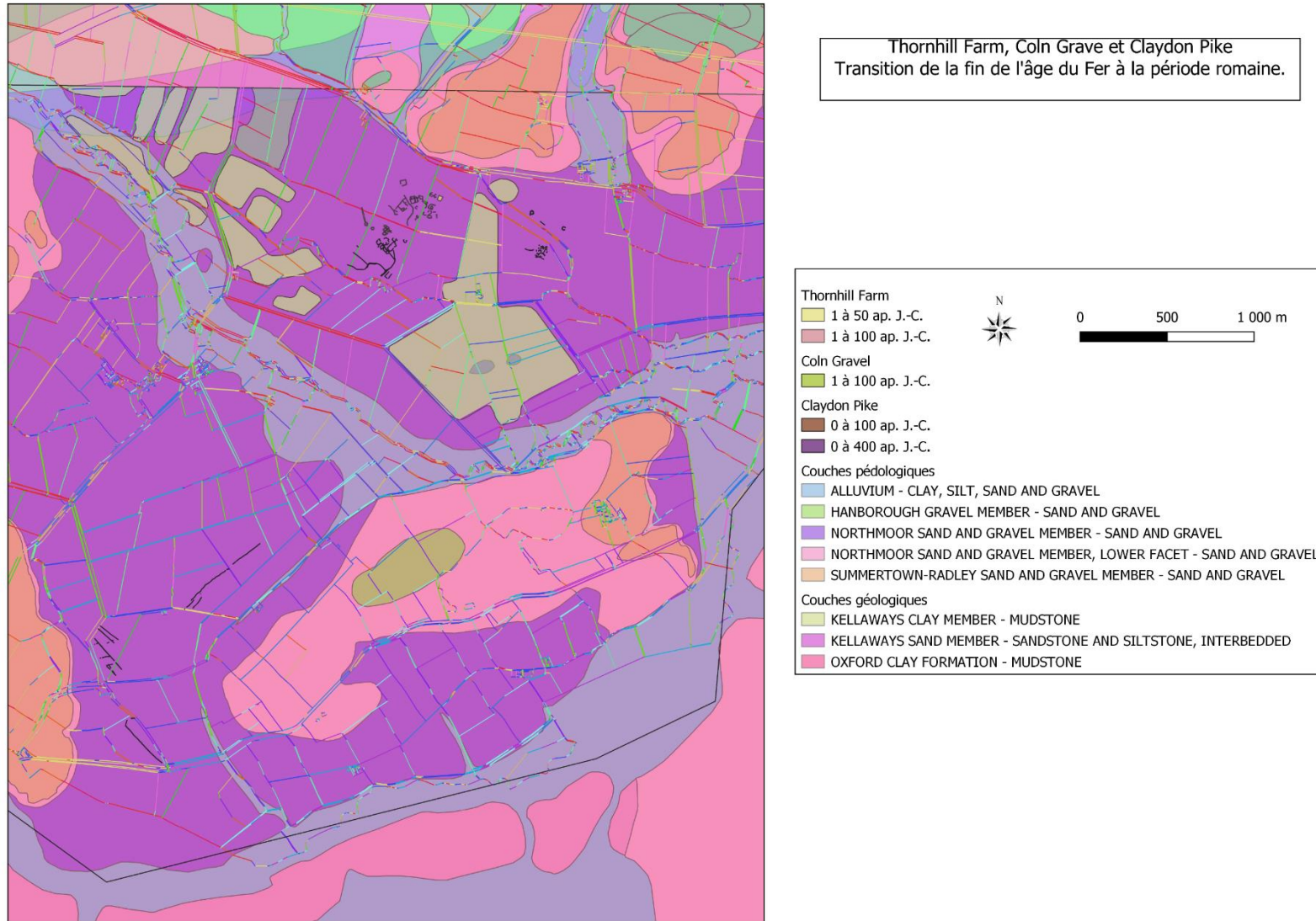
Carte 22. Contexte géographique des Cotswolds.



Carte 23. Emplacement des sites dans leur environnement.



Carte 24. Zone d'étude des Cotswolds.



Carte 25. Carte géologique de la zone d'étude associée aux structures fossoyées des sites de Thornhill Farm, Coln Grave et de Claydon Pike datées de la transition de la fin de l'Âge du Fer à la période romaine et au parcellaire du XIX^e s.

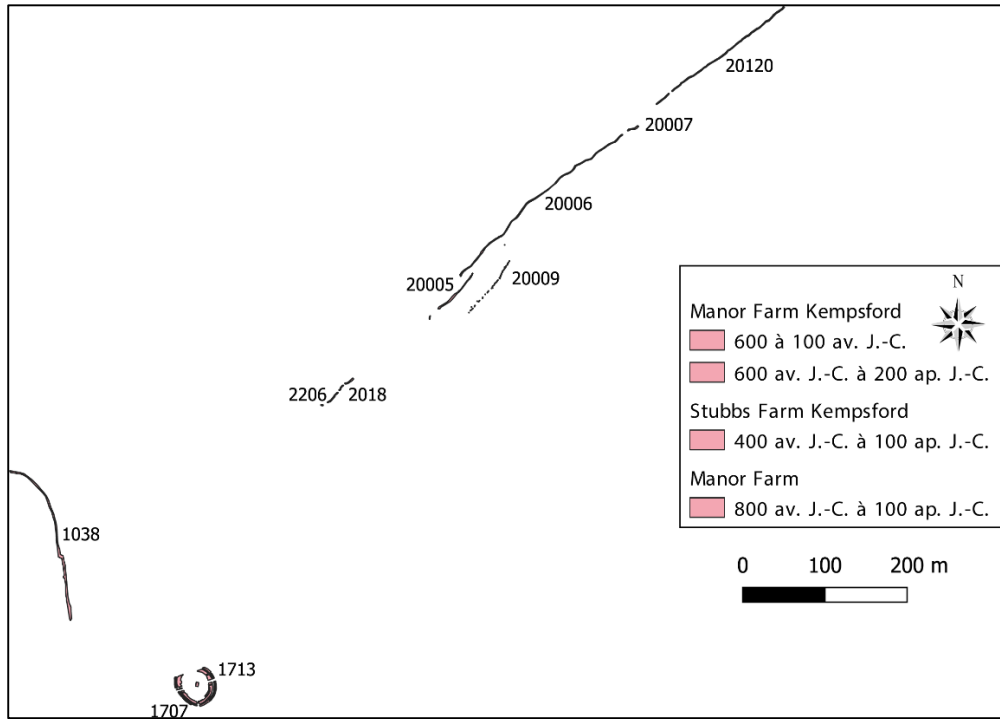


Figure 34. Kempsford - Numéros de structures de la période 1.

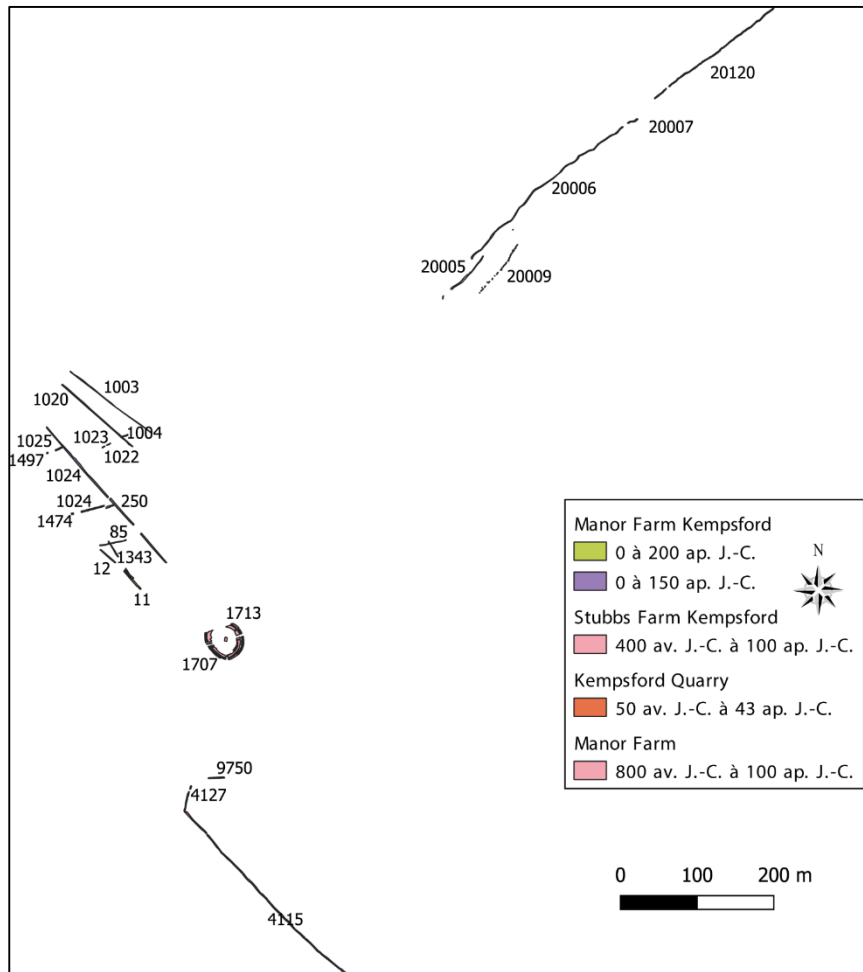


Figure 35. Kempsford - Numéros de structures de la période 2.

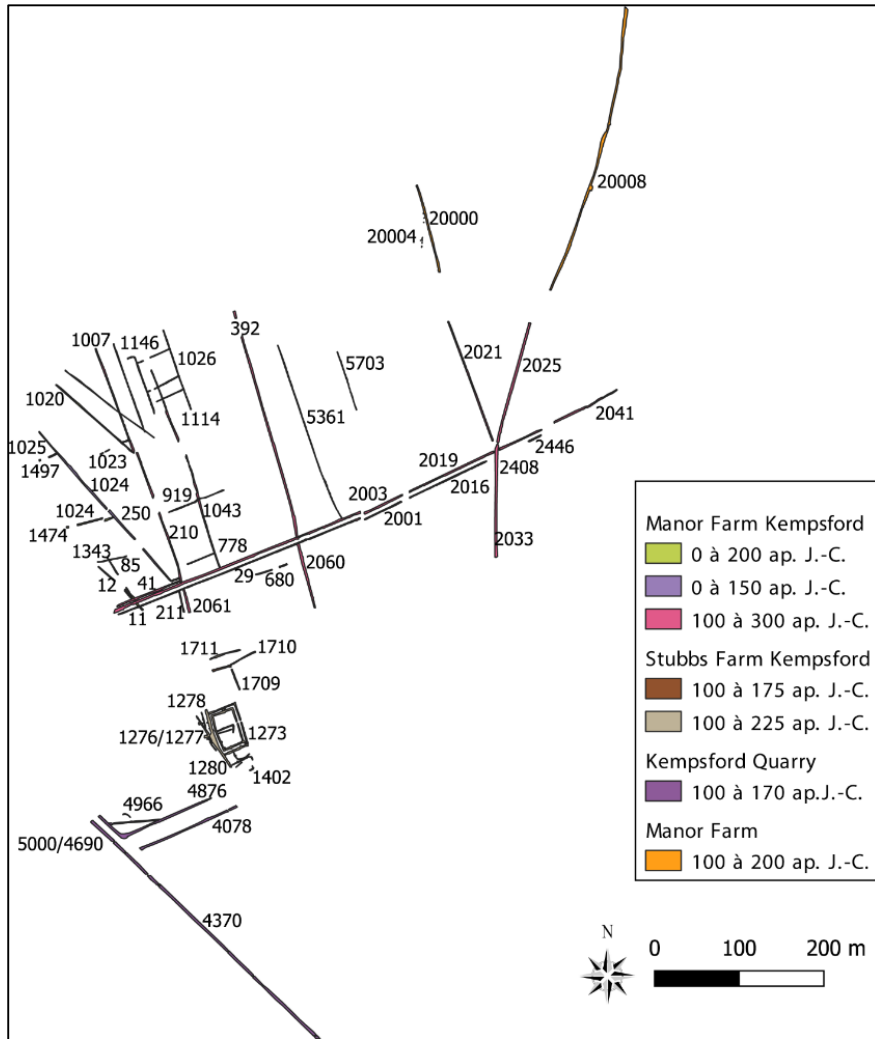


Figure 36. Kempsford - Numéros de structures de la période 3.



Figure 37. Kempsford - Numéros de structures de la période 4.



Figure 38. Kempsford - Mesures prises entre les fossés.

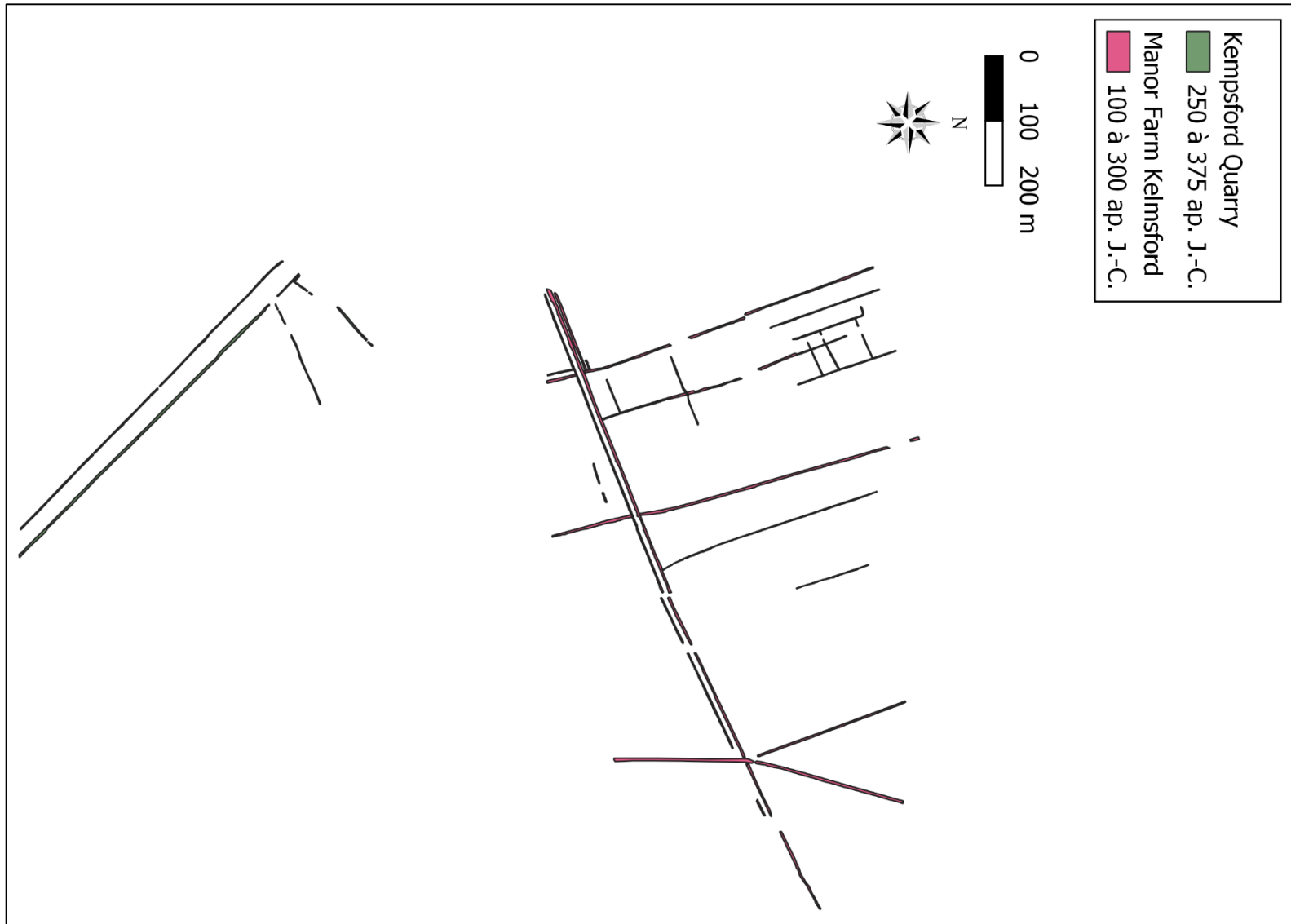


Figure 39. Kemsford - Réinstallation de la voie au sud vers 250 ap. J.-C.

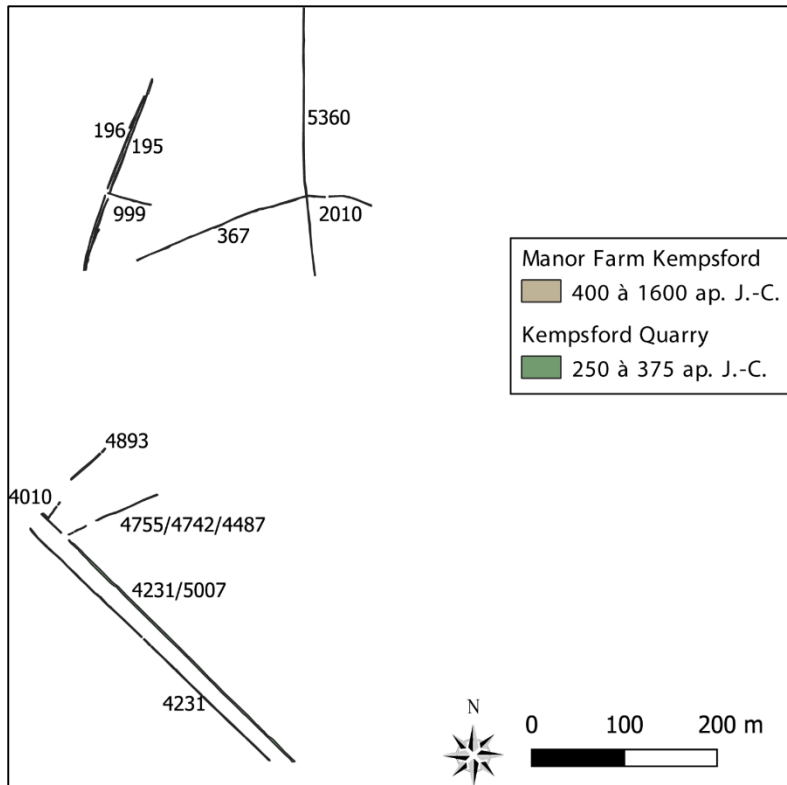


Figure 40. Kempsford - Numéros de structures de la période 5.

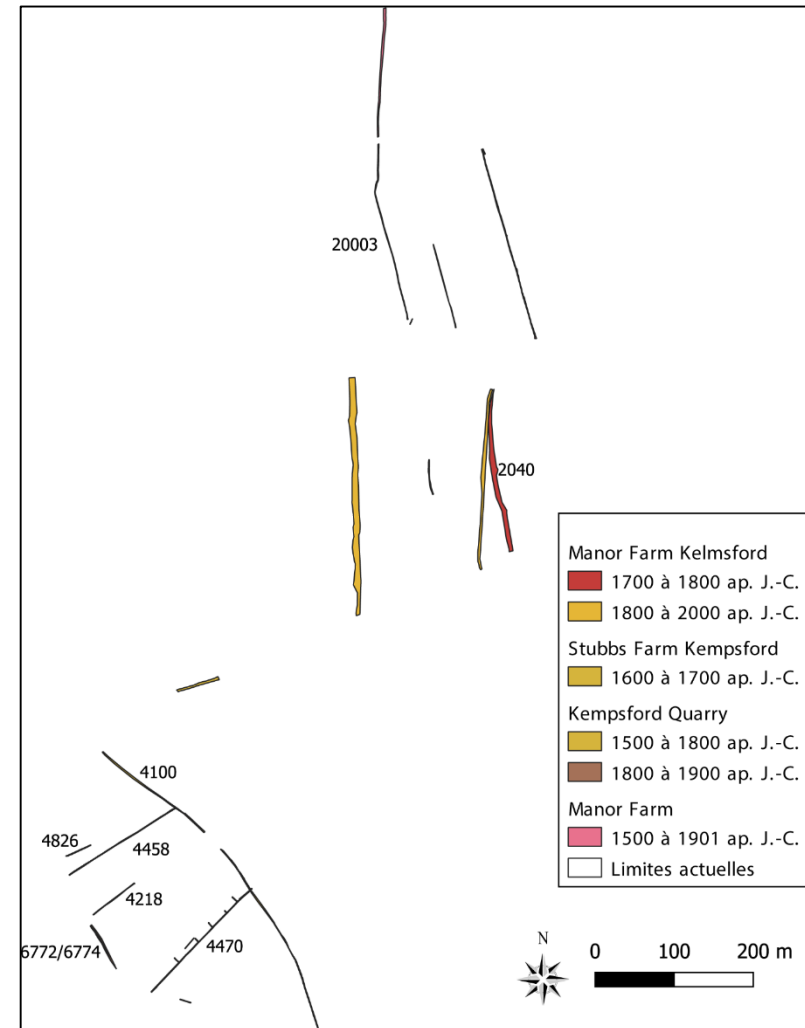


Figure 41. Kempsford - Numéros de structures de la période 6.

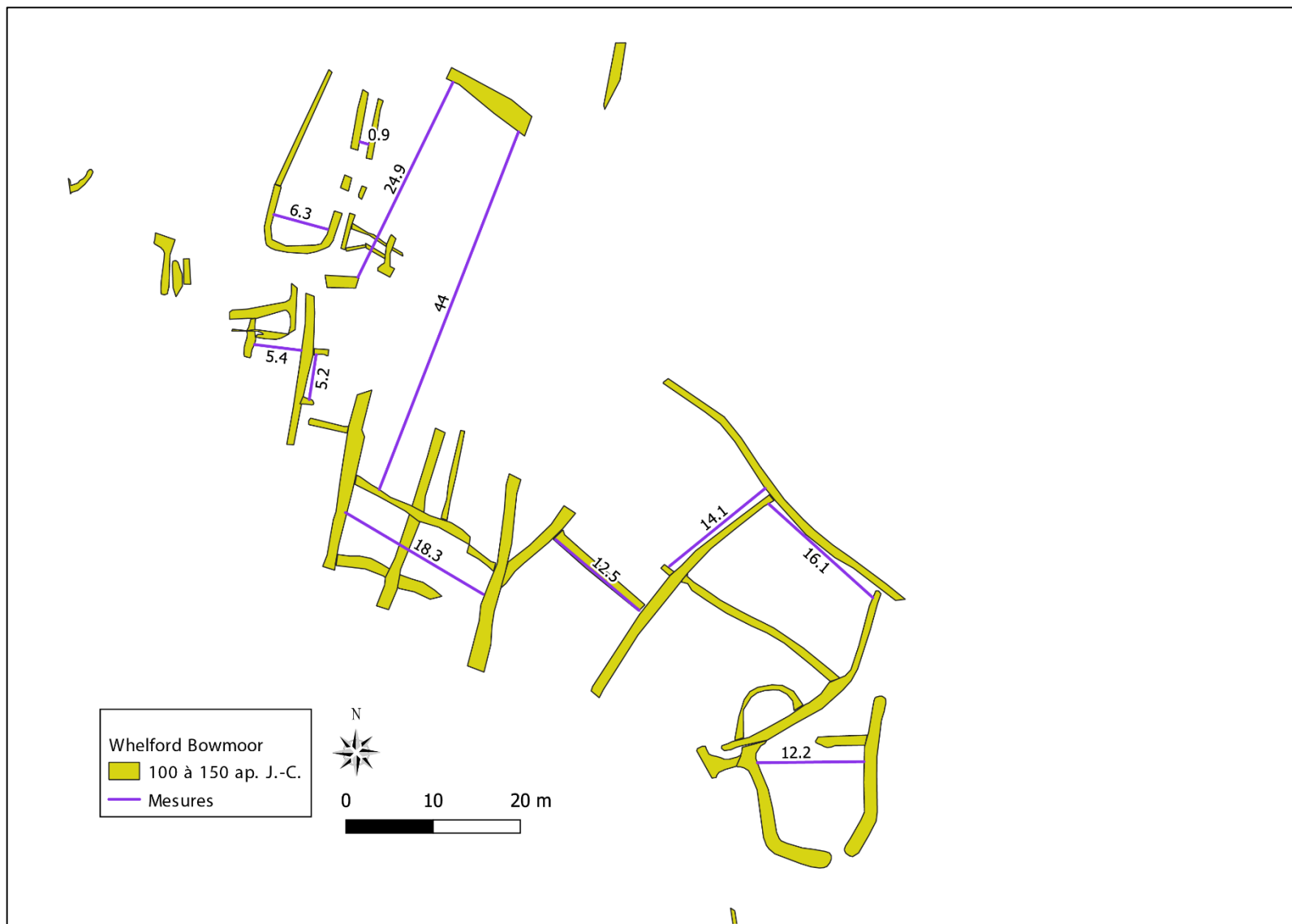


Figure 42. Le site de Whelford Bowmoor.

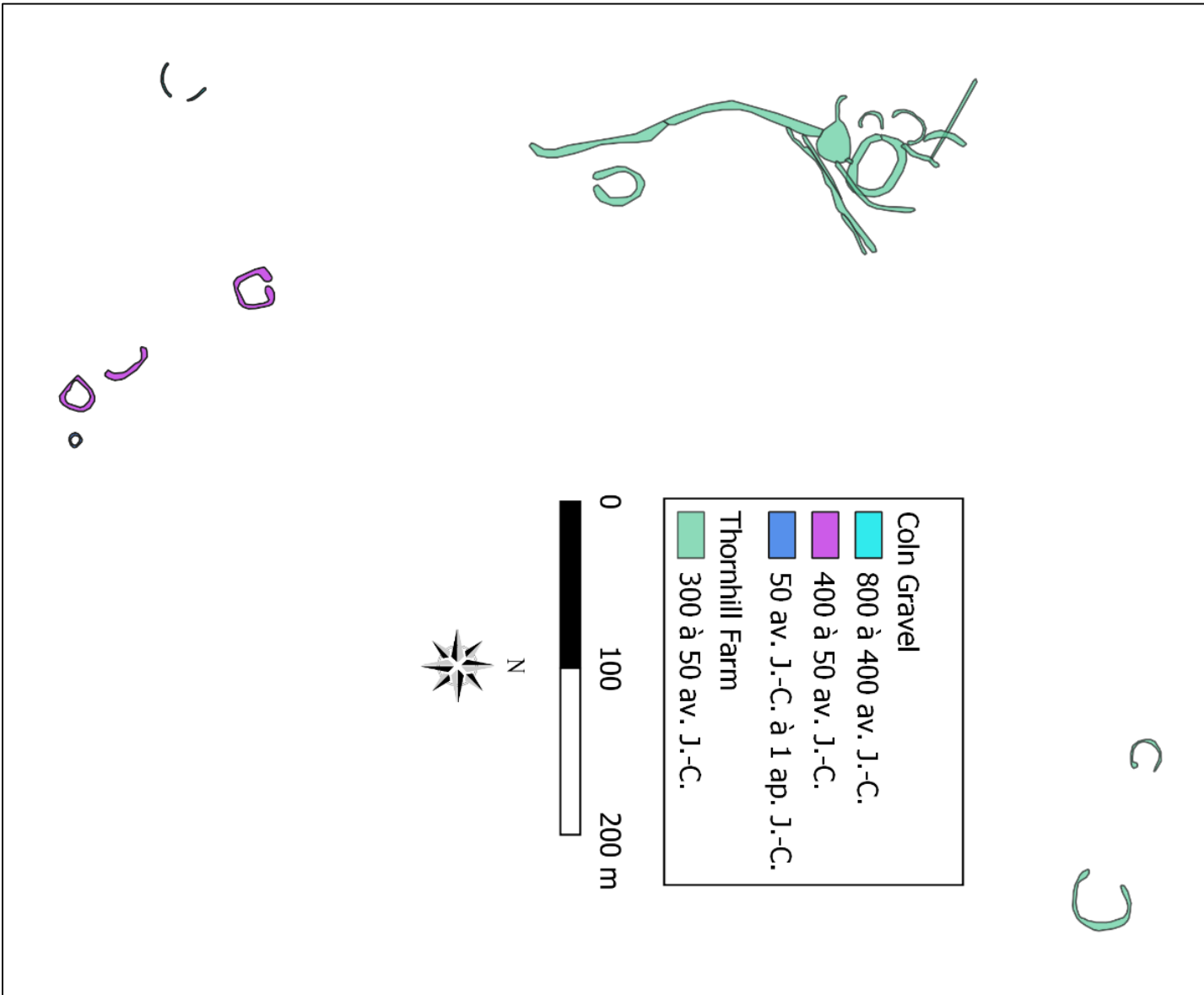


Figure 44. Thornhill Farm – structures fossoyées datant de 800 av. J.-C. à 1 ap. J.-C.

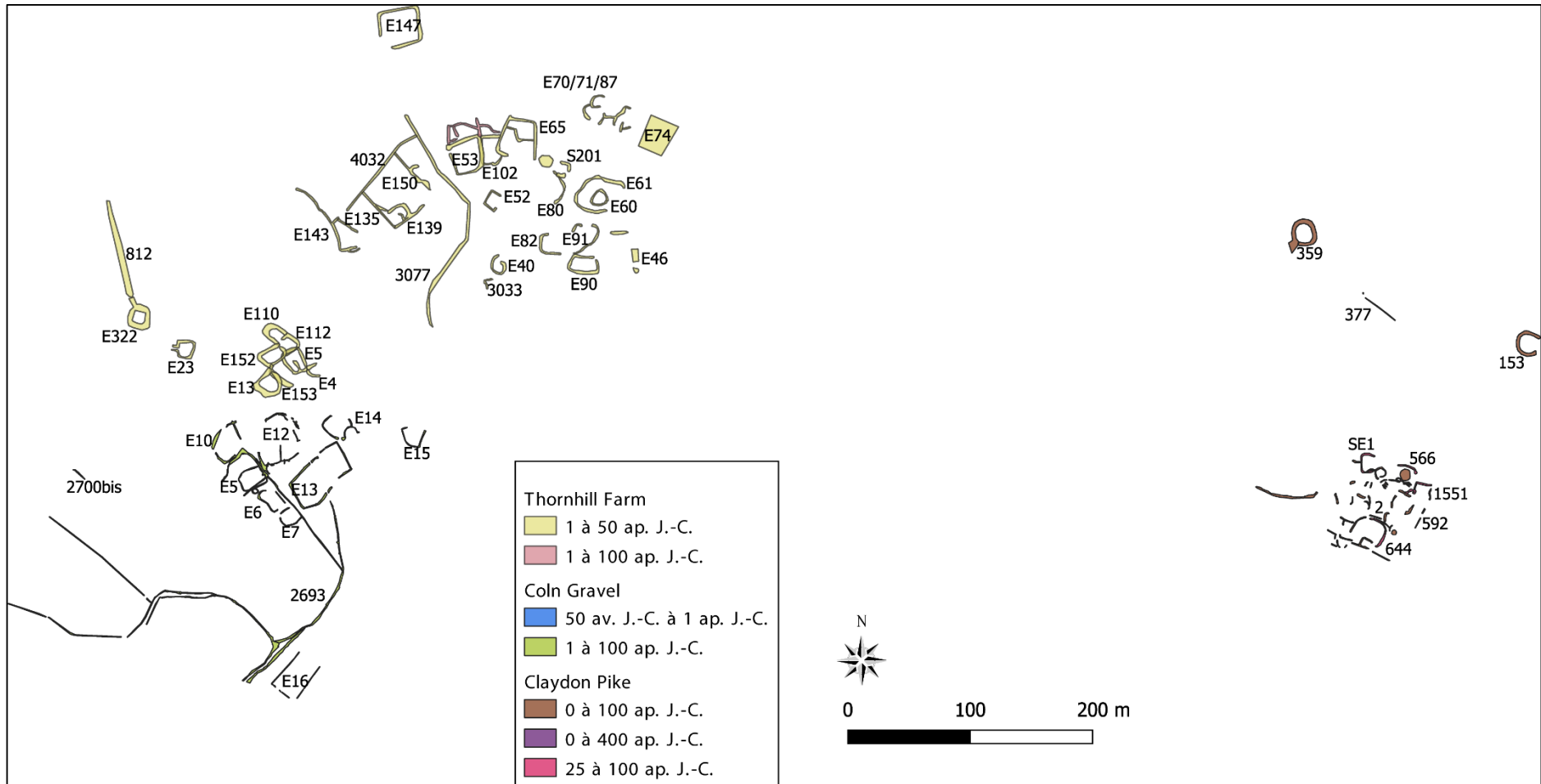


Figure 45. Les structures mises en place dans la première moitié du I^{er} siècle ap. J.-C. à Thornhill Farm et Coln Gravel associés à Claydon Pike à l'est - 0 -50 ap. J.-C.

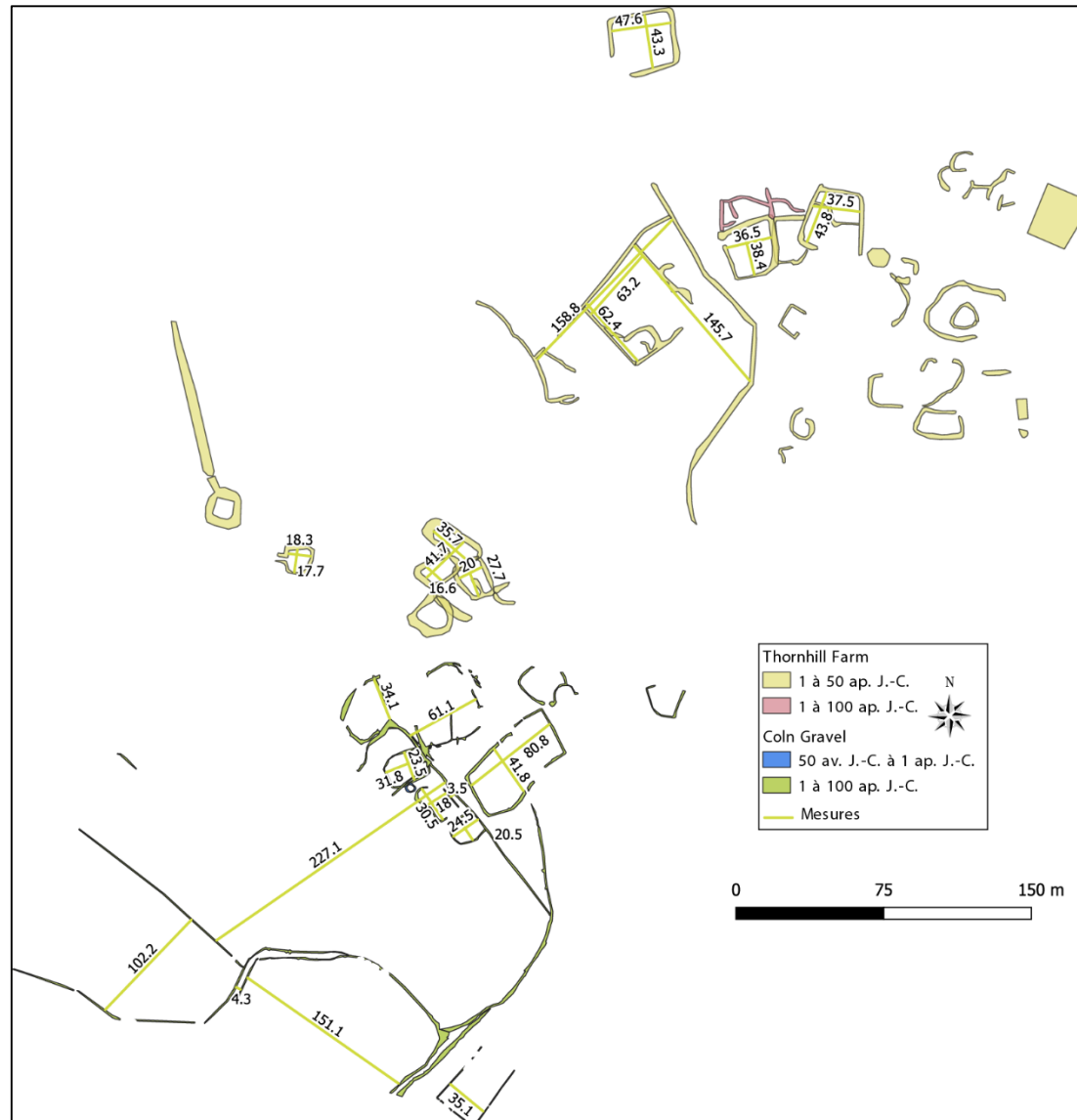


Figure 46. Thornhill Farm et Coln Grave - Mesures prises entre les fossés datés du I^{er} siècle ap. J.-C.

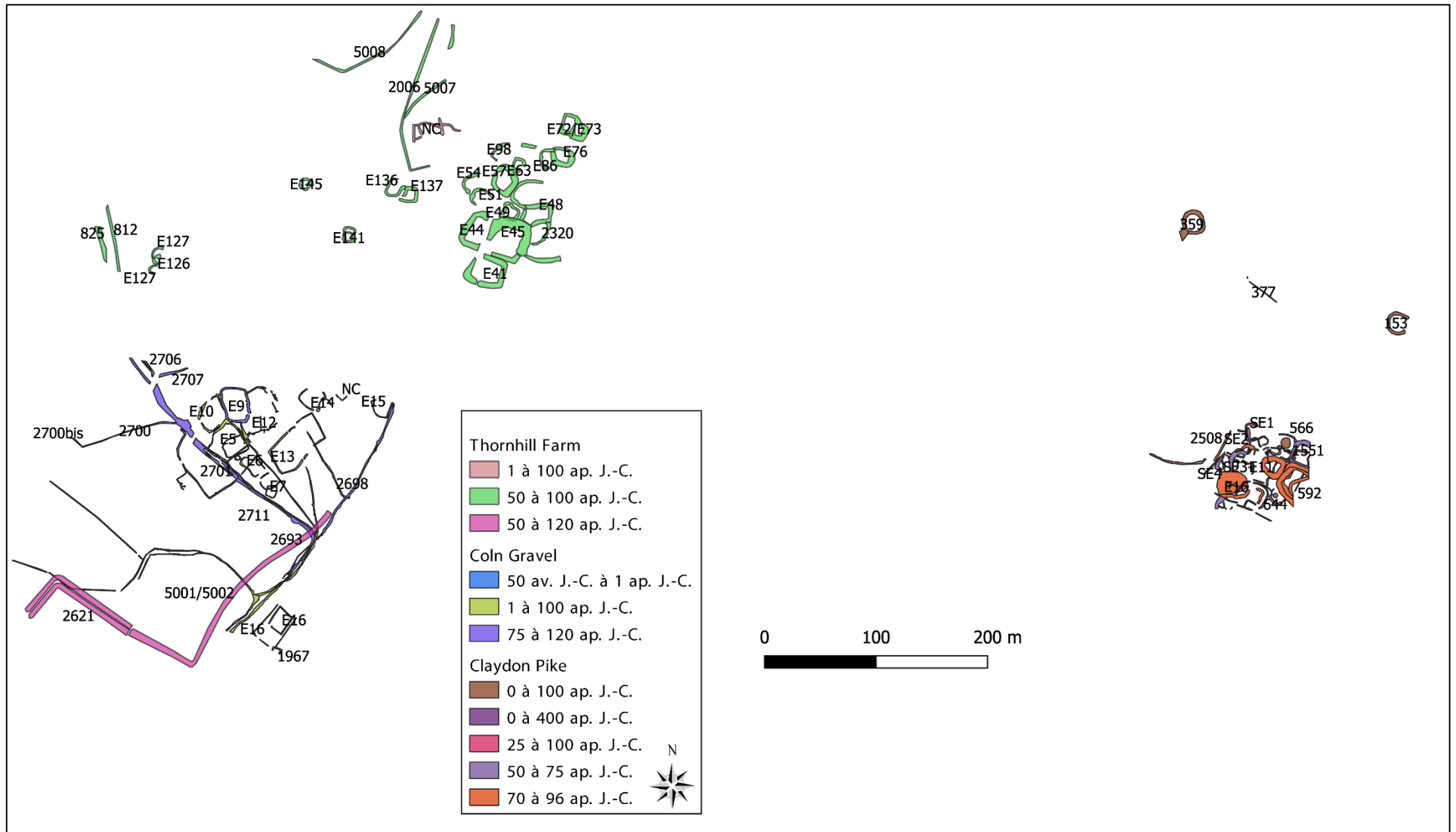


Figure 47. Thornhill Farm et Coln Grave associés à Claydon Pike à l'est - 50 ap. J.-C.

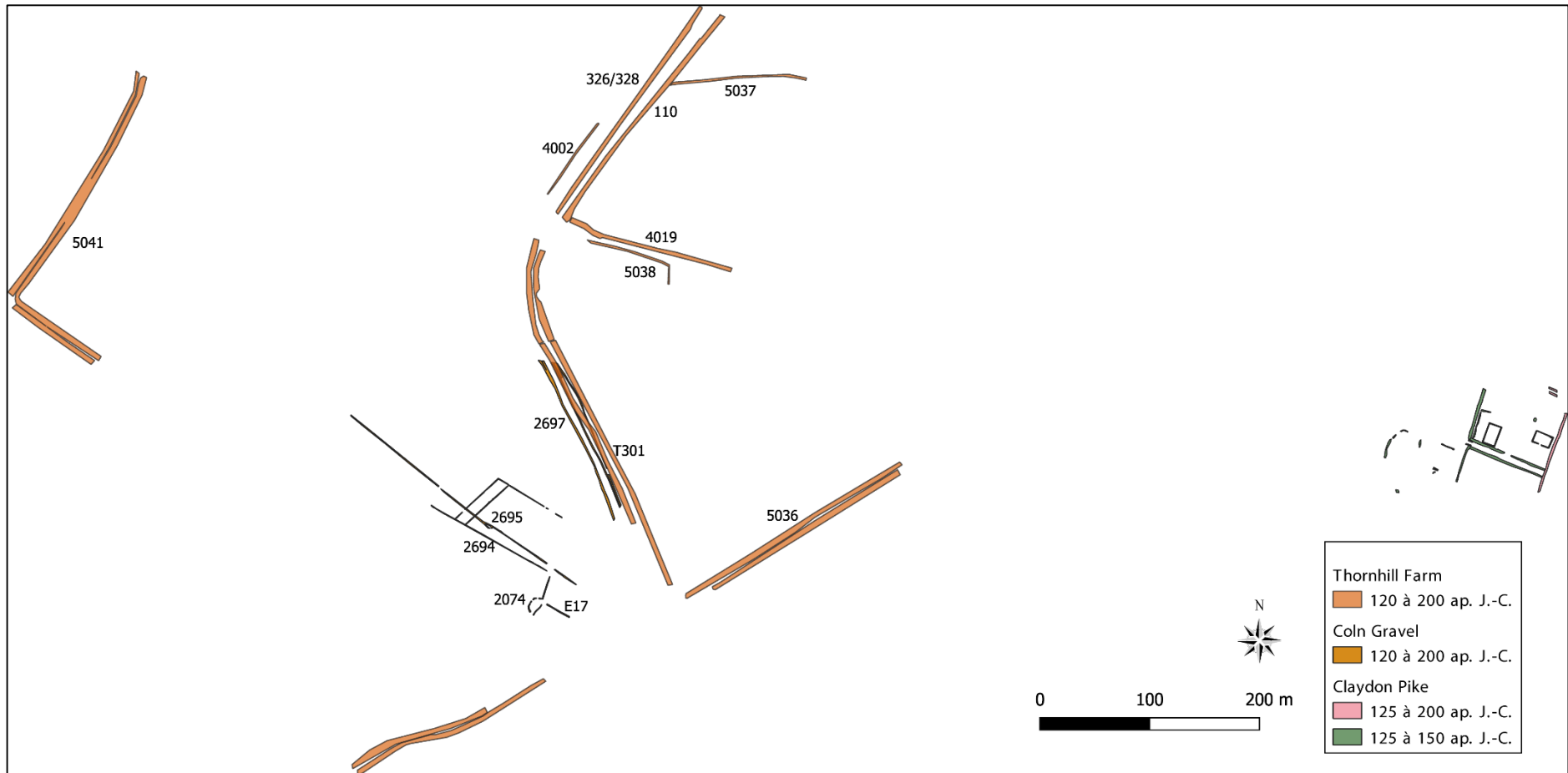


Figure 48. Thornhill Farm et Coln Grave associé à Claydon Pike à l'est - 120 ap. J.-C.

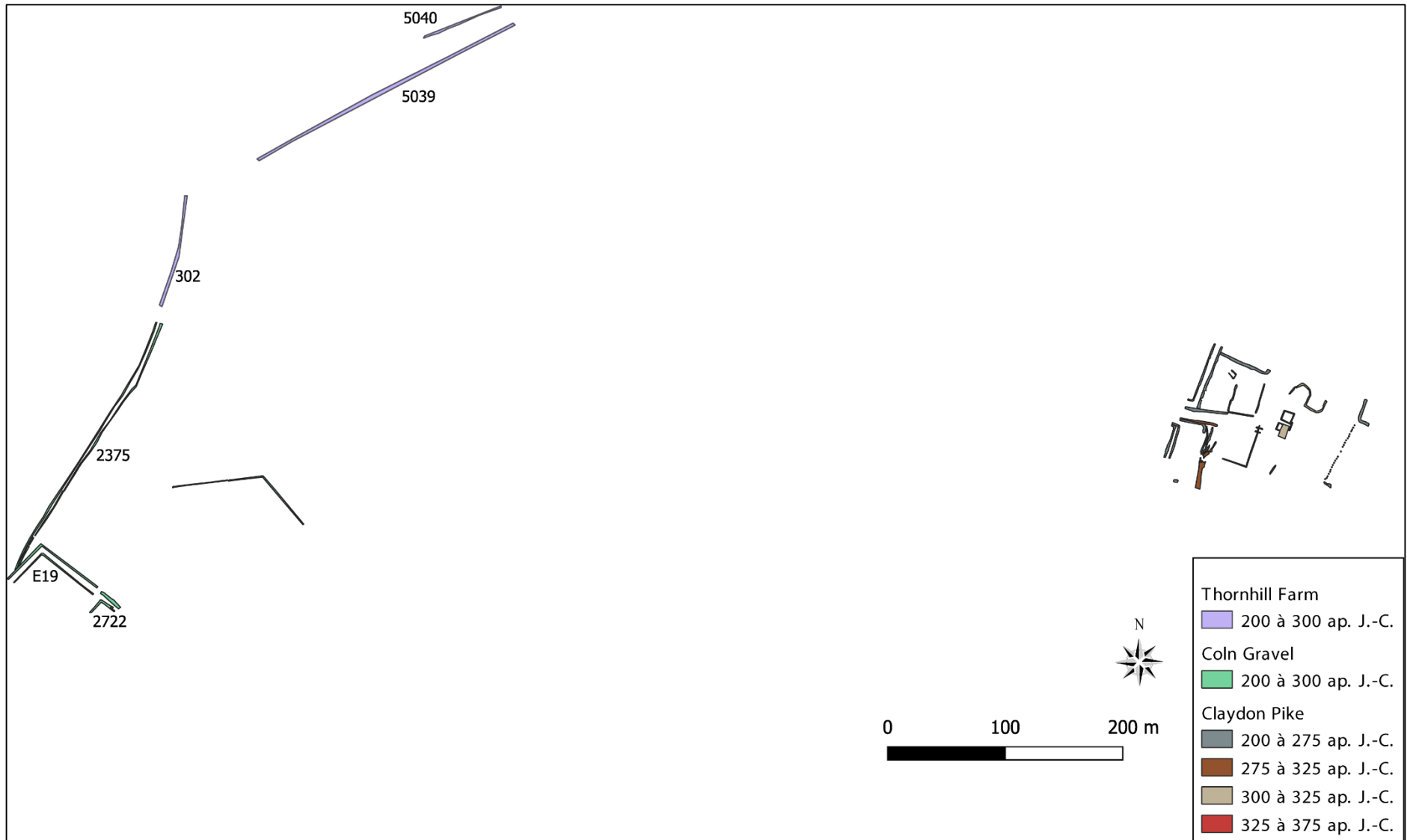


Figure 49. Thornhill Farm et Coln Grave associés à Claydon Pike à l'est - 200 ap. J.-C.



Figure 50. Vue satellite de la fouille au sud de Thornhill Farm, Coln Grave et Claydon pike. Les sites sont représentés en rouge et blanc.

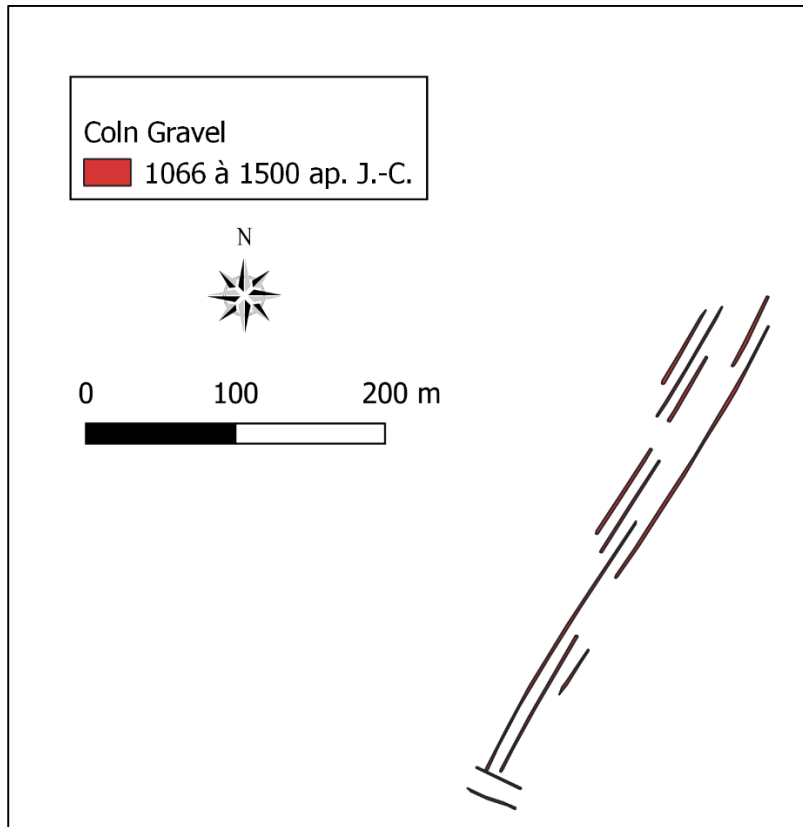


Figure 51. Thornhill Farm - 1066 à 1500 ap. J.-C.

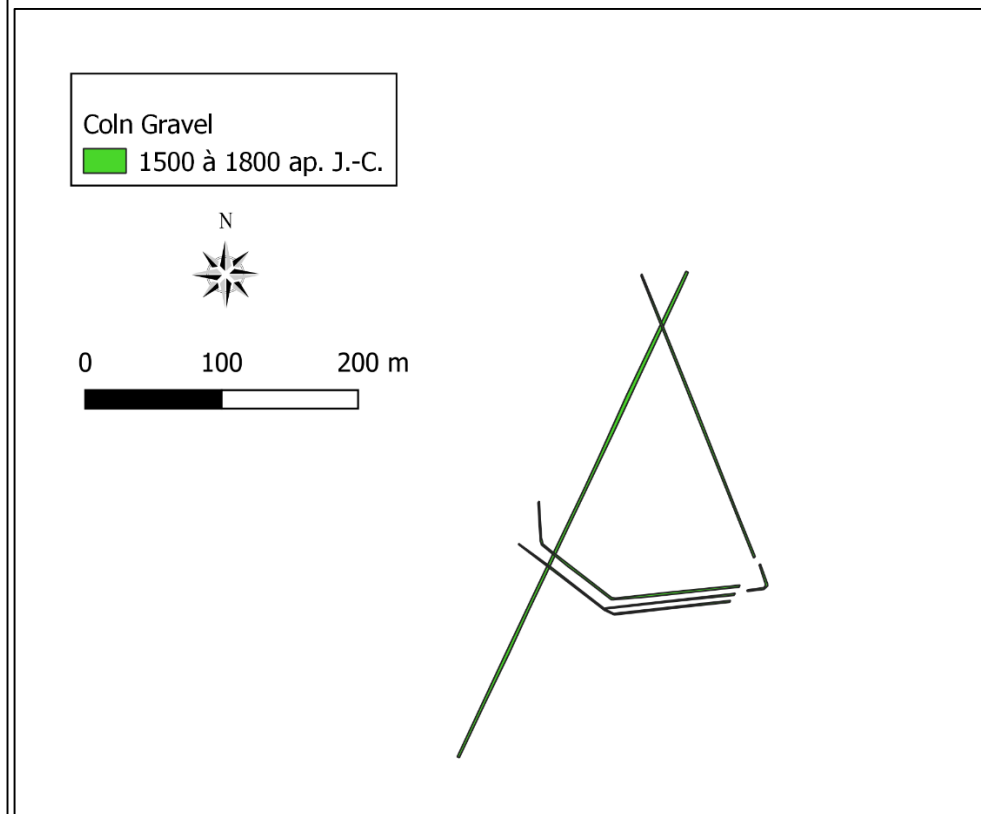


Figure 52. Thornhill Farm - 1500 à 1800 ap. J.-C.

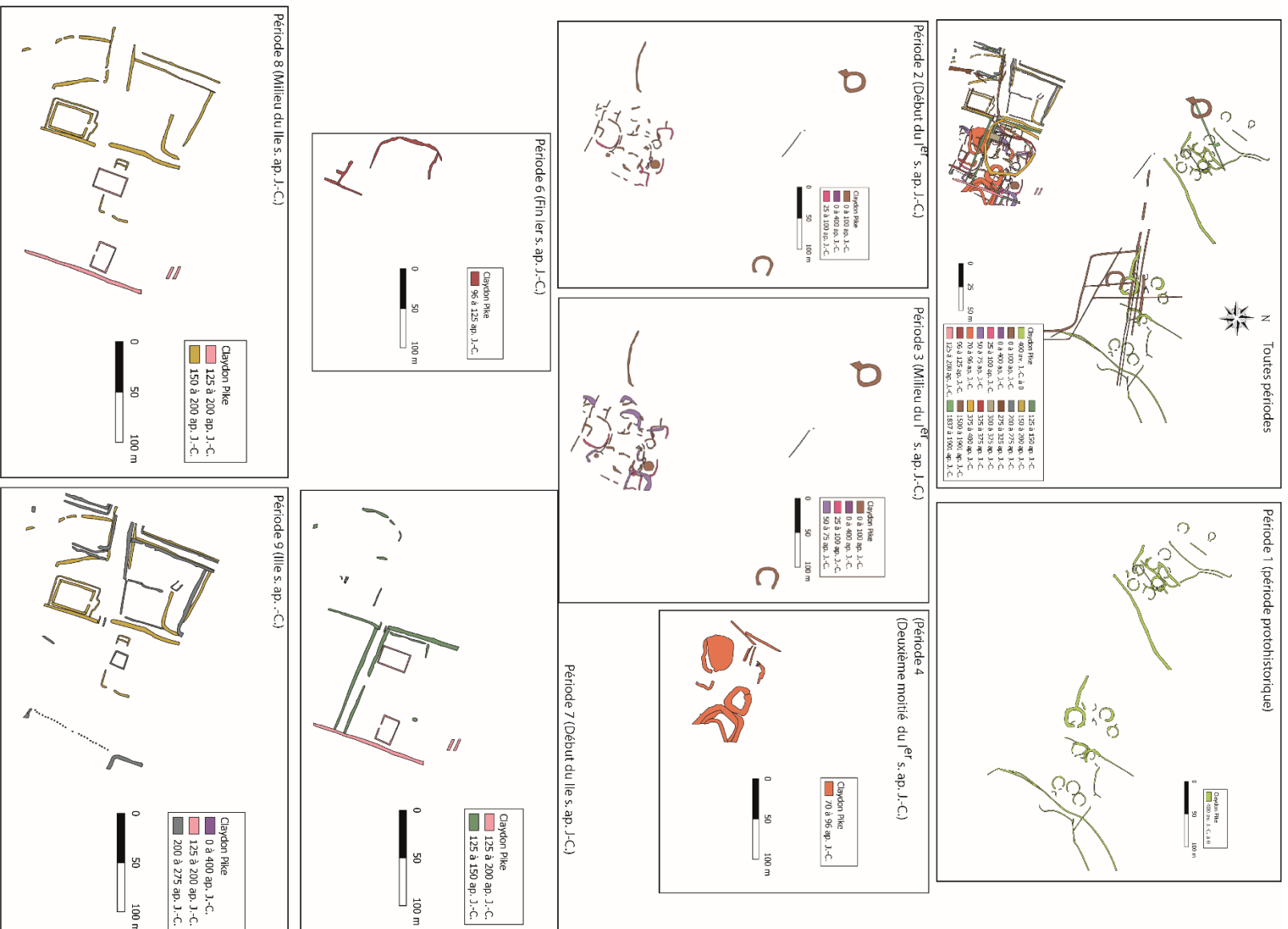
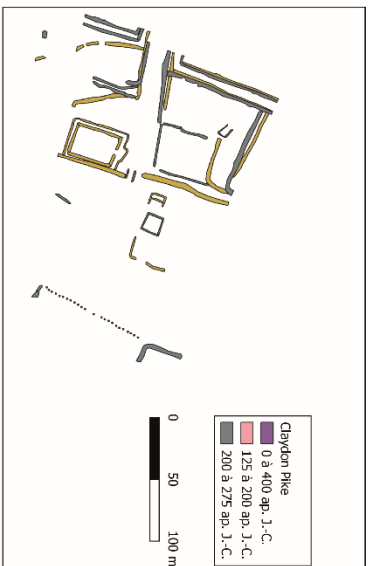
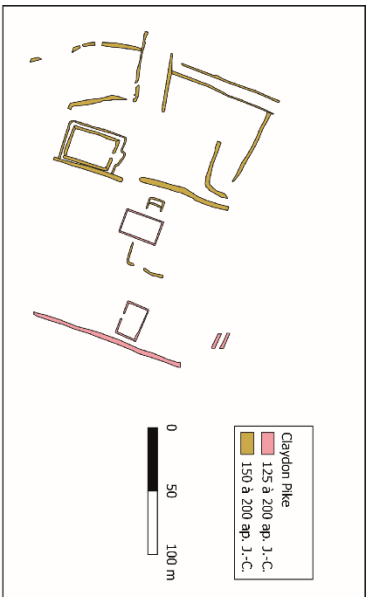
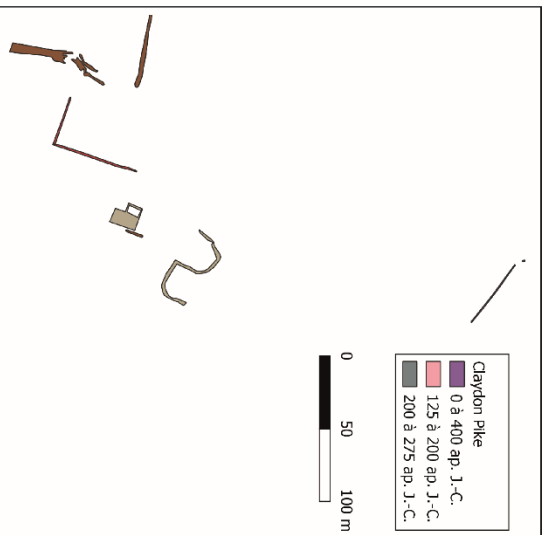
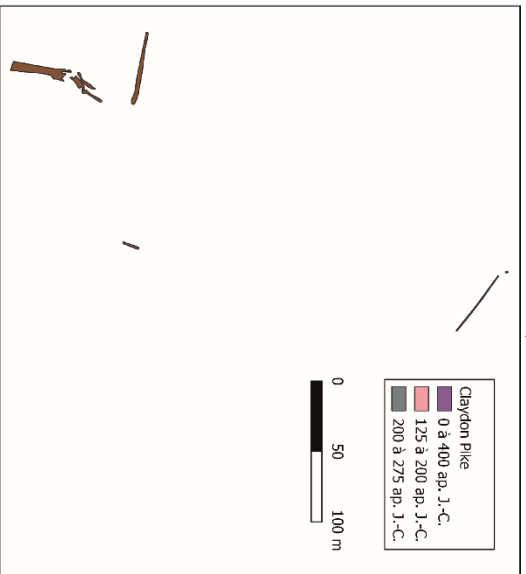


Figure 53. Phasage de Claydon Pike.



Période 10 : Début du IIe s. ap. J.-C.

Période 11 (IIe s. ap. J.-C.)



Période 12 (Fin du IVe s. ap. J.-C.)

Période 14 (Période moderne)

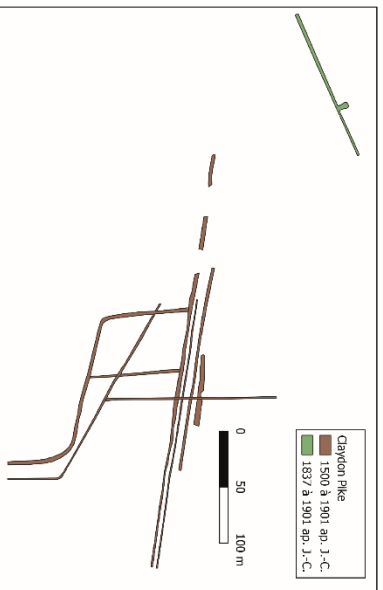
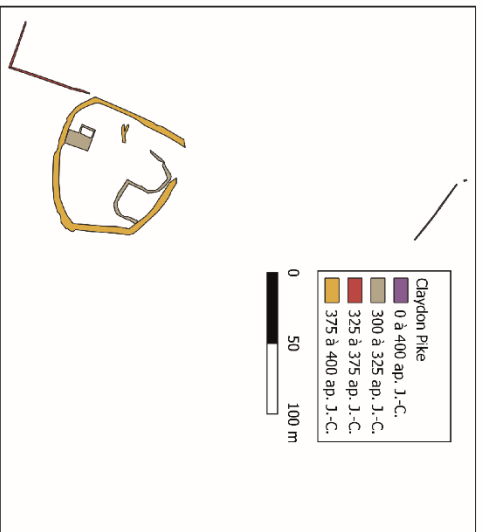


Figure 54. Phasage de Claydon Pike (suite).



Figure 55. Claydon Pike - période 1.

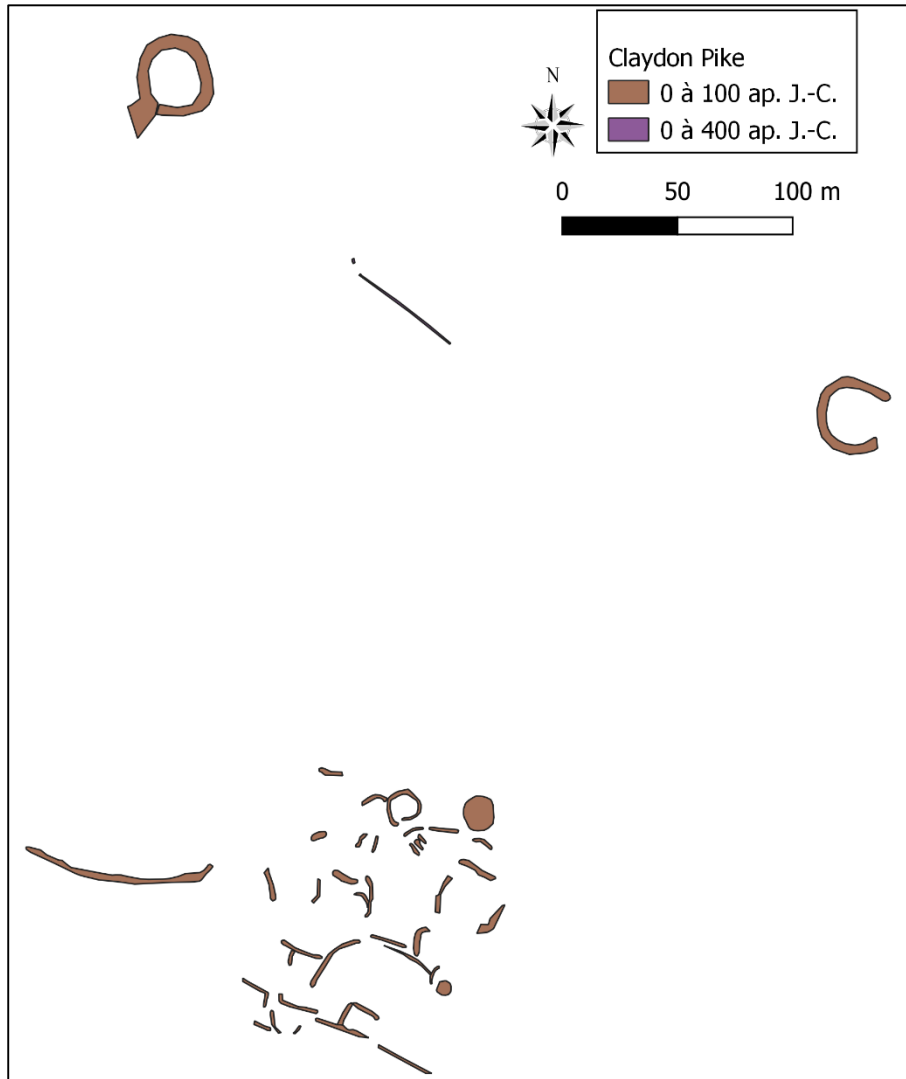


Figure 56. Claydon pike - période 2.

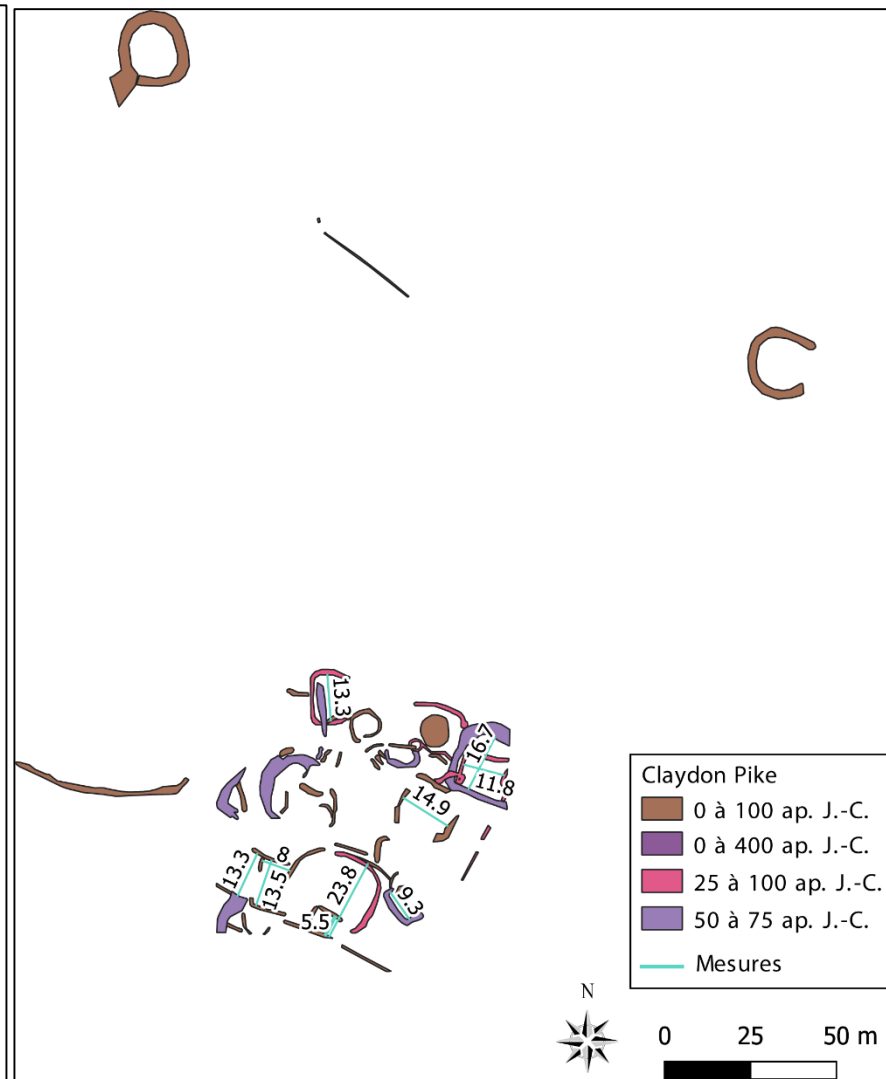


Figure 57. Claydon Pike - Mesures prises entre chaque fossés des périodes 2 à 5.

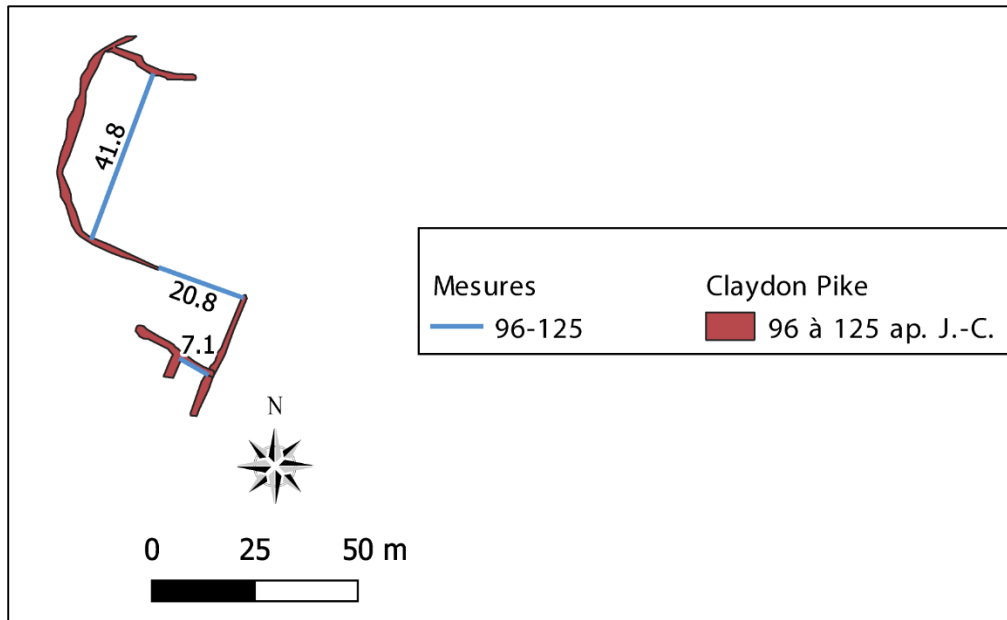
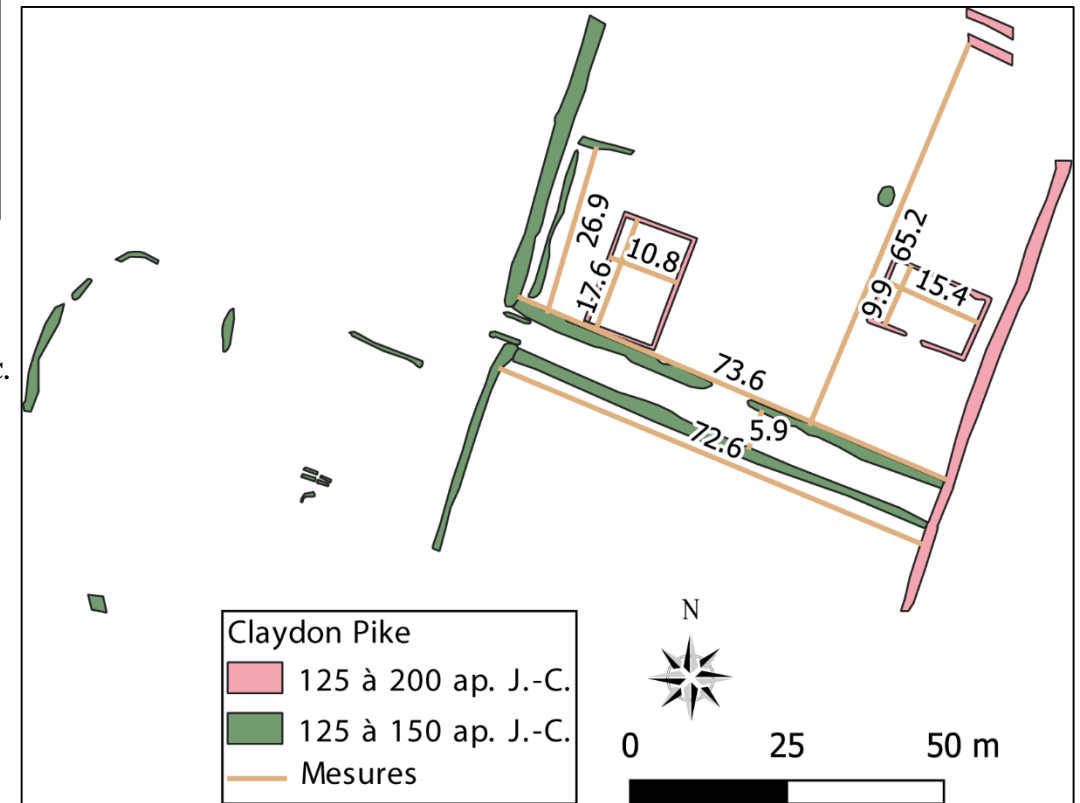


Figure 58. Claydon pike - Fin I^{er} / début II^e siècle ap. J.-C.

Figure 59. Claydon Pike - 125 à 200 ap. J.-C.



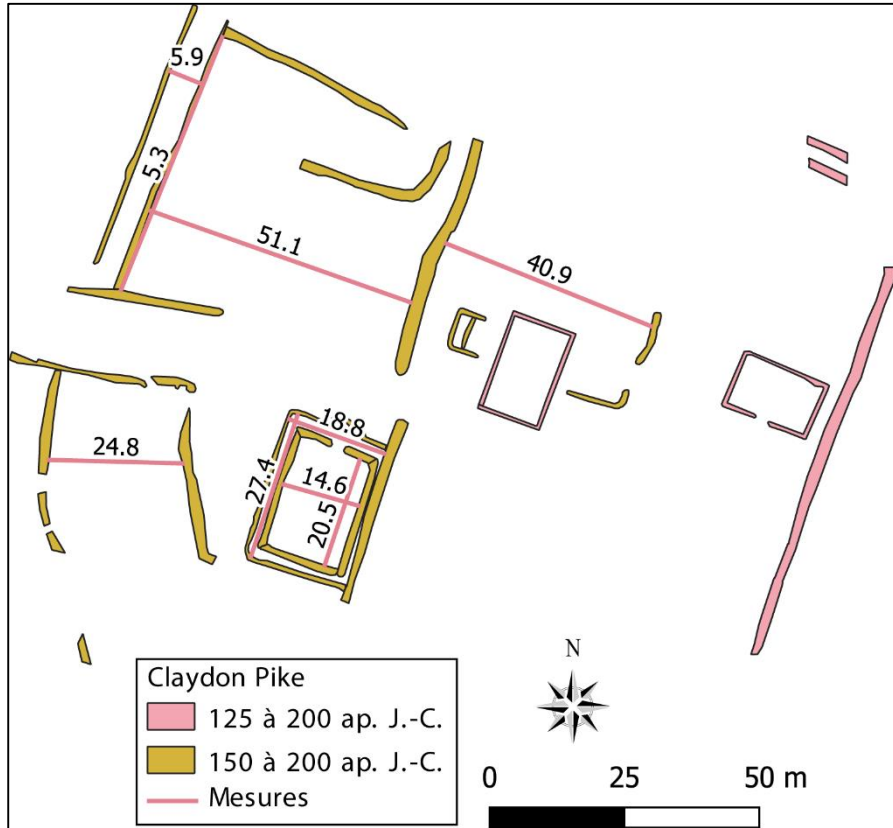


Figure 61. Claydon pike - 125 ap. J.-C.

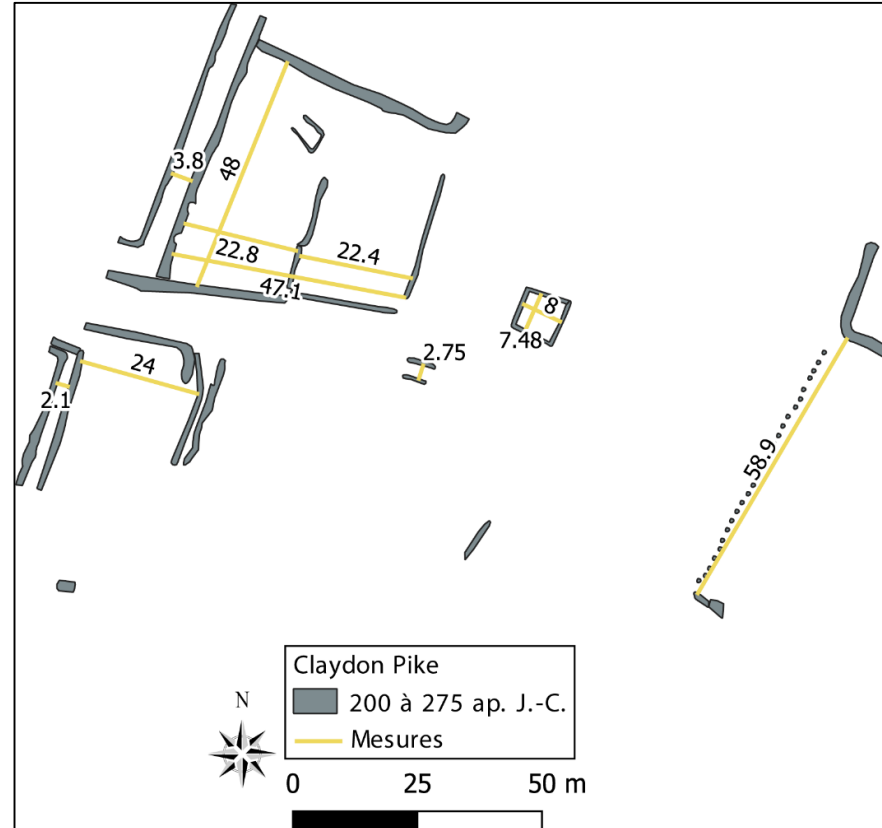


Figure 60. Claydon pike - 200 ap. J.-C.

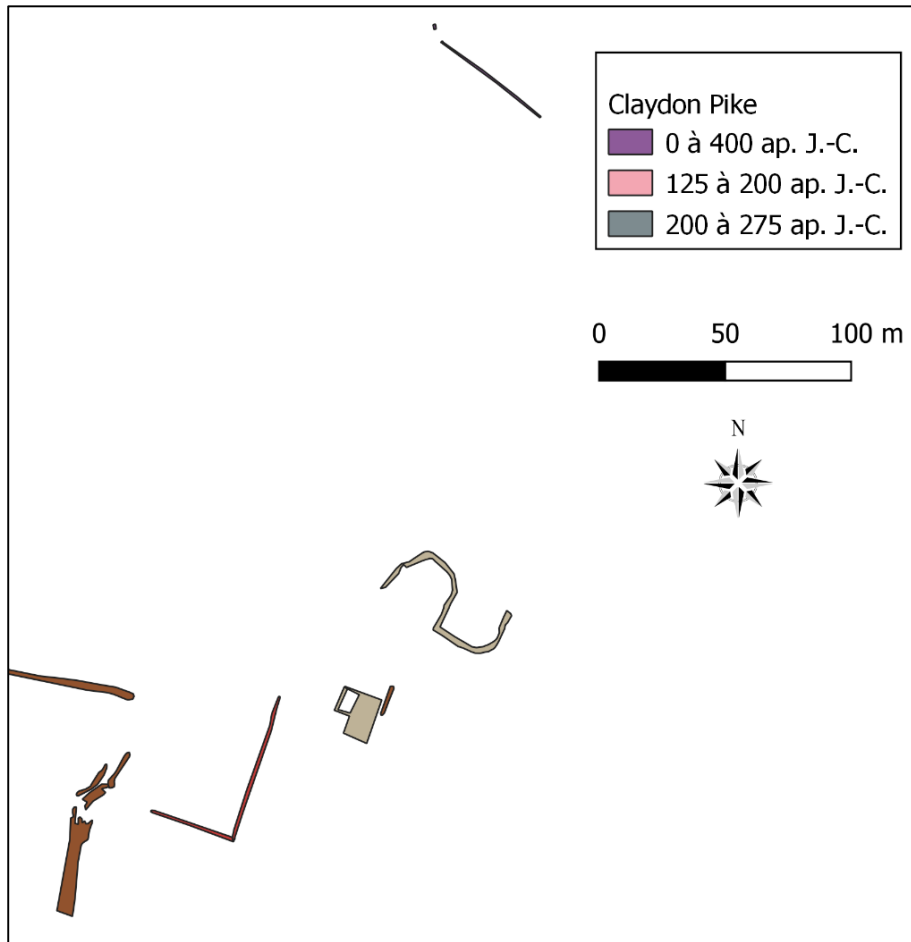


Figure 62. L'installation du bâtiment à Claydon pike à la fin du III^e siècle ap. J.-C.

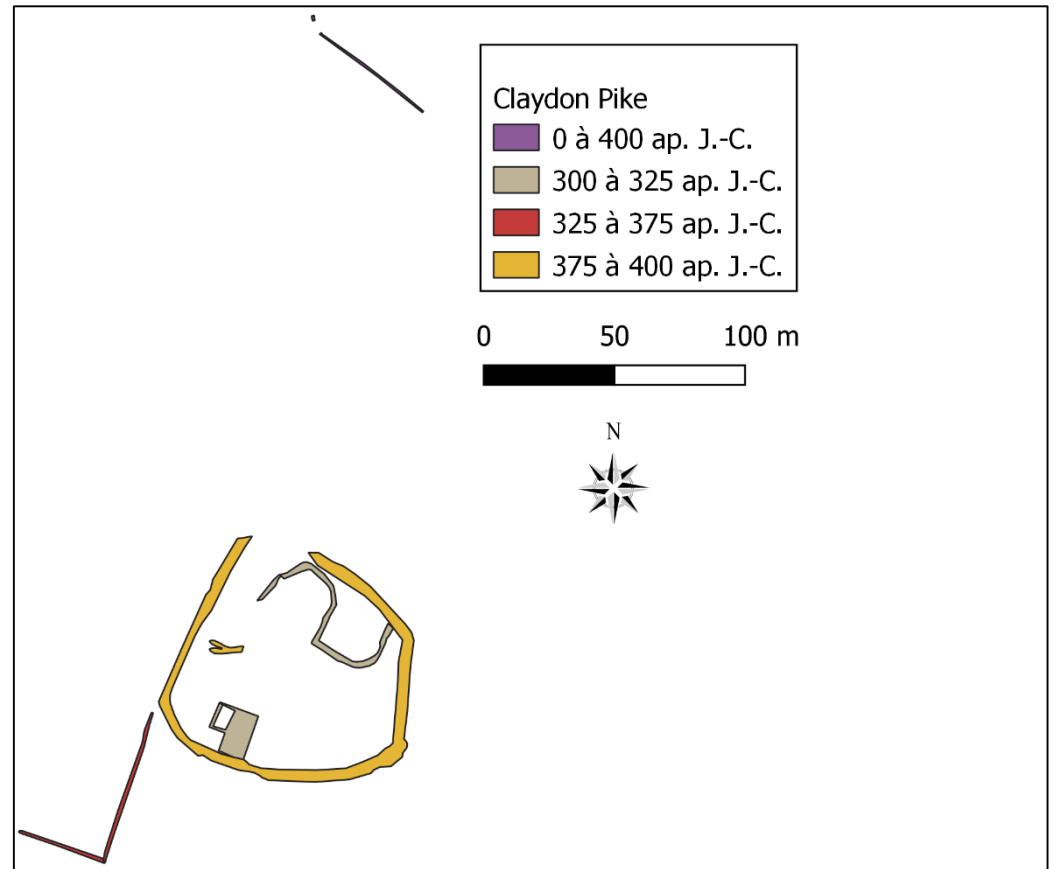


Figure 63. Claydon Pike - IV^e au V^e siècle ap. J.-C.

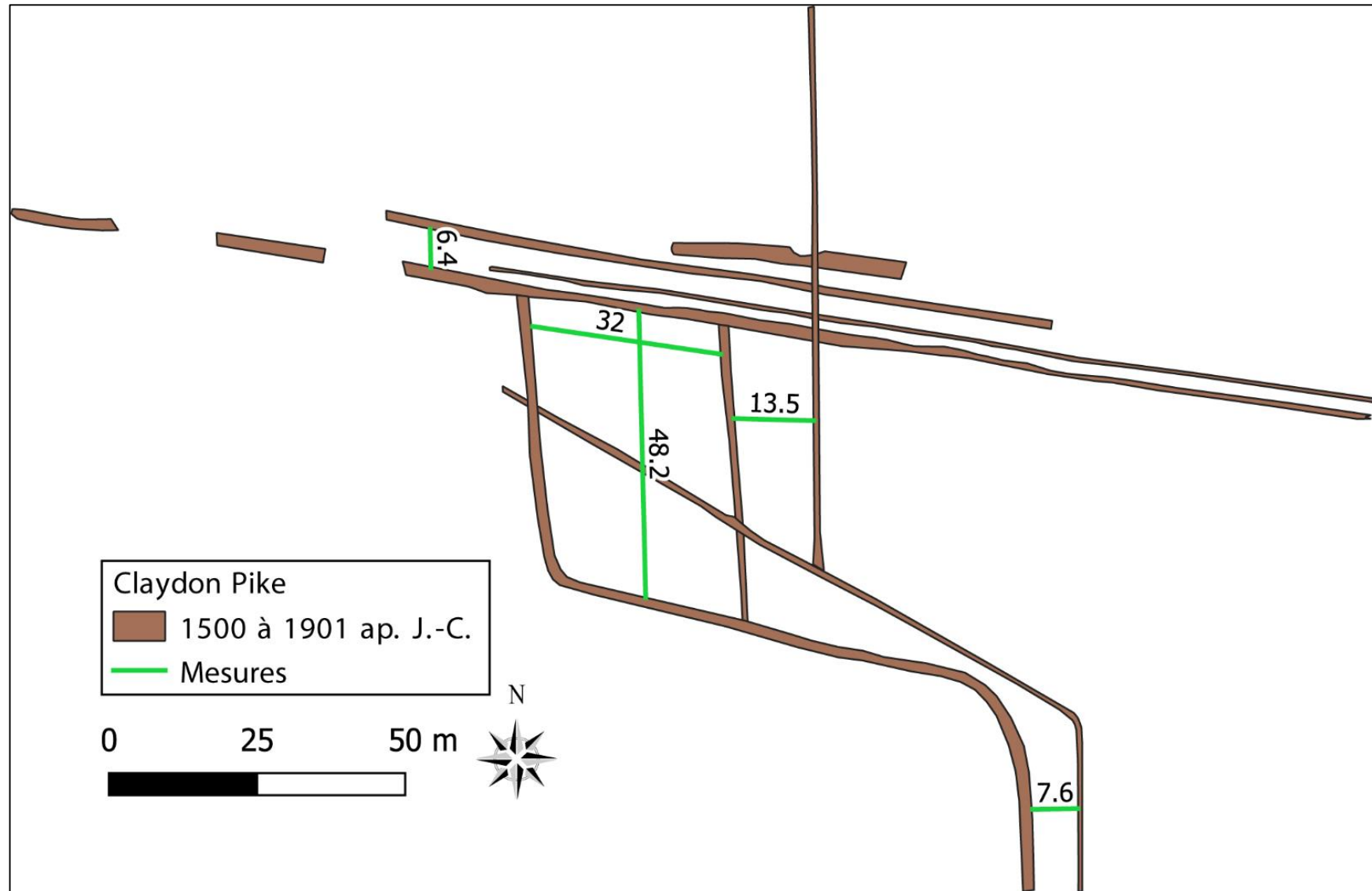
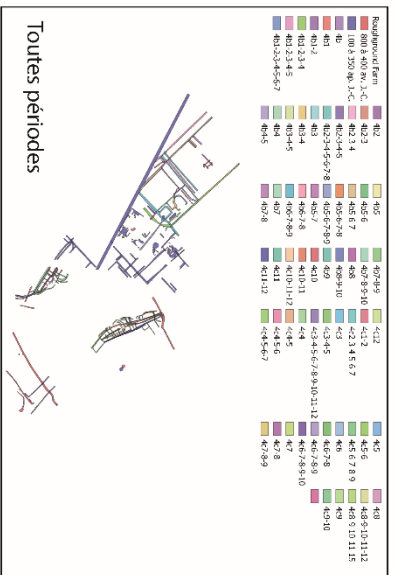
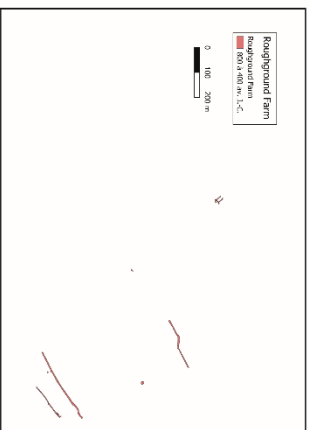


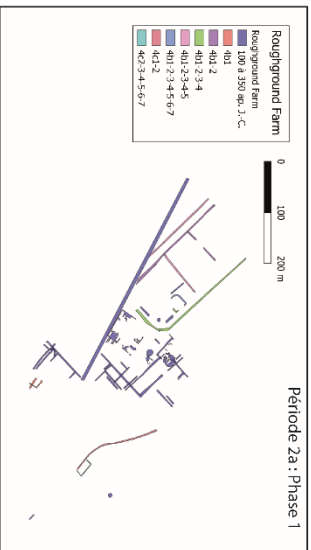
Figure 64. Claydon Pike - période moderne.



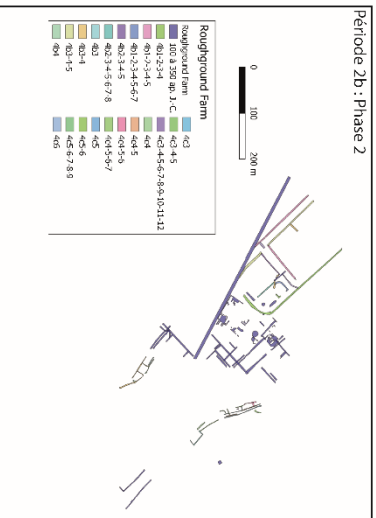
Période 1 (Période protohistorique)



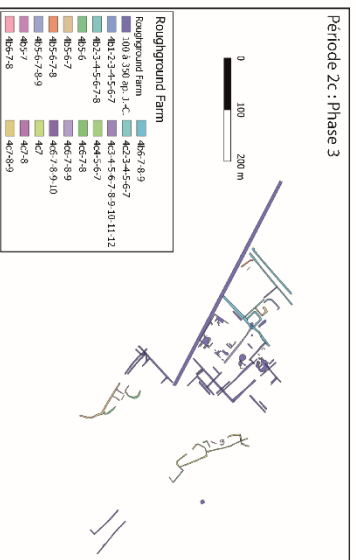
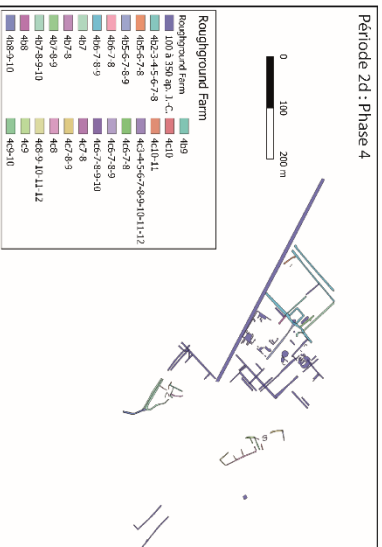
Période 2 (Du le s. ap. J.-C. au milieu du Ve s. ap. J.-C.)



Période 2b : Phase 2



Période 2d : Phase 4



Période 6 : Phase 5

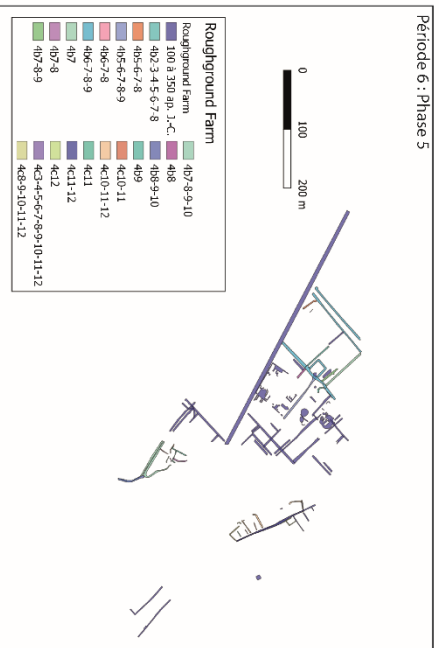


Figure 65. Le site de Roughground Farm.

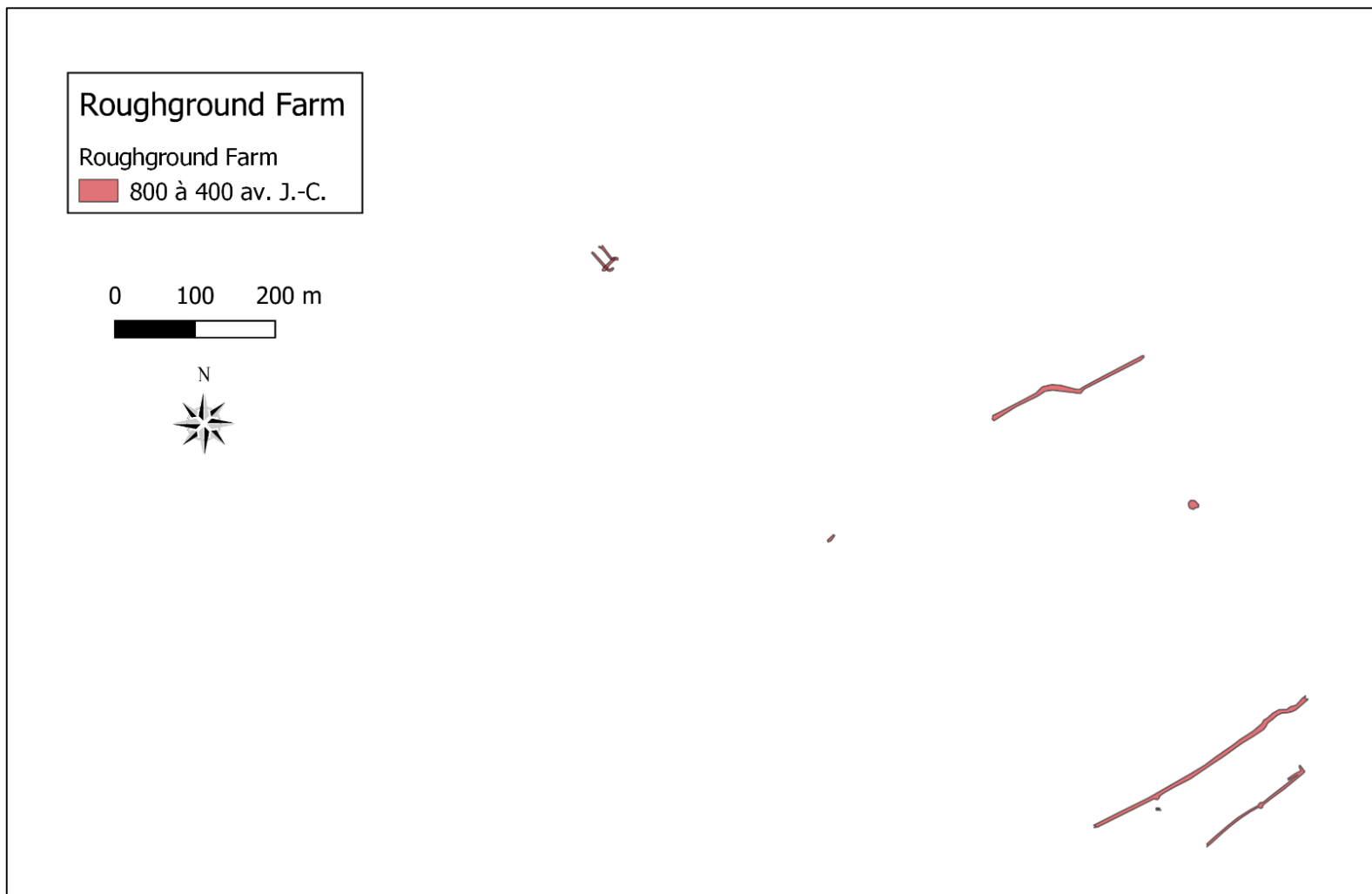


Figure 66. Roughground Farm - 800 à 400 av. J.-C.

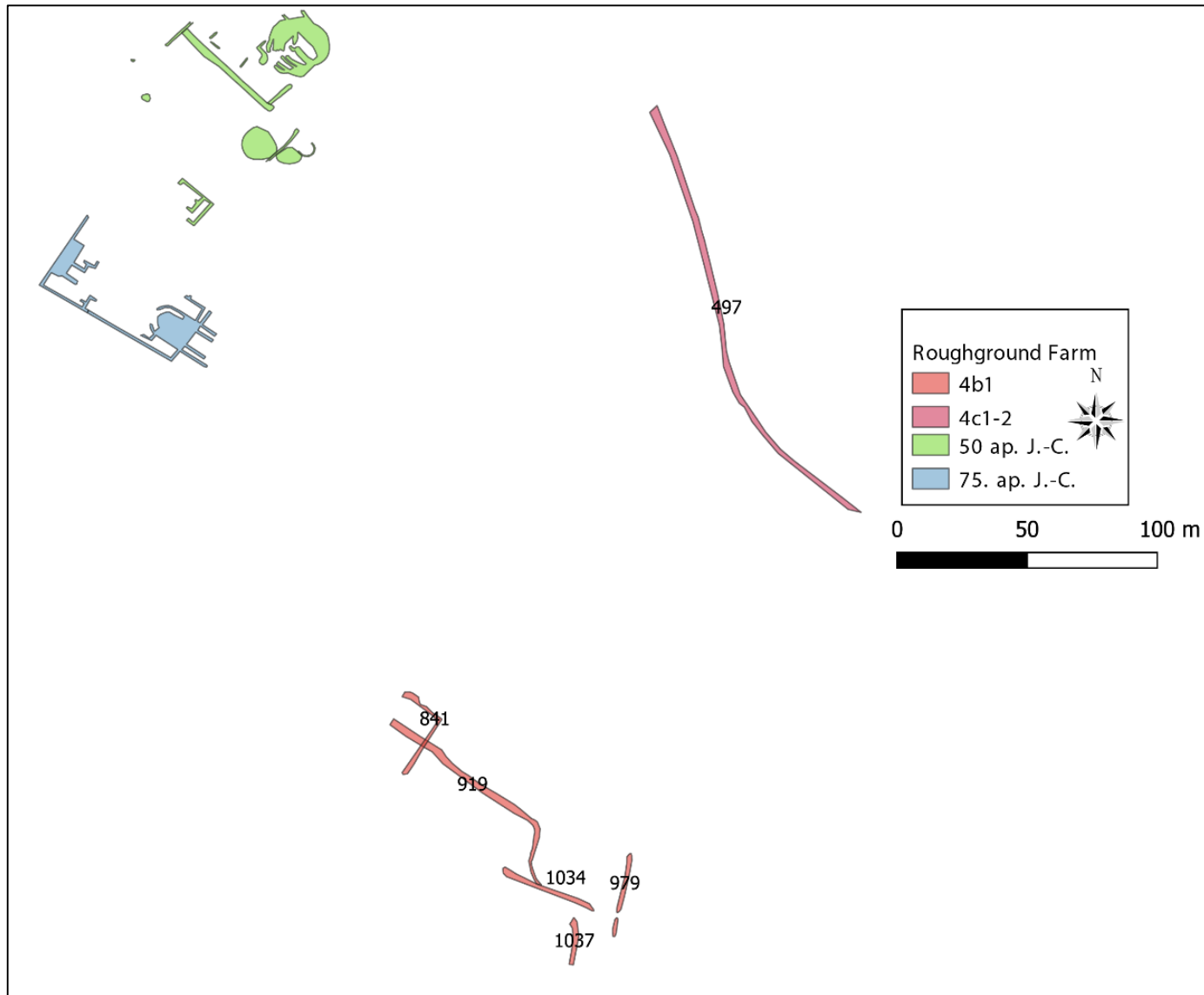


Figure 67. Roughground Farm - Premières installations de la villa et du parcellaire associé.

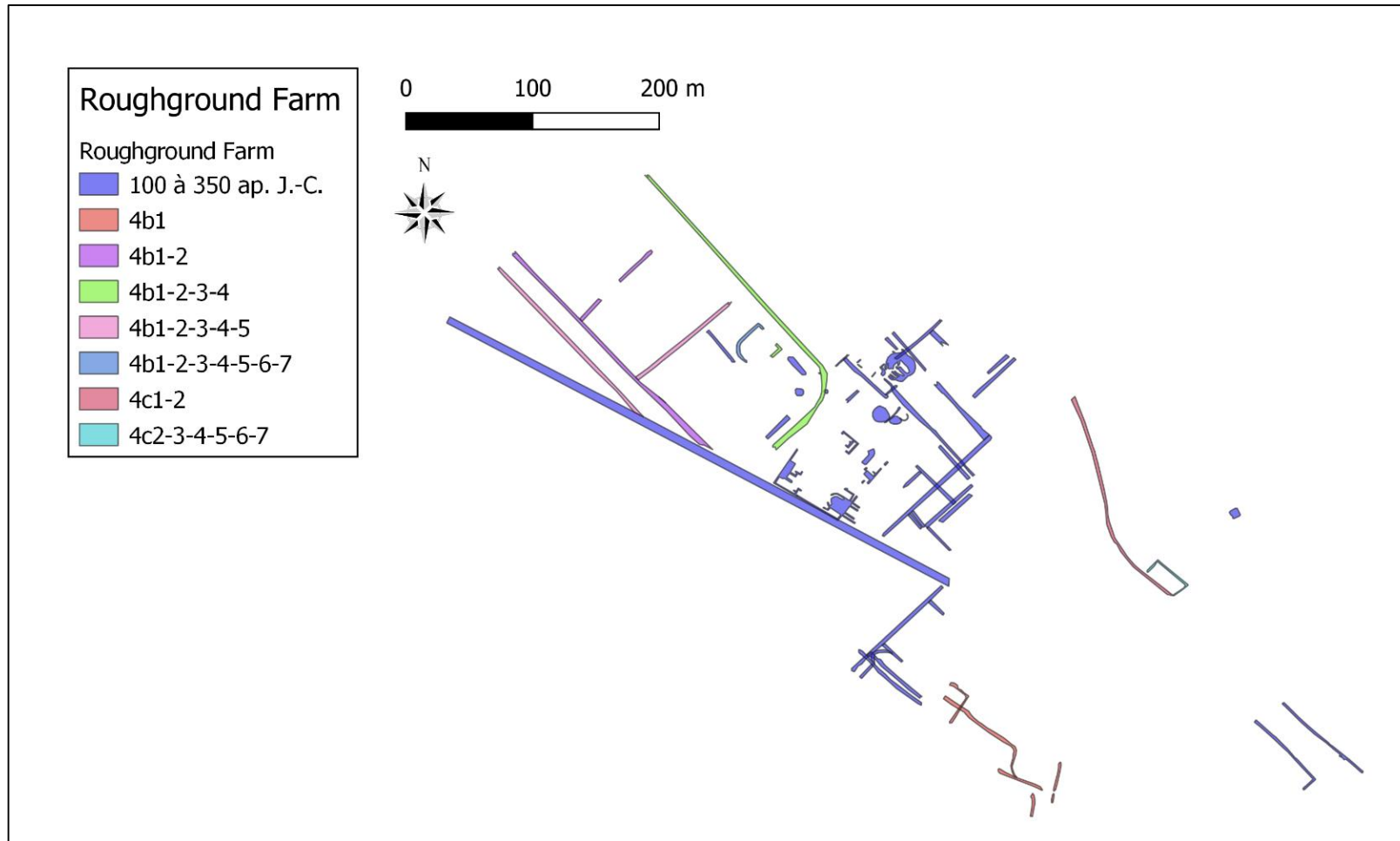


Figure 68. Roughground Farm – la villa et son parcellaire vers 160 ap. J.-C.

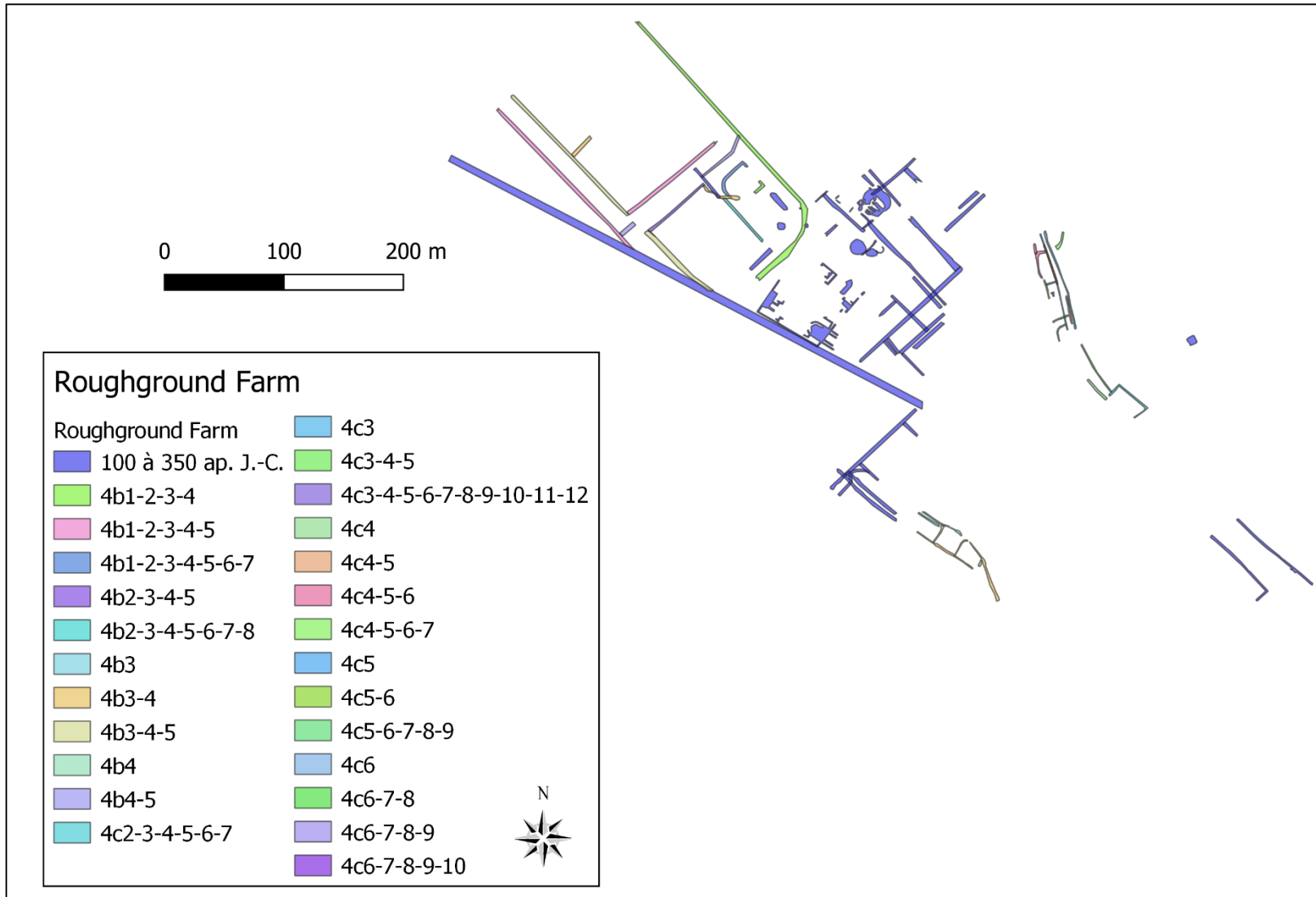


Figure 69. Roughground Farm - Phase 2 de la villa.

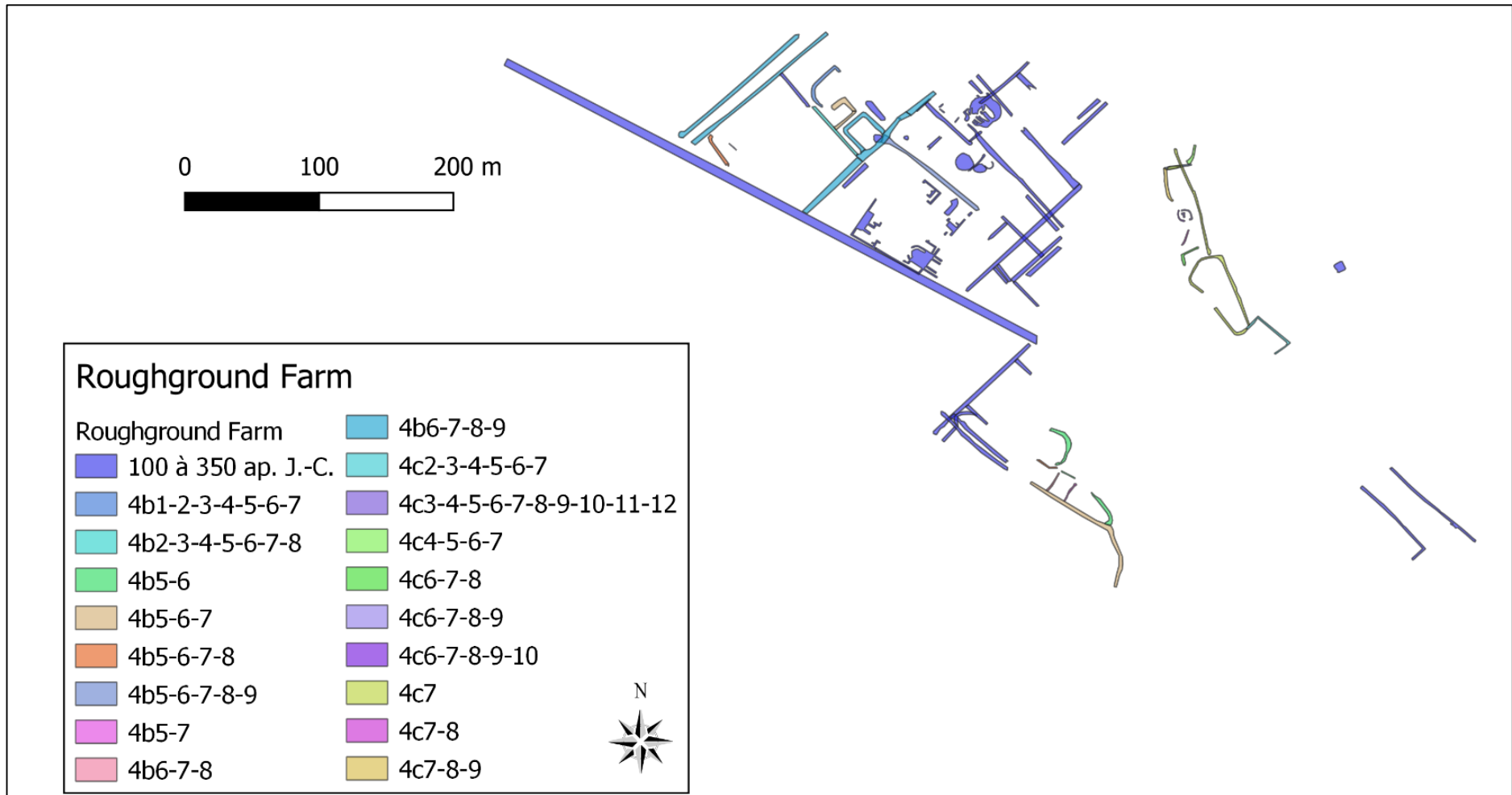


Figure 70. Roughground Farm - phase 3 de la villa.

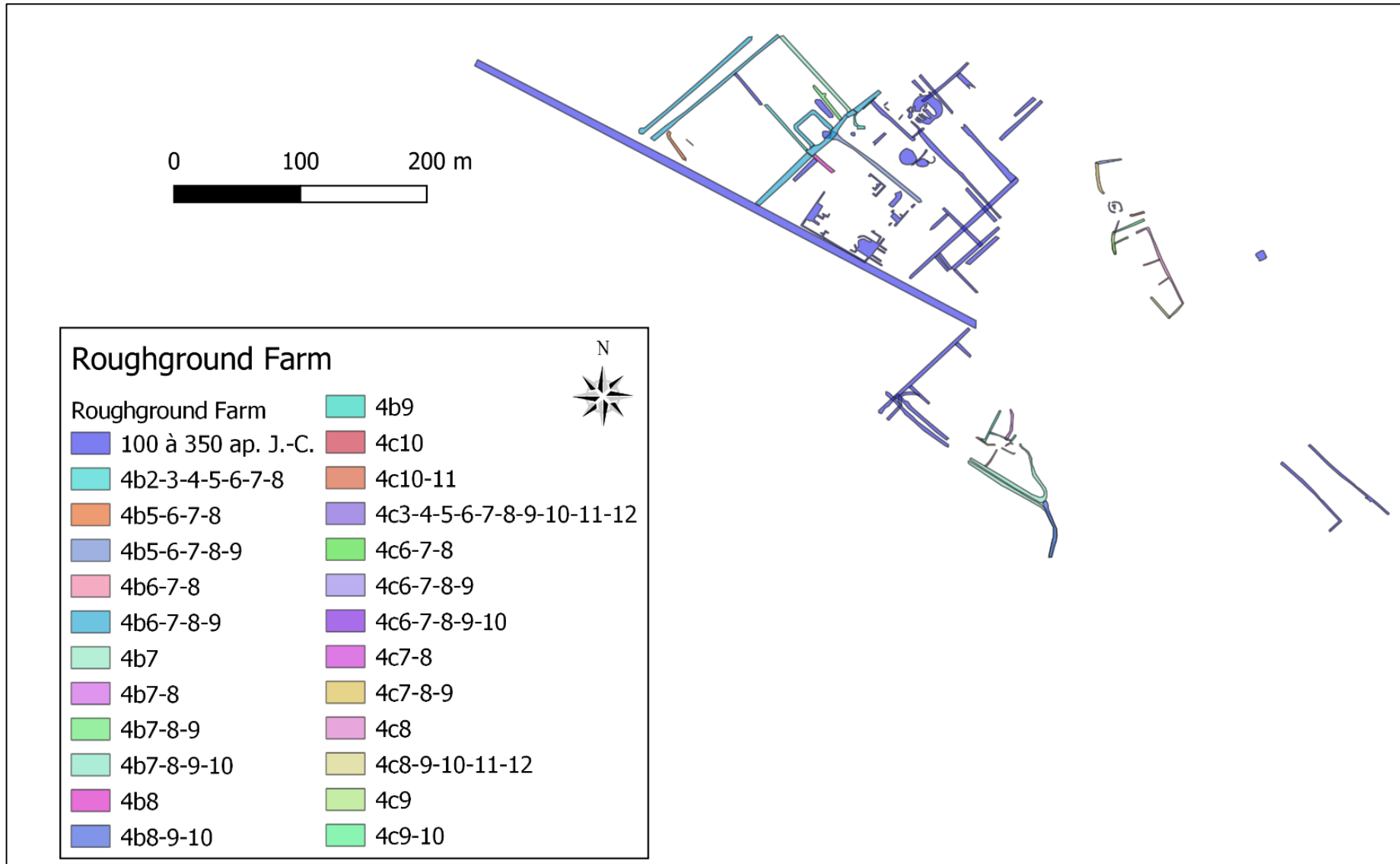


Figure 71. Roughground Farm - Phase 4 de la villa.

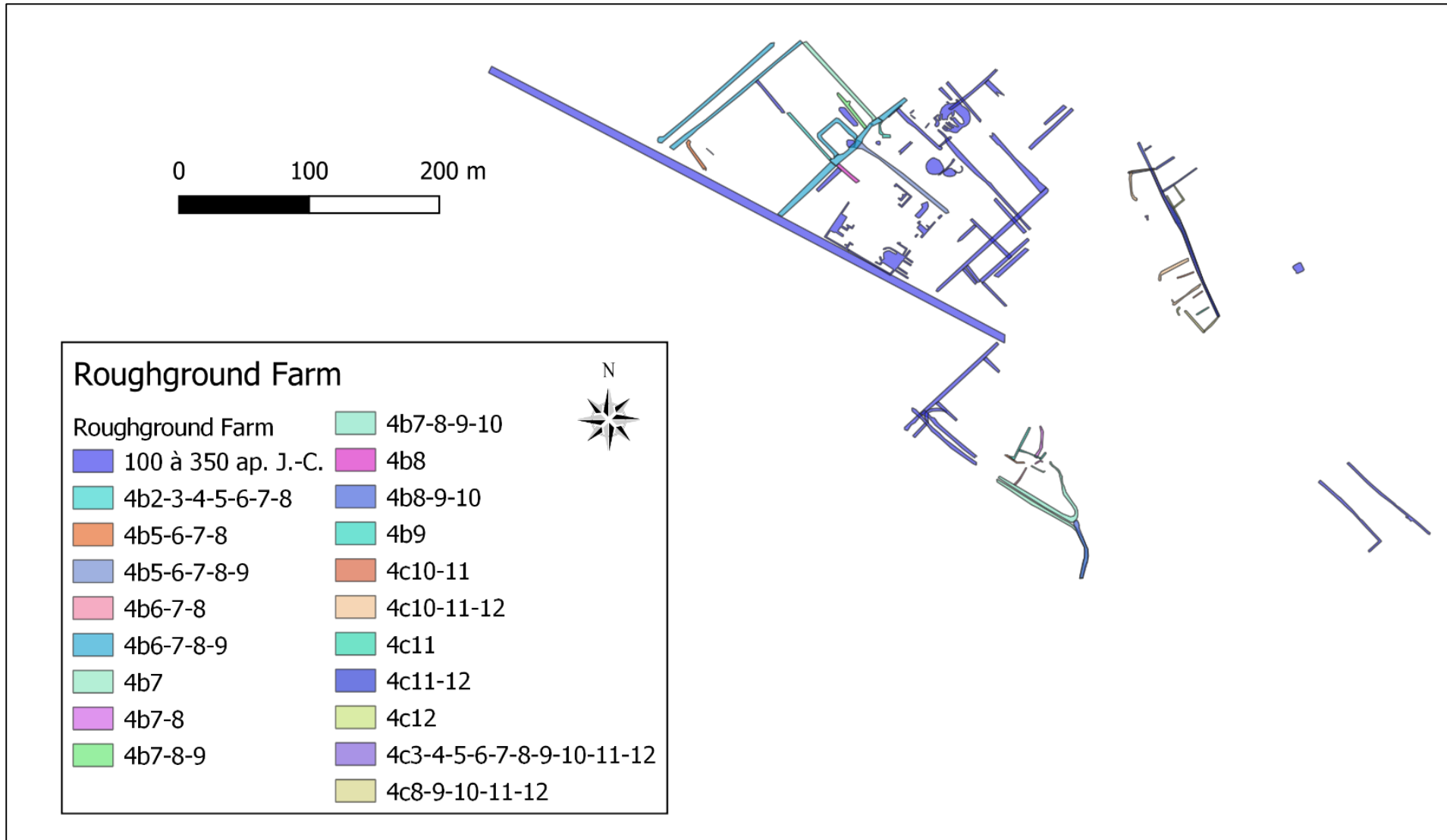
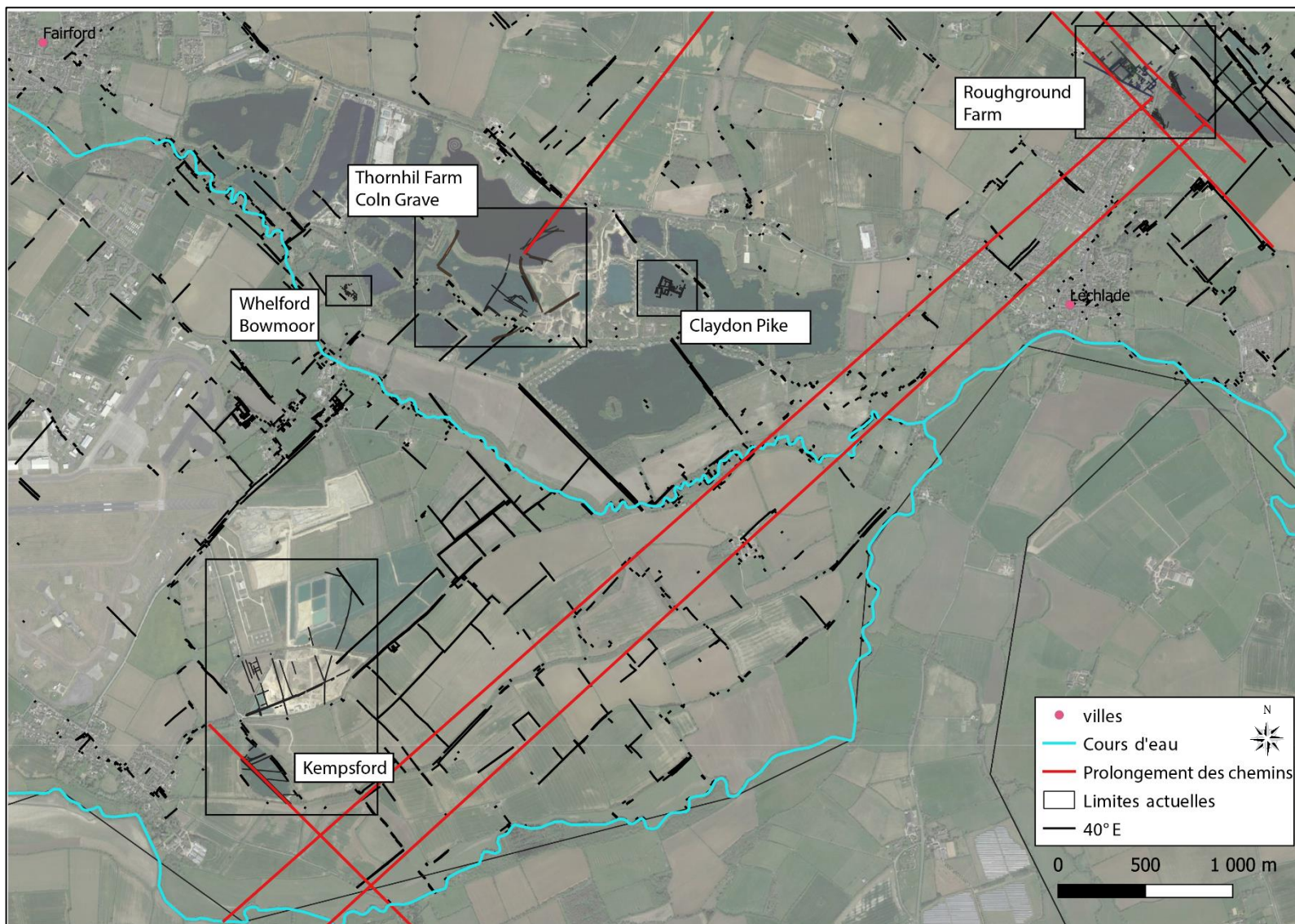
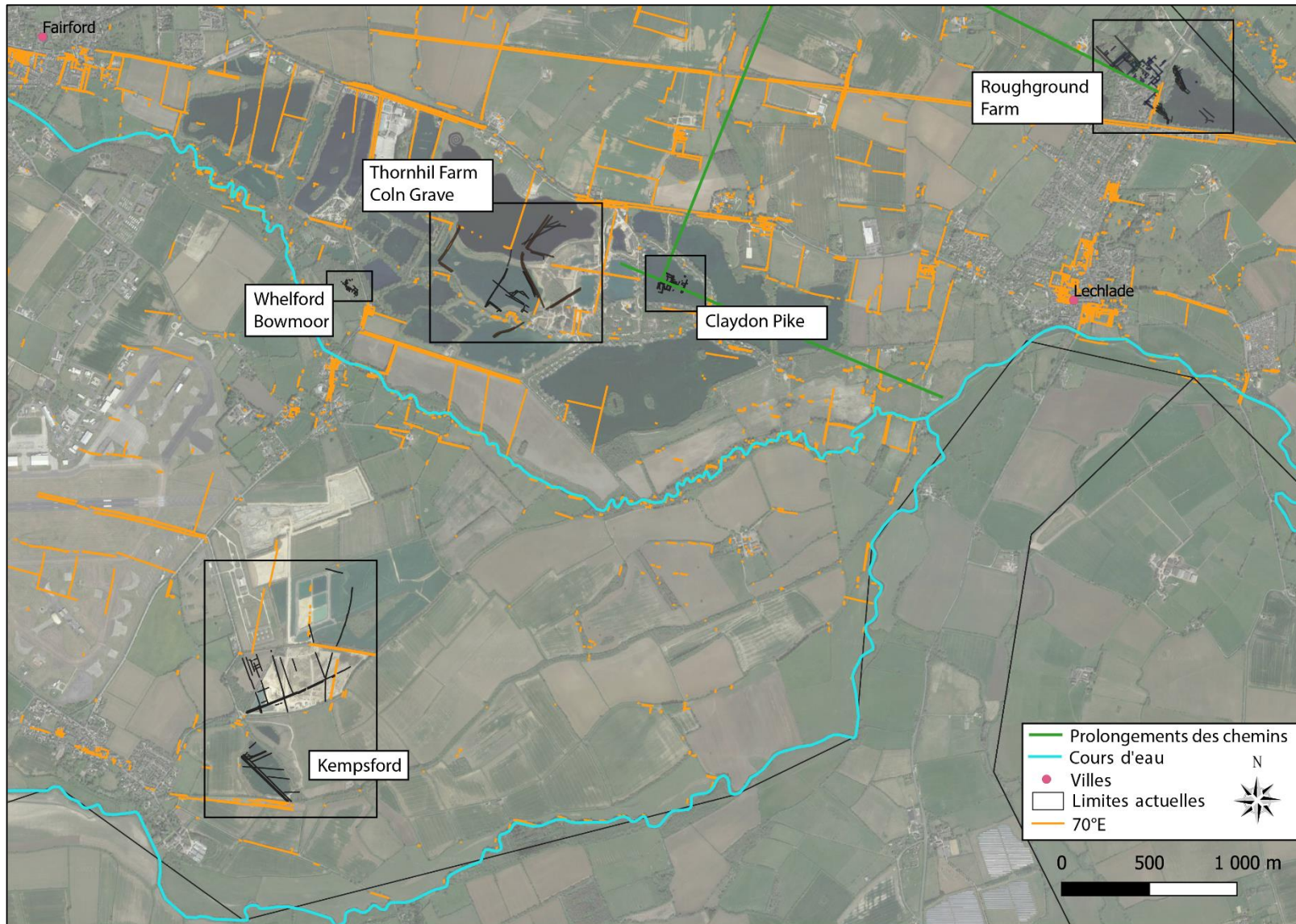


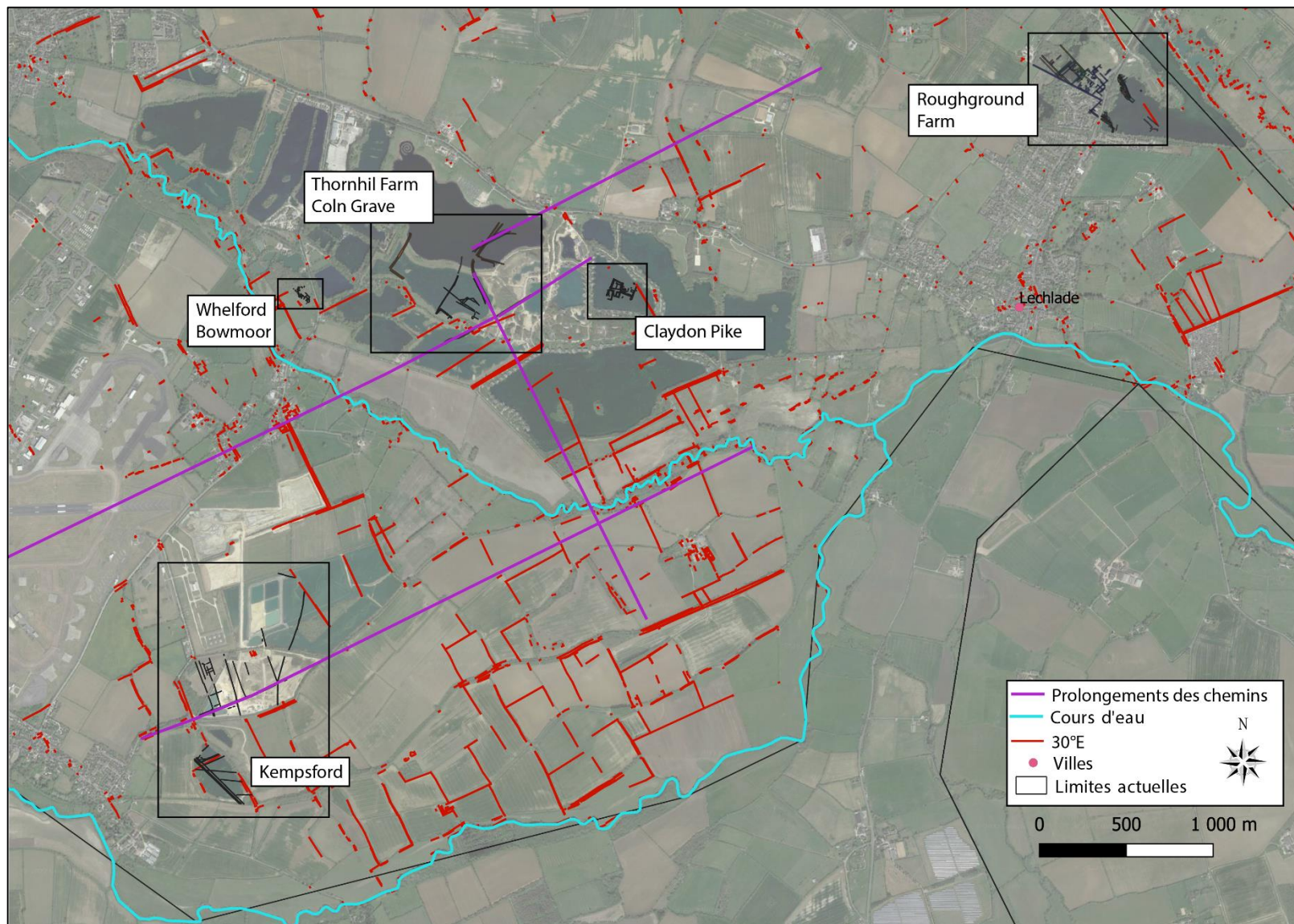
Figure 72. Les derniers changements du parcellaire associé à la villa (la phase 4 correspond à la période entre 100 et 350 ap. J.-C, elle se décline de 4b à 4c12).



Carte 26. Prolongements de chemins antiques découverts en fouilles (en rouge) intégrés dans les segments parcellaires du XIX^e siècle orientés à 40°E.



Carte 27. Prolongements de chemins antiques découverts en fouilles (en vert) intégrés aux segments parcelaires du XIX^e siècle orientés à 70°E.



Carte 28. Prolongements de chemin antiques découverts en fouilles (violet) intégrés aux segments parcellaires au XIX^e siècle orientés à 30°E.

Orientations des structures fossoyées par sites fouillés

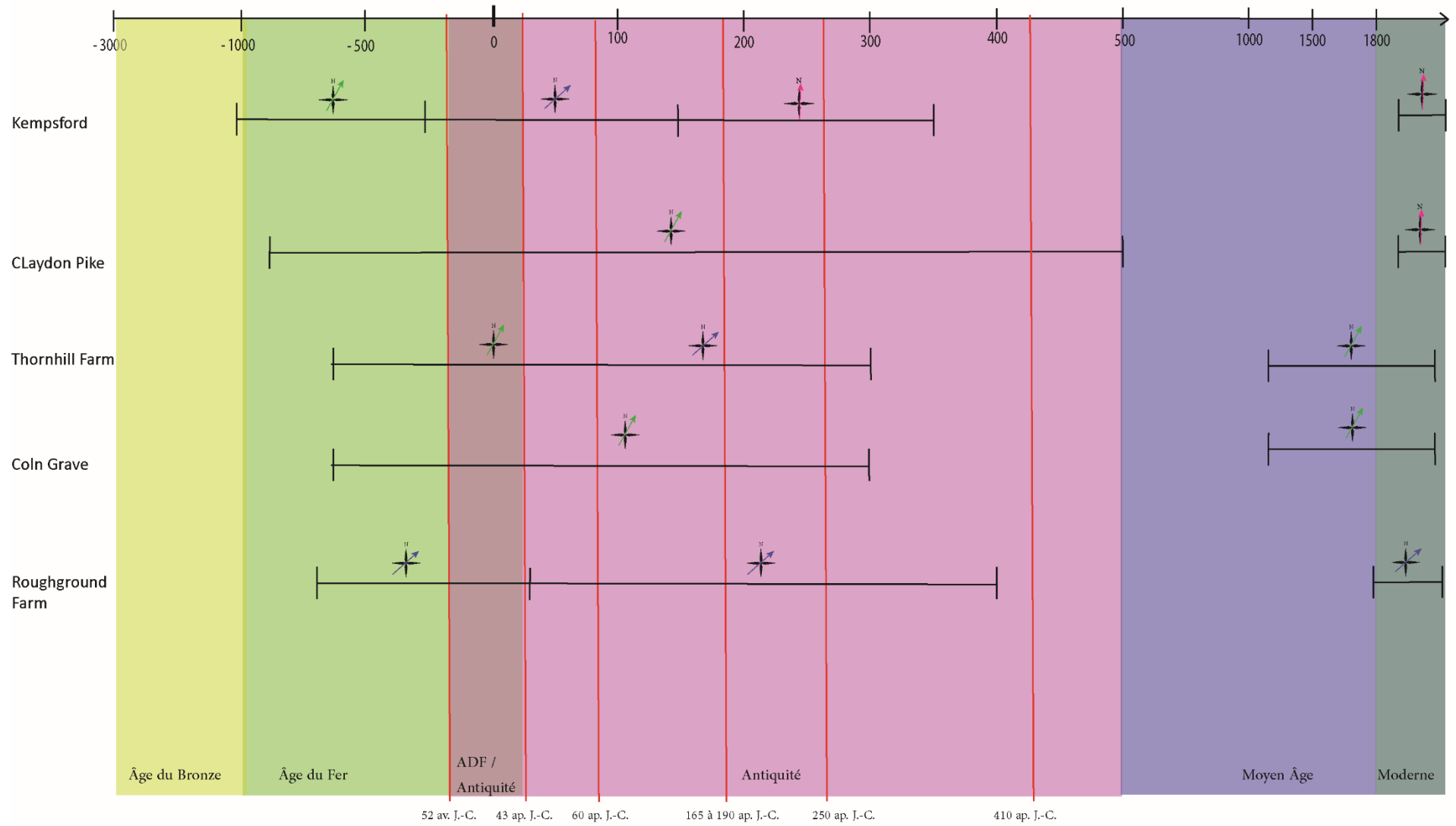


Figure 73. Orientations des structures fossoyées du secteur étudié des Cotswolds. Les dates correspondent aux événements discutés dans le chapitre VI.

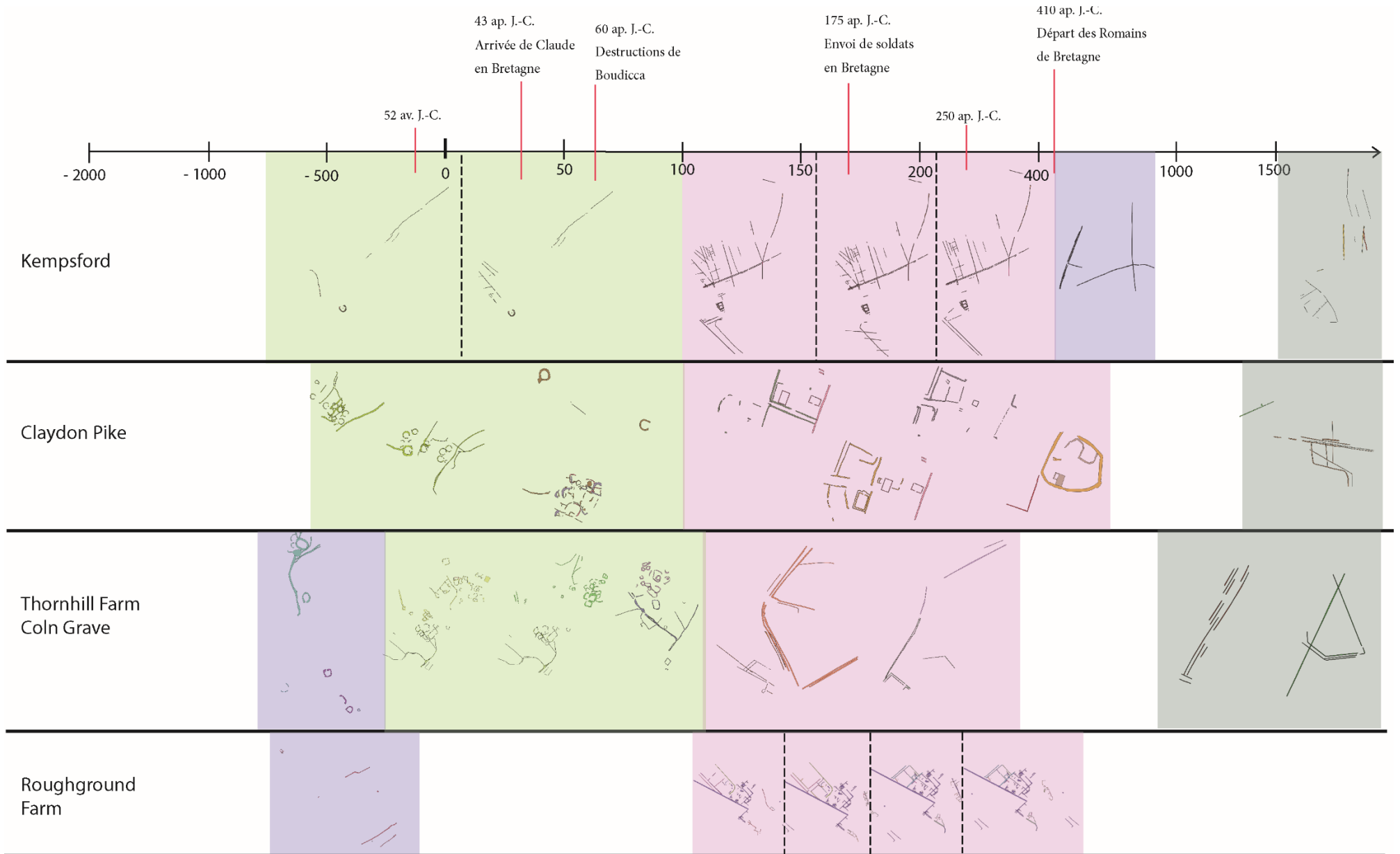
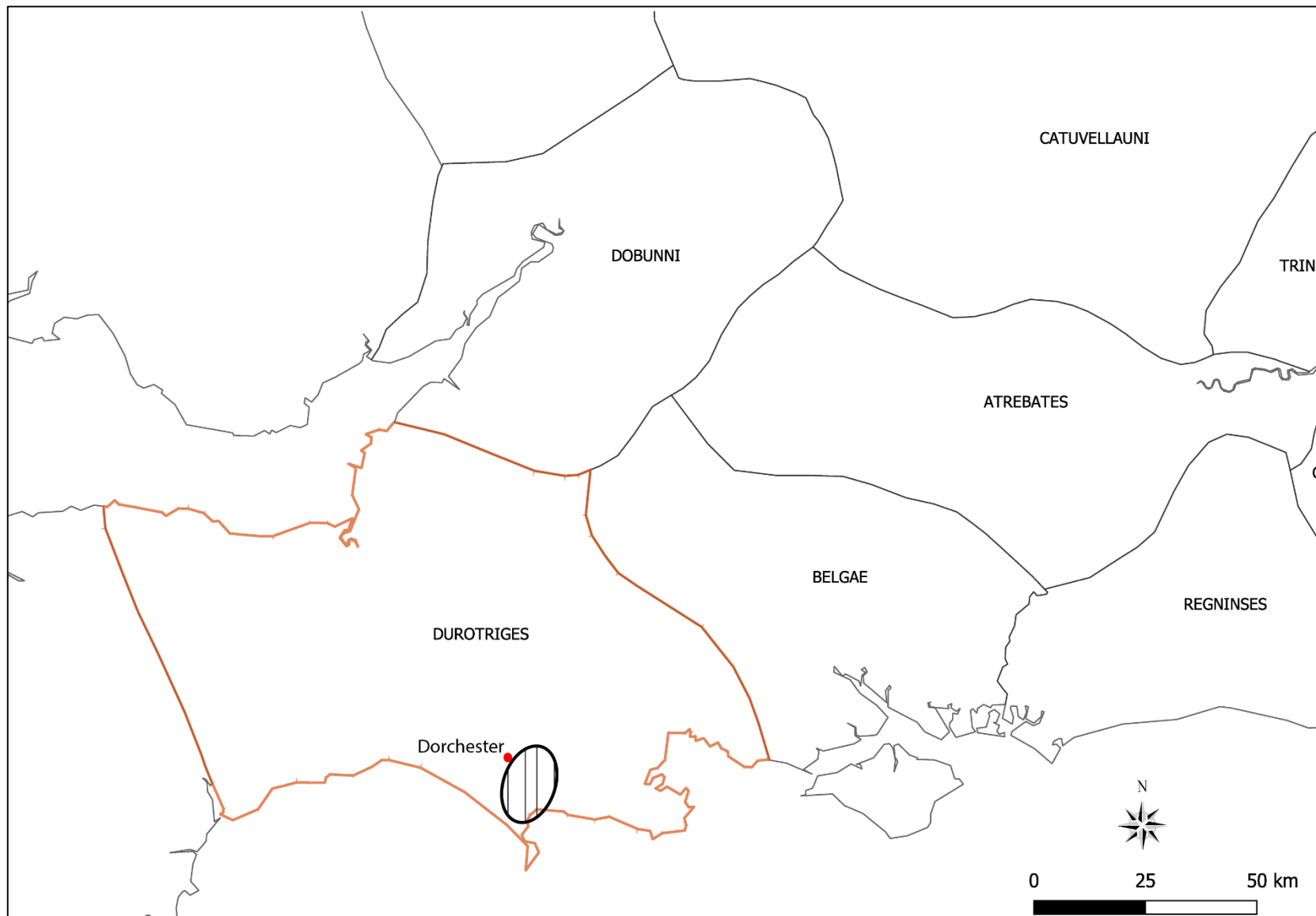


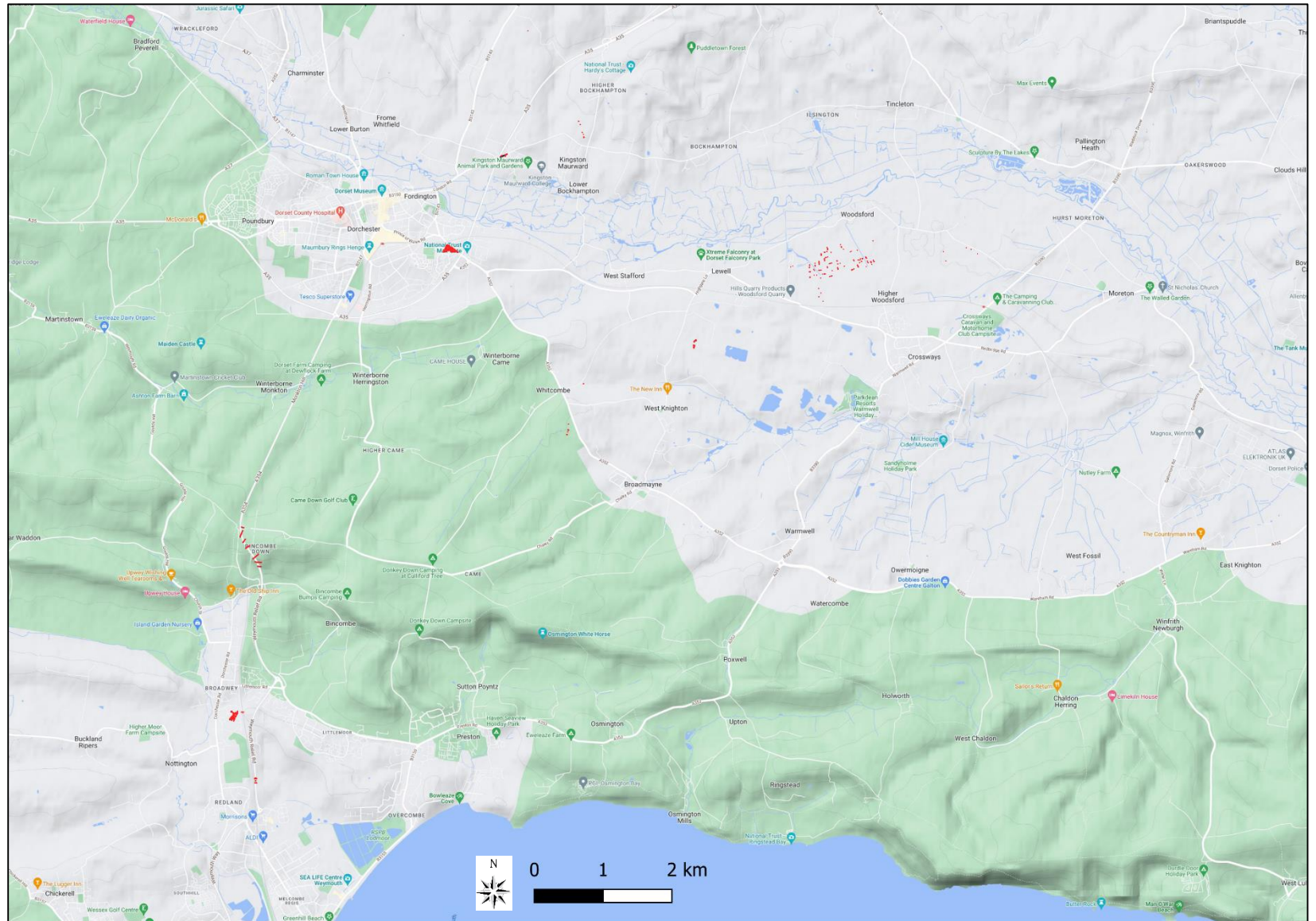
Figure 74. Les sites intégrés à une frise historique. (Échelles non linéaires).

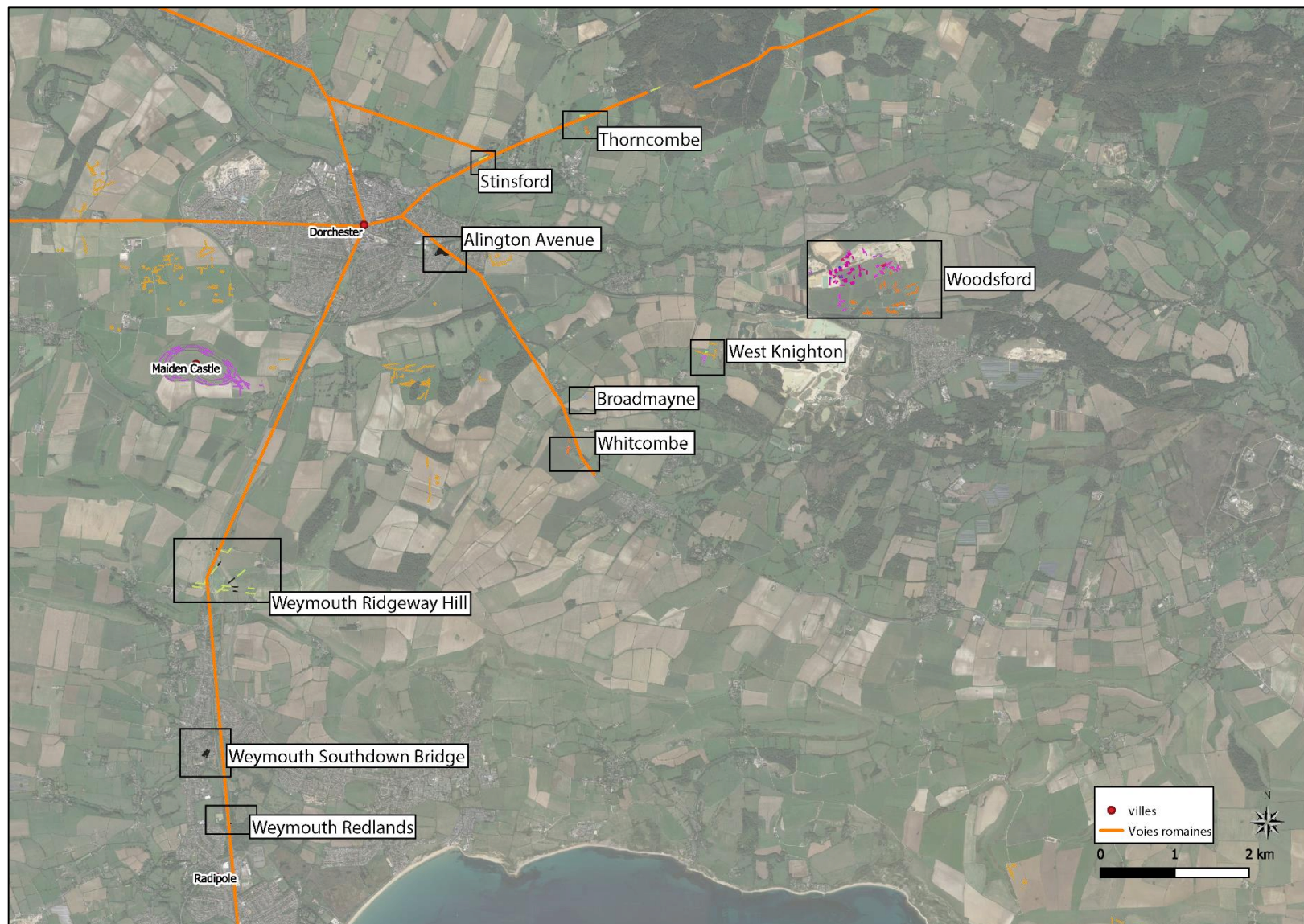
LE DORSET
De Dorchester à
Radipole



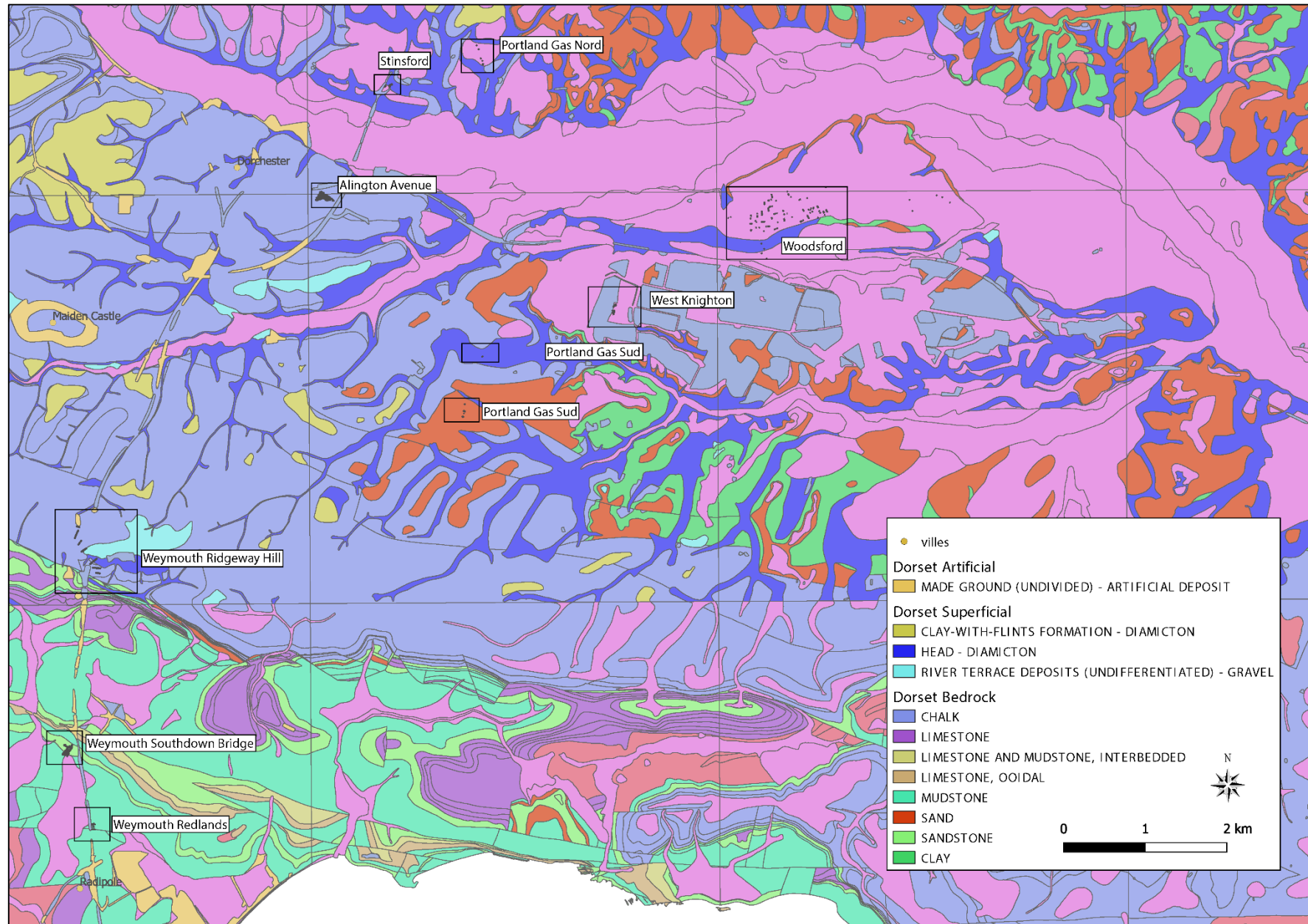
Carte 29. Territoire durotrige.

Carte 30. Contexte géographique du Dorset.

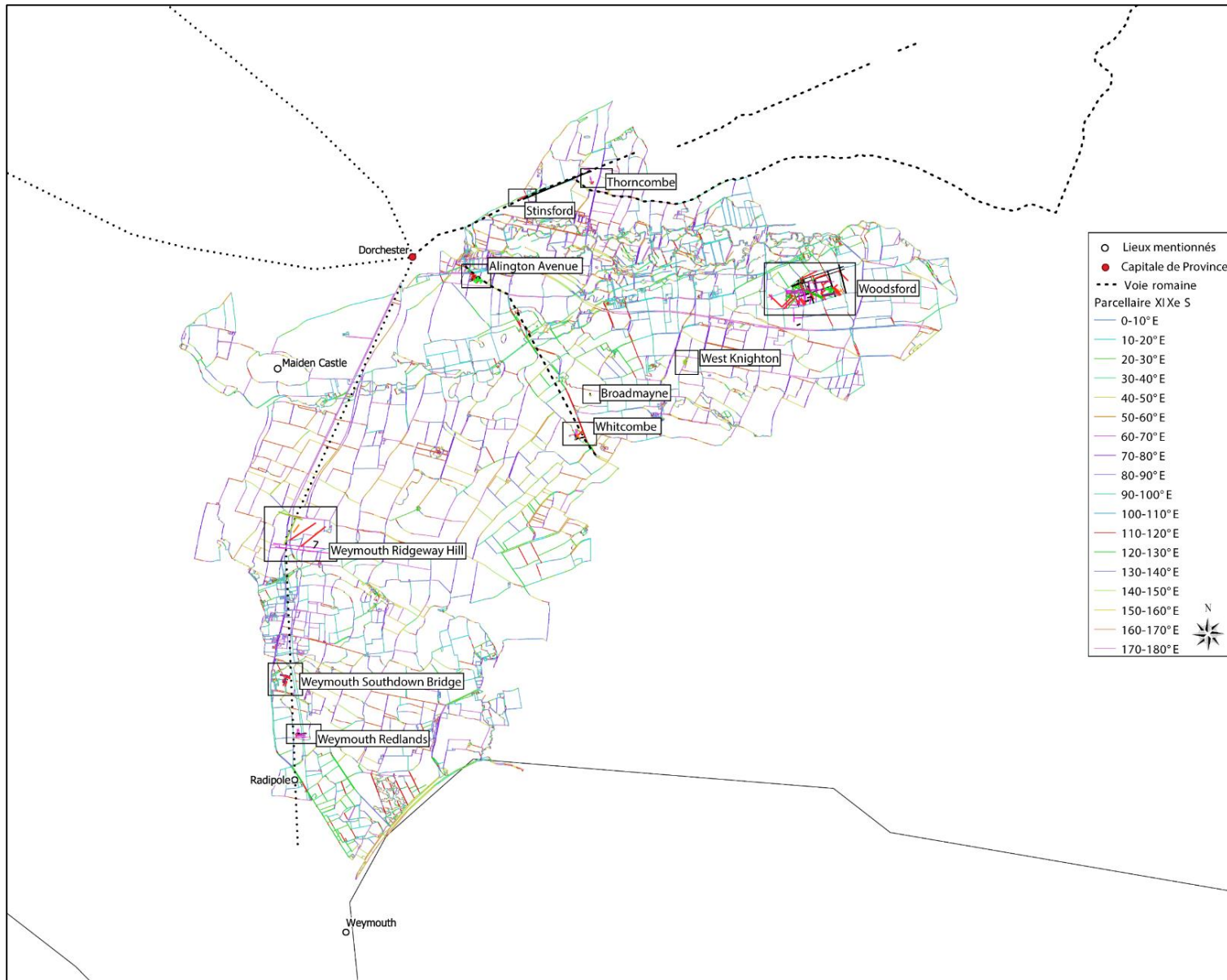




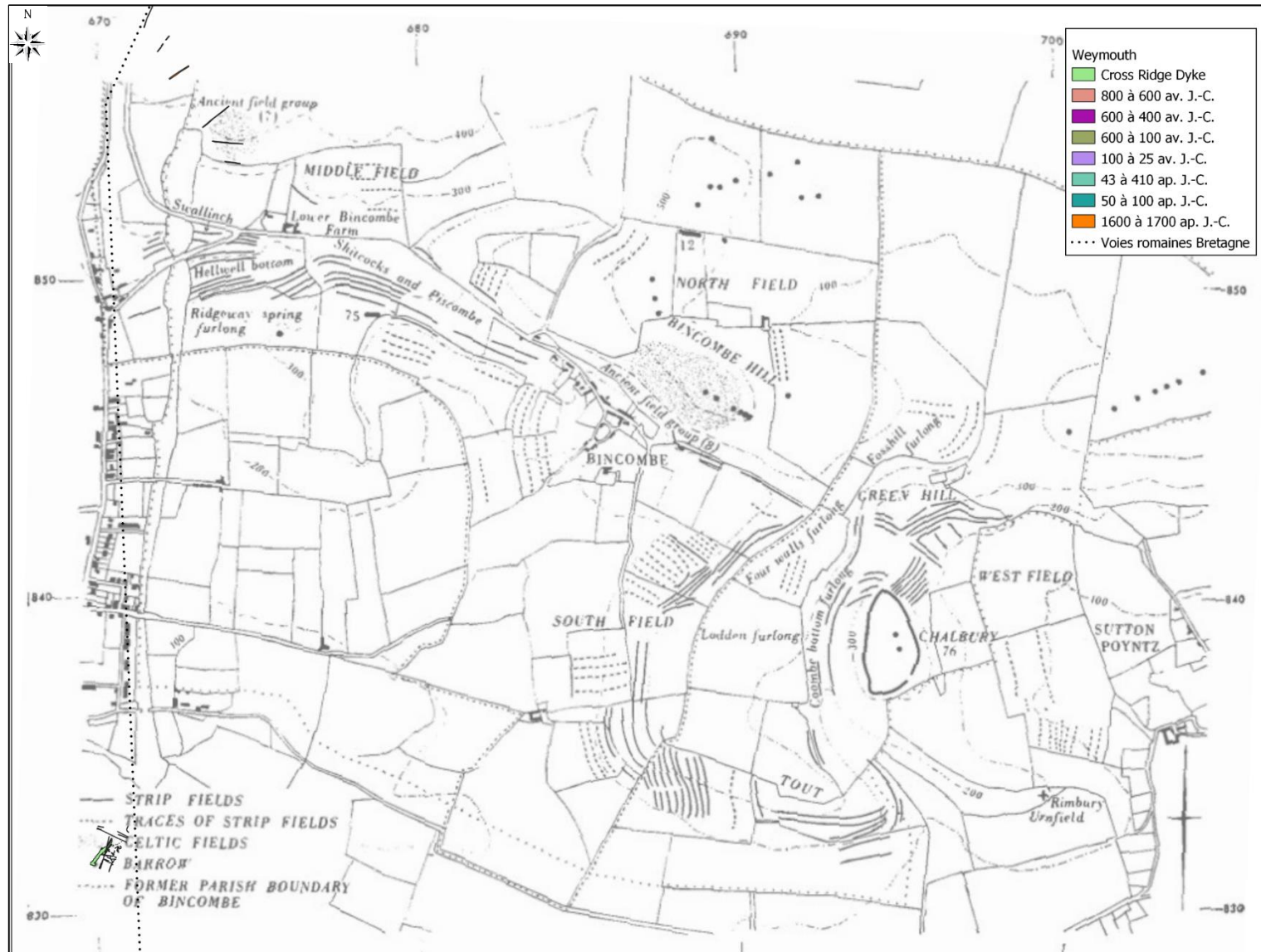
Carte 31. Les sites dans leur environnement sur le fond de carte de Google satellite.



Carte 32. Les sites archéologiques dans leur contexte géologique.



Carte 33. Les sites analysés intégrés dans le parcellaire de l'Ordnance Survey du XIX^e s.



Carte 34. Bincombe Field Systems.

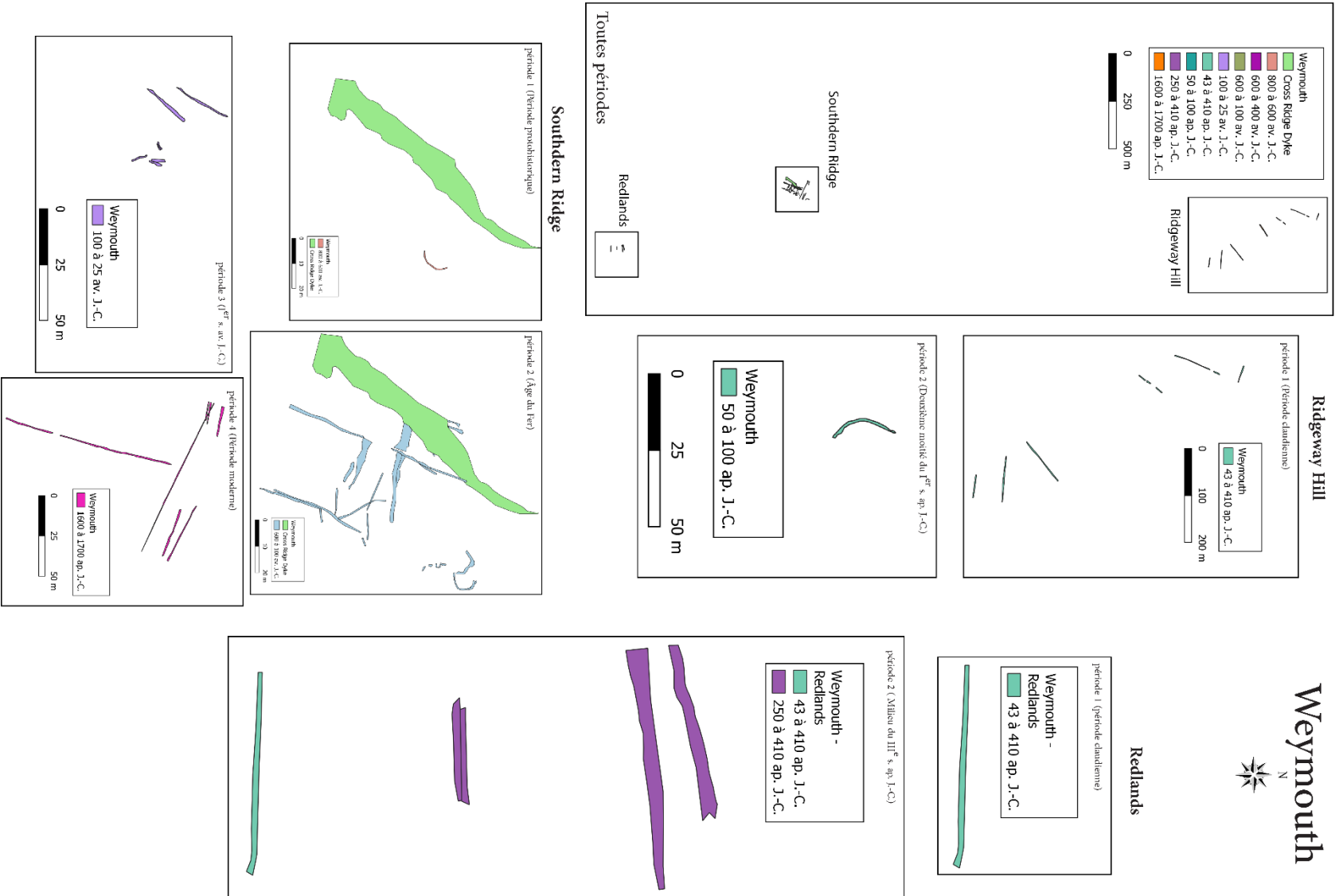


Figure 75. Phasage du site de Weymouth.

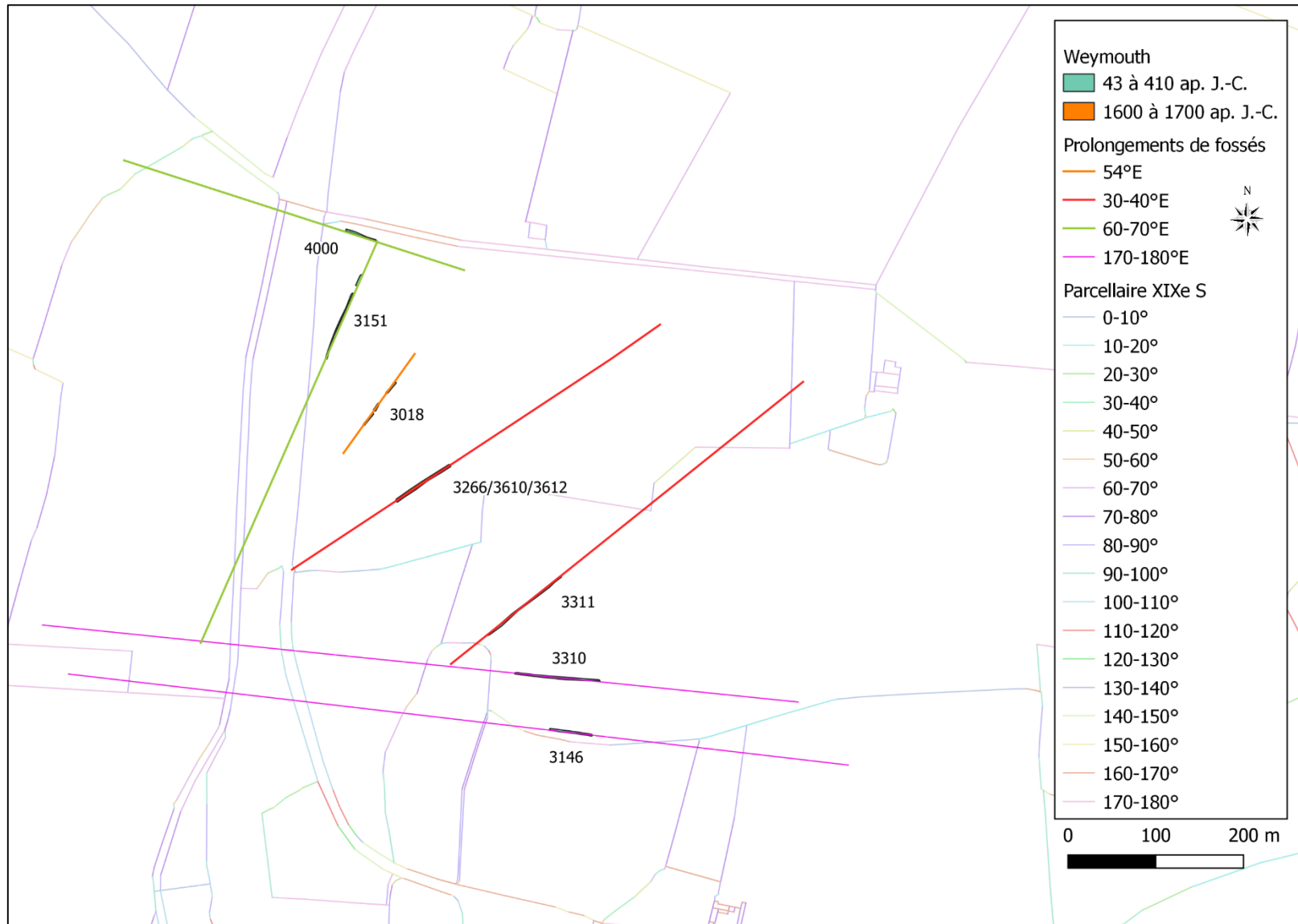


Figure 76. Weymouth Ridgeway Hill.

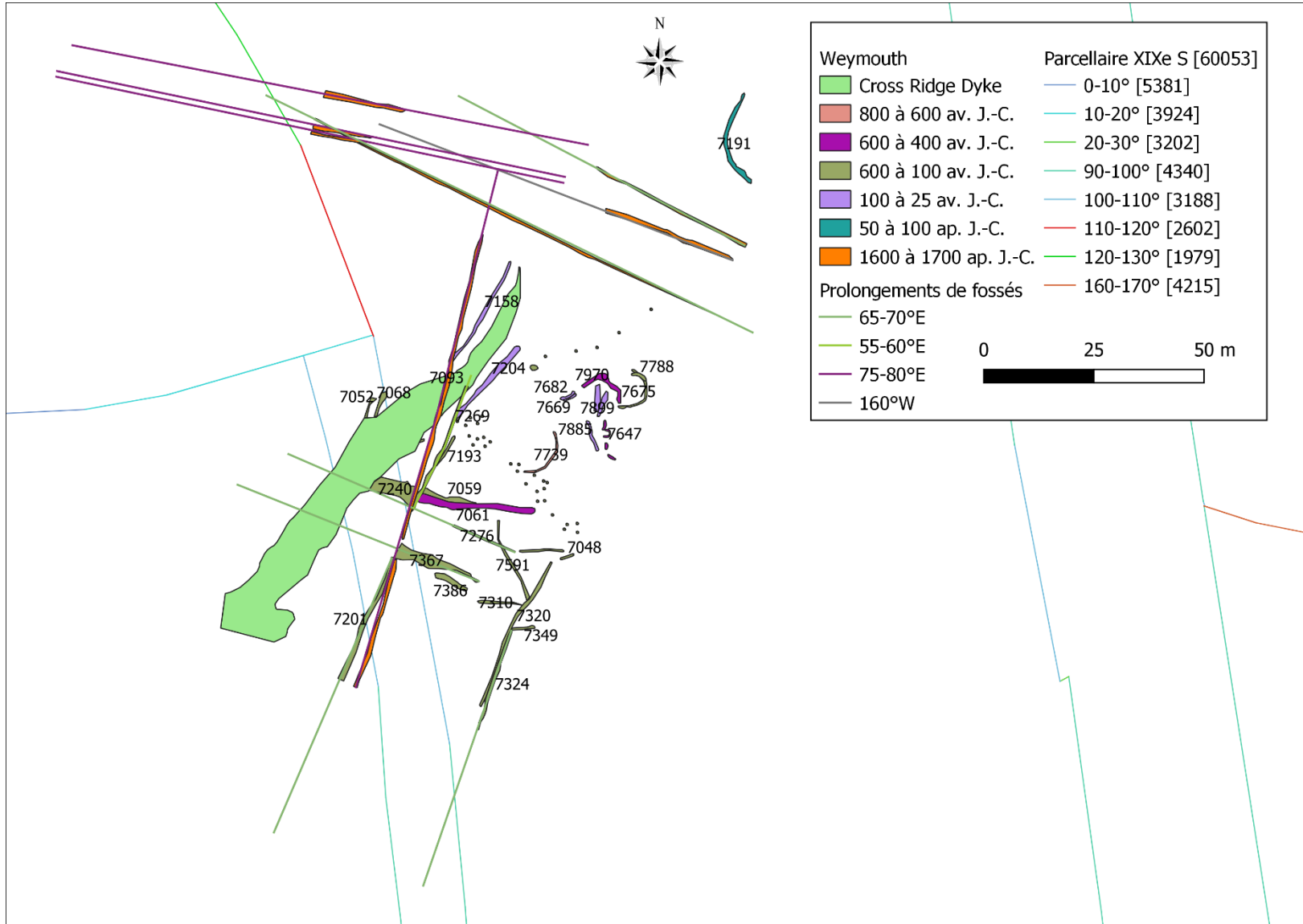


Figure 77. Weymouth Southdown Bridge – Toutes périodes confondues.

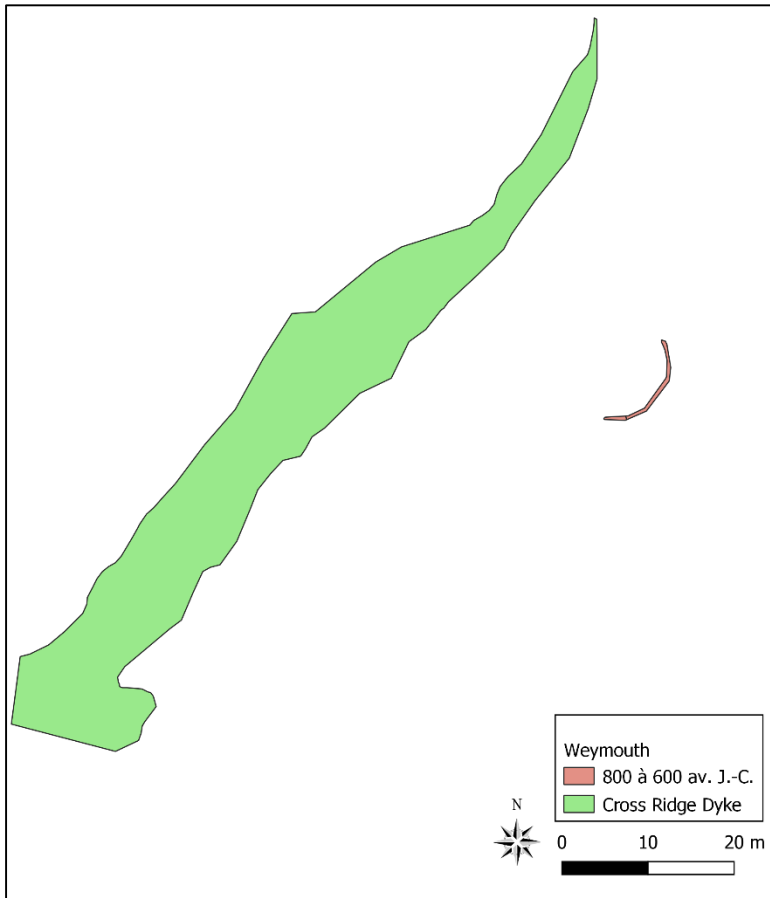


Figure 78. Weymouth Southdown Bridge - première installation fossoyée.

Figure 79. Weymouth Southdown Bridge - Mise en place des premières structures linéaires de l'Âge du Fer. Le système est orienté à 70°E.

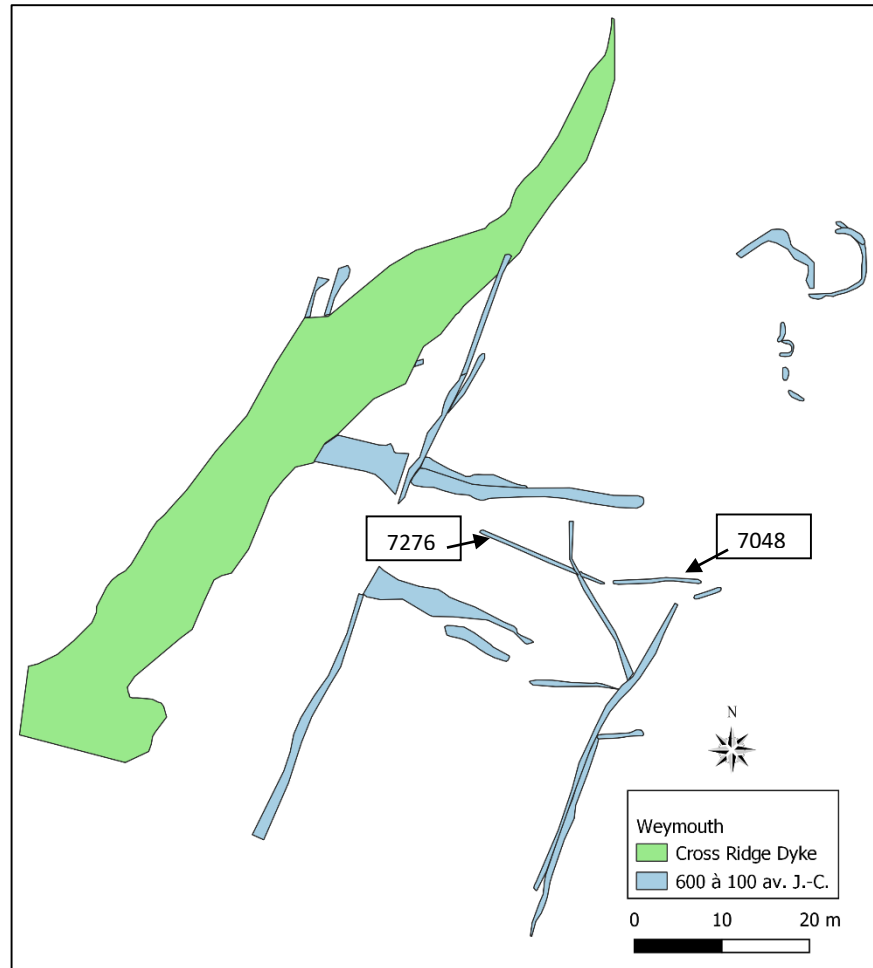
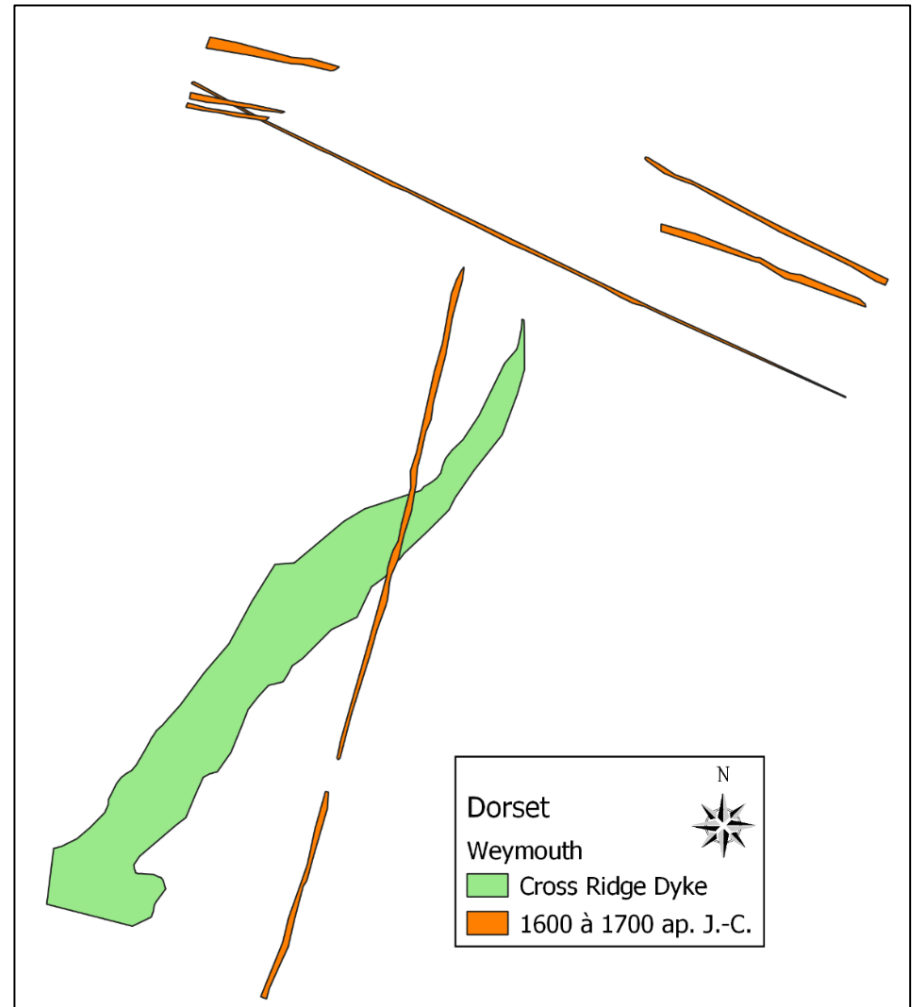


Figure 80. Weymouth Southdown Bridge - fin de l'Âge du Fer.



Figure 81. Weymouth Southdown Bridge - fossés modernes recoupant le "Cross Ridge Dyke" qui devait être beaucoup moins imposant dès cette période.



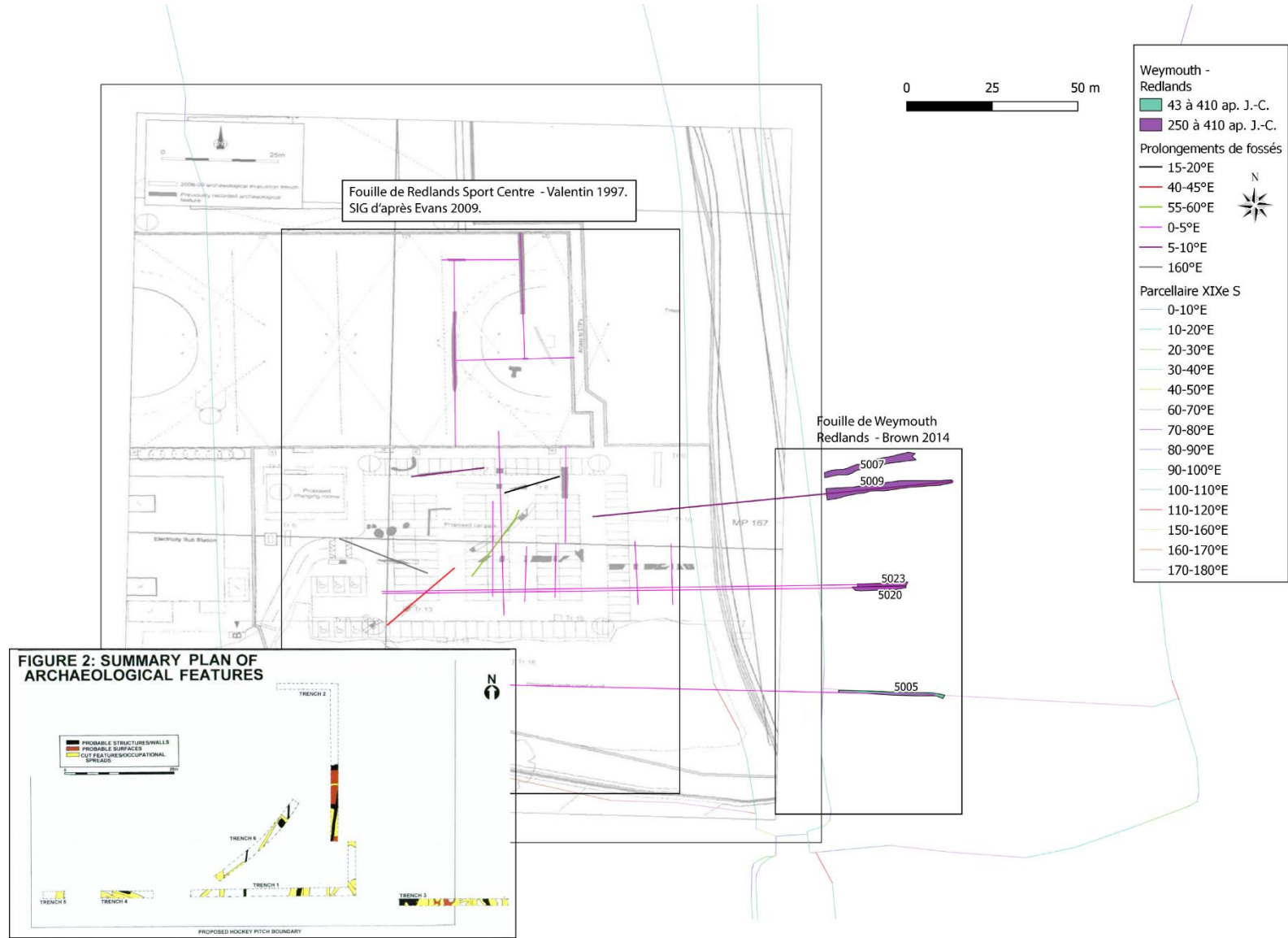
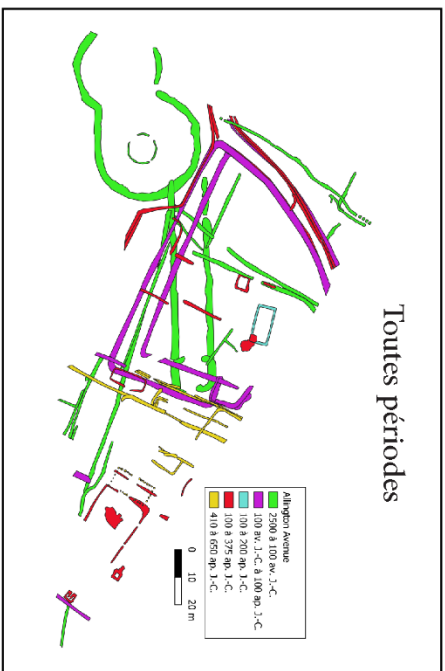


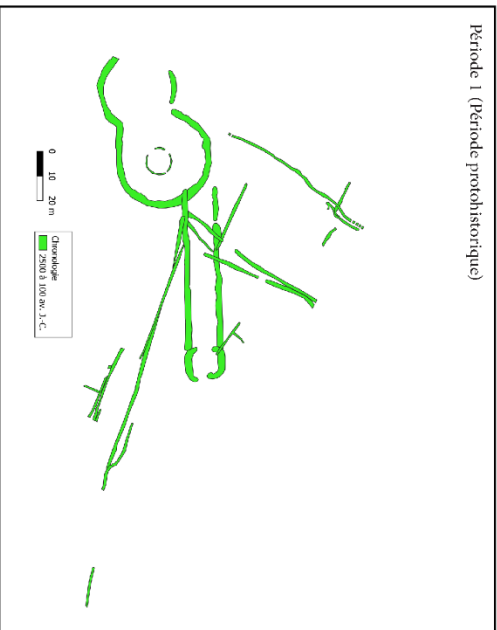
Figure 82. Weymouth Redlands.



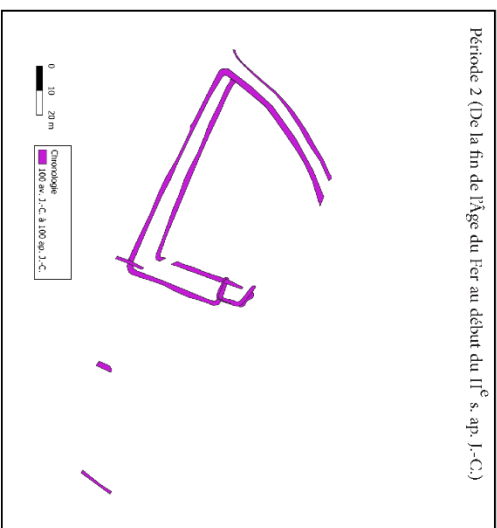
Allington Avenue

N

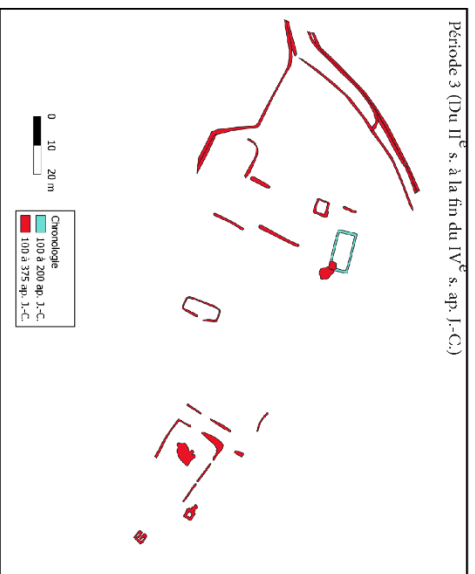
Période 1 (Période protohistorique)



Période 2 (De la fin de l'Âge du Fer au début du II^e s. ap. J.-C.)



Période 3 (Du II^e s. à la fin du IV^e s. ap. J.-C.)



Période 4 (Le haut Moyen Âge)

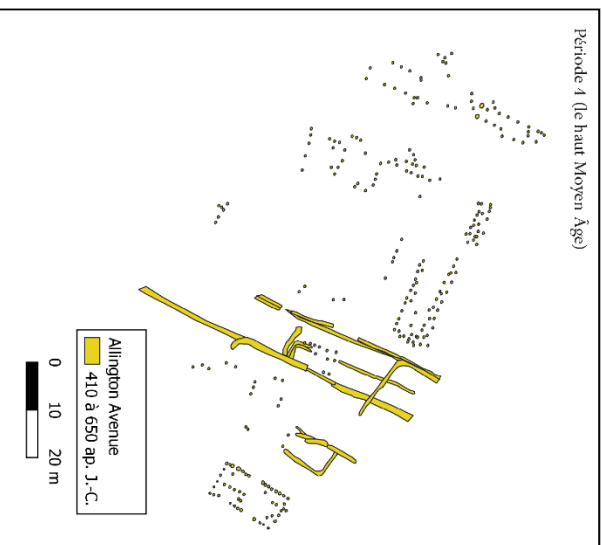


Figure 83. Phasage du site d'Allington Avenue.

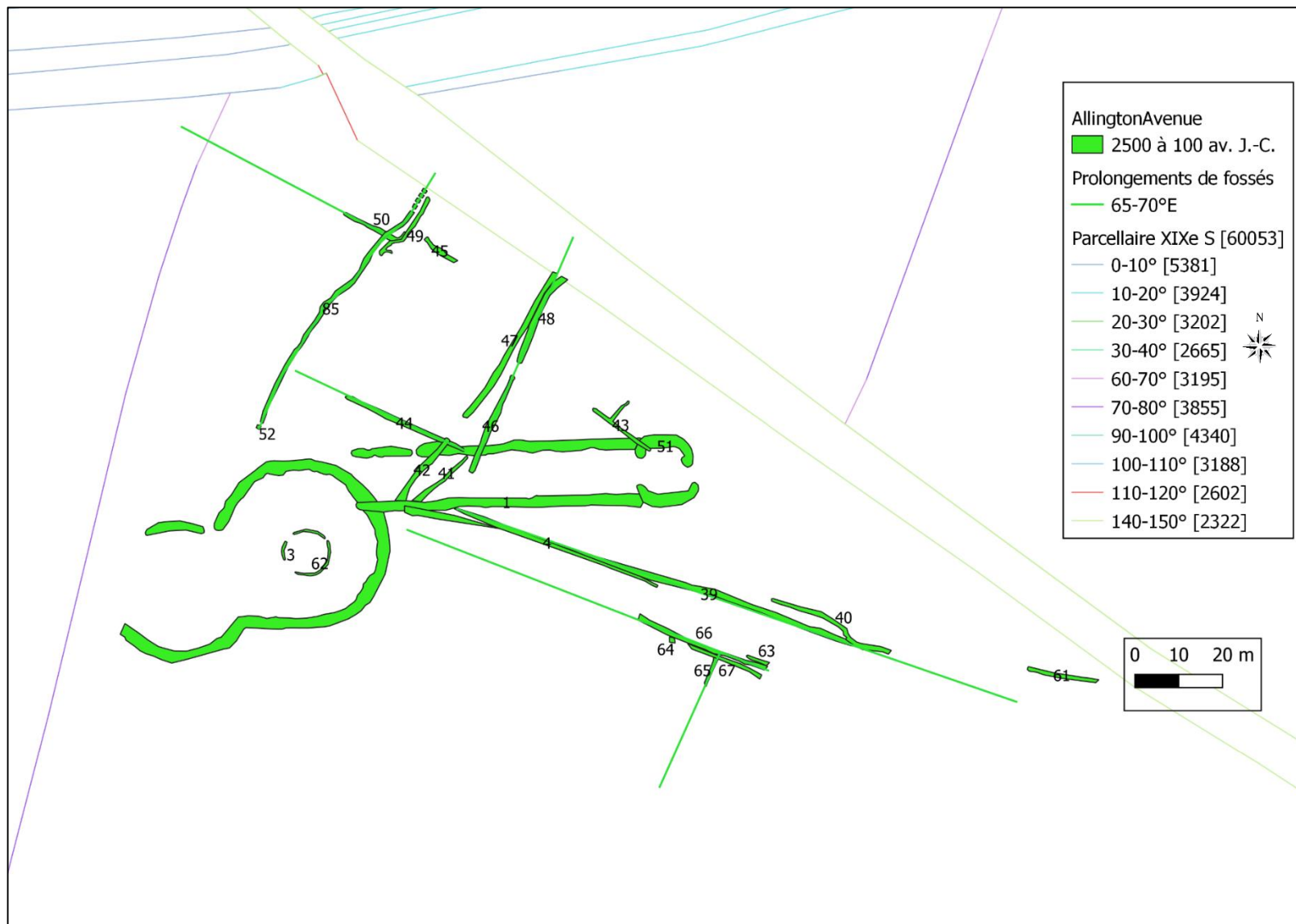


Figure 84. Allington Avenue – Numéros de structures de la Phase 1.

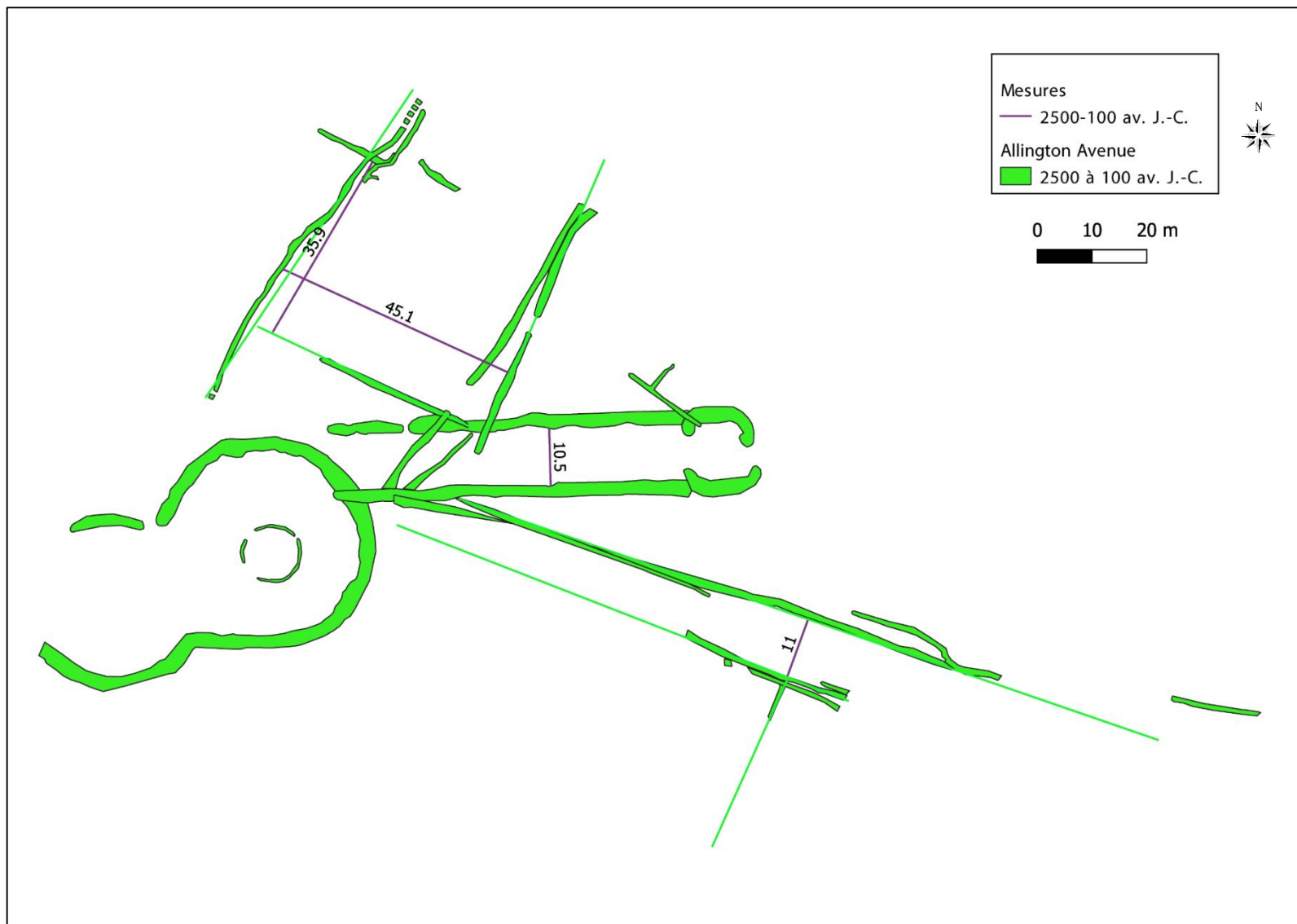


Figure 85. Allington Avenue – Mesures relevées entre les structures de la phase 1.

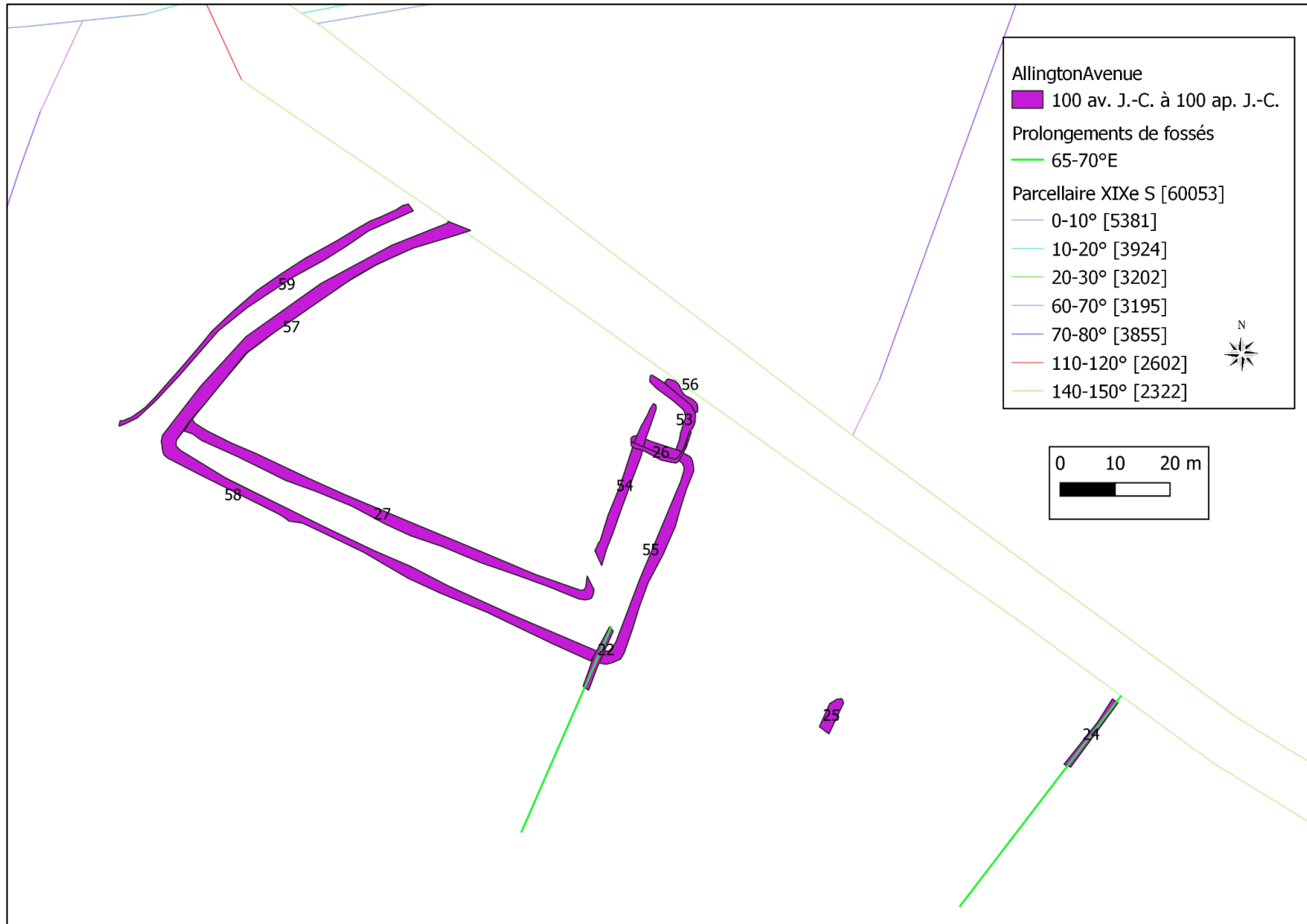


Figure 86. Allington Avenue - Phase 2.

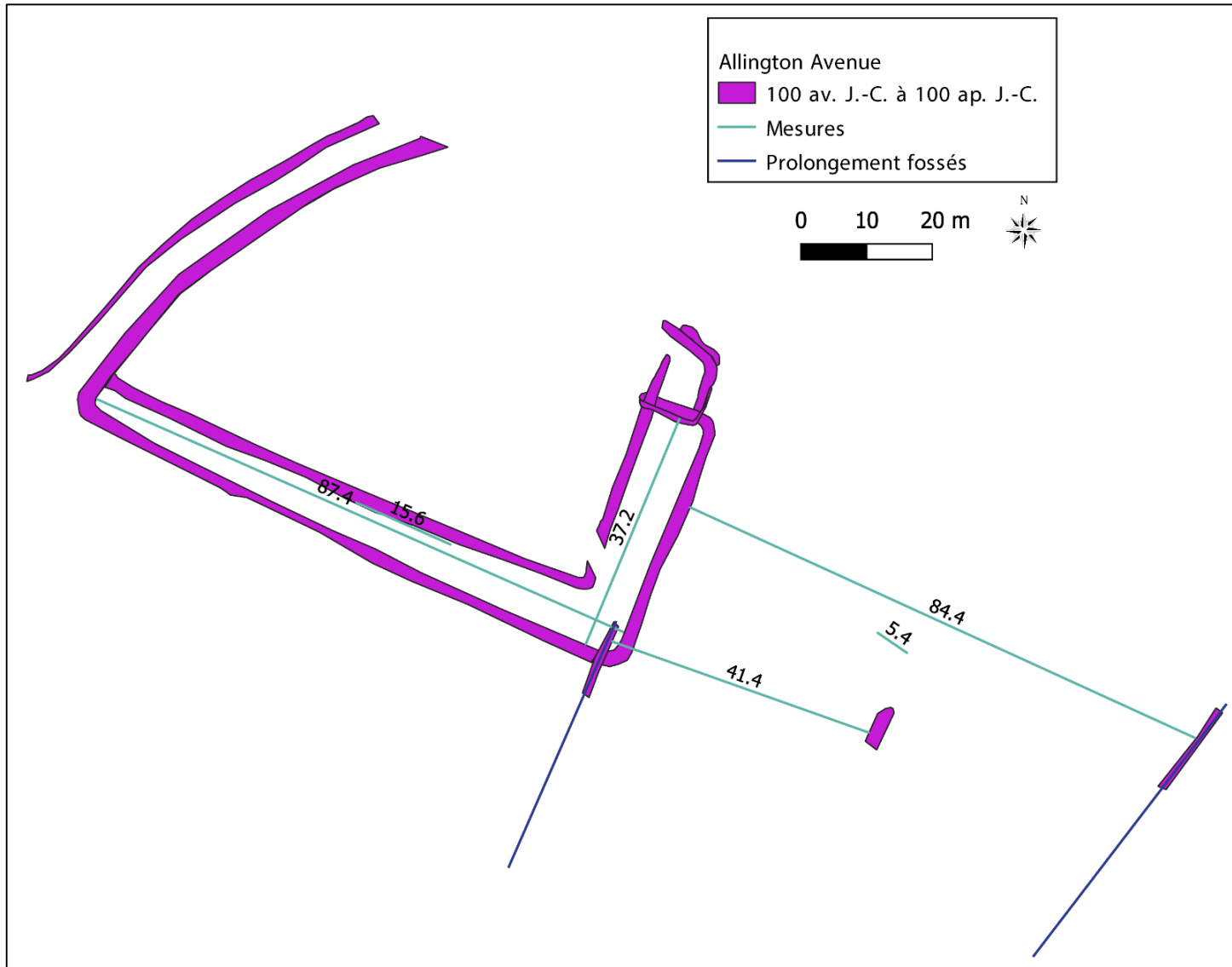
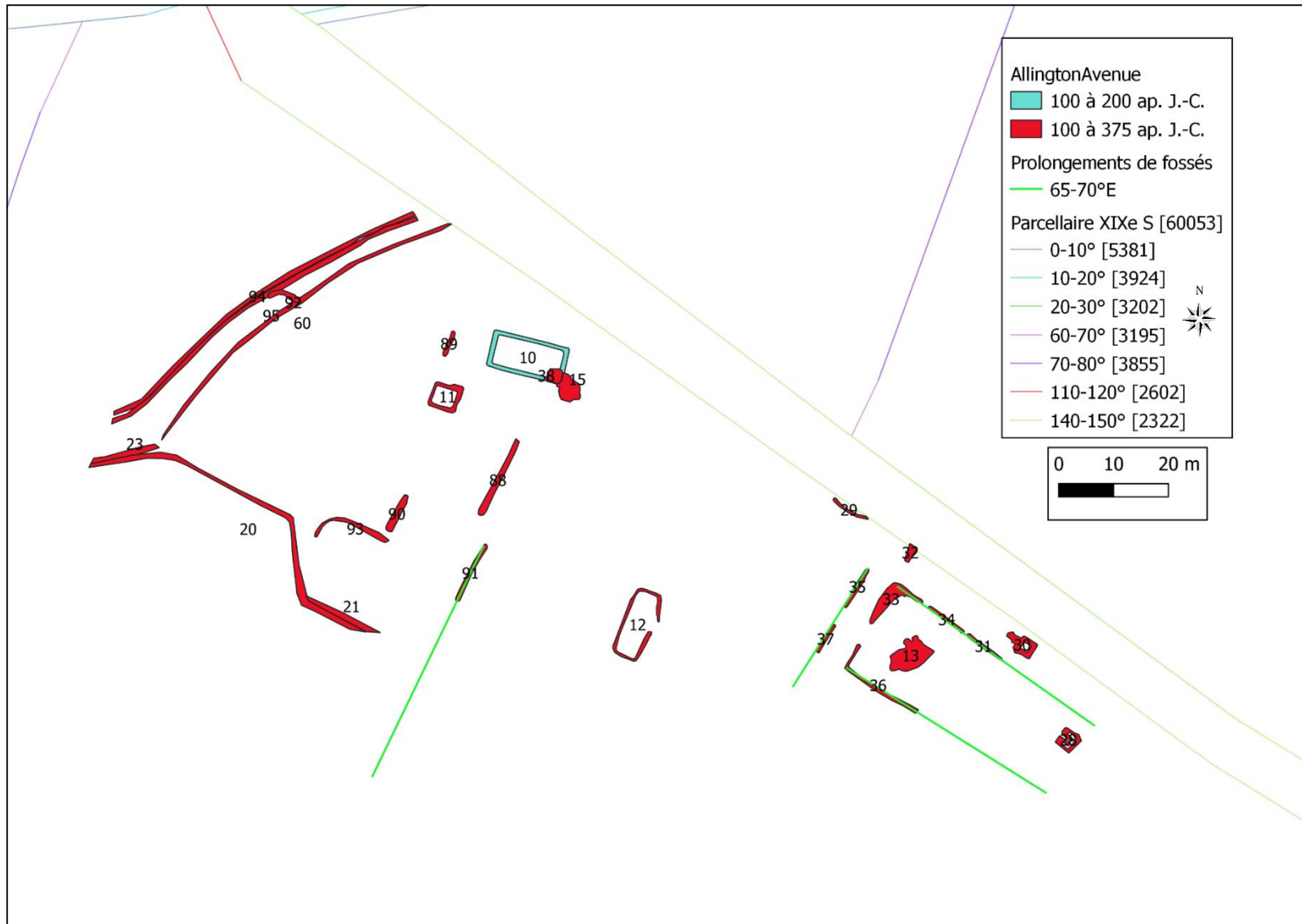


Figure 87. Allington Avenue - Mesures phase 2.



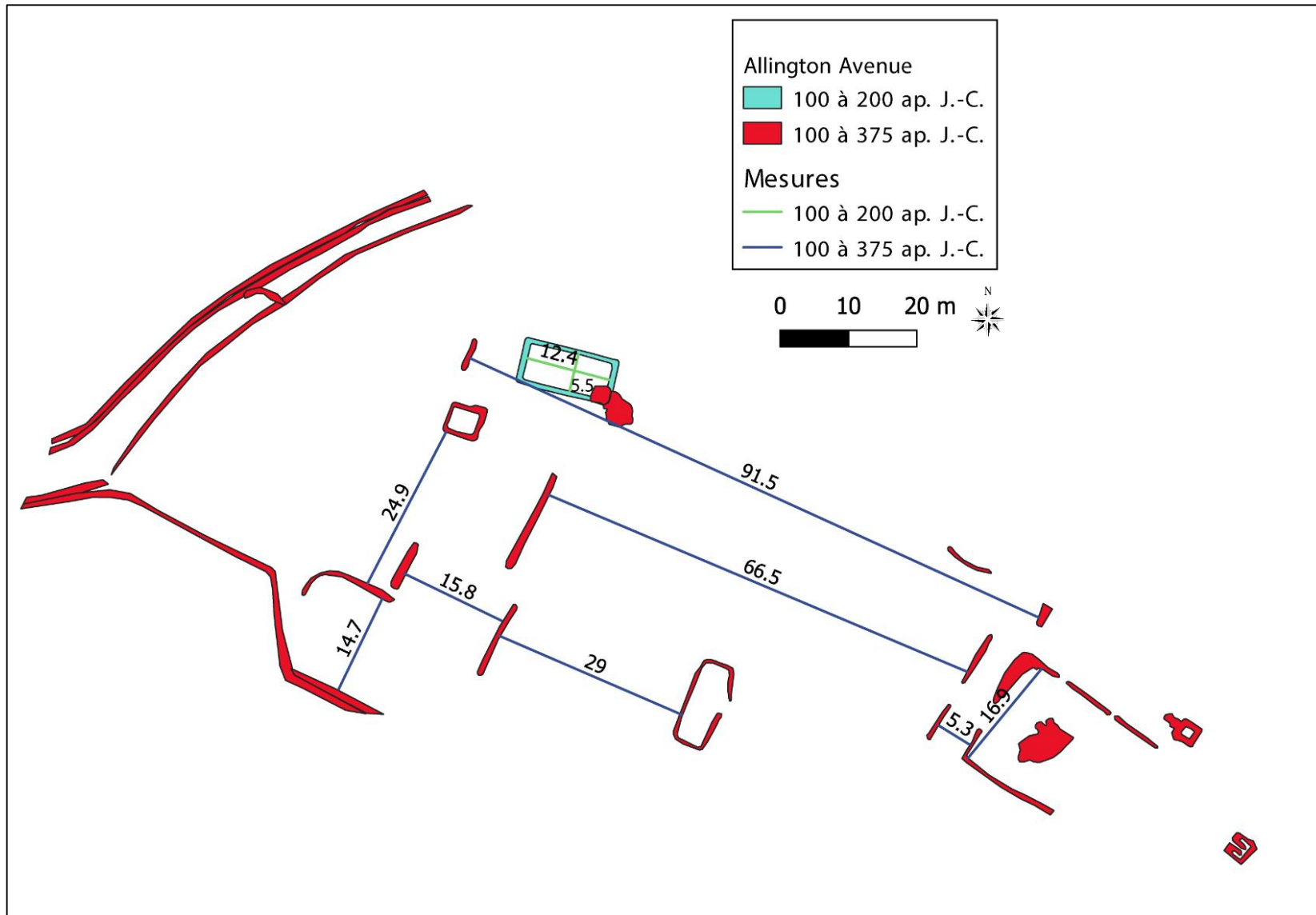


Figure 89. Alington Avenue - Mesures Phase 3.

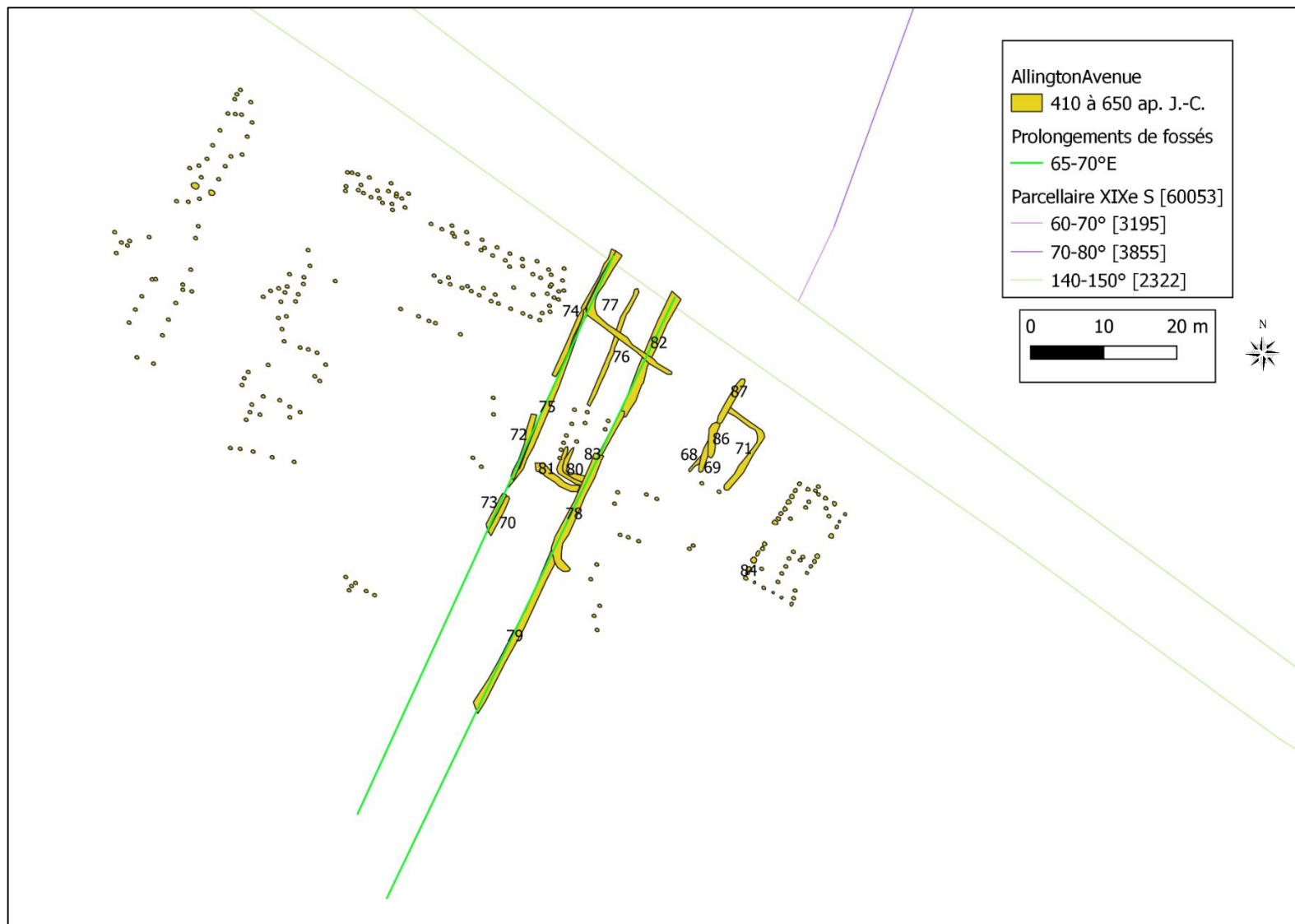


Figure 90. Allington Avenue - Phase 4.

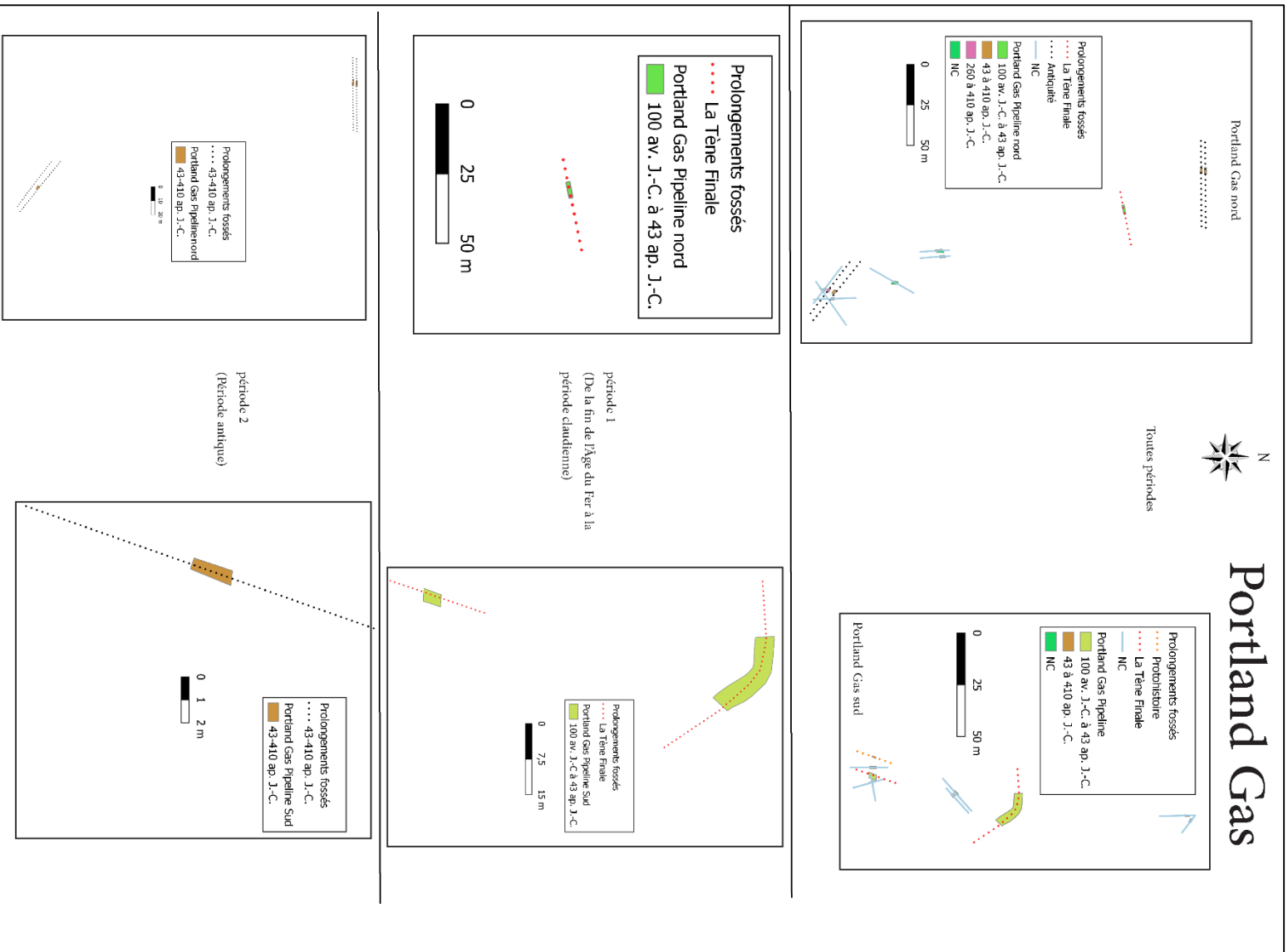


Figure 91. Phasage de Portland Gas Pipeline.

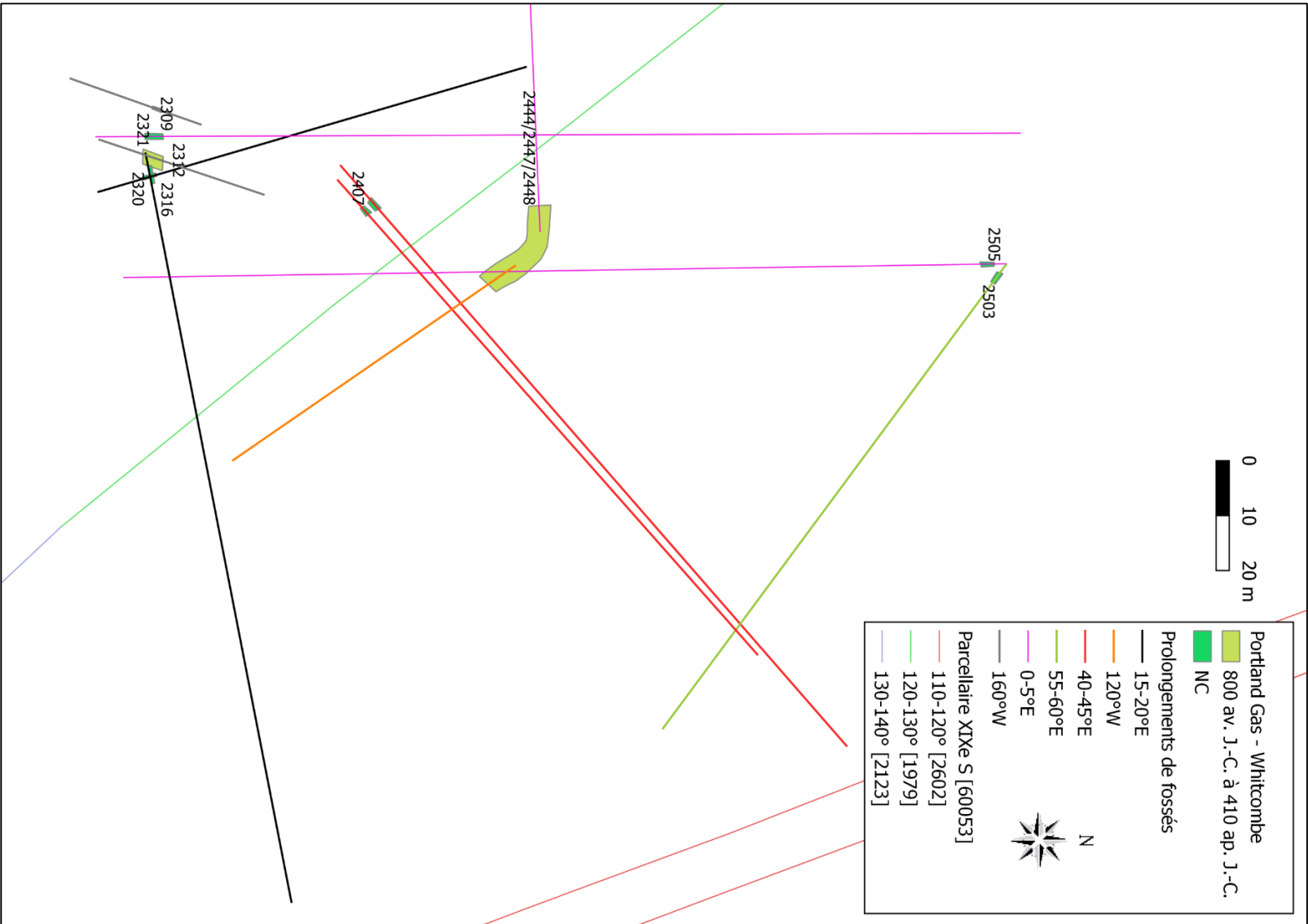


Figure 92. Portland Gas Whitcombe.

Figure 93. Portland Gas Broadmayne.

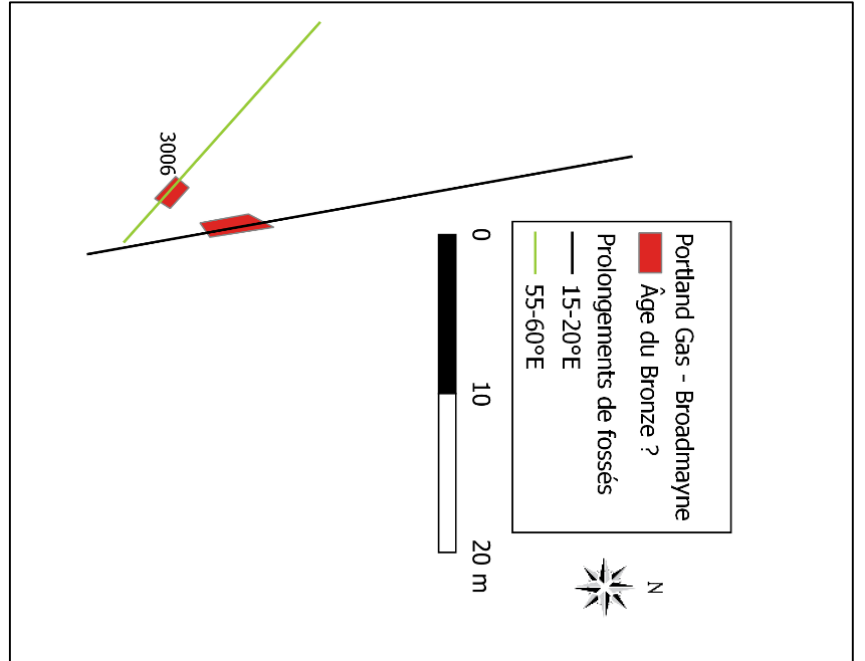


Figure 94. Portland Gas Thorncombe.

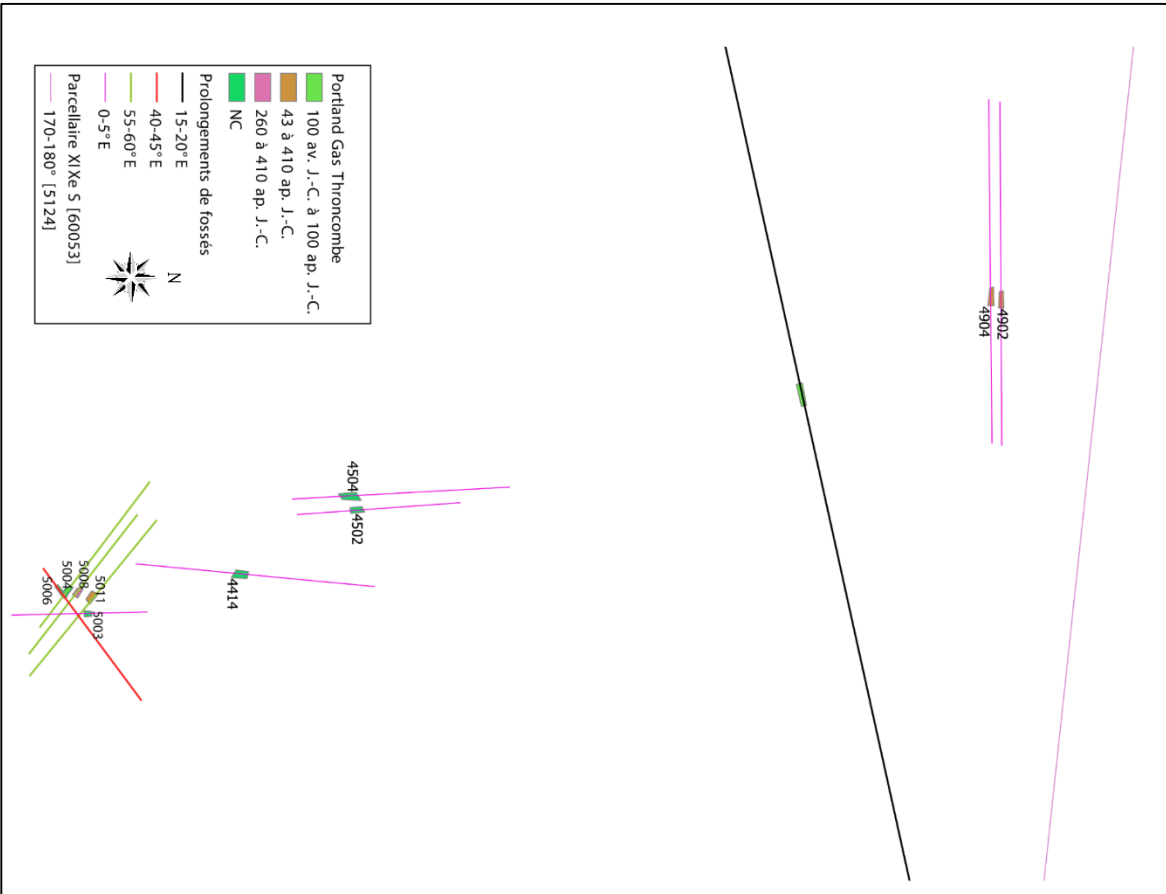




Figure 95. Tracé de la voie romaine passant par Thorncombe et Stinsford.

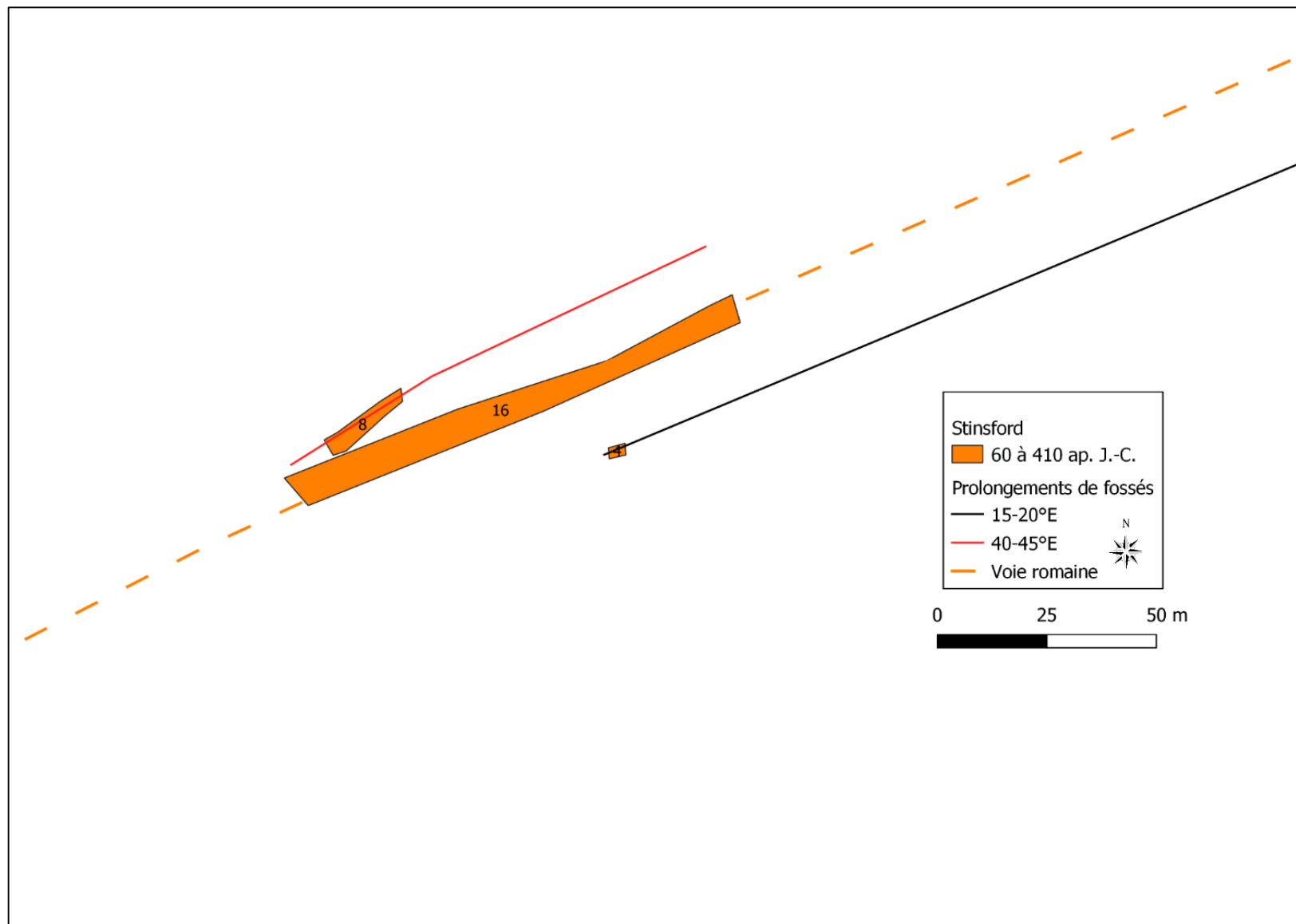
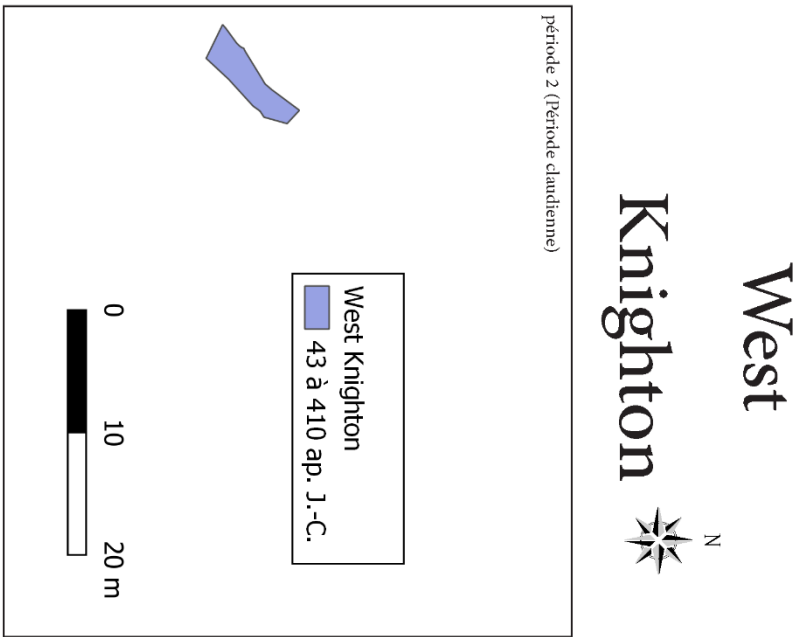
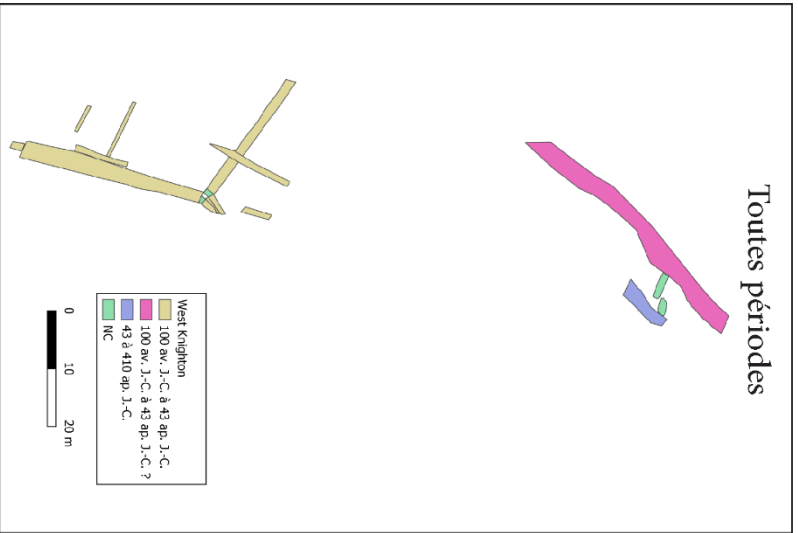


Figure 96. Stinsford – Numéro de structures.



West Knighton

N

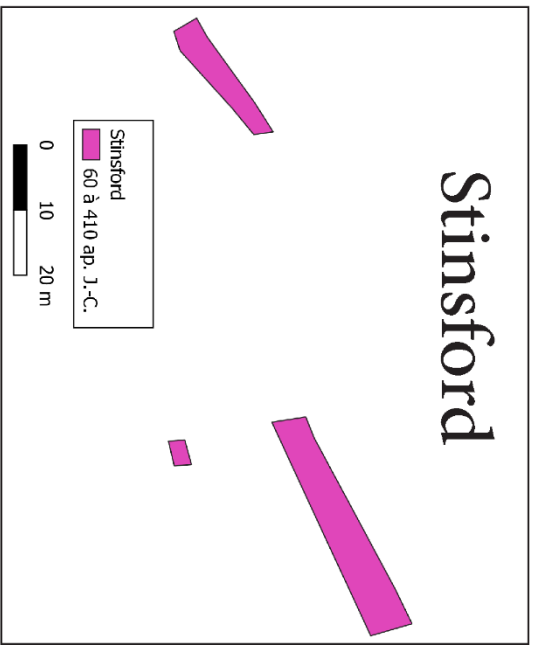
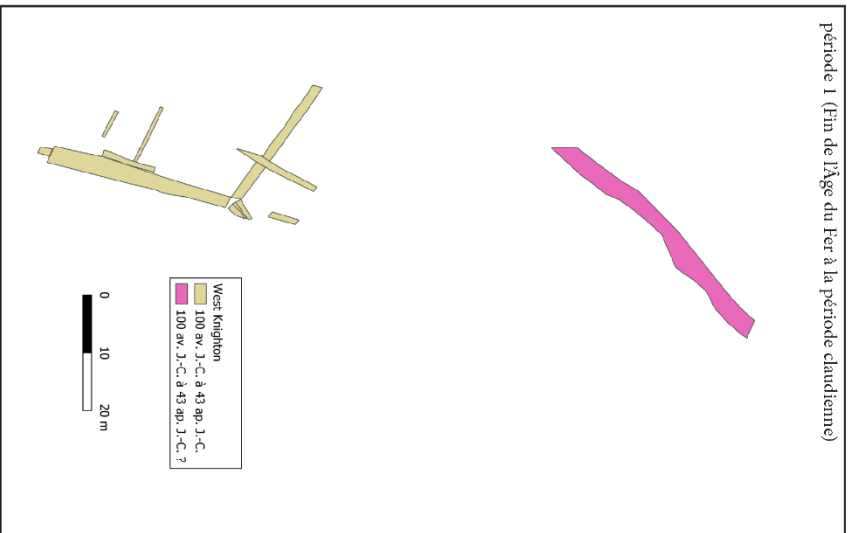


Figure 97. Phasage de West Knighton et de Stinsford.

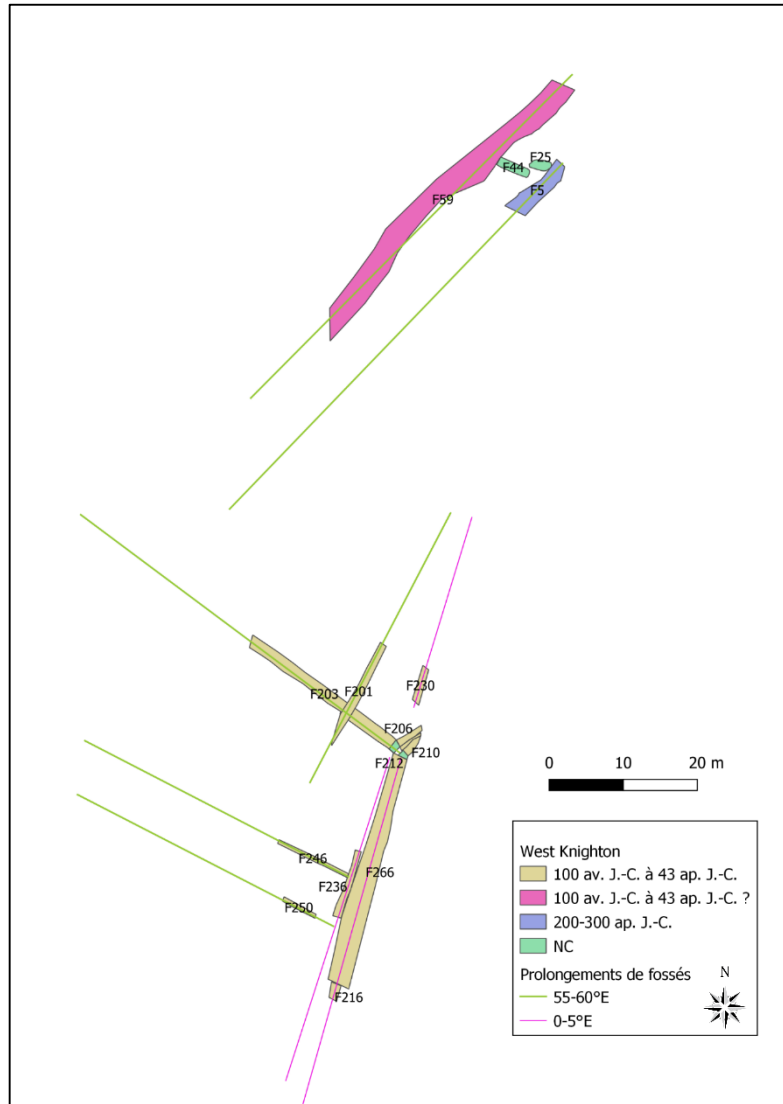


Figure 98. West Knighton - Prolongements et numéros de fossés.

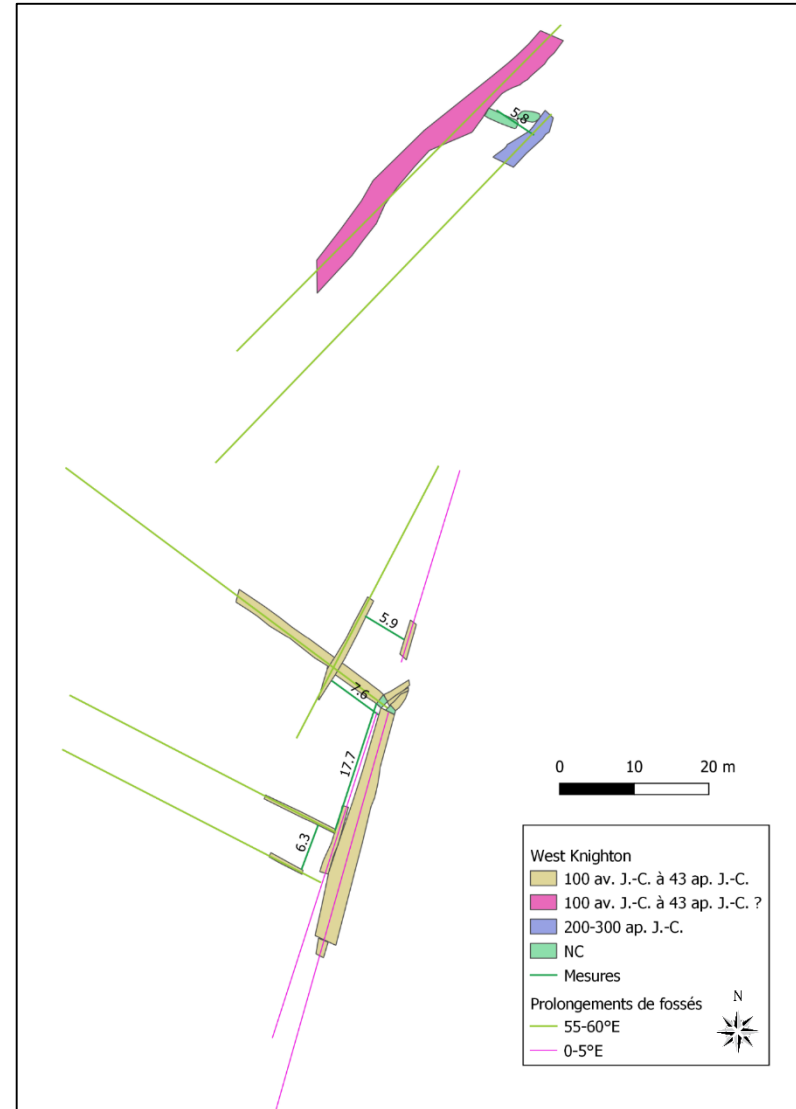
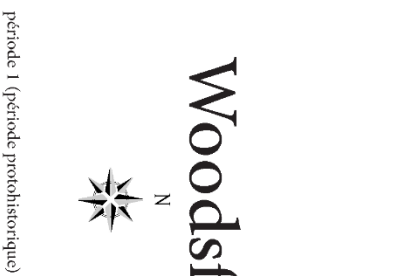
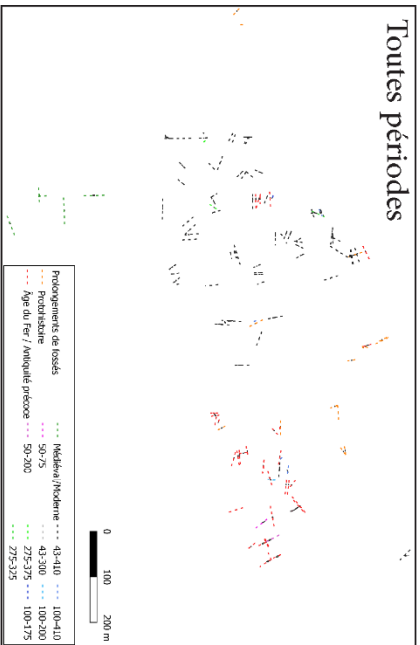
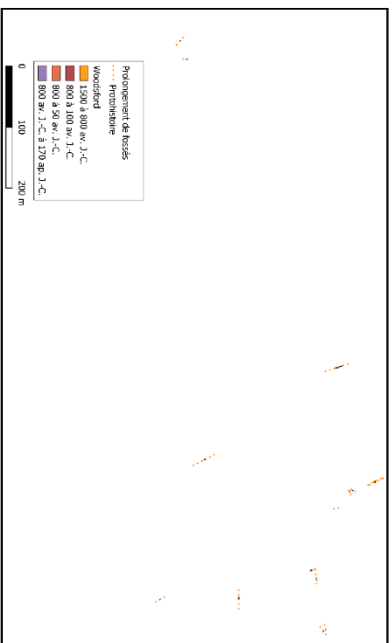
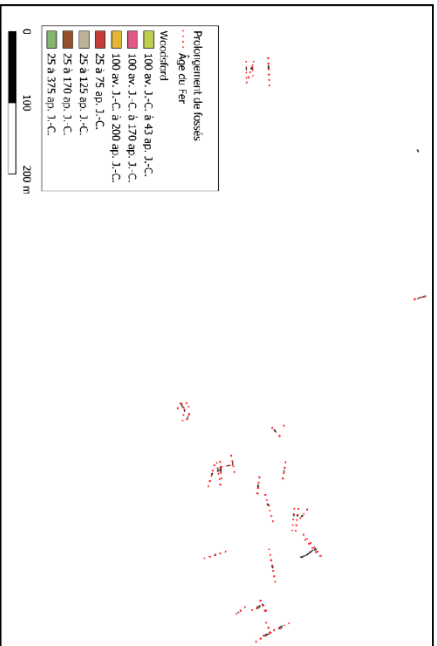


Figure 99. West Knighton - Mesures de distances.



période 2 (Du II^e s av au premier quart du I^{er} s ap. J.-C.)



période 4 (Période moderne)

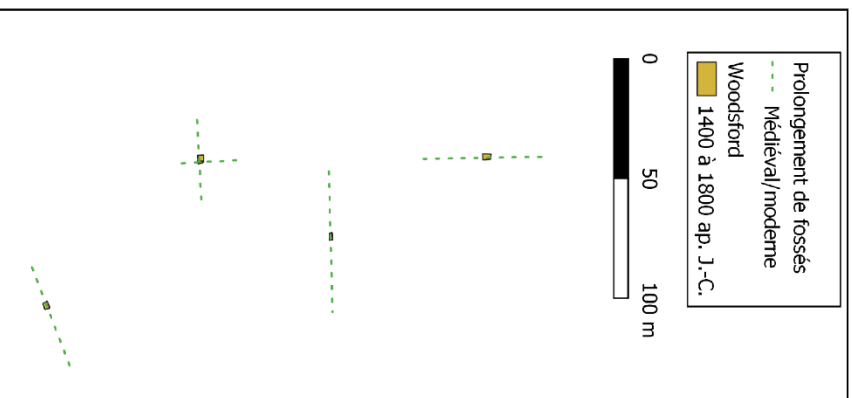


Figure 100. Phasage du site de Woodford.

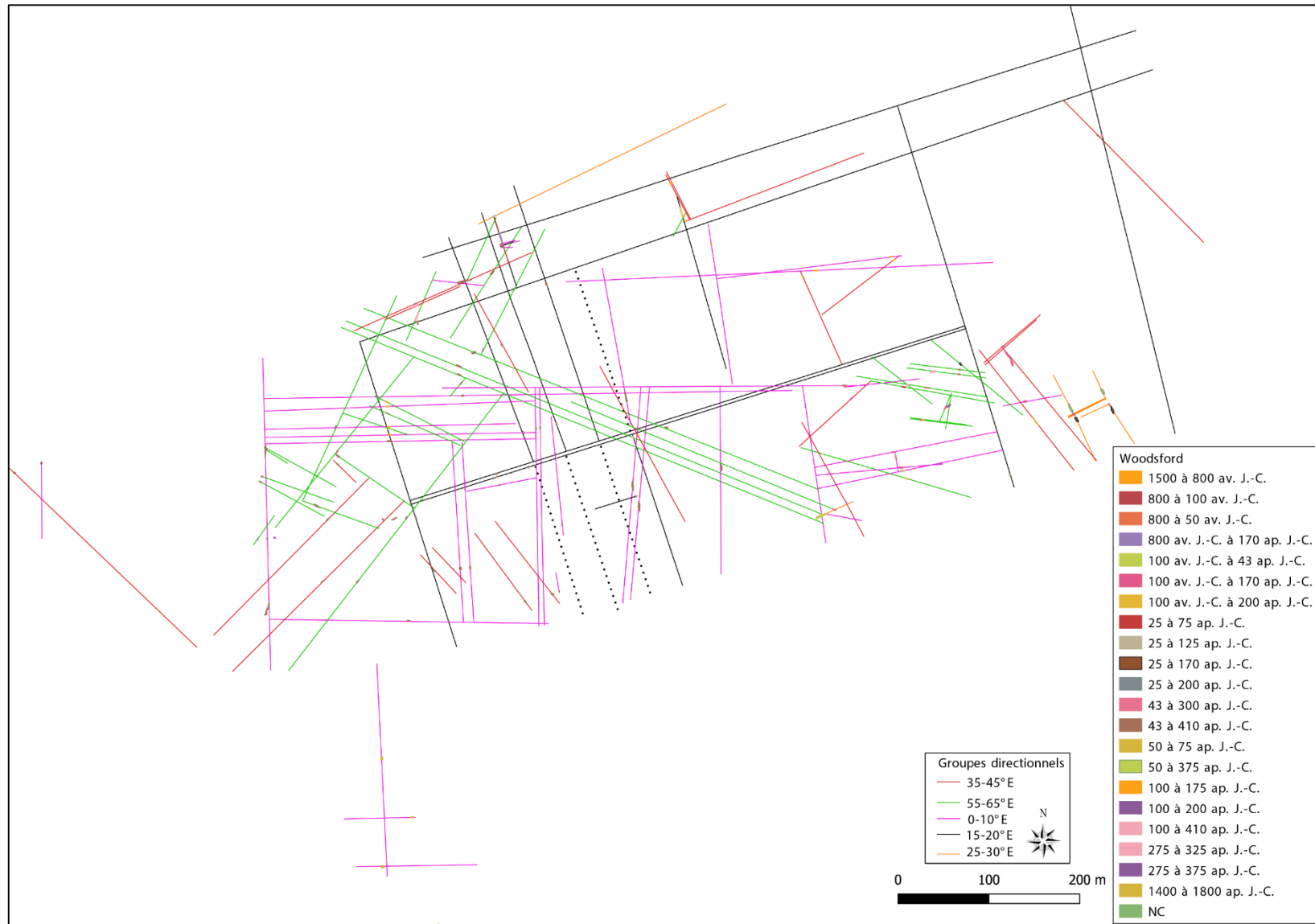


Figure 101. Woodsford - Regroupement des fossés selon leur orientation : Magenta (M), Noir (N), Orange (O), Rouge (R), Vert (V)
 – en pointillés : proposition de prolongement au-delà d'un croisement.

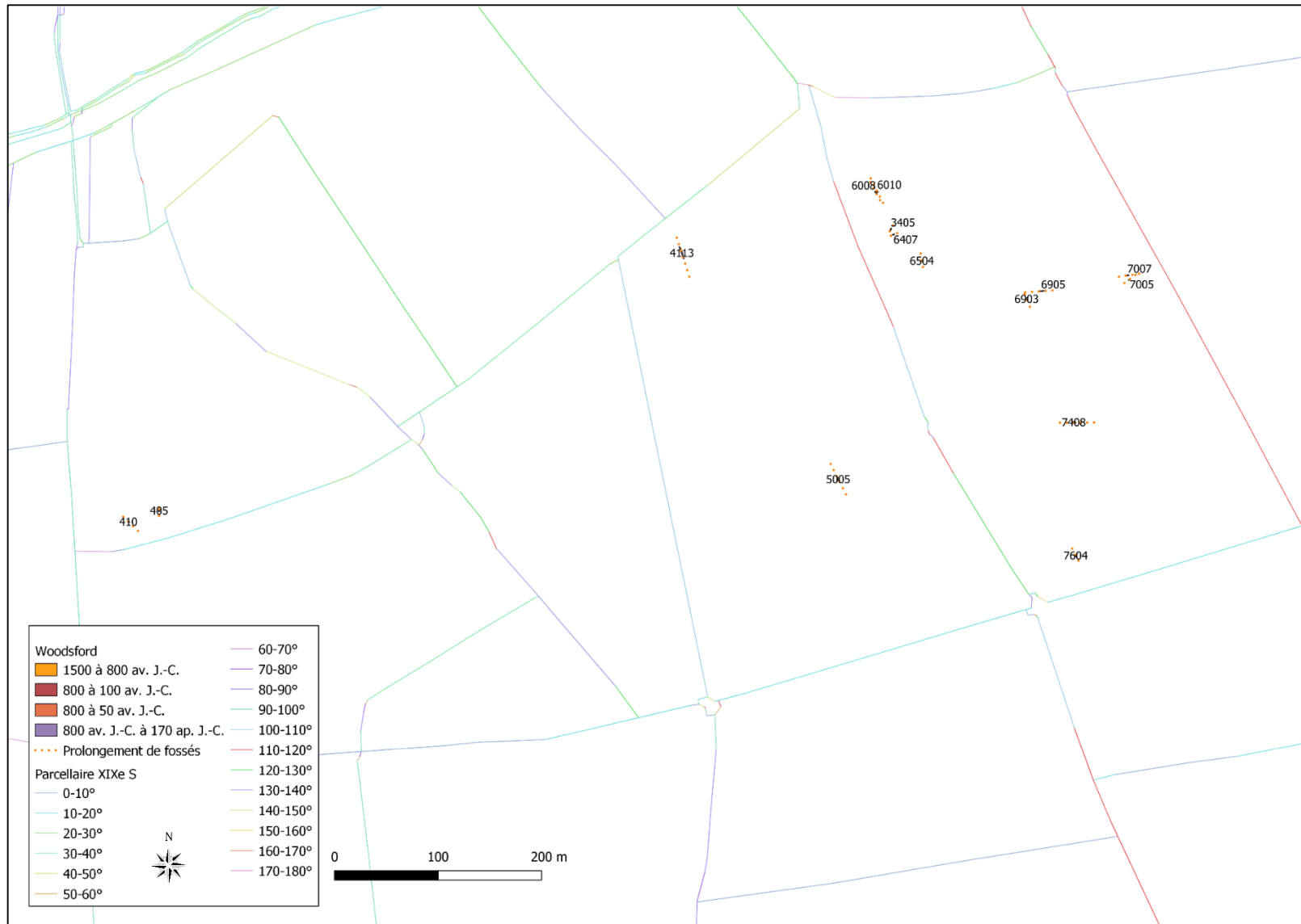


Figure 102. Woodsford – Prolongement des fossés de la période protohistorique.

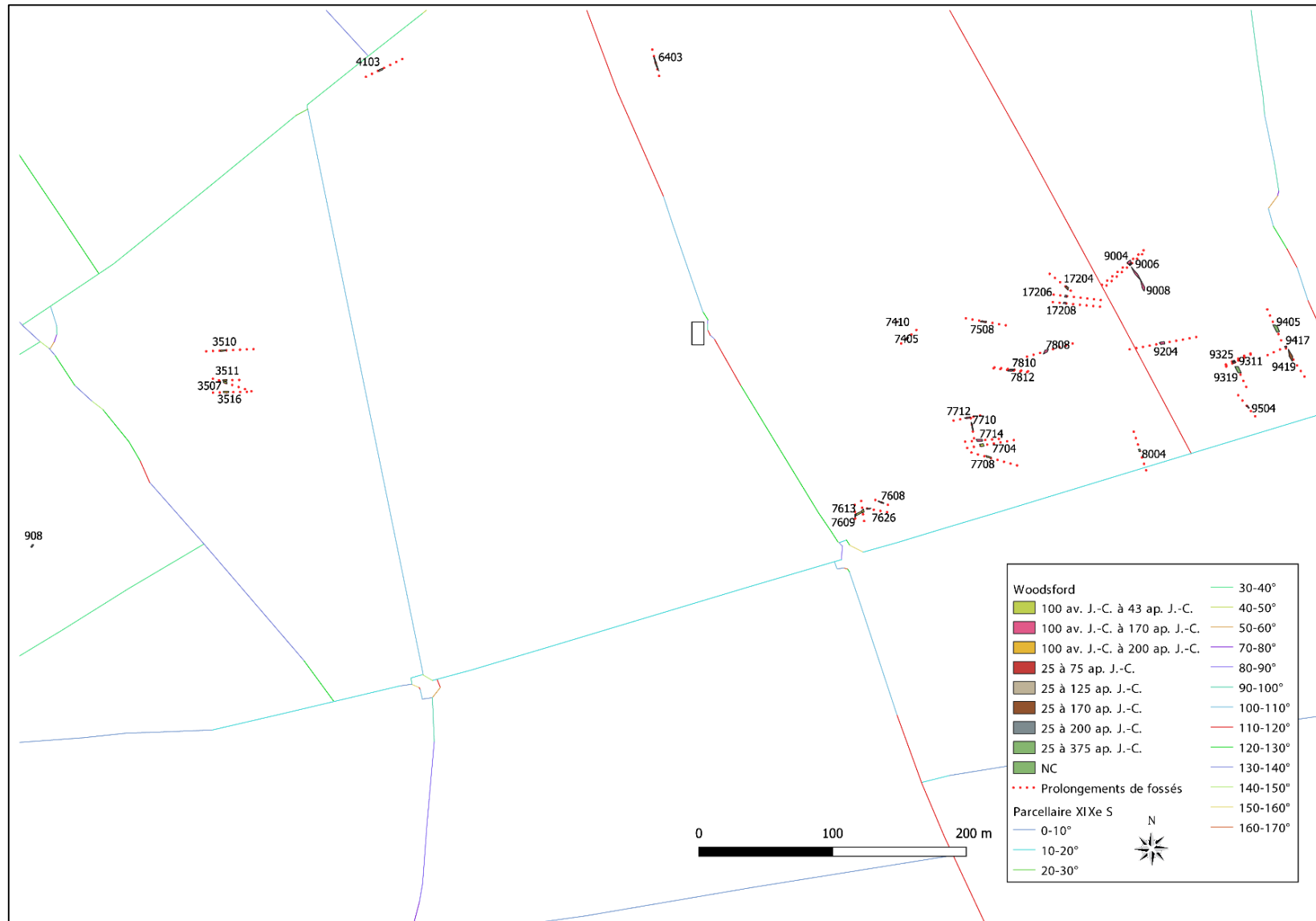


Figure 103. Woodsford - Prolongement des fossés de La Tène Finale.

Figure 104. Woodsford - Groupes directionnels des fossés protohistoriques.

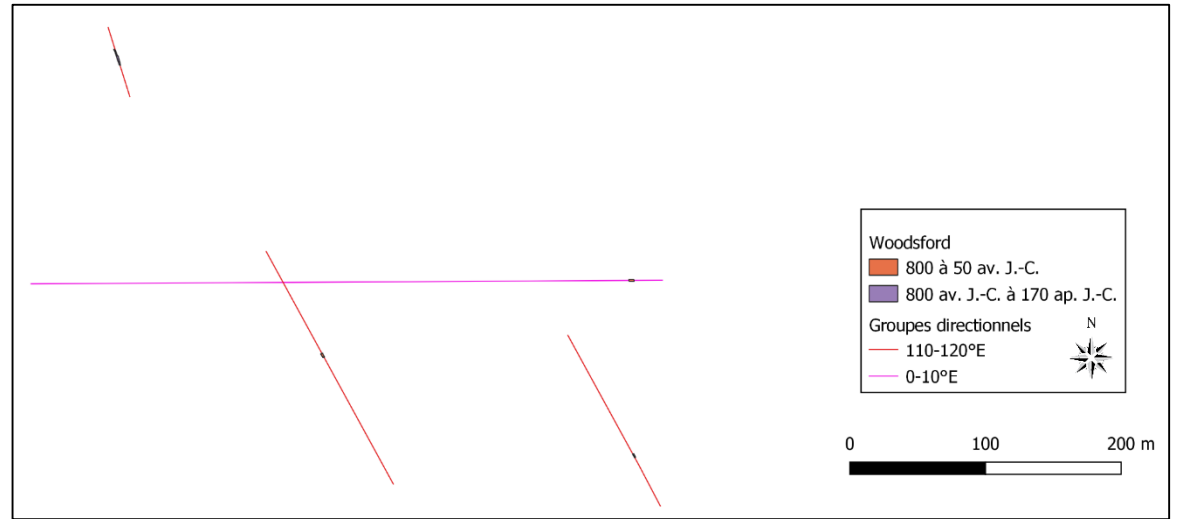
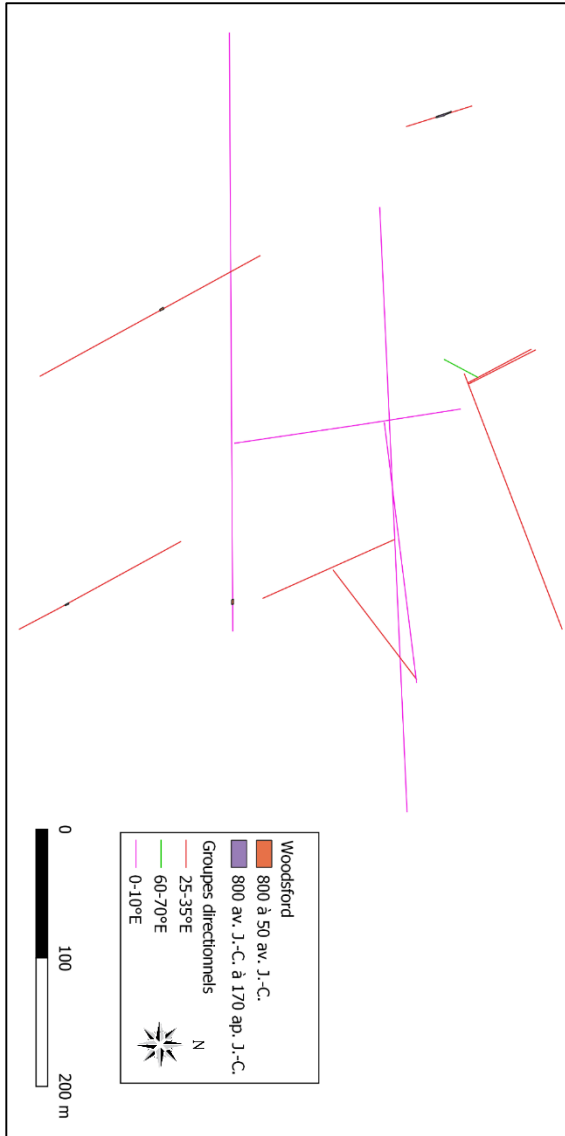


Figure 105.

Woodsford - Groupes directionnels des fossés protohistoriques (1500 à 800 av. J.-C.)

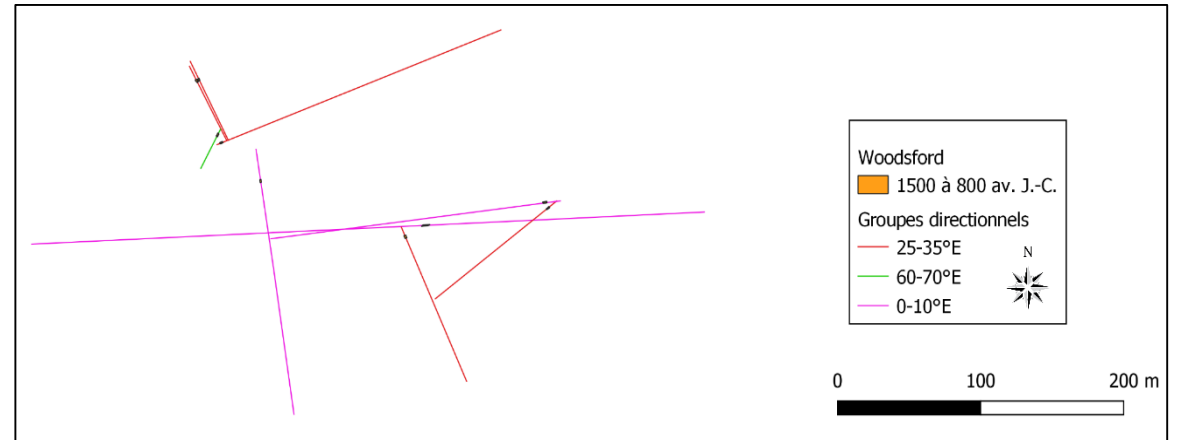


Figure 106.

Woodsford - Groupes directionnels des fossés installés à partir du IX^e siècle av. J.-C.

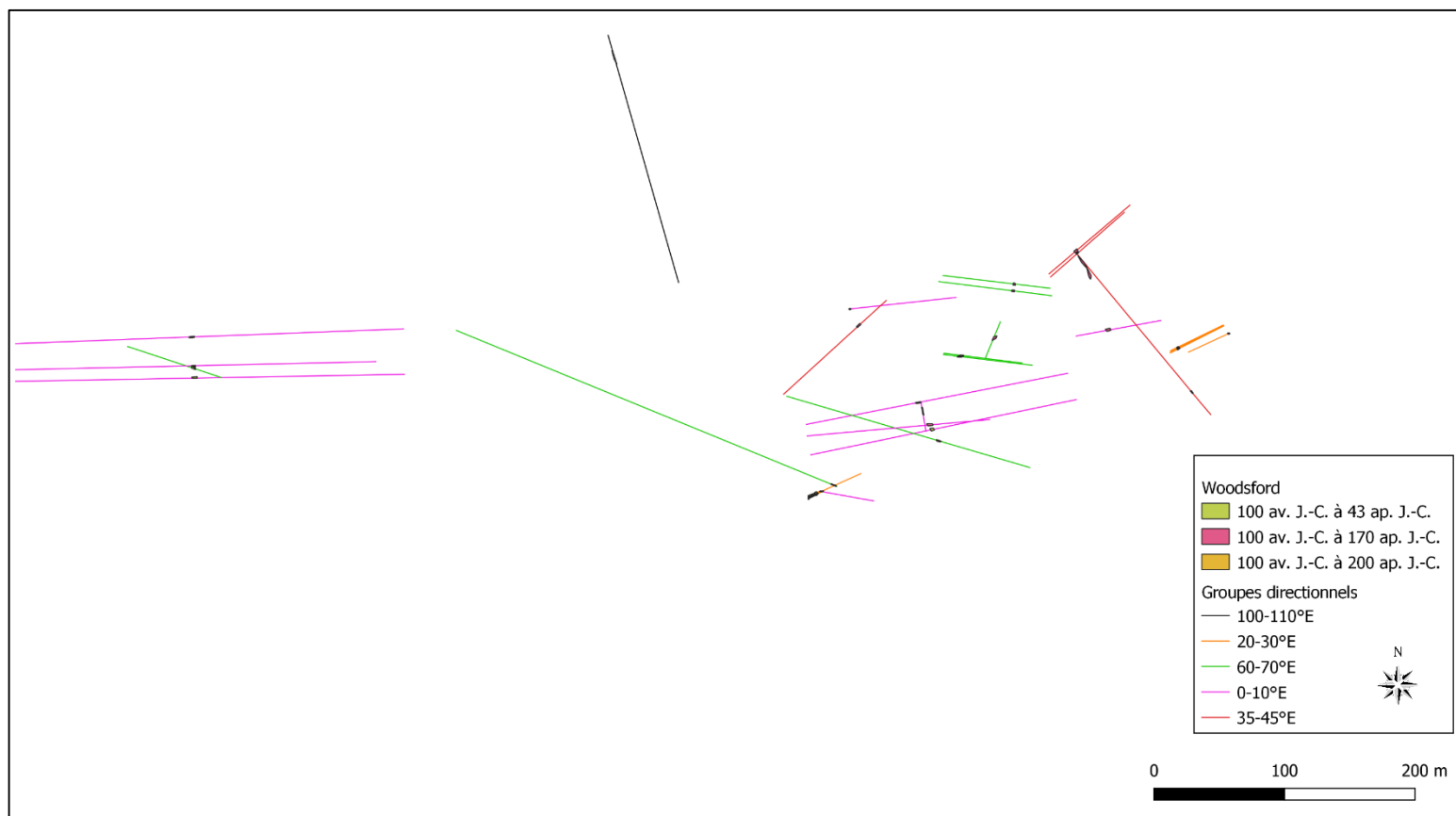


Figure 107. Woodsford - Groupes directionnels des fossés installés au II^e siècle av. J.-C.



Figure 108. Woodsford - Groupes directionnels des fossés installés au début du I^{er} siècle ap. J.-C. associés aux fossés antérieurs qui restent présents à cette période.

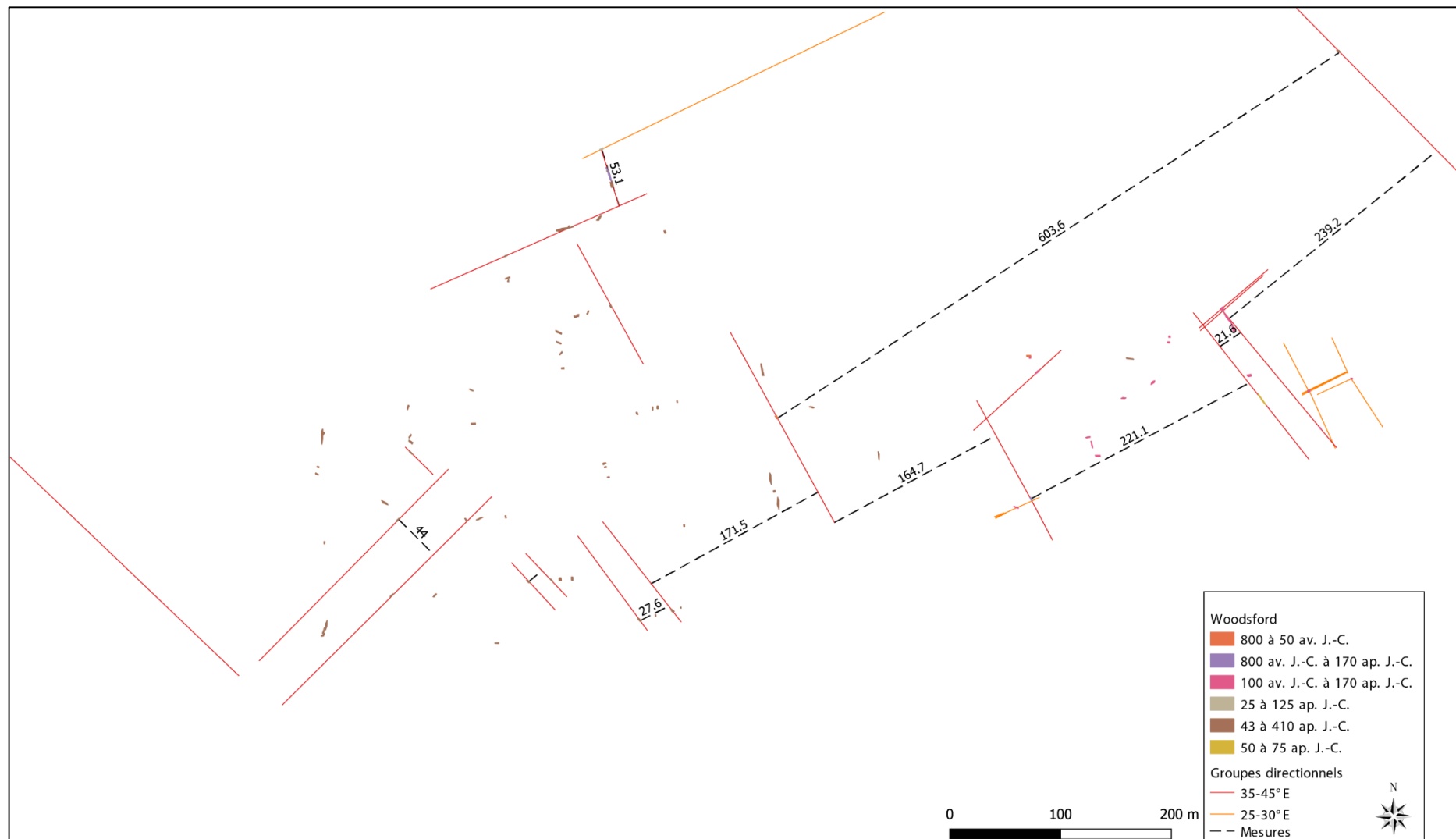


Figure 109. Woodsford - Groupes directionnels R et O et mesures des distances.

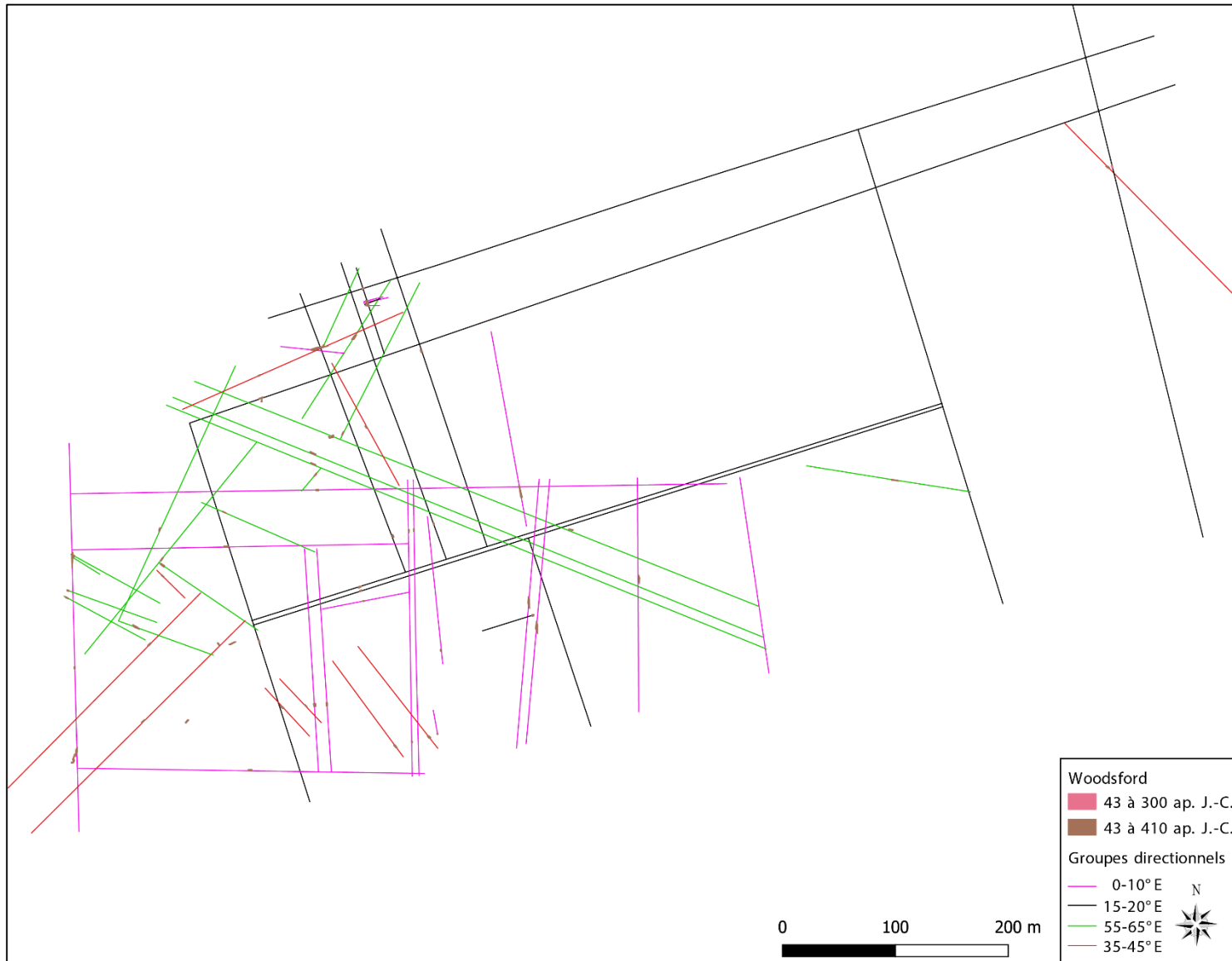


Figure 110. Woodsford - Groupes directionnels des fossés en place lors de la conquête romaine et dont les datations ne peuvent aller au-delà de l'Antiquité sans plus de précision.

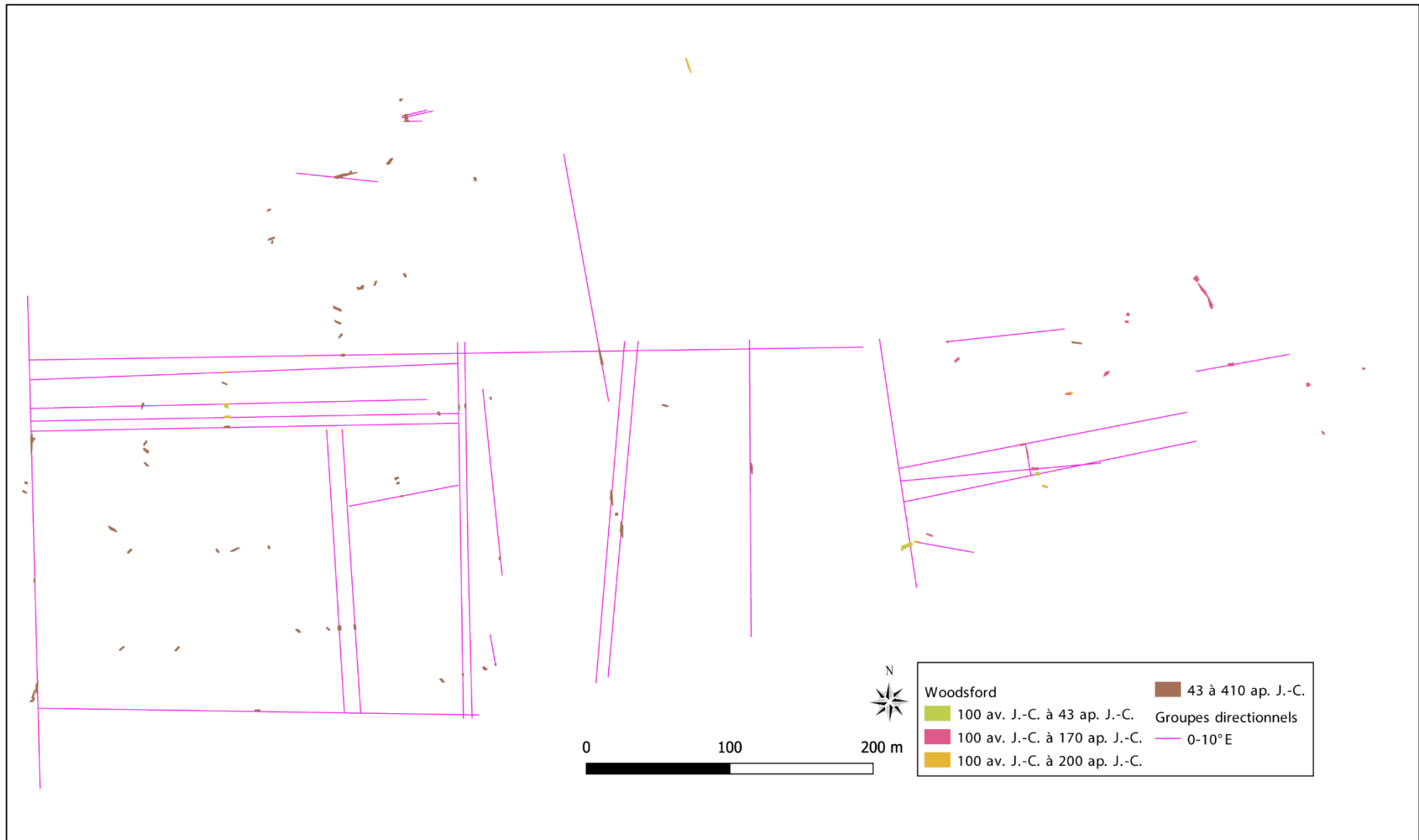


Figure 111. Woodsford - Groupe directionnel M et les structures associées.

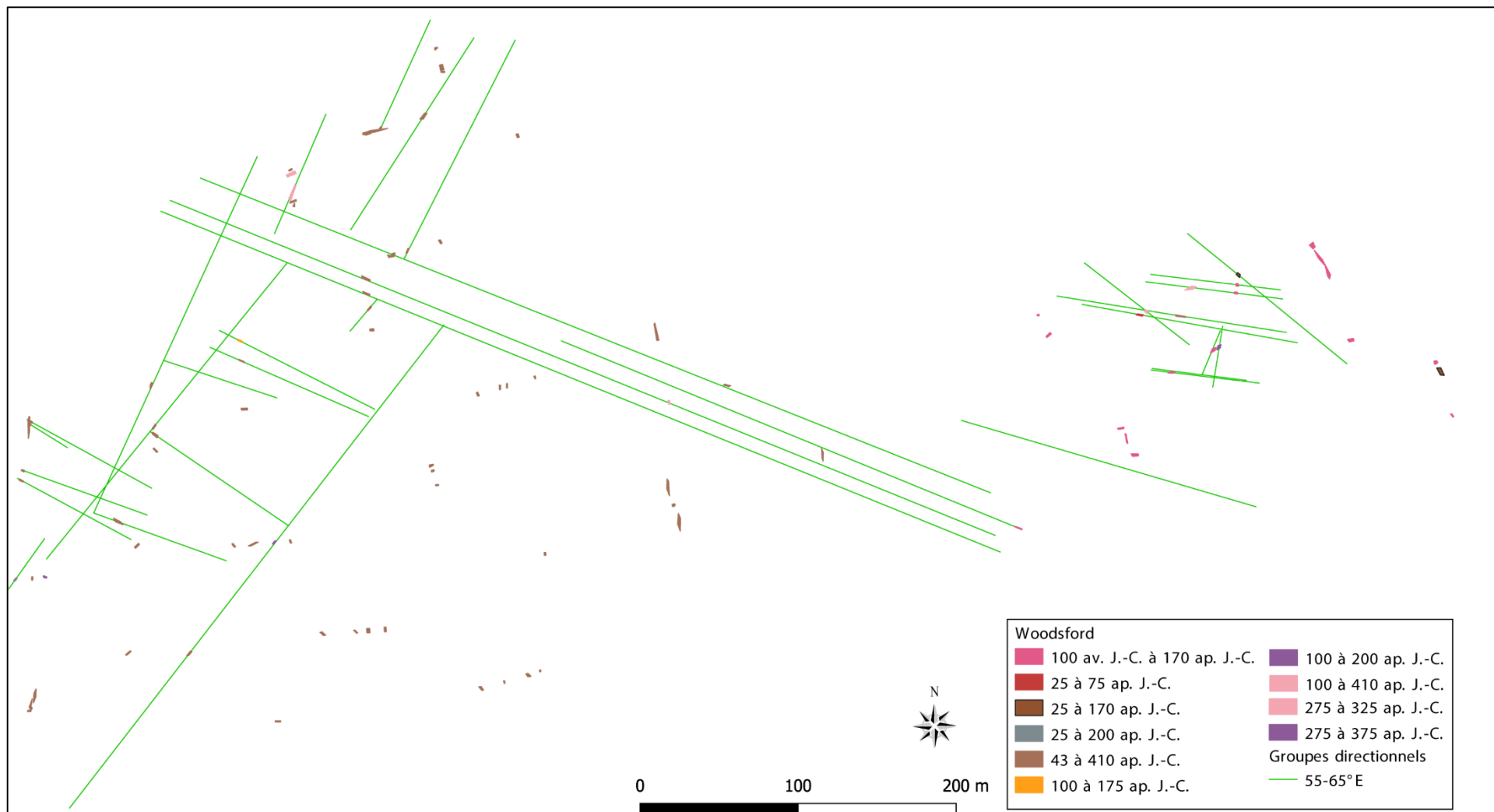
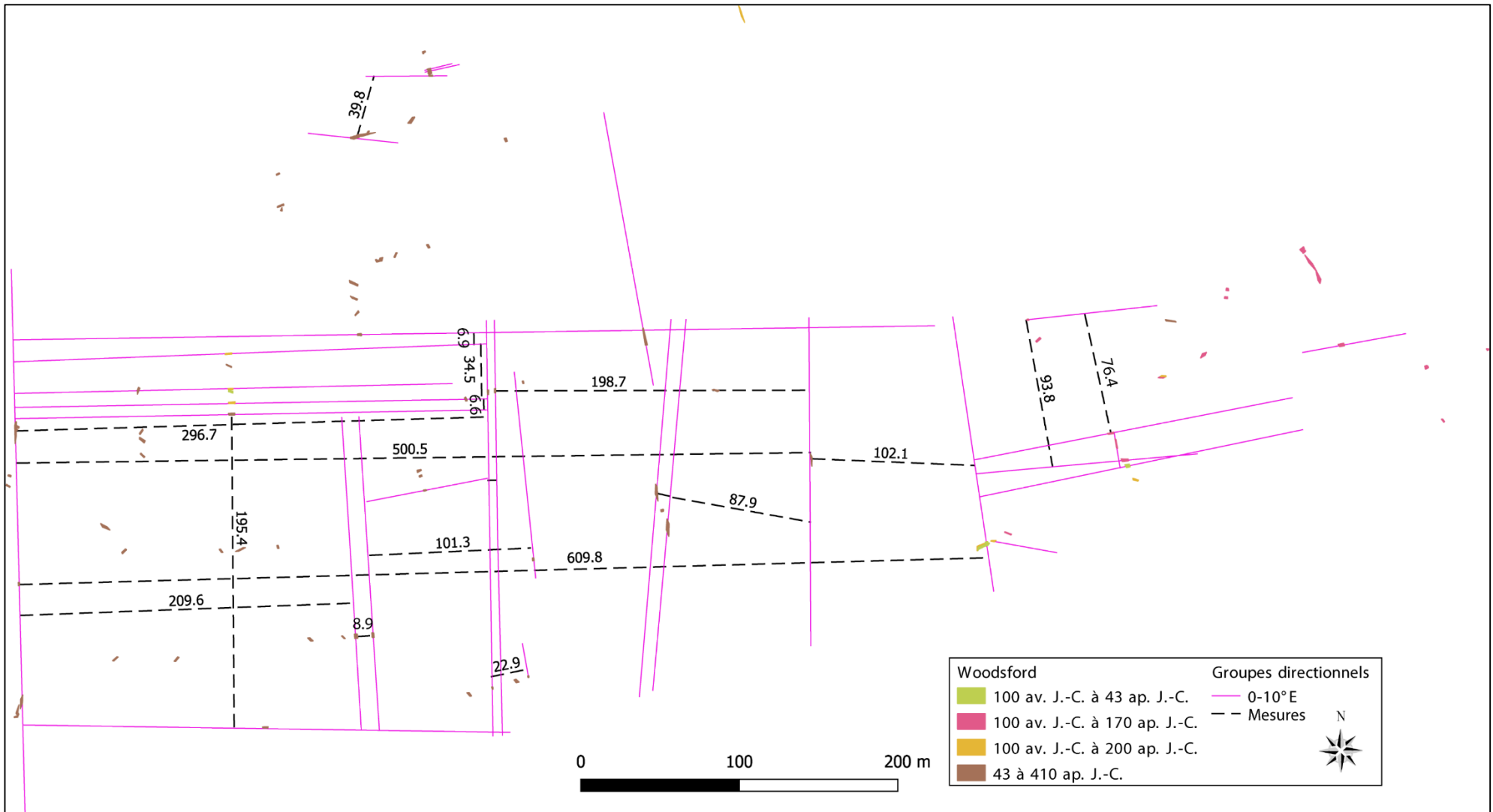


Figure 112. Woodsford - Groupe directionnel V et les structures associées.



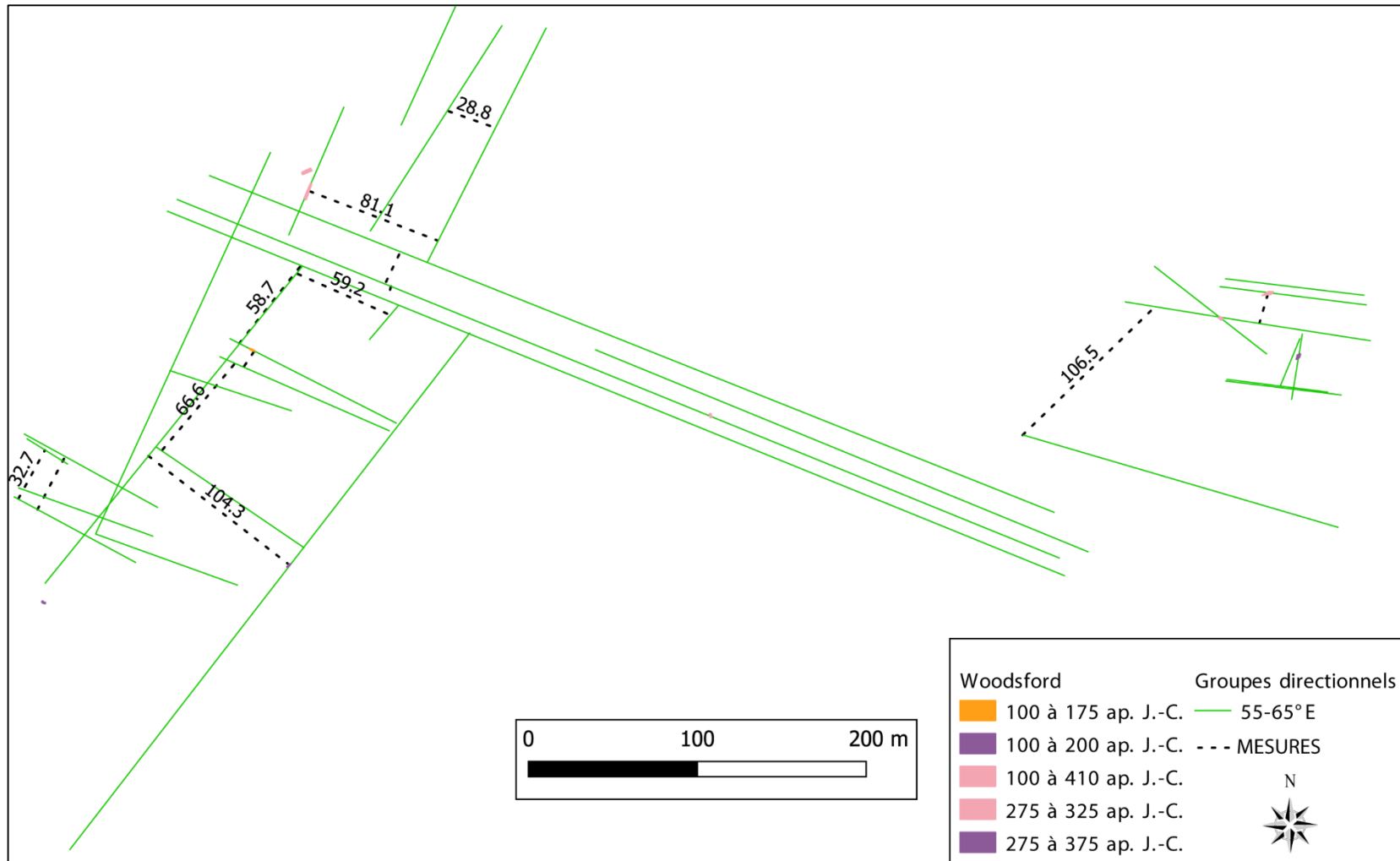


Figure 114. Woodsford – Mise en place du nouveau système parcellaire au début du II^e siècle ap. J.-C.

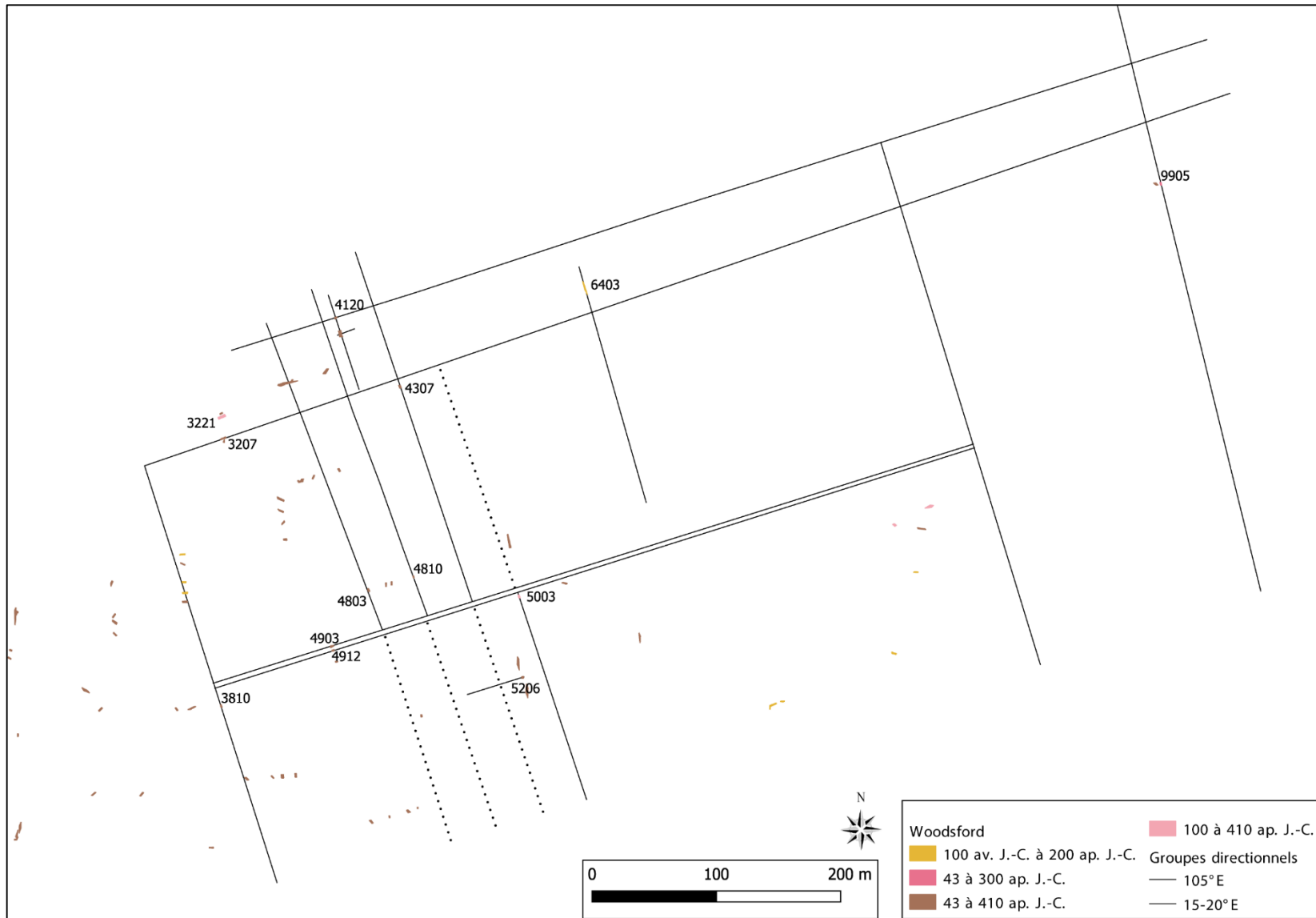


Figure 115. Woodsford – Le parcellaire supposé de la deuxième moitié du II^e siècle/début du III^e siècle intégré à son groupe directionnel.

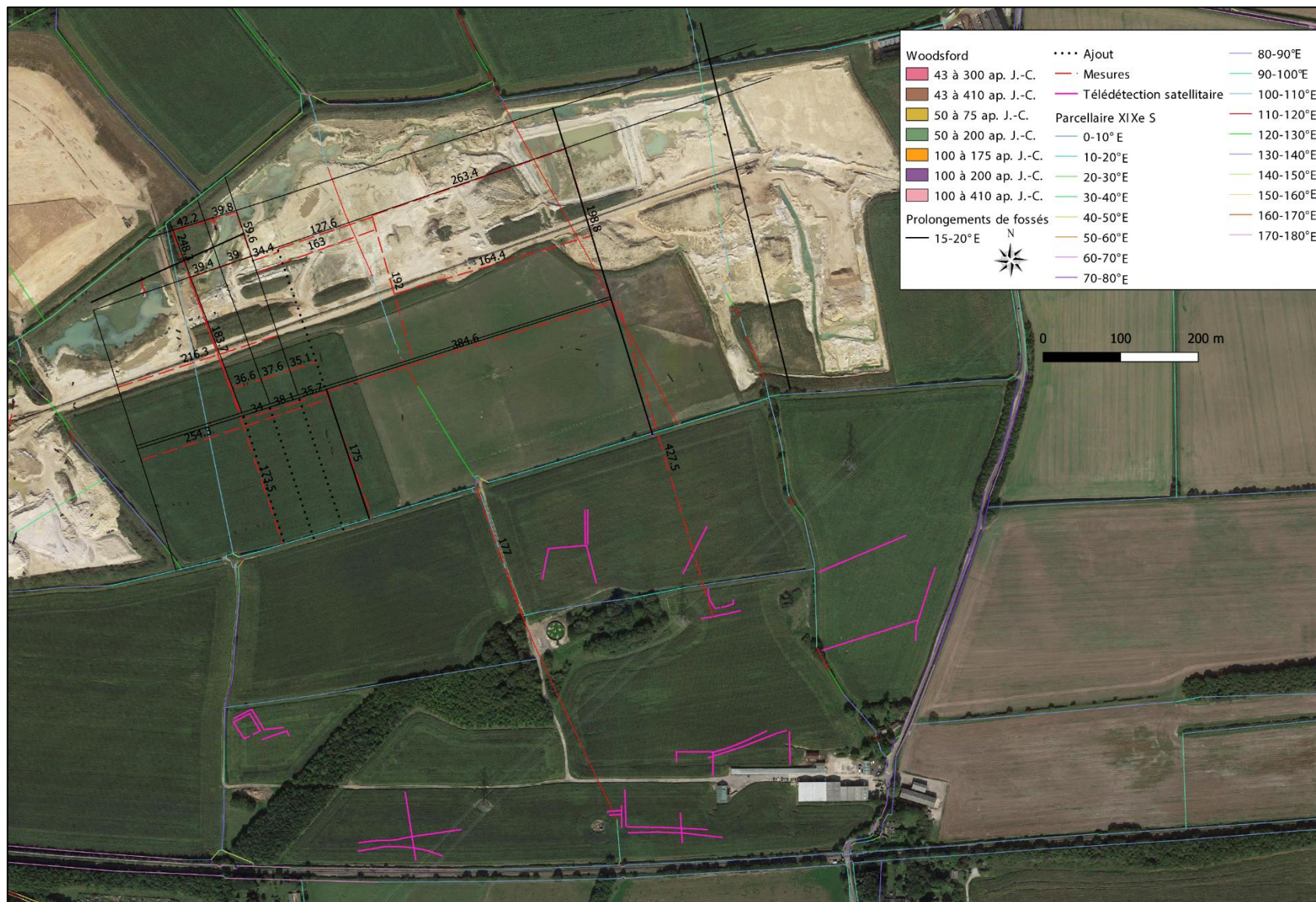


Figure 116. Woodsford - Mesures des distances entre les fossés parcellaires du groupe N, les anomalies de terrains, les limites parcellaires du XIX^e siècle et actuelles.

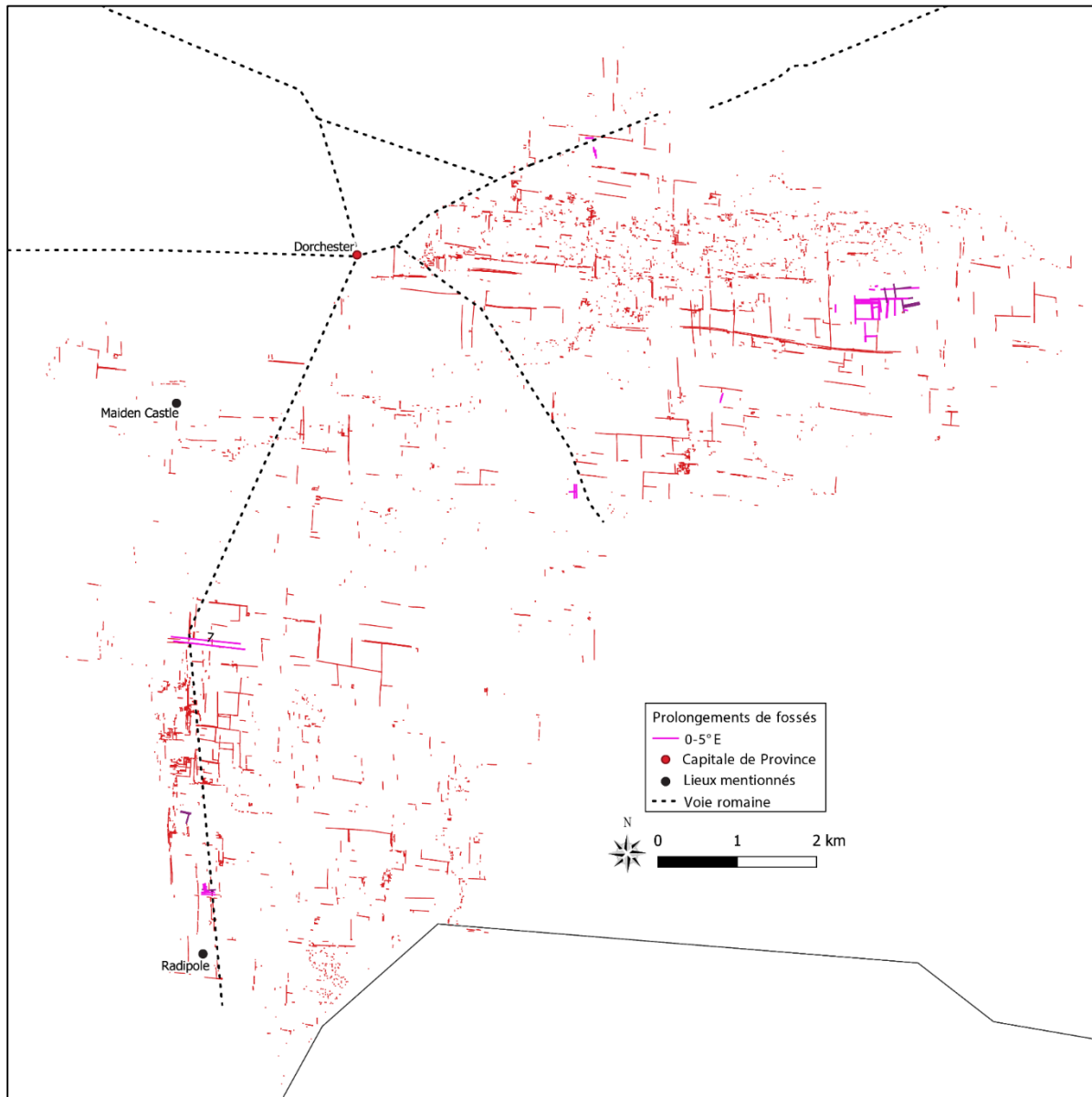


Figure 117. Woodsford - Isolement des segments parcelaires orientés à 0-10°E.

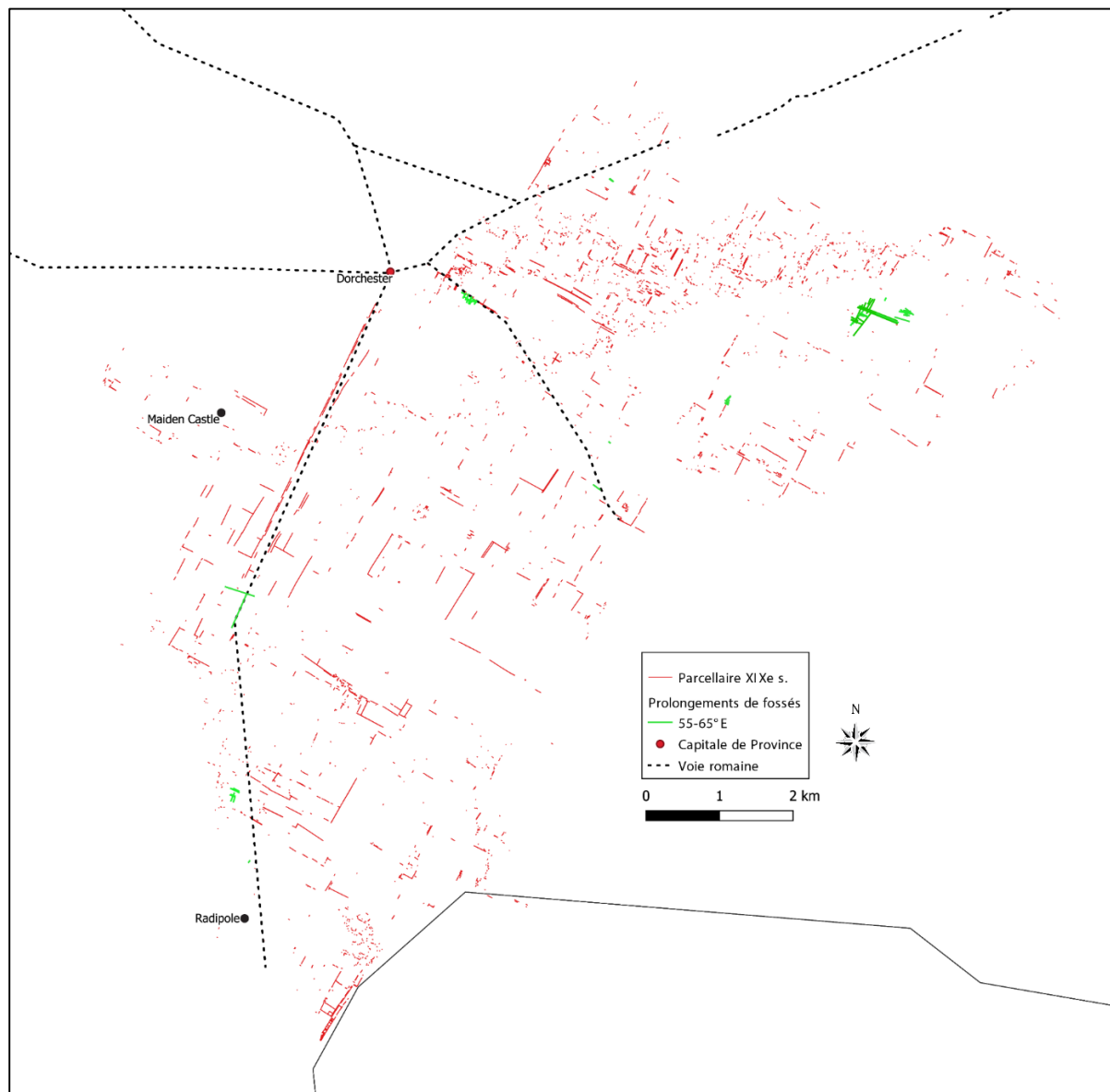


Figure 118. Woodsford - Isolements des segments parcellaires orientés à 55-65°E.

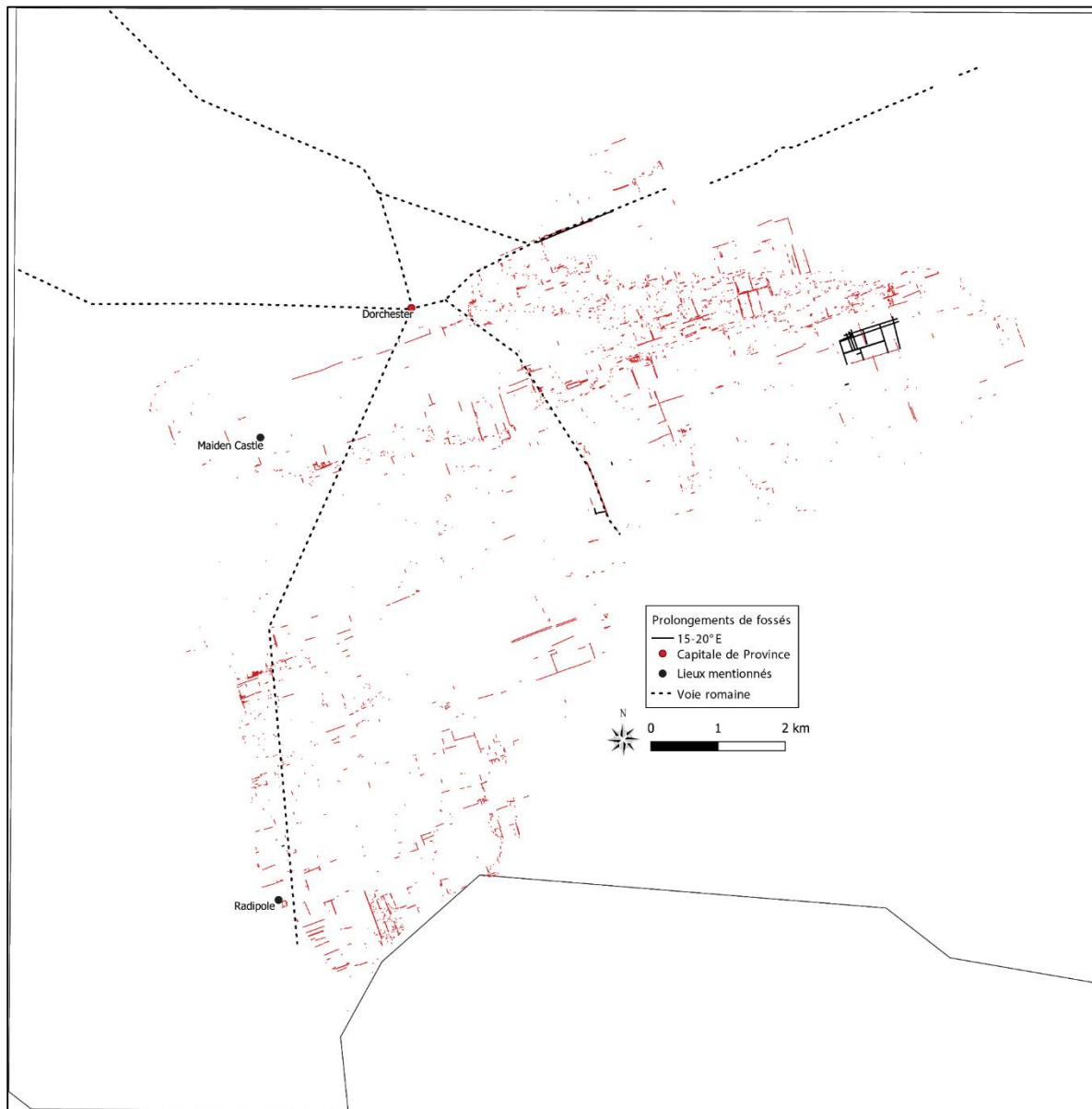


Figure 119. Woodsford - Isolement des segments parcelaires orientés à 15-20°E.

Orientations des structures fossoyées par sites fouillés

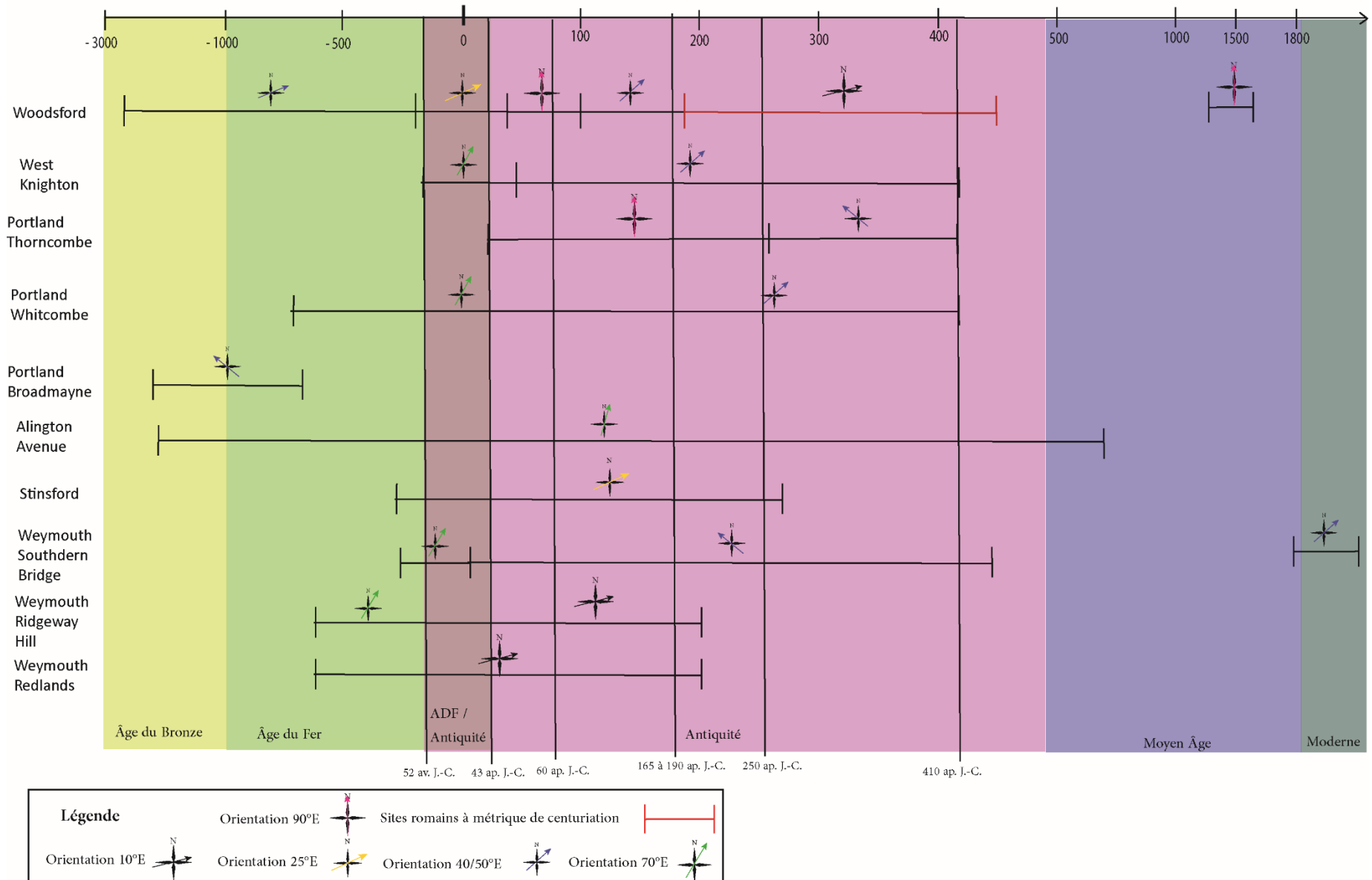


Figure 120. Orientations des structures fossoyées du secteur étudié du Dorset. Les dates correspondent aux évènements discutés dans le chapitre VI.

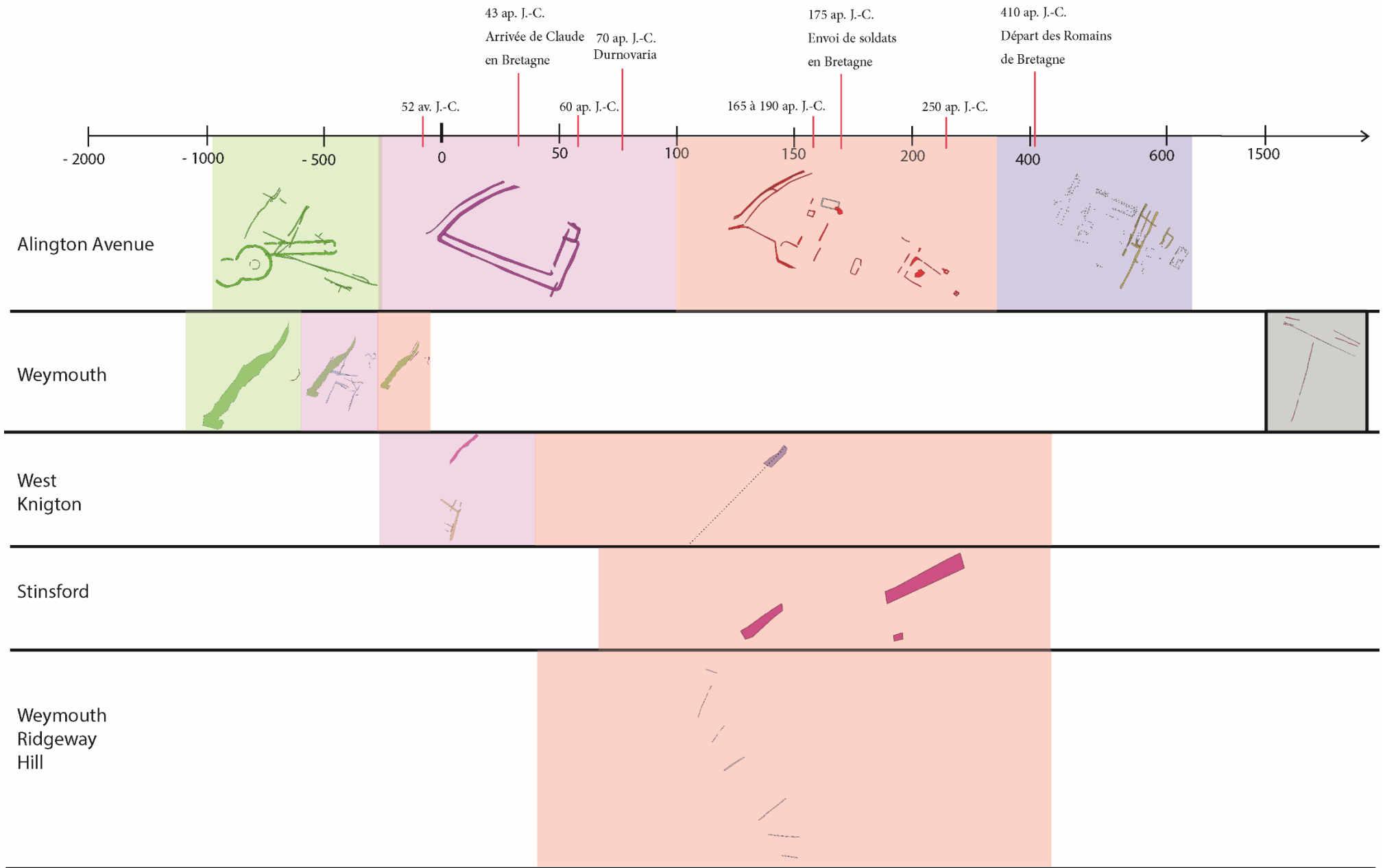
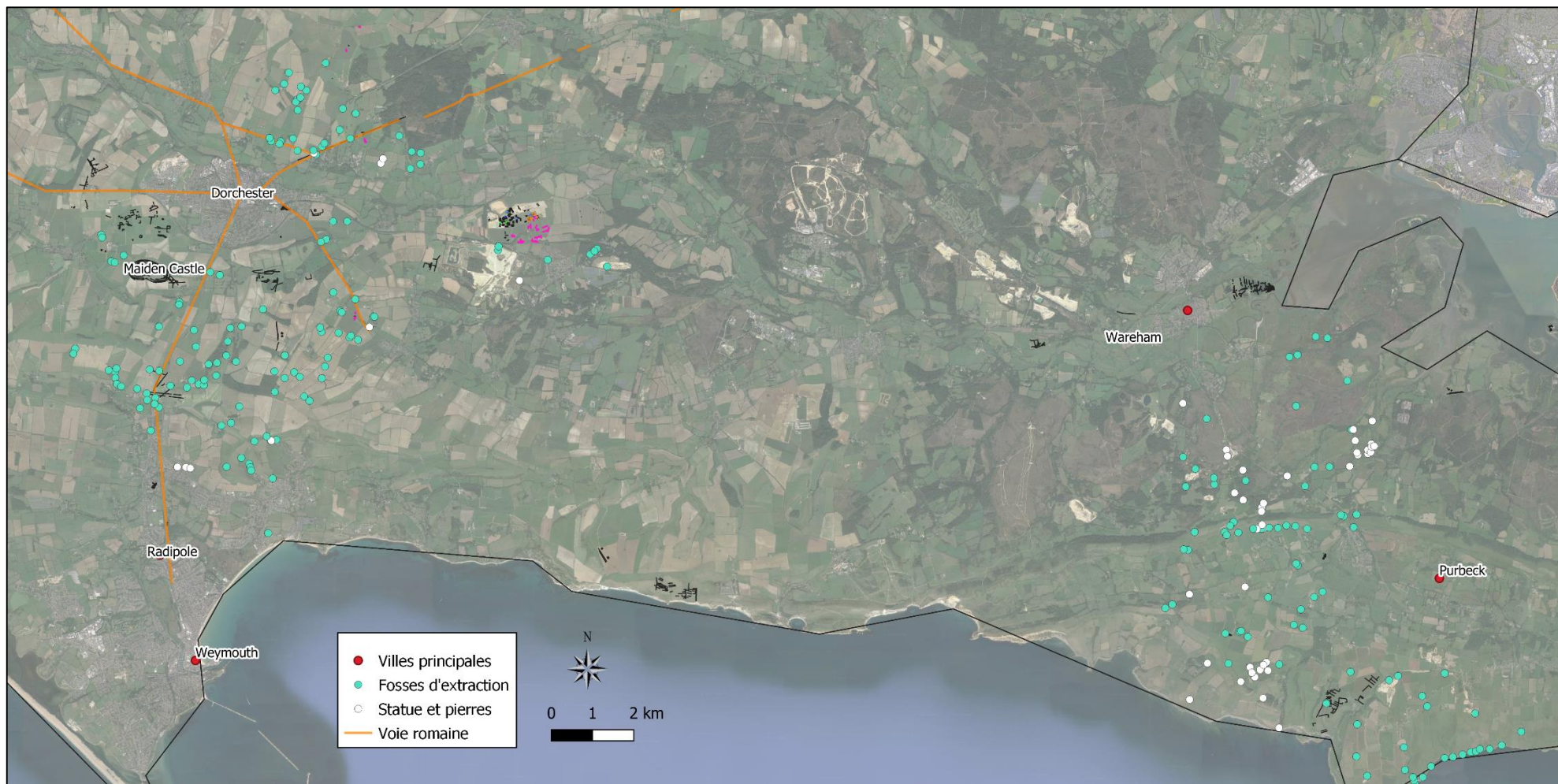


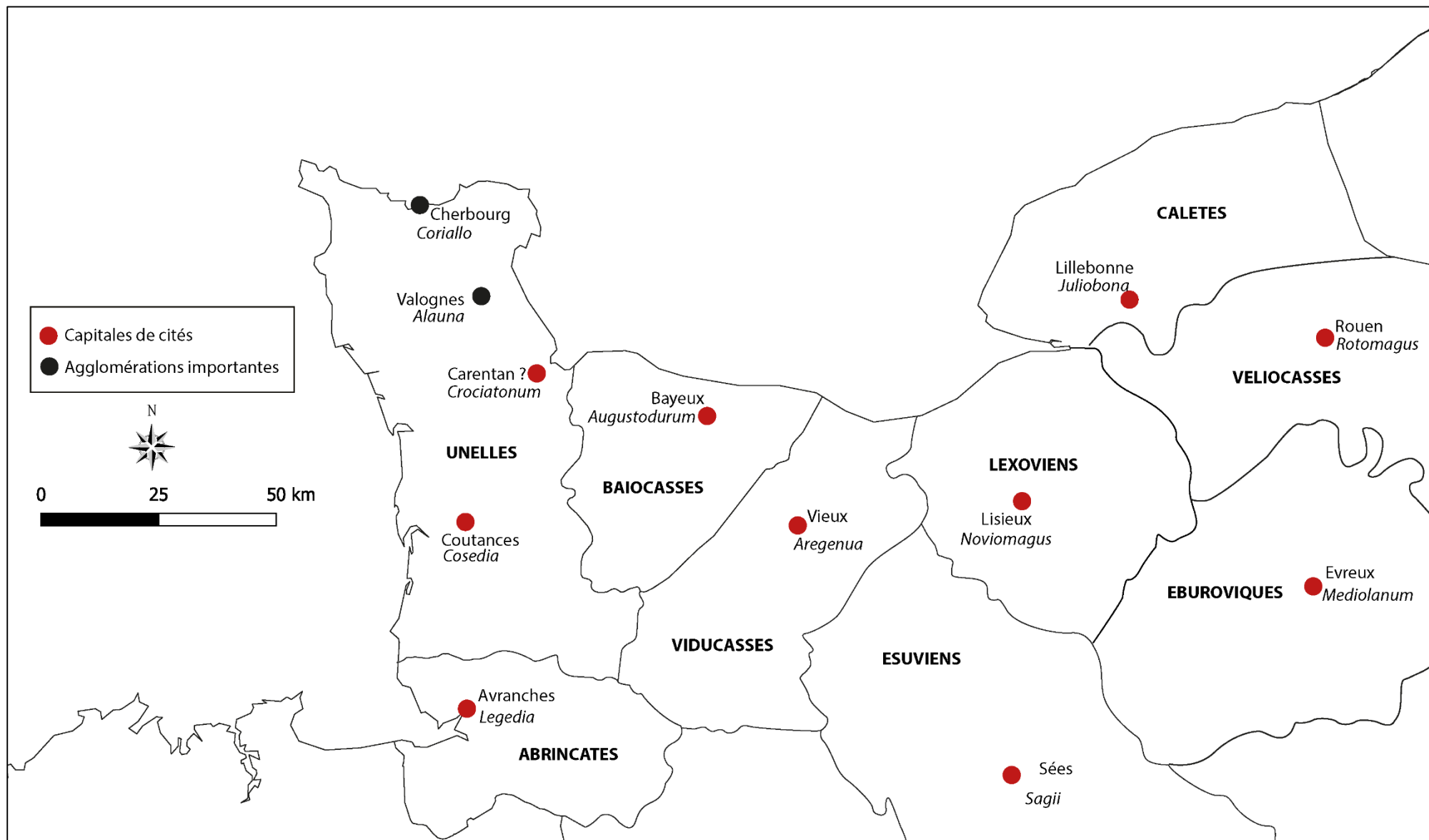
Figure 121. Les sites intégrés à une frise historique (échelles non linéaires).



Carte 35. Carte de répartition des fosses d'extraction de craie et des artefacts de la même matière.

LA BAIE DES VEYS

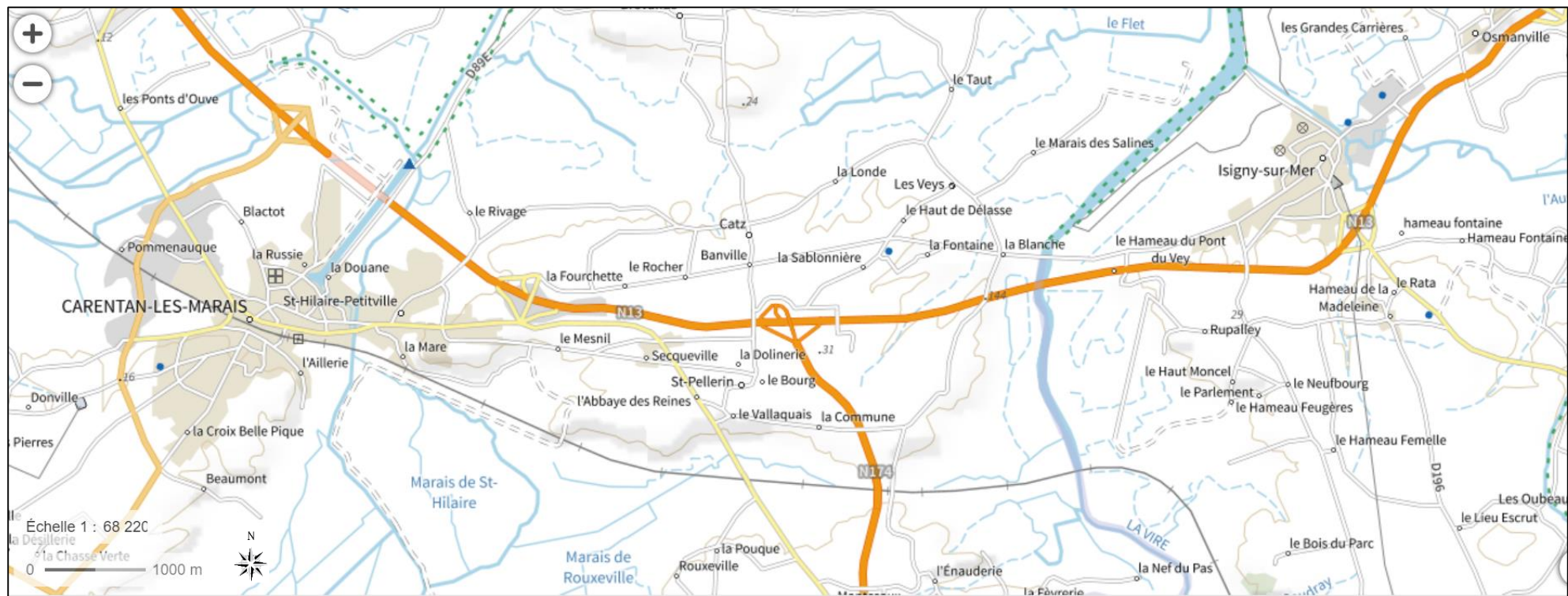
De Carentan à Osmanville



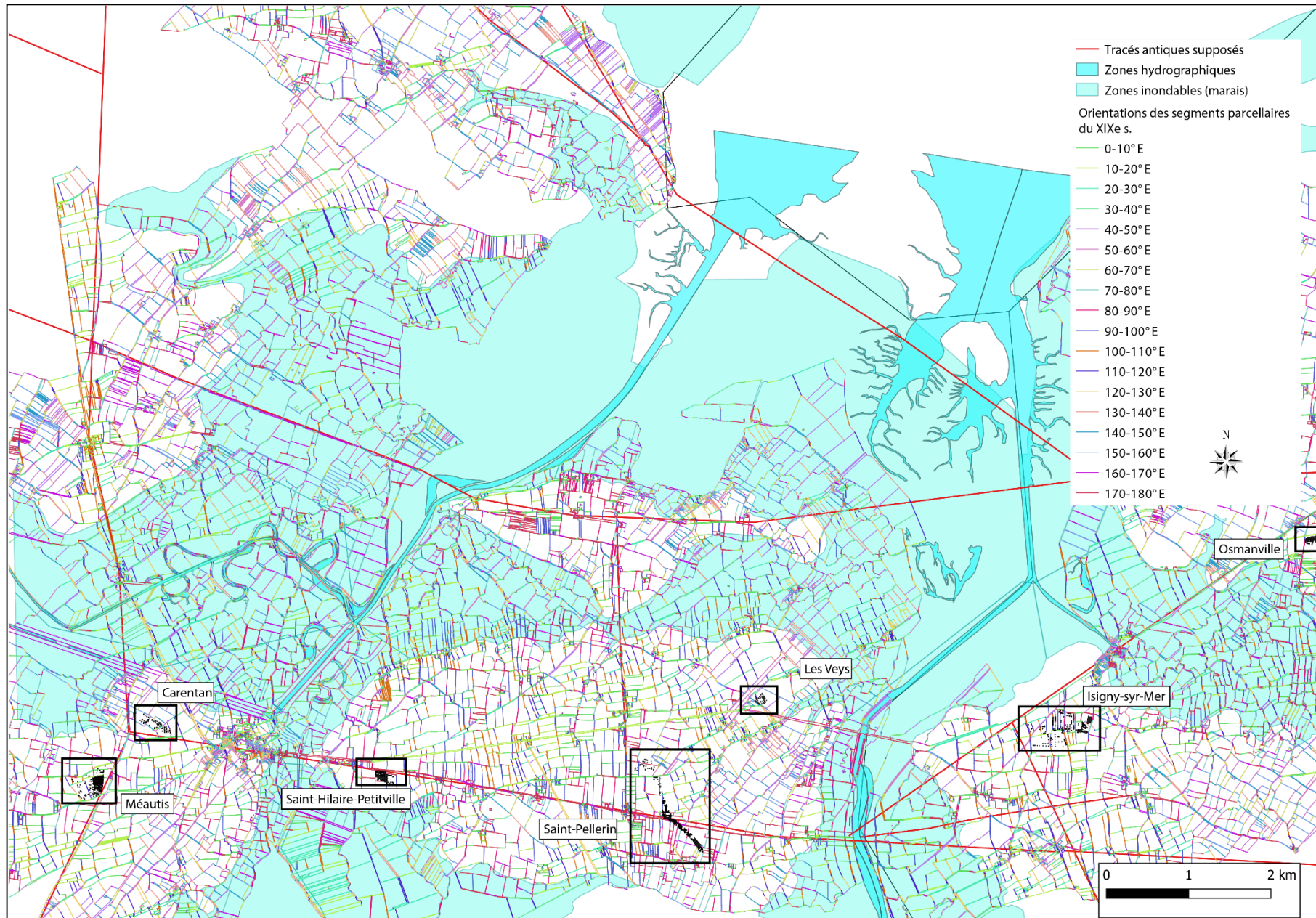
Carte 36. Emplacement des Unelles et des Baiocasses dans leur contexte géographique.



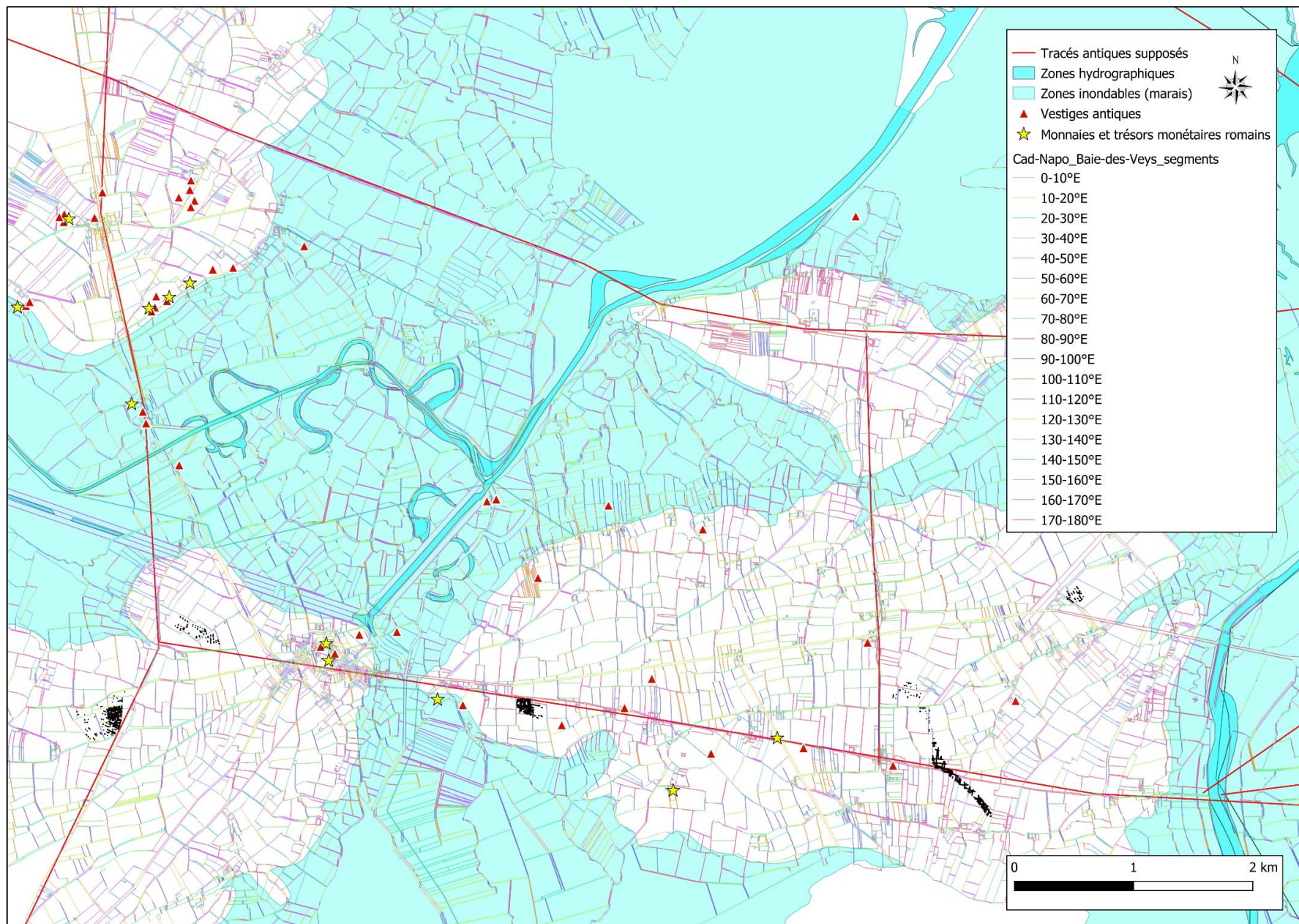
Carte 37. Les sites étudiés dans leur environnement associés aux chemins antiques supposés d'après Gaël Léon (Données SIG INRAP).



Carte 38. Contexte géographique de Méautis, Carentan, Saint-Hilaire-Petitville, Saint-Pellerin, Les Veys, Isigny-sur-Mer et Osmanville.

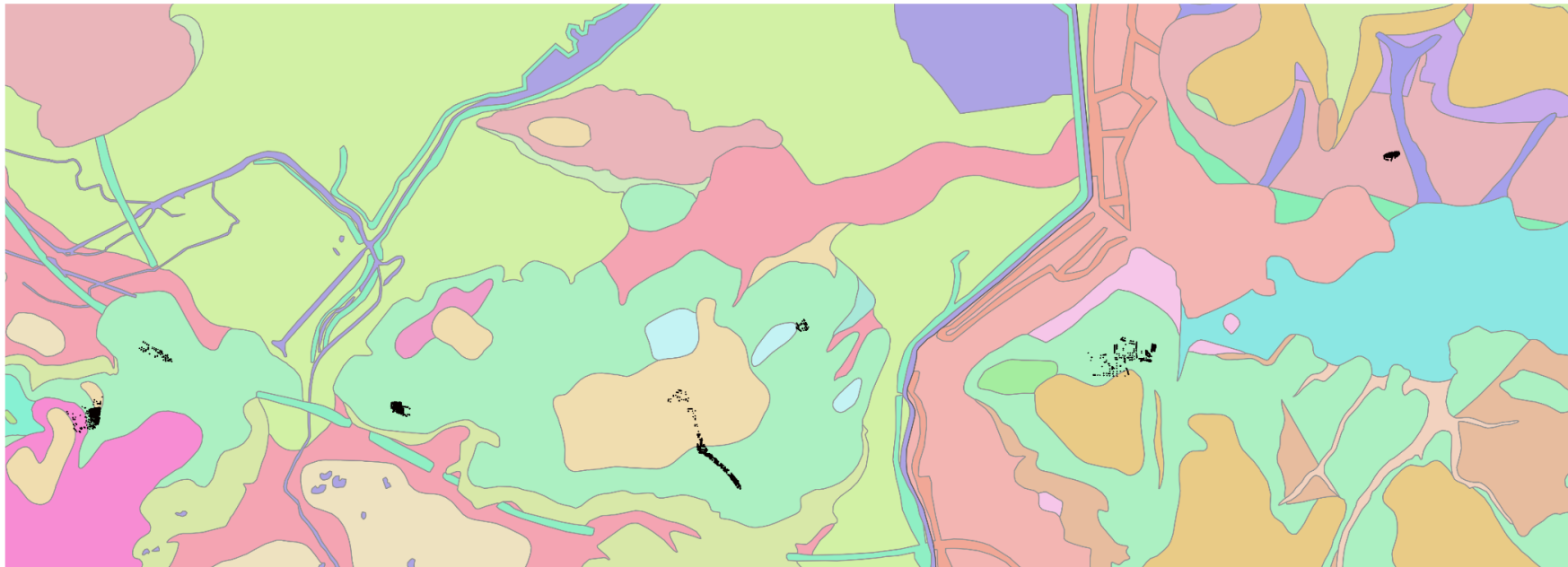
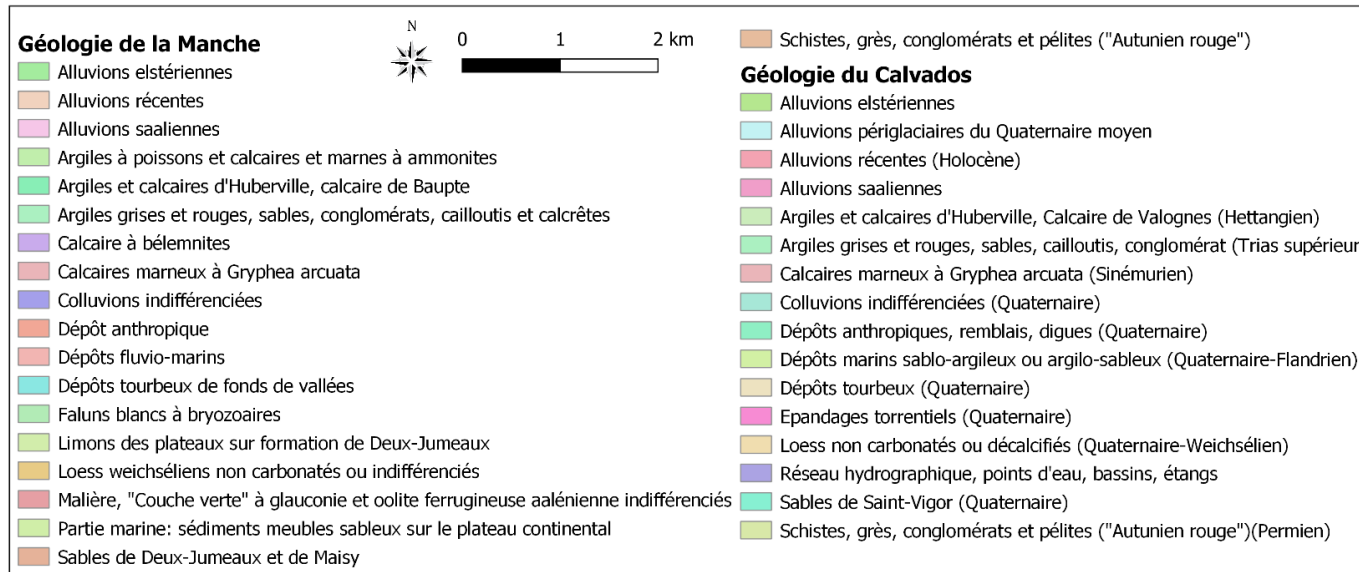


Carte 39. Répartition des sites étudiés de la Baie des Veys associés au cadastre napoléonien vectorisé (tracés antiques supposés d'après G. Léon ; Données SIG INRAP).



Carte 40. Répartition des vestiges découverts. (D'après CAG 1989 et prospections 2013).

Géologie de la zone de la Baie des Veys



Carte 41. Répartition des sites étudiés sur le fond de carte géologique.

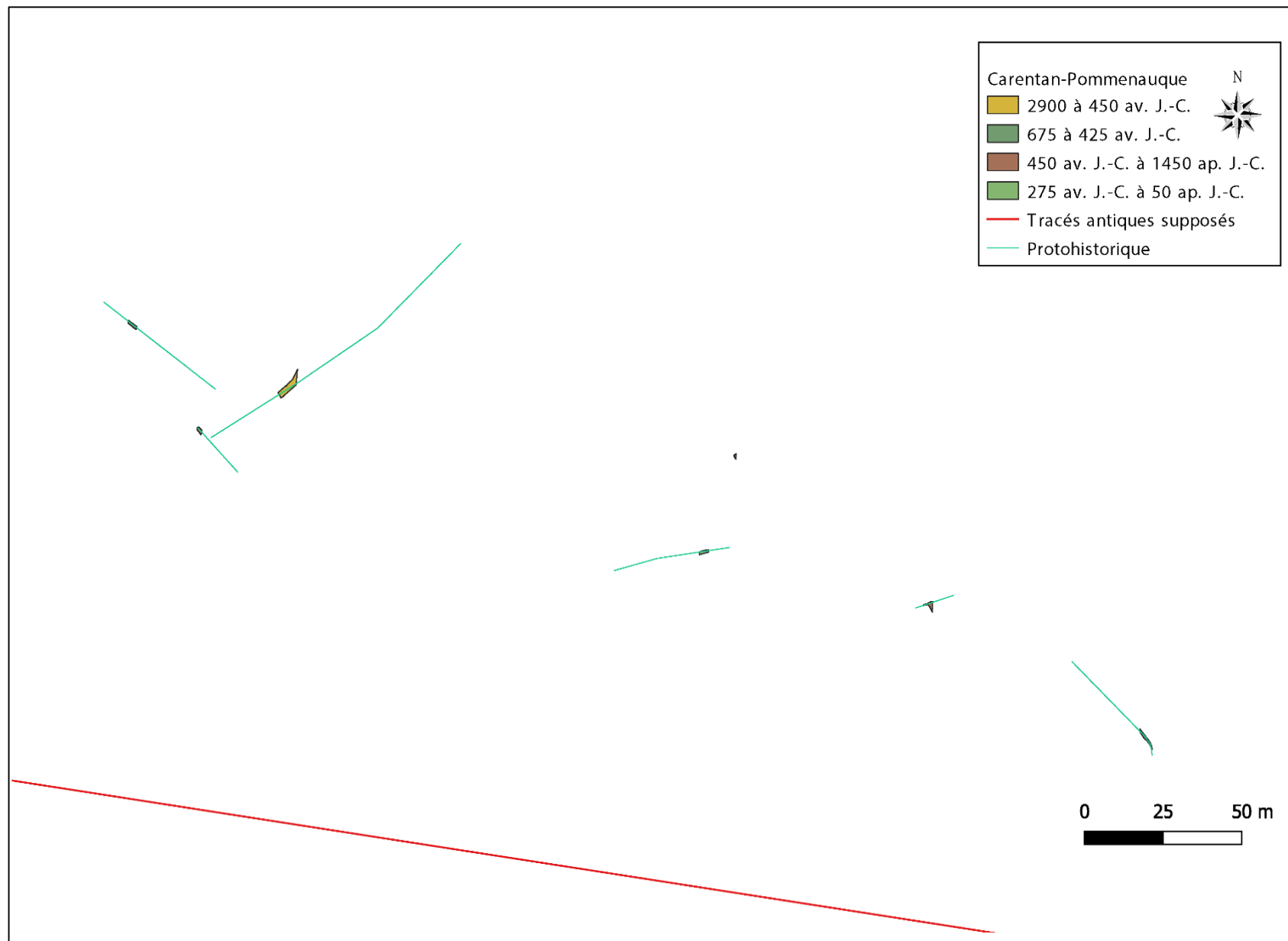


Figure 123. Carentan – Structures fossoyées de l'Âge du Bronze.



Figure 124. Carentan - 25 ap. J.-C.

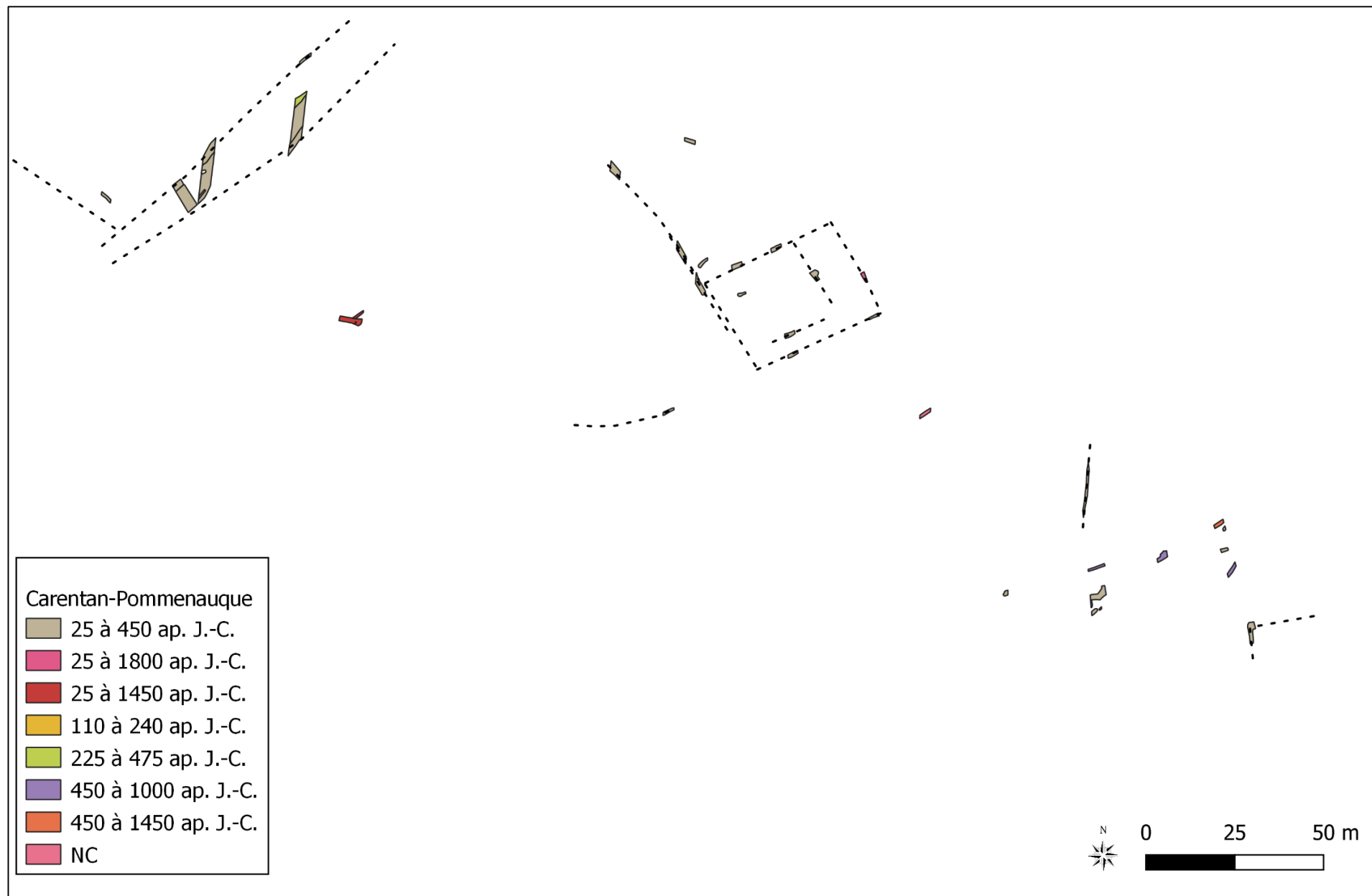


Figure 125. Carentan - Période antique.

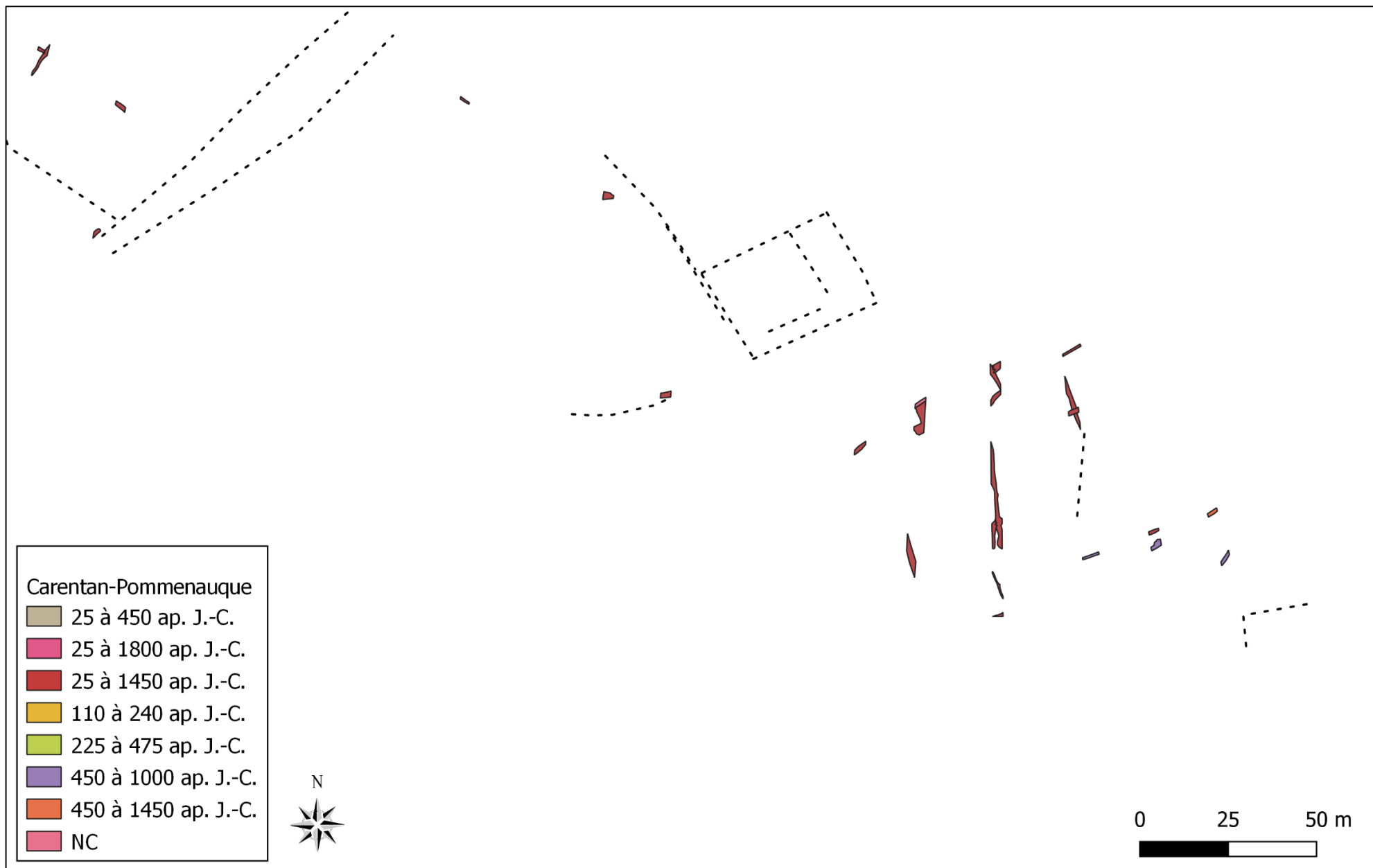


Figure 126. Carentan - De la fin de l'Antiquité à la période moderne.



Figure 127. Carentan - Structures modernes.

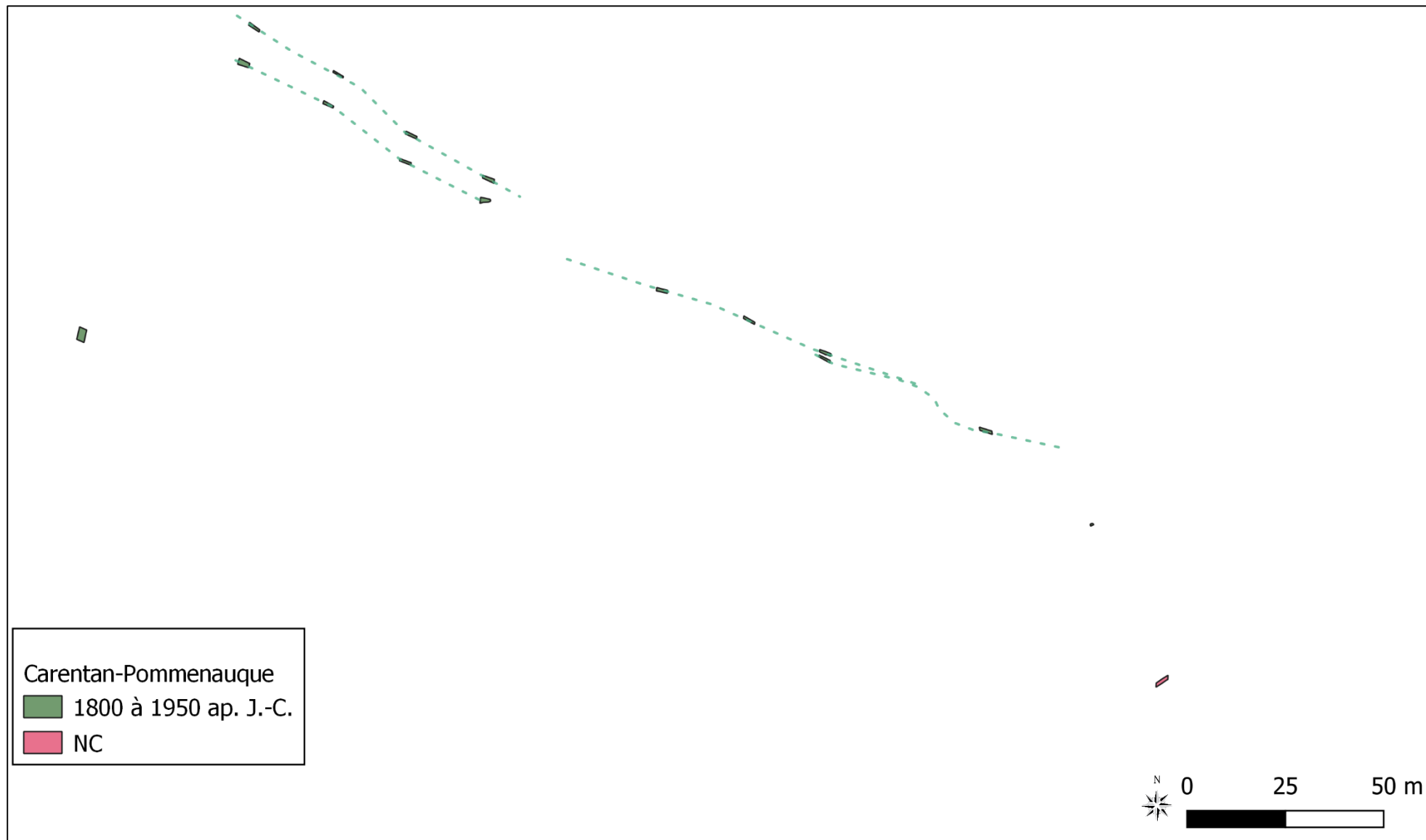


Figure 128. Carentan - Période contemporaine.

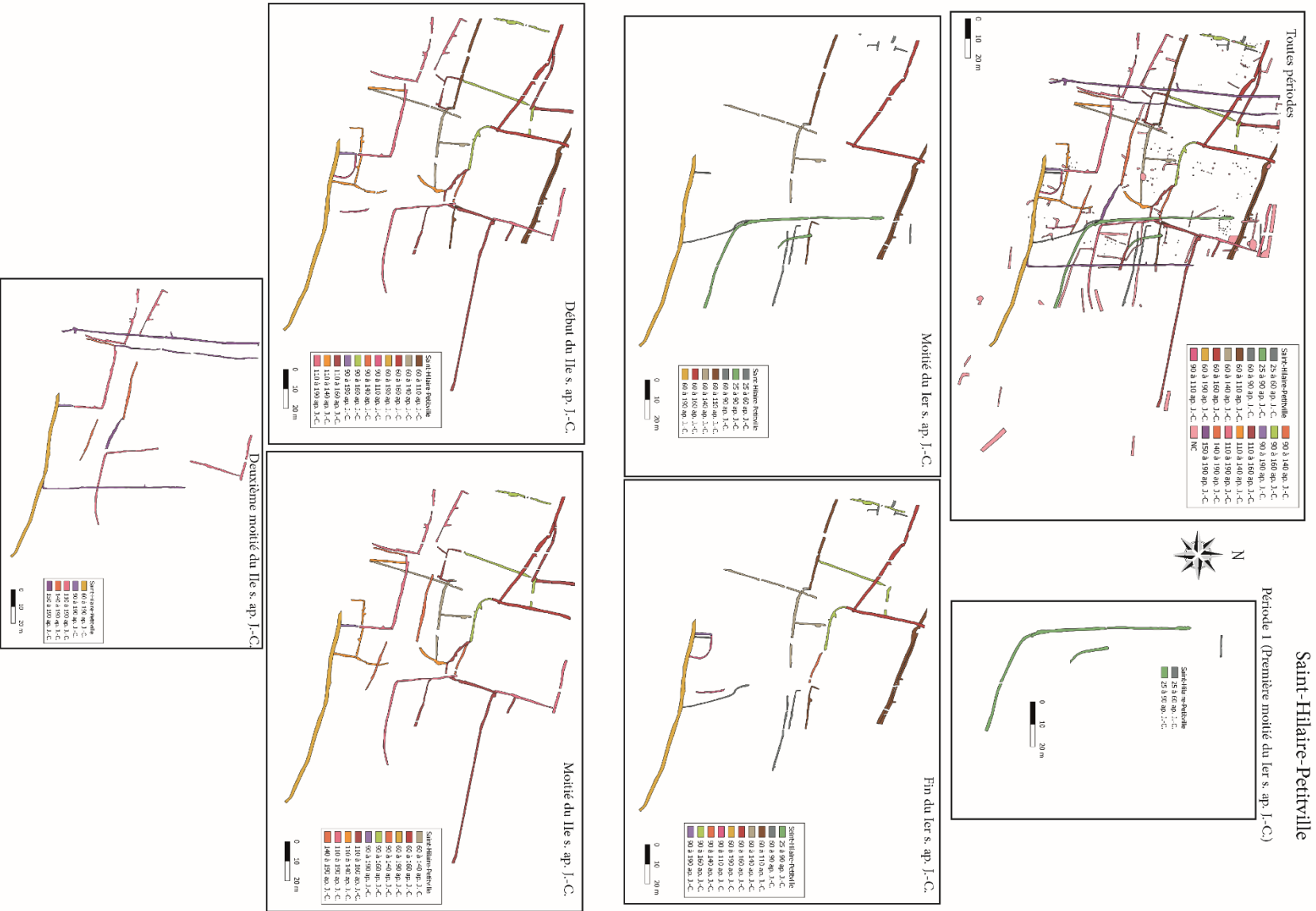


Figure 129. Phasage du site de Saint-Hilaire-Petitville.

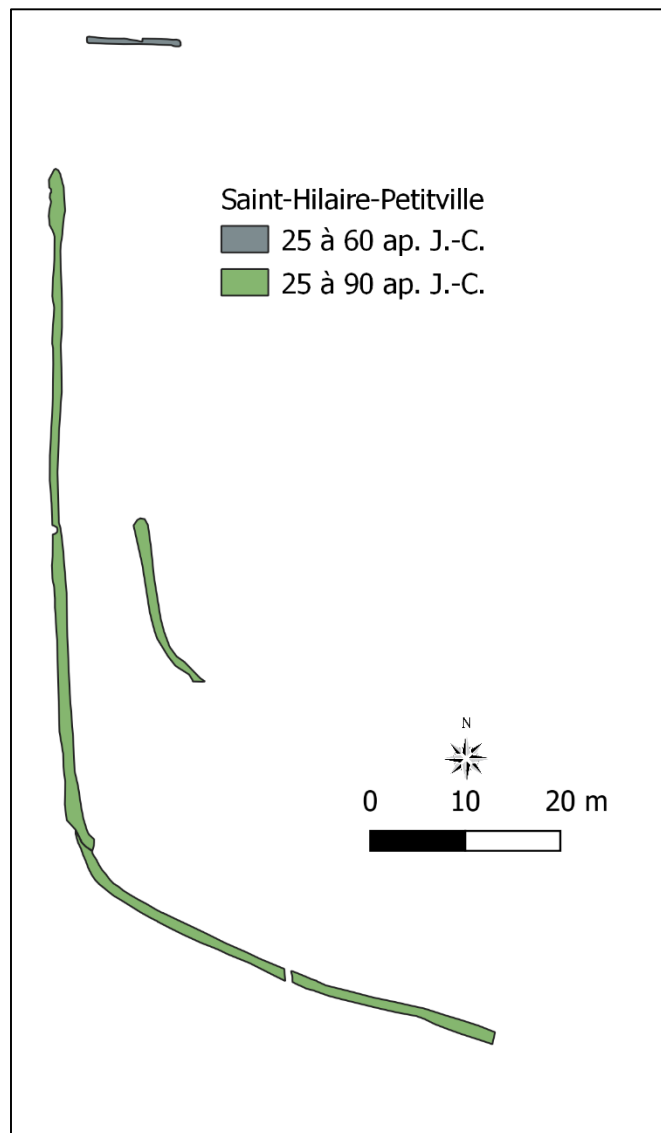


Figure 130. Saint-Hilaire-Petitville - Première moitié du I^{er} siècle ap. J.-C.

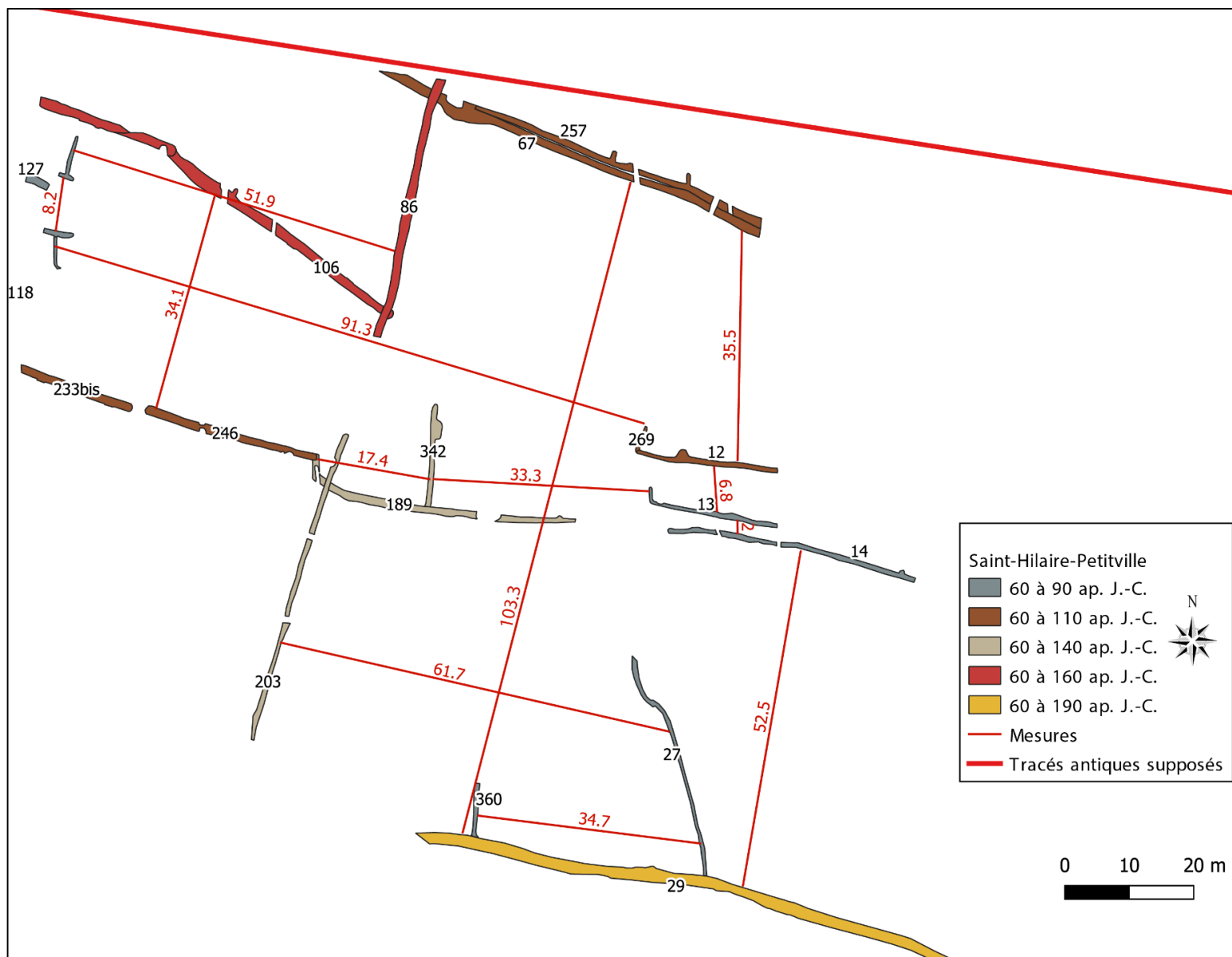


Figure 131. Saint-Hilaire-Petitville - Mesures prises entre les fossés datés de la deuxième moitié du I^{er} siècle ap. J.-C.

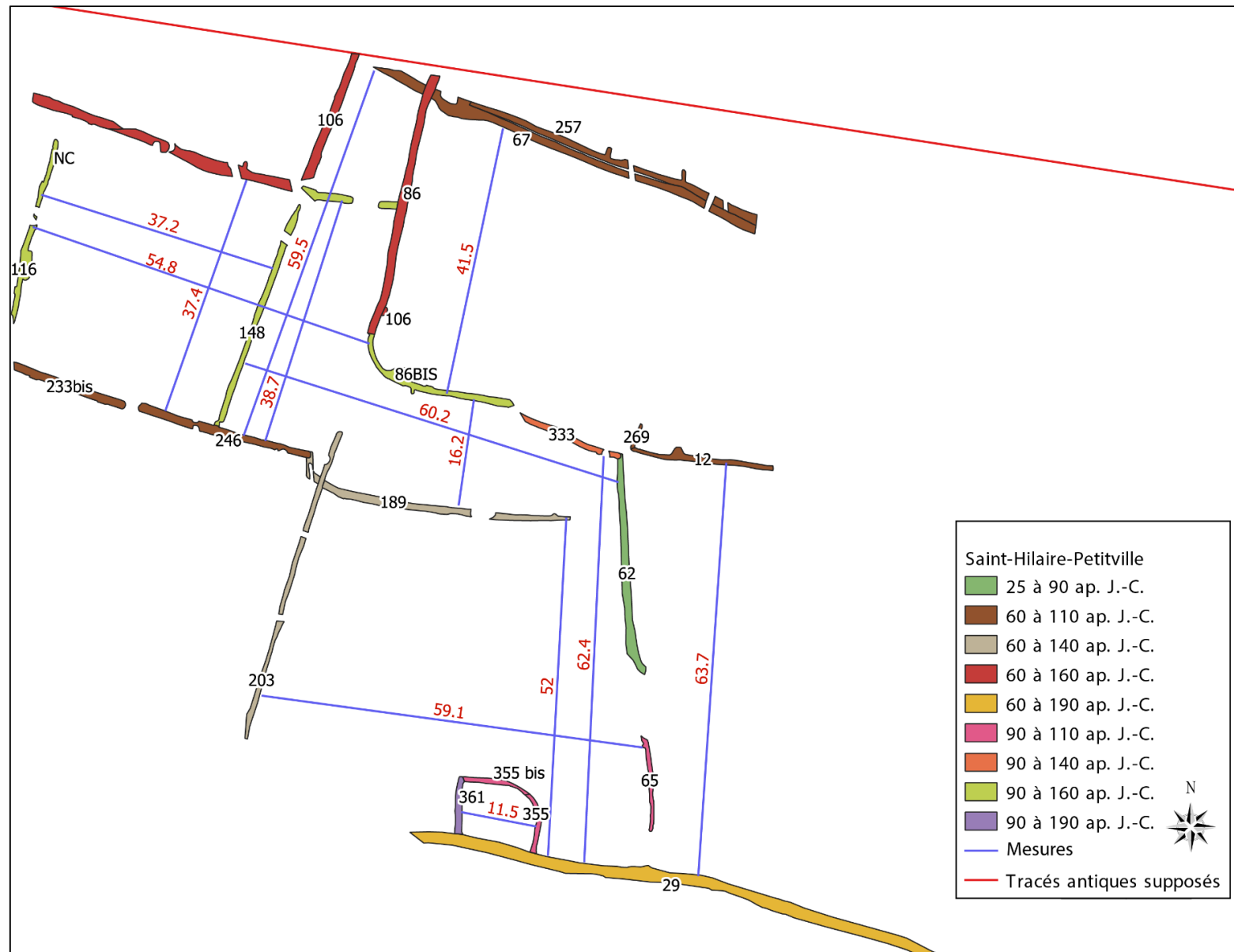


Figure 132. Saint-Hilaire-Petitville - Mesures prises entre les fossés datés de la fin du I^{er} siècle ap. J.-C.

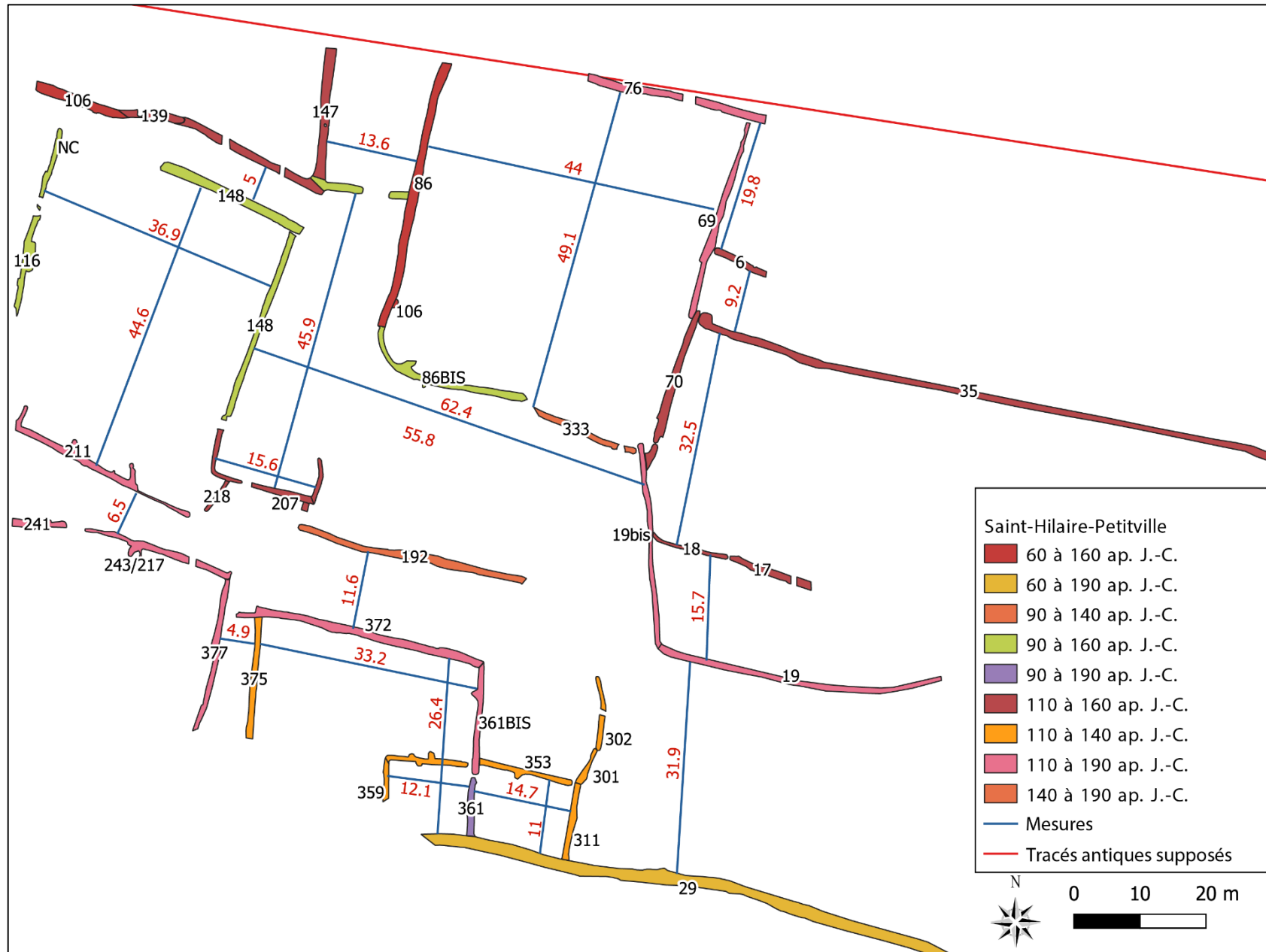
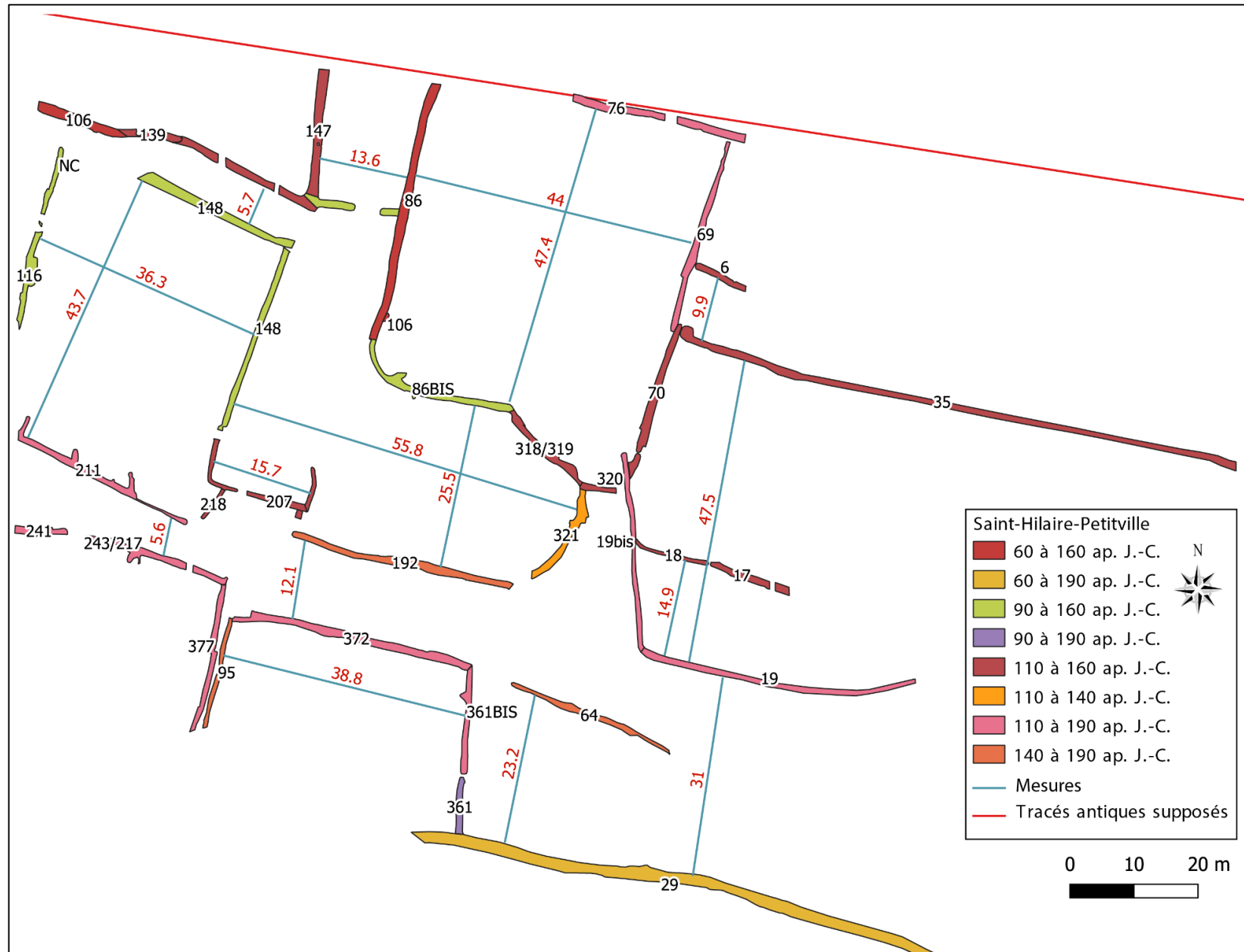


Figure 133. Saint-Hilaire-petitville - Premier tiers du II^e siècle ap. J.-C.



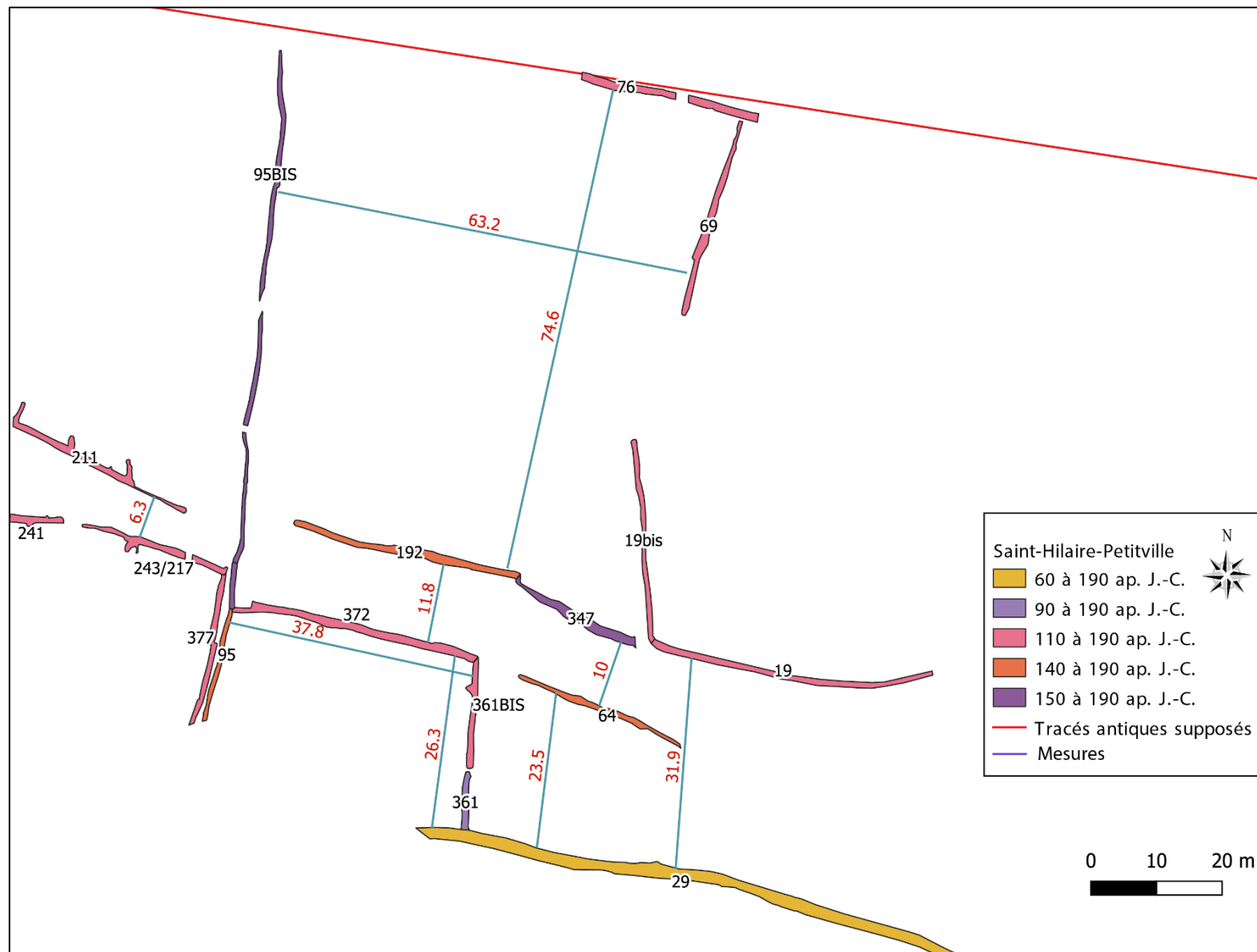


Figure 135. Saint-Hilaire-Petitville - Deuxième moitié du II^e siècle ap. J.-C. Transition entre la phase précédente et la phase suivante.

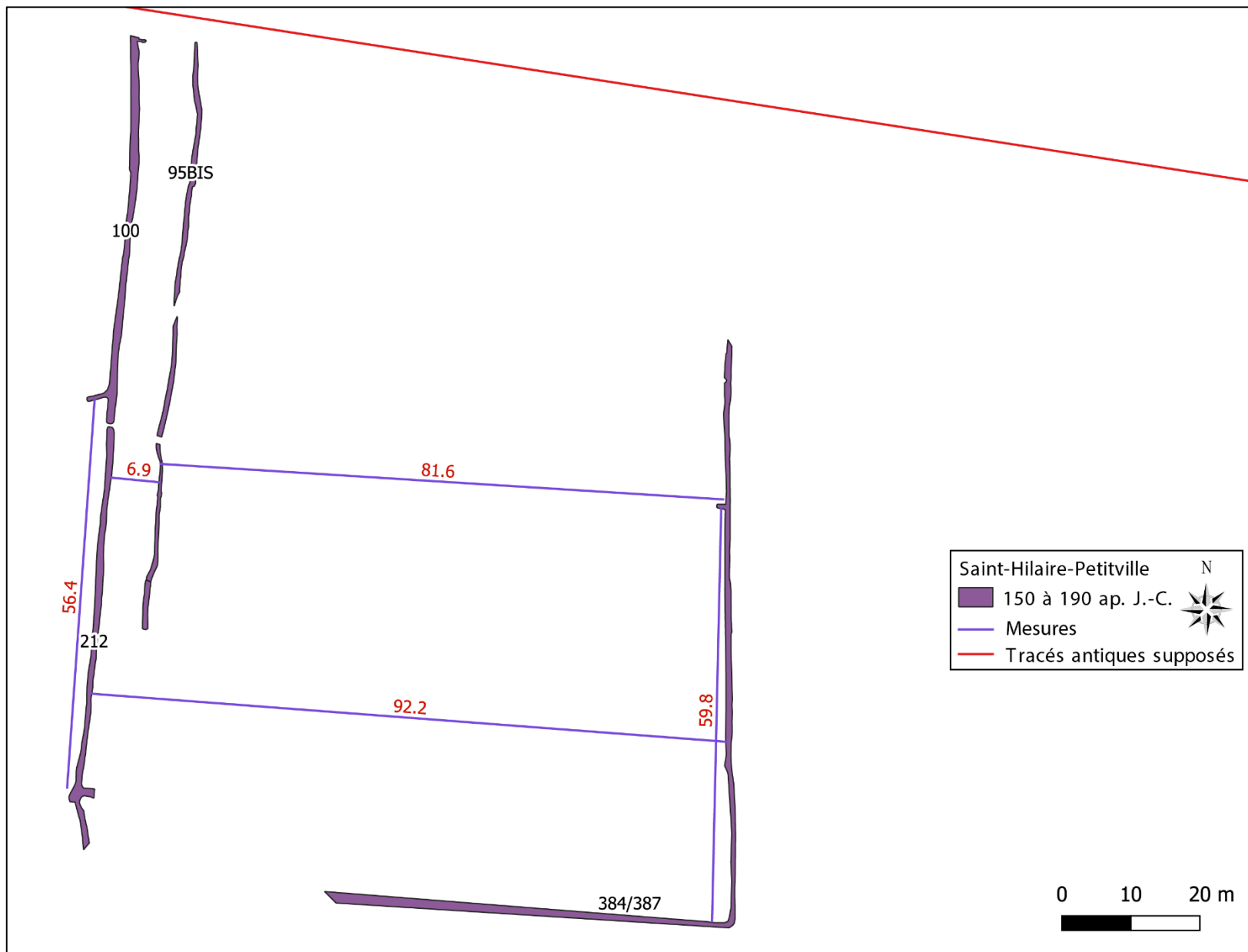


Figure 136. Saint-Hilaire-Petitville - Deuxième moitié du II^e siècle ap. J.-C. « Renouveau parcelaire » (d'après L. Gaillard 2005).

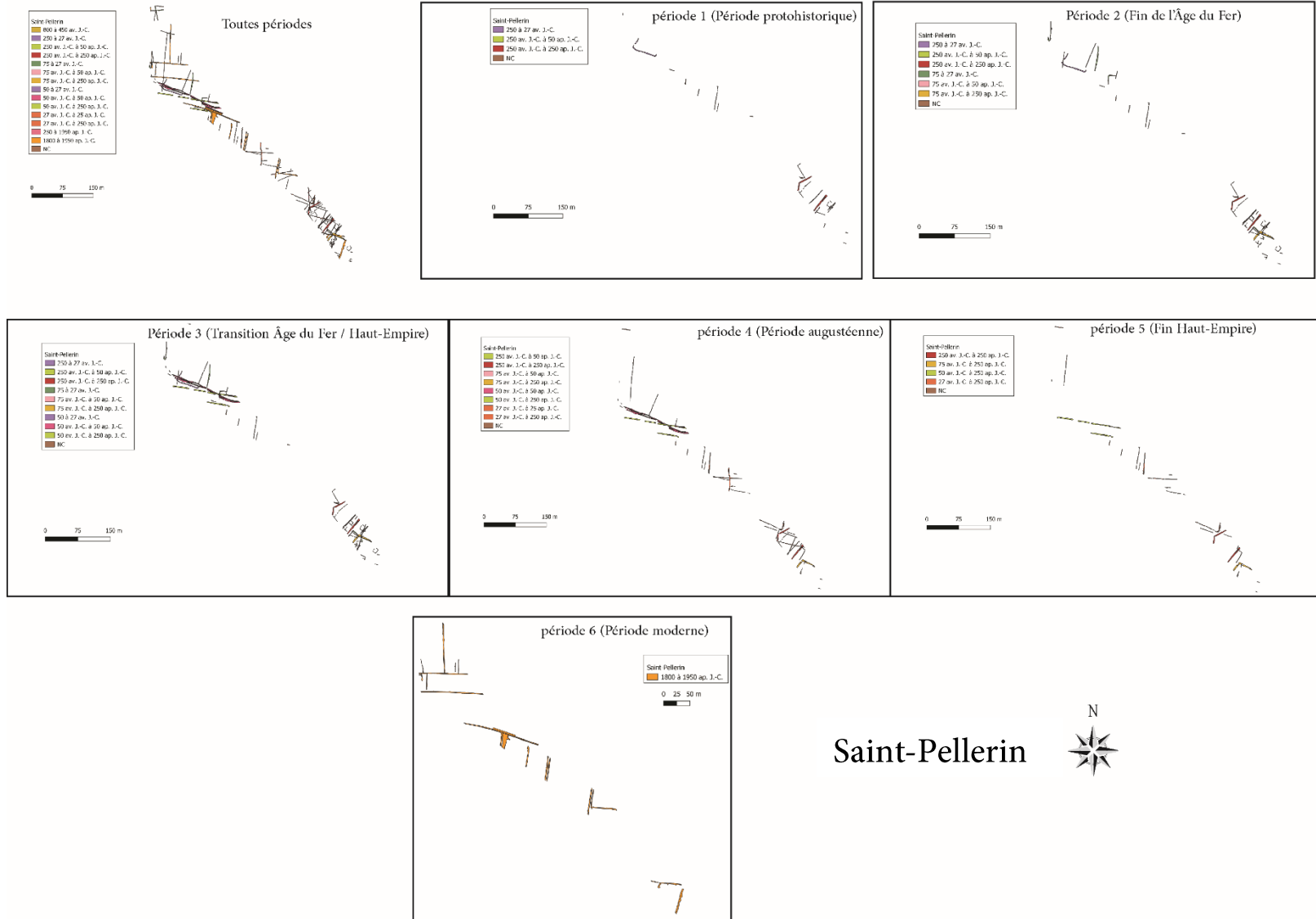


Figure 137. Phasage de Saint-Pellerin.

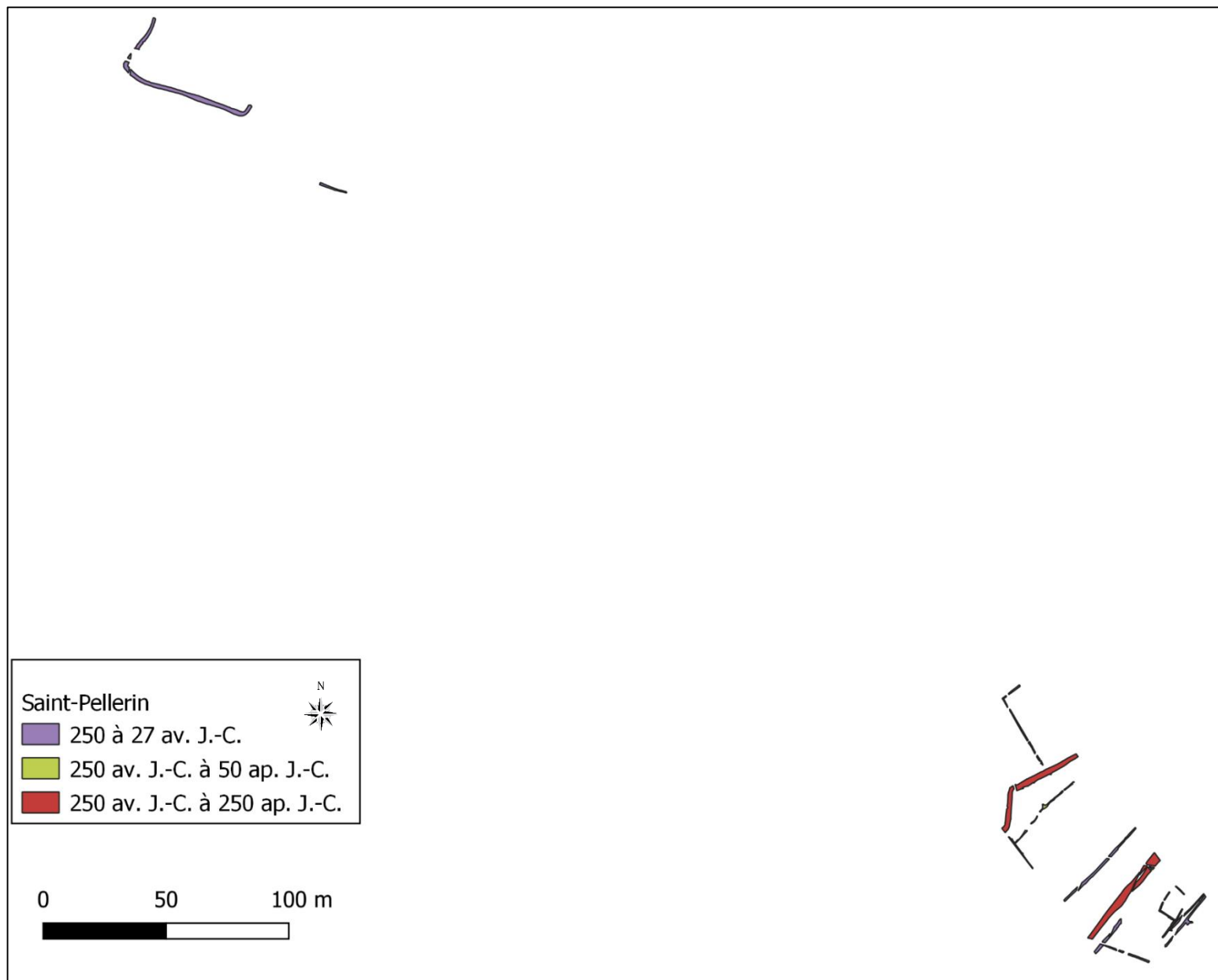


Figure 138. Saint-Pellerin - Période protohistorique.

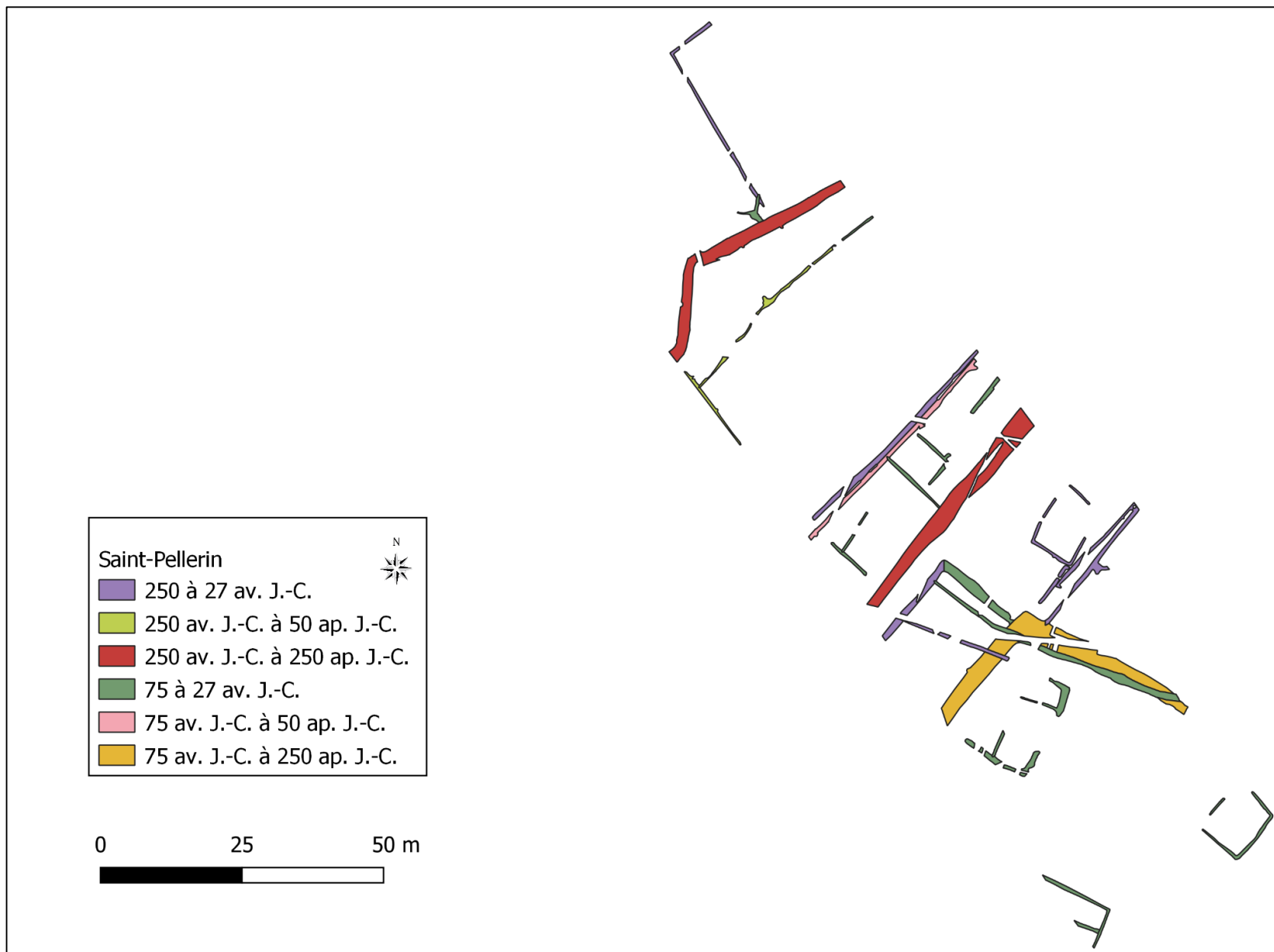


Figure 139. Saint-Pellerin - Période protohistorique de la zone est.

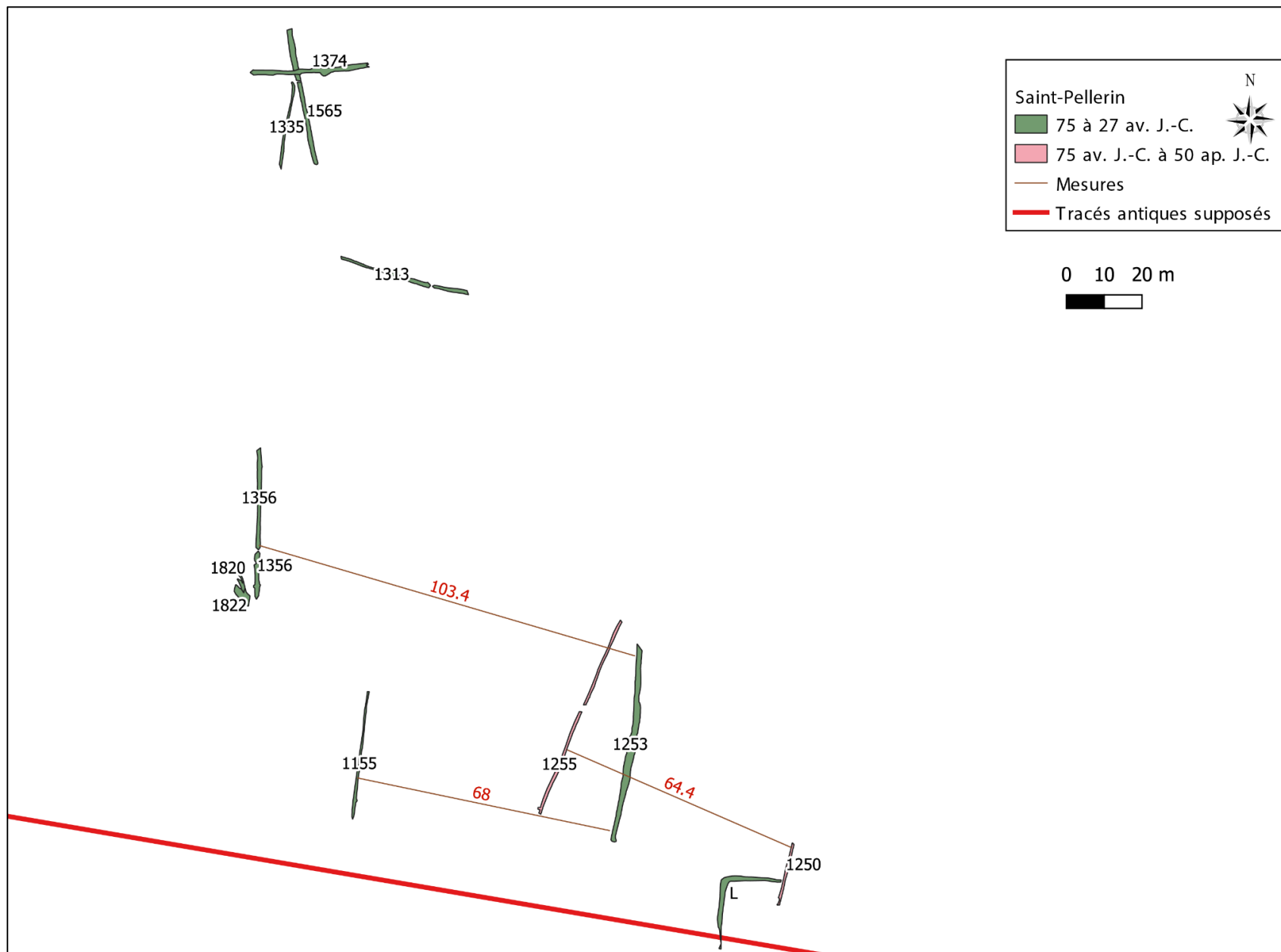


Figure 140. Saint-Pellerin - Période protohistorique de la zone ouest.

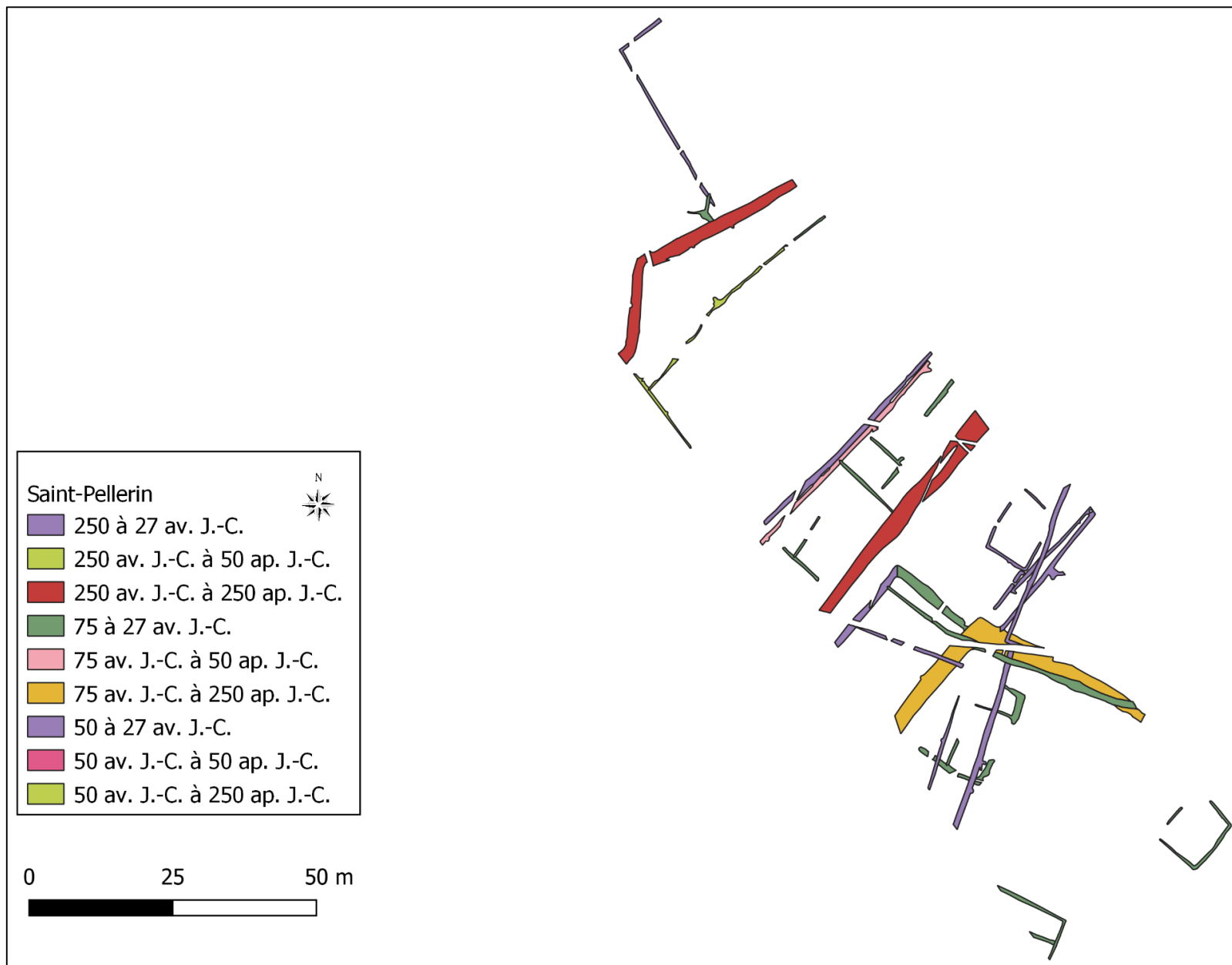
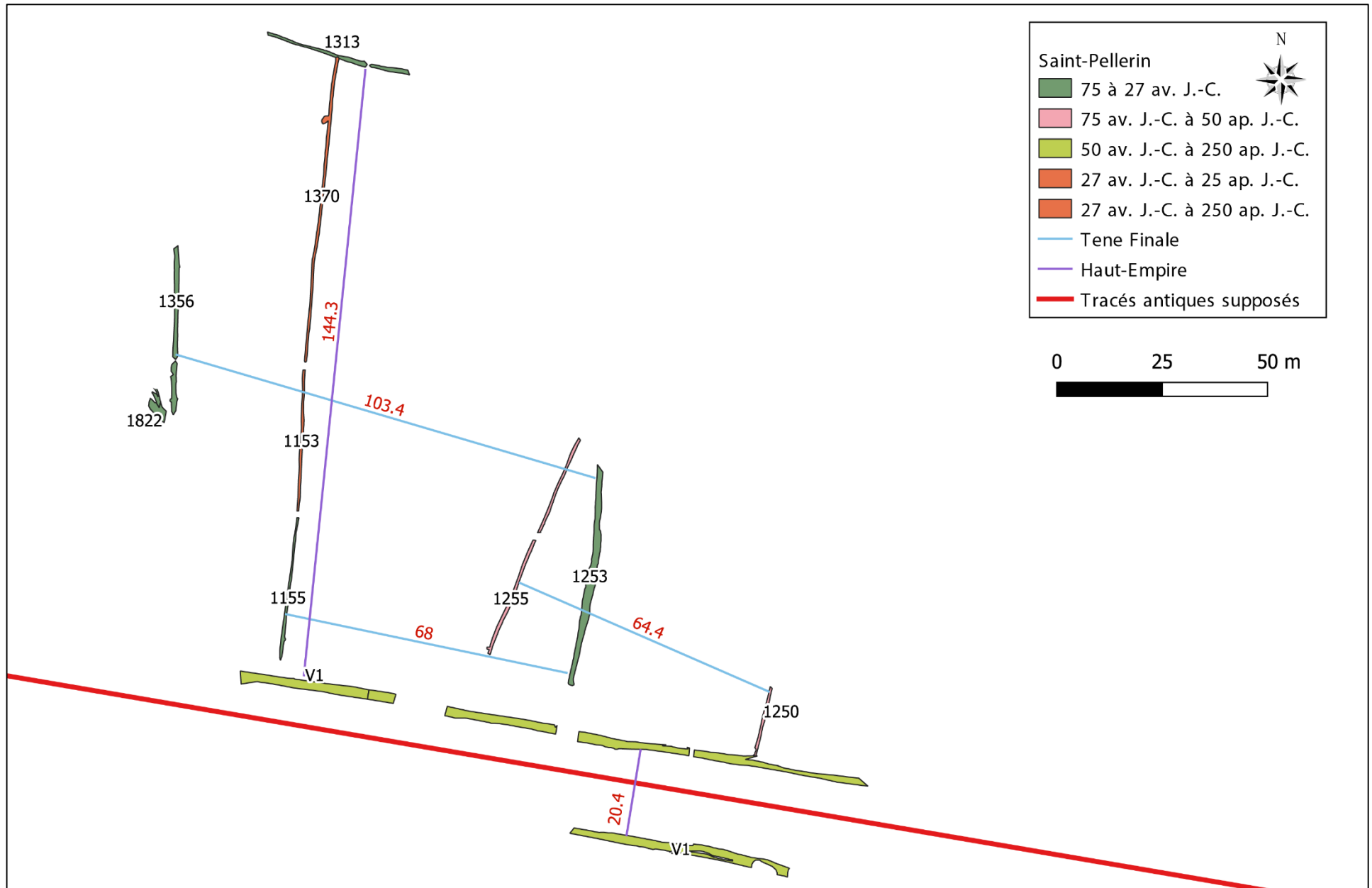


Figure 141. Saint-Pellerin - I^{er} siècle av. J.-C.



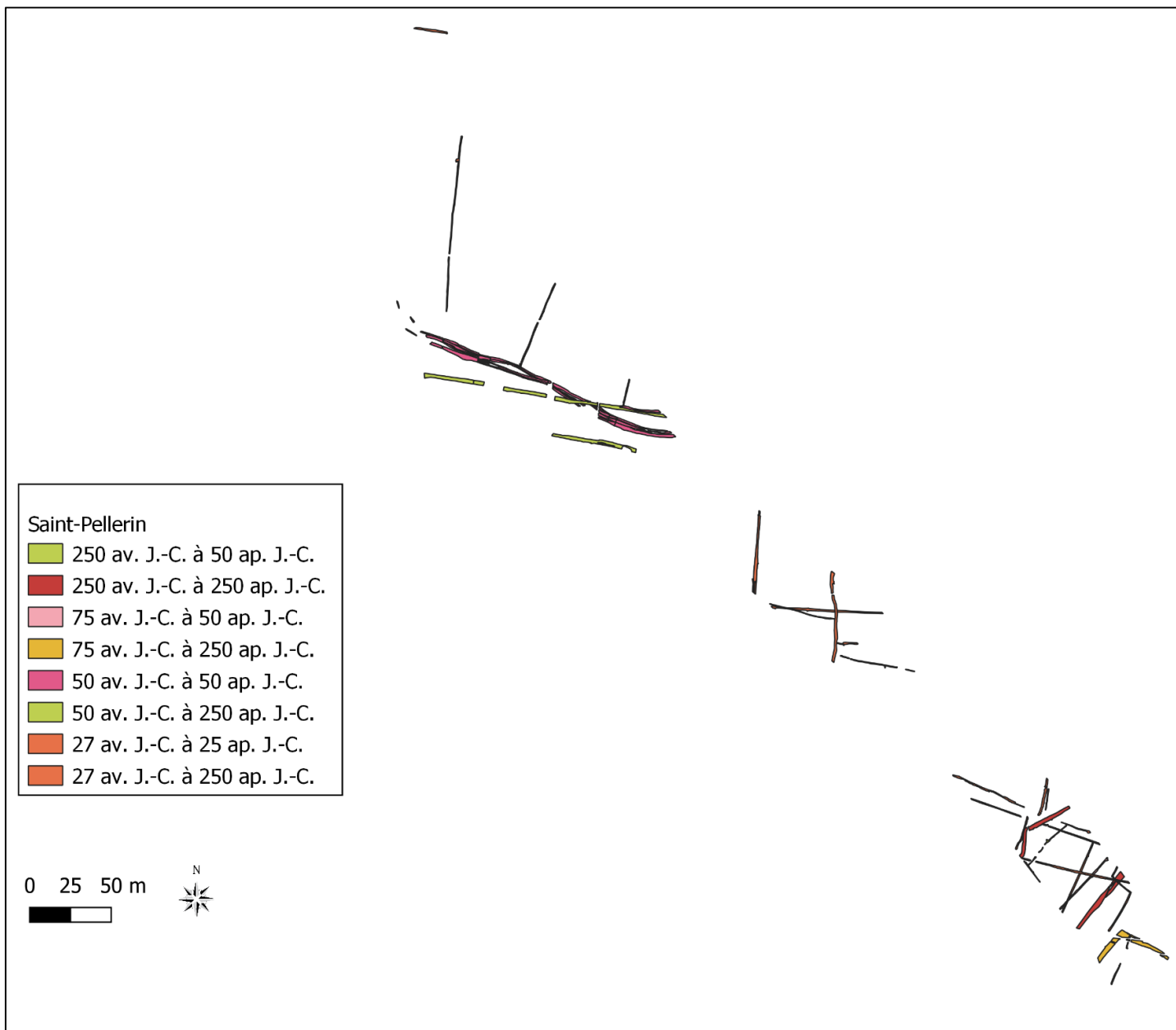


Figure 143. Saint-Pellerin - Période augustéenne.

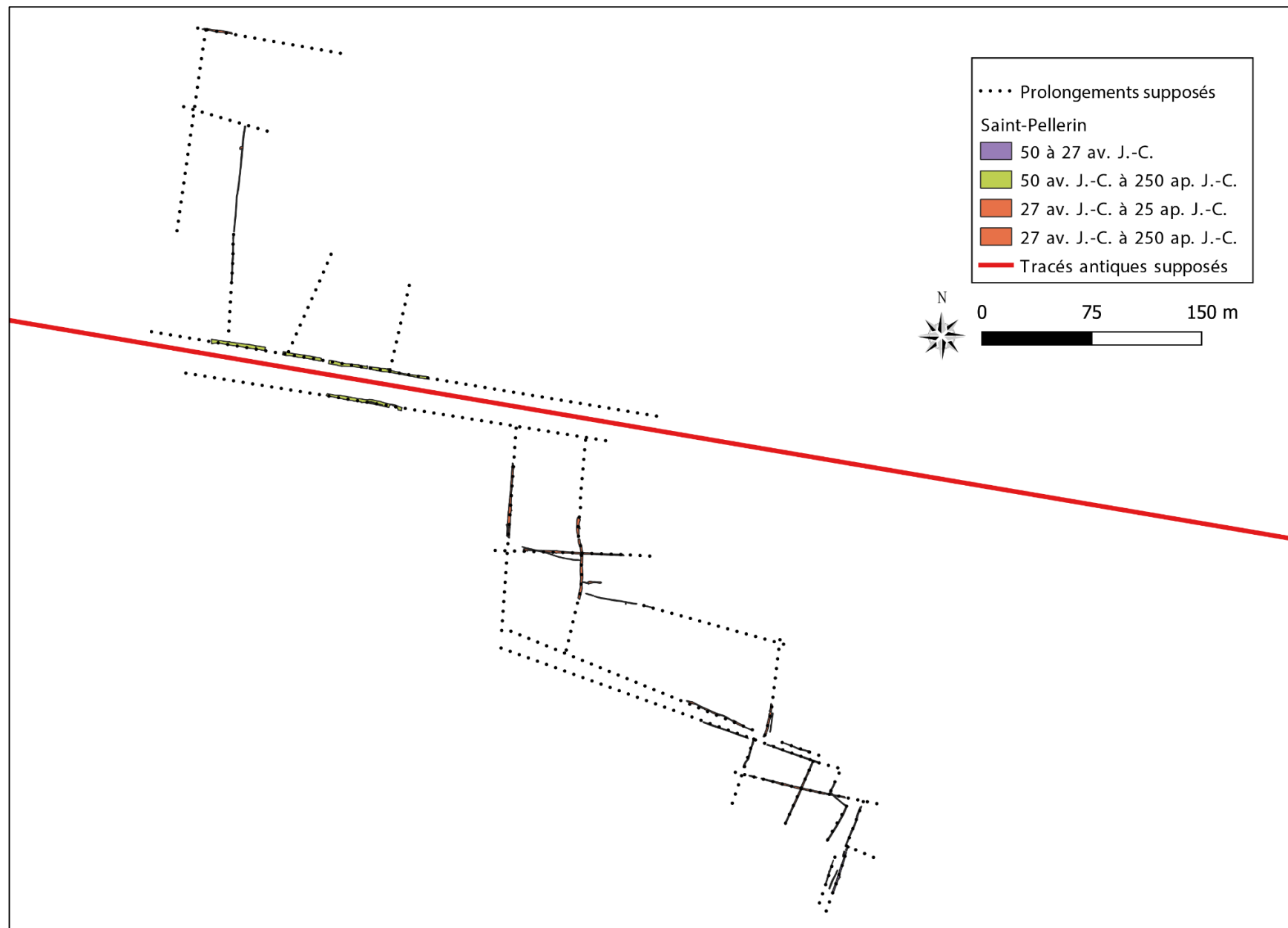


Figure 144. Saint-Pellerin - Proposition de connexions entre les parcelles des trois Zones.

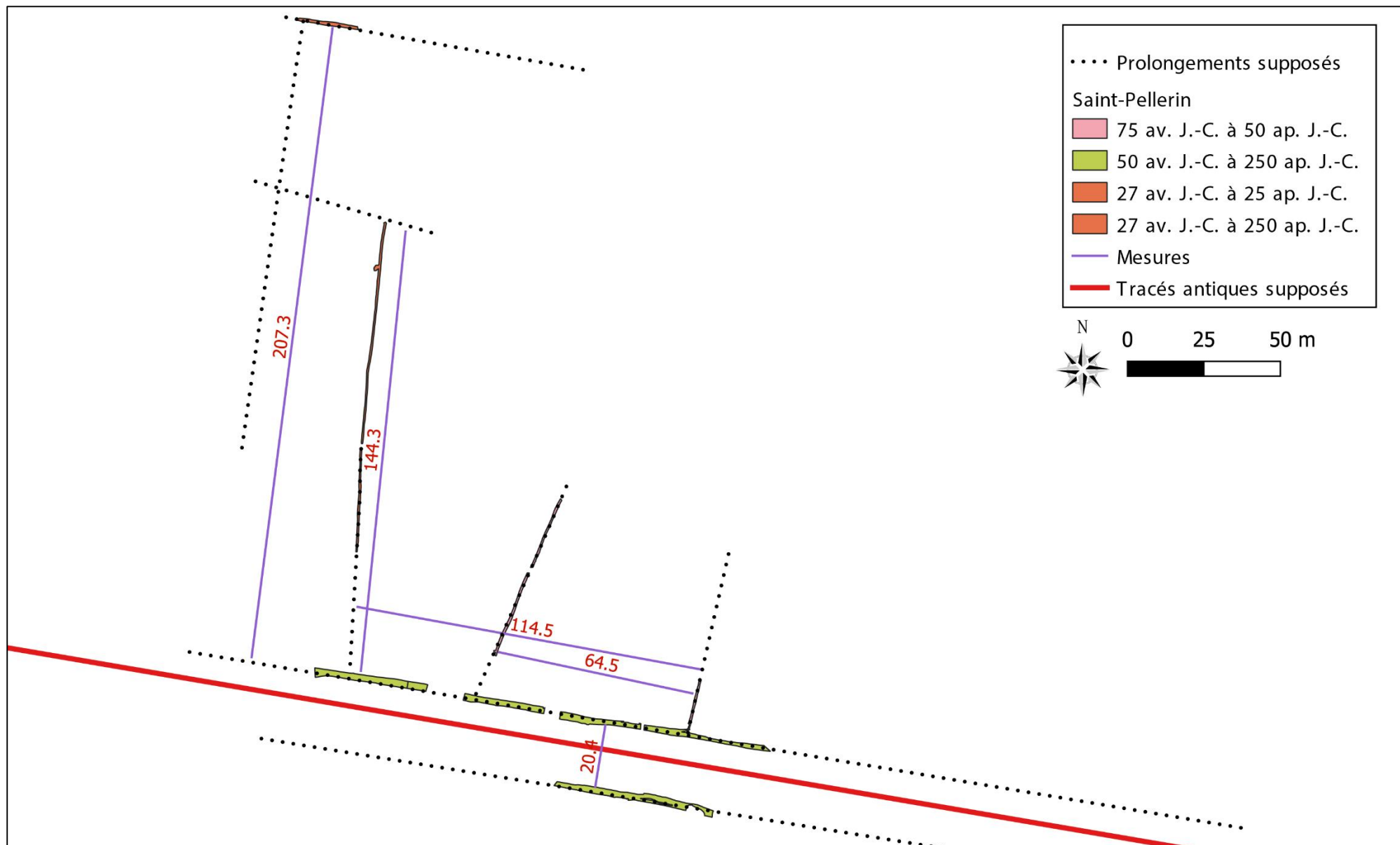


Figure 145. Saint-Pellerin - Mesures prises entre les fossés datés du Haut-Empire dans la zone ouest.

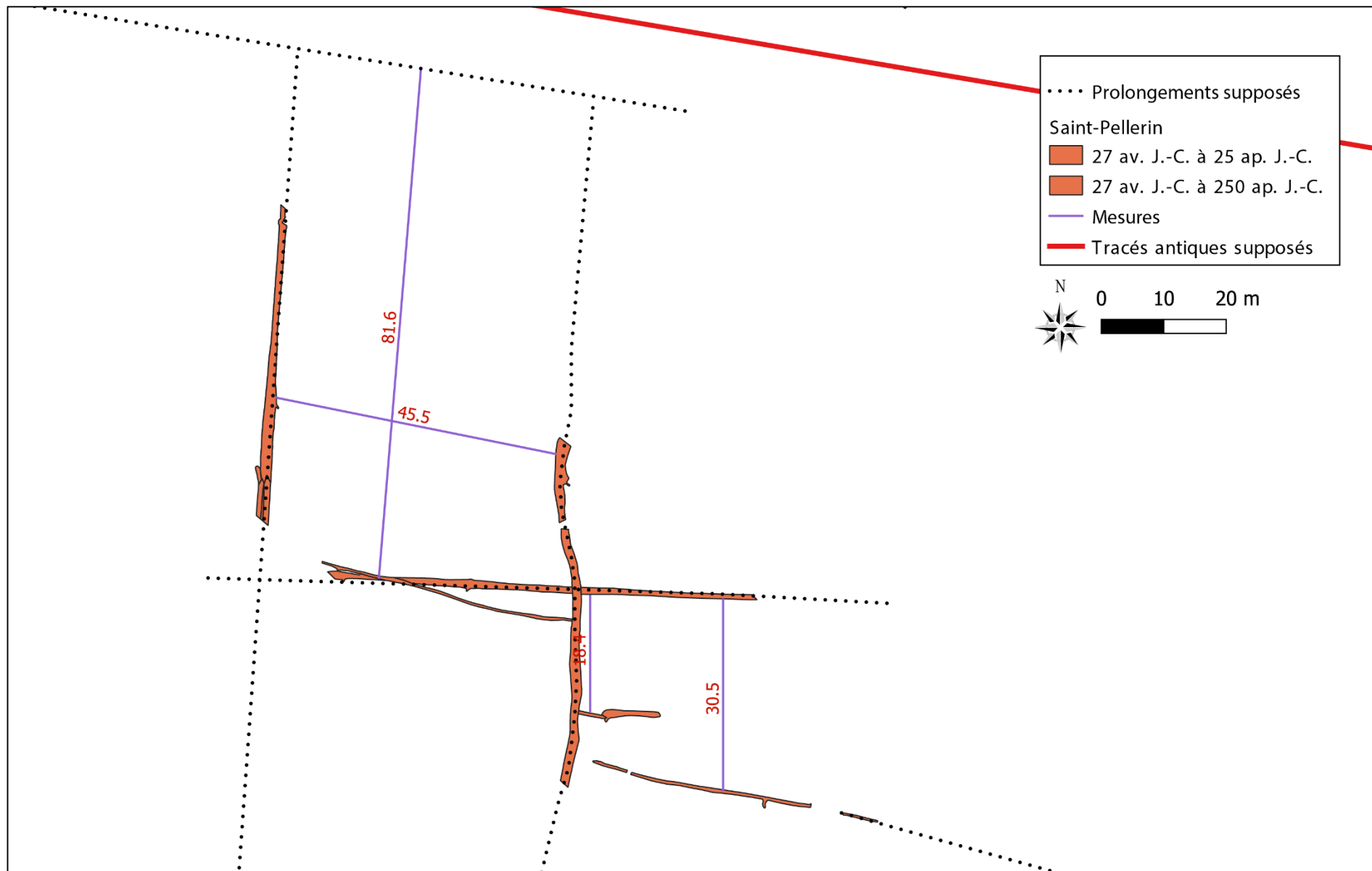


Figure 146. Mesures prises entre les fossés datés du Haut-Empire dans la zone centrale.



Figure 147. Saint-Pellerin - Mesures prises entre les fossés datés du Haut-Empire dans la zone ouest.

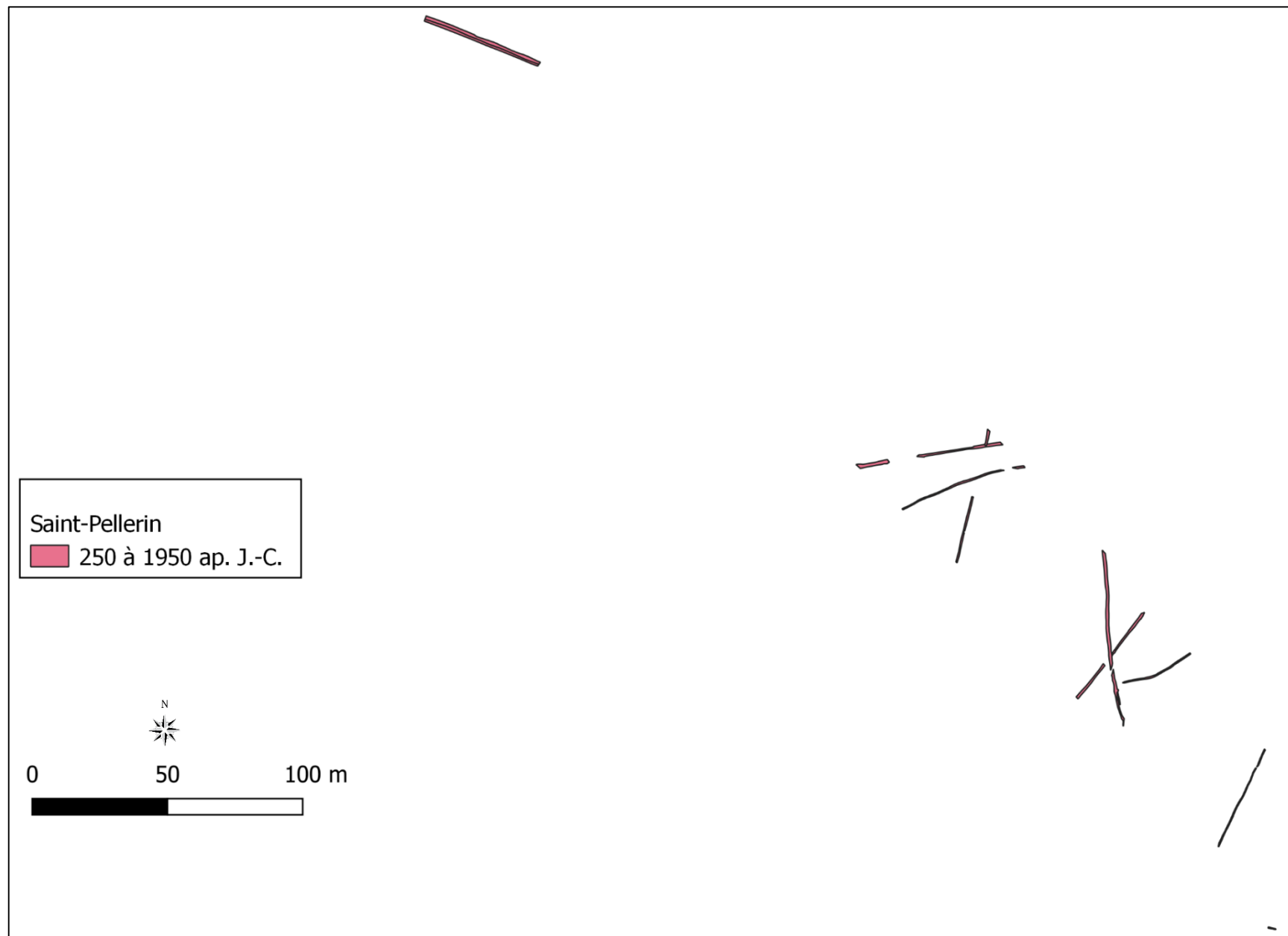


Figure 148. Saint-Pellerin - fossés datés d'après la fin du Haut-Empire.

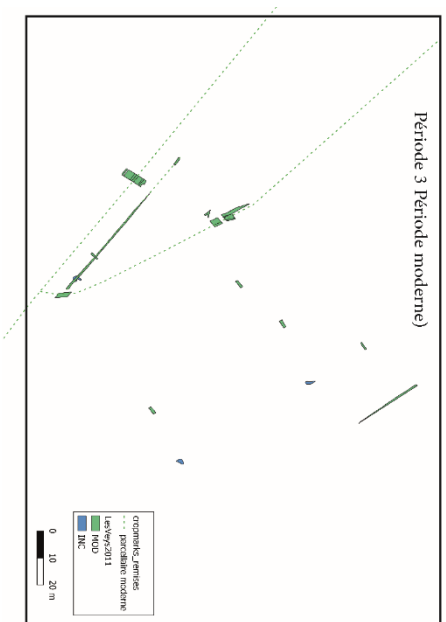
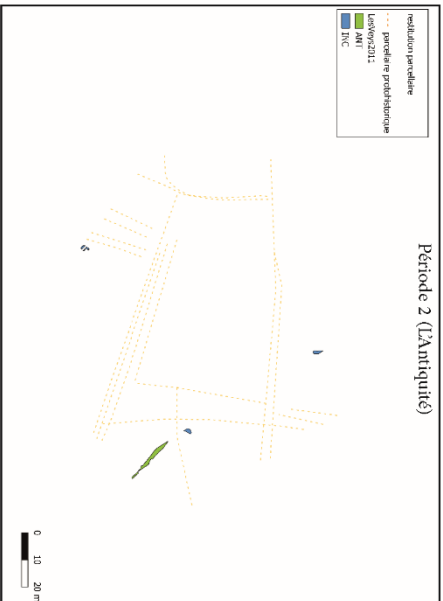
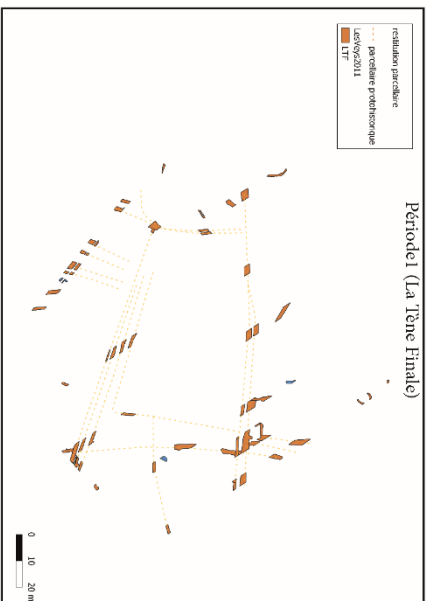
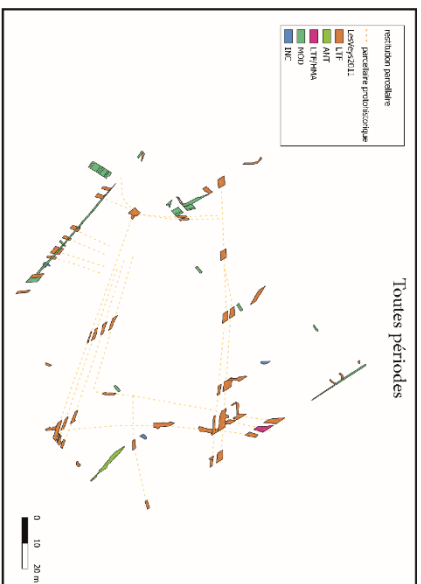
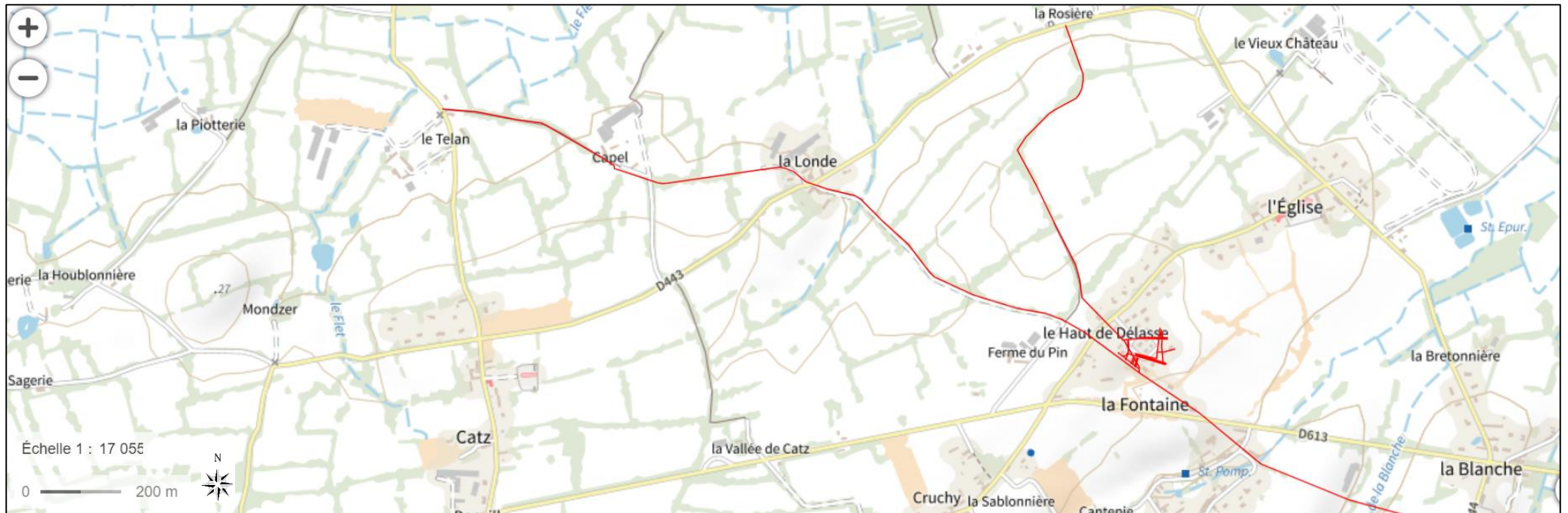
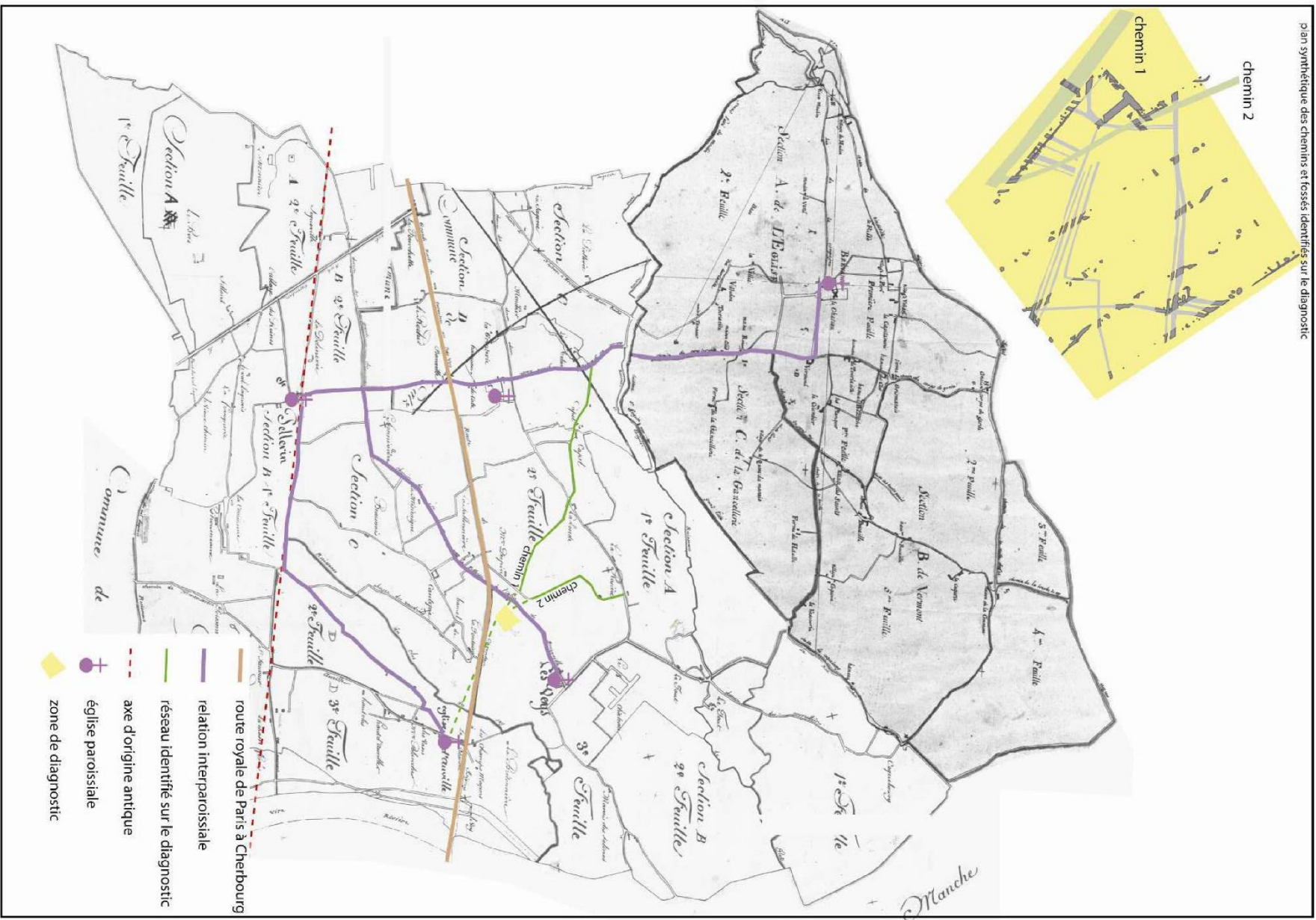


Figure 149. Phasage du site des Vey.



Carte 42. La voie romaine supposée du site des Veys mentionnée dans le texte (Géoportail).

Carte 43. Les chemins supposés sur fond de carte napoléonien (G. Léon 2011, p. 59, fig. 18).



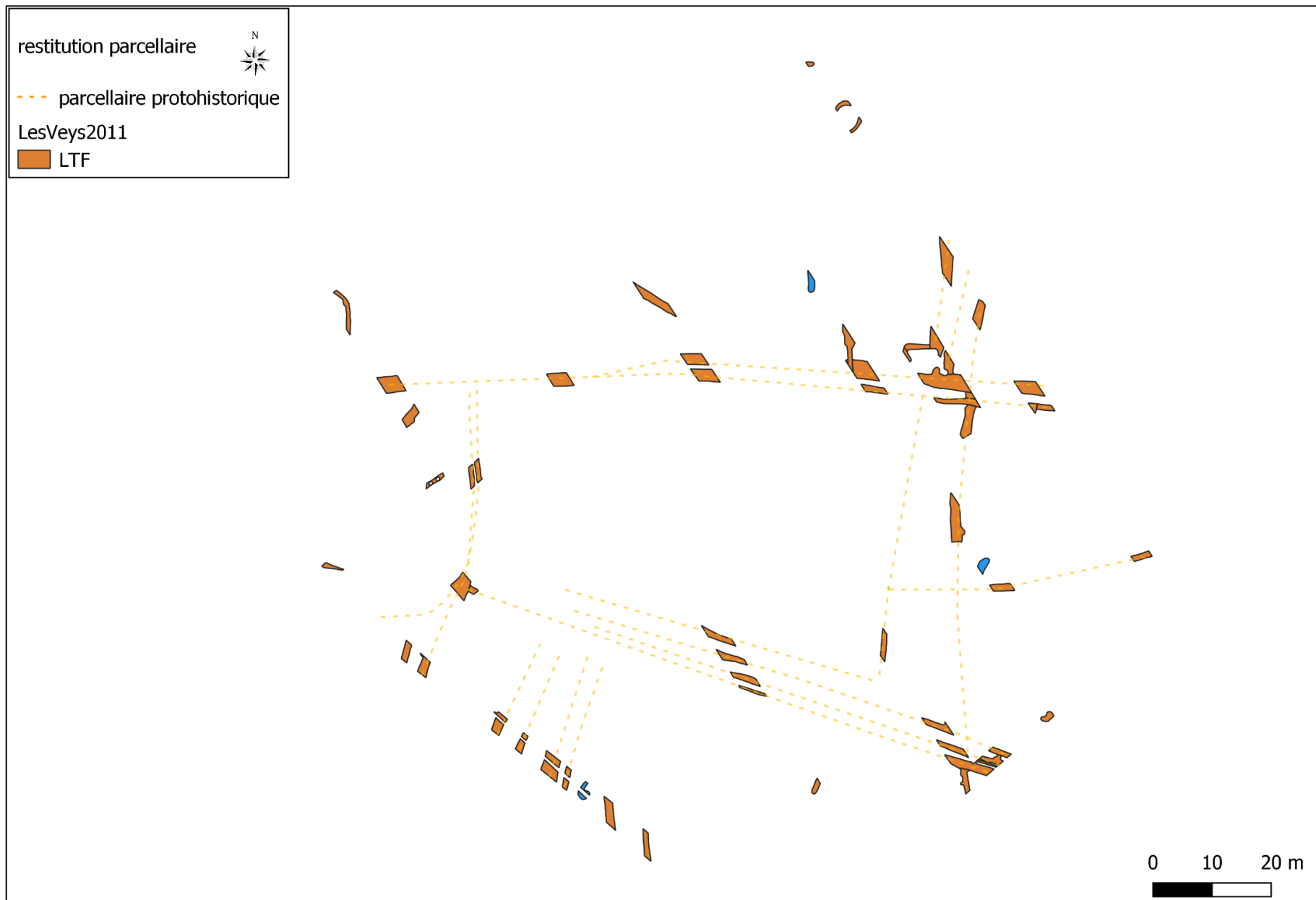


Figure 150. Les Veys - La Tène Finale.

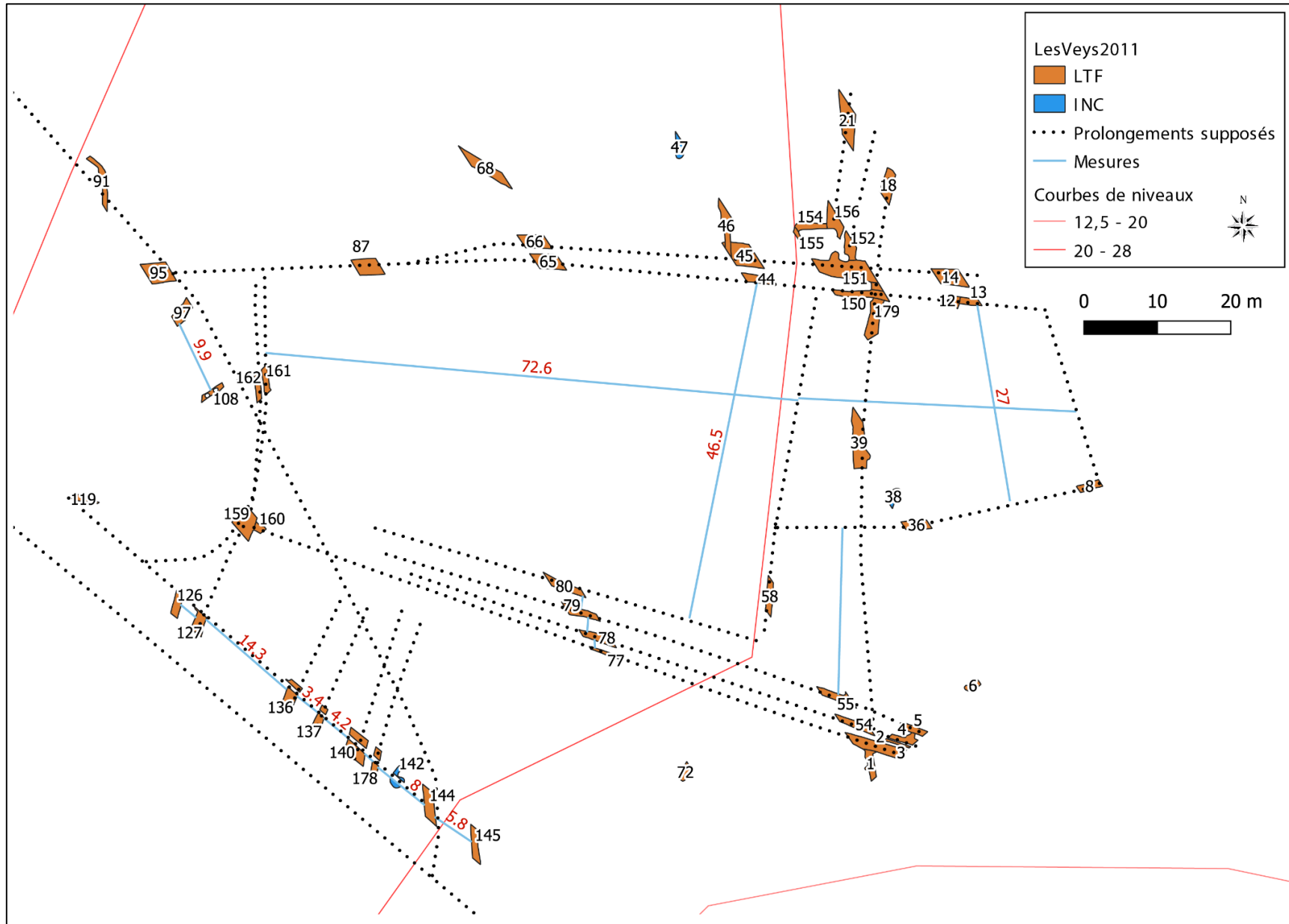


Figure 151. Les Veys - Numéros de structures et mesures prises entre les portions de fossés.

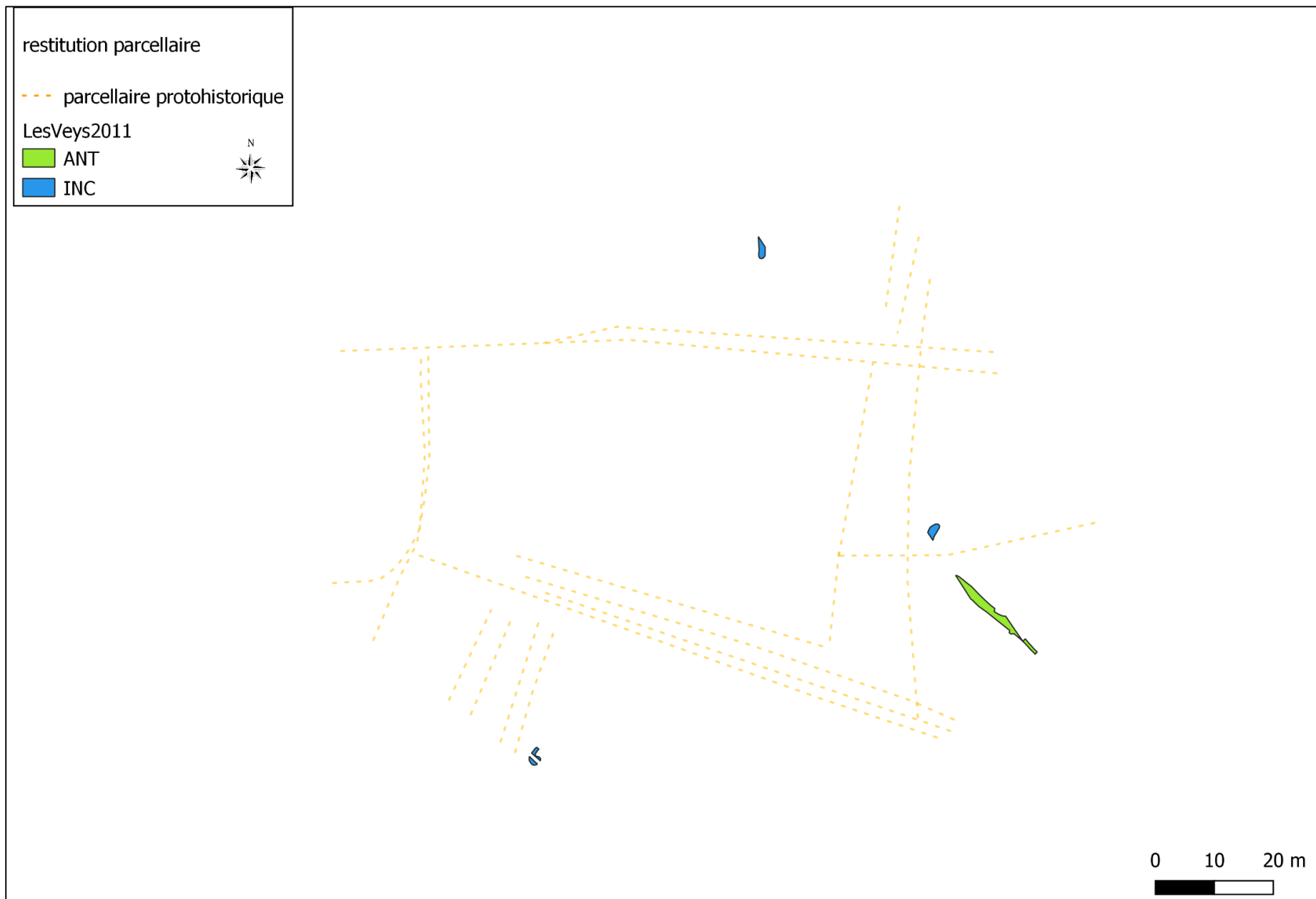


Figure 152. Les Veys - Période antique.

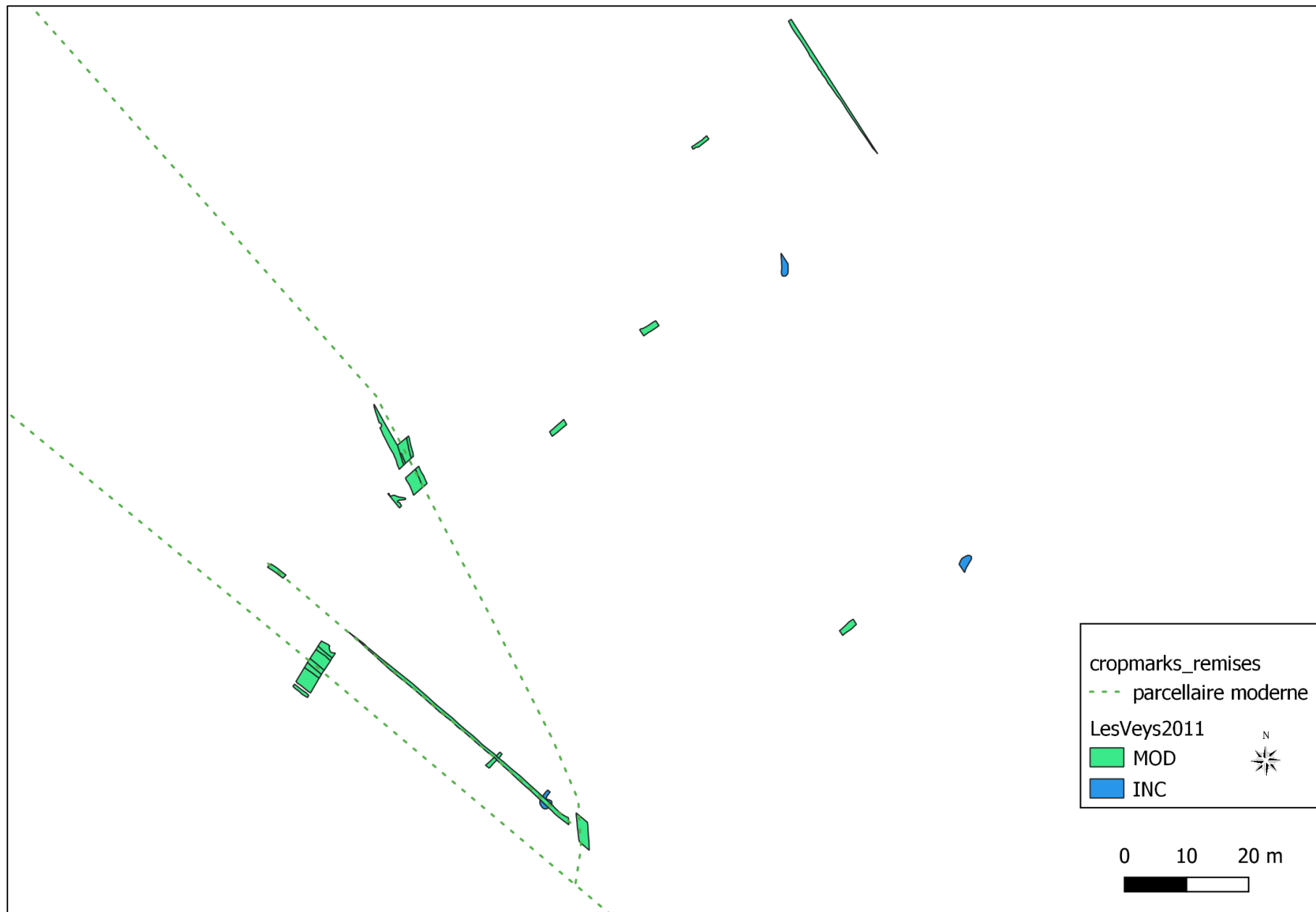
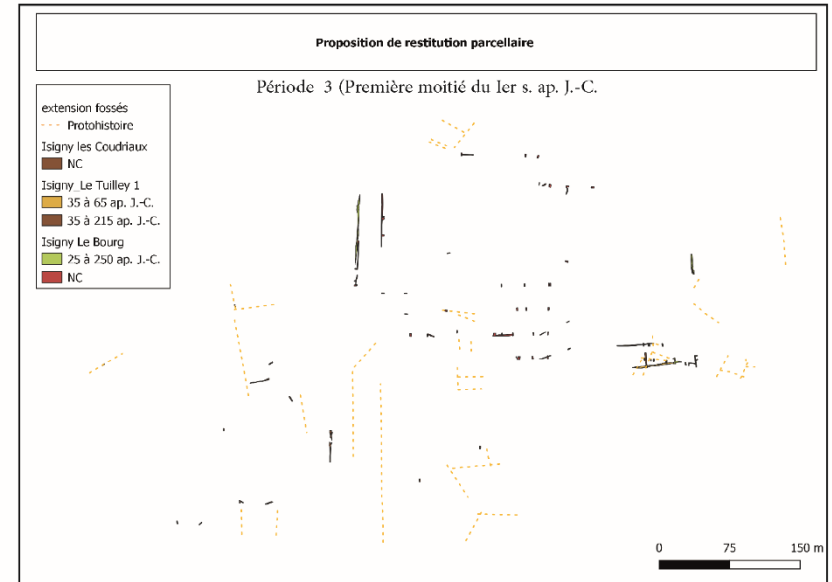
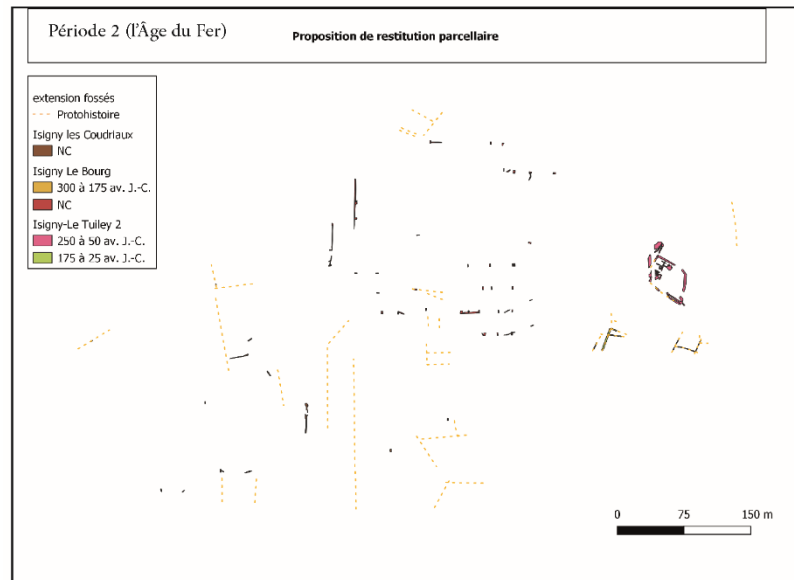
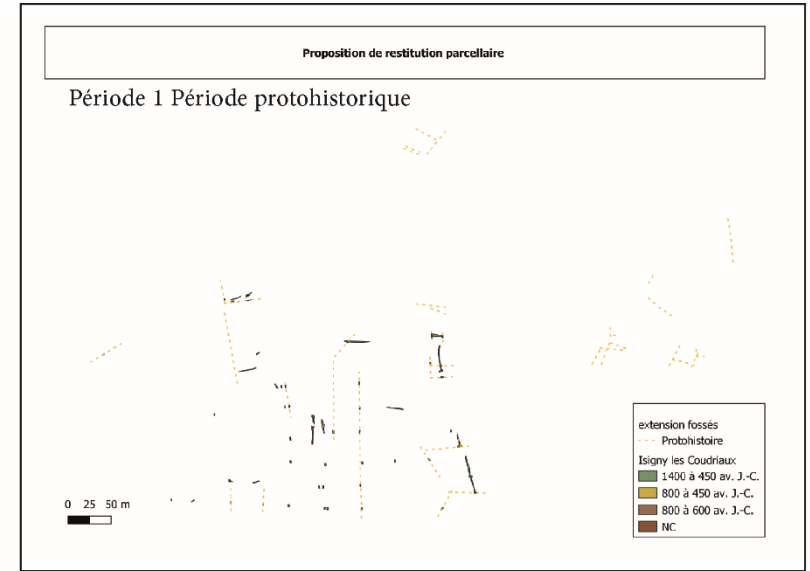
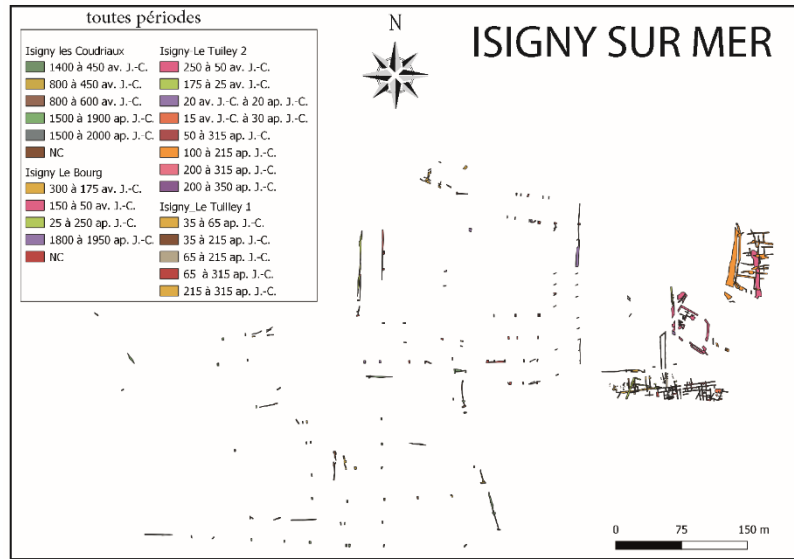


Figure 153. Les Veys - Période moderne.

Figure 154. Phasage du site d'Isigny-sur-Mer.



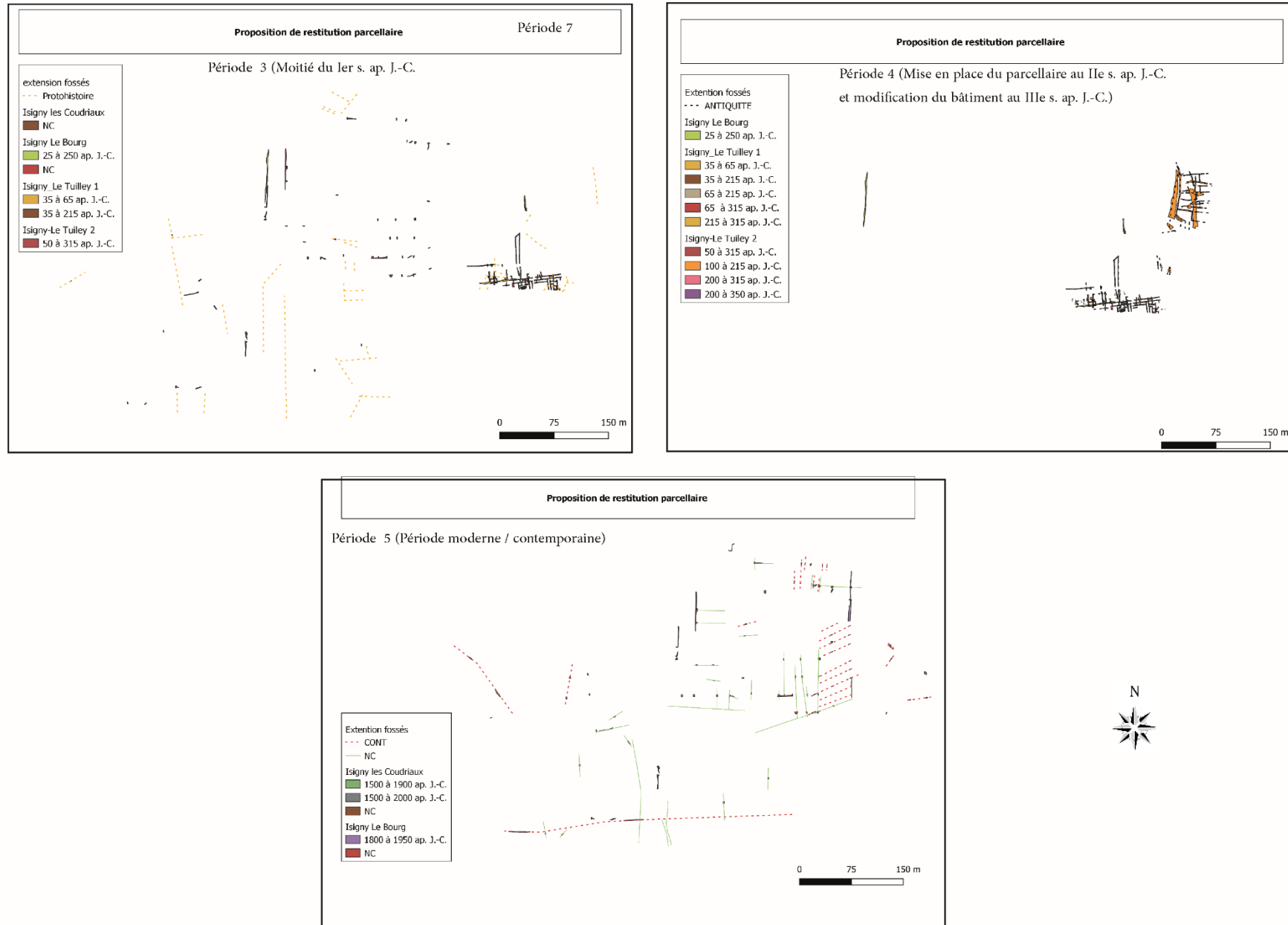


Figure 155. Phasage du site d'Isigny-sur-Mer (suite).

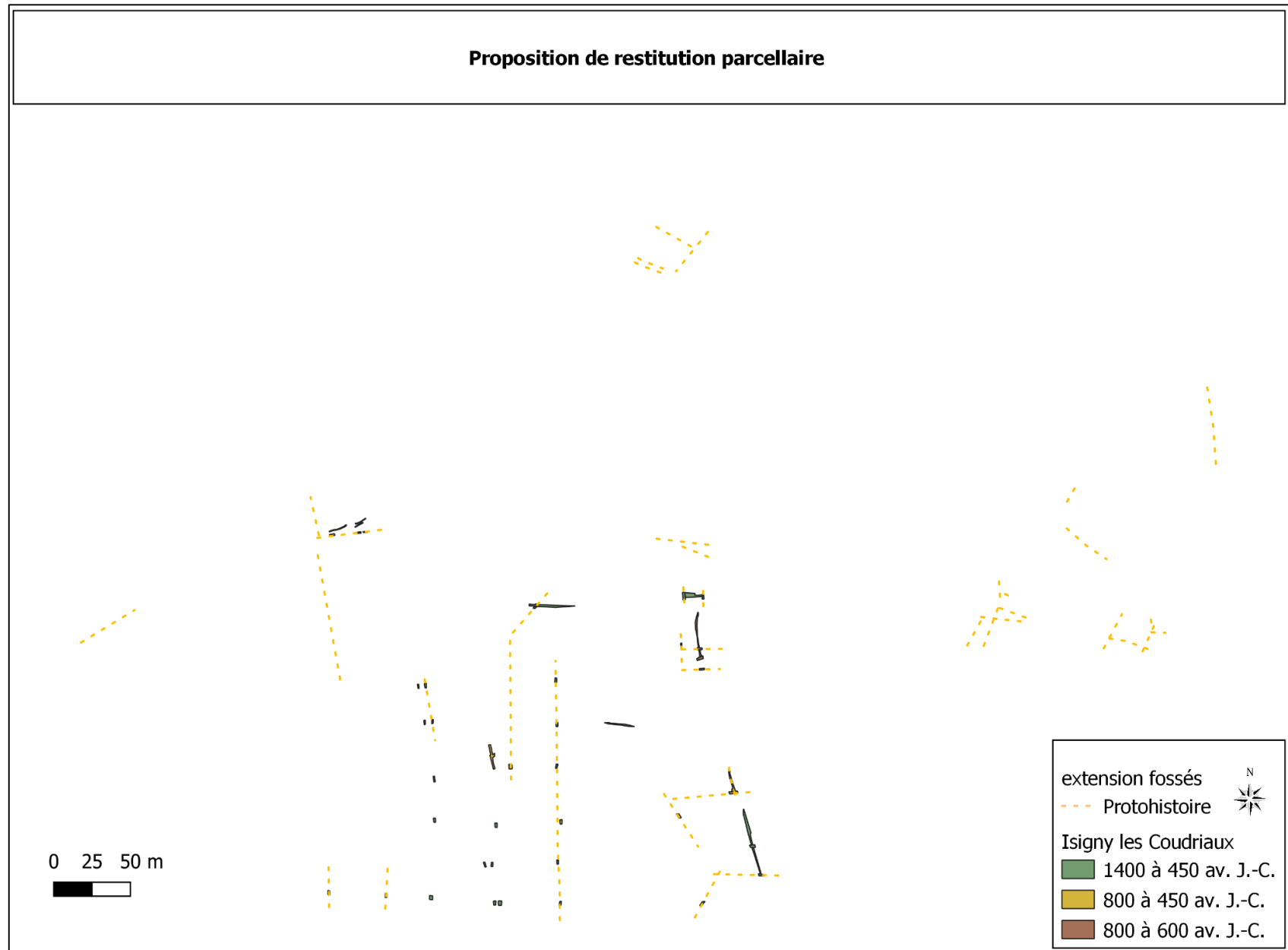


Figure 156. Isigny-sur-Mer - Âge du Bronze.

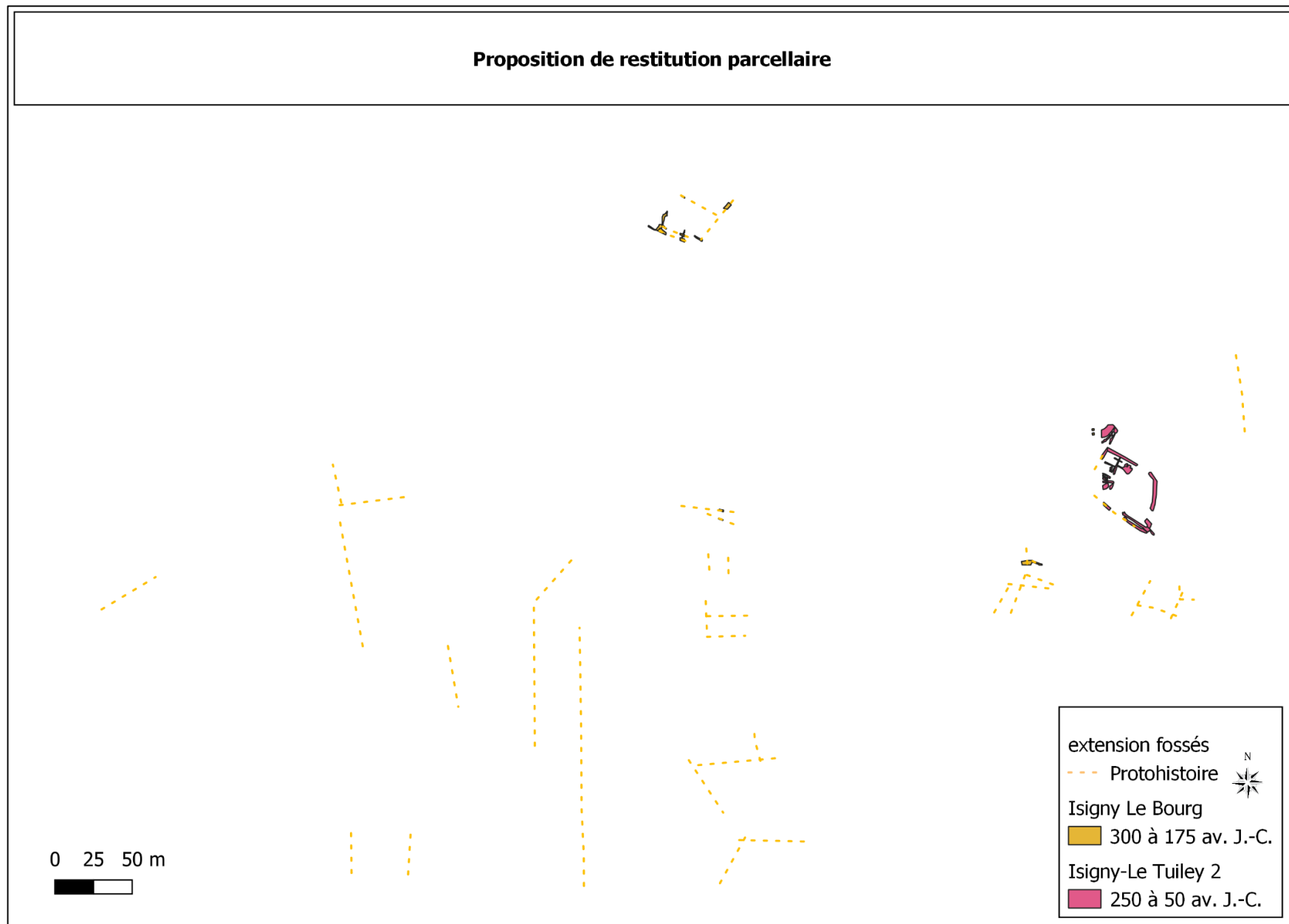


Figure 157. Isigny-sur-Mer - 300 à 50 av. J.-C.

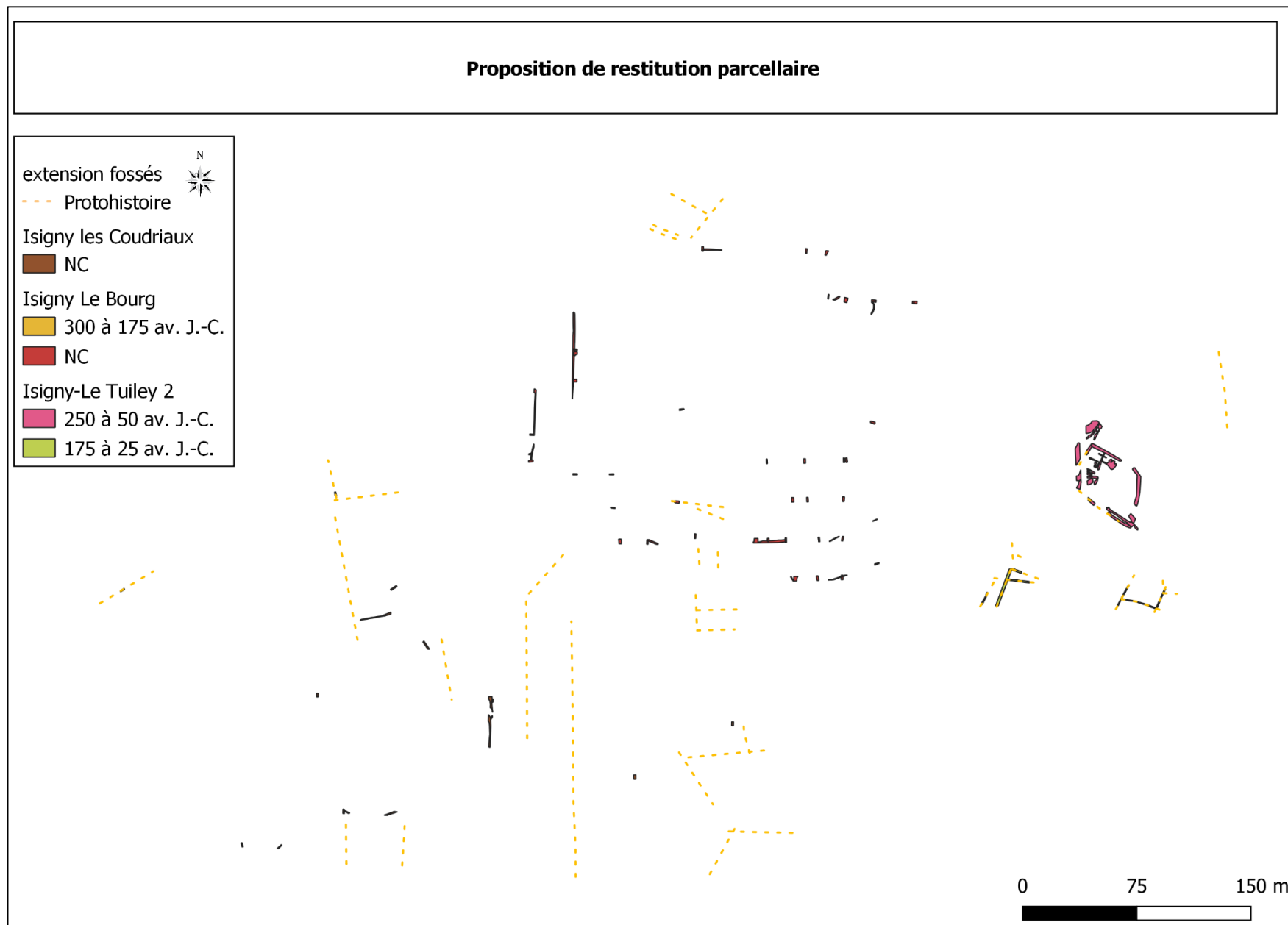


Figure 158. Isigny-sur-Mer - Fin de l'Âge du Fer.

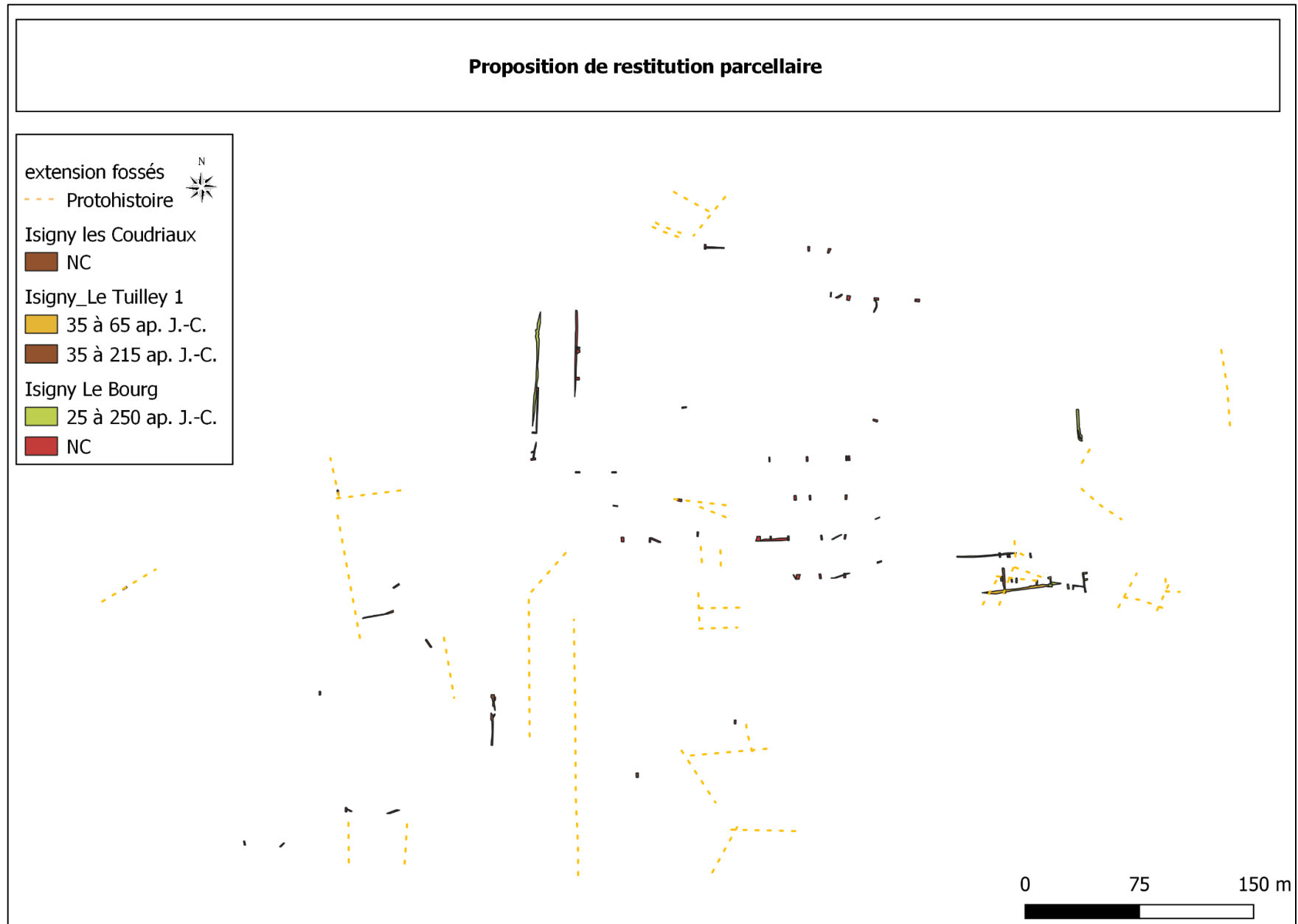


Figure 159. Isigny-sur-Mer - Première moitié du I^{er} siècle ap. J.-C.

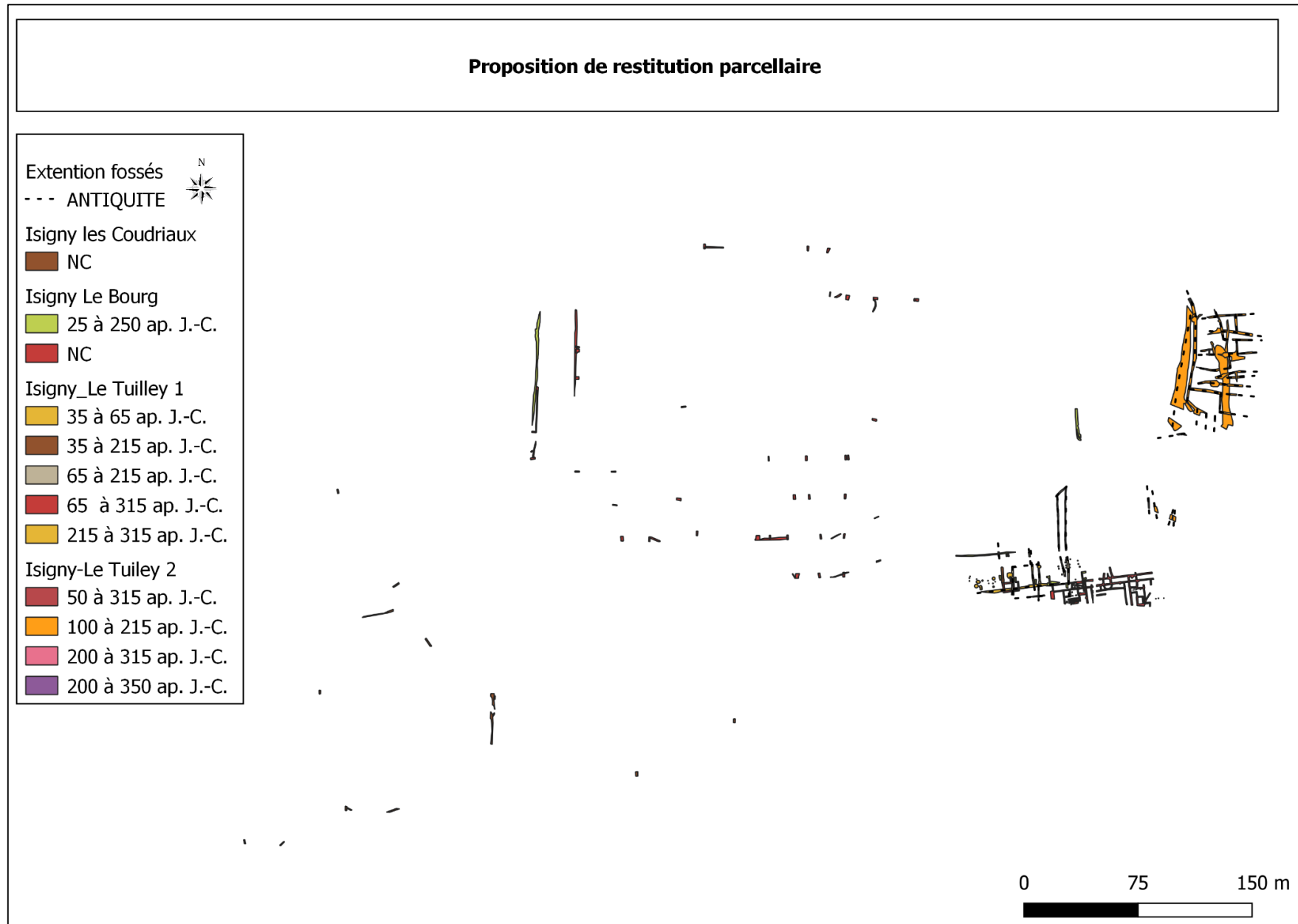


Figure 160. Isigny-sur-Mer - 25 à 350 ap. J.-C.

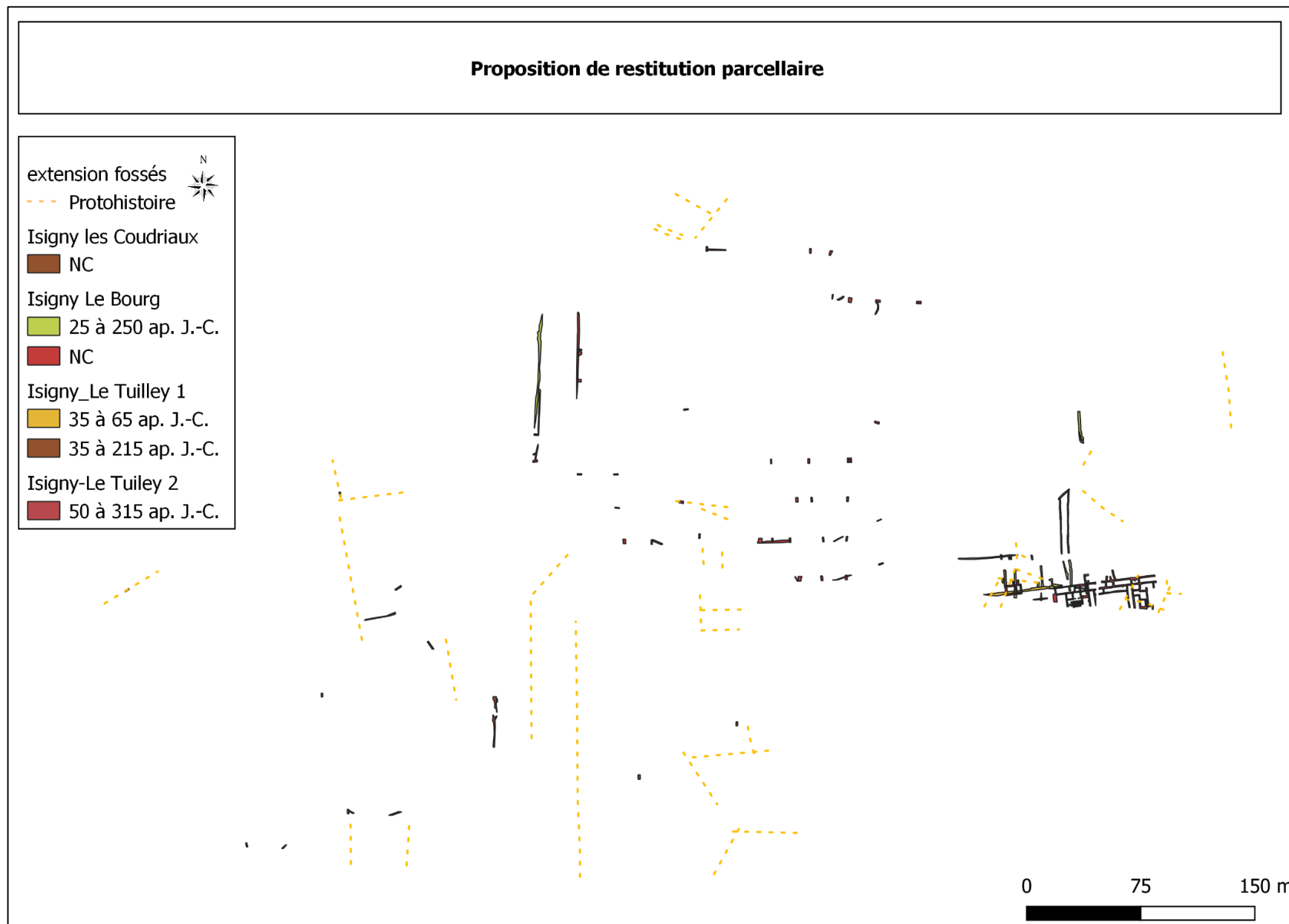


Figure 161. Isigny-sur-Mer - La villa et les structures fossoyées non datées.

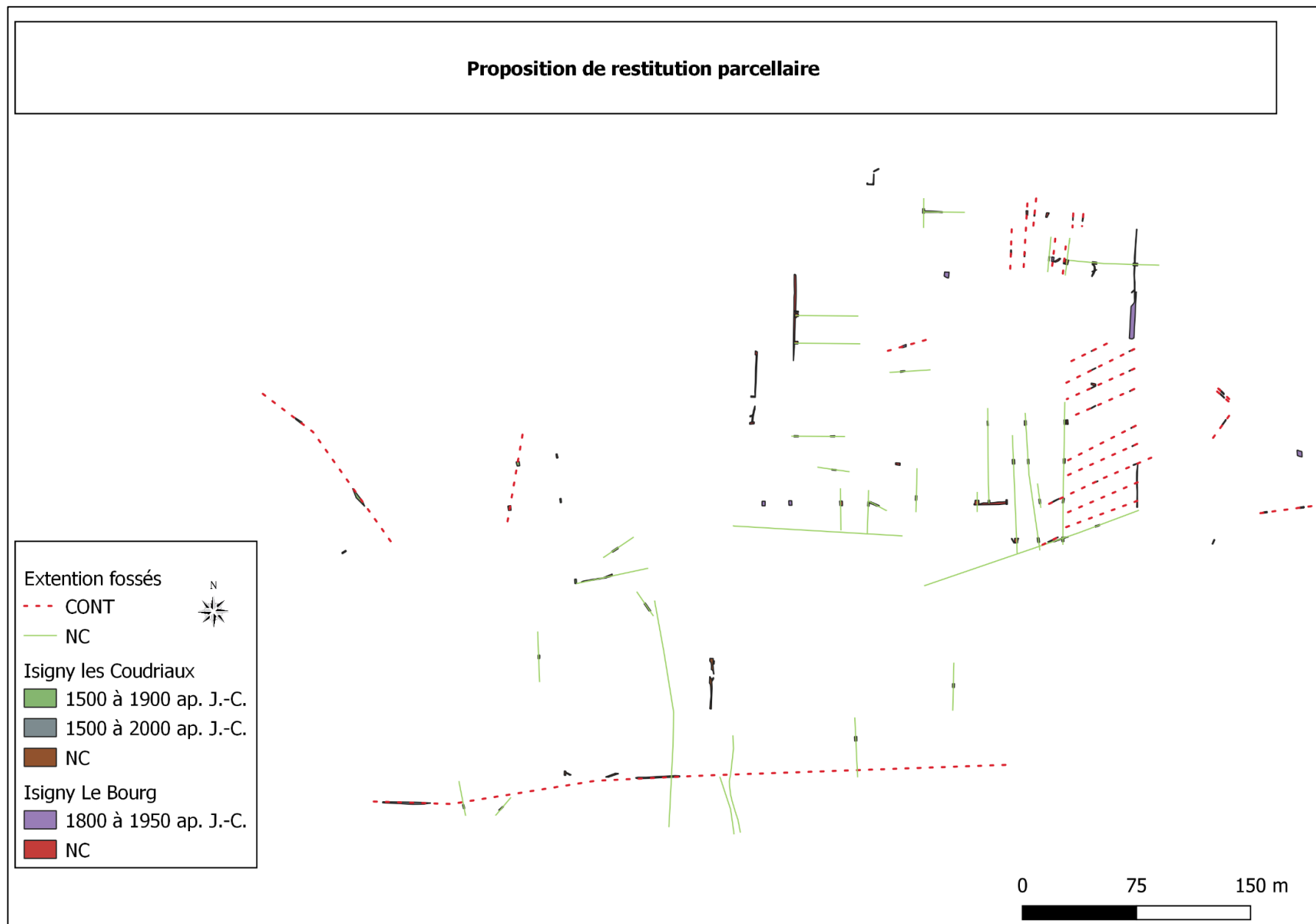
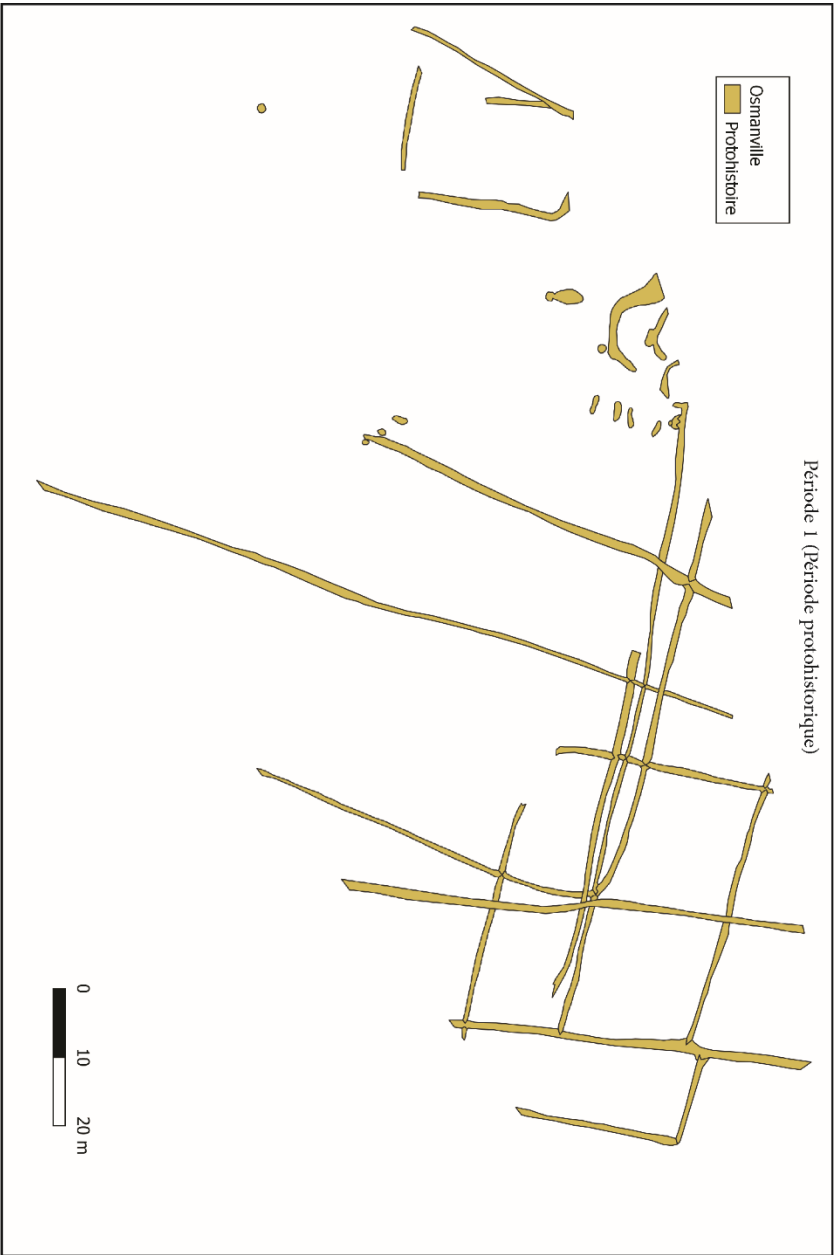
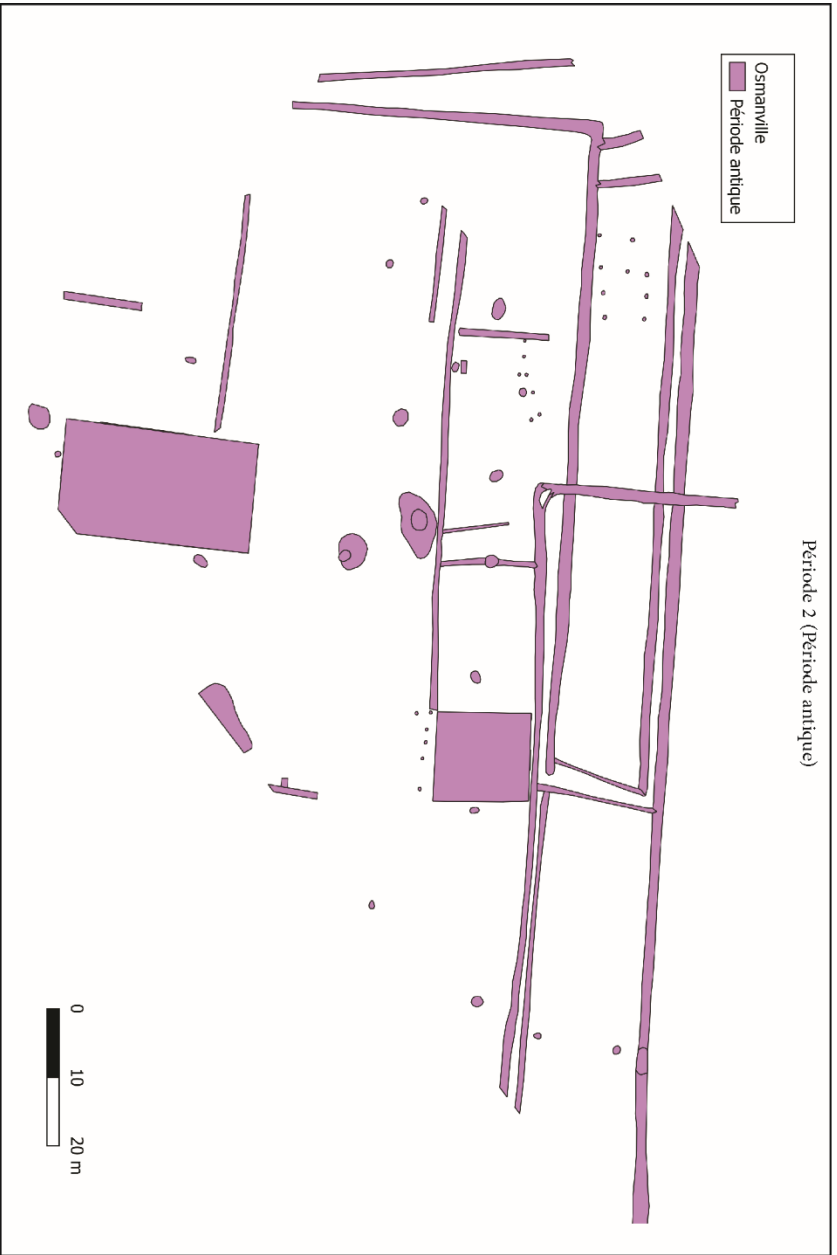


Figure 162. Isigny-sur-Mer - Fossés contemporains et non datés.

Figure 163.
Phasage du site
d'Osmanville.



Osmanville

N

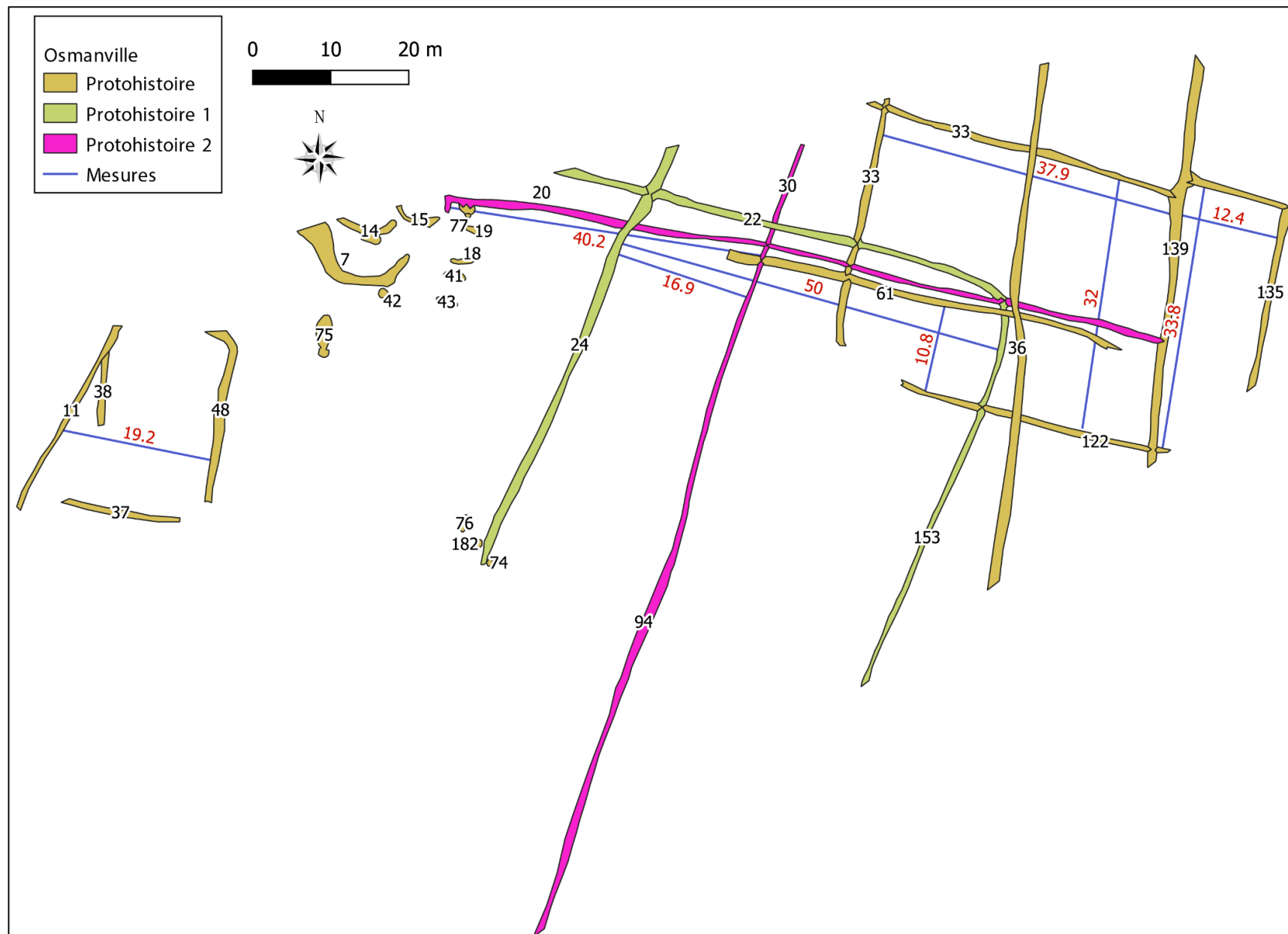
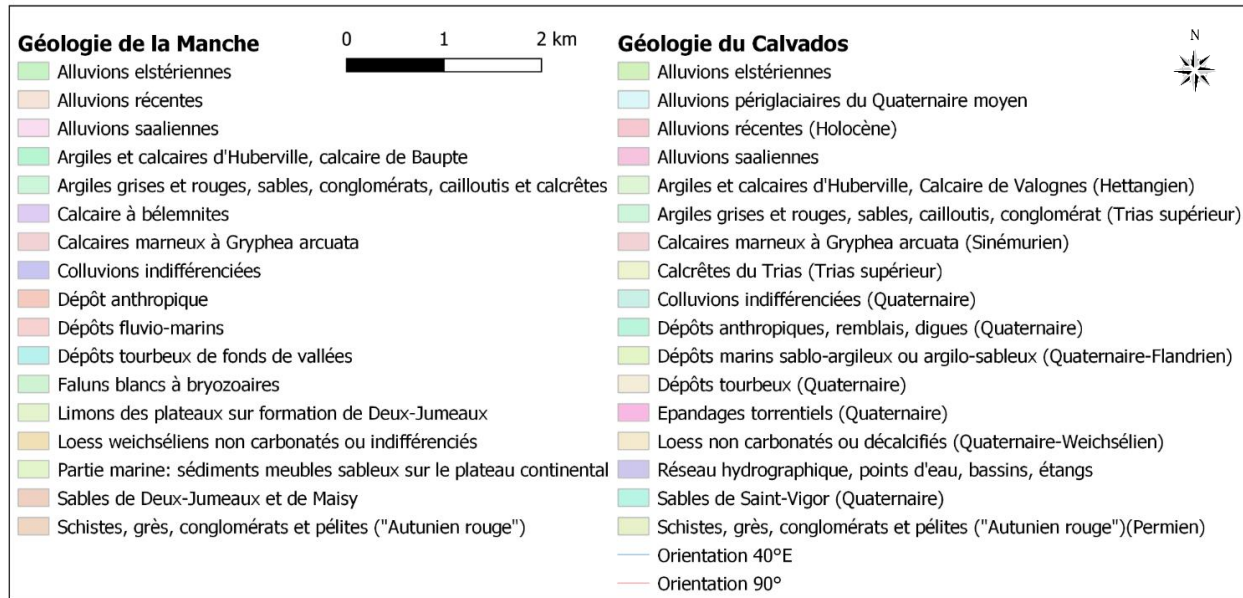


Figure 164. Osmanville - Numéros de structures et distances prises entre les fossés datés de la protohistoire.

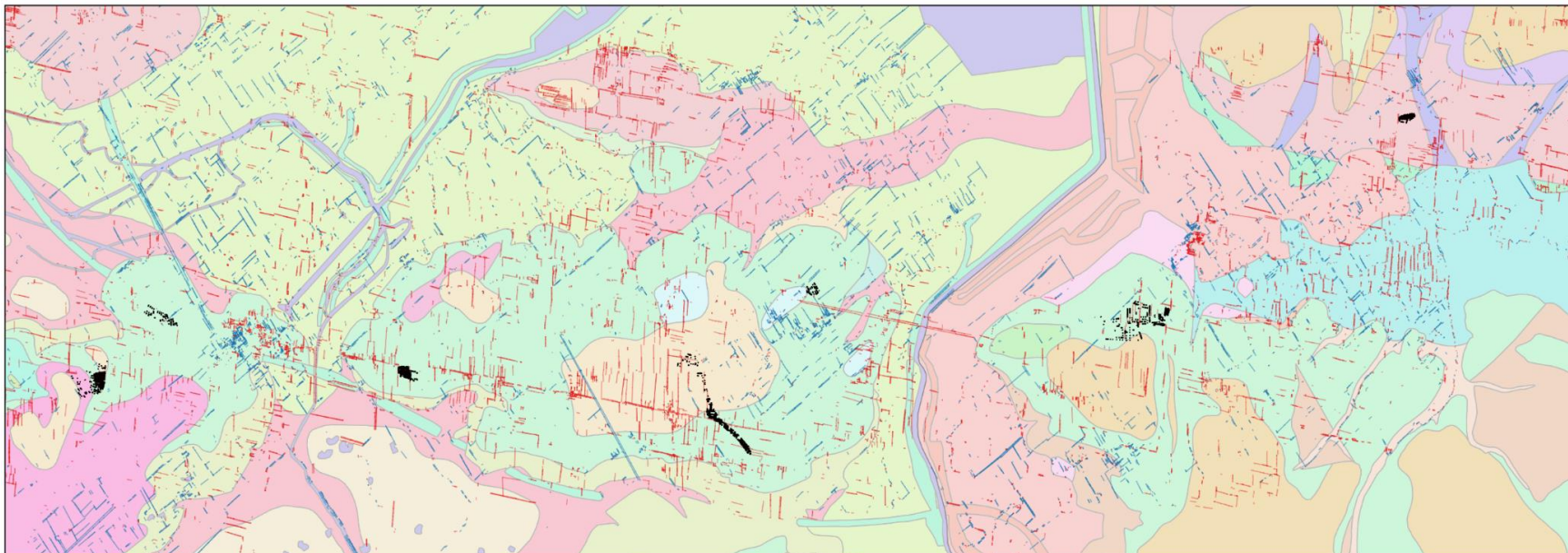


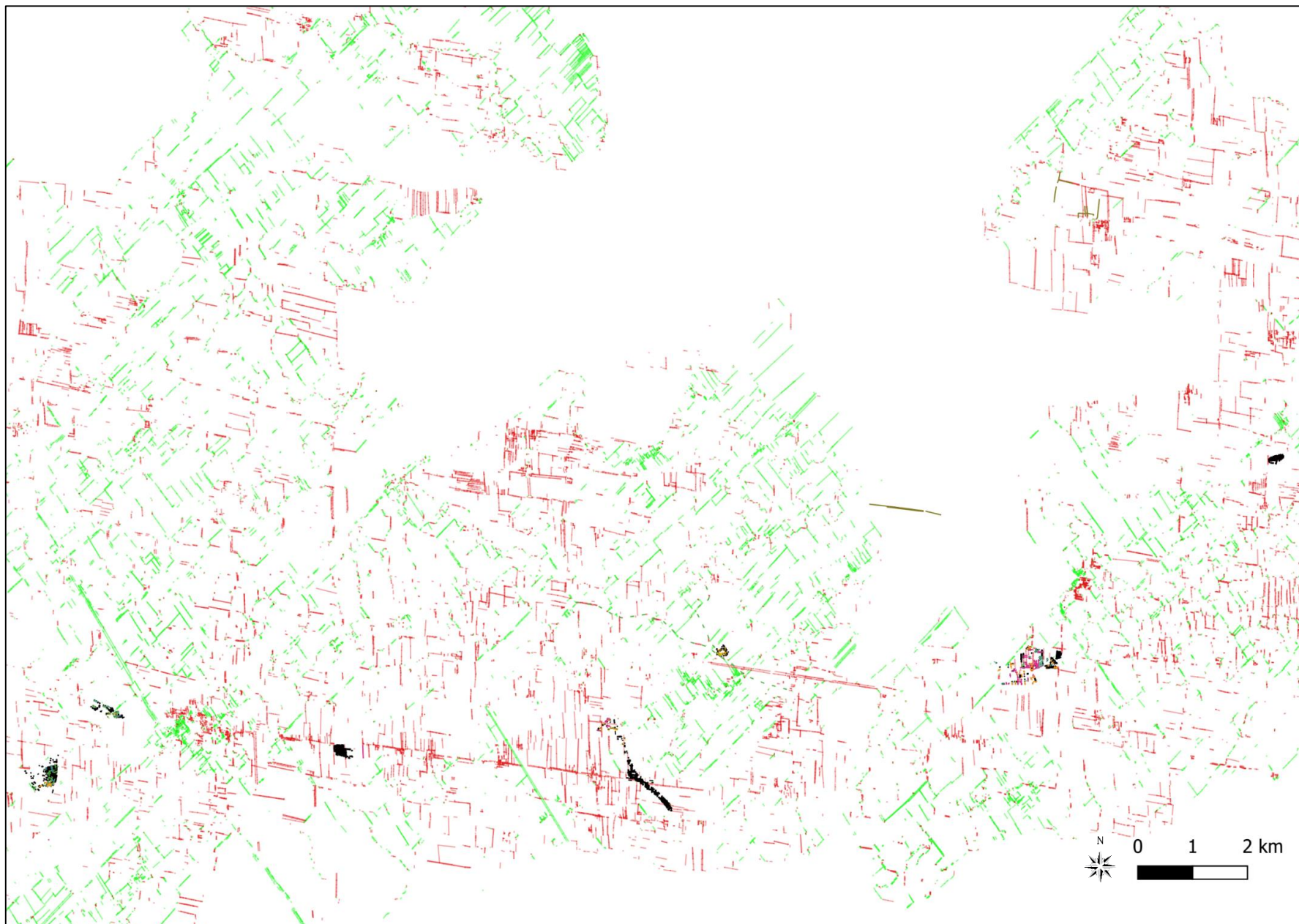
Figure 165. Osmanville - Numéros de structures et distances prises entre les fossés datés entre la première moitié du I^{er} siècle ap. J.-C. et le début du II^e siècle ap. J.-C.

Géologie de la zone de la Baie des Veys

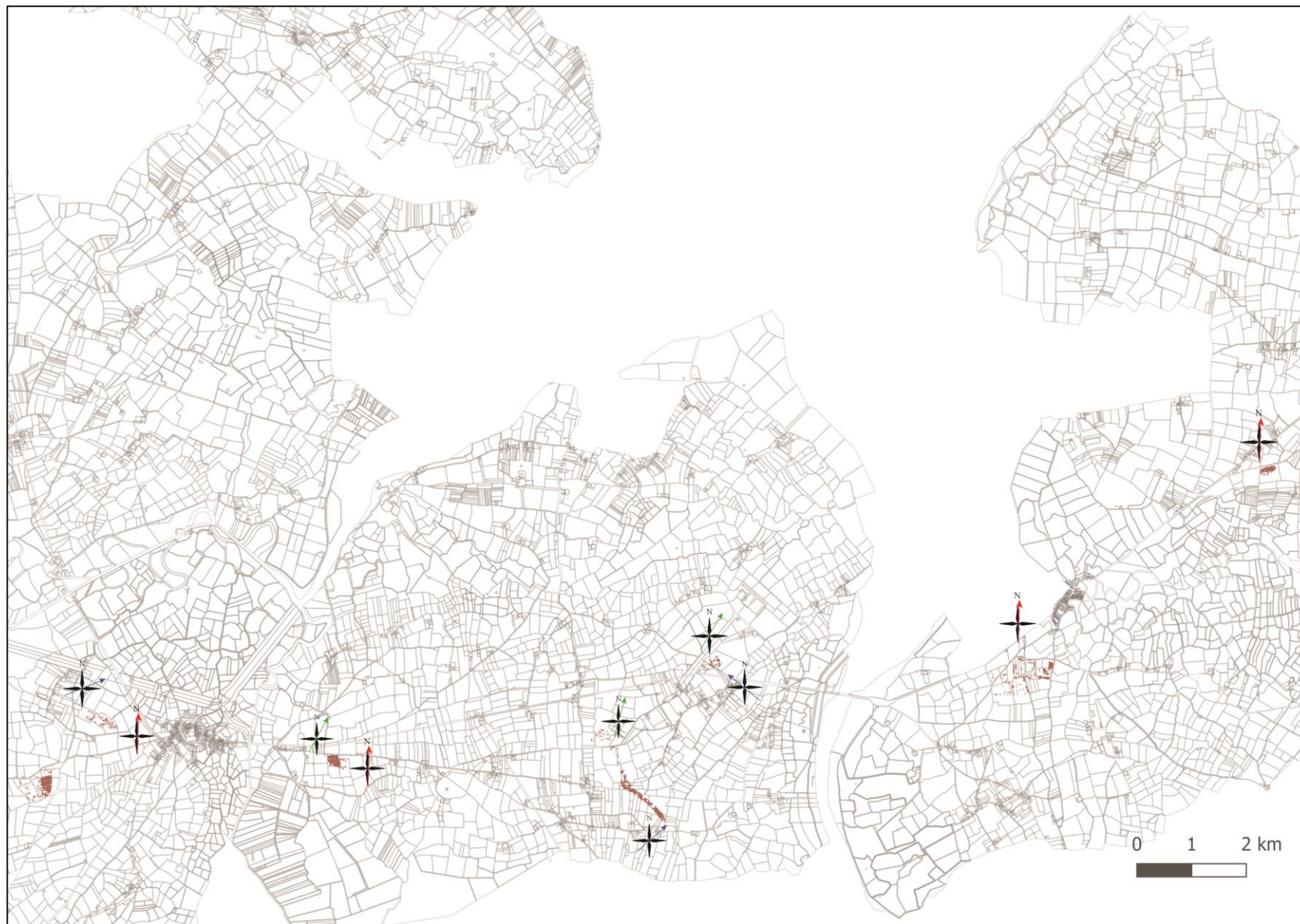


Carte 44. Géologie de la Baie des Veys.





Carte 45. Orientation des segments parcellaires du cadastre napoléonien selon les sites étudiés.



Carte 46. Orientation des parcellaires des sites à l'échelle du secteur d'étude.

Orientations des structures fossoyées par sites fouillés

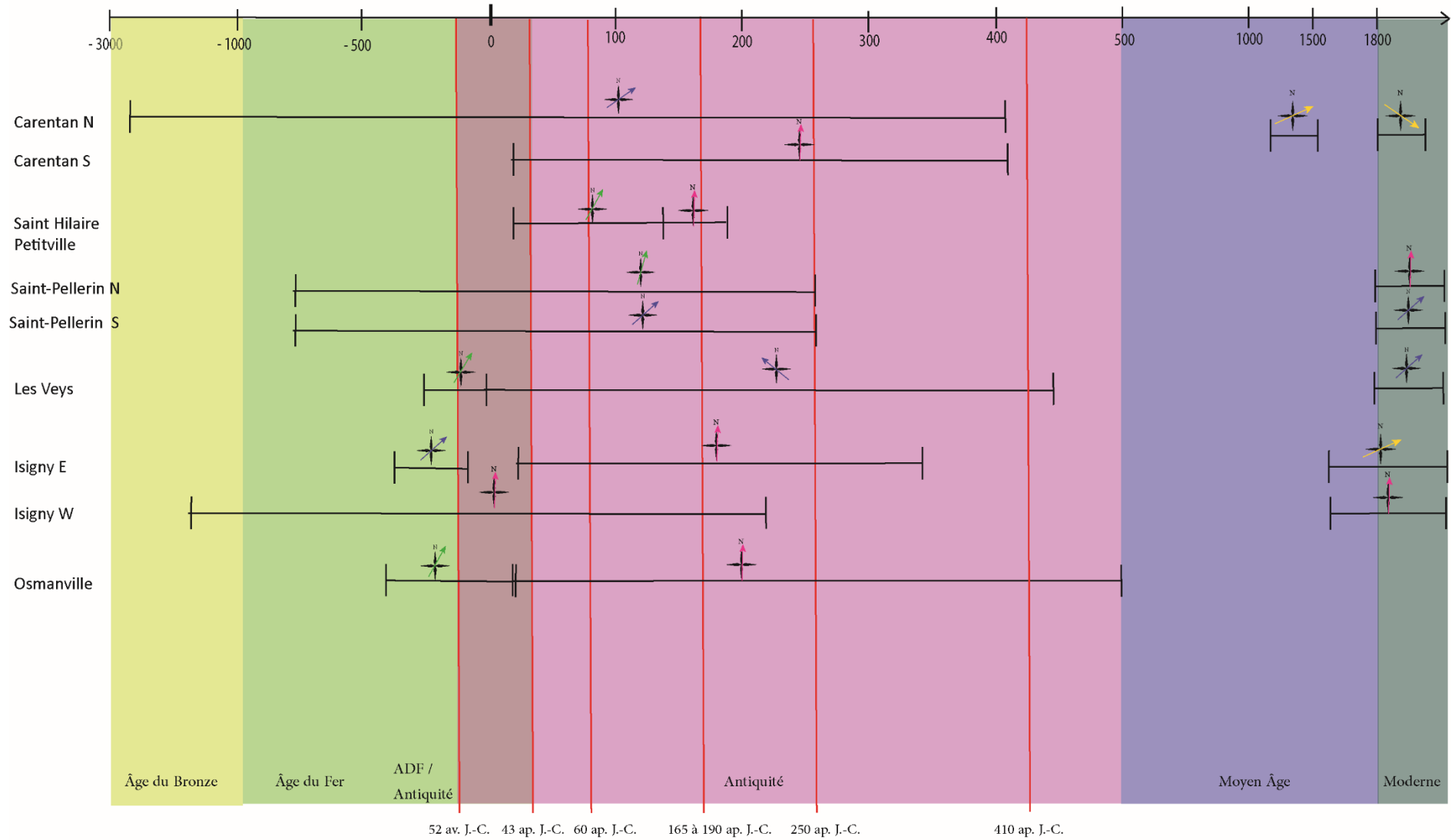


Figure 166. Orientations des structures fossoyées du secteur étudié de la Baie des Veys. Les dates correspondent aux événements discutés dans le chapitre VI.

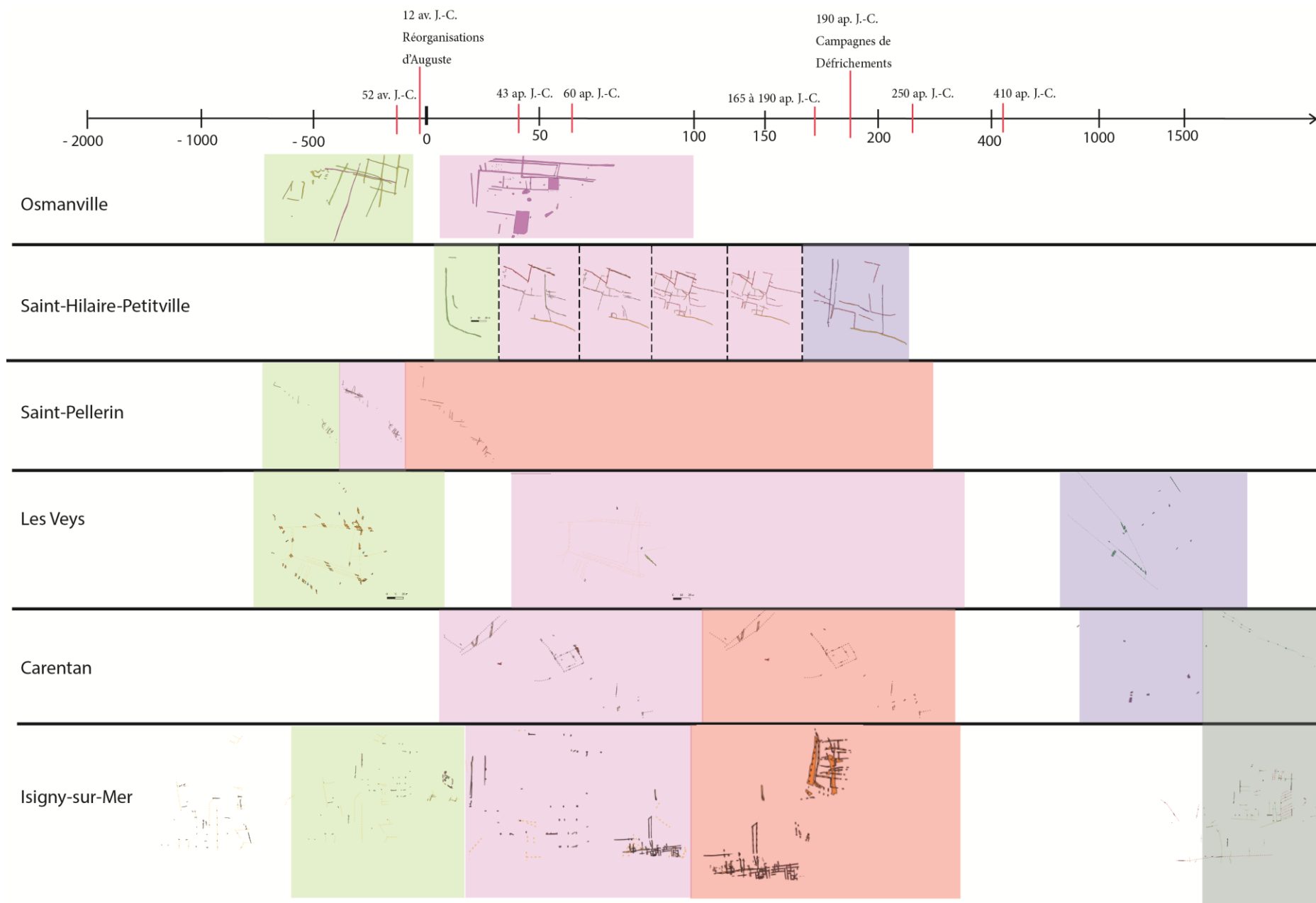
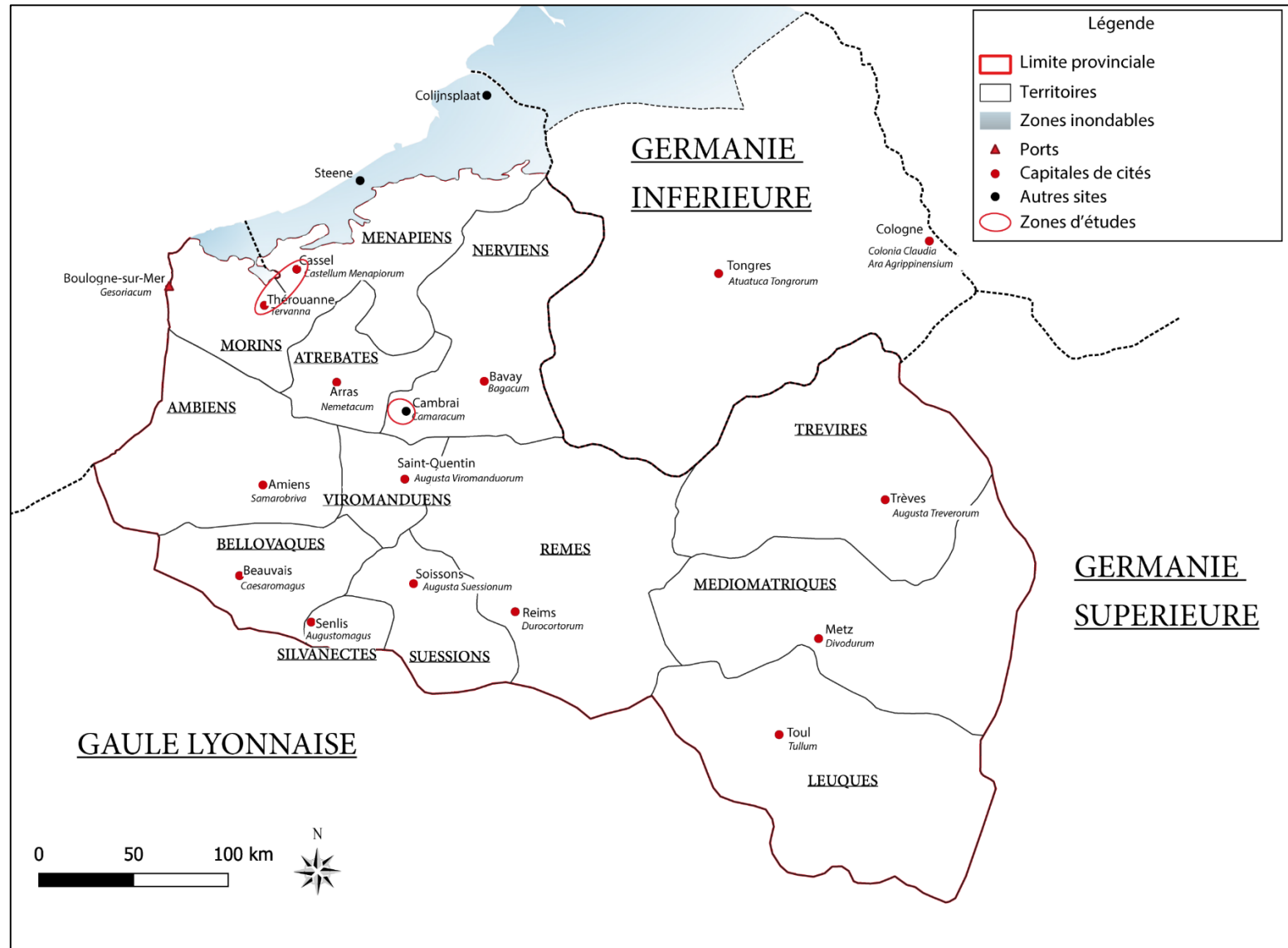
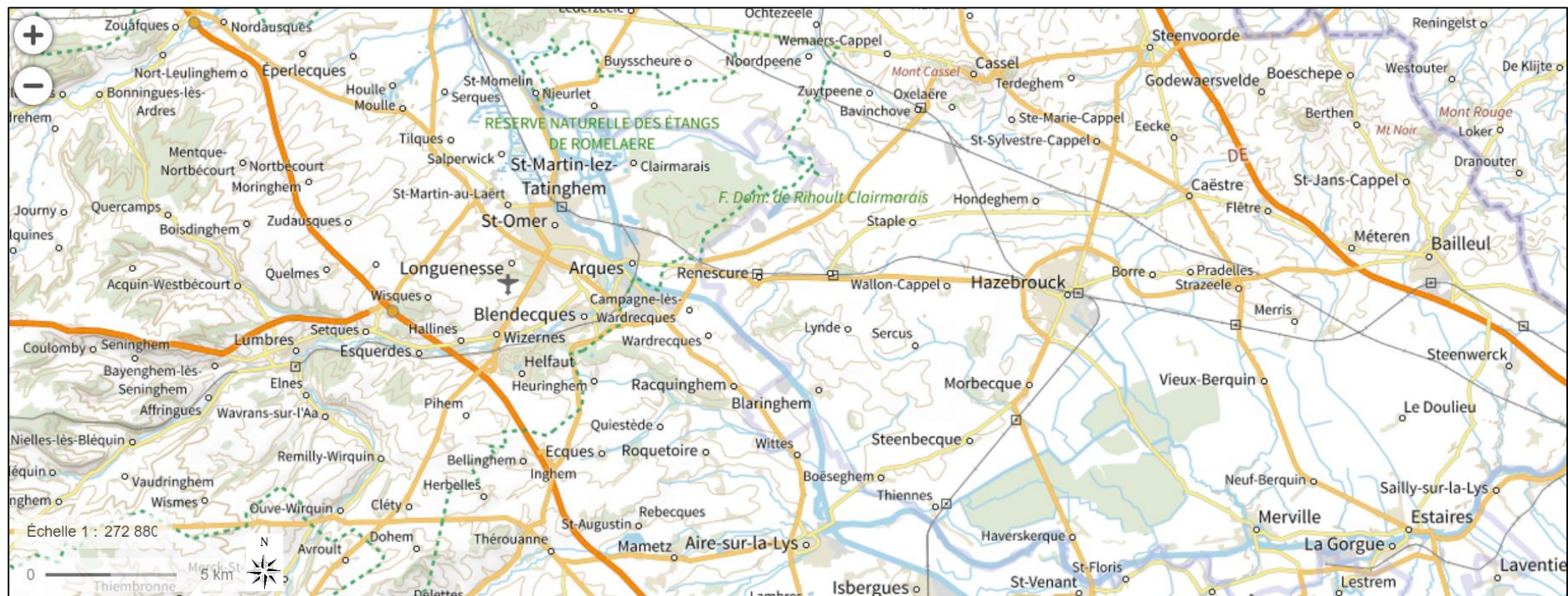


Figure 167. Les sites intégrés à une frise historique (échelles non linéaires).

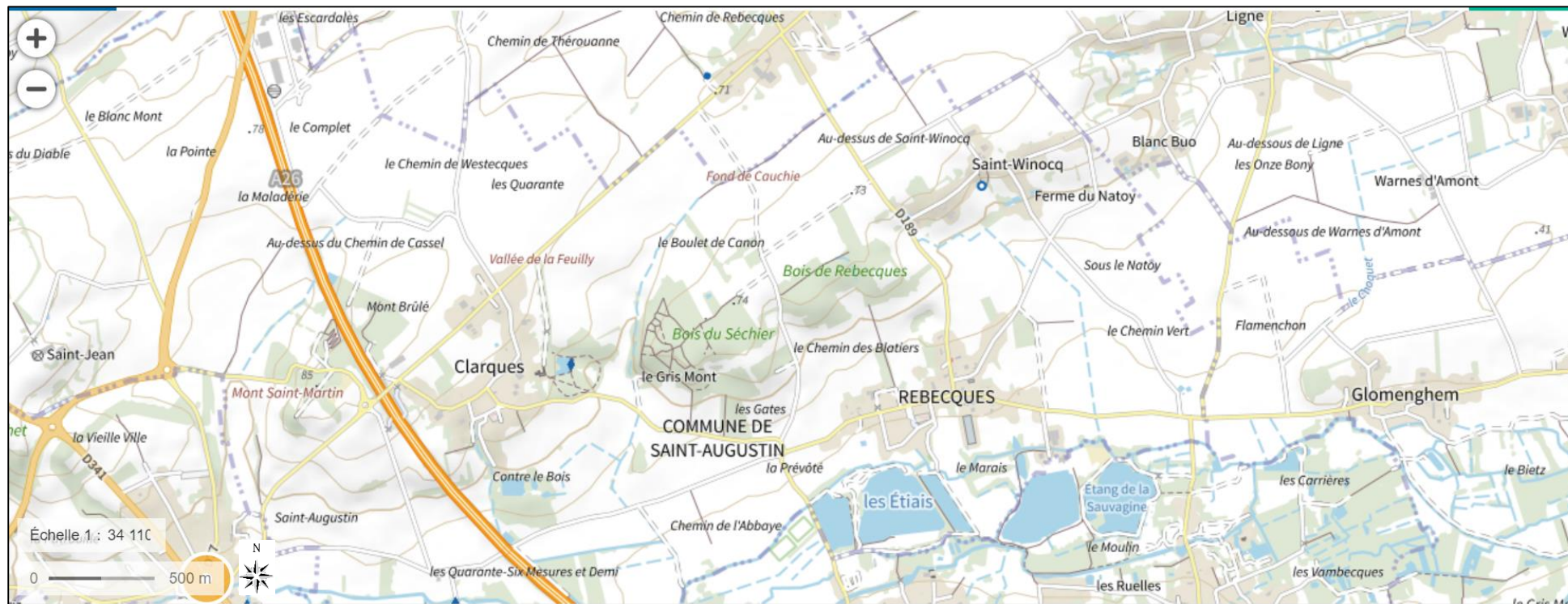
**MORINIE et
MENAPIE
De Thérrouanne à
Cassel**



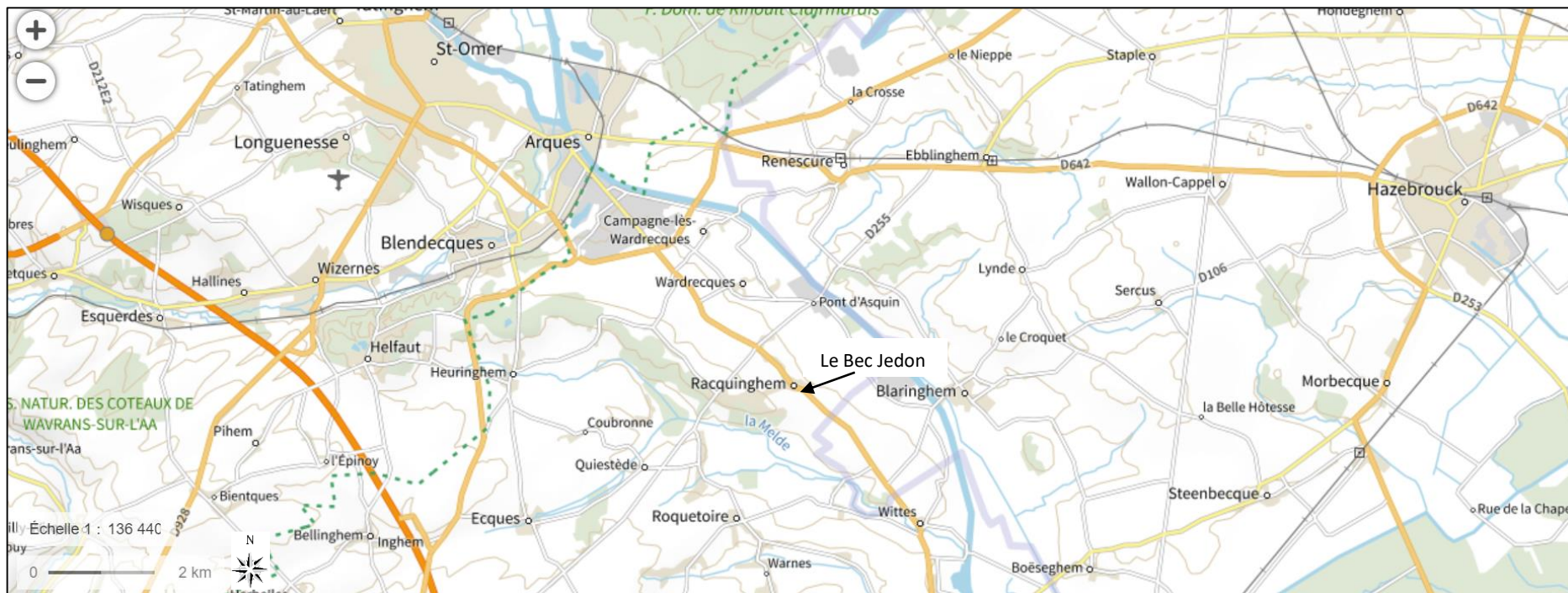
Carte 47. Carte de la Gaule Belgique avec indication des zones étudiées.



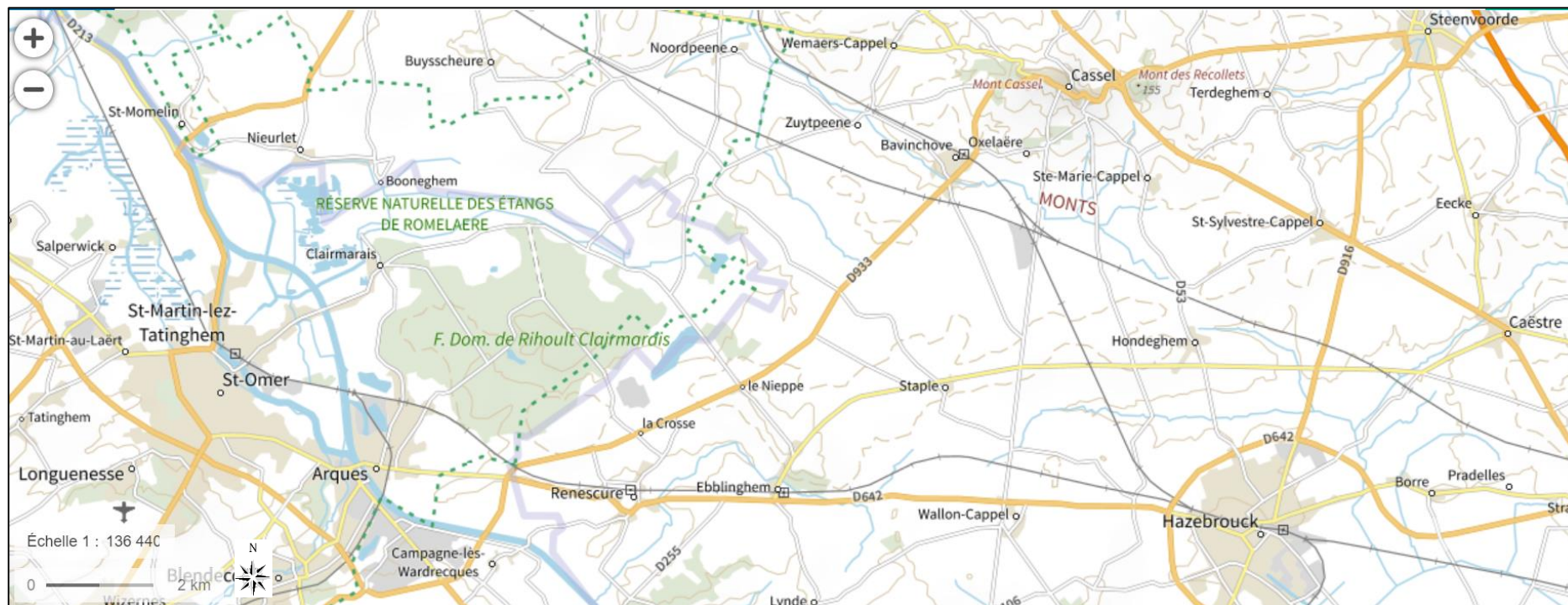
Carte 48. Contexte général de Théroutan et de Cassel.



Carte 49. Contexte géographique de Clarques, Rebecques et Escardalles.

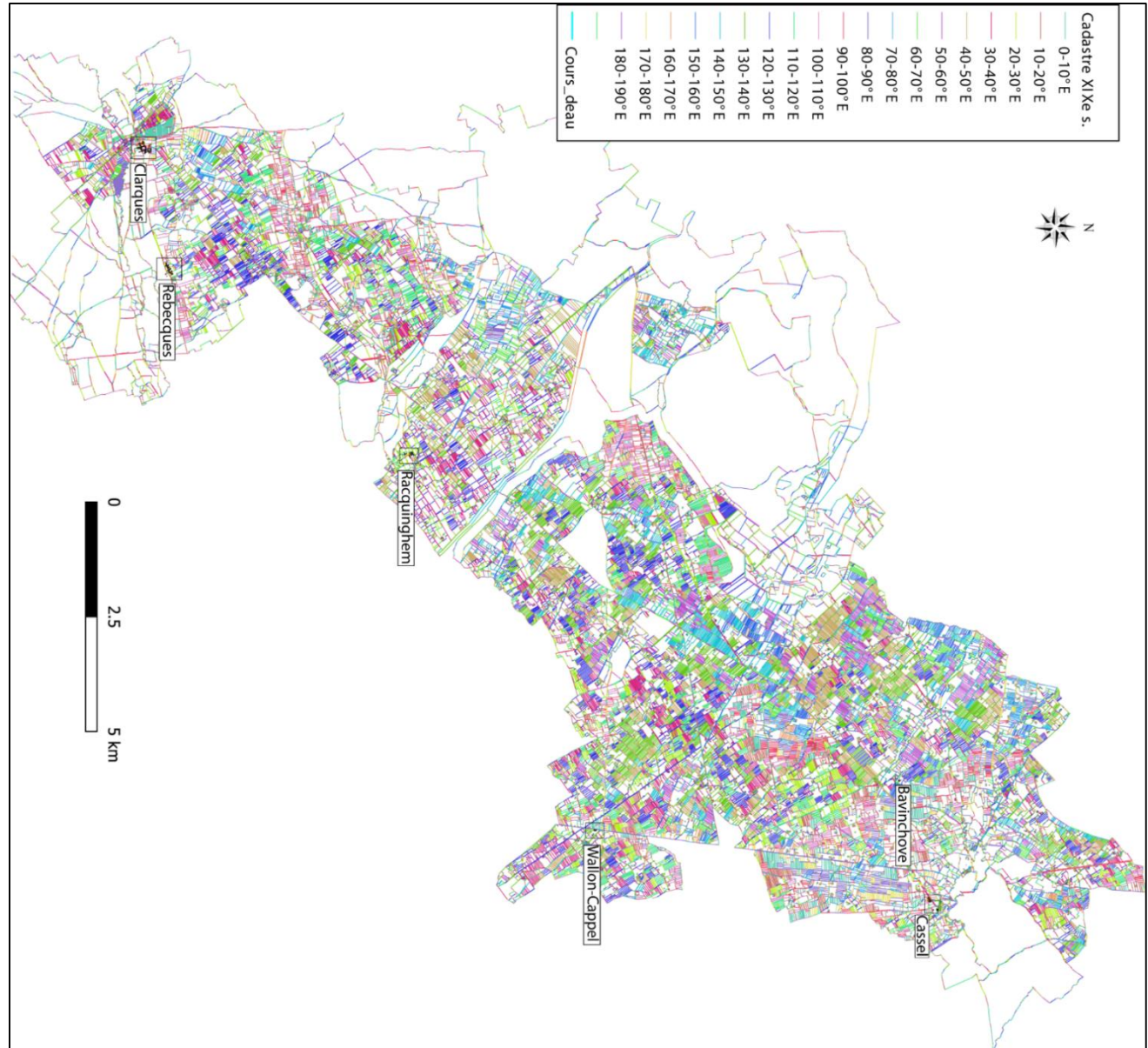


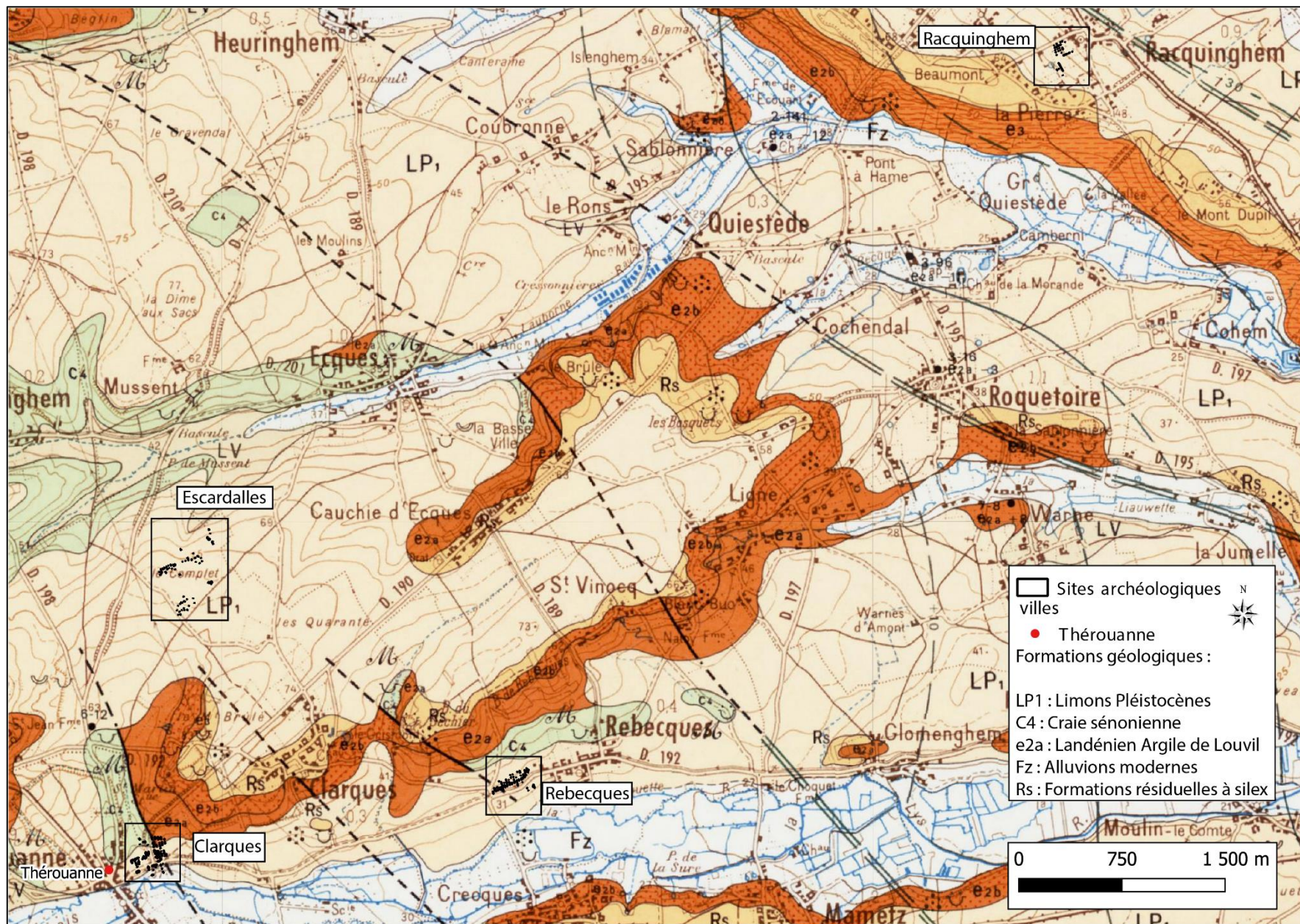
Carte 50. Contexte géographique de Racquinghem entre la Melde et le canal de Neufossés.



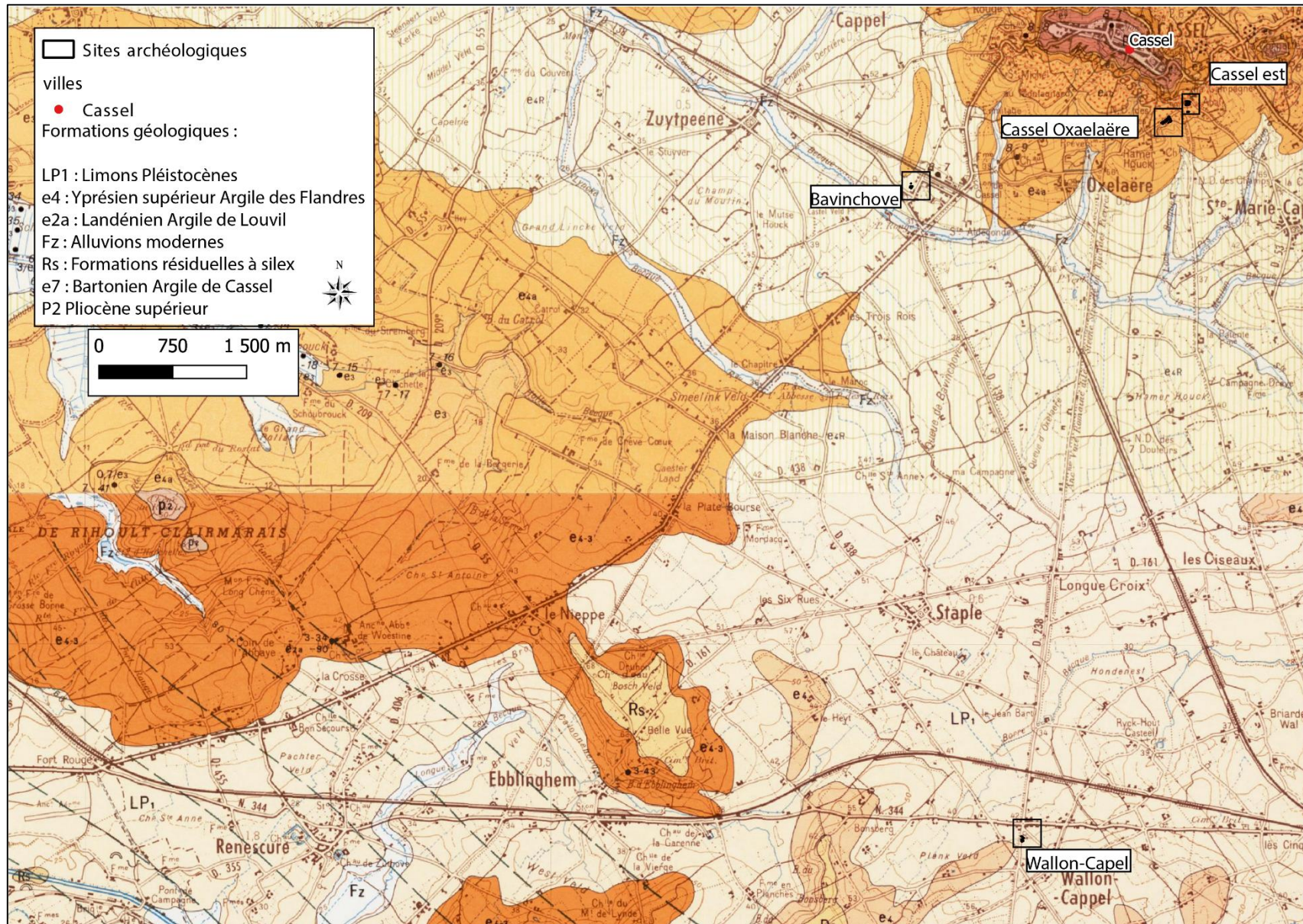
Carte 51. Contexte géographique de Cassel, Bavinchove et Wallon-Cappel.

Carte 52. Répartition des sites de Théroutanne à Cassel.





Carte 53. Les sites présentés dans le secteur ouest de l'étude (fond de carte géologique BRGM).



Carte 54. Les sites présentés dans le secteur est de l'étude (fond de carte géologique BRGM).

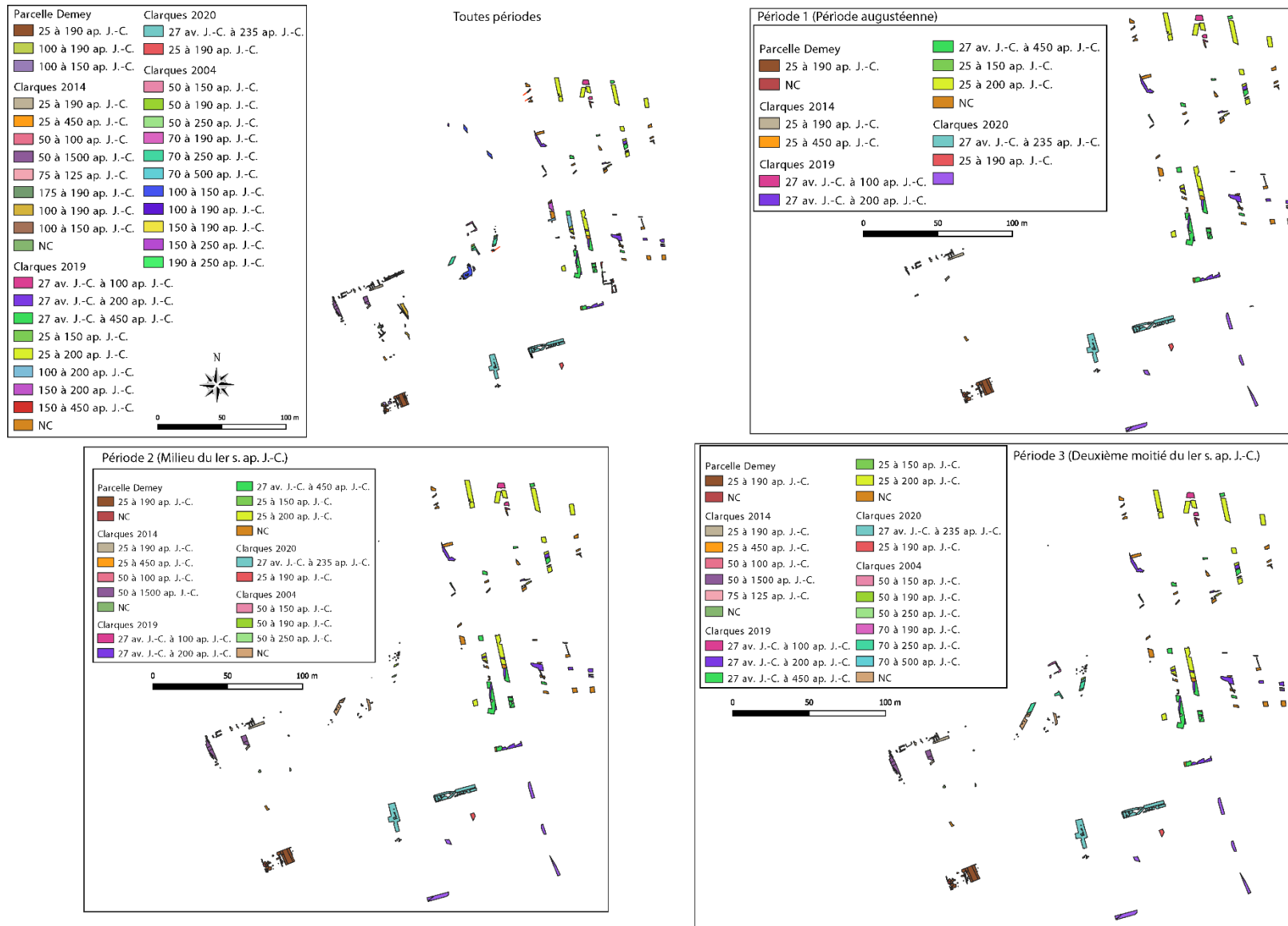


Figure 168. Phasage du site de Clarques. De la fin du I^{er} siècle av. J.-C. à la fin du I^{er} siècle ap. J.-C.

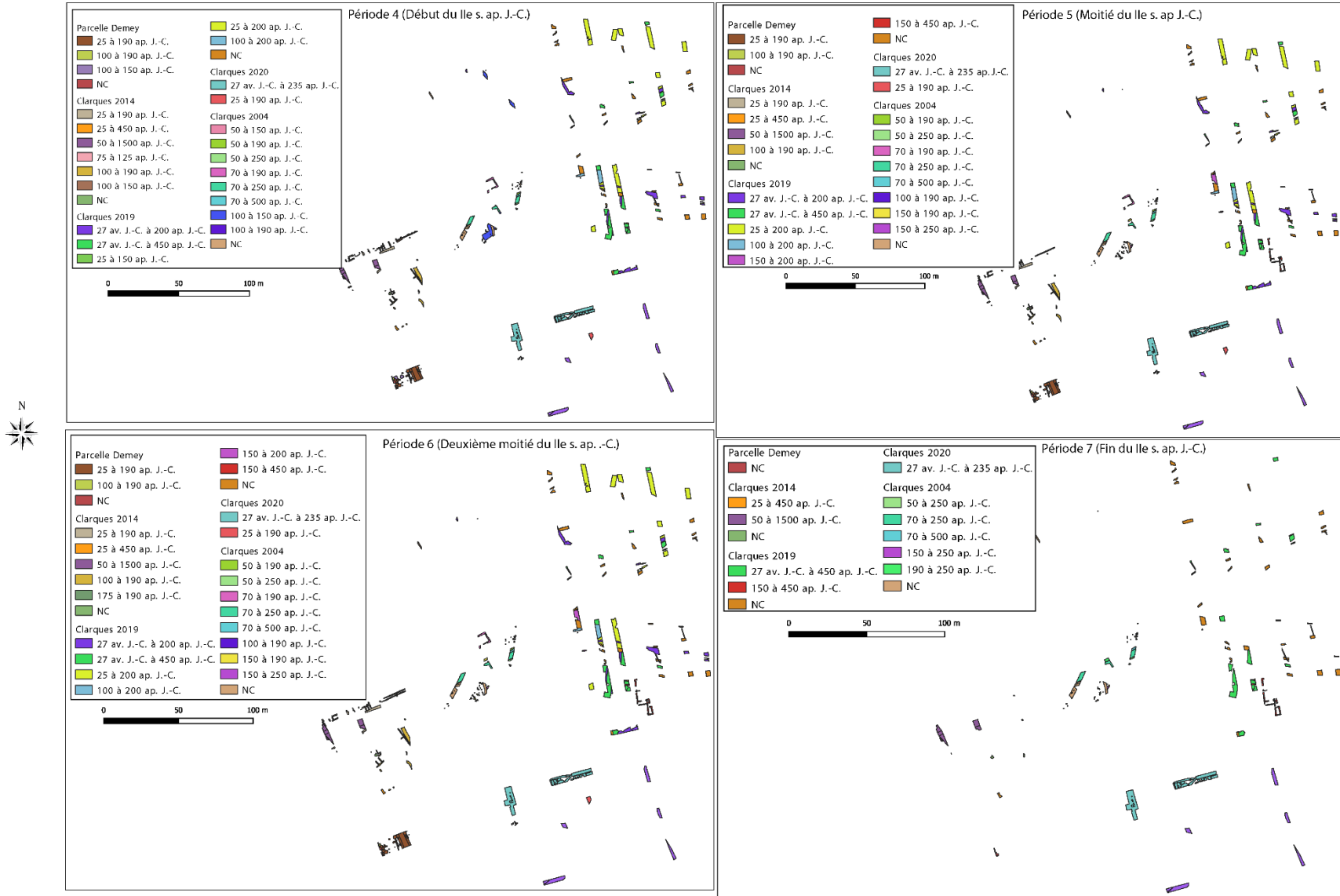


Figure 169. Phasage de Clarques. Du début du II^e siècle à la fin du II^e siècle.

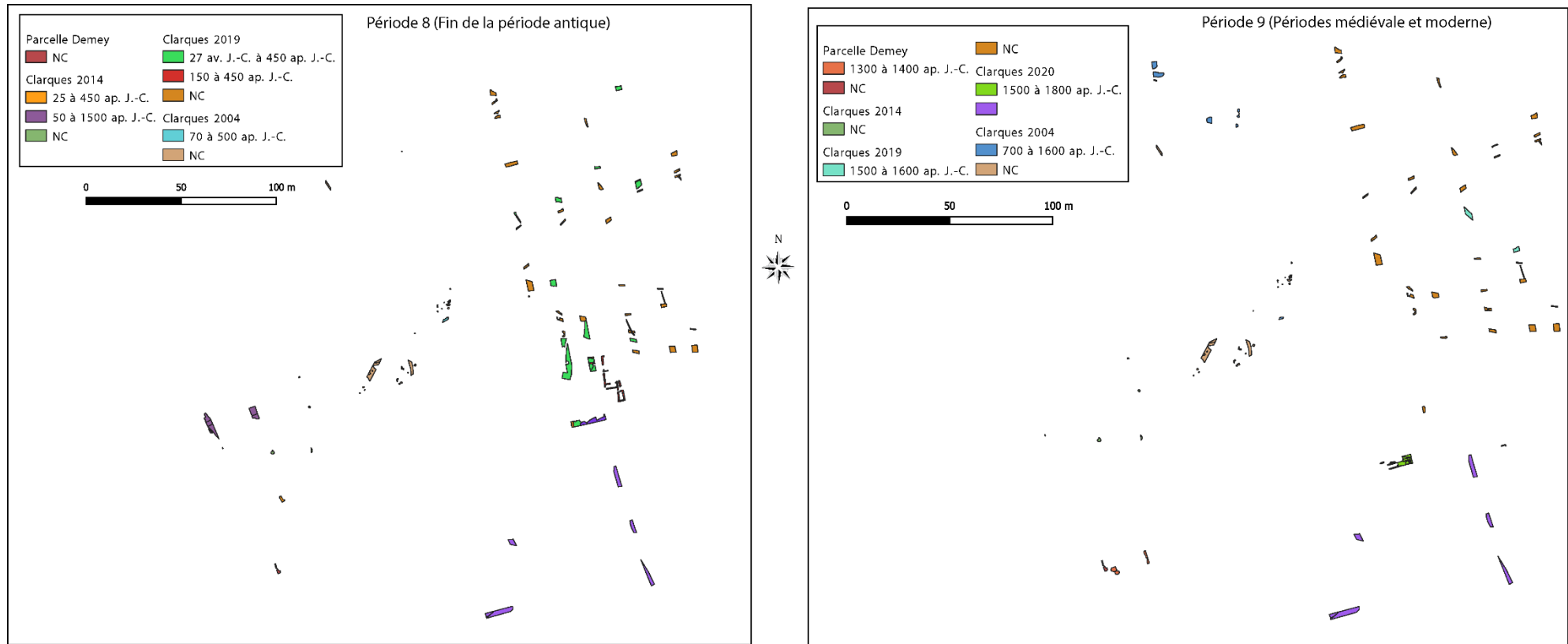


Figure 170. Phasage du site de Clarques de la fin de l'Antiquité à la période médiévale et moderne.

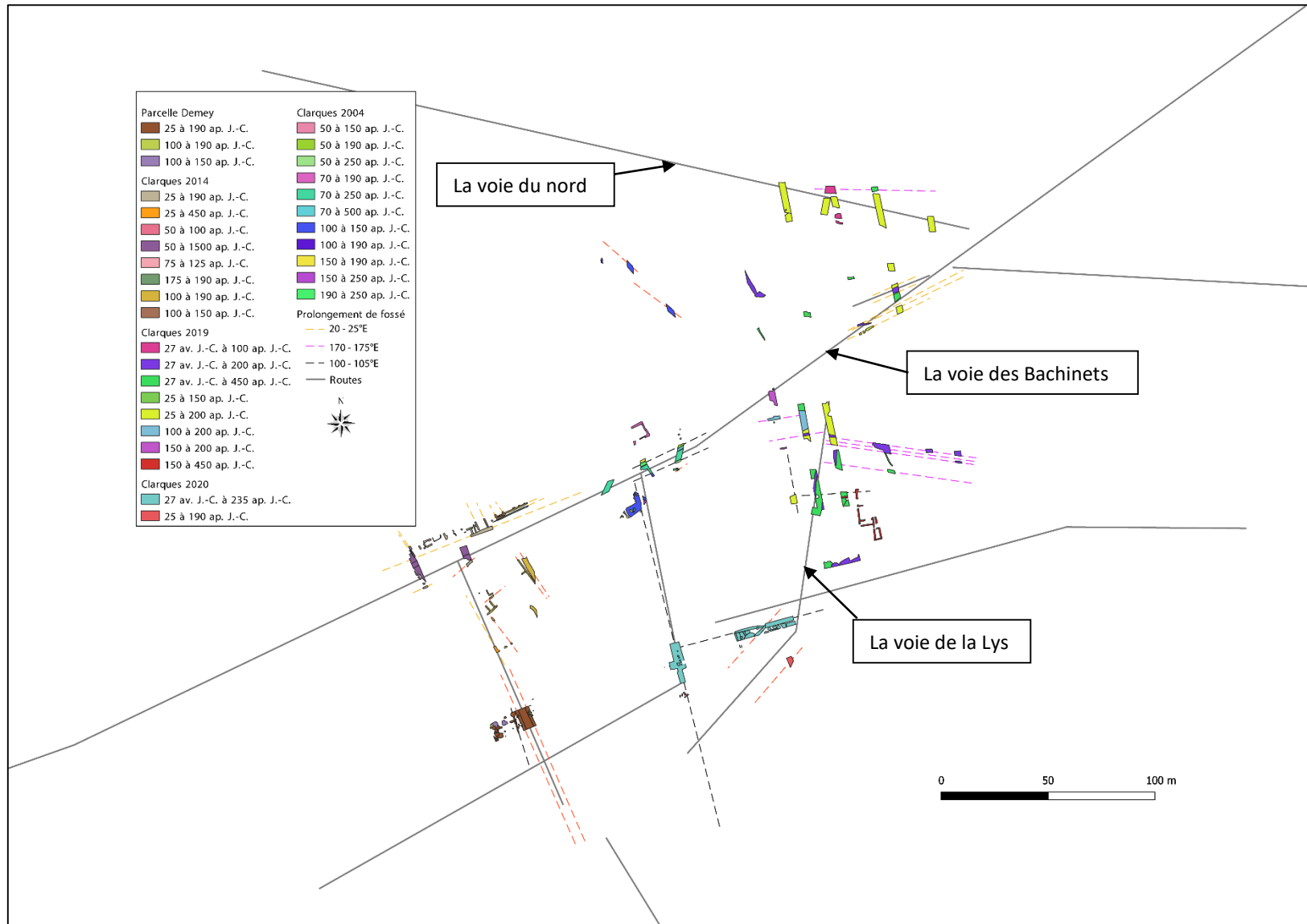


Figure 171. Le site de Clarques associé aux voies romaines découvertes.

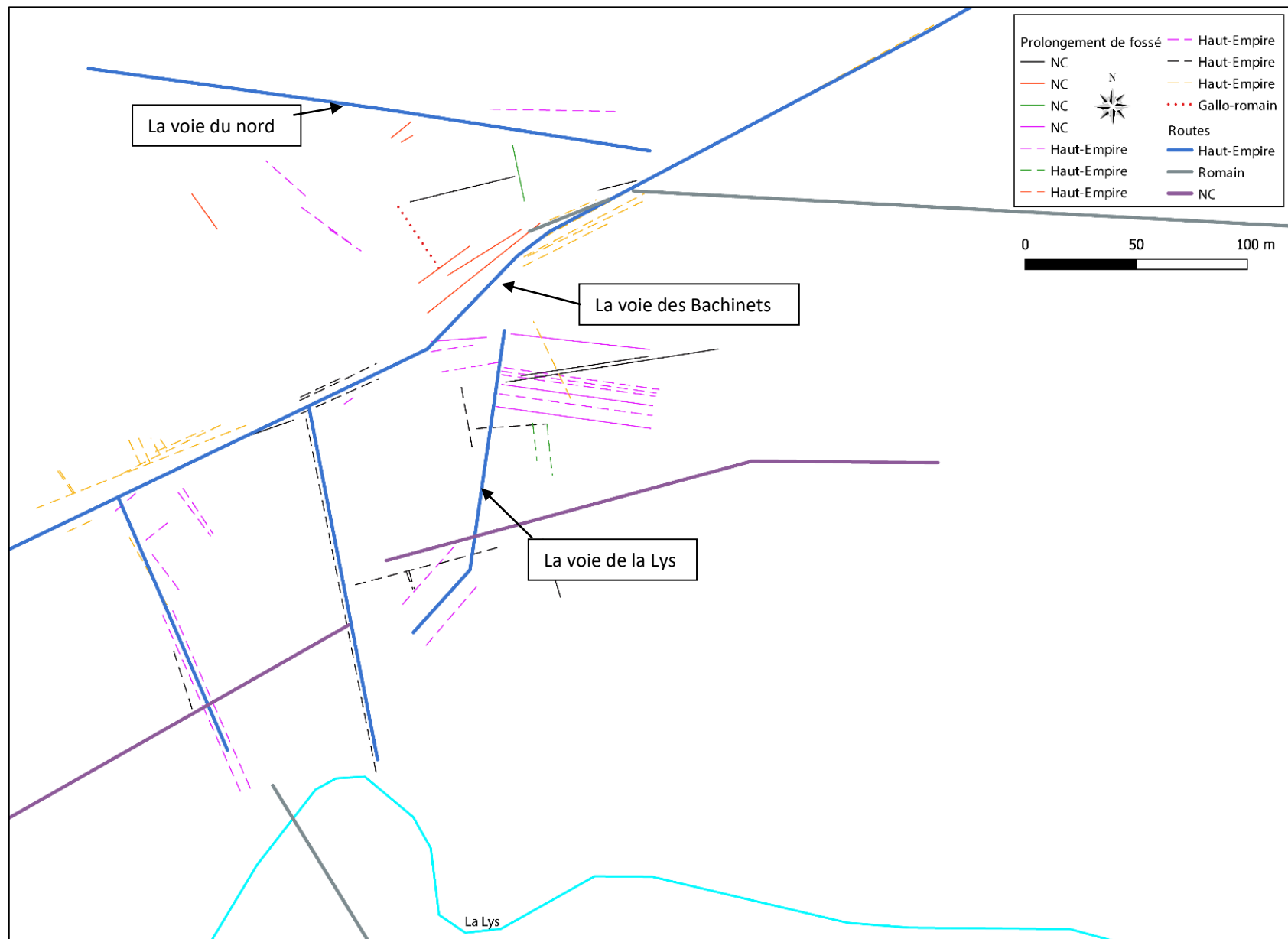


Figure 172. Clarques - Proposition de prolongements des structures linéaires (fossés, routes) sur toute la période du Haut-Empire.

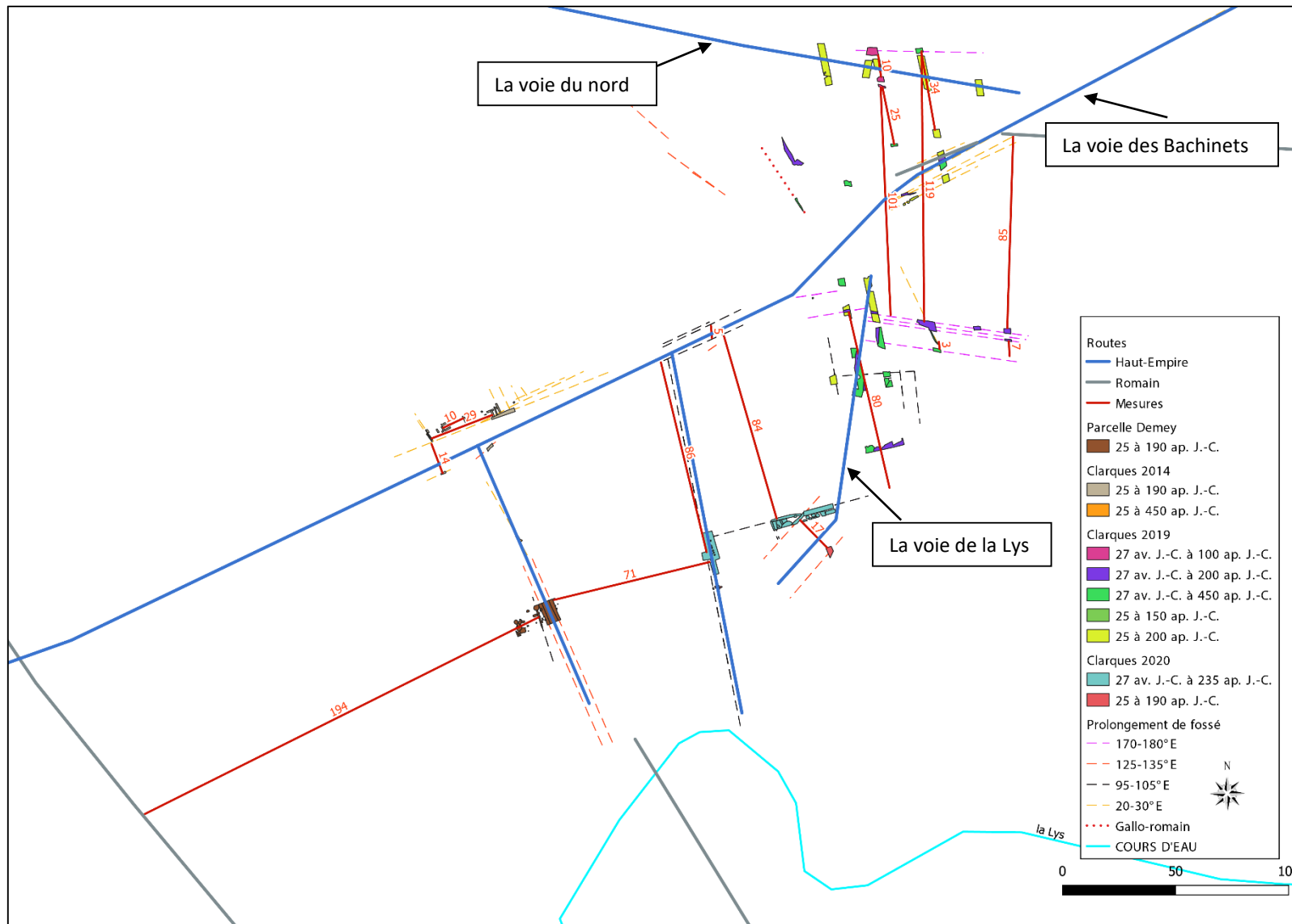


Figure 173. Clarques - Mesures prises entre les structures linéaires du Haut-Empire.

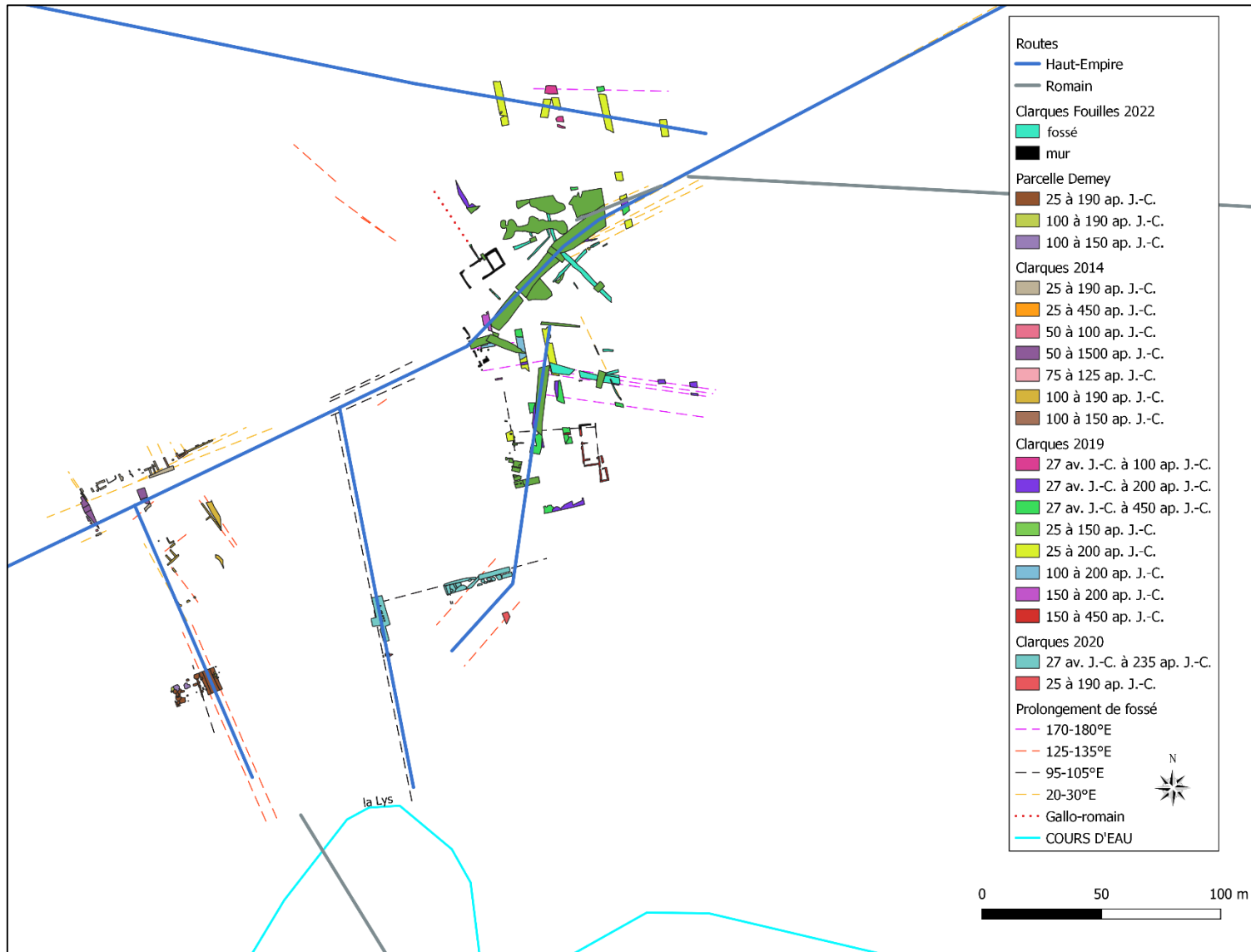


Figure 174. Clarques - La fouille de 2022 dans son environnement archéologique.

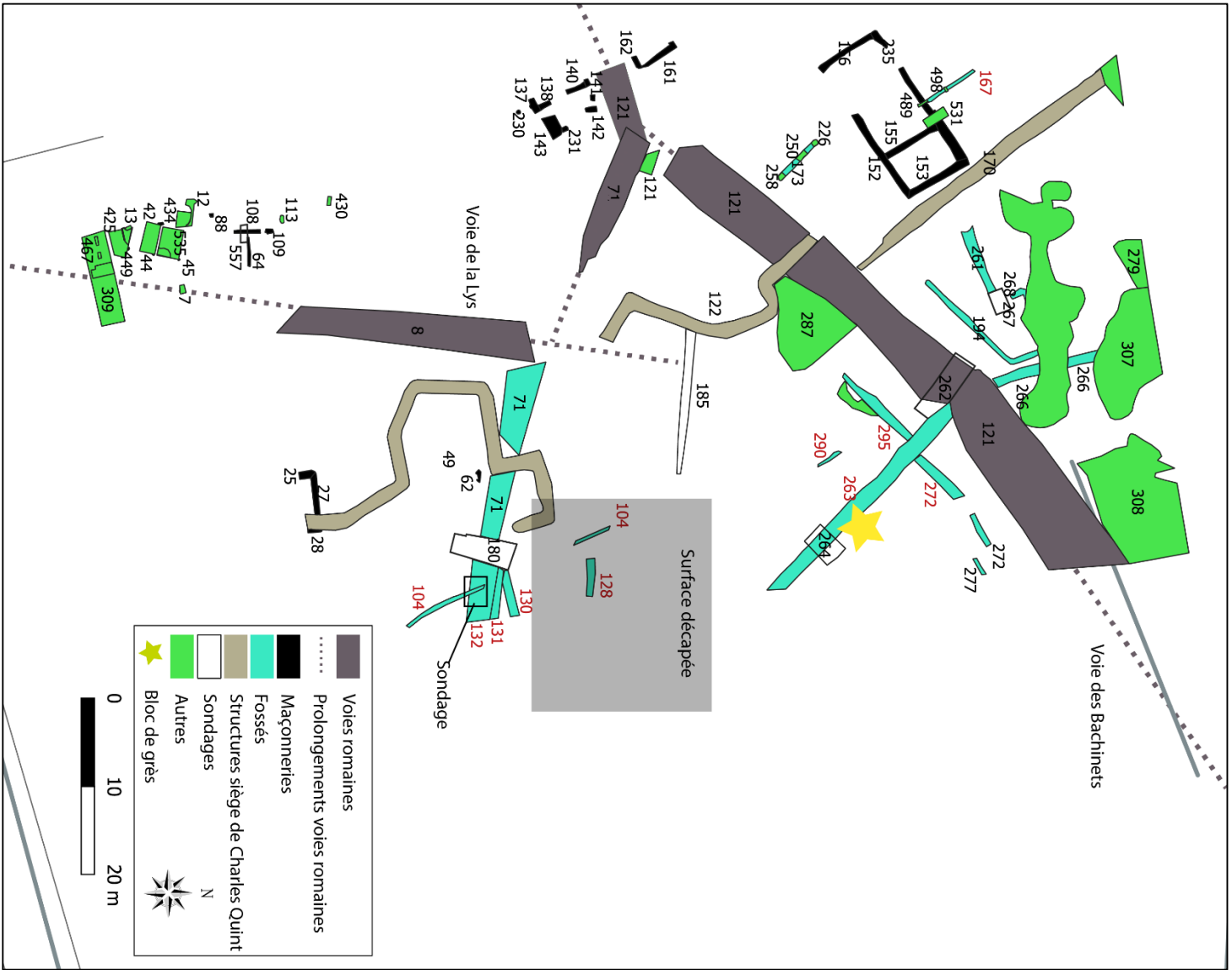
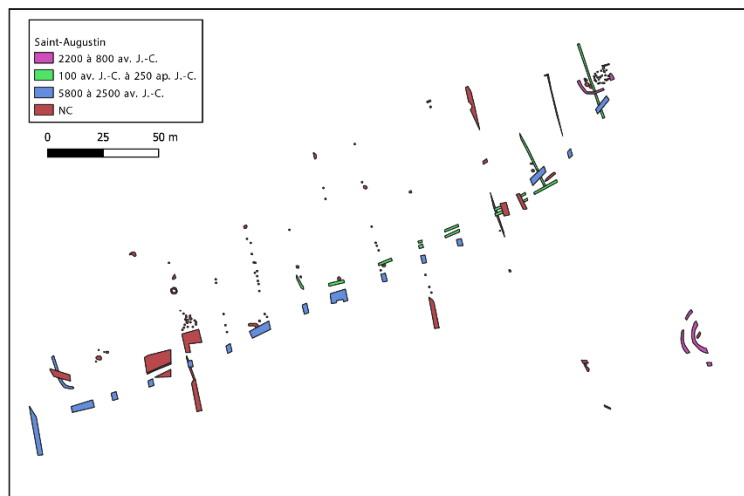


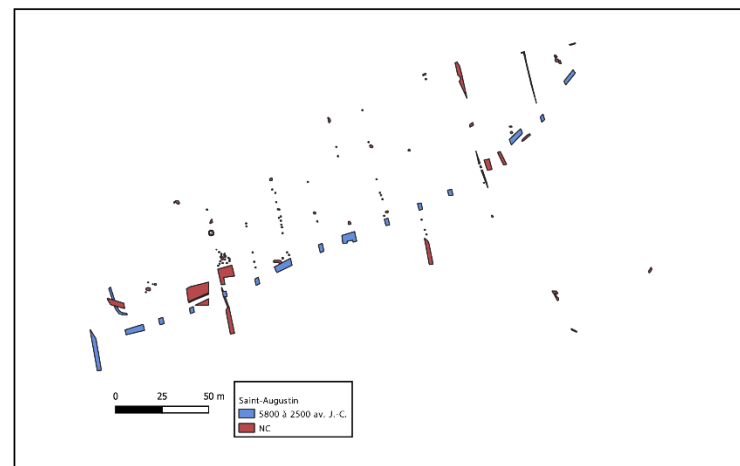
Figure 175. Clarques - Fouilles de V. Merkenbreack (D'après département du Pas-de-Calais, plan non définitif)



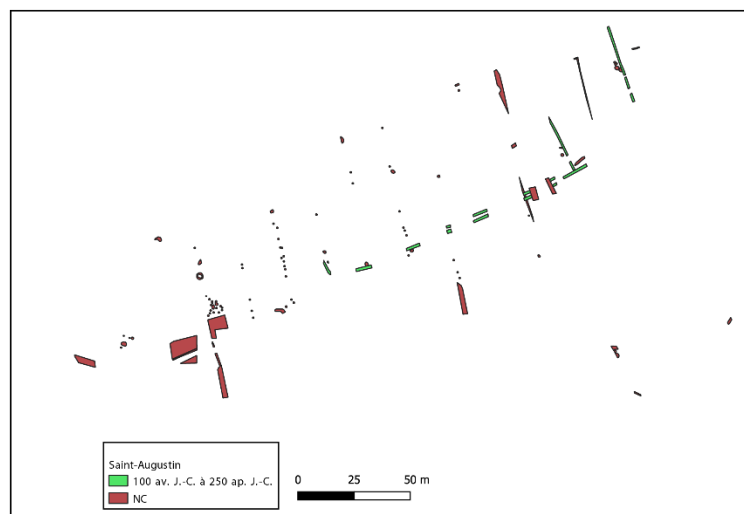
Le site de Rebecques/Saint-Augustin



Période 1 : néolithique



Période 3 : La Tène Finale et/ou Haut-Empire



Période 2 : L'Âge du Bronze

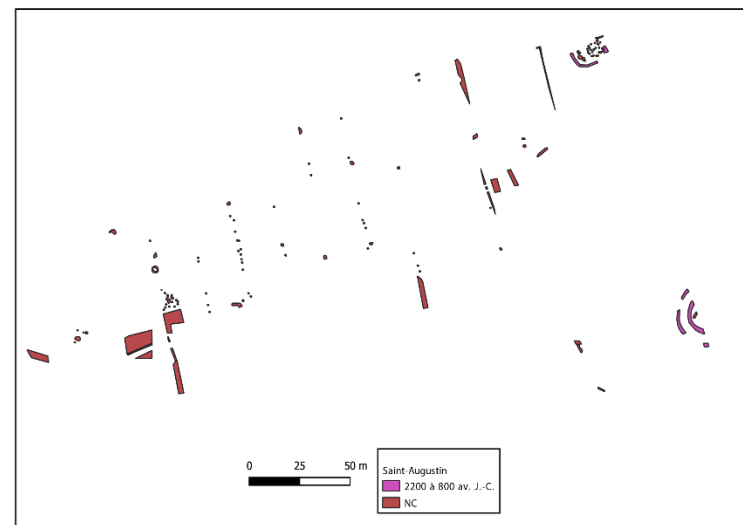


Figure 176. Phasage du site de Rebecques.

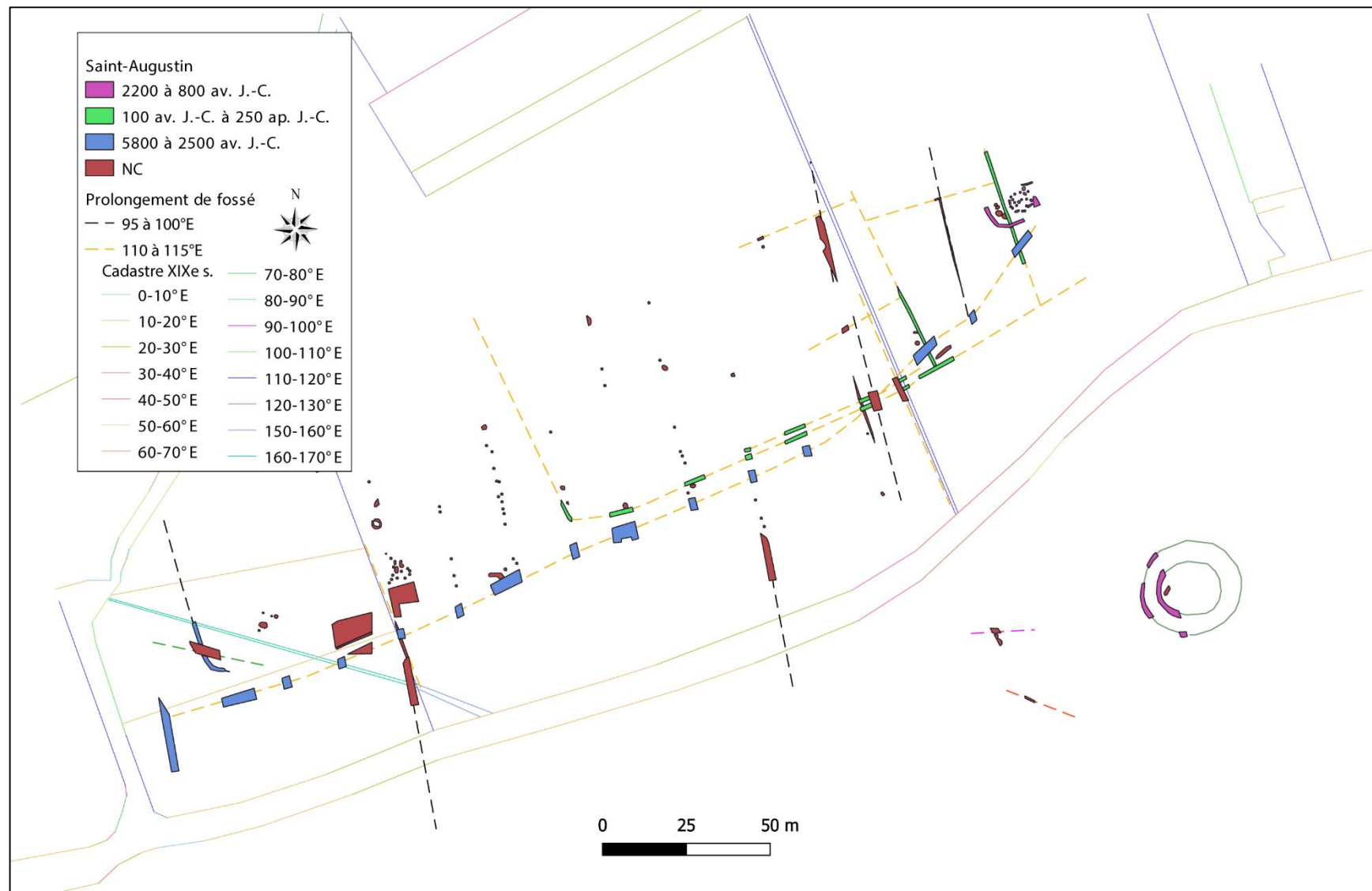


Figure 177. Rebecques - Prolongements des fossés.

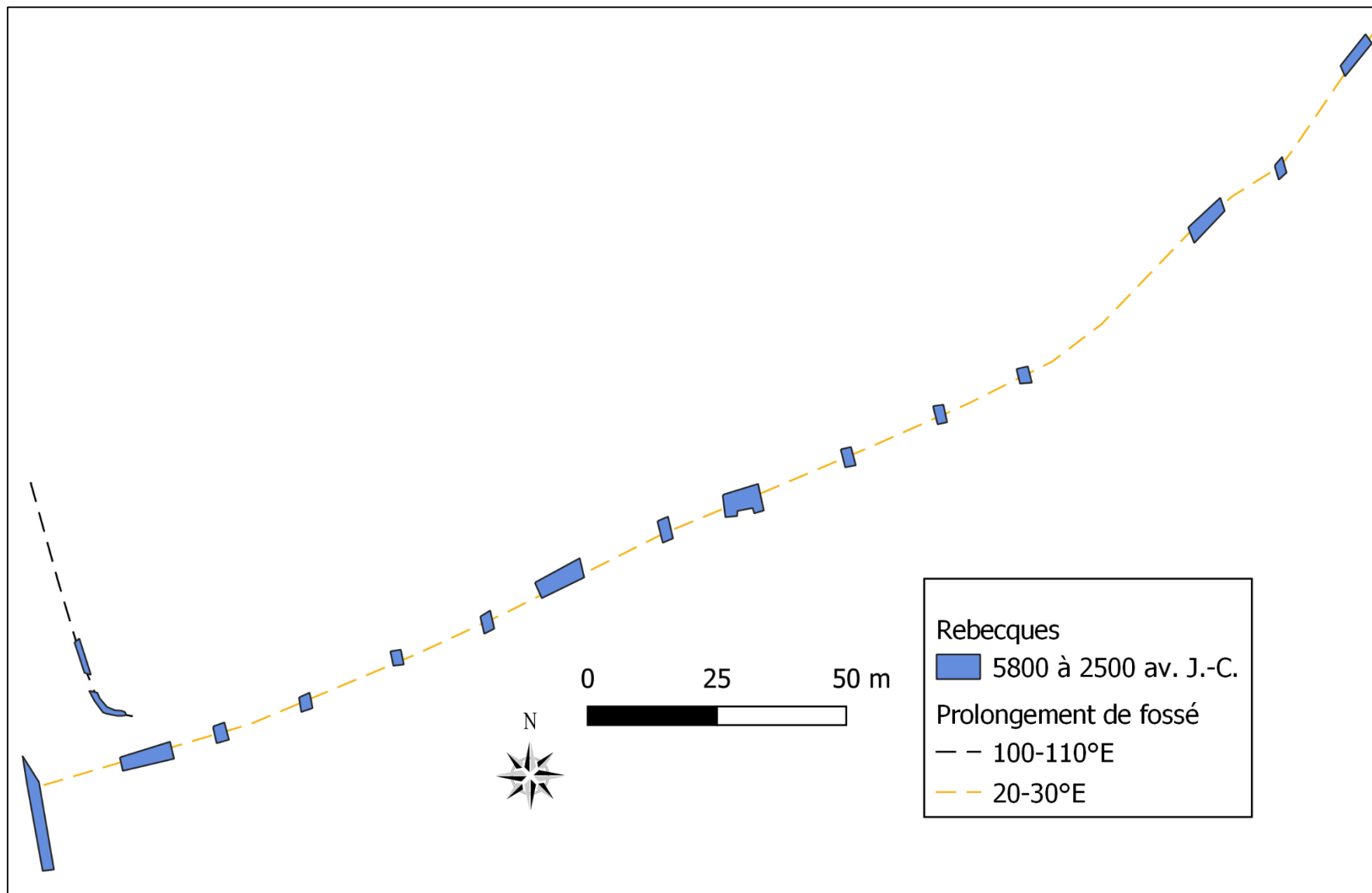


Figure 178. Rebecques - période néolithique.

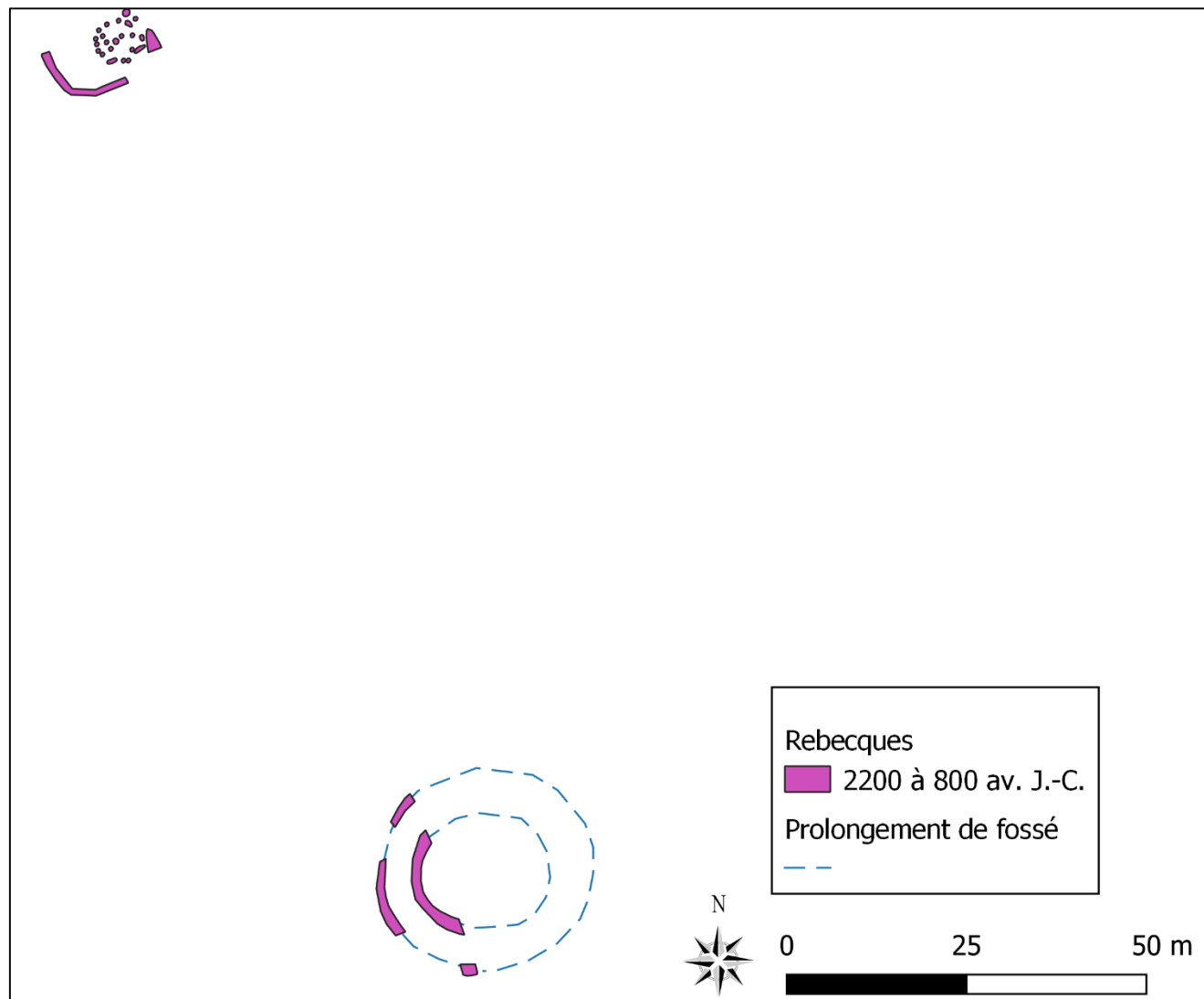


Figure 179. Rebecques - l'Âge du Bronze.

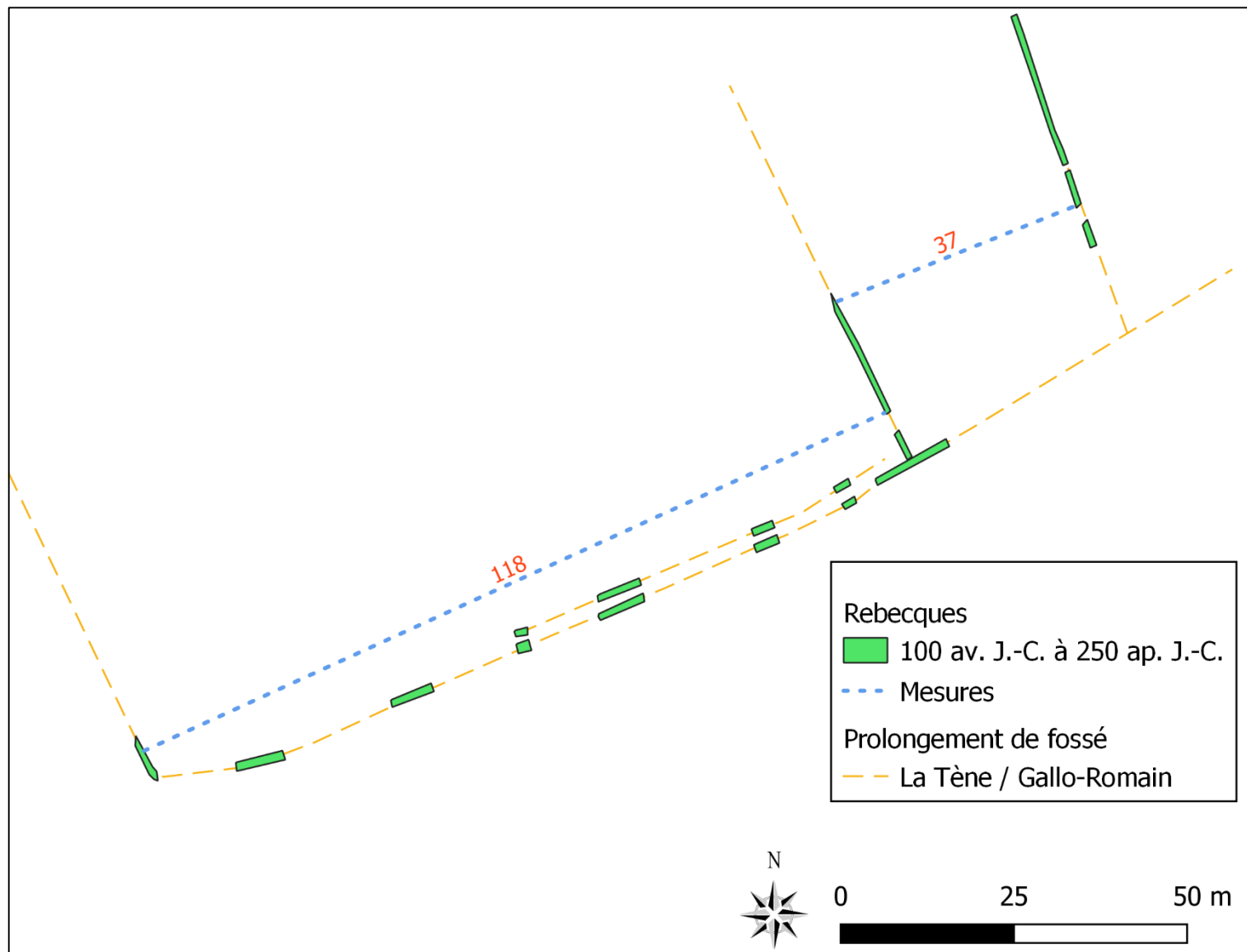


Figure 180. Mesures des distances entre les fossés datés entre La Tène Finale et le Haut-Empire.

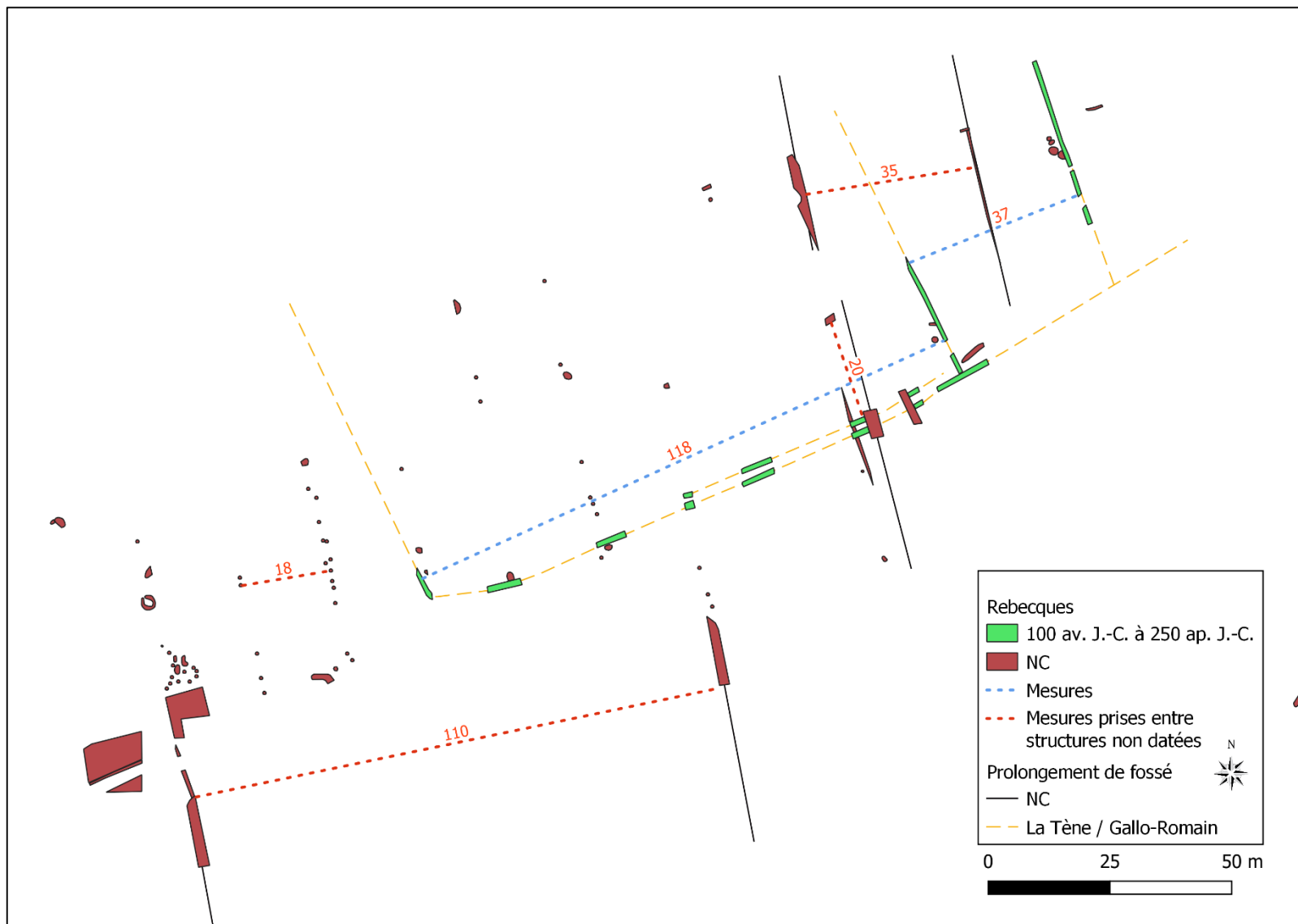


Figure 181. Rebecques - Mesures prises entre les fossés.

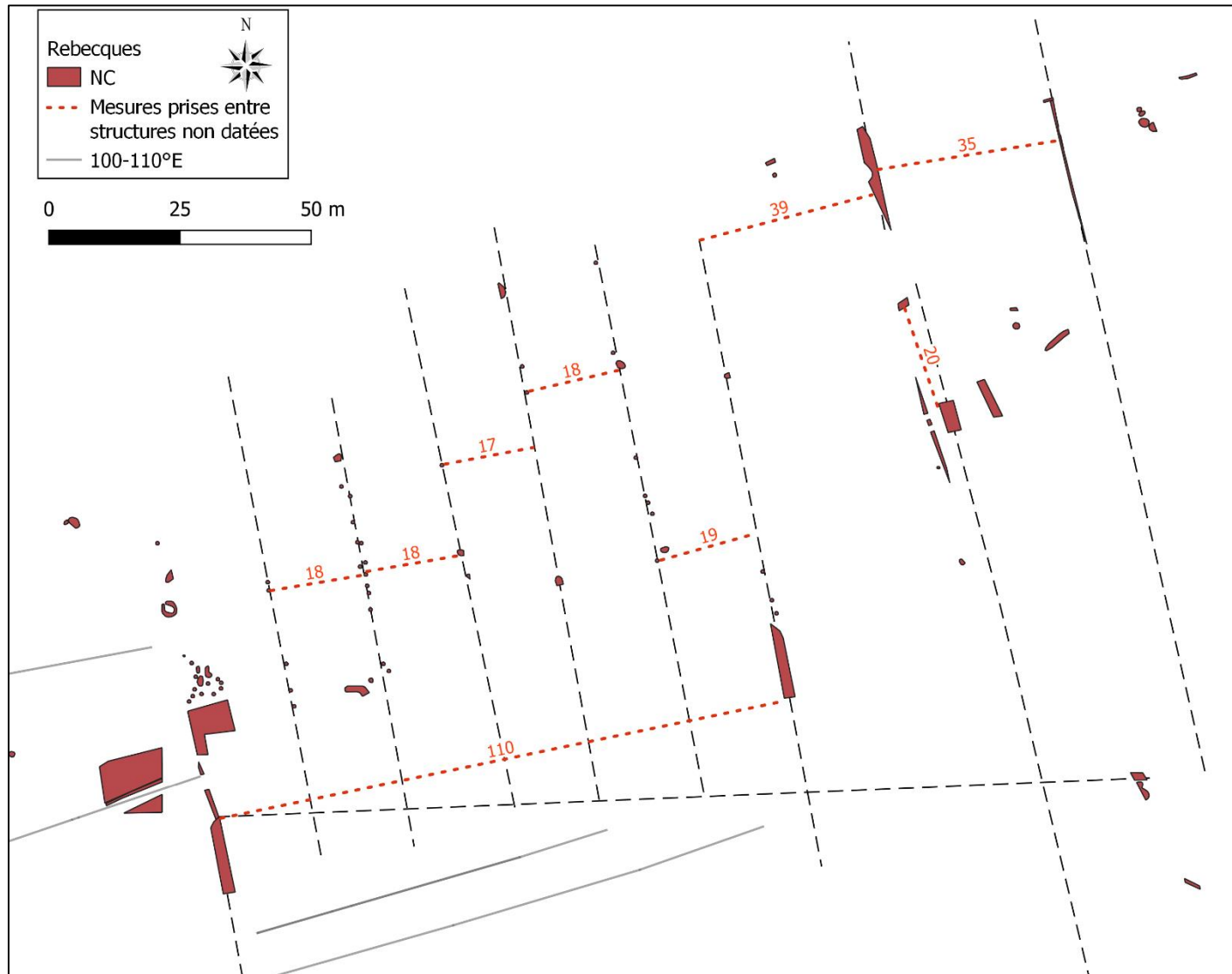
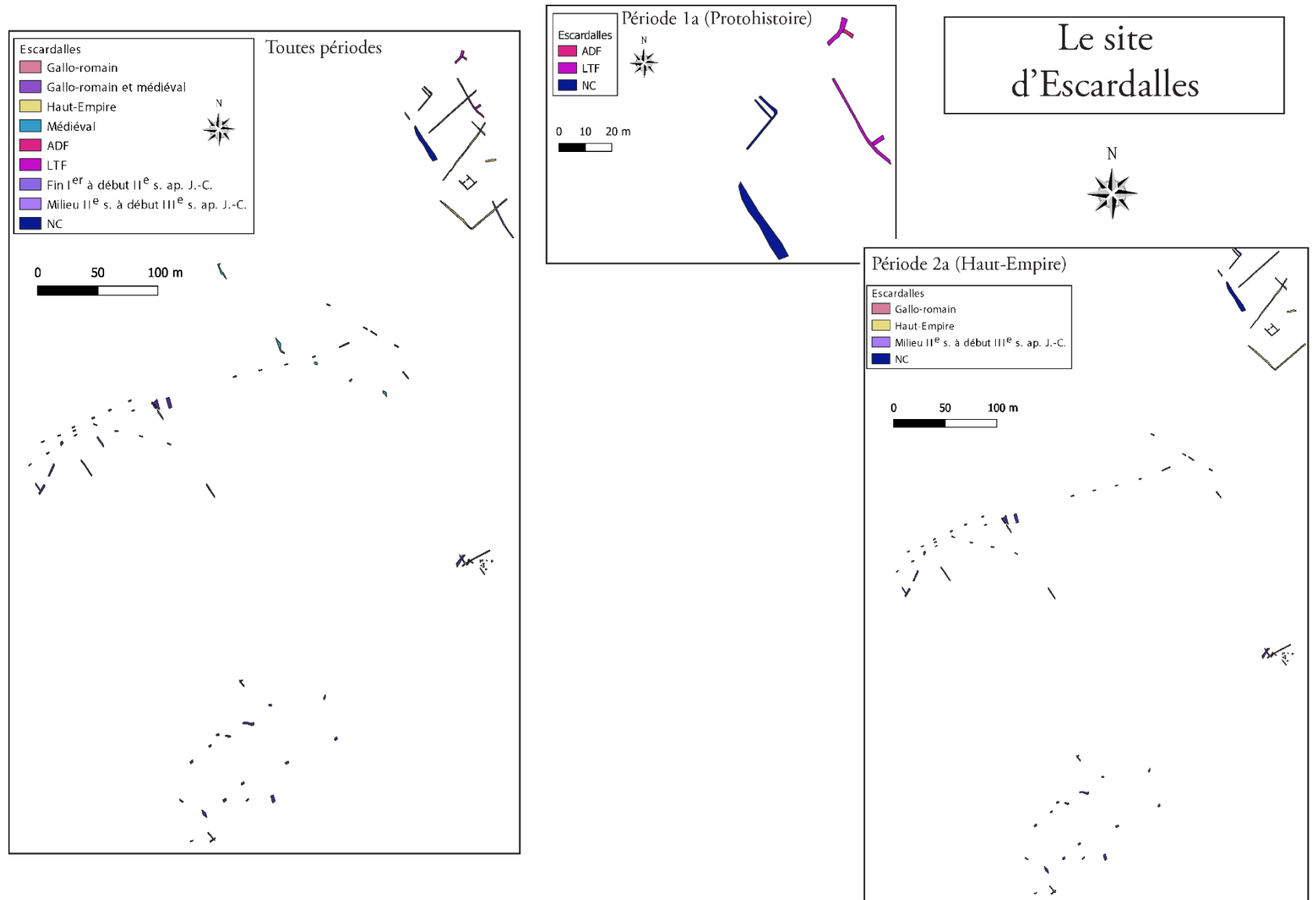


Figure 182. Rebecques – Prolongements des lignes de trous de poteaux et de fossés (en pointillés) dans la trame parcellaire moderne orientée 100-110°E (trait continu noir). Les mesures sont prises entre chaque alignement.

Figure 183. Le phasage du site d'Escardalles.



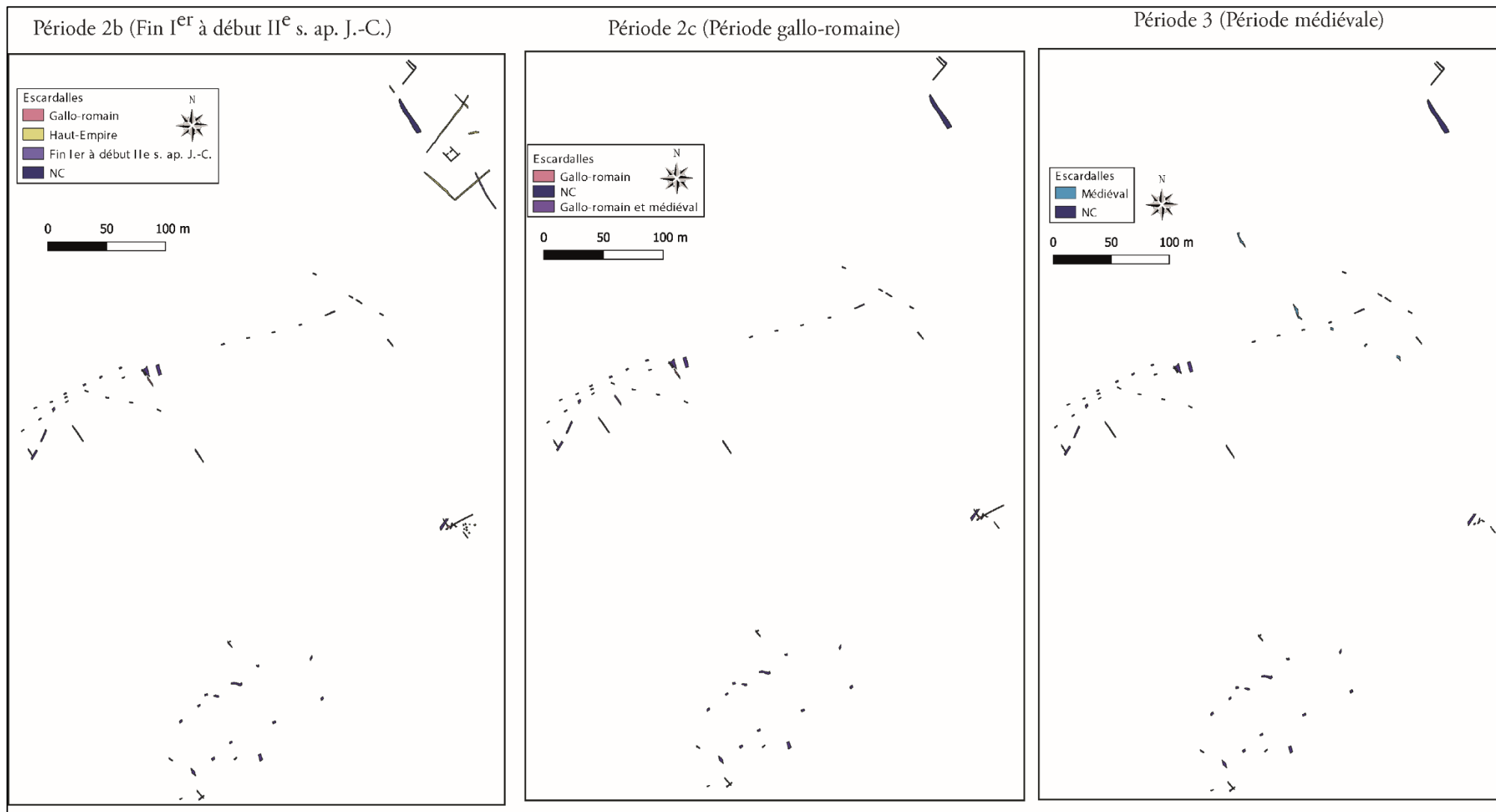


Figure 184. Phasage du site d'Escardalles (suite).

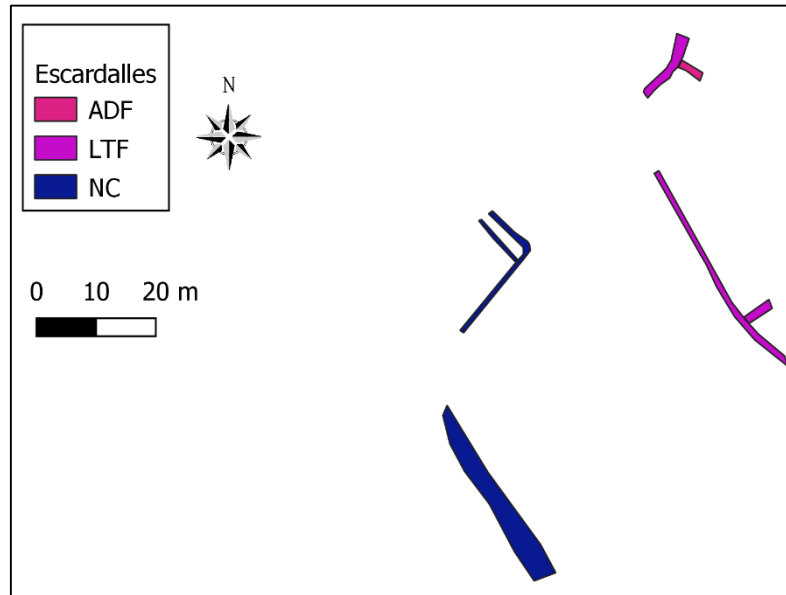


Figure 185. Escardalles – Le système fossoyé de l'Âge du Fer.

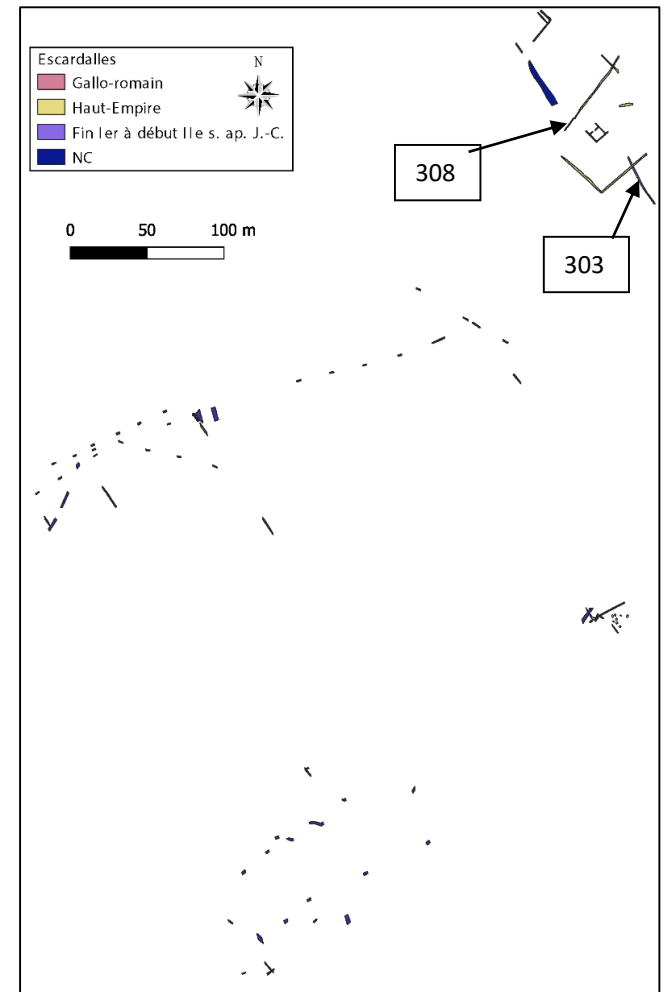


Figure 186. Escardalles droite - Le Haut-Empire.

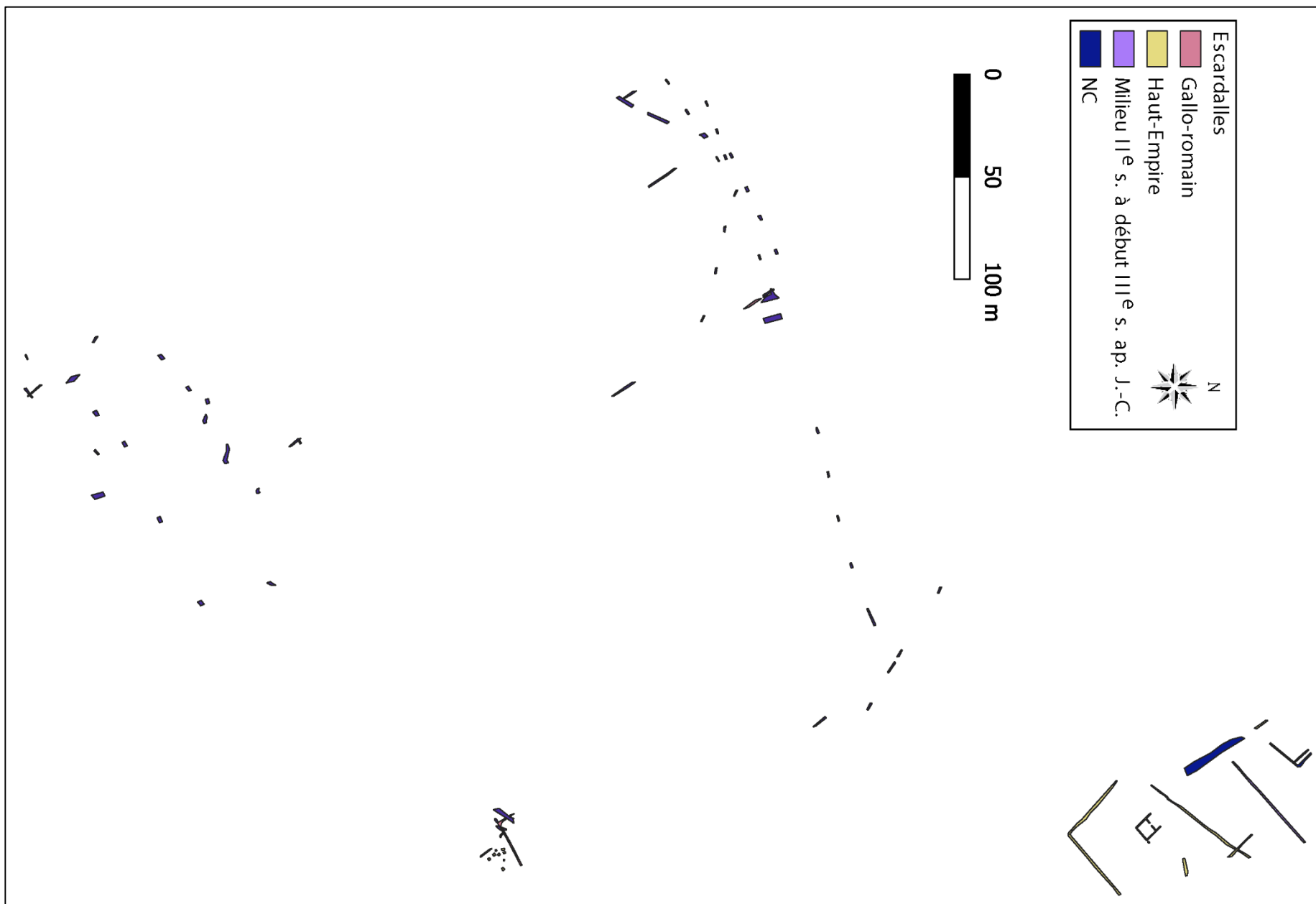


Figure 187. Milieu du II^e siècle / Début du III^e siècle ap. J.-C.

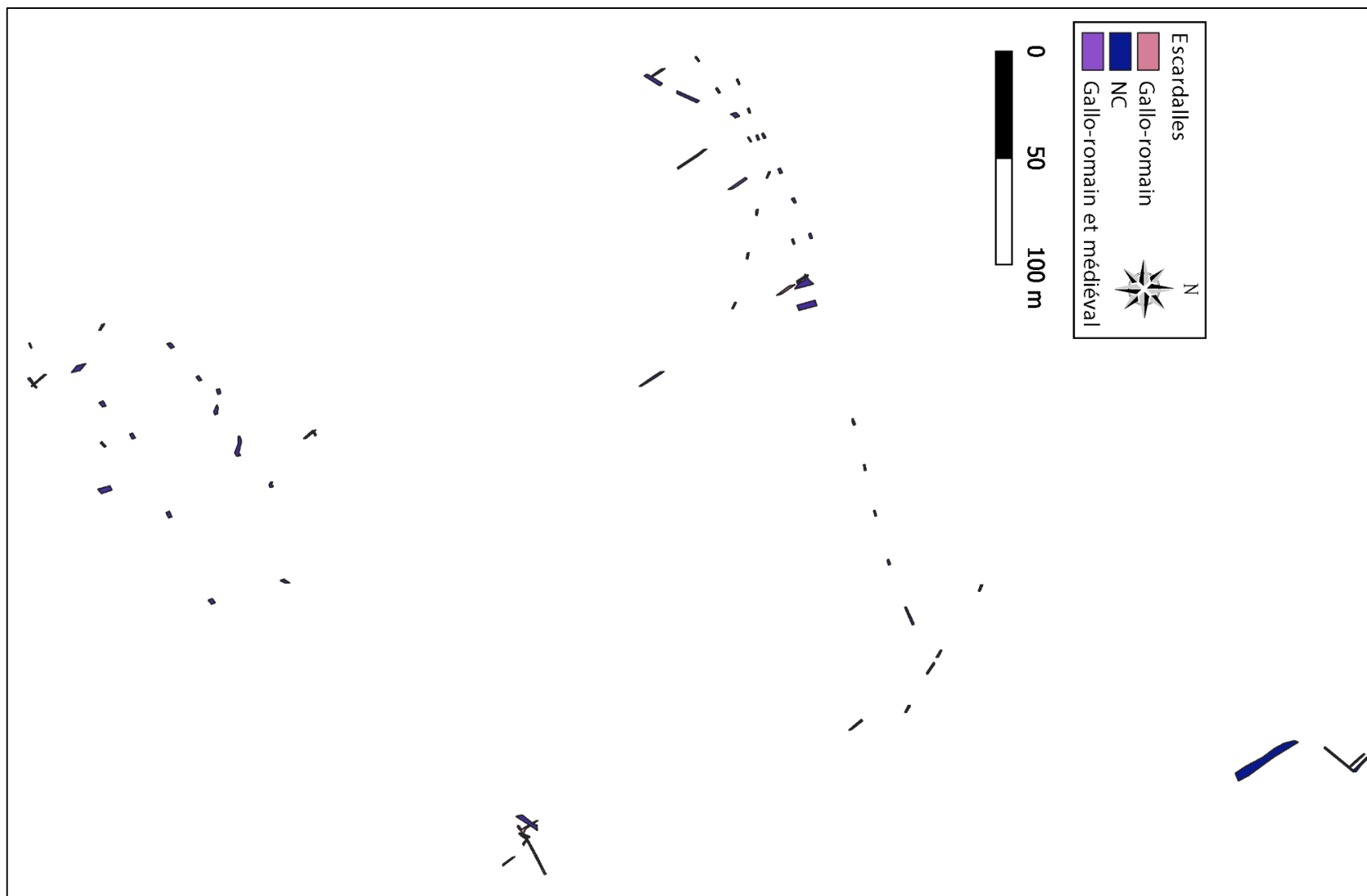


Figure 188. Escardalles - Période gallo-romaine.

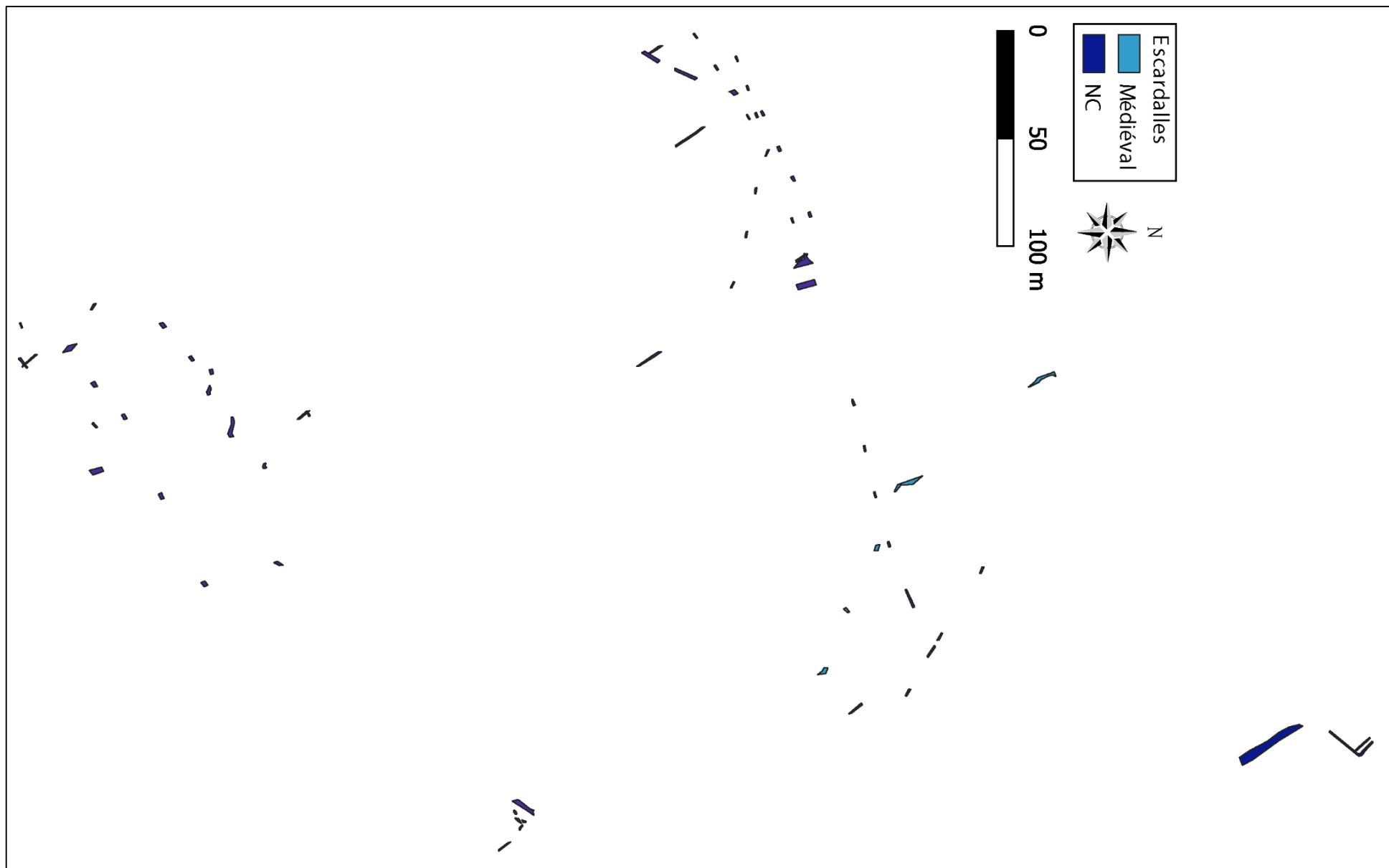


Figure 189. Escardalles - Période médiévale.

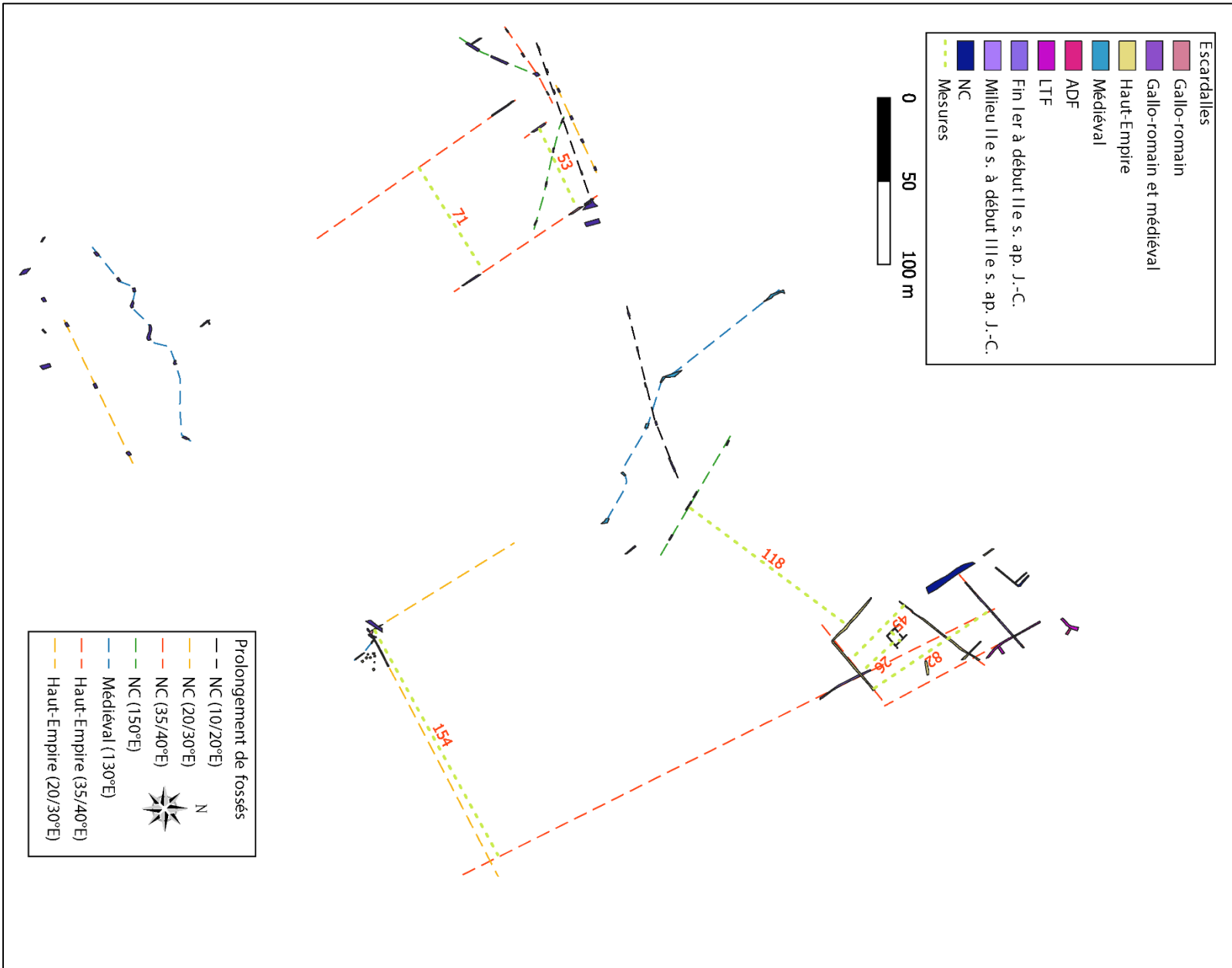


Figure 190. Escardalles - Mesures des distances entre les fossés.

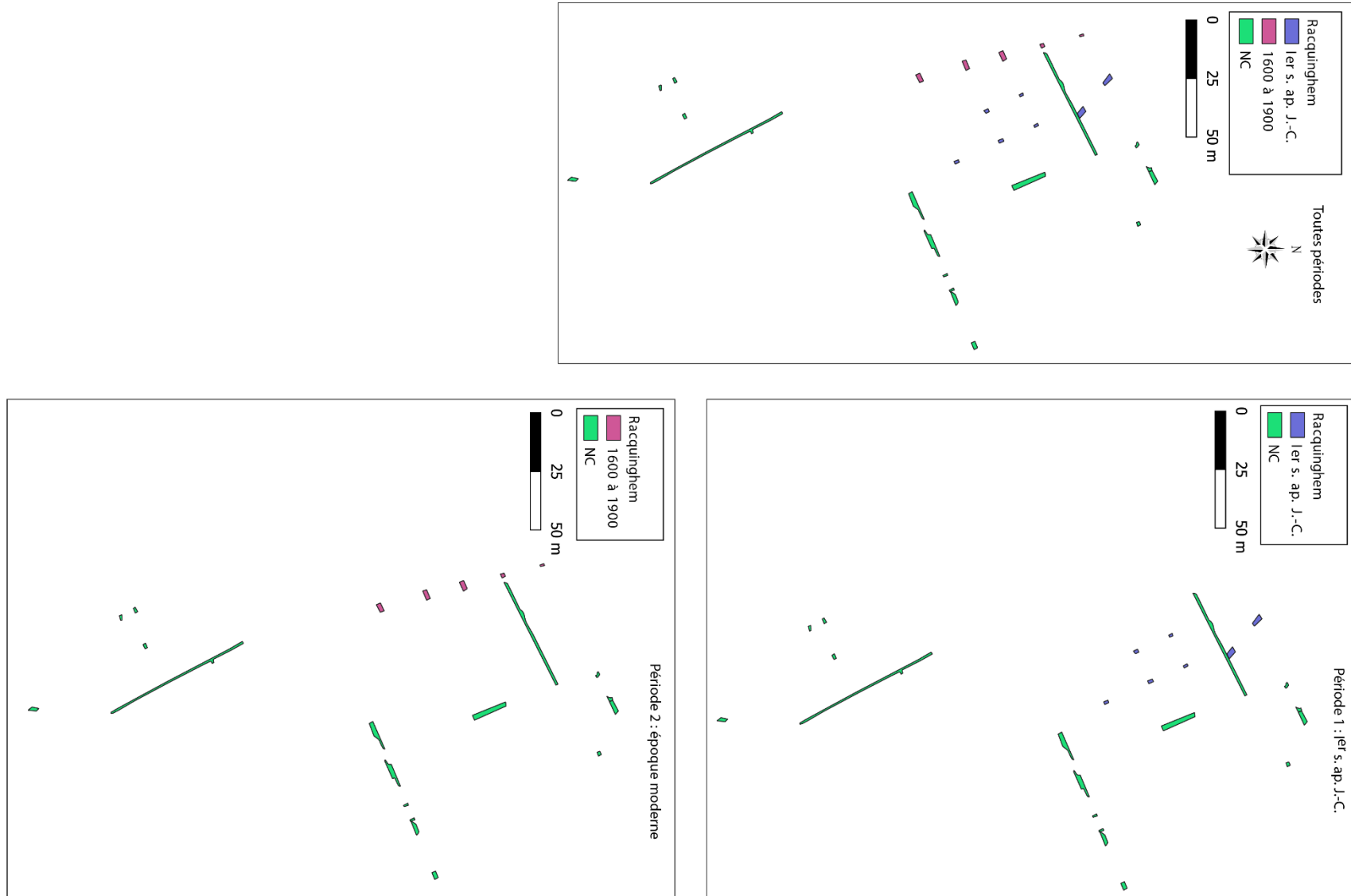


Figure 191. Phasage du site de Racquinghem.

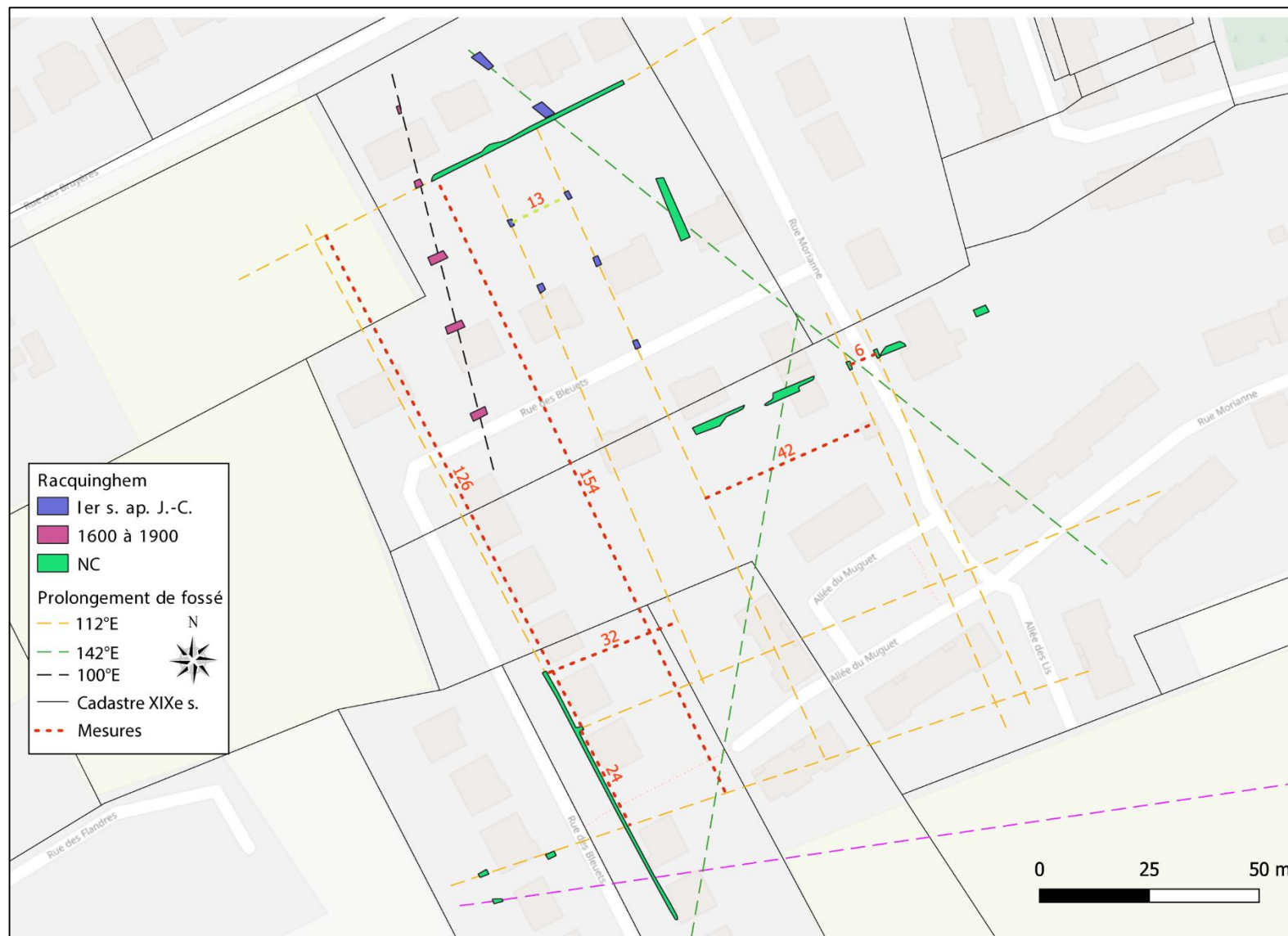
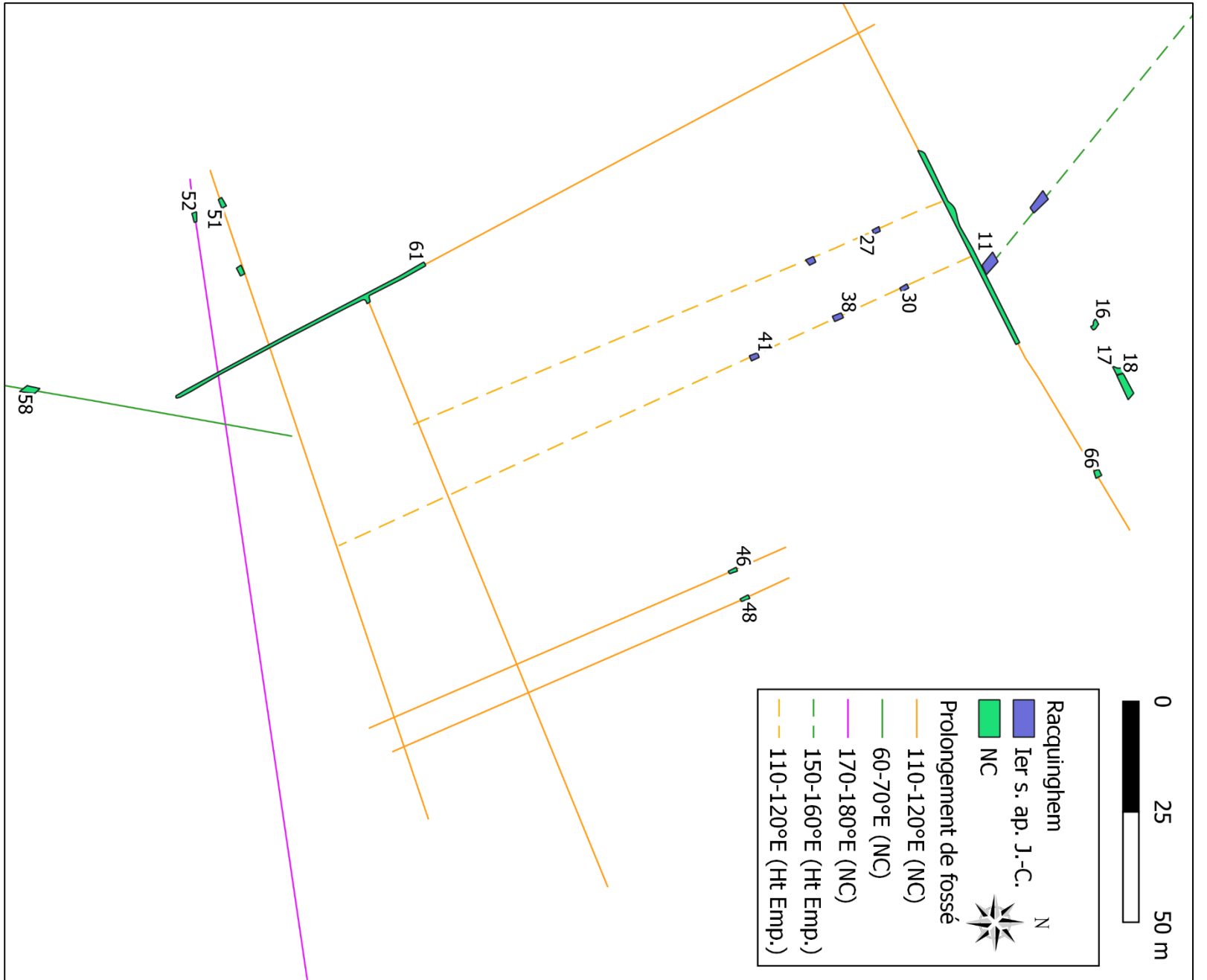


Figure 192. Racquinghem - Rue Marianne.

Figure 193. Racquinghem -
Prolongements des fossés datés du Haut-
Empire et non datés.



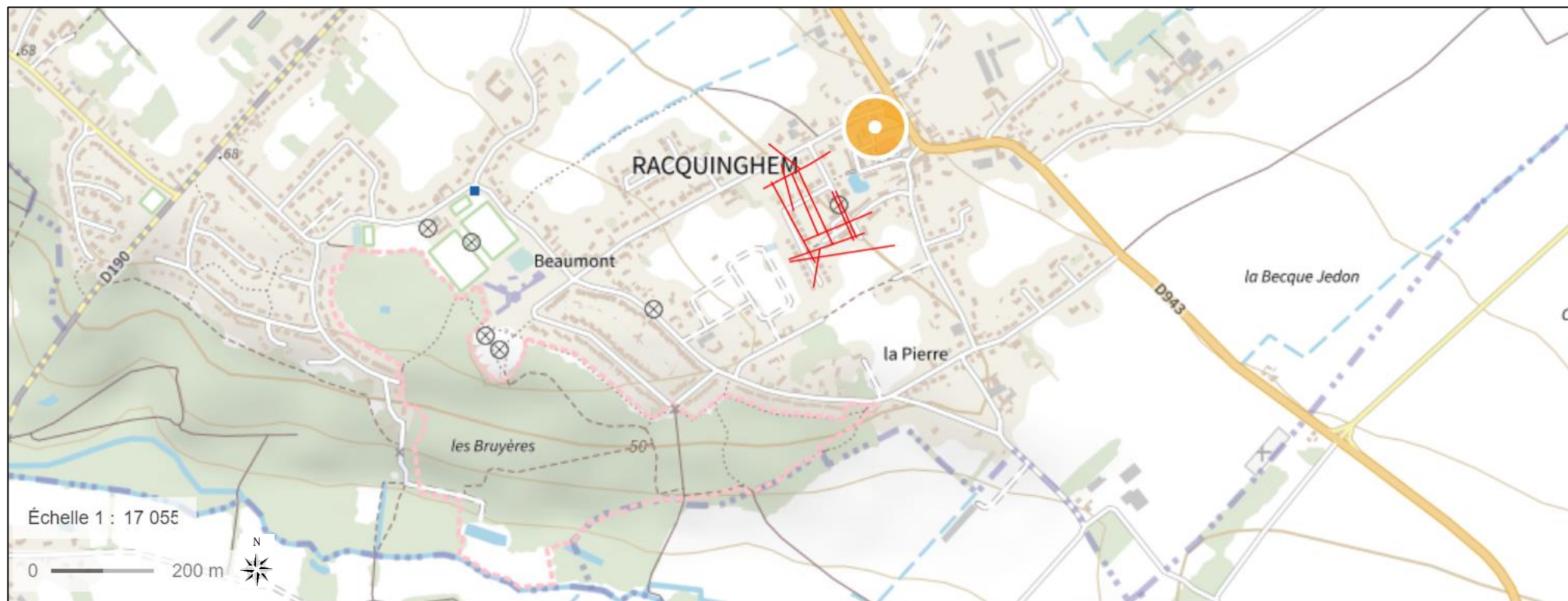


Figure 194. La D943 longeant le site de Racquinghem (fond de carte Géoportail).

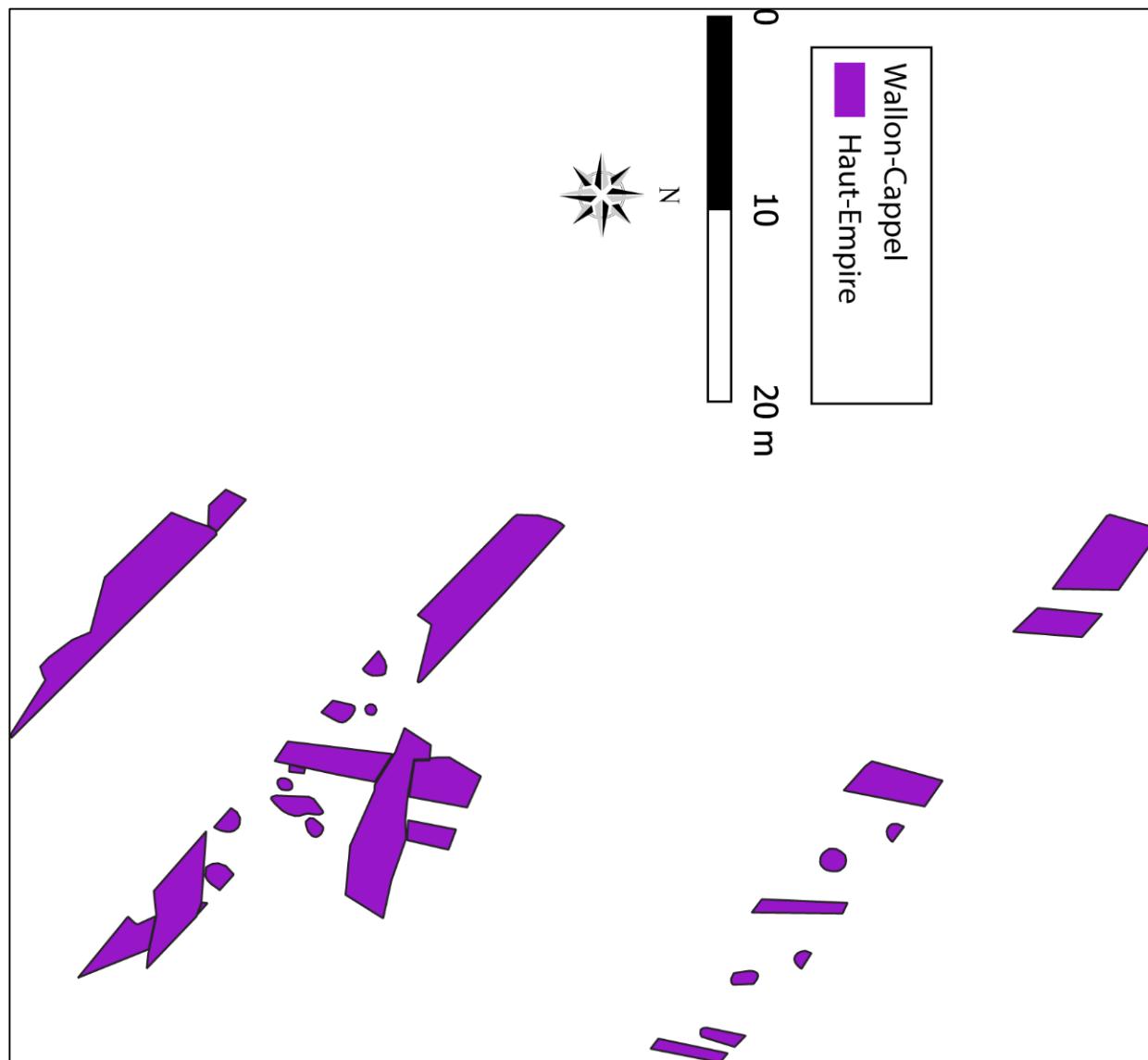
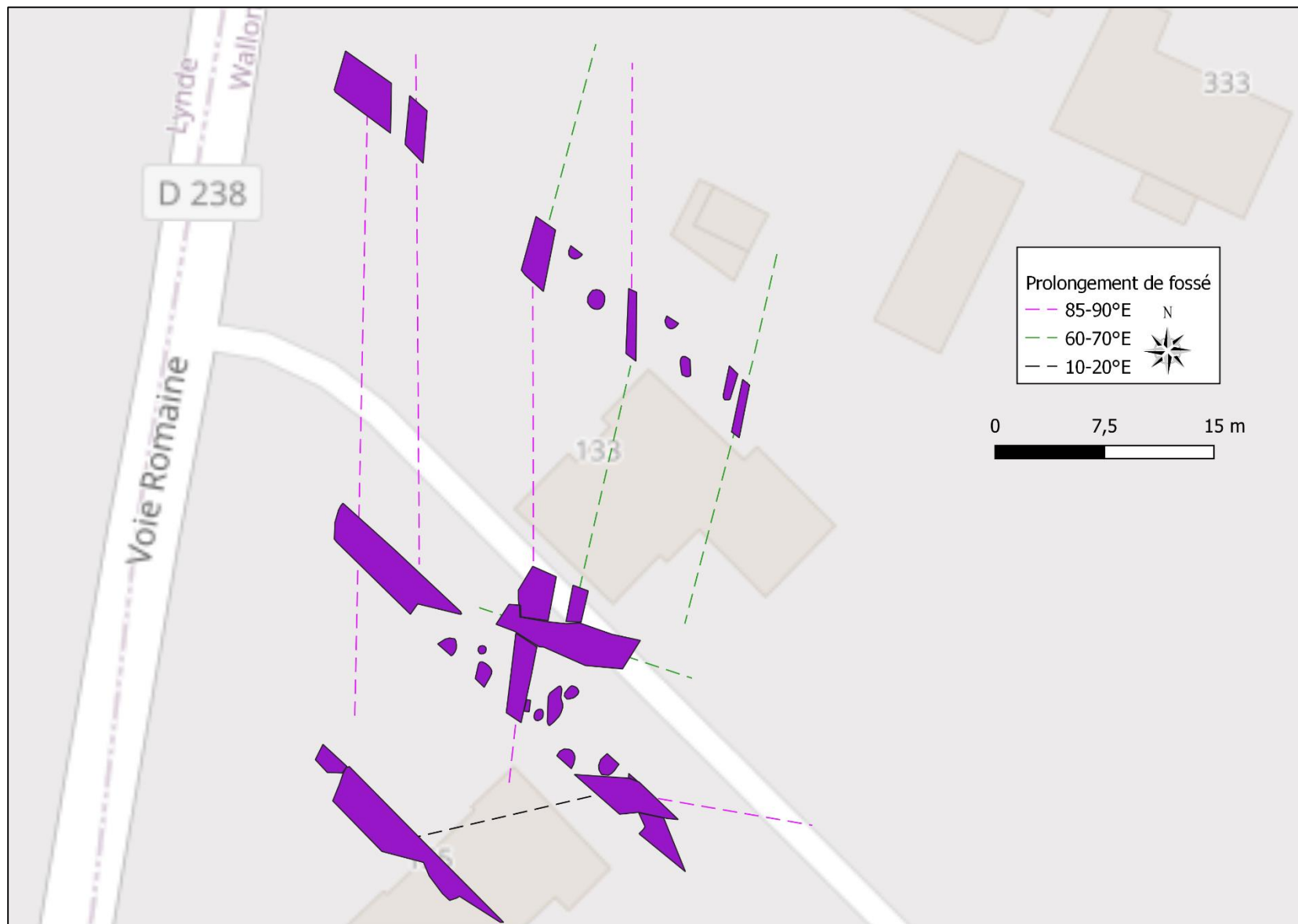


Figure 195. Phasage du site de Wallon-Cappel.

Figure 196. Wallon-Cappel - "Voie Romaine" indiquée par les cartes (ici OpenStreet Map) et la voie romaine dégagée lors du diagnostic à une dizaine de mètres.



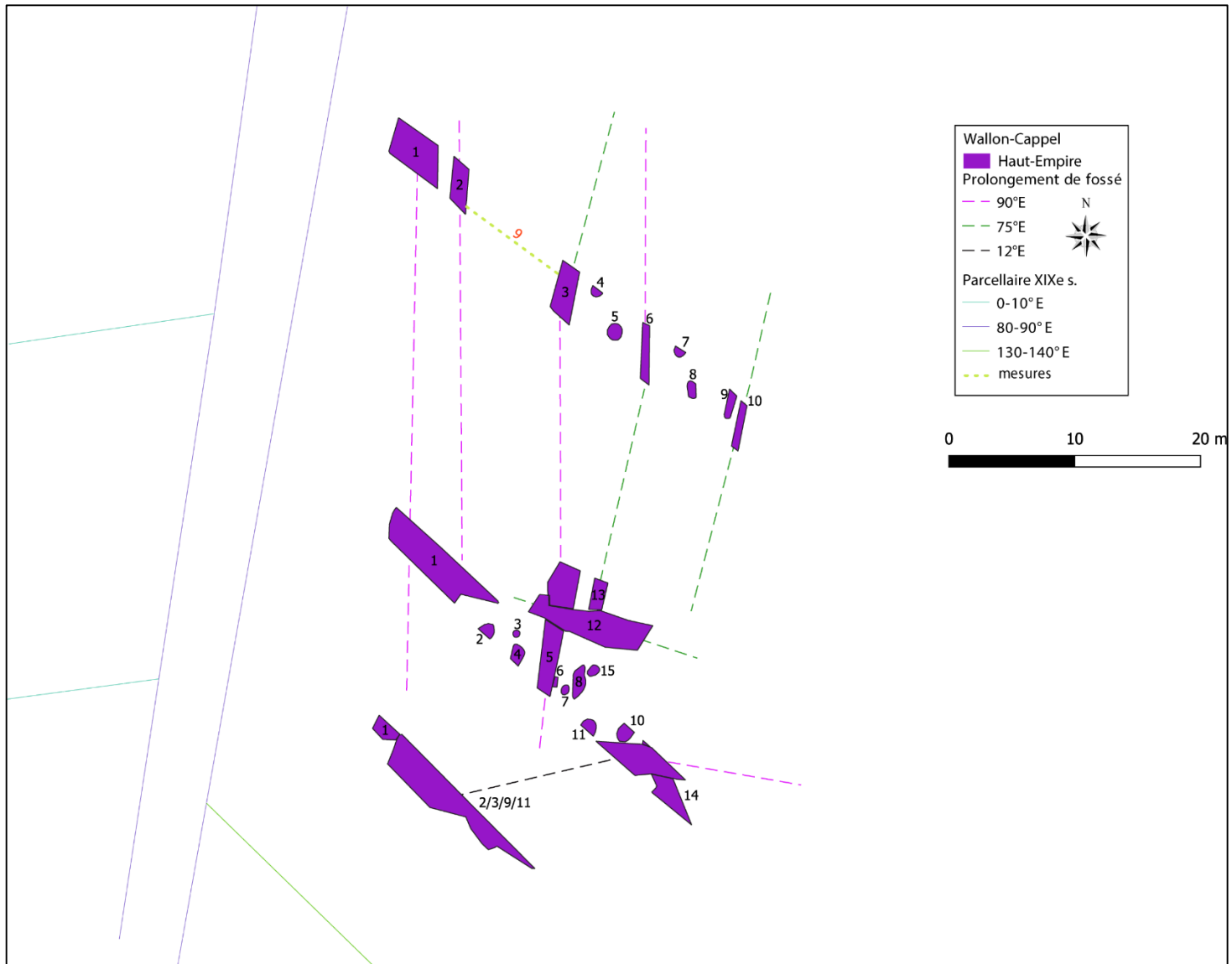


Figure 197. Wallon-Cappel - Prolongements de fossés et numéros de structures associées.



Figure 198. Contexte géographique de Bavincove.

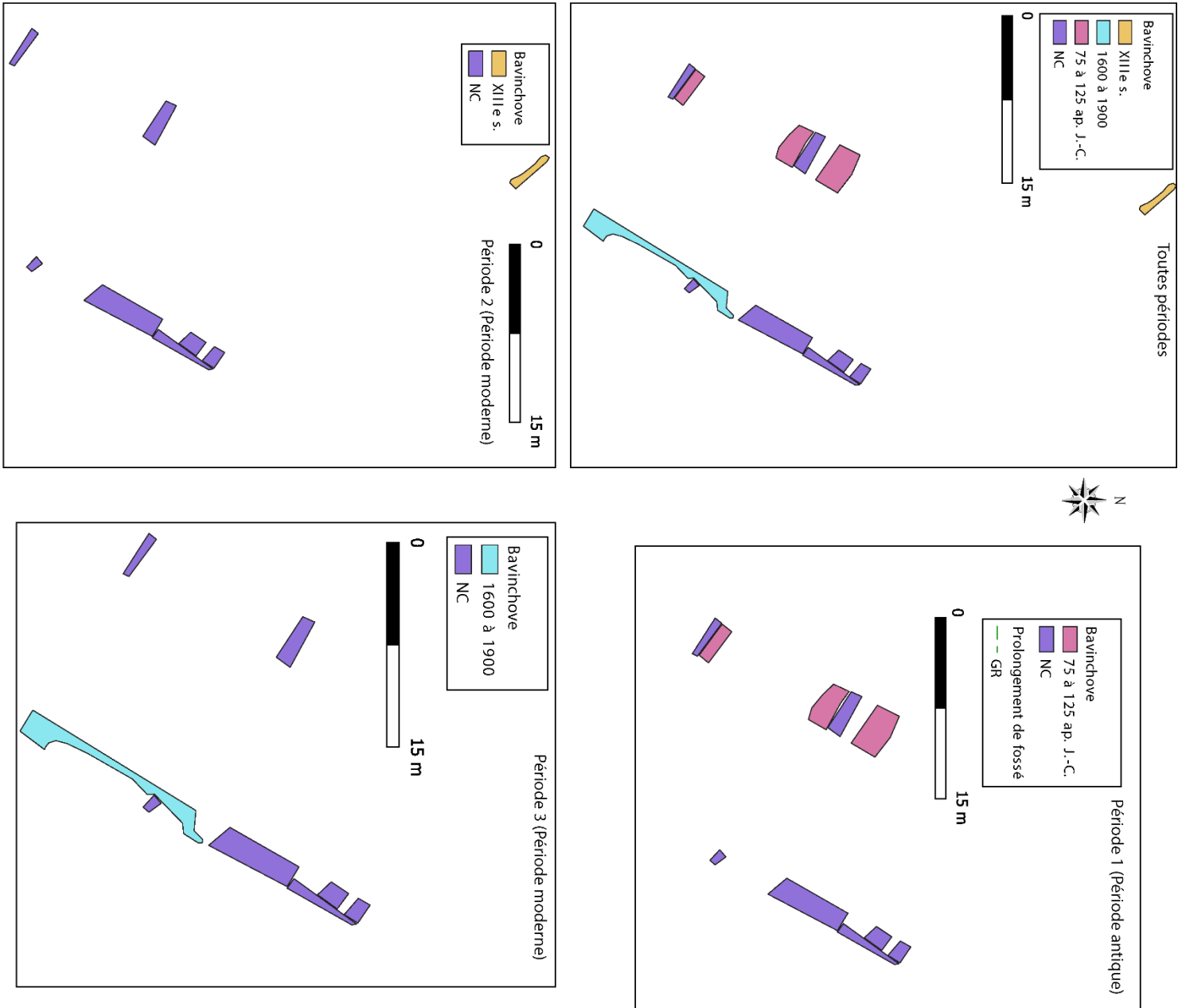


Figure 199. Phasage du site de Bavinchove.

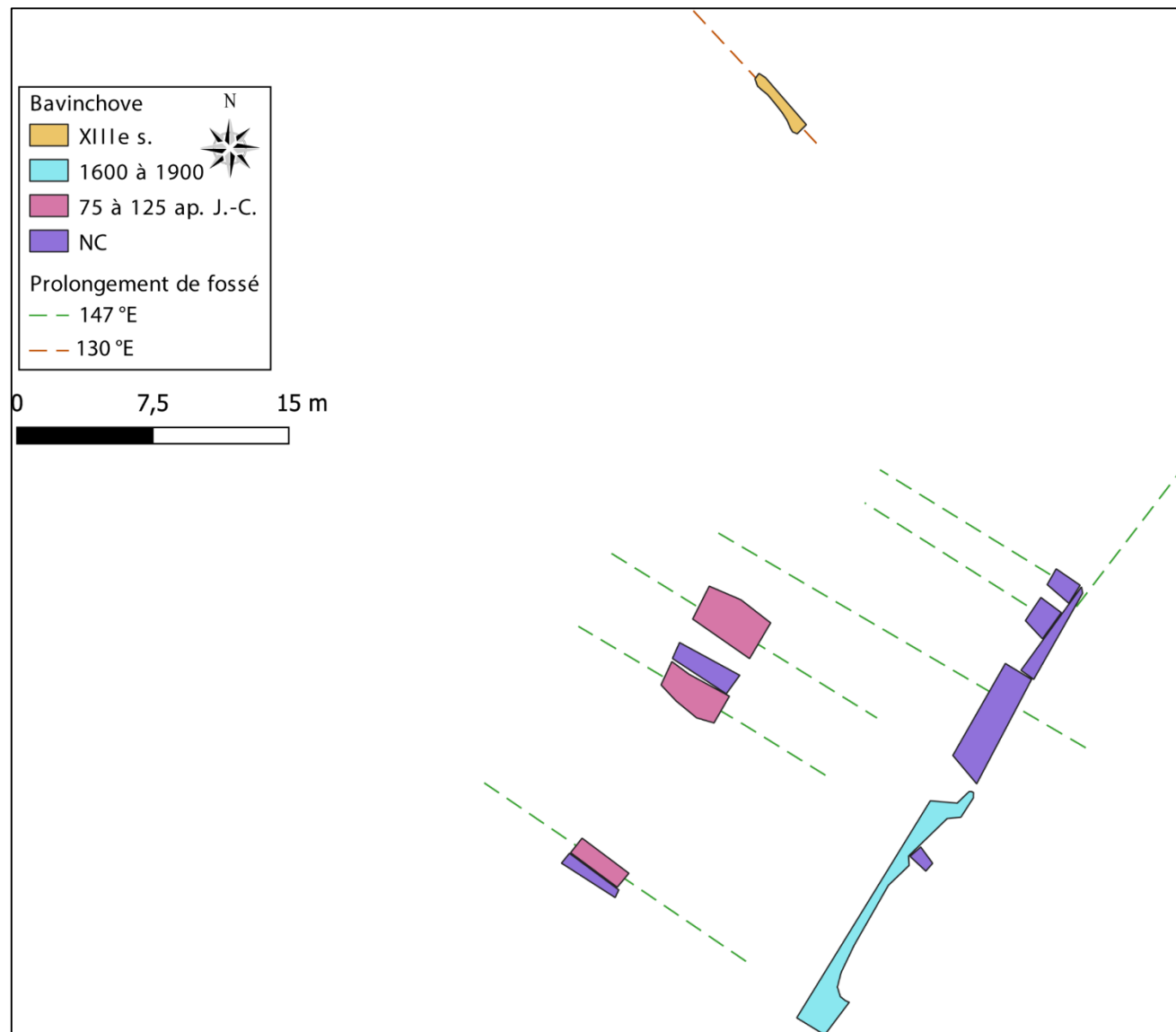


Figure 200. Bavinchove - Prolongements de fossés.

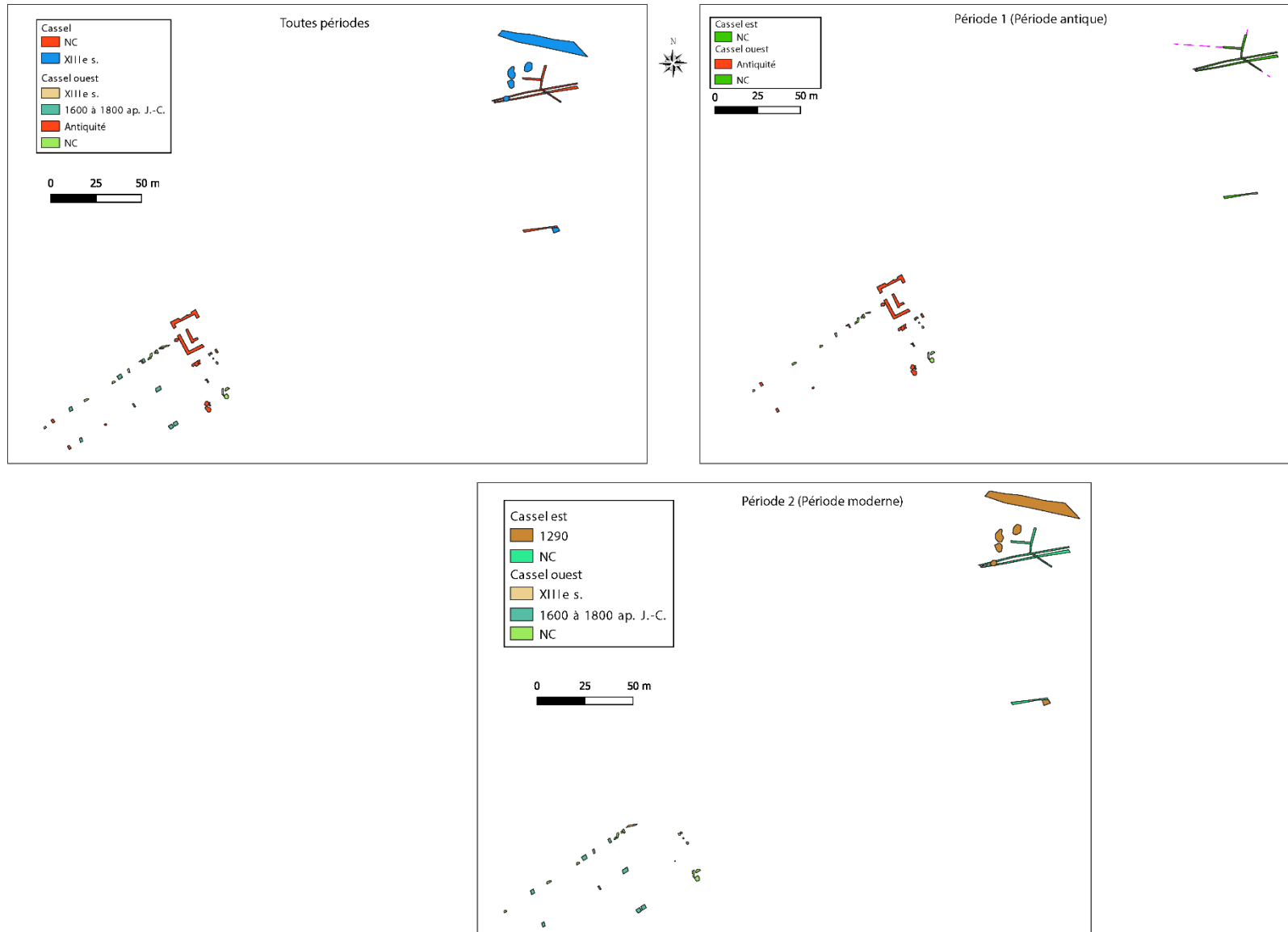


Figure 201. Phasage du site de Cassel.

Figure 202. Cassel ouest -
Prolongements des fossés situés le long
de la route d'Oxelaère.

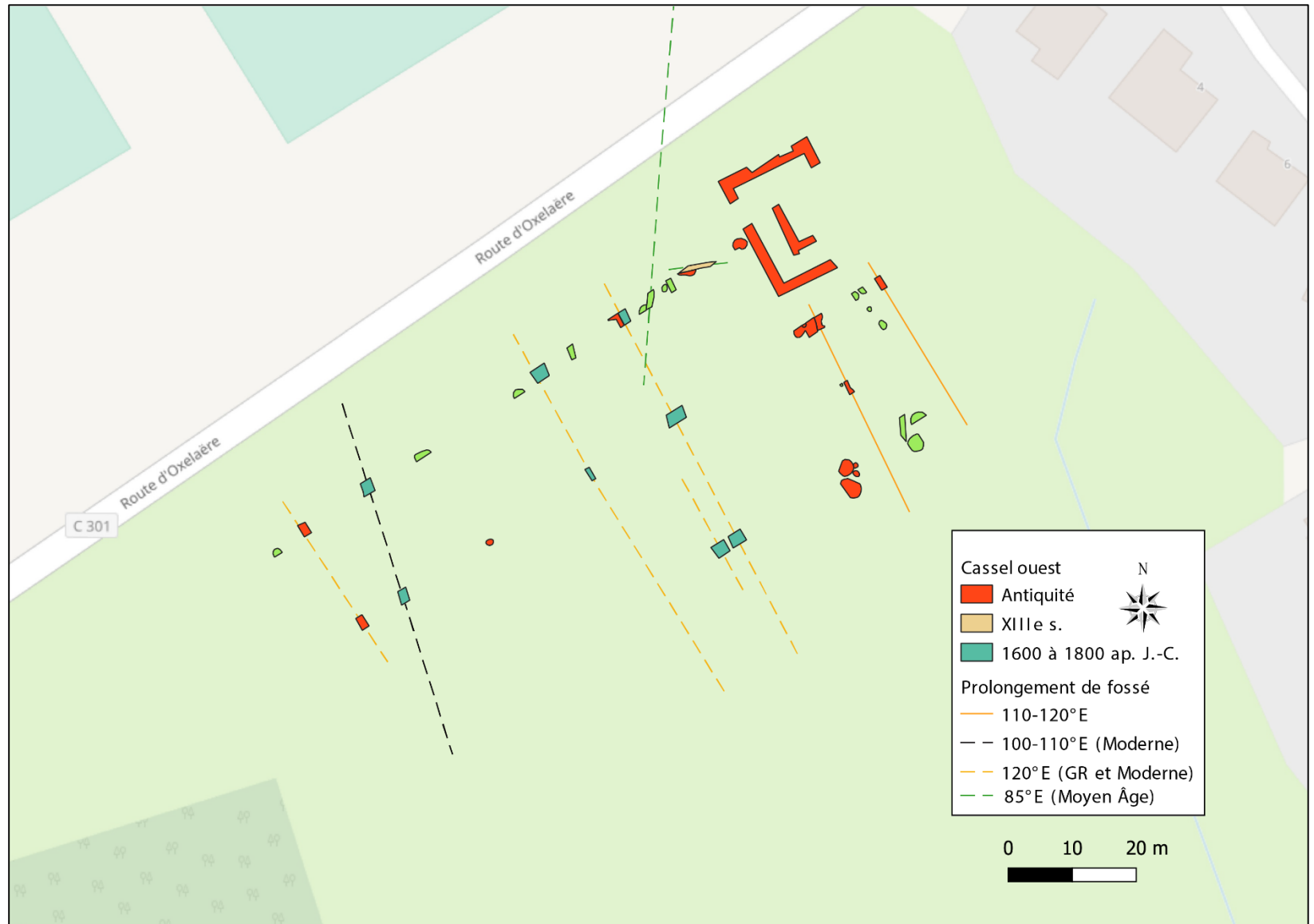




Figure 203. Cassel est - Prolongements des fossés.

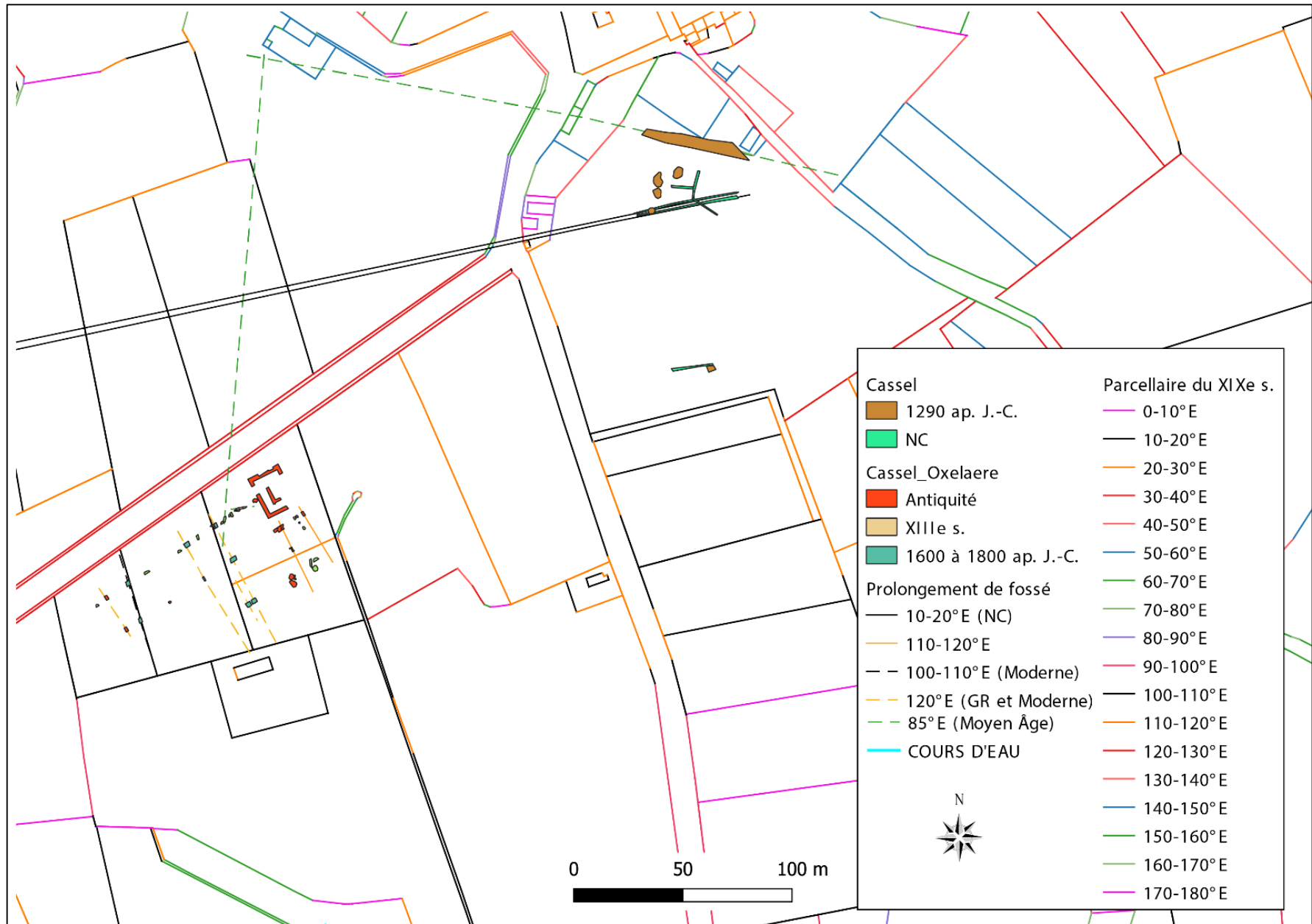


Figure 204. Cassel - Les sites intégrés au cadastre napoléonien.

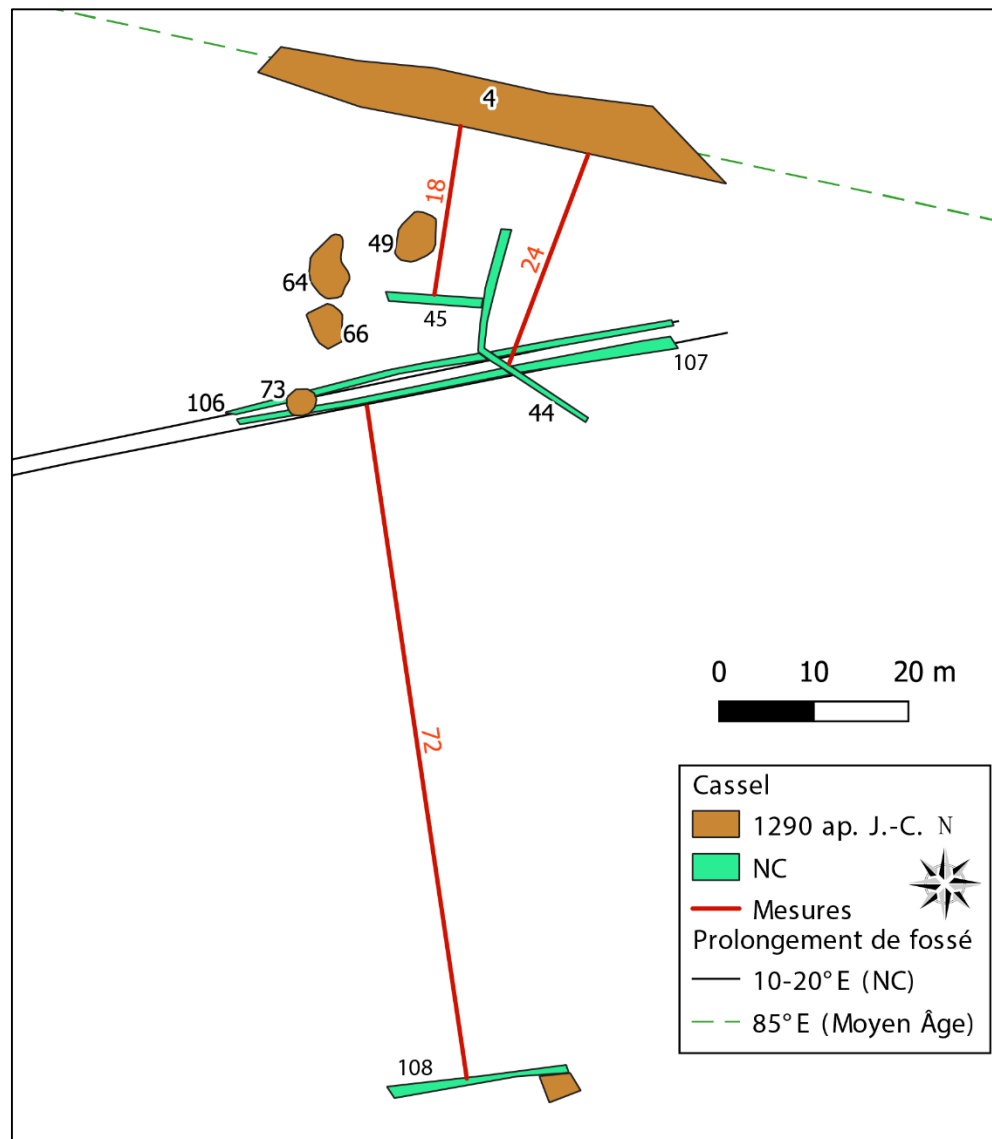
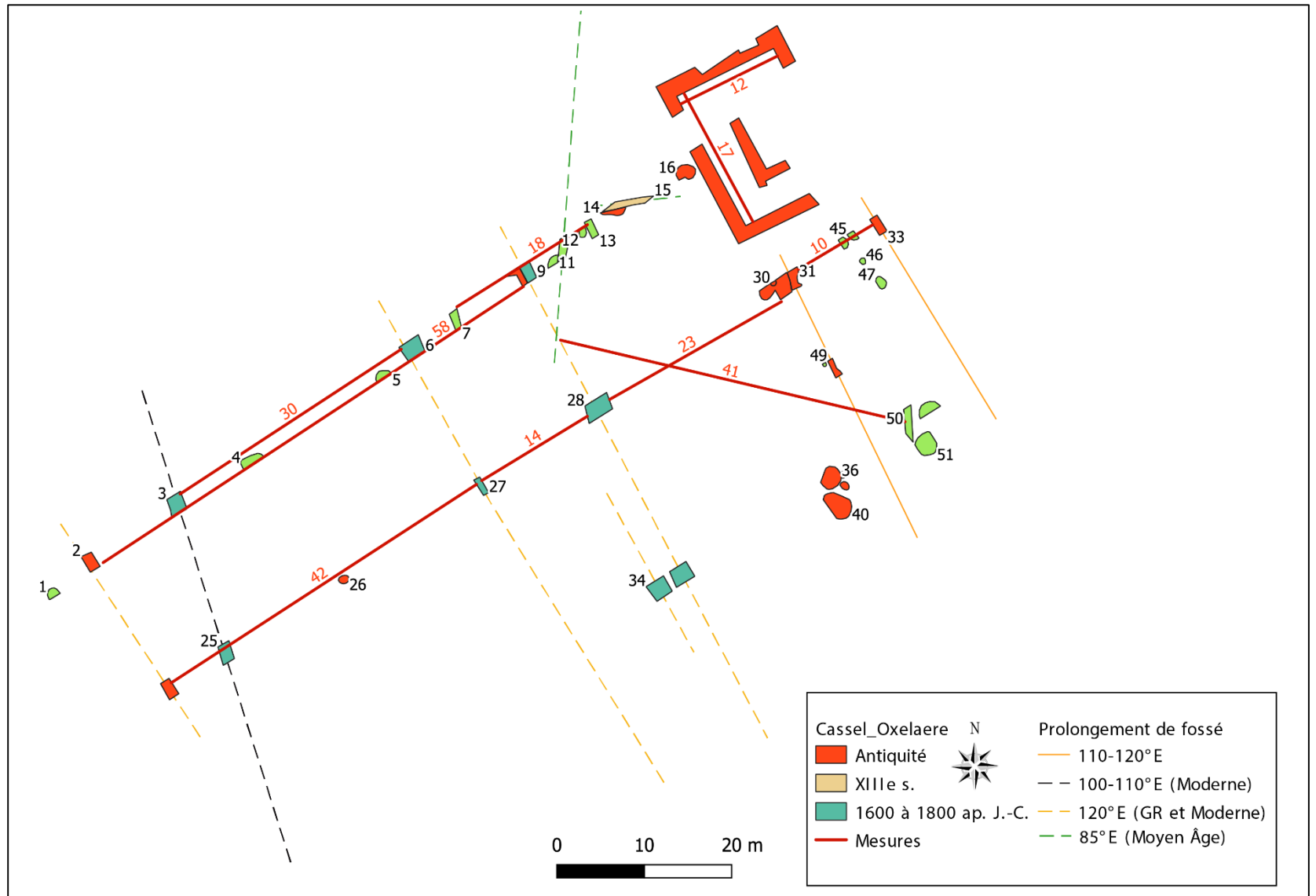


Figure 205. Cassel est - Numéros des structures et mesures prises entre les fossés.

Figure 206. Cassel ouest - Numéros de structures et mesures prises entre les fossés.



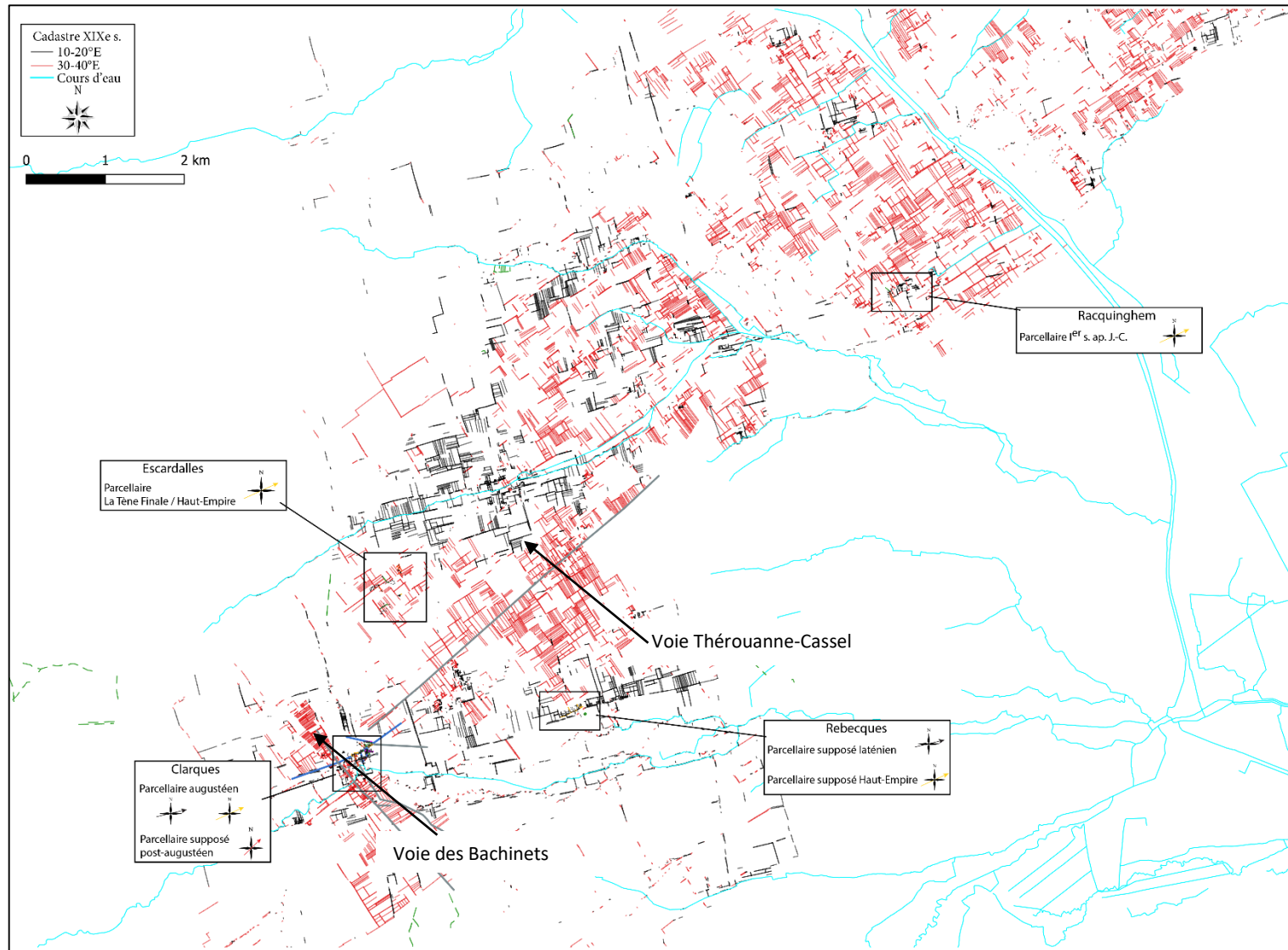
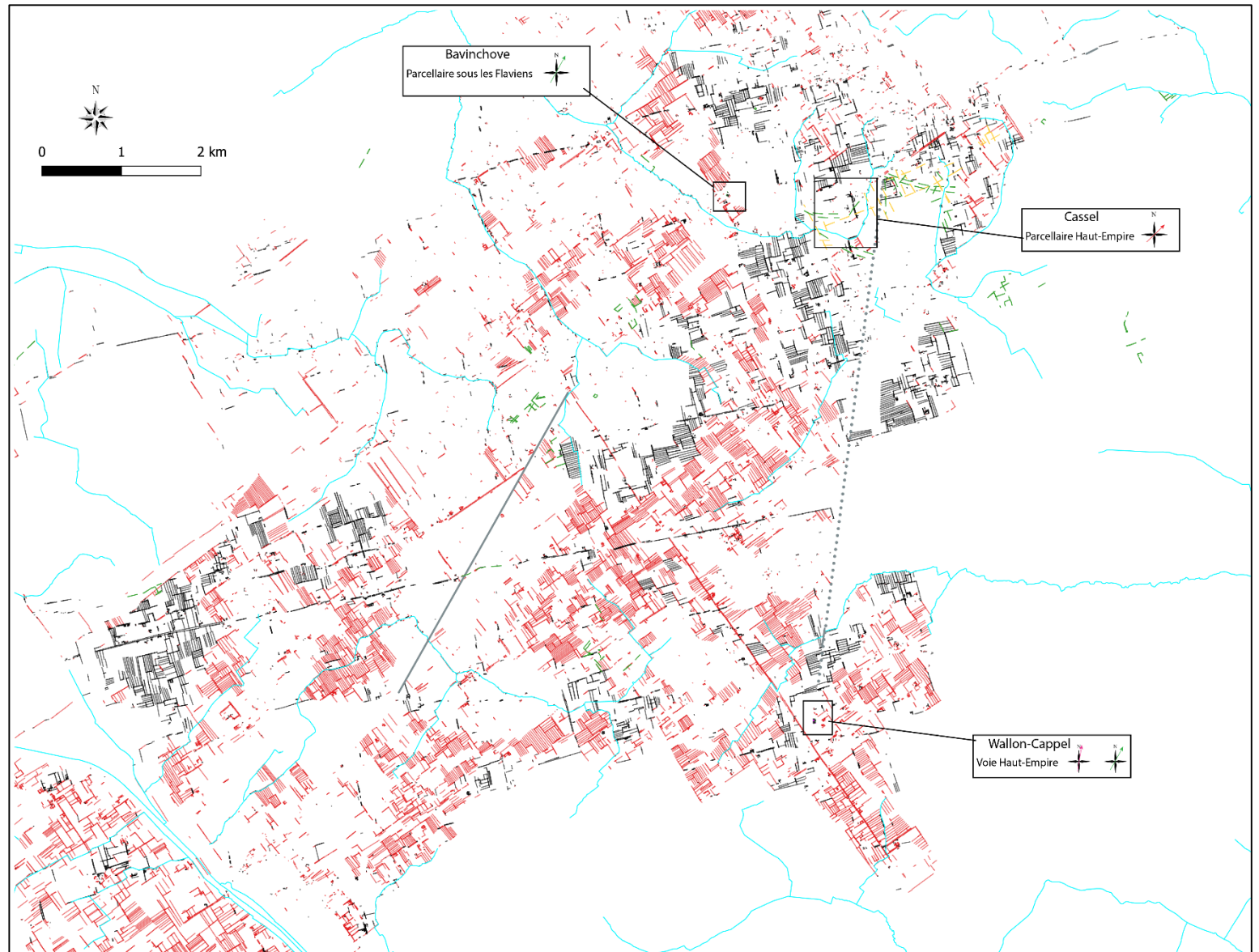


Figure 207. Isolement des segments parcellaires selon l'orientation des structures supposées de la fin de l'Âge du Fer (en noir) associées à la direction dominante (Rouge) (zone ouest).

Figure 208. Isolement des segments parcelaires selon l'orientation des structures supposées de la fin de l'Âge du Fer (en noir) associées à la direction dominante (Rouge). (Zone est)



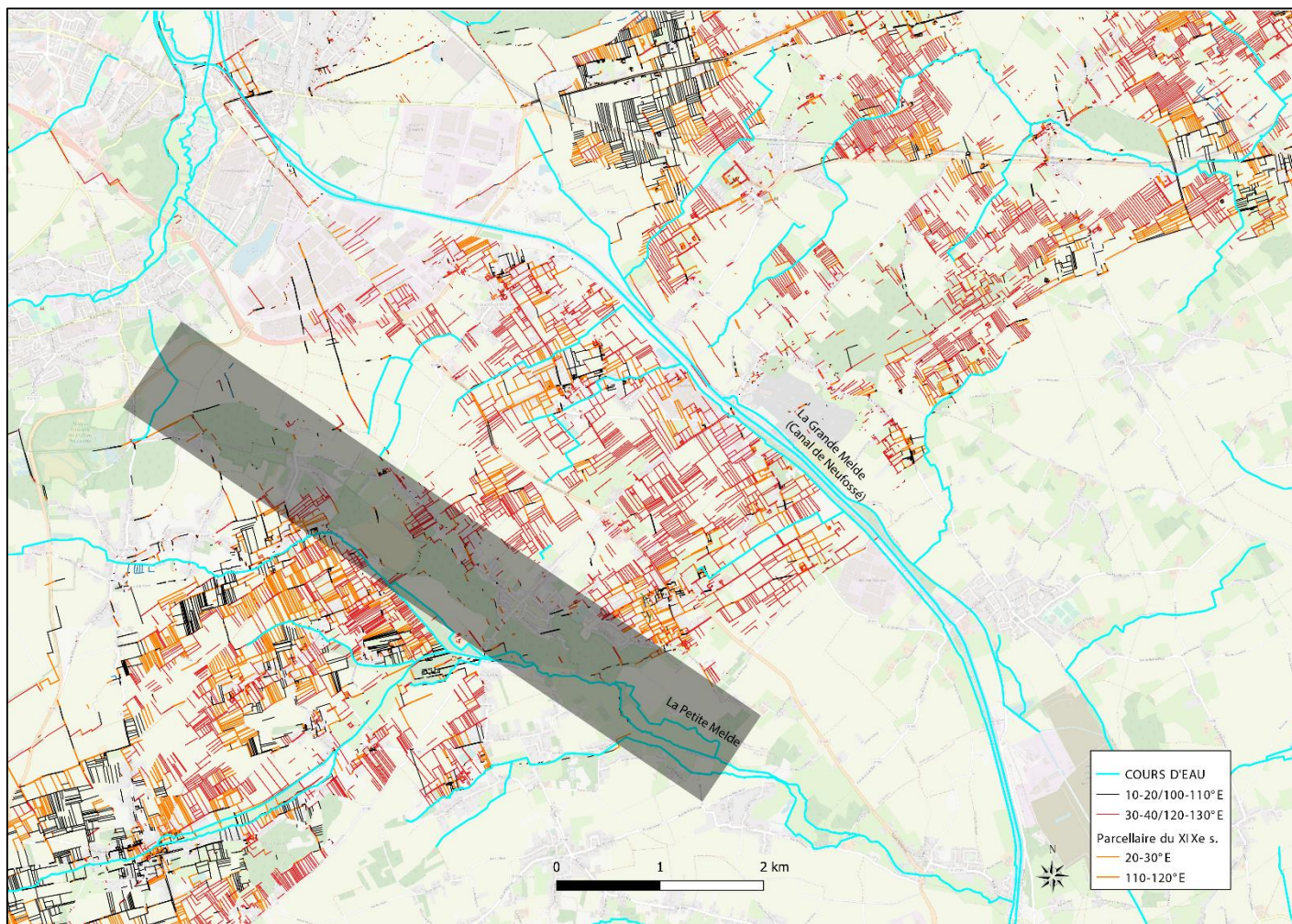


Figure 209. Limite entre territoires morin et ménapien. La zone grisée représente la zone supposée de limite le long de la Petite Melde.

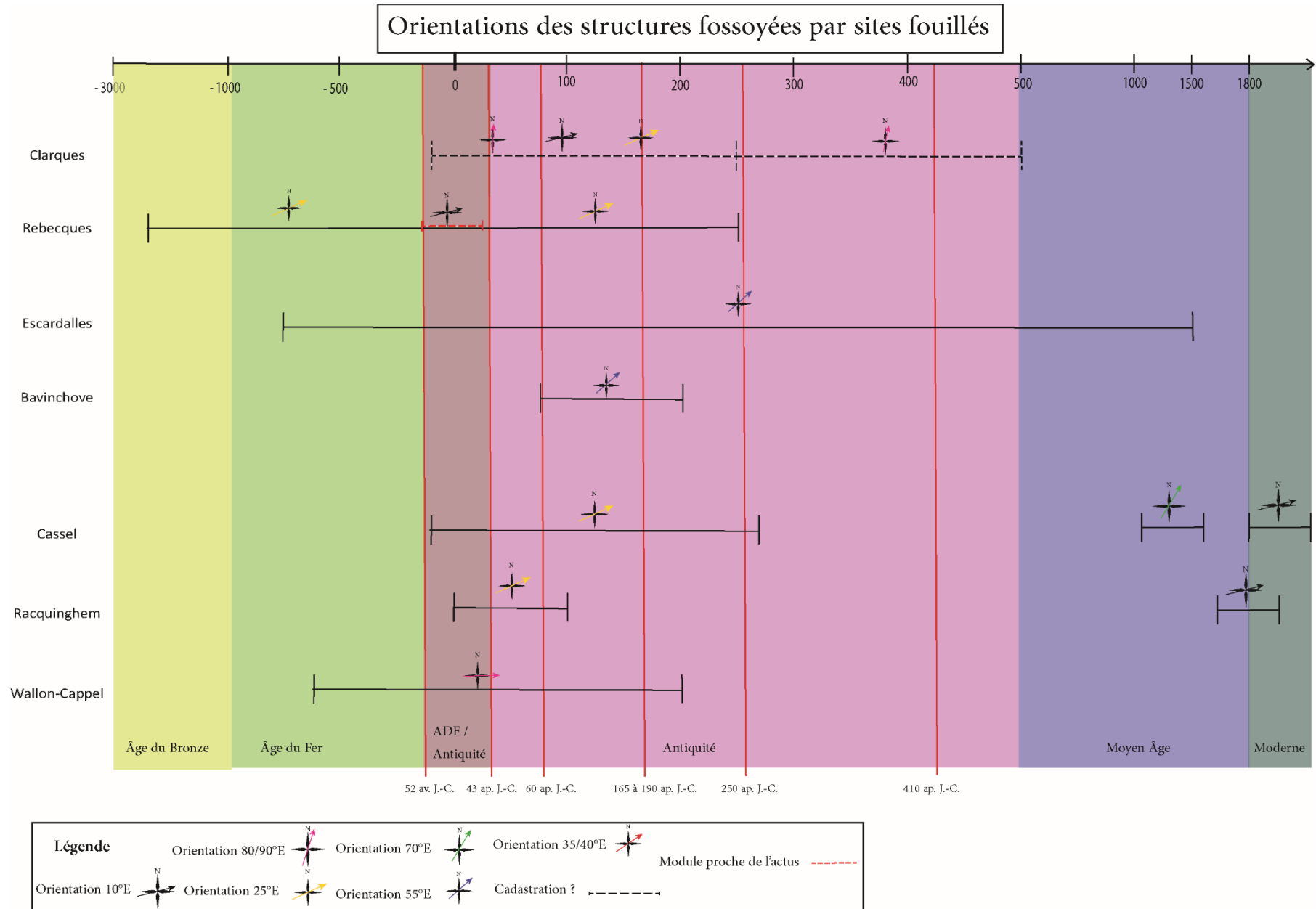


Figure 210. Orientations des structures fossoyées du secteur étudié des Flandres et de l'Artois. Les dates correspondent aux évènements discutés dans le chapitre VI.

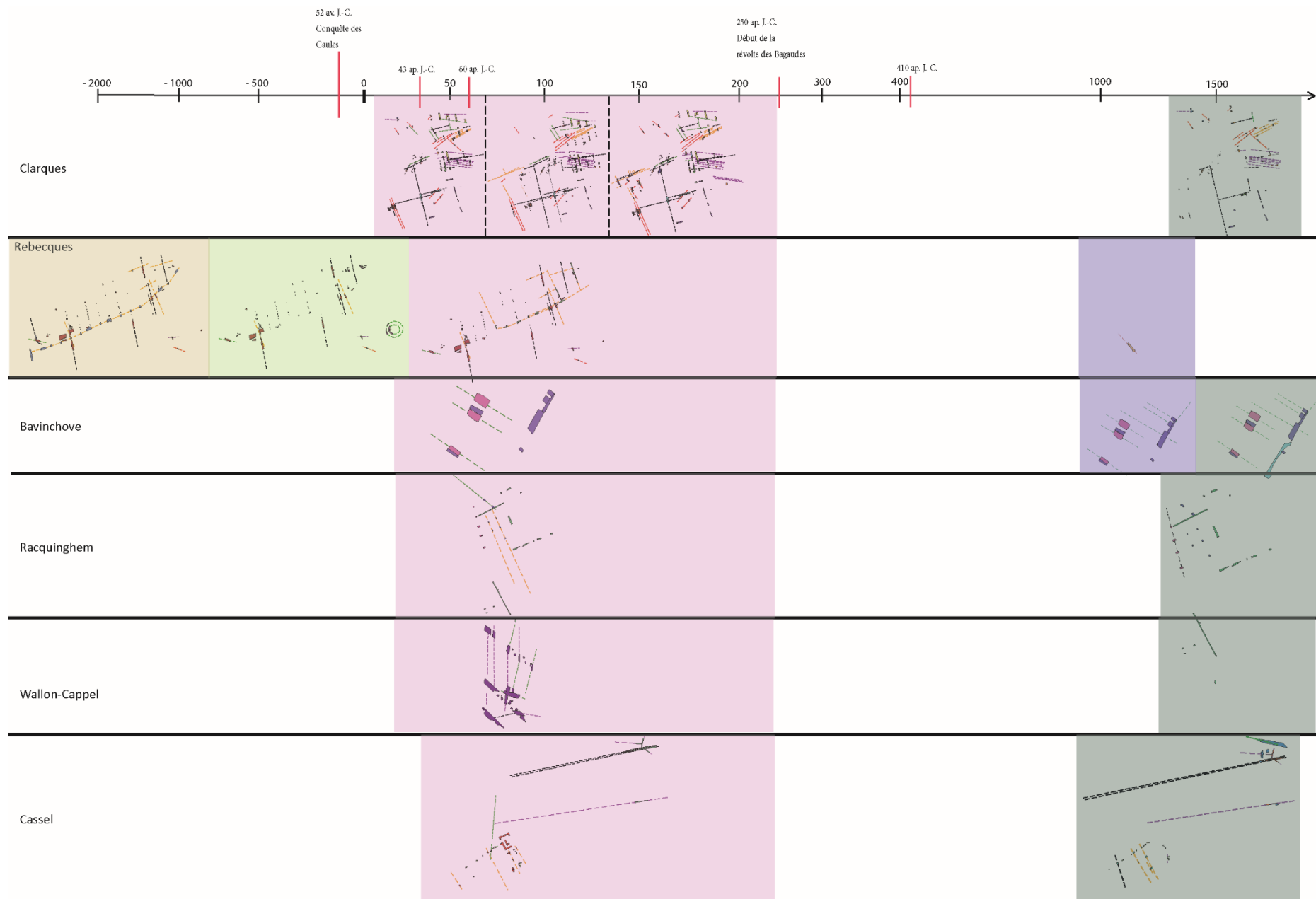


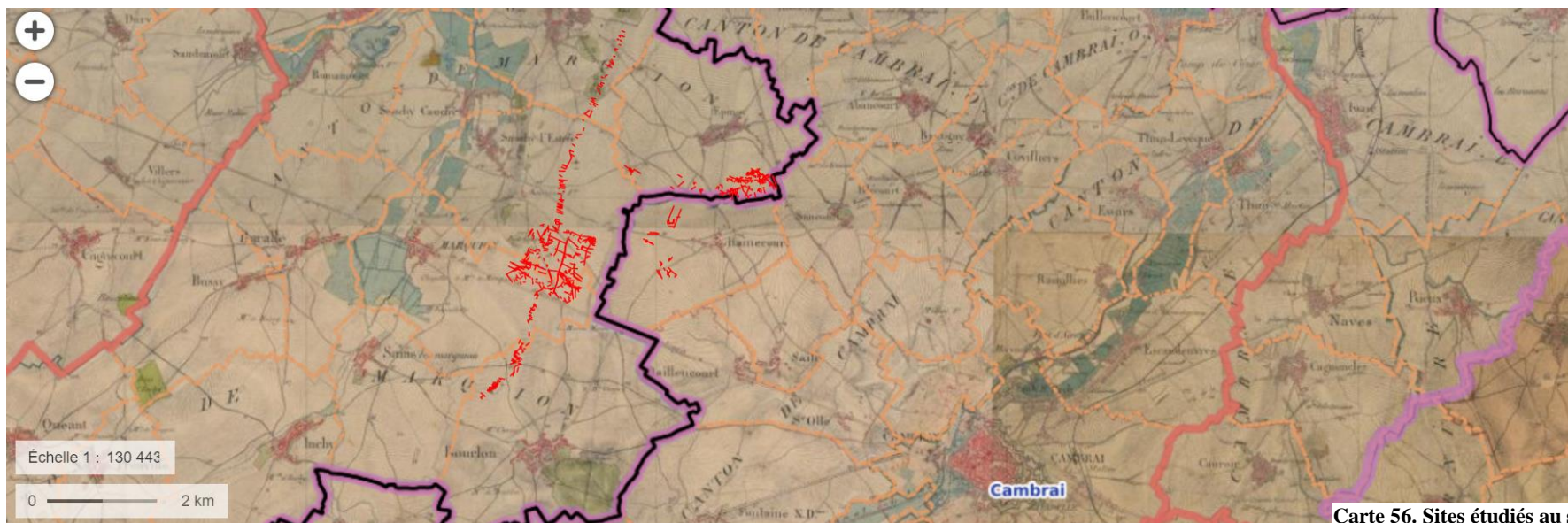
Figure 211. Les sites intégrés à une frise historique (échelles non linéaires).

Le Cambrésis

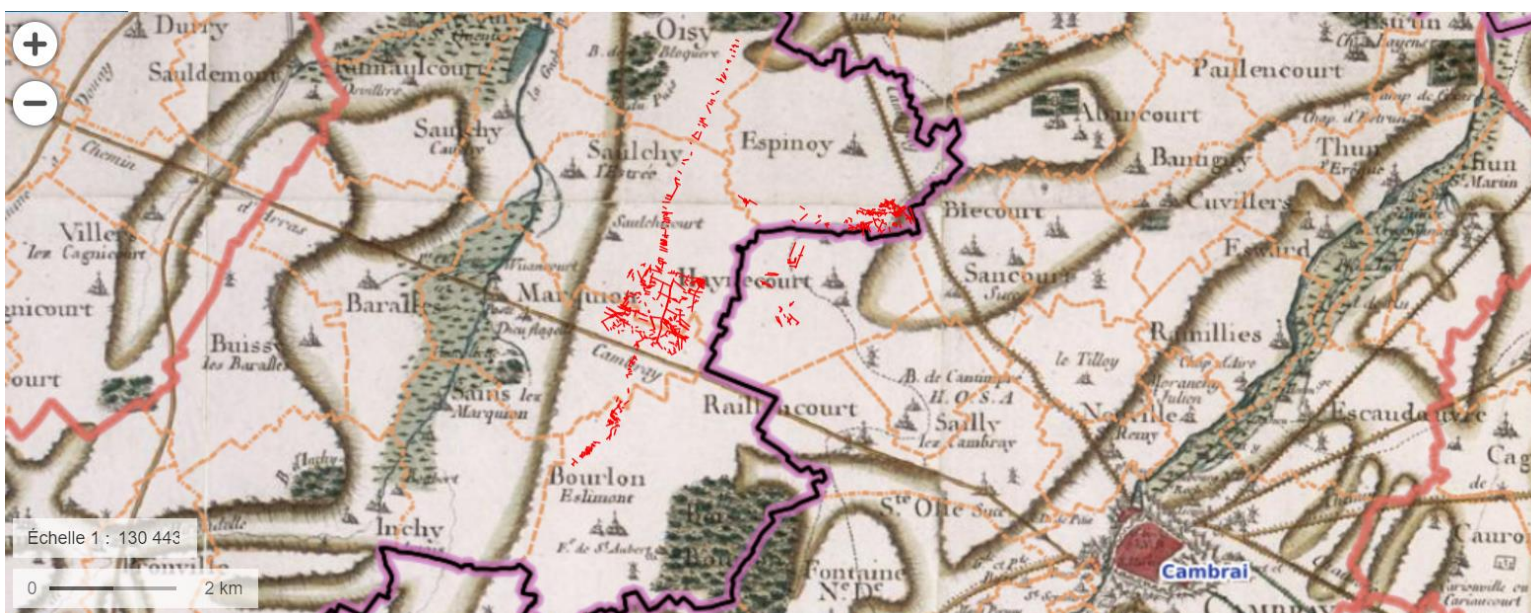
L'ouest de Cambrai

Carte 55. Carte de la Gaule Belgique avec indication des zones étudiées.





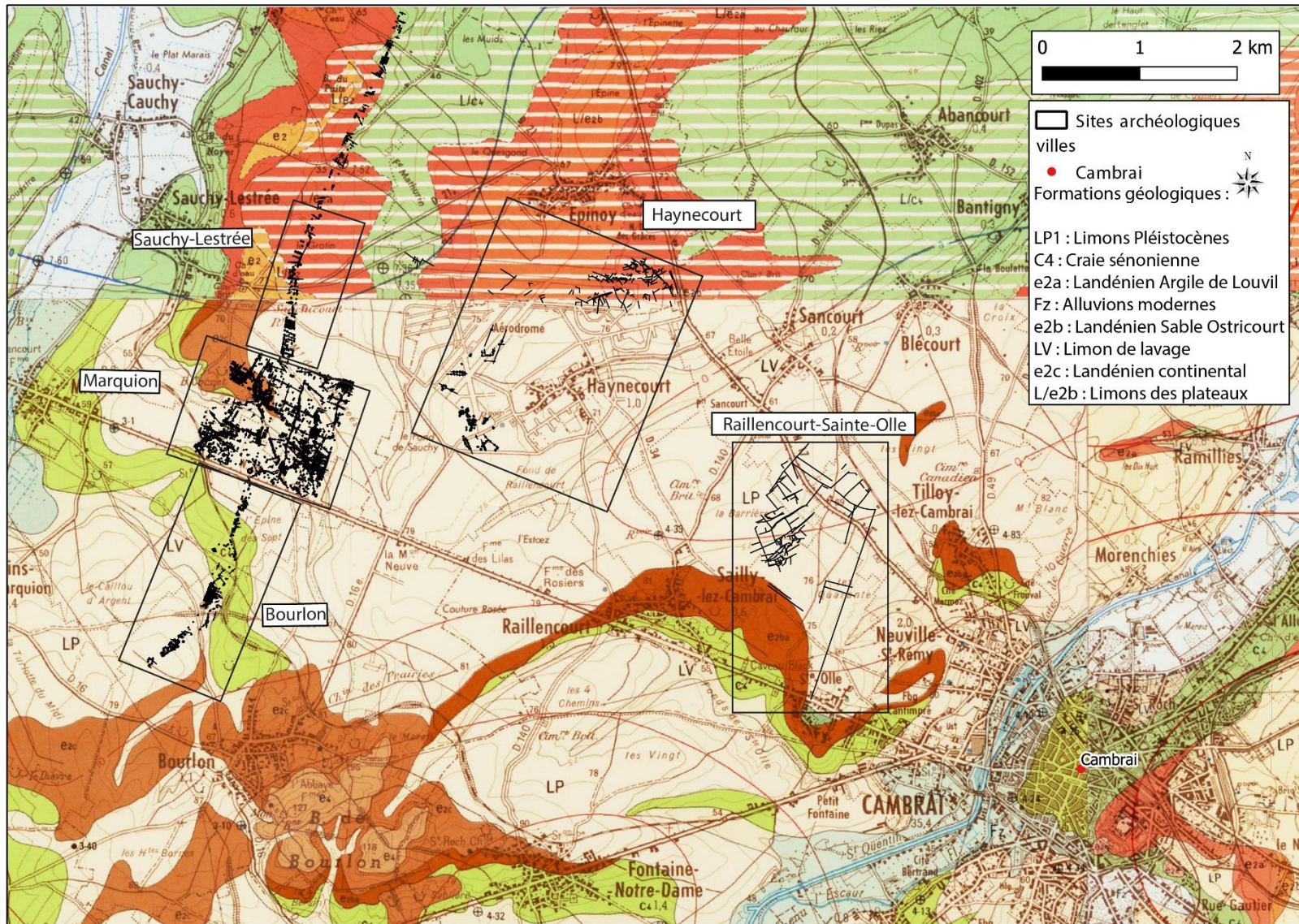
Carte 56. Sites étudiés au sein des limites administratives actuelles sur fond de carte d'État-Major.



Carte 57. Sites étudiés au sein des limites administratives actuelles sur fond de carte de Cassini.



Carte 58. Emplacement des sites étudiés sur fond de carte IGN. La voie Arras-Cambrai (D939) sépare Marquion et Bourlon.



Carte 59. Les sites présentés dans le secteur de l'étude (fond de carte géologique BRGM).

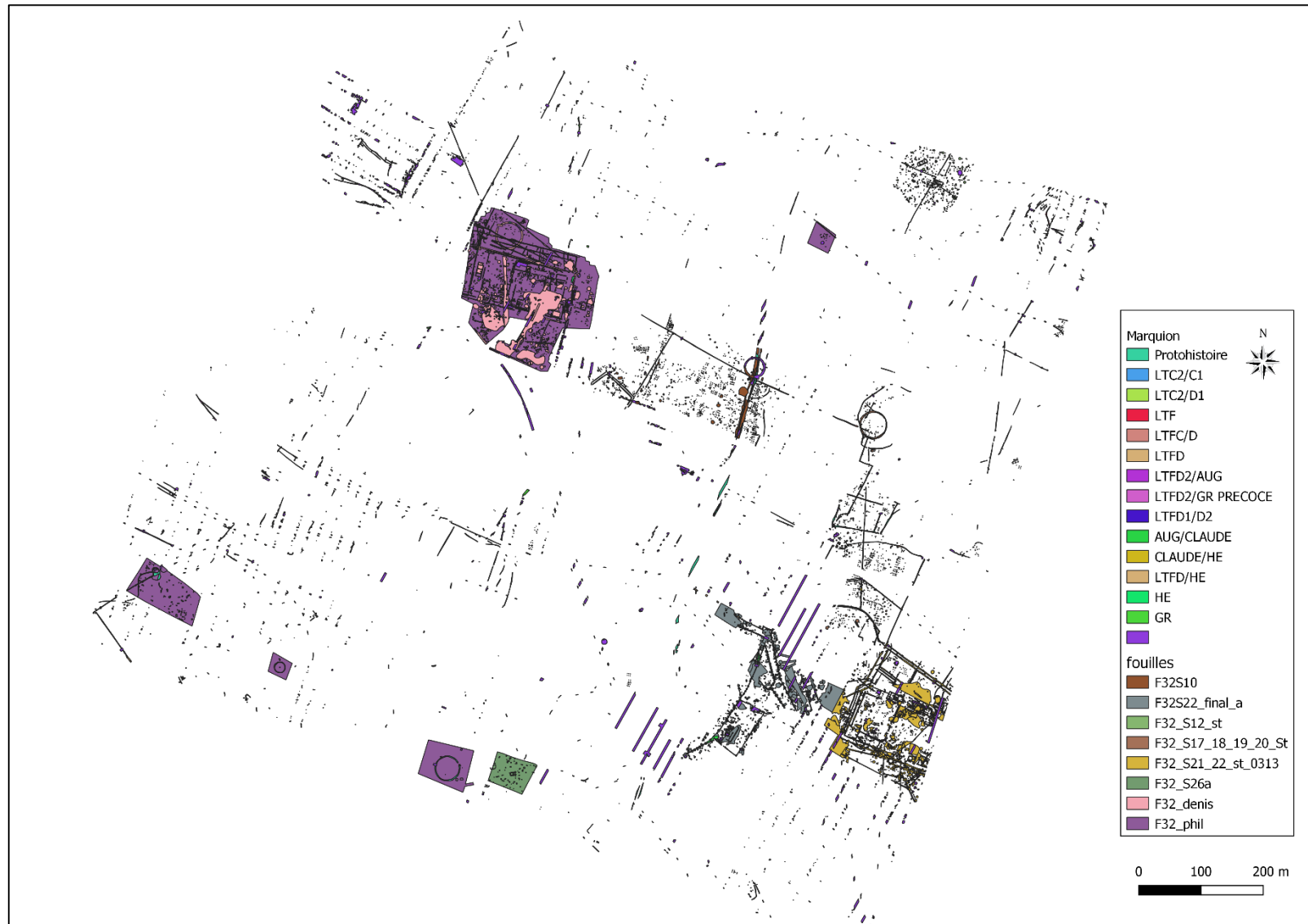


Figure 212. Diagnostic de Marquion et emprises de fouilles.

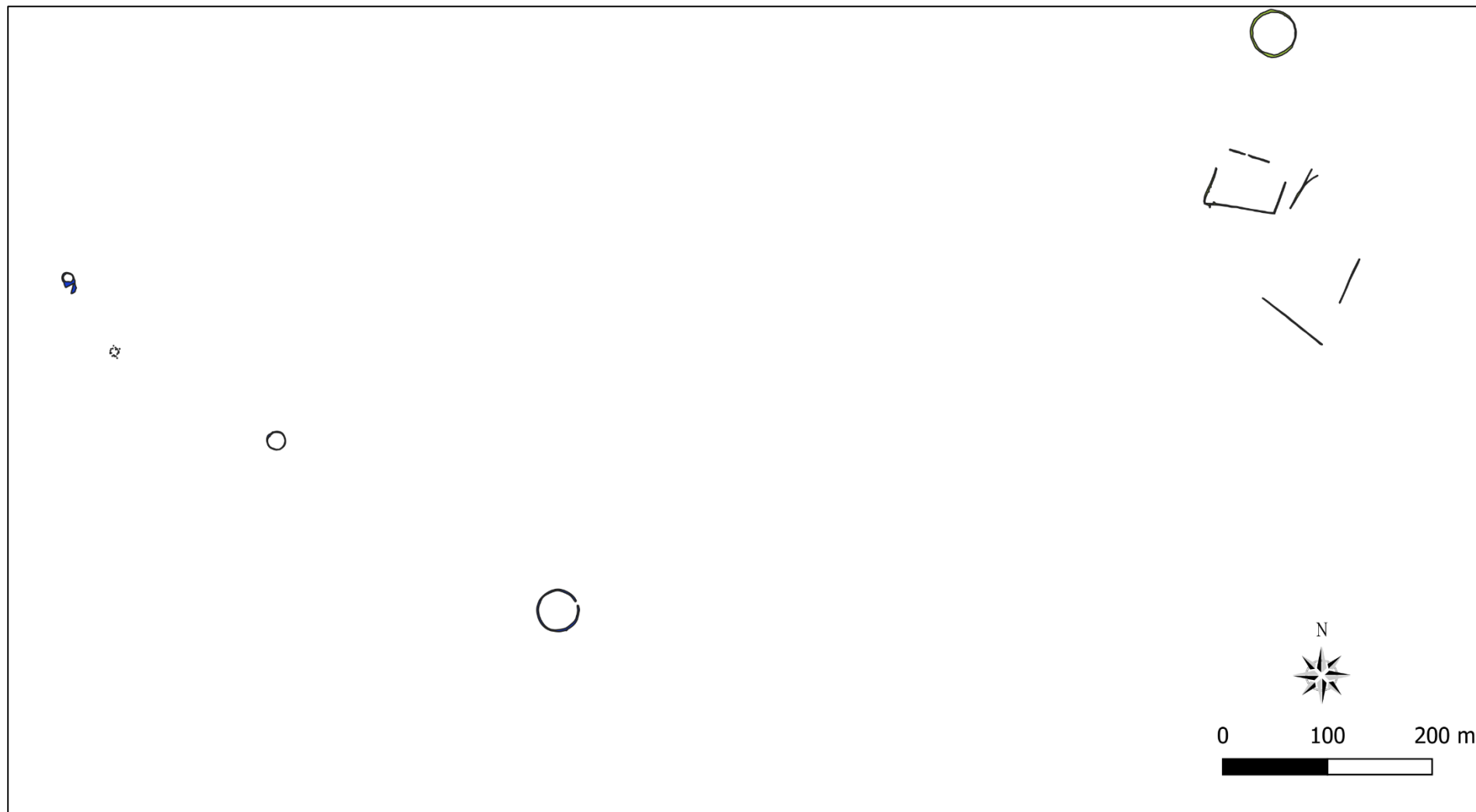


Figure 213. Marquion - Structures fossoyées de l'Âge du Bronze.



Figure 214. Marquion - Les structures de la période protohistorique.

Figure 215. Marquion - Structures de la Tène Finale / époque augustéenne.

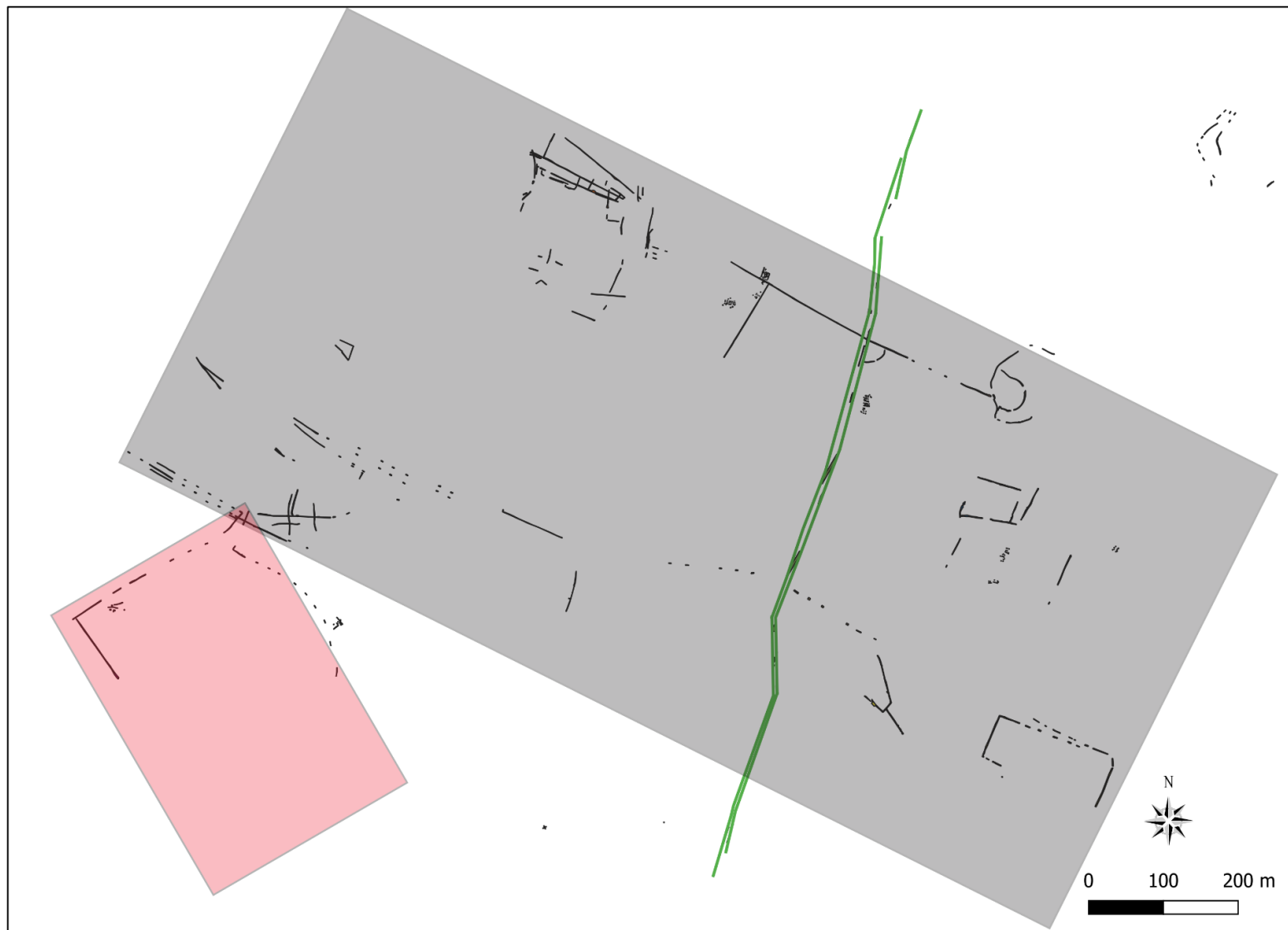




Figure 216. Marquion - Structures de la fin de la Tène Finale et non datées sur un fond satellite de 2019 (Google Earth). Une anomalie hydrographique dévoile le cours de l'ancien talweg.



Figure 217. Marquion - Mise en évidence des différentes orientations des structures du site de chaque côté du talweg (Fond de carte satellite Google Earth).

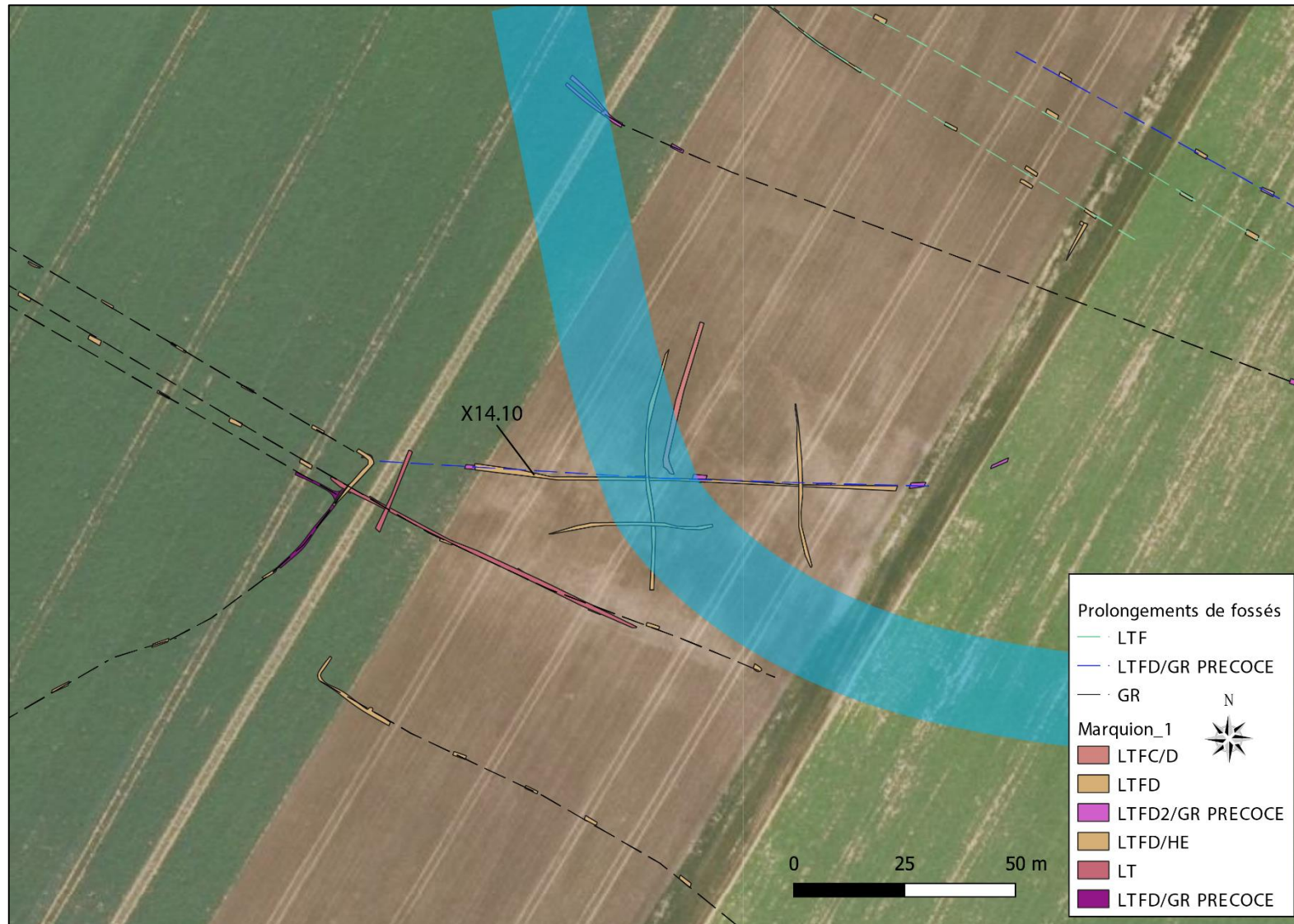
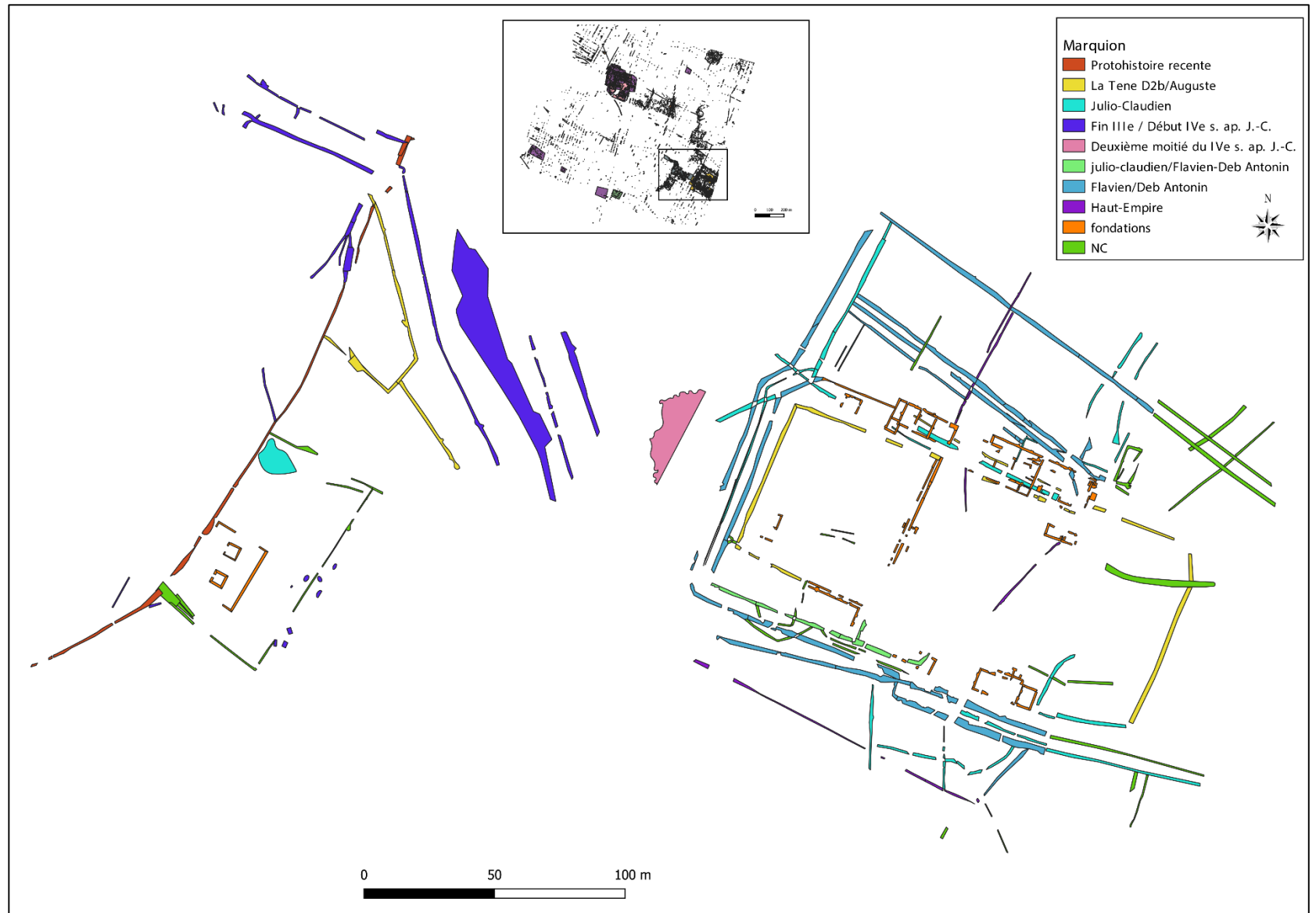


Figure 218. Marquion - Système fossoyé daté de la fin de La Tène Finale et de la période augustéenne traversant le fond du talweg.

Figure 219. Marquion - Villa à toutes périodes.



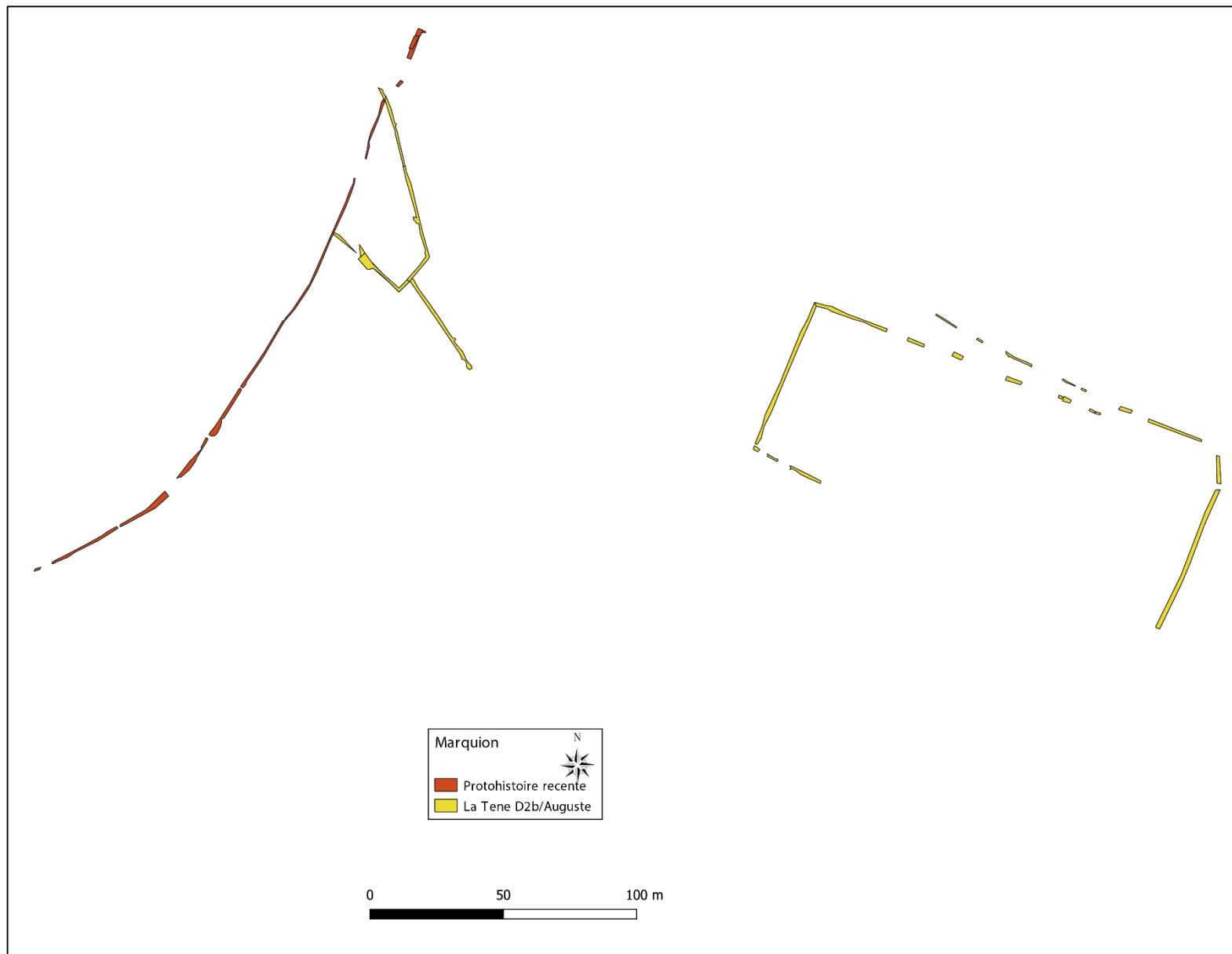


Figure 220. Marquion - Les structures de la Tène Finale à la période augustéenne.



Figure 221. Marquion - Les structures datées de la fin de la Tène au Gallo-romain précoce.

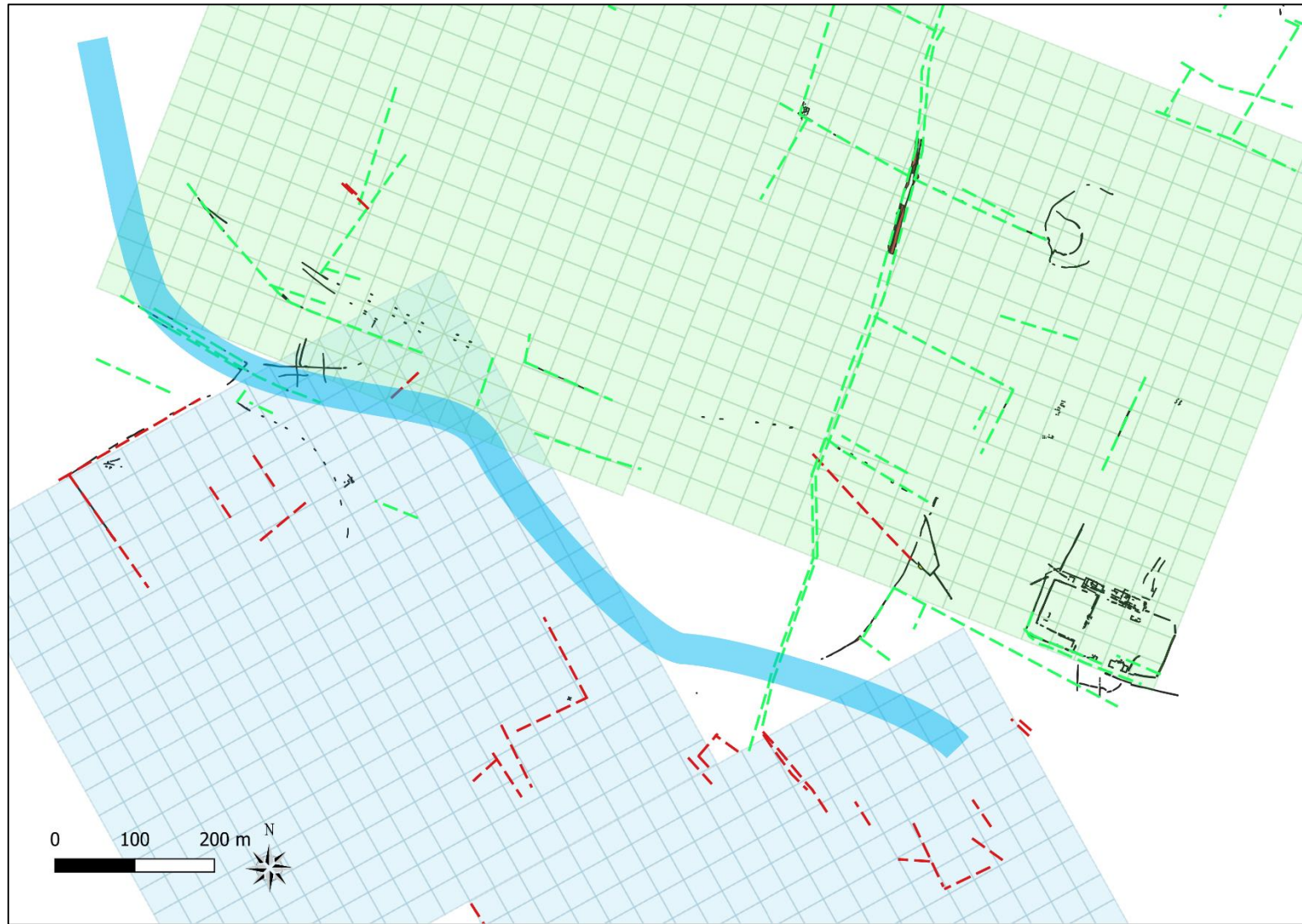


Figure 222. Marquion – structures de la transition entre la Tène Finale et la période augustéenne superposées à des grilles de maillage un actus et selon l'orientation des systèmes fossoyés dominants (Grille verte = 70°E et grille bleue = 25°E. Le long tracé bleu correspond au paléocheval).

Figure 223. Marquion - Du milieu du I^{er} siècle ap. J.-C. au début du II^e siècle ap. J.-C.



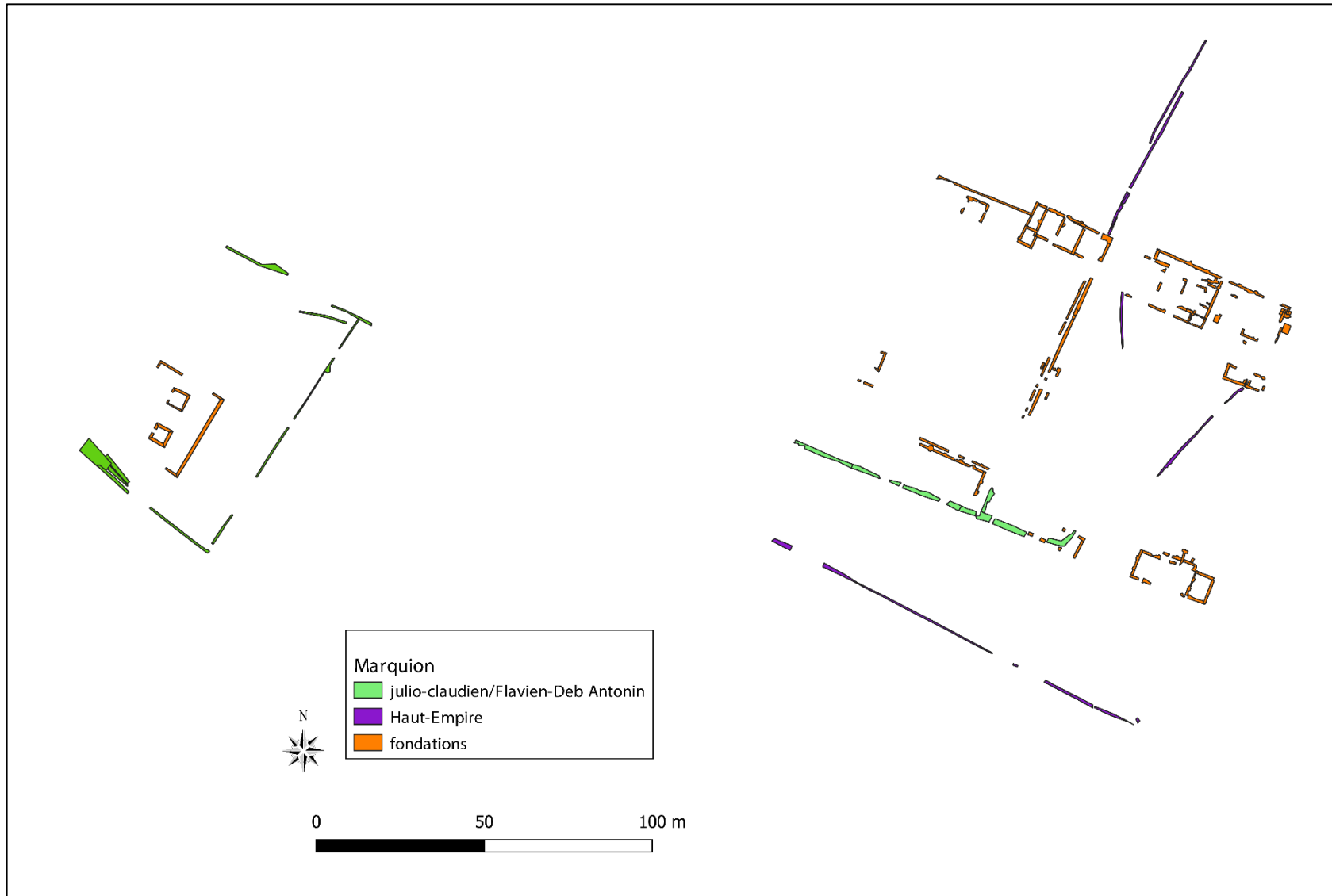


Figure 224. Marquion – Les structures associées à la villa et datées du Haut-Empire.

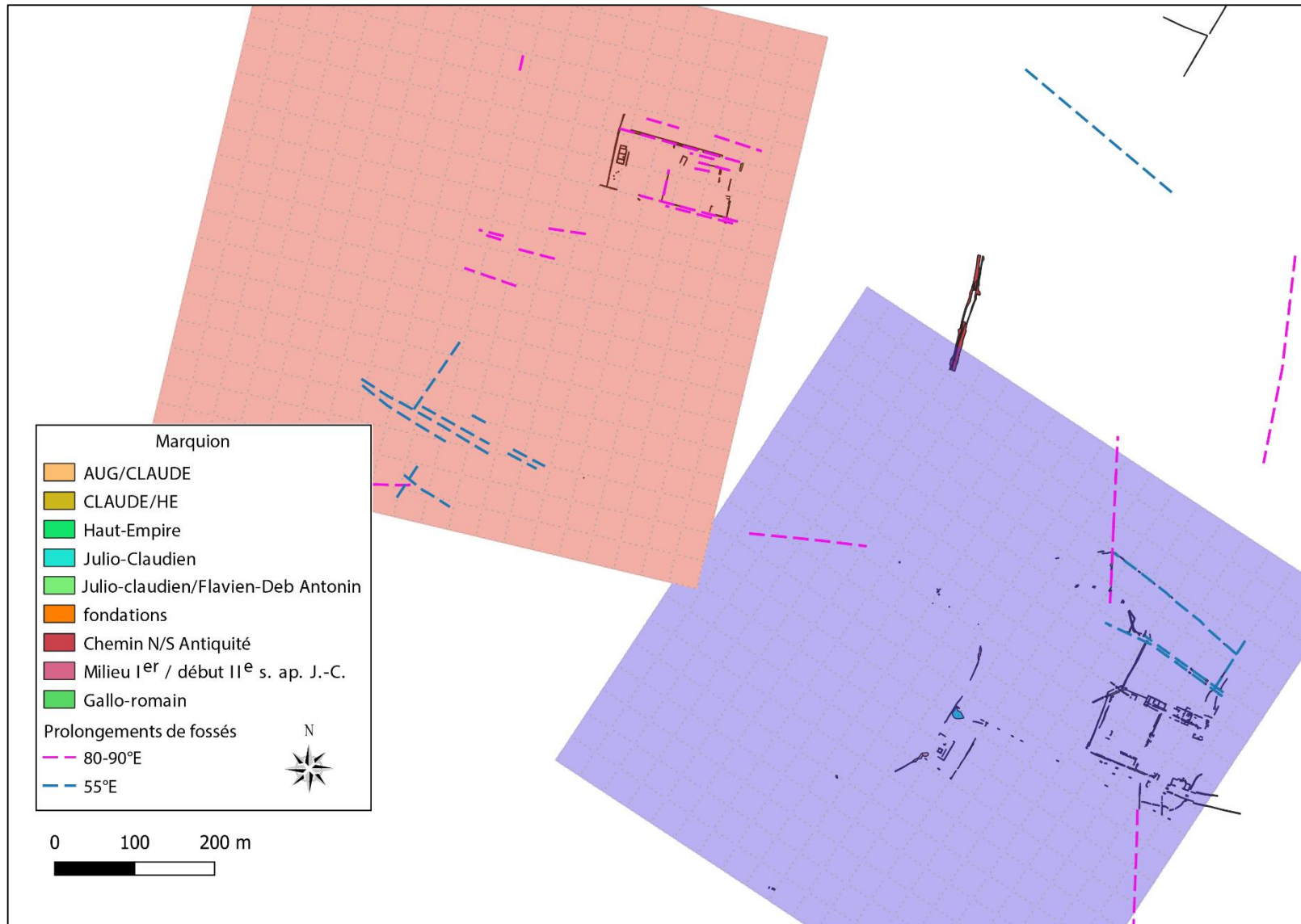
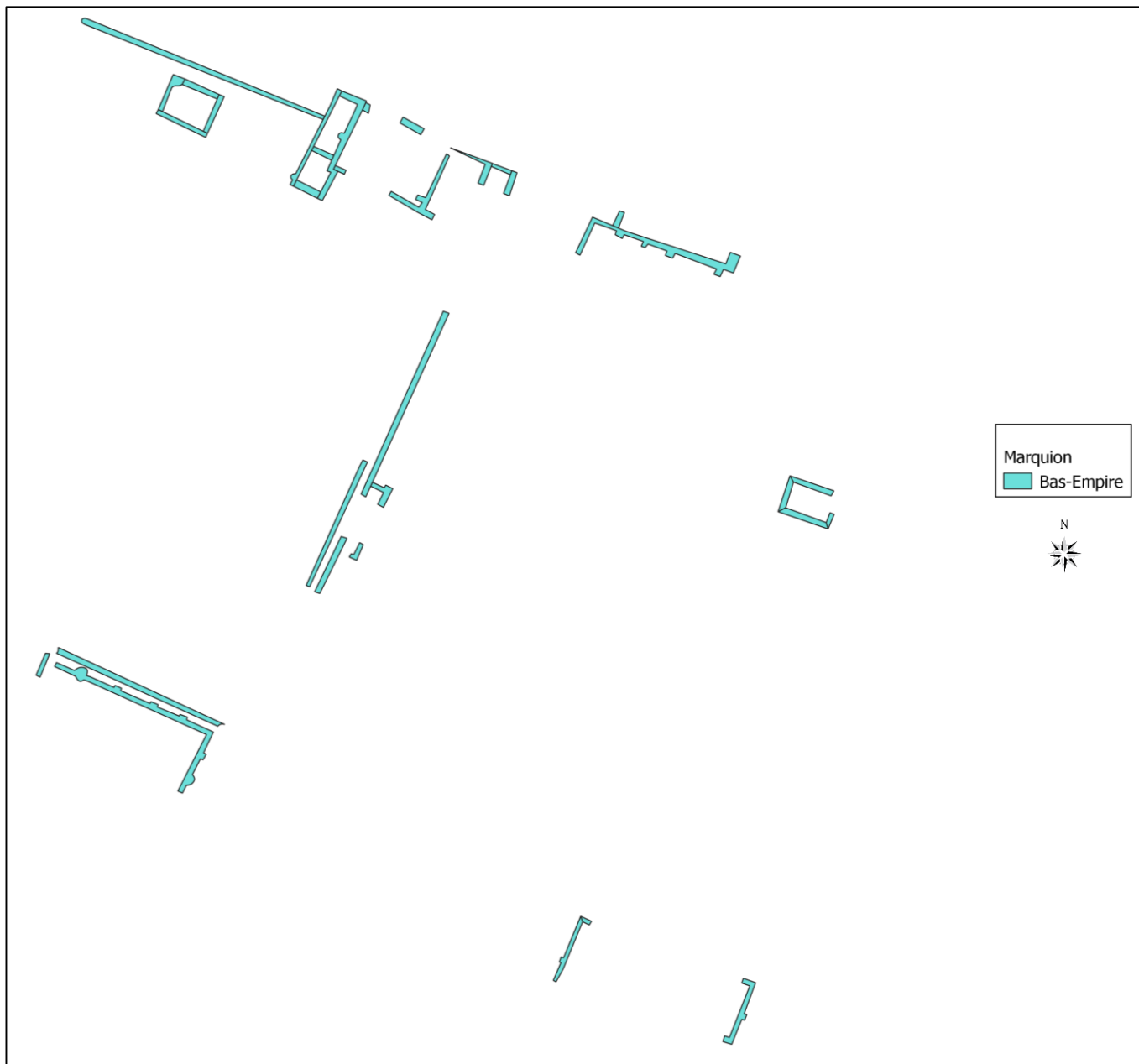


Figure 225. Marquion - Réaménagements effectués entre le milieu du I^{er} siècle ap. J.-C. et le début du II^e siècle ap. J.-C

Figure 226. Marquion - Les nouveaux bâtiments installés au Bas-Empire après remblaiement de l'ancienne villa.



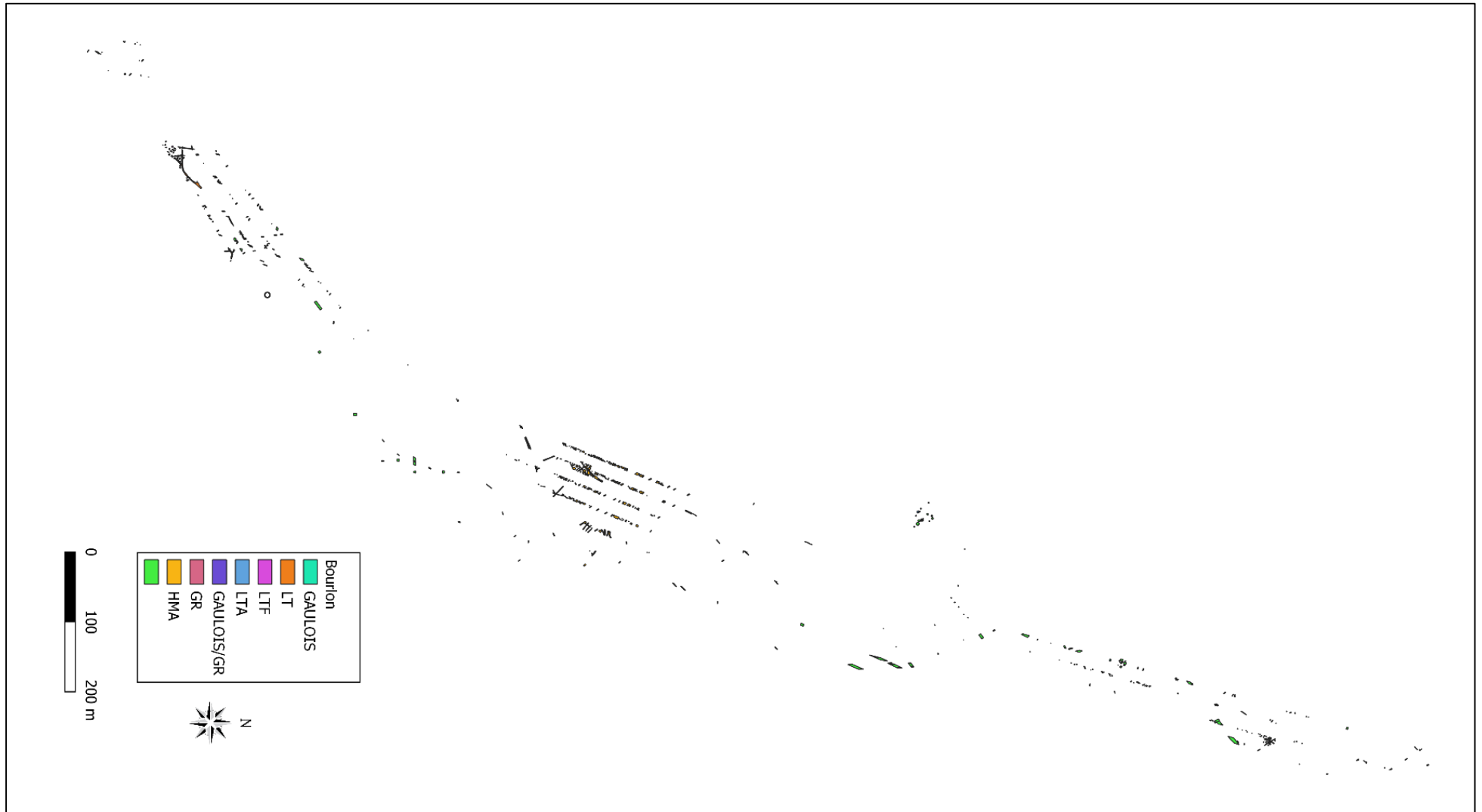


Figure 227. Bourlon - Toutes périodes confondues.

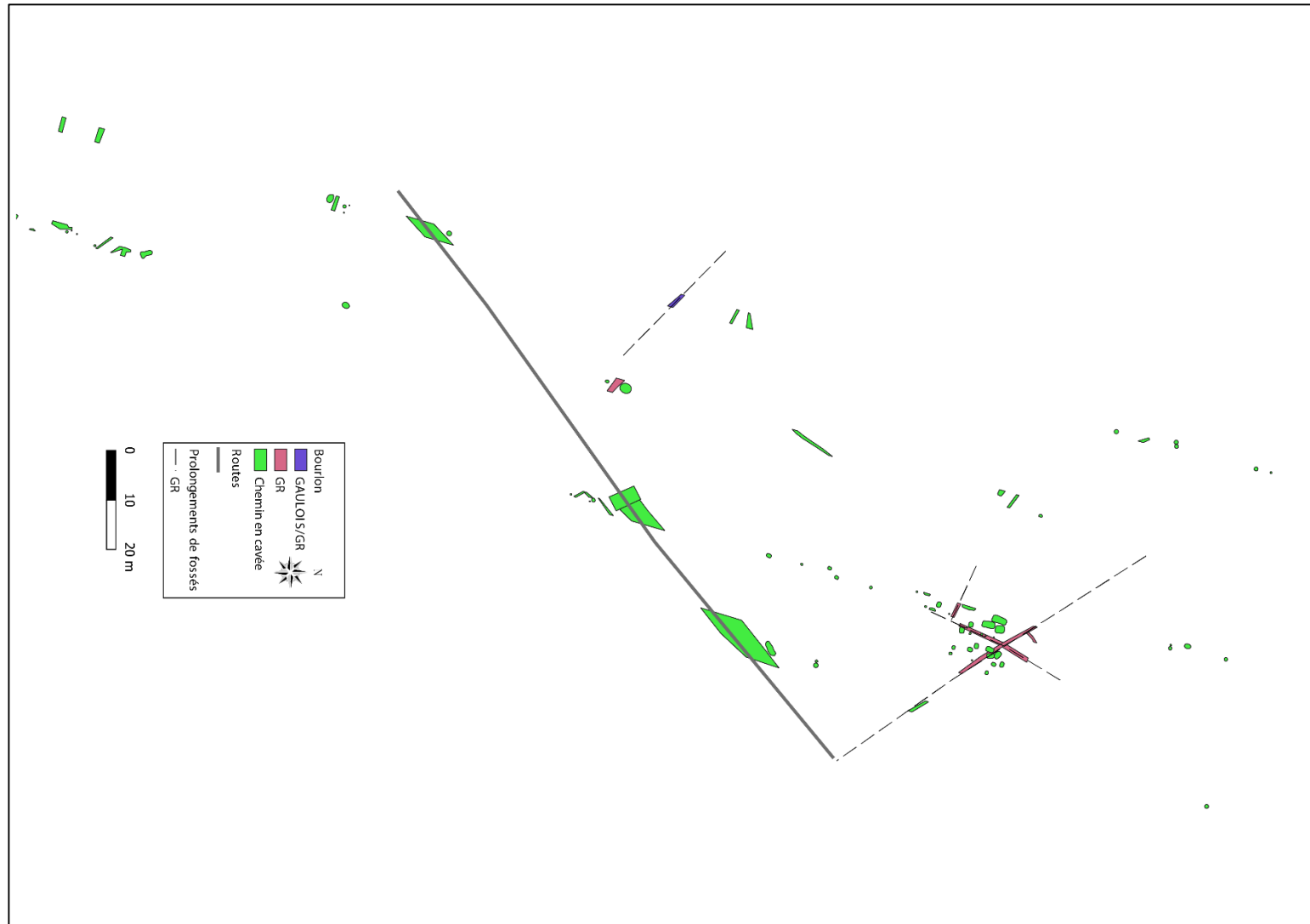
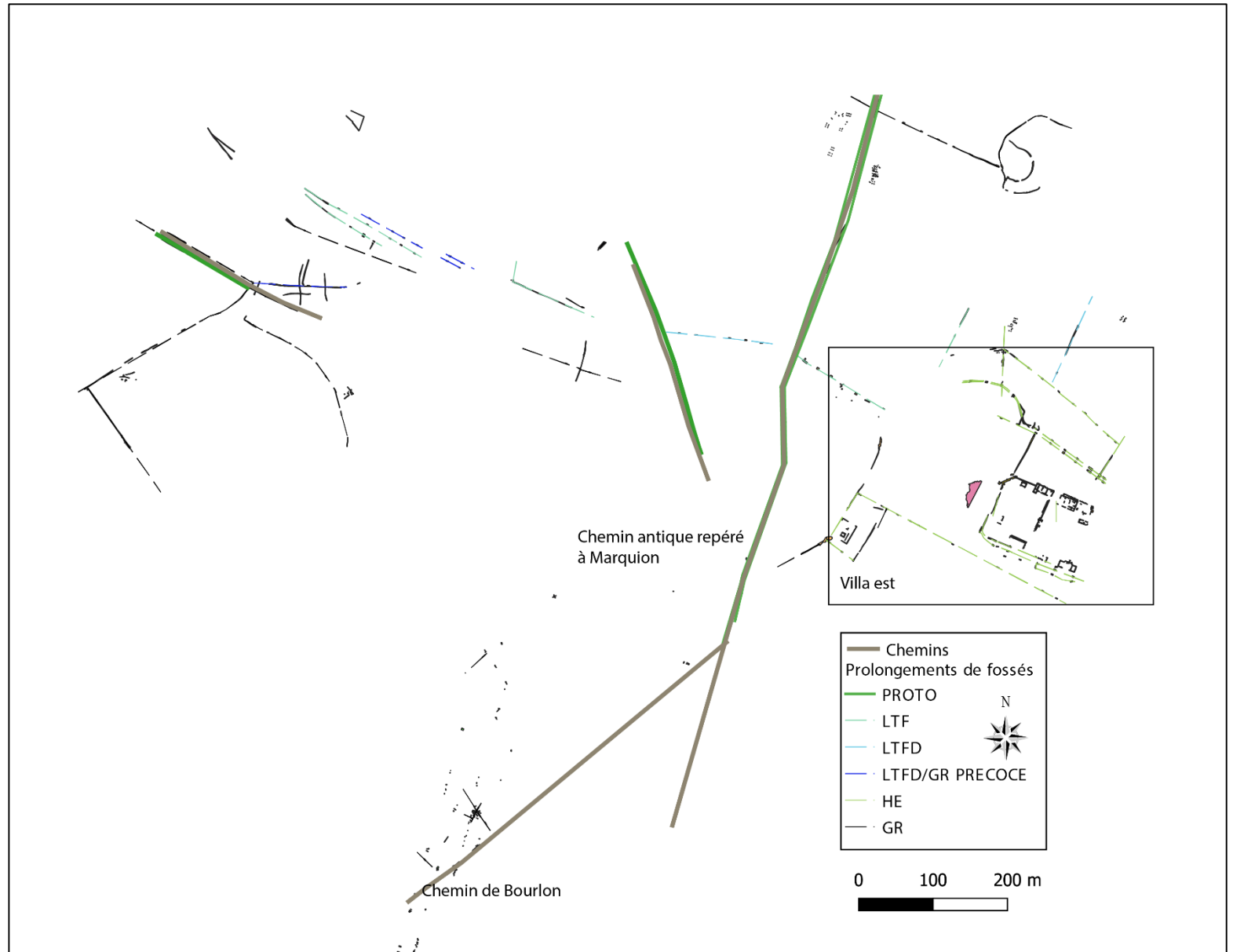
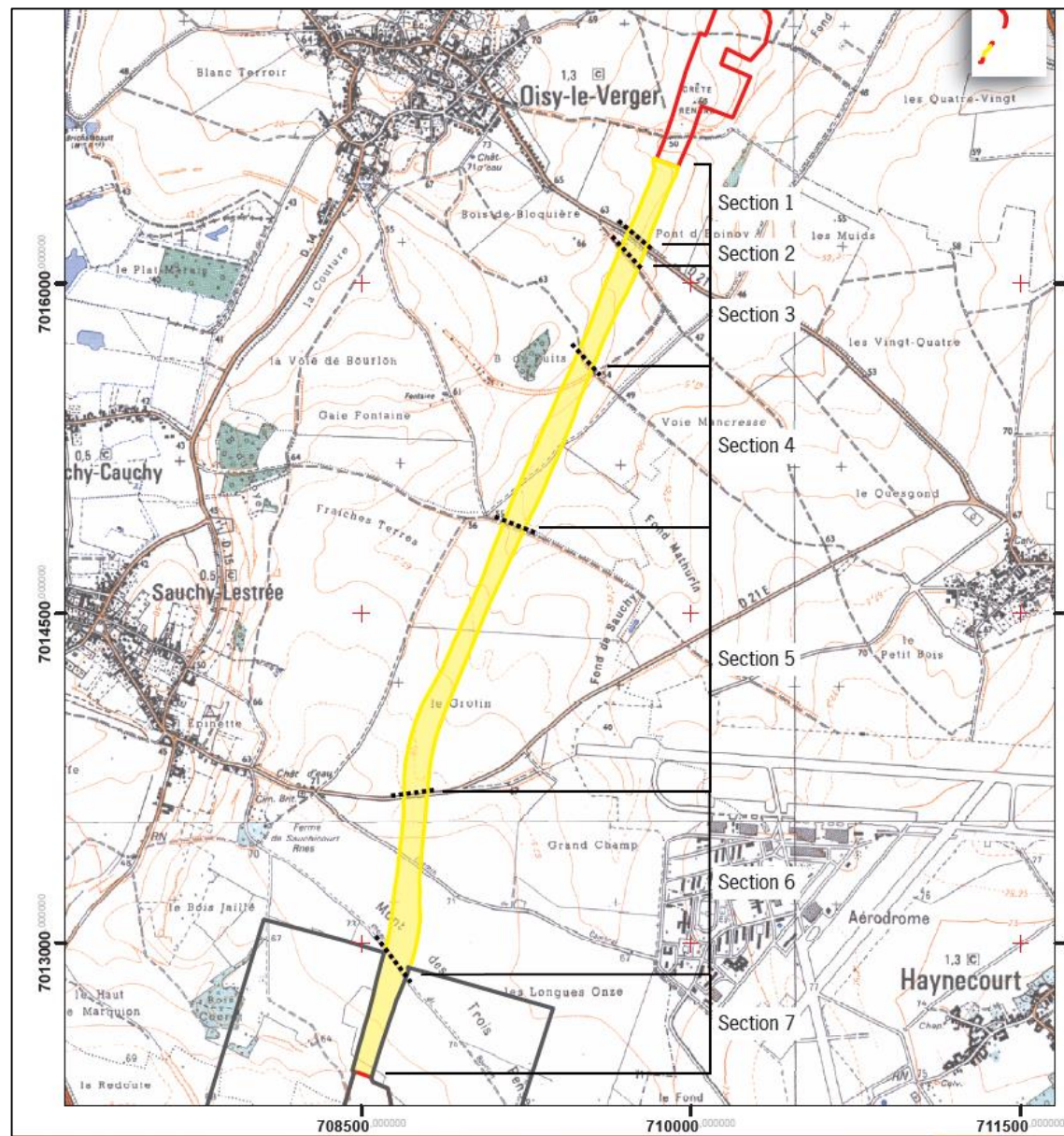


Figure 228. Bourlon - Le chemin en cavée associé aux structures linéaires. La nécropole se concentre autour et sur les fossés gallo-romains.

Figure 229. Bourlon dans le contexte antique du sud de Marquion.



Carte 60. Division du diagnostic en plusieurs secteurs (Gaillard 2009, p. 17, fig. 3).
Seules les sections 5 à 7 sont intégrées à notre étude.



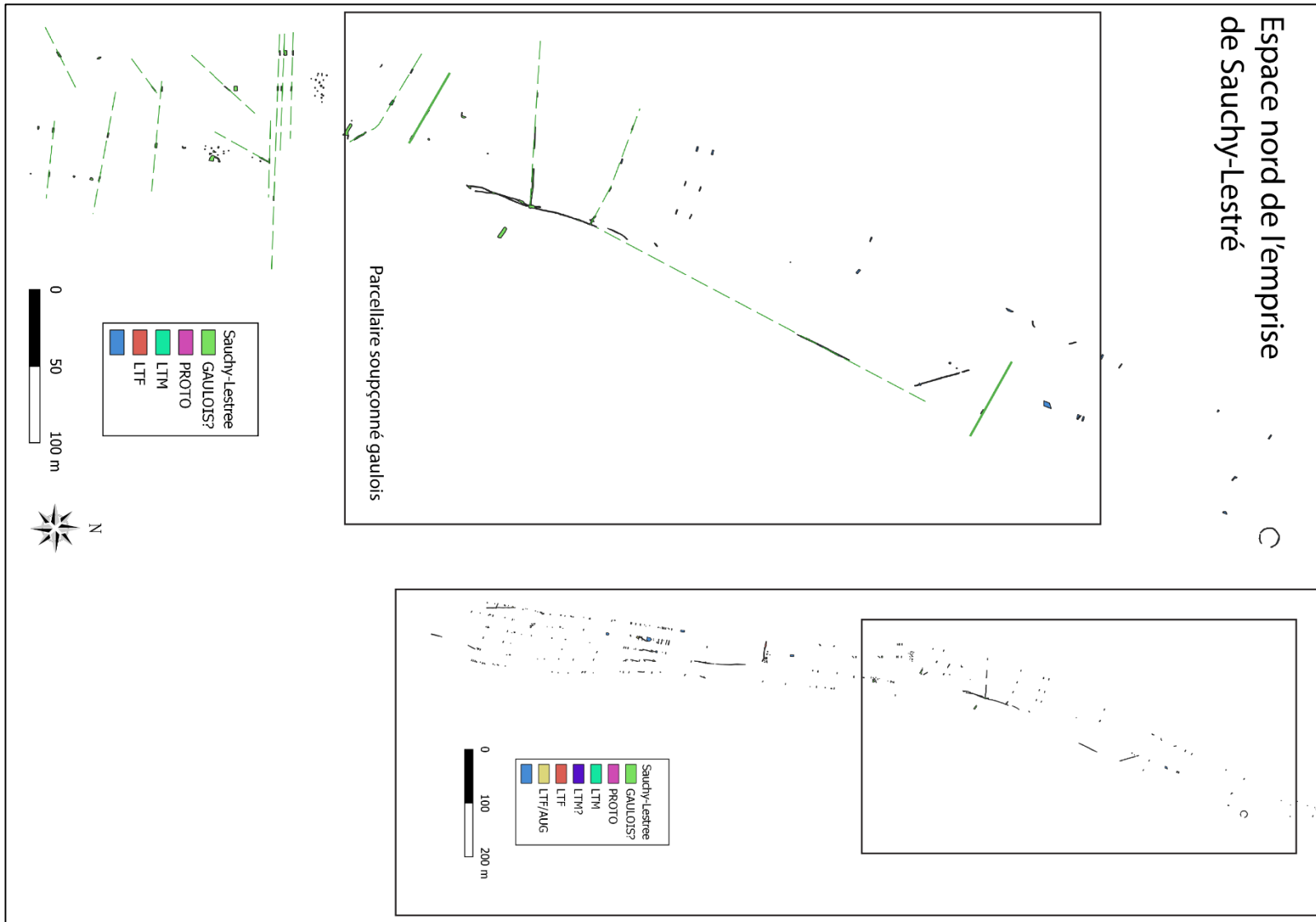


Figure 230. Sauchy-Lestrée - Emprise nord matérialisée par un fossé circulaire de l'Âge du Bronze et par un parcellaire gaulois plus au sud.

Espace sud de l'emprise
de Sauchy-Lestrée

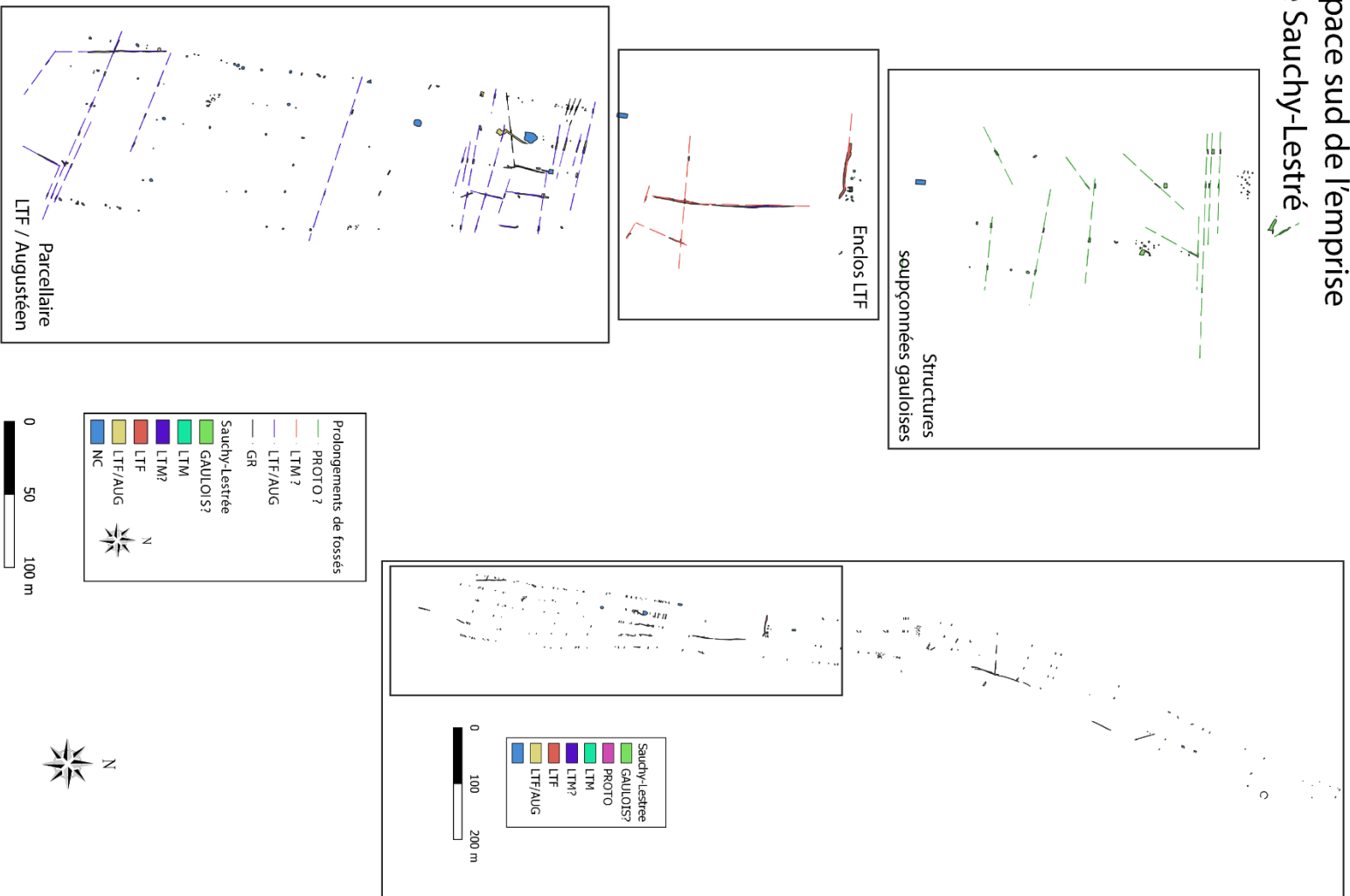


Figure 231. Sauchy-Lestrée - L'emprise sud du diagnostic. Du nord vers le sud se développe un réseau fossoyé allant du plus ancien au plus récent.

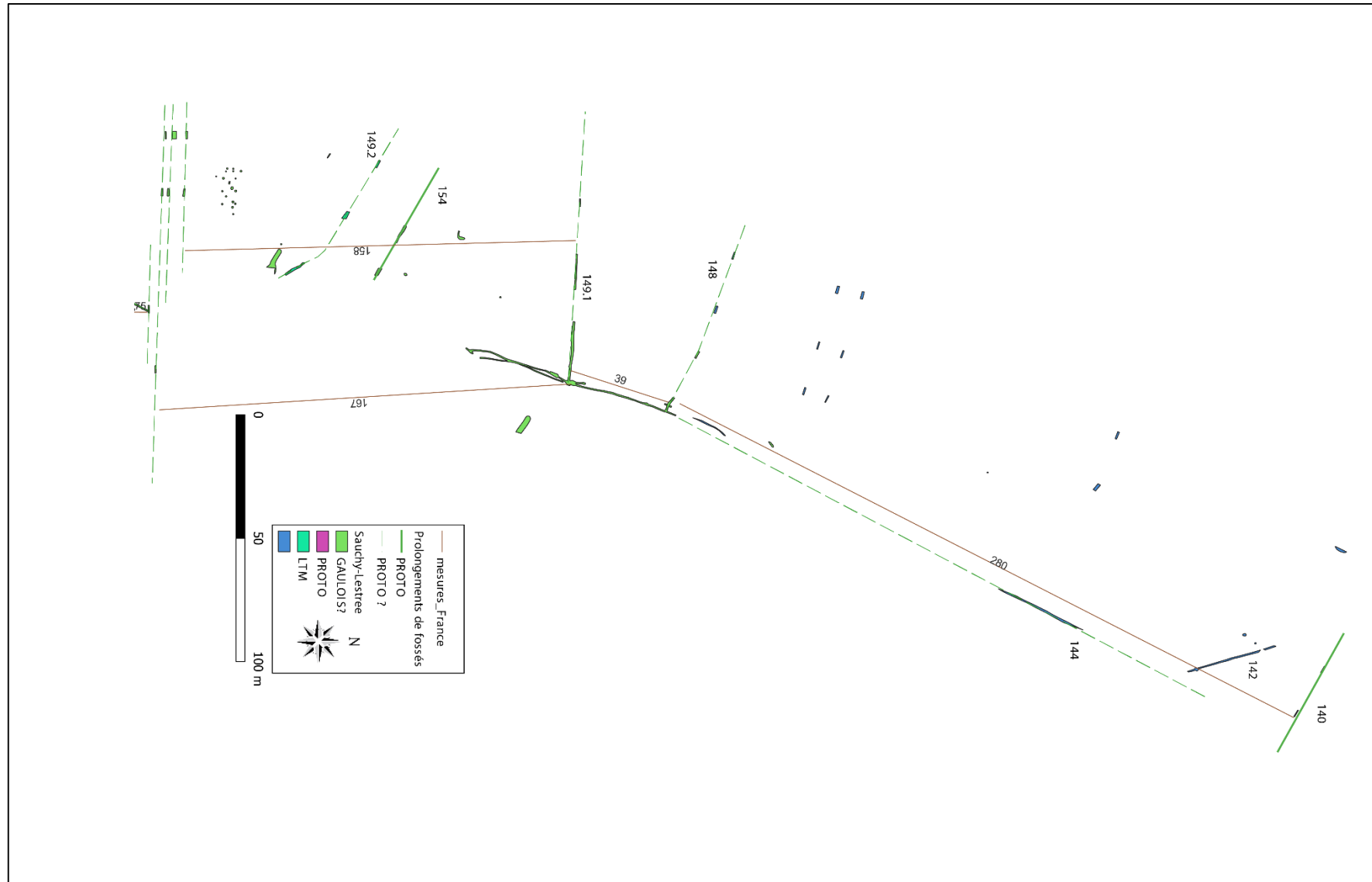


Figure 232. Sauchy-Lestrée - Prolongements des fossés datés de la période protohistorique et les mesures prises entre chacun d'eux.

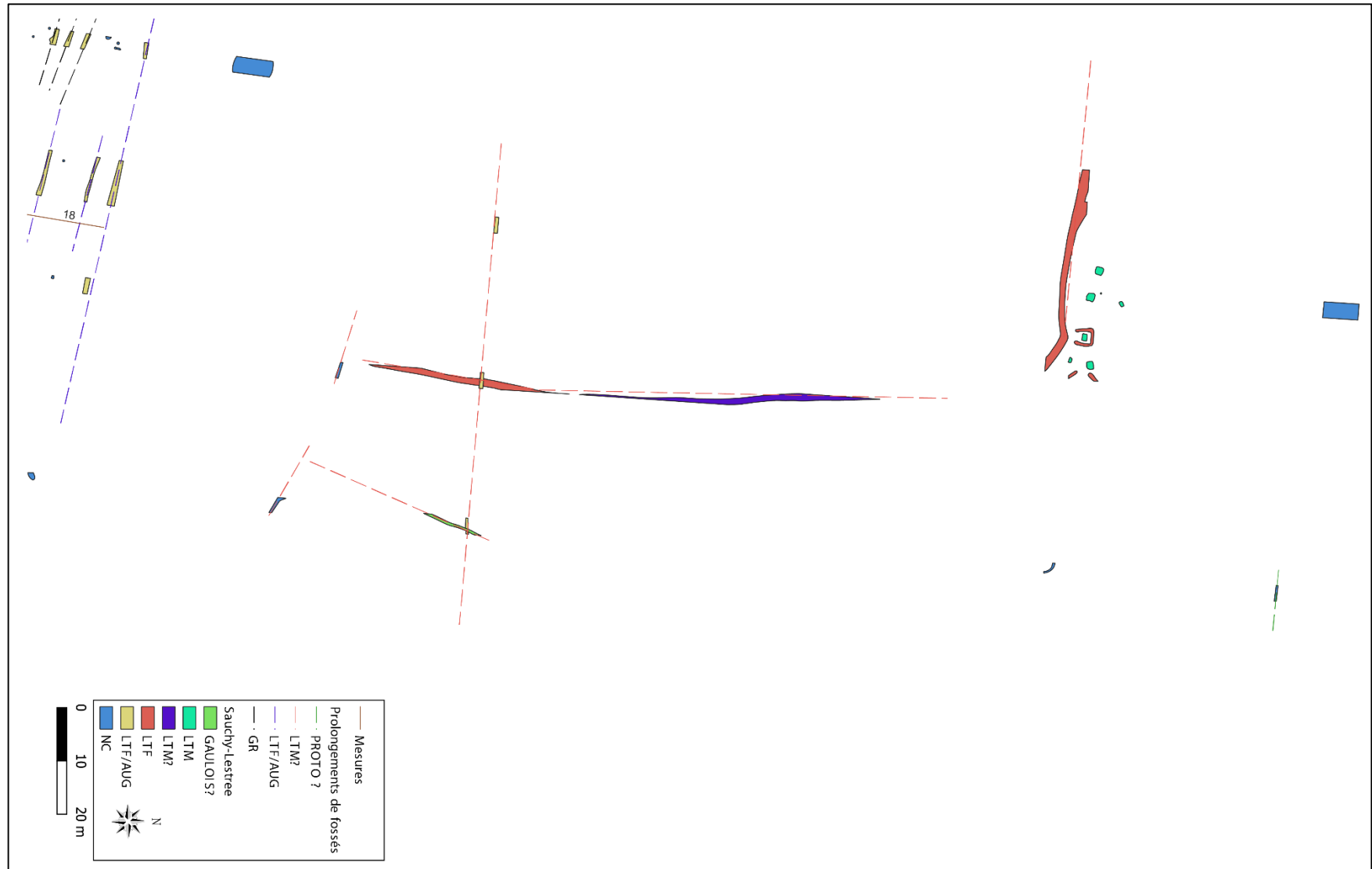


Figure 233. Sauchy-Lestrée - Structures de la section 6. Un supposé enclos de la Tène Finale a pu être décelé.

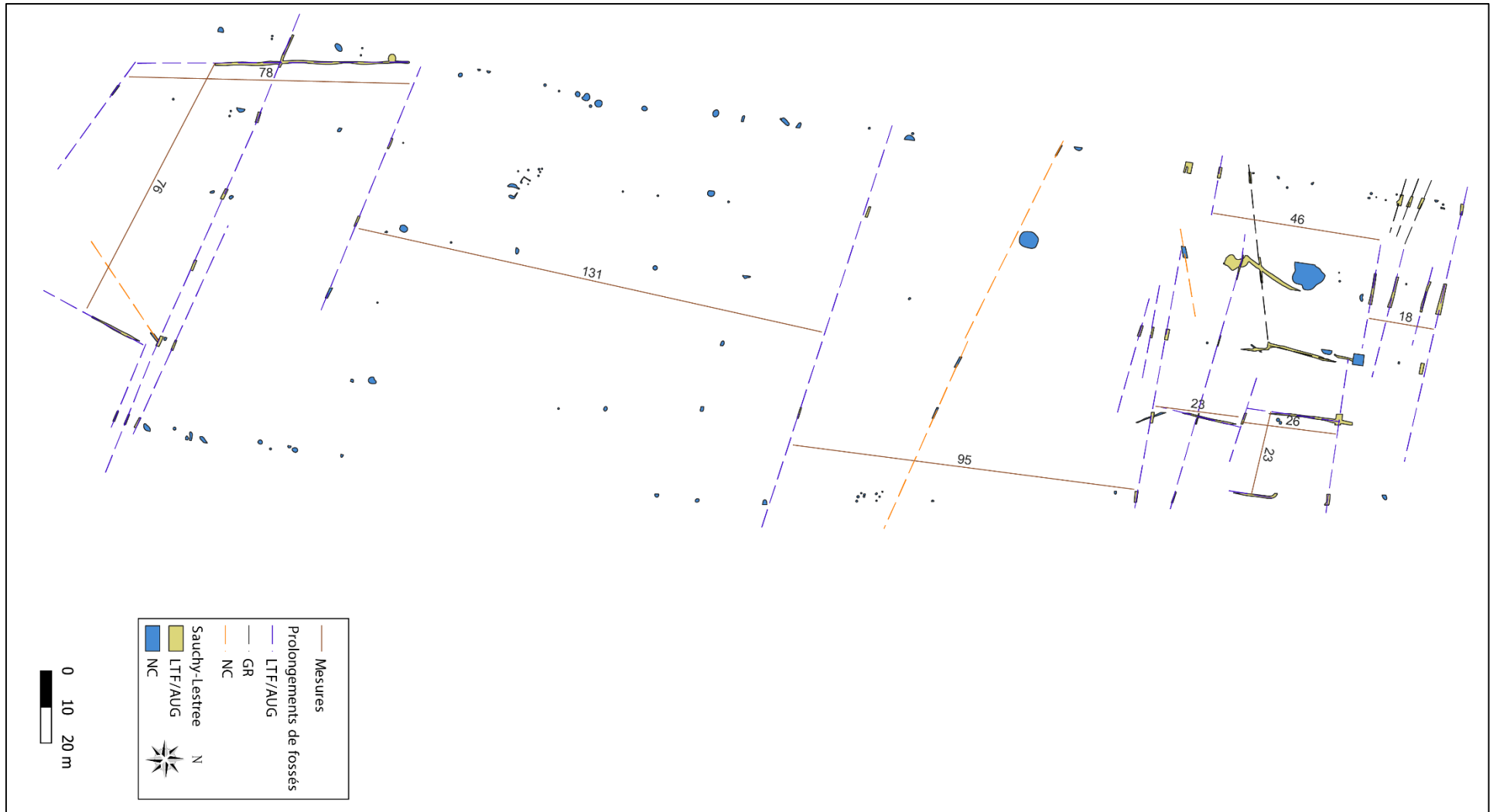


Figure 234. Sauchy-Lestree - Le parcellaire supposé laténien voire augustéen.



Figure 235. Les sites d'Haynecourt dans leur contexte géographique. On remarque la proximité avec le site de Marquion visible partiellement à l'ouest (tracés orange).

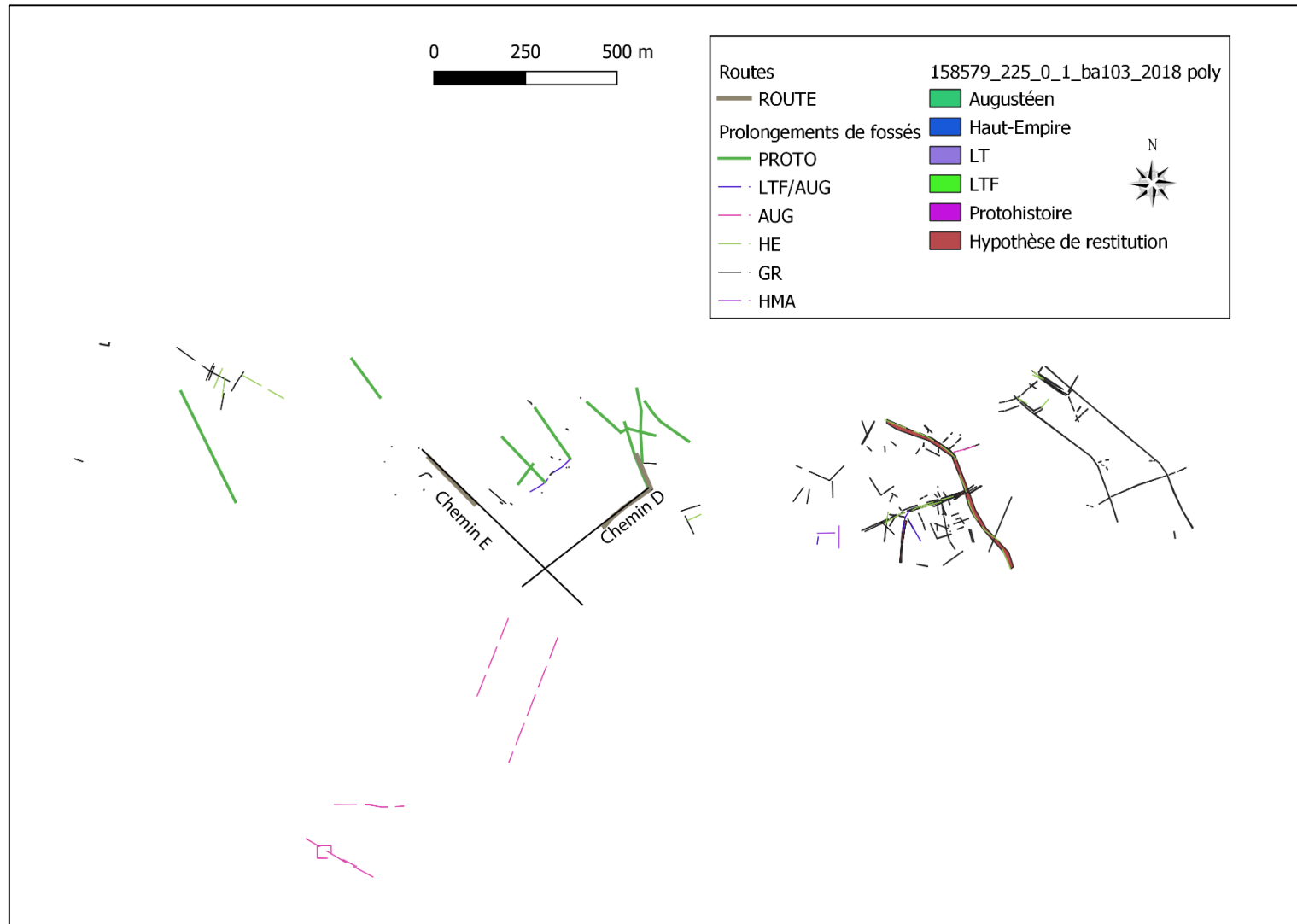
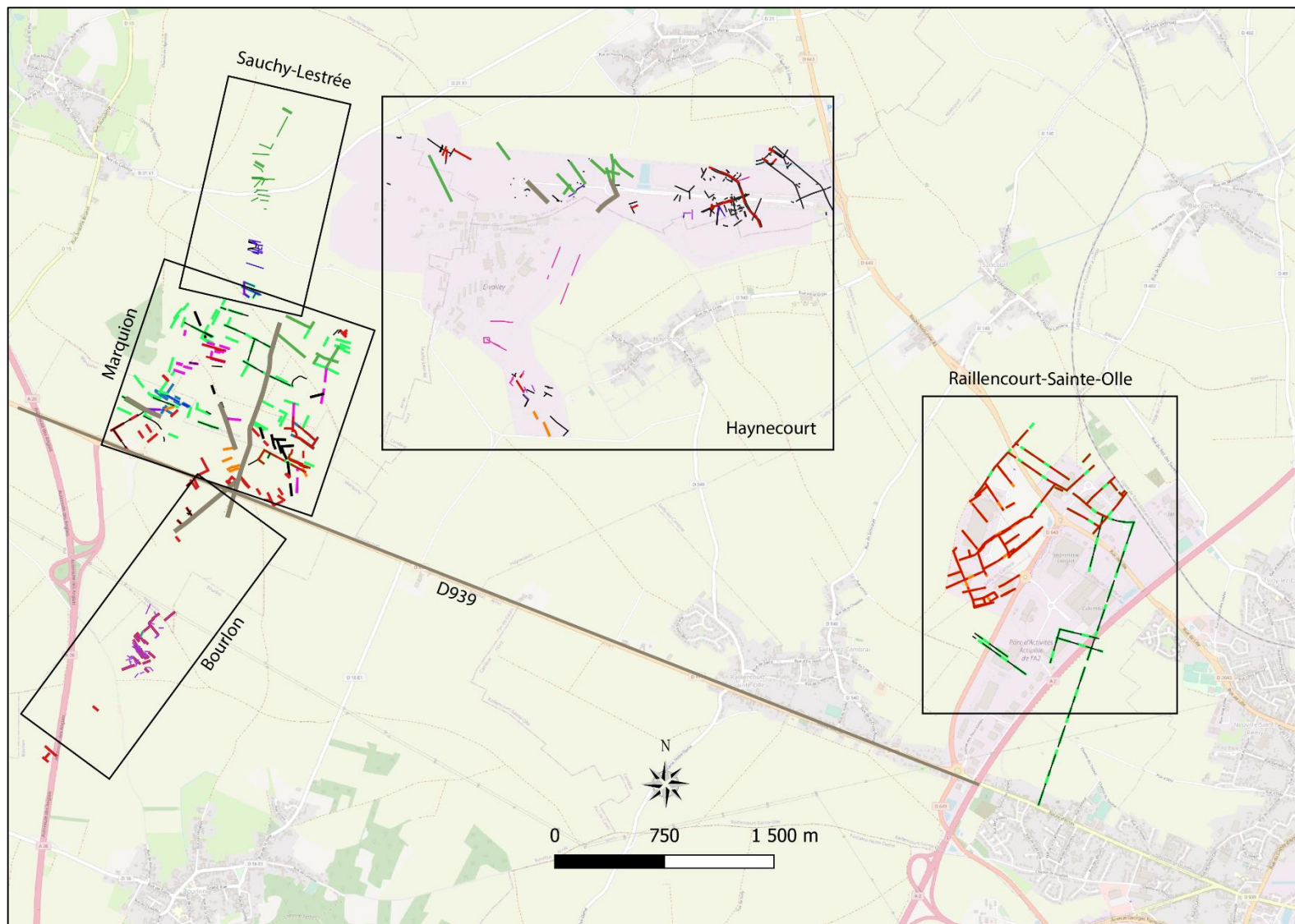
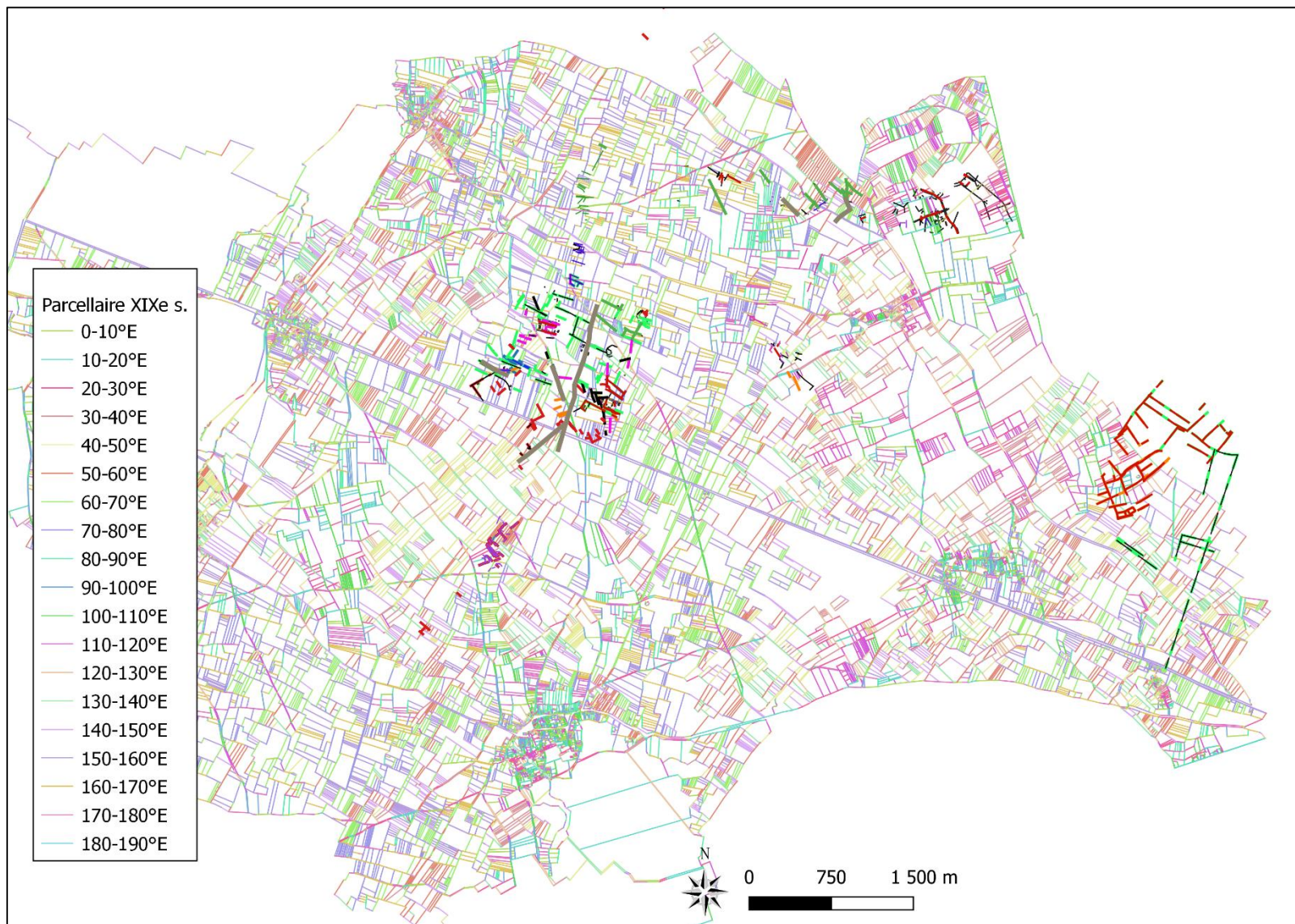


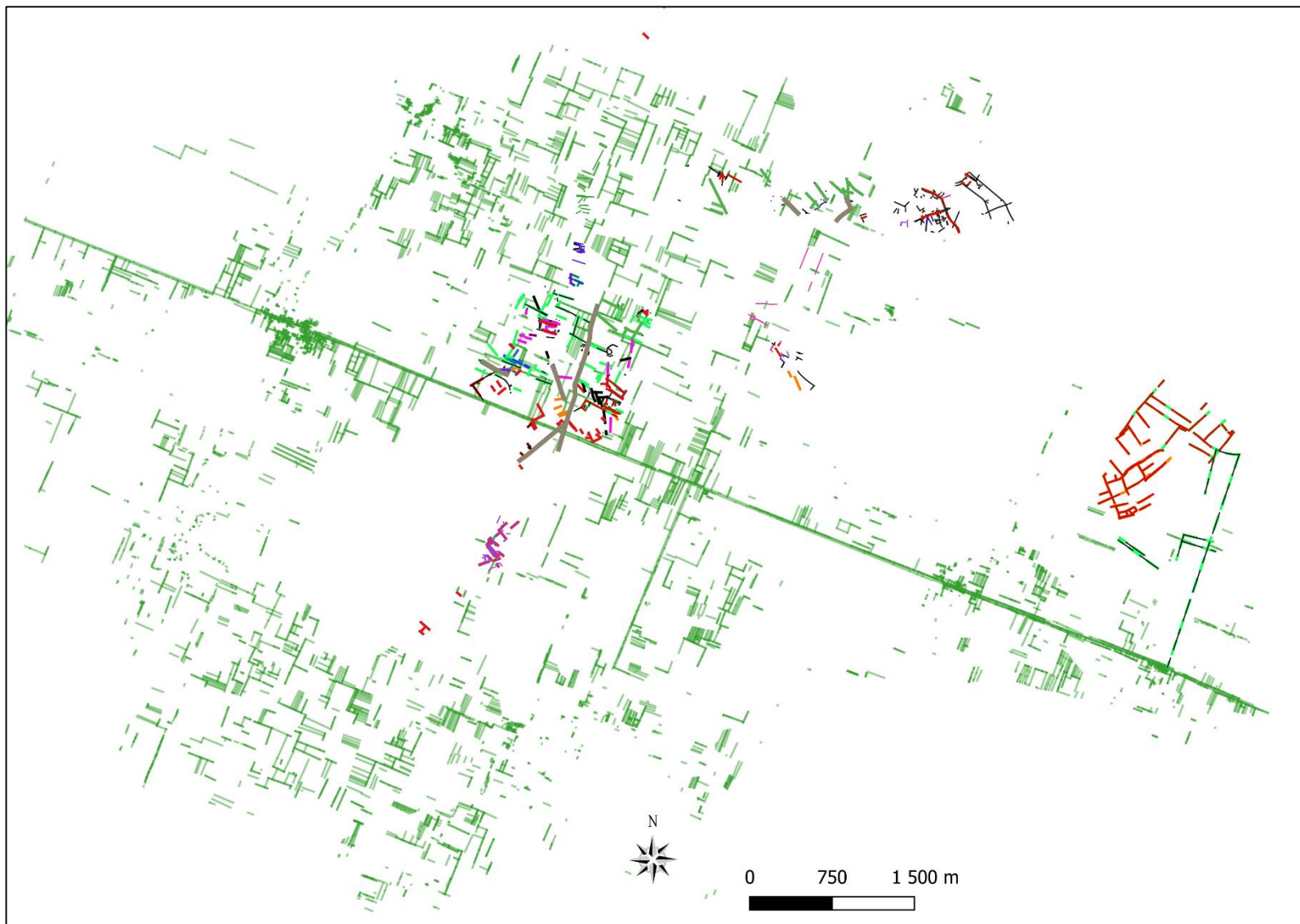
Figure 236. Haynecourt - Les fossés datés de la transition entre la Tène Finale et la période augustéenne. La proposition de restitution provient du Service Départemental Archéologique du Pas-de-Calais.



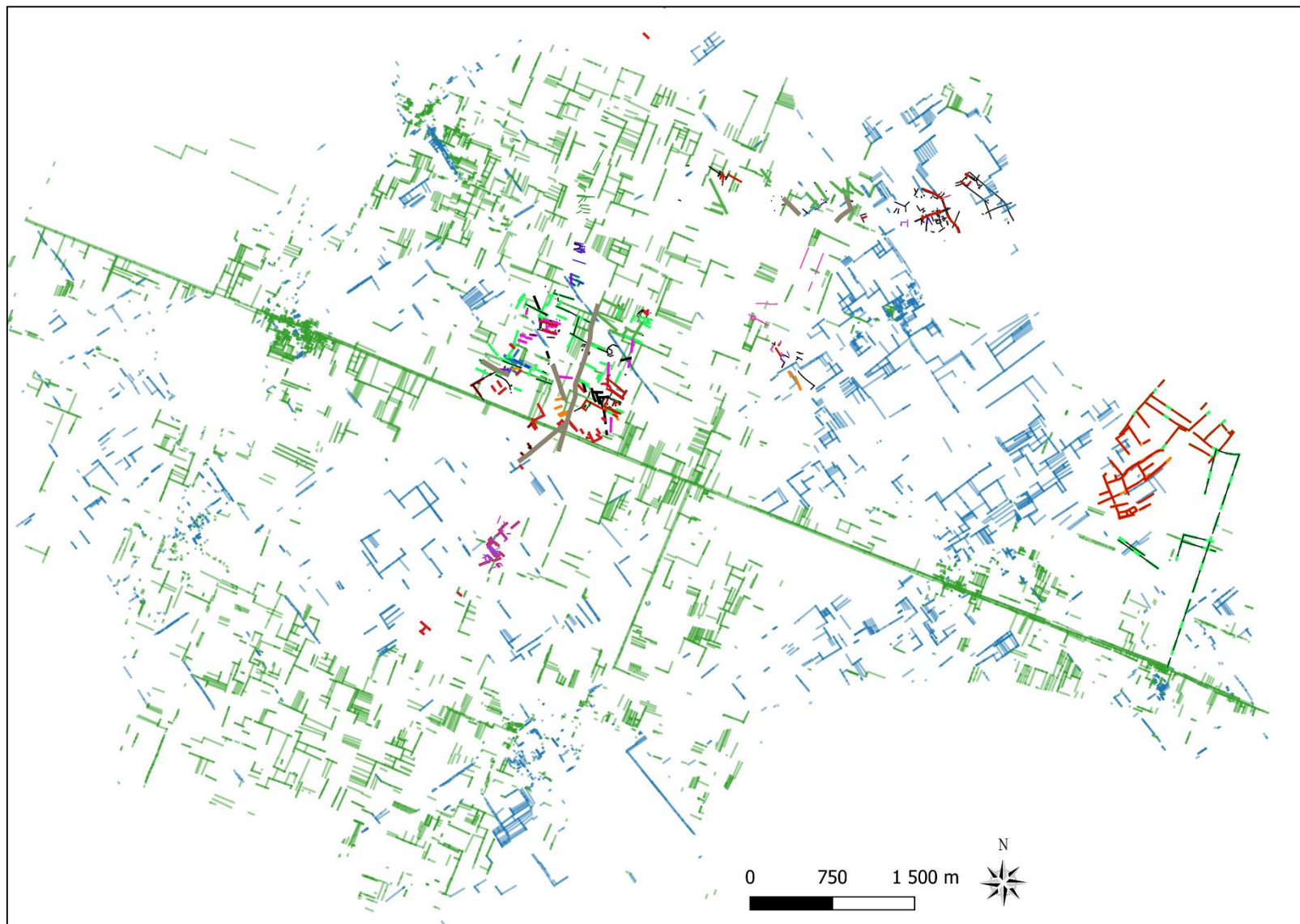
Carte 61. Cambrésis - Les différents parcellaire laténiens / Haut-Empire du secteur d'études.



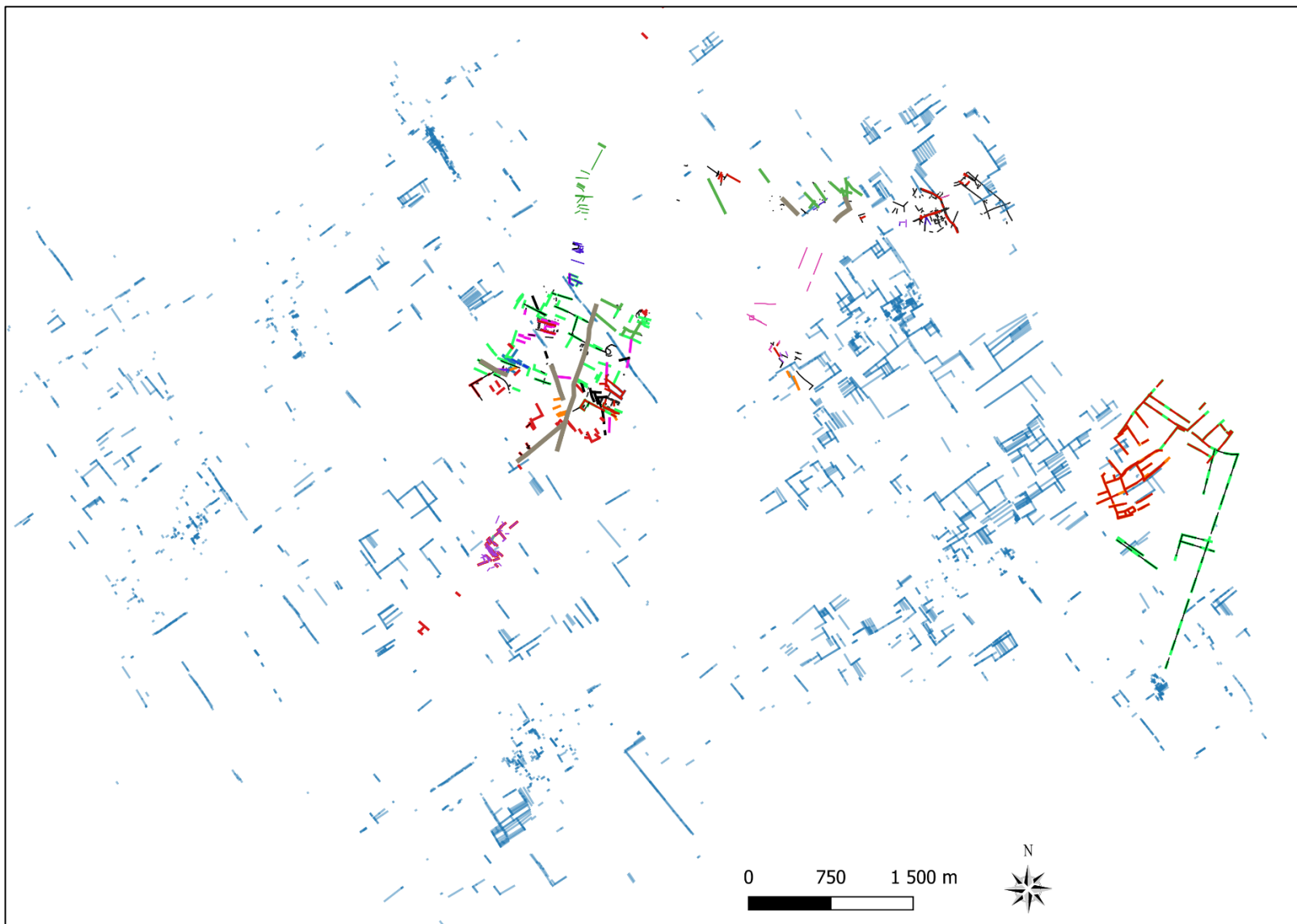
Carte 62. Cambresis -Isolements des parcellaires du XIX^e s.



Carte 63. Cambrésis - Isolements des segments du parcellaire moderne orientés à 65/70°E.



Carte 64. Cambresis - Isolements des segments parcelaires modernes orientés entre 65 et 70°E (vert) et 35/40°E (bleu).



Carte 65. Cambresis - Isolement des segments parcellaires modernes orientés à 35/40°E.